



UNIVERSIDAD NACIONAL AUTÓNOMA DE MÉXICO



FACULTAD DE INGENIERÍA

PROGRAMA ÚNICO DE ESPECIALIZACIONES DE INGENIERÍA

CAMPO DE CONOCIMIENTO: INGENIERÍA CIVIL

**METODOLOGÍA PARA EL DISEÑO DE UN PUENTE CARRETERO
CURVO DE CONCRETO PRESFORZADO CON TRABES SECCIÓN
CAJÓN**

T E S I N A

QUE PARA OPTAR POR EL GRADO DE:

ESPECIALISTA EN ESTRUCTURAS

P R E S E N T A:

ING. EDUARDO VÁZQUEZ GARCÉS

DIRECTOR DE TESIS: **M.I. VICTORIANO ARMANDO GALLEGOS SUÁREZ**

CIUDAD UNIVERSITARIA, CD. MX.

FEBRERO 2023

AGRADECIMIENTOS

A Dios:

Agradezco a Dios por manifestarse en mi vida en el momento de mayor adversidad, por encontrar un sentido de vida y aliento a través de su palabra, recordándome que no solo de pan vive el hombre.

A mi padre:

Ing. Leopoldo Vázquez Martínez

Por procurar que no existiera carencia alguna en mi vida, por enseñarme con tu ejemplo a ser un hombre de trabajo y disciplina, por ser mi mentor en la ingeniería. Sin duda alguna, el mejor ingeniero estructurista que he conocido.

A mi madre:

Prof.^a Mayte Guadalupe Garcés Rosales

Por cuidarme y procurar mi felicidad, por haberme dedicado tu tiempo para que yo cumpliera mis metas, por tu guía en el camino de la rectitud y de la fe, por tu paciencia, por tu amor, por no dejar de creer en mí.

A mis hermanos:

Daniela y Ulises Vázquez Garcés

Por ser el mayor ejemplo de inocencia y amor incondicional que he podido encontrar, la mitad de la persona soy corresponde a ustedes y su recuerdo siempre vivirá en mí.

A mis familiares:

Por su presencia directa e indirecta que han tenido en el desarrollo de mi vida.

A mis profesores:

Por su esfuerzo y dedicación para transmitirme sus conocimientos durante mi formación académica, por su amistad y apoyo.

A la Facultad de Ingeniería:

Por haberme brindado la oportunidad de formarme como ingeniero civil en pro del desarrollo nacional, por ser baluarte de conocimiento y un segundo hogar.

Al Consejo Nacional de Ciencia y Tecnología (CONACYT):

Por haberme otorgado el apoyo económico durante mis estudios de posgrado.

CONTENIDO

AGRADECIMIENTOS.....	I
RESUMEN.....	VII
ABSTRACT.....	VIII
CAPÍTULO 1. INTRODUCCIÓN	1
1.1 OBJETIVOS	2
1.1.1. Objetivo General	2
1.1.2. Objetivos Particulares	2
1.2 PROBLEMÁTICA QUE SE DIAGNOSTICA	3
1.3 SOLUCIÓN PROPUESTA	3
1.4 ANTECEDENTES	4
1.5 PUENTE	7
1.5.1. ¿Qué es un puente?	7
1.5.2. Clasificación de los puentes	8
1.5.2.1 Clasificación: Funcionamiento estructural	8
1.5.2.2 Clasificación: Geometría en planta	9
1.5.3. Partes que conforman un puente	10
1.5.4. Superestructura	10
1.5.5. Subestructura	11
CAPÍTULO 2. CONCRETO PRESFORZADO	12
2.1 ANTECEDENTES	12
2.2 MATERIALES	15
2.2.1. Generalidades del concreto	15
2.2.2. Generalidades del acero	16
2.2.3. Concreto hidráulico	16
2.2.4. Concreto reforzado	17
2.2.5. Concreto presforzado	18
2.2.6. Acero para concreto hidráulico	19
2.2.7. Acero de presfuerzo	19
2.3 TEORÍA DEL PRESFUERZO	22
2.3.1. Bases del concreto presforzado	23
2.3.2. Sistemas de presfuerzo	26
2.3.2.1 Pretensado	27
2.3.2.2 Postensado	28
2.3.3. Pérdidas en el presfuerzo	31
2.3.3.1 Pérdidas inmediatas	31
2.3.3.2 Pérdidas diferidas	31

2.3.4. Estimación de las pérdidas en el presfuerzo	32
2.3.4.1 Pérdidas por acortamiento elástico del concreto	33
2.3.4.2 Pérdidas por fricción	34
2.3.4.3 Pérdidas por deslizamiento del anclaje	35
2.3.4.4 Pérdidas por flujo plástico del concreto	36
2.3.4.5 Pérdidas por contracción del concreto	38
2.3.4.6 Pérdidas por relajación del acero	39
2.3.5. Otras expresiones usadas para estimar las pérdidas	40
2.3.5.1 Pérdidas por acortamiento elástico del concreto	40
2.3.5.2 Pérdidas por fricción	43
2.3.5.3 Pérdidas por deslizamiento del anclaje	44
2.3.5.4 Pérdidas por relajación instantánea	45
2.3.5.5 Pérdidas por flujo plástico del concreto	45
2.3.5.6 Pérdidas por contracción	46
2.3.5.7 Pérdidas por relajación del acero	47
2.3.6. Determinación de los esfuerzos	48
2.3.6.1 Esfuerzos en la transferencia	48
2.3.6.2 Esfuerzos en servicio	49
2.3.6.3 Esfuerzos permisibles en el concreto	49
2.3.6.4 Esfuerzos permisibles en el acero de presfuerzo	49
2.3.7. Etapas de revisión de los esfuerzos	51
2.3.7.1 Primera etapa	51
2.3.7.2 Segunda etapa	51
2.3.8. Cálculo de las deflexiones	51
2.3.8.1 Deflexiones inmediatas	52
2.3.8.2 Deflexiones diferidas	52
2.3.8.3 Deflexión total	52
2.3.8.4 Deflexiones permisibles	52
CAPÍTULO 3. ESTUDIOS PRELIMINARES	53
3.1 VISITA DE CAMPO	55
3.1.1. Reporte de inspección	55
3.1.2. Reporte fotográfico	56
3.1.3. Levantamiento geométrico o de daños	56
3.1.4. Dictamen técnico	57
3.1.5. Resumen de Proyecto	57
3.2 ESTUDIO TOPOGRÁFICO Y/O BATIMÉTRICO	58
3.2.1. Estudios topográficos para carreteras	58
3.2.2. Estudios topográficos de obras especiales	58
3.2.3. Características del estudio topográfico	59
3.2.4. Datos topográficos de proyecto	60
3.2.4.1 Ubicación del puente nuevo	60

3.2.4.2 Cotas de rasante	60
3.2.4.3 Movimiento de tierras	60
3.3 ESTUDIO DE MECÁNICA DE SUELOS	63
3.3.1. Estudios geológicos	64
3.3.2. Estudios geotécnicos	65
3.3.3. Información de proyecto	66
3.3.3.1 Capacidad de carga de pilas	66
3.3.3.2 Recomendaciones	66
3.4 ESTUDIO HIDROLÓGICO E HIDRÁULICO	69
3.4.1. Estudio hidrológico	70
3.4.1.1 Características de la información requerida	70
3.4.2. Análisis hidráulico	71
3.4.2.1 Análisis de la información	71
3.4.3. Presentación del estudio	72
3.4.4. Información de proyecto	72
3.4.4.1 Datos hidrológicos generales	72
3.4.4.2 Análisis hidrológico	73
3.4.4.3 Análisis hidráulico	73
3.5 ESTUDIO DE IMPACTO AMBIENTAL	76
CAPÍTULO 4. PROYECTO GEOMÉTRICO	77
4.1 VEHÍCULO	78
4.2 CLASIFICACIÓN DE LAS CARRETERAS	79
4.3 CURVATURA	80
4.4 RADIO DE GIRO	81
4.5 ALINEAMIENTO HORIZONTAL	83
4.6 ALINEAMIENTO VERTICAL	83
4.7 GALIBO HORIZONTAL DE CLAROS	83
4.8 GALIBO VERTICAL	83
4.9 ANCHO DE CALZADA	84
4.10 ANCHO TOTAL DE LA ESTRUCTURA	84
4.11 DRENAJE DE CALZADA	84
4.12 SOBREELEVACIÓN	84
4.13 PERFIL LONGITUDINAL	84
4.14 RASANTE Y SUBRASANTE DE PROYECTO	85
4.15 SECCIONES TRANSVERSALES	85
4.16 CURVA MASA	85
4.17 ELEVACIONES DE CORONAS	86
CAPÍTULO 5. MEMORIA DE CALCULO	88
5.1 REGLAMENTOS Y BASES DE DISEÑO	88

5.1.1. Normas AASHTO LRFD 2020	88
5.1.2. Bases de diseño	88
5.1.3. Factores de carga	89
5.1.4. Combinaciones de carga	91
5.1.5. Reparto transversal	92
5.2 CÁLCULO DE LA SECCIÓN EFECTIVA	93
5.3 ANÁLISIS POR FLEXIÓN LONGITUDINAL DE SUPERESTRUCTURA	99
5.3.1. Análisis por cargas permanentes	99
5.3.1.1 Trabe sección cajón	99
5.3.1.2 Relleno	100
5.3.1.3 Carpeta asfáltica	101
5.3.1.4 Banqueta	102
5.3.1.5 Guarnición	102
5.3.1.6 Parapetos o defensas	103
5.4 ANÁLISIS POR CARGA VIVA E IMPACTO	104
5.4.1. Cargas vivas	104
5.4.2. Incremento de la carga viva por impacto	106
5.4.3. Camiones de diseño	106
5.4.3.1 Camión de diseño IMT 20.5	107
5.4.3.2 Camión de diseño IMT 66.5	108
5.4.3.3 Vehículos de diseño HL-93C y HL-93T	109
5.4.3.4 Camión de diseño HS15	109
5.4.3.5 Camión de diseño HS20	110
5.4.3.6 Camión de diseño T3S3	110
5.4.3.7 Camión de diseño T3S2R4	111
5.5 ANÁLISIS POR EVENTOS ESPECIALES	111
5.5.1. Análisis por sismo	111
5.5.1.1 Ubicación de proyecto	112
5.5.1.2 Análisis con PRODISIS usando reglamento CFE 2015	113
5.6 MODELACIÓN EN SOFTWARE ESPECIALIZADO	115
5.6.1. Modelo tipo frame del puente continuo en CSI Bridge	115
5.6.2. Modelo tipo frame del tramo 1 del puente en SAP2000	119
5.6.3. Modelo tipo frame de la trabe sección cajón en SAP2000	120
5.6.4. Modelo tipo frame de la losa de espesor promedio en SAP2000	122
5.6.5. Modelo tipo frame del cabezal en SAP2000	123
5.7 ANÁLISIS DE SUBESTRUCTURA	124
5.7.1. Análisis de cabezal	124
5.7.2. Análisis de pilas	125
5.8 DISEÑO DE SUPERESTRUCTURA	127
5.8.1. Diseño de losa	127
5.8.2. Diseño por flexión de trabe cajón	141
5.8.2.1 Estimación del presfuerzo	141

5.8.2.2 Trazo de cables de presfuerzo	142
5.8.2.3 Cálculo de perdidas	142
5.8.2.4 Revisión de esfuerzos por etapas	177
5.8.2.5 Revisión de la capacidad por resistencia	177
5.8.2.6 Diseño por cortante	202
5.8.2.7 Deflexión	202
5.9 DISEÑO DE SUBESTRUCTURA	218
5.9.1. Diseño de cabezal	218
5.9.2. Diseño de apoyos de neopreno	234
5.9.3. Diseño de pilas	242
CAPÍTULO 6. PROYECTO EJECUTIVO	247
6.1 PLANTA GEOMÉTRICA	247
6.2 TRABE CAJÓN (REFUERZO)	247
6.3 TRAZO DE CABLES TRAMO 1	247
6.4 TRAZO DE CABLES TRAMO 2	247
6.5 TRAZO DE CABLES TRAMO 3	247
6.6 SECCIONES TRANSVERSALES DE TRABE (PRESFUERZO)	248
6.7 COLADO DE CONTINUIDAD	248
6.8 PRESFUERZO EN COLADO DE CONTINUIDAD (CURVA EXTERNA)	248
6.9 PRESFUERZO EN COLADO DE CONTINUIDAD (CURVA INTERNA)	248
6.10 CABALLETES (GEOMÉTRIA)	248
6.11 PRESFUERZO EN LOSA	248
6.12 CABALLETES EJES 1 Y 4 (REFUERZO)	248
6.13 CABALLETES EJES 2 Y 3 (REFUERZO)	248
6.14 DIAFRAGMA DE CONTINUIDAD	248
CAPÍTULO 7. ESPECIFICACIONES DE PROYECTO	263
7.1 ESPECIFICACIONES GENERALES	263
7.2 ESPECIFICACIONES PARTICULARES	265
ANEXO A. ESTUDIOS PRELIMINARES	266
A1. ESTUDIO TOPOGRÁFICO	267
A2. ESTUDIO DE MECÁNICA DE SUELOS	270
ANEXO B. PROYECTO GEOMÉTRICO	274
B1. PLANO DE PERFIL	275
B2. PLANO DE VOLÚMENES	277
ANEXO C. MEMORIA DE CÁLCULO	279
BIBLIOGRAFÍA	363
MESOGRAFÍA	365

RESUMEN

El presente trabajo describe cada uno de los puntos que debe contener la elaboración del proyecto ejecutivo de un puente carretero mediante el análisis y diseño de los elementos que conforman la superestructura y subestructura de un puente de concreto presforzado con el fin de ser una guía para todo profesional de la ingeniería estructural que quiera involucrarse en el diseño de puentes.

Se presenta la conceptualización de que es un puente y las partes que lo componen, así como los materiales de uso común y la teoría del concreto presforzado. También se expone la interpretación y uso de la información obtenida de los estudios preliminares para la realización del proyecto geométrico.

Se realizan análisis tanto de flexión como de cortante para las acciones de diseño típicamente presentes en puentes como son cargas permanentes, cargas vivas e impacto, y efectos de sismo. Se efectúa el diseño de la superestructura y de la subestructura entregando como producto final los planos que conforman el proyecto ejecutivo.

Este trabajo está fundamentado en la Normativa para la Infraestructura del Transporte en su apartado de Proyecto inciso 6 Proyecto de Puentes y Estructuras de la Secretaría de Infraestructura, Comunicaciones y Transportes (antes SCT), así como en las Especificaciones de Diseño LRFD para Puentes 2020 de la American Association of State Highway and Transportation Officials.

ABSTRACT

This work describes each one of the topics that must contain the highway bridge project through analysis and design of the superstructure and substructure components using prestressed concrete. It intends to be a guide for all structural engineer interested in designing bridges.

The conceptualization of what a bridge is and its components is presented as well as common use materials and prestressed concrete theory. Also the interpretation and use of information obtained from preliminary studies that are needed to layout the road alignment are presented in this work.

Flexural and shear analysis for permanent and live loads as well as earthquake effects are made in order to design the superstructure and substructure. Geometry, reinforcement and prestressing drawings are presented as final result.

This work is based on Normativa para la Infraestructura del Transporte subsection 6 Proyecto de Puentes y Estructuras published by the Secretaría de Infraestructura, Comunicaciones y Transportes (formerly SCT) and the 2020 LRFD Bridge Design Specifications by the American Association of State Highway and Transportation Officials.

CAPÍTULO 1. INTRODUCCIÓN

En este trabajo se presenta el desarrollo etapa por etapa del proyecto ejecutivo de un puente curvo sin nombre de concreto presforzado tomando como bases de diseño la normativa publicada por la Secretaría de Infraestructura, Comunicaciones y Transportes (SICT) y las Especificaciones de Diseño LRFD para Puentes 2020 de la American Association Of State Highway and Transportation Officials (AASHTO).

En el primer capítulo se explica en términos generales que es un puente y los elementos que lo conforman, la clasificación que puede tener de acuerdo su funcionamiento estructural, así como las cargas que soportará y la ubicación que tendrá en relación con una vialidad. Se presenta la información general del puente a diseñar.

El segundo capítulo presenta la teoría del concreto presforzado desde sus aspectos básicos como los materiales hasta la revisión de los estados límite de resistencia y servicio, en atención de sensibilizar al lector respecto a las ventajas que ofrece su uso en puentes.

El tercer capítulo está enfocado a describir los estudios preliminares que se solicitan en el proyecto ejecutivo, indicando la información que deben incluir, así como su orden. Se presenta la información de los estudios previos para el desarrollo del puente sin nombrar, que es el objeto de estudio del presente trabajo, en donde se toman datos recopilados de diversos proyectos de puentes carreteros federales.

El cuarto capítulo aborda la descripción de la información que es requerida para realizar el proyecto geométrico del puente presentando el perfil de la carretera junto con la rasante de proyecto, las secciones transversales y elevaciones de los apoyos.

En el quinto capítulo se presenta la memoria de cálculo del puente, presentando en primera instancia los reglamentos que constituyen las bases de diseño del proyecto. Se desarrolla el análisis y diseño estructural de la superestructura y subestructura mediante el modelado en software especializado CSI BRIDGE y SAP2000. En el diseño se hace hincapié en las ventajas que ofrece la realización de hojas de cálculo para el para procesar los datos obtenidos de la modelación.

En el sexto capítulo se presenta, como producto final, una descripción de los elementos que componen los planos del proyecto ejecutivo mediante detalles de las elevaciones, vistas en planta y secciones transversales del refuerzo y presfuerzo en la trabe.

En el séptimo capítulo se presentan las conclusiones y recomendaciones de este trabajo.

1.1 OBJETIVOS

1.1.1 OBJETIVO GENERAL

Este trabajo tiene la finalidad presentar de forma secuencial el proceso de análisis y diseño de un puente carretero de concreto presforzado en la ejecución de un proyecto ejecutivo.

Busca ser referencia para todo profesional de la ingeniería estructural que va a iniciarse o se interesa en el análisis y diseño de puentes de concreto presforzado, a fin de que pueda encontrar de forma ordenada y clara la información requerida tanto en estudios como en la memoria de cálculo, así como la elaboración de los planos que integran al proyecto ejecutivo.

1.1.2 OBJETIVOS PARTICULARES

El presente trabajo se enfoca en el cumplimiento tomando como base la información obtenida de los estudios preliminares

- Definir el perfil de construcción del puente conforme la rasante de proyecto de una carretera previamente seleccionada.
- Presentar el dibujo de las secciones transversales, elevación de coronas y bancos de apoyo de los ejes de proyecto del puente.
- Obtener los elementos mecánicos, mediante el modelado en software especializado, tanto de la superestructura como de la subestructura tomando en consideración el efecto de cargas permanentes, cargas vivas y cargas accidentales.
- Determinar los esfuerzos en cada etapa constructiva que se presentan en la trabe cajón.
- Determinar el presfuerzo que es requerido para las solicitudes que se presentan en la trabe cajón.
- Determinar las pérdidas del presfuerzo (trabe postensada).
- Determinar el acero de refuerzo requerido tanto por solicitudes como por procedimiento constructivo para elementos de superestructura y subestructura.
- Revisar la capacidad a flexión y cortante de cada elemento estructural de la superestructura y subestructura.
- Determinar y comparar la deflexión máxima en la trabe cajón respecto al límite establecido en las normas tomadas como bases de diseño.
- Determinar y diseñar el tipo de apoyos (convencionales o especiales) requeridos en la subestructura
- Elaborar los planos que conforman el proyecto ejecutivo

1.2 PROBLEMÁTICA QUE SE DIAGNOSTICA

En la actualidad y derivado de la experiencia profesional en el área de obra pública, la problemática identificada se describe en dos rubros: en primera instancia, se aprecia una reducción en la cantidad profesionales de la ingeniería estructural dedicados al diseño estructural de puentes y en segunda instancia, una falta de conocimiento para la elaboración de proyectos ejecutivos.

En el mismo orden de ideas, en el sector más joven de ingenieros involucrados en obras de infraestructura nacional se aprecia una falta de experiencia tanto en la integración de todas las áreas de la ingeniería civil (hidráulica, geotecnia, ambiental, etc.) requeridas para la elaboración de proyectos ejecutivos como en la aplicación de los conocimientos estructurales previos que son necesarios para dar solución a proyectos no convencionales, resultando en una limitante para su participación en diversos proyectos.

En relación con la problemática expuesta, es requerida una difusión mayor respecto del análisis y diseño de puentes como un área con potencial desarrollo dentro de la ingeniería estructural, así como fomentar en las nuevas generaciones el interés por preservar la hegemonía en los proyectos de infraestructura nacional.

1.3 SOLUCIÓN PROPUESTA

En función de lo planteado, se presenta en este trabajo la metodología para realizar el análisis y diseño de un puente como recurso académico que sirva de guía a todo profesional de la ingeniería estructural que se interese en participar en proyectos de tal naturaleza.

En el ejemplo práctico, se muestra el uso que debe hacerse de la información obtenida de los estudios preliminares que requiere todo proyecto, a su vez, se exponen las ventajas que tiene el concreto presforzado en el diseño de puentes. Se trata de un puente carretero resuelto a base tráves cajón de trazo curvo para dar muestra del diseño de un diseño no convencional. La información utilizada se recopiló de estudios preliminares correspondientes a diversos proyectos realizados por la SICT.

A continuación, se enlistan las características de la solución:

- Puente carretero de concreto presforzado
- Longitud total: 93.9 m (3 claros de 31.3 m)
- Ancho total del puente: 12.8 m
- Número de carriles: 3
- Superestructura: Tráves cajón postensadas
- Subestructura: Caballetes (cabezal y pilas)

1.4 ANTECEDENTES

A lo largo de su historia, la humanidad ha buscado satisfacer sus necesidades básicas haciendo frente a una constante, el abrupto entorno donde se han desarrollado sus diversas civilizaciones. Ya sea por la búsqueda de alimentos o de agua, el ser humano ha tenido la necesidad de cruzar ríos y cañadas, lo que ha incentivado su ingenio para mejorar la manera en que se traslada.

Possiblemente, el primer contacto que tuvo el ser humano con un puente fue al hacer uso de algún tronco que se hubiese caído en el cauce de una corriente o por medio la superposición natural de una serie de piedras que le permitieran cruzar entre sus riberas, surgiendo así el concepto de puente como un medio para unir dos puntos de su entorno, evitando tener que rodear el terreno accidentado.



Figura 1.1 Tronco caído sobre un cauce de río

Figura 1.2 Hilera de rocas sobre un cauce de río

Durante gran parte del desarrollo de las civilizaciones humanas los materiales comúnmente usados para la construcción de puentes fueron la madera y la piedra, dada la disponibilidad del material en su entorno y los conocimientos estructurales que poseían para su manejo, prevaleciendo su uso hasta mediados del siglo XX.



Figura 1.3 Extracción de roca en el antiguo Egipto

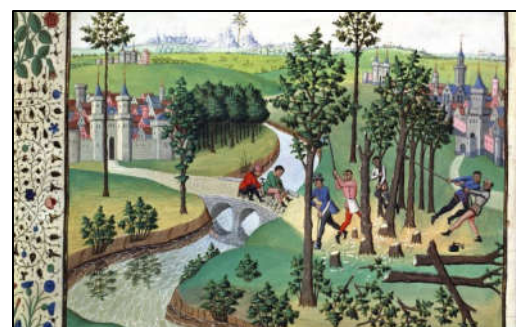


Figura 1.4 Tala de árboles en la Edad Media

La madera se considera como la primera materia prima usada para la construcción de puentes, dado que solo se requiere formar un tablero con troncos apoyando sus extremos en el claro que se desea salvar. Este material se caracteriza por permitir la construcción de piezas estructurales capaces de resistir esfuerzos de compresión y tensión, pudiendo enlazarse entre ellas para cubrir grandes longitudes.

Los puentes de madera se caracterizan por tener un deterioro mayor debido a acción de agentes atmosféricos, en un periodo entre 5 a 10 años desde su construcción cuando en su diseño no se contempla una cubierta para su protección. La presencia de fuego, el incremento de caudal cuando cruzan un río y la acción humana también son factores que reducen su vida útil.

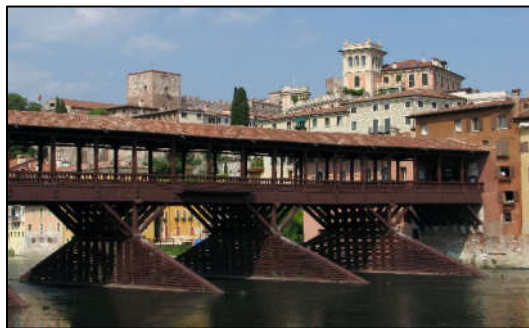


Figura 1.5 Puente Degli Alpini (Italia, 1569)



Figura 1.6 Puente Kiskatinaw (Canadá, 1943)

El uso de la piedra como materia prima para la construcción de puentes fue predominante durante varios siglos, permitiendo el desarrollo de una tecnología específica para su diseño y construcción, siendo los puentes romanos ejemplos claros del su uso en la construcción. En su diseño se aprecian arcos formados por dovelas de piedra, una predominancia de la dimensión longitudinal sobre la transversal, una calzada que permite el cruce de personas y animales, así como el uso de relleno entre arco y calzada como elemento transmisor de cargas. Durante el Medievo se empleó el arco ojival, el cual no permite una correcta repartición de cargas de la superestructura hacia la subestructura y que conlleva un mal aprovechamiento del material.

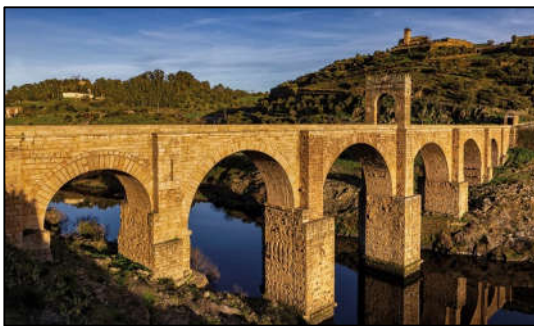


Figura 1.7 Puente de Alcántara (España, 104)



Figura 1.8 Puente de Valentré (Francia, 1380)

Con la fundación de la Escuela Nacional de Puentes y Caminos en París se da inicio al estudio formal de la ciencia involucrada en el diseño de toda infraestructura carretera. Bajo la dirección del ingeniero francés Jean Rodolphe Perronet, se obtuvieron grandes avances en materia de diseño como fue la disminución del espesor tanto de pilas como de arcos, permitiendo una mejora de la sección hidráulica y una disminución de la velocidad del caudal, y así atenuar los efectos de socavación; a su vez, estableció el uso de modelos a escala para estudiar el comportamiento final de una estructura. Los últimos puentes de piedra fueron proyectados durante la última mitad del siglo XIX y la primera mitad del siglo XX.

El uso de metales como material principal en la construcción de puentes tuvo su origen en los avances producidos por la Revolución Industrial mediante el uso del hierro fundido para la construcción del puente en arco Coalbrookdale en Inglaterra. Esta es una aleación que no posee alta resistencia a los esfuerzos de tensión, por lo cual fue sustituida por el hierro forjado que posee similares resistencias tanto a tensión como a compresión, obtenido mediante prensas hidráulicas y laminación en caliente del hierro fundido.

El acero tomó relevancia a finales del siglo XIX como material para la construcción de puentes debido a su alta resistencia a esfuerzos y a su capacidad de deformación antes del colapso. Con la invención del sistema Siemens-Martín la estandarización de su fabricación permitió un uso más asequible en la industria de la construcción, permitiendo su implementación en proyectos más complejos como lo son puentes colgantes, en cantiléver o atirantados.



Figura 1.9 Puente Coalbrookdale (Inglaterra, 1779) Figura 1.10 Puente Manhattan (EUA, 1909)

El concreto como material principal en el diseño de puentes se expone de manera amplia en el capítulo 2 Concreto Presforzado.

En la actualidad los puentes forman parte del sistema de comunicaciones de una nación, contribuyendo activamente al crecimiento de su economía al conectar sus centros de producción con los centros de distribución y venta; a su vez, permiten la movilidad de sus habitantes dentro de las regiones que conforman su territorio, promueven un intercambio cultural y un sentimiento de unidad nacional.

1.5 PUENTE

1.5.1 ¿QUÉ ES UN PUENTE?

Se describe como puente a una estructura que permite atravesar un terreno accidentado como lo son cañadas, ríos, lagos o cualquier otro obstáculo natural y permite unir dos puntos del entorno para facilitar el traslado entre zonas aledañas.

Por lo que se refiere a obras de infraestructura, un puente se describe como una estructura con una longitud no menor a 6 metros que permite dar continuidad a una estructura vial como lo es una carretera, un paso peatonal o una vía ferroviaria. En consecuencia, se dispone de una amplia designación de puentes de acuerdo con la infraestructura de la cual formarán parte, pudiendo ser viaductos, pasos inferiores o superiores vehiculares (PIV, PSV), paso inferior peatonal (PIP), pasos superiores e inferiores de ferrocarril (PSF, PIF); así como pasos inferiores ganaderos (PIG).

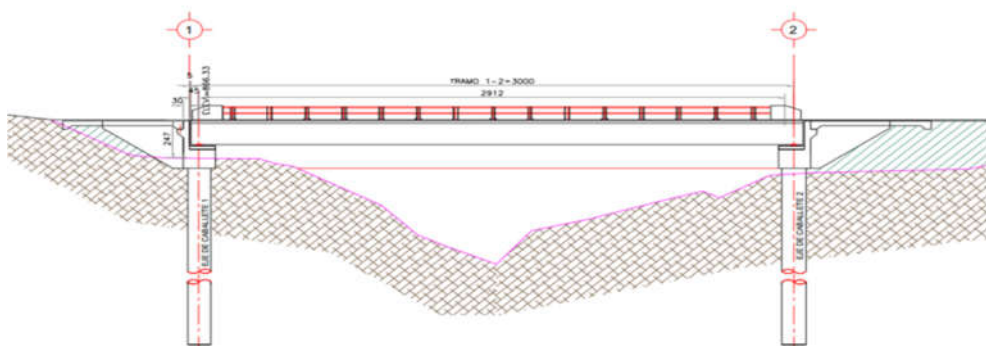


Figura 1.11 Perfil de un puente carretero convencional



Figura 1.12 Viaducto de Millau (Francia, 2004)



Figura 1.13 PIV Ocotoxco (Tlaxcala, 2020)

De la misma forma, su uso se ha extendido al transporte de tuberías, canales, tráfico fluvial y líneas de distribución de energía. En este sentido, su clasificación va de acuerdo con sus características estructurales, la carga que soportan, así como su ubicación.

1.5.2 CLASIFICACIÓN DE LOS PUENTES

Actualmente, la clasificación de un puente se realiza con base en las características propias del proyecto como lo es su forma de trabajo, su geometría en planta, el tipo de material utilizado para su construcción, así como su ubicación y el tipo de cargas a las que estará sometido.

1.5.2.1 CLASIFICACIÓN: FUNCIONAMIENTO ESTRUCTURAL

De acuerdo con su funcionamiento estructural, es decir, la forma general de trabajo de la superestructura para transmitir las cargas hacia la subestructura, los puentes se clasifican como isostáticos o hiperestáticos en una primera instancia.

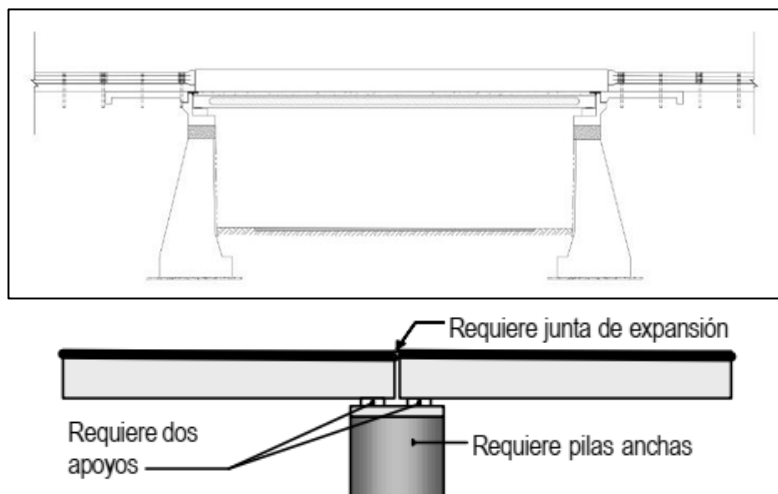


Figura 1.14 Puente simplemente apoyado o isostático (Figura 4.1 Capítulo.4 Diseño de puentes, ANIPPAC)

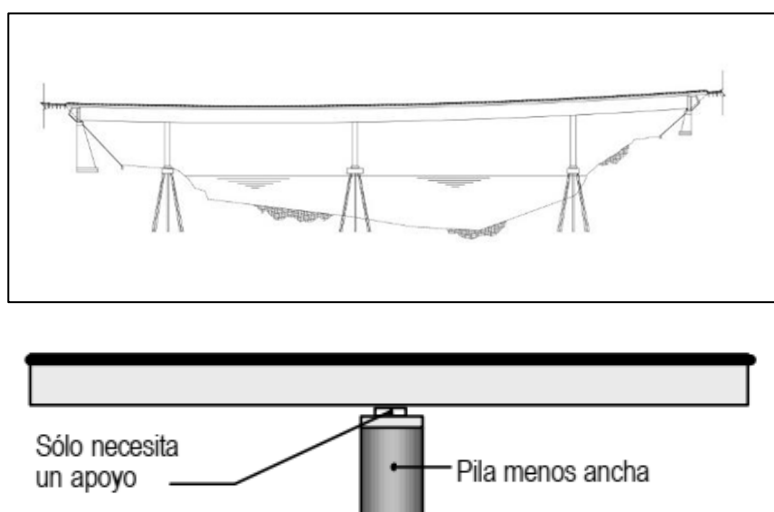


Figura 1.15 Puente continuo o hiperestático (Figura 4.1 Capítulo.4 Diseño de puentes, ANIPPAC)

Posteriormente, se distingue una segunda clasificación que va acorde con el tipo de estructuración a usar, entre los cuales se encuentran los puentes: catenaria, tipo viga, cantiléver, tipo losa, en arco, tipo marco, en celosía, colgantes, atirantados, entre otros.

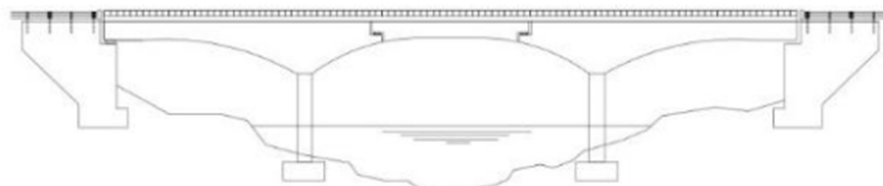


Figura 1.16 Puente tipo Gerber

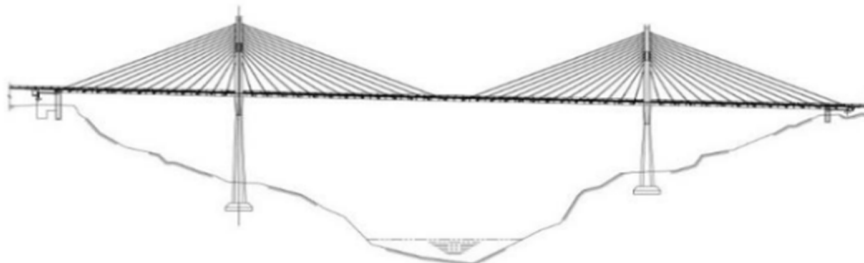


Figura 1.17 Puente atirantado

1.5.2.1 CLASIFICACIÓN: GEOMETRÍA EN PLANTA

En relación con la geometría en planta que se le da al puente, ésta depende del proyecto geométrico. En general, un puente puede ser clasificado como: recto, esvájado o curvo.

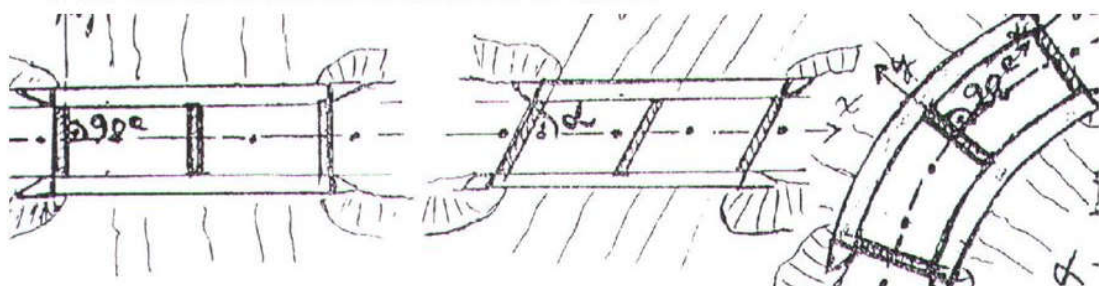


Figura 1.18 Clasificación según su geometría en planta (Figura Puentes, UNM)

Para profundizar en estos conceptos se recomienda revisar el **inciso B** de la Norma **N-PRY-CAR-6-01-001/01** de la **SICT** o su equivalente más reciente.

1.5.3 PARTES QUE CONFORMAN A UN PUENTE

Los elementos estructurales que conforman un puente se pueden en dos grupos: elementos que conforman la superestructura y elementos que conforman la subestructura.

1.5.3.1 SUPERESTRUCTURA

Es el conjunto de elementos estructurales encargados de soportar y transmitir las cargas actuantes sobre la superficie de rodamiento a medida que pasa a través del puente, hacia los elementos que fungen como apoyos.

En general, la superestructura está conformada por los siguientes elementos estructurales y obras secundarias:

- Losa y prelosas
- Trabes (Concreto reforzado, presforzado, metálicas)
- Diafragmas o Piezas de puente
- Banquetas
- Guarniciones
- Parapetos (Concreto o metálicos)
- Remates
- Superficie de rodamiento (Asfalto o concreto)
- Juntas de calzada (Elastoméricas, asfálticas, metálicas)

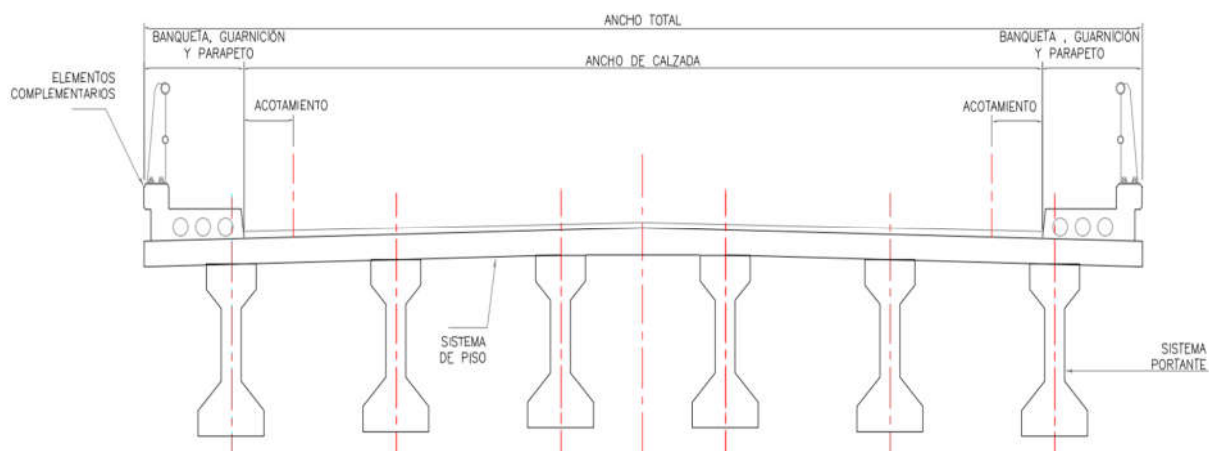


Figura 1.19 Elementos que conforman la superestructura de un puente

Es deber del proyectista incluir en su diseño un sistema de drenaje que permita desalojar el agua para evitar que los escurrimientos causen efectos de carbonatación en el concreto. Para profundizar en este tema se recomienda referenciarse a las **Normas N-CTR-CAR-1-02-003/04 y N-CTR-1-04-006/09 de la SICT**.

1.5.3.2 SUBESTRUCTURA

Es el conjunto de elementos estructurales que sustentan a la superestructura, se encargan de tomar el efecto de acciones accidentales como el sismo y de transmitir las cargas a la cimentación. En general, la subestructura se conforma por el uso de estribos para los ejes de acceso al puente y de caballetes para los ejes intermedios, en ambos se identifican los siguientes elementos estructurales, así como obras secundarias:

- Apoyos de tráves: Pueden ser de neopreno o especiales tipo TETRON
- Topes sísmicos (horizontales y verticales)
- Bancos de concreto
- Cabezal
- Pilas
- Aleros
- Muros
- Zapatas de liga

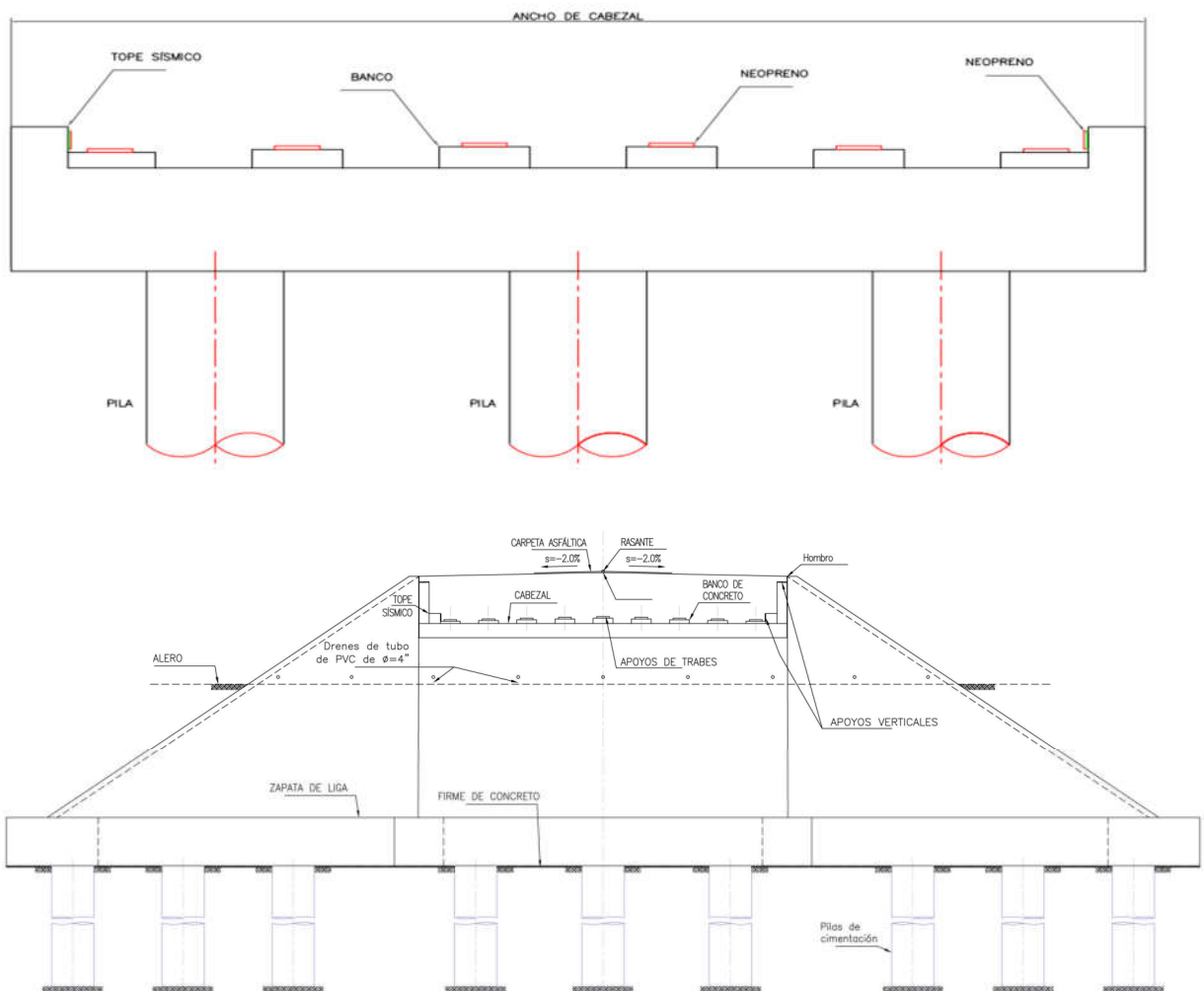


Figura 1.19 Elementos que conforman la subestructura de un puente (caballete y estribo)

CAPÍTULO 2. CONCRETO PRESFORZADO

2.1 ANTECEDENTES

El concreto es un material artificial que surge de los resultados obtenidos al mezclar cal y arcillas con agua por parte del trabajo realizado por Louis Vicat entre 1817 y 1818, mismos que sirvieron de base para la posterior creación en Inglaterra del cemento Portland por parte de Joseph Aspdin en 1824, el cual debe su nombre a la similitud de color que posee la mezcla al secarse con las calizas extraídas de una cantera de Portland en Dorset. Su fabricación hecha a base de cemento, agregados pétreos, agua, aire y aditivos, parte de un estado plástico derivado de la mezcla entre estos componentes, otorgándole su alta predisposición para ser moldeado; posterior al fraguado, la mezcla adquiere un estado sólido en su forma final.



Figura 2.1 Fábrica cementera en México



Figura 2.2 Consistencias del concreto



El cemento Portland es un material conglomerante que resulta del pulverizado de arcillas y materiales calcáreos, los cuales se someten a una cocción entre 1,400 °C y 1,600 °C, dando origen al Clinker. En su proceso de fabricación se le adicionan sulfato de calcio para regular el tiempo de fraguado, así como diversos materiales como puzolanas, escoria granulada de altos hornos, humo de sílice y calizas, para conferirle características específicas de resistencia.



Figura 2.3 Imagen ilustrativa del Clinker



Figura 2.4 Tipos de cementos Portland

En el país el cemento Portland se clasifica de acuerdo con los materiales que lo conforman (CPO, CPP, CPEG, CPC, CPS, CEG), su resistencia a la compresión (20, 30, 30R, 40, 40R) y sus características especiales (RS, BRA, BCH, B). Posee un tiempo de fraguado que varía entre los 45 min y 60 min.

Los agregados pétreos son materiales granulares sujetos a diversos tratamientos para disagregación, cribado, trituración y lavado, obtenidos en bancos de materiales o por mediante procesos de expansión, calcinación o fusión. Estos se clasifican comúnmente en agregados finos (arenas) y gruesos (gravas), pero también se encuentran agregados ligeros que poseen baja densidad como escorias arcillas, escorias de altos hornos, lutitas o pizarras; otro tipo de agregado son los fragmentos de roca conocidos como boleos o piedra braza, los cuales tienen dimensiones superiores a 75 mm utilizados principalmente para la elaboración de concreto ciclópeo.



Figura 2.5 Arena (agregado pétreo fino)



Figura 2.6 Grava (agregado pétreo grueso)

El agua se requiere para generar el efecto conglomerante del cemento con los agregados pétreos, la cual debe de cumplir con valores específicos de sales e impurezas (carbonatos, sulfatos, cloruros, materia orgánica y magnesio, entre otros) para su implementación en la fabricación de concreto hidráulico. Cabe resaltar que no debe usarse agua de mar con excepción de los casos en donde no se use acero de refuerzo o presfuerzo (concreto simple).

Es habitual que se usen aditivos químicos antes o durante el proceso de mezclado en la fabricación de concreto con el objetivo de mejorar sus propiedades tanto en estado fresco como endurecido. Entre los aditivos más usados se encuentran los reductores de agua, retardantes, acelerantes, y una combinación de ambos; a su vez, también se encuentran los aditivos superplastificantes, superfluidificantes e inclusores de aire.

En particular, se le conoce como concreto simple y posee poca resistencia a esfuerzos de tensión limitando su aplicación estructural, pero posee resistencia a la abrasión y al fuego, así como una alta durabilidad y poca permeabilidad. Es habitual que el desarrollo de su resistencia se obtenga a los 28 días después del colado, mas por medio del uso de aditivos puede alcanzarse en periodos de hasta 14 días.

El concreto simple adquiere mejores cualidades cuando trabaja en conjunto con el acero, ya que este aumenta su capacidad para tomar esfuerzos de tensión, restringe el desarrollo de grietas y reducir las deformaciones provocadas por cargas actuantes. Por otra parte, el concreto posee ciertas características restrictivas relacionadas con el tiempo en su implementación, ya que debe esperarse entre etapas constructivas a que se alcancen las resistencias especificadas en proyecto para continuar.

El concreto presforzado surge a consecuencia de las observaciones y trabajos realizados durante los siglos XIX y XX por ingenieros estructuristas para mejorar el desempeño del concreto reforzado, conscientes de los recurrentes problemas por fisuración que llega presentar. Su concepción es contemporánea a la del concreto reforzado, pero debido a las bajas resistencias a compresión que ofrecía el concreto de la época y a la limitada resistencia a la fluencia que poseían los aceros, el presfuerzo perdía tensión y las estructuras no presentaron ventajas técnicas ni económicas.

Entre 1927 y 1928, el ingeniero francés Eugene Freyssinet, quién estudió en la École Polytechnique de París y en la École Nationale des Ponts et Chaussées, patentó su sistema de concreto presforzado que había desarrollado a partir de su amplia experiencia en el diseño y construcción de puentes de concreto reforzado. El sistema consiste en comprimir el concreto por medio de elementos de acero de alta resistencia antes de que la estructura entre en servicio, volviéndolo más flexible y menos propenso a desarrollar fisuras. Con esta nueva tecnología, se aumentó el tiempo de vida útil de las estructuras como puentes.

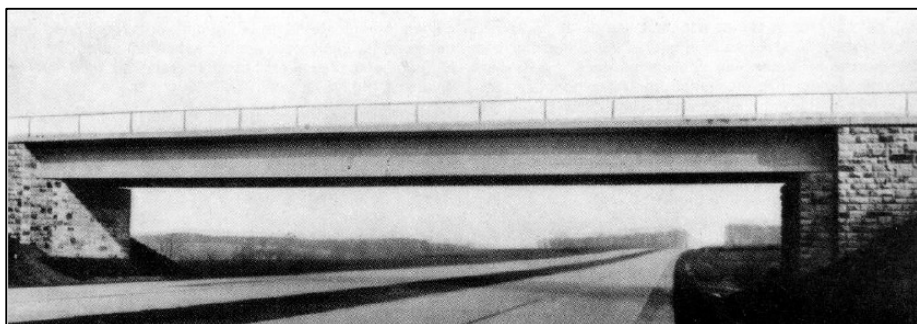


Figura 2.7 Primer puente de concreto presforzado (Puente Oelde, Alemania 1938)

En conjunto, el concreto presforzado ofrece un mejor control del agrietamiento y deflexiones ante solicitudes debido al uso de altas resistencias tanto en concretos como en aceros para su fabricación, por consiguiente, le confiere una mayor vida útil. Cabe destacar que permite obtener secciones más esbeltas al emplear menos material en sus diseños, además el proceso de prefabricación de sus elementos les confiere una mayor rapidez de construcción aunado a características estéticas que entran en armonía con su entorno arquitectónico.

2.2 MATERIALES

Los materiales que se requieren para la elaboración del concreto presforzado deben de cumplir con la características de la normativa vigente nacional, por tal motivo, el ingeniero responsable de proyecto debe conocerlas y plasmarlas en sus notas de diseño. A continuación, se presenta de manera concreta las consideraciones que deben de cumplirse para cada material que forma parte de su fabricación con base en las normas mexicanas y las recomendaciones del manual AASHTO LRFD 2020.

2.2.1 GENERALIDADES DEL CONCRETO

Es deber del proyectista indicar en cada plano el tipo de concreto a usar para cada elemento que forme parte de la estructura, debiendo cumplir con la norma vigente en materia de materiales para la construcción. En el **artículo 5.4.2.1 Resistencia a la Compresión** de la norma **AASHTO LRFD 2020** se encuentra una recomendación respecto al tipo de concreto que puede ser usado, en donde se especifica que no se deberán usar concretos con resistencias menores a 168 kg/cm^2 (2.4 ksi) en elementos estructurales ni menores a 280 kg/cm^2 en elementos presforzados.

En su **artículo 5.4.2.4 Módulo de Elasticidad** la norma **AASHTO LRFD 2020** recomienda determinar el módulo de elasticidad del concreto tomando como base dos características: su peso volumétrico y su resistencia a compresión. A continuación, se presenta la clasificación de acuerdo el peso volumétrico que hace la norma para los tipos de concreto existentes.

Concrete	Lightweight	0.110 to 0.135
	Normal Weight with $f'_c \leq 5.0 \text{ ksi}$	0.145
	Normal Weight with $5.0 < f'_c \leq 15.0 \text{ ksi}$	$0.140 + 0.001 f'_c$

Tabla 2.1 Pesos volumétricos del concreto (Tabla 3.5.1-1 Pesos Unitarios, AASHTO LRFD 2020)

La norma presenta la ecuación **Eq. 5.4.2.4-1** para determinar el módulo de elasticidad del concreto:

$$E = 33,000 K_1 w^{1.5} \sqrt{f'_c}$$

En donde:

- K_1 se debe tomar igual a 1
- $w^{1.5}$ corresponde al peso volumétrico del concreto
- f'_c es la resistencia a compresión del concreto en ksi

El factor de conversión de unidades para este trabajo se considera como:

$$1 \text{ ksi} = 70.307 \frac{\text{kg}}{\text{cm}^2}$$

Para ser aceptado, el material debe contar con un certificado de calidad por cada lote expedido por una laboratorio aprobado por la SICT conforme lo establecido en la **Cláusula C** del manual **M-MPP-2-02-055** y en la **Fracción D.1** de la norma **N-CTR-1-02-003/04** de la secretaria o su equivalente más reciente.

2.2.2 GENERALIDADES DEL ACERO

En el **artículo 5.4.3.1 Acero de Refuerzo** de la norma **AASHTO LRFD 2020** presenta una recomendación respecto a los límites del esfuerzo de fluencia (f_y) que puede tener el acero para fines estructurales, en donde se especifica que no es recomendable usar aceros con esfuerzos de fluencia entre $5,200 \text{ kg/cm}^2$ (75 ksi) y $7,000 \text{ kg/cm}^2$ (100 ksi) a menos que sea usado para todos los elementos que conforman la estructura, ya que al ser aceros de altas resistencias presentan baja ductilidad. El uso de aceros con esfuerzos de fluencia menores a $4,200 \text{ kg/cm}^2$ (60 ksi) queda restringido a los requerimientos de proyecto y por aprobación de la secretaria.

En su **artículo 5.4.3.2 Módulo de Elasticidad** la norma **AASHTO LRFD 2020** recomienda usar un módulo de elasticidad de $2,039,000.00 \text{ kg/cm}^2$ para aceros de hasta $7,000 \text{ kg/cm}^2$ (100 ksi). Para ser aceptado, el material debe contar con un certificado de calidad por cada lote expedido por una laboratorio aprobado por la SICT conforme lo establecido en la **Cláusula C** del manual **M-MPP-2-03-001** de la secretaria o su equivalente más reciente.

2.2.3 CONCRETO HIDRÁULICO

El concreto hidráulico es una mezcla entre cemento Portland, agregados pétreos (gravas y arenas), agua, y dependiendo su uso pueden ser añadidos aditivos para cumplir con características específicas de proyecto. Las dosificaciones de sus componentes se deben ajustar a la resistencia requerida en el proyecto, además de considerar los cambios de humedad en los agregados o por efectos de temperatura en sitio.

De esta mezcla se obtiene material que al fraguar genera un elemento rígido y resistente como una roca, el cual se clasifica con base en su peso volumétrico en:

- **Concreto Normal:** Se obtiene mediante el uso de agregados pétreos densos y posee un peso volumétrico al final del fraguado de entre 2.2 ton/m^3 y 2.4 ton/m^3 . También es llamado concreto clase 1 y posee una resistencia a la compresión igual o mayor a 250 kg/cm^2 .
- **Concreto Ligero:** Se obtiene mediante el uso de agregados pétreos de baja densidad y posee un peso volumétrico al final del fraguado entre 1.8 ton/m^3 y 2.2 ton/m^3 . También es llamado concreto clase 2 y posee una resistencia a la compresión menor a 250 kg/cm^2 .

En igual forma, el concreto hidráulico puede ser clasificado con base en el procedimiento de su elaboración y los materiales que lo conforman en:

- *Concreto Lanzado*: Es una forma de aplicación del concreto hidráulico con la cual se crea una capa compacta y homogénea, esto se obtiene mediante la expulsión del concreto a través de una boquilla por medio de aire a presión. Tiene la particularidad de que el agua puede ser agregada al mismo momento en que se incorporan los agregados pétreos y el cemento o incorporarse directamente al ser expulsada la mezcla por la boquilla.
- *Concreto Ciclópeo*: Está formado por 60 % de fragmentos de roca que se colocan embebidos en el concreto normal.

Para profundizar en los requisitos que debe cumplir la fabricación y colocación del concreto hidráulico, así como en la calidad que deben tener los materiales para su fabricación, se recomienda al lector referenciarse a la norma **N-CTR-CAR-1-02-003/04** y **N-CMT-2-02-005/04** de la **SICT** o su equivalente más reciente.

2.2.4 CONCRETO REFORZADO

El concreto reforzado es producto de la unión de concreto hidráulico con acero de refuerzo, obteniendo un material que posee tanto la resistencia a compresión del concreto como la resistencia a tensión del acero. La combinación de ambos materiales le otorga un comportamiento tanto elástico como plástico, el cual es apreciable en su curva esfuerzo vs deformación unitaria, observándose que la rama elástica inicia con una línea inclinada y que continua en una curva casi horizontal que demarca la rama plástica.

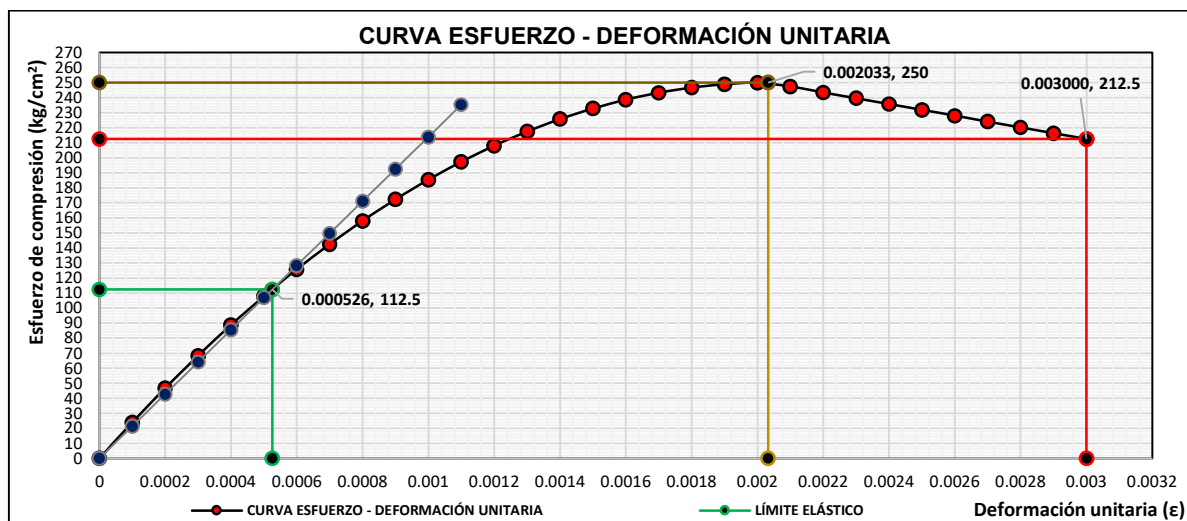


Figura 2.8 Curva esfuerzo vs deformación unitaria típica del concreto reforzado

El tipo de concreto y la cantidad de acero de refuerzo son factores que determinan el comportamiento general que tendrá un elemento estructural, debiéndose establecer la cantidad mínima y máxima de acero de refuerzo que puede ser usada para que se alcance el esfuerzo de fluencia, evitando así tener elementos sobre reforzados que produzcan fallas frágiles.

Para profundizar en los aspectos de la fabricación de estructuras mediante el uso de concreto reforzado, se recomienda al lector referenciarse a la norma **N-CTR-1-02-006/01** de la **SICT** o su equivalente más reciente.

2.2.5 CONCRETO PRESFORZADO

El concreto presforzado se obtiene del trabajo en conjunto entre concreto hidráulico de alta resistencia a la compresión y acero de alta resistencia a la tensión. Su proceso de fabricación consiste en colocar longitudinalmente el acero para ser tensado mediante gatos hidráulicos a un esfuerzo predeterminado, en donde se distinguen dos sistemas de tensado: el pretensado del acero y el postensando el acero.

En términos generales, los elementos estructurales de concreto presforzado se someten a esfuerzos de compresión en su lecho inferior y a esfuerzos de tensión en el lecho superior, esto provoca que se reduzcan o desaparezcan los esfuerzos de tensión en el lecho inferior que son generados en condiciones de servicio; a su vez, se genera una contra flecha en el elemento, la cual ayuda disminuir o eliminar la flecha que se produce en el elemento por su puesta en servicio.

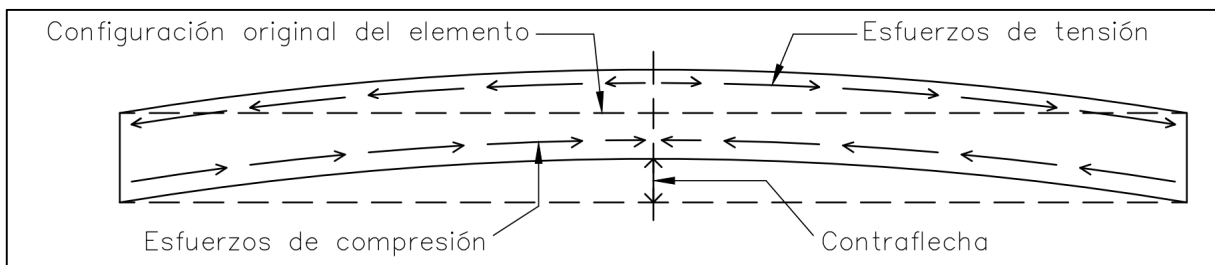


Figura 2.9 Configuración de un elemento de concreto presforzado

En la actualidad, se establece una resistencia mínima requerida a compresión del concreto de 350 kg/cm^2 para ser utilizado en la fabricación de concreto presforzado. Para profundizar en la construcción de estructuras de concreto presforzado, se recomienda al lector referenciarse a la norma **N-CTR-1-02-007/01** de la **SICT** o su equivalente más reciente.

2.2.6 ACERO PARA CONCRETO HIDRÁULICO

Es el acero que tiene como fin tomar los esfuerzos de tensión que se generan en el concreto debido a la acción de cargas sobre el elemento, así como por efectos de contracción generados en el fraguado y por cambios de temperatura. Está conformado por varillas, cables, alambres y barras, corrugadas o no corrugadas, que pueden estar embebidos o no en el concreto hidráulico.

El acero principalmente se clasifica con base en el esfuerzo que puede alcanzar al momento de desarrollar su fluencia, a partir del cual, se puede determinar si es apto para usos estructurales. A continuación, se presenta la clasificación del acero de acuerdo con su esfuerzo de fluencia.

Esfuerzo de fluencia MPa (kg/cm ²)	Grado
294 (3 000)	30
412 (4 200)	42
510 (5 200)	52
412 (4 200)	42 baja aleación

Tabla 2.2 Clasificación del acero según su fluencia (Tabla 1, N-CMT-2-03-001/04)

Para profundizar en los requisitos de calidad que debe cumplir el acero para concreto hidráulico, se recomienda al lector referenciarse a la norma **N-CTR-CAR-1-02-004/02** y **N-CMT-2-03-001/04** de la **SICT** o su equivalente más reciente.

2.2.7 ACERO DE PRESFUERZO

El acero de presfuerzo es acero con alto contenido de carbón, lo que aporta una alta resistencia a los esfuerzos de tensión. Este tipo de acero recibe un tratamiento de alargamiento en altas temperaturas durante su fabricación, confiriéndole una disminución de las pérdidas por su relajación.

El acero de presfuerzo se clasifica en diferentes grados o tipos dependiendo del elemento que se analice, ya sean cables o barras, lo cual le asigna características propias de dimensión y resistencia. En el artículo **5.4.4.1 Requisitos Generales** de la norma **AASHTO LRFD 2020** se presentan las características que les confiere cada grado o tipo al acero de presfuerzo.

Material	Grade or Type	Diameter (in.)	Tensile Strength, f_{pu} (ksi)	Yield Strength, f_{py} (ksi)
Strand	270 ksi	0.375 to 0.6	270	90% of f_{pu}
Bar	Type 1, Plain Type 2, Deformed	0.75 to 1.375 0.625 to 2.5	150 150	85% of f_{pu} 80% of f_{pu}

Tabla 2.3 Características del acero de presfuerzo (Tabla 5.4.4.1-1, AASHTO LRFD 2020)

En su **artículo 5.4.4.2 Módulo de Elasticidad** la norma **AASHTO LRFD 2020** recomienda usar diferentes los siguientes valores para el módulo de elasticidad de acuerdo con el tipo de elemento de acero de presfuerzo a usar, sin embargo, es deber del proyectista solicitar los módulos de elasticidad recomendados por los fabricantes nacionales. Los valores presentados a continuación deben tomarse únicamente como una referencia.

for strand: $E_p = 28,500 \text{ ksi}$,
for bar: $E_p = 30,000 \text{ ksi}$

Para Cables: $E_p = 2,004,000.00 \text{ kg/cm}^2$
Para Barras: $E_p = 2,110,000.00 \text{ kg/cm}^2$

Tabla 2.4 Módulos de elasticidad para cables y barras de acero de presfuerzo

Respecto a los esfuerzos tanto de fluencia como de ruptura en el acero de presfuerzo, se acepta usar valores de $16,200 \text{ kg/cm}^2$ y $19,000 \text{ kg/cm}^2$ respectivamente, mas es deber del proyectista solicitar los valores recomendados por el fabricante.

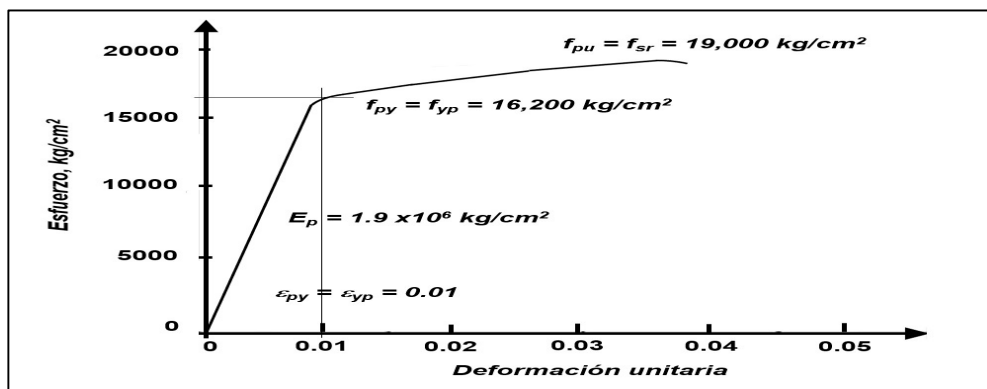


Figura 2.10 Curva esfuerzo vs deformación unitaria del acero de presfuerzo

El acero de presfuerzo se encuentra disponible en forma de alambres, torones y cables, los cuales representan los tipos más comúnmente usados para la elaboración de concreto presforzado. A continuación, se presentan sus características generales:

- **Alambre:** En general son lisos y se encuentran disponibles en diámetros que van de 3 mm a 10 mm. Los más usados están entre 5 mm y 7 mm.



Figura 2.11 Representación del alambre de presfuerzo

- **Torón:** Está conformado por un grupo de 7 alambres, los cuales poseen el siguiente arreglo: 6 alambres torcidos en forma helicoidal alrededor de un alambre recto longitudinal con un paso entre 12 φ y 16 φ del alambre. Se encuentran en diámetros de 3/8", 7/16", 1/2", 3/5" y 5/8".

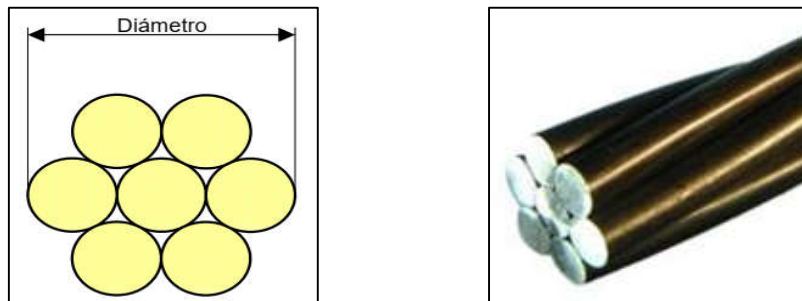


Figura 2.12 Sección transversal de un torón (Figura 1 N-CTM-2-03-002/04)

- **Cable:** Es un elemento formado por un conjunto de alambres o torones, los cuales comúnmente se encuentran en diámetros arreglos de 12φ5, 13φ7, 3T15, 12T13, 19T13 y 12T15 debido al tipo de cuñas para su tensado que se encuentran disponibles en el mercado nacional. El proyectista no se encuentra limitado a este tipo de arreglos, pudiendo conformar un cable con la cantidad de torones óptima para un proyecto en específico, mas debe considerar que esto implicara un aumento de costo.



Figura 2.13 Sección transversal de un cable de presfuerzo

Para profundizar en los requisitos que debe cumplir el acero de presfuerzo, se recomienda al lector referirse a la **Fracción G.2** de la norma **N-CTR-CAR-1-02-007/01** y **N-CMT-2-03-002/04** de la secretaría, a la norma **ASTM A-416** y **ASTM A-722** del **AASHTO LRFD Bridge Construction Specifications**, y a la **NMX B-292-2011** o su equivalente más reciente.

2.3 TEORÍA DEL PRESFUERZO

El concepto del concreto presforzado, como se ha afirmado con anterioridad, surge a partir de las observaciones hechas al concreto reforzado en búsqueda de mejorar su desempeño. Sus bases de aplicación se encuentran fundamentadas en la teoría del concreto reforzado compartiendo las mismas hipótesis para elementos sujetos a flexión: se considera que la distribución de las deformaciones en la sección transversal es plana, así las secciones que originalmente son planas conservan tal condición; además, dado que el concreto no posee una amplia resistencia ante esfuerzos de tensión, se requiere la implementación de acero para que se tomen dichos esfuerzos. También existencia la compatibilidad entre deformaciones, es decir, tanto el esfuerzo máximo permisible en el concreto como en el acero se alcanzan simultáneamente.

En la teoría del concreto presforzado se propone la precarga de un elemento estructural a través de aplicar en el concreto esfuerzos de compresión para mejorar su comportamiento tanto a rigidez como a resistencia antes de que soporte las cargas propias de su función, por lo cual, se presentan los efectos combinados de flexión y compresión, haciendo de ella una teoría de flexocompresión.

La manera usual de presforzar un elemento estructural es por medio de gatos hidráulicos, estirando el acero de presfuerzo dentro de su rango elástico, el cual al tratar de regresar a su longitud original provoca la compresión del concreto. Esta fuerza le confiere una deformación vertical al elemento y es durante las diferentes etapas de construcción en que las cargas tanto permanentes como vivas se hacen presentes, incluyendo el peso propio, cuando ésta disminuye a consecuencia del consumo de la energía inducida en el tensado del acero.

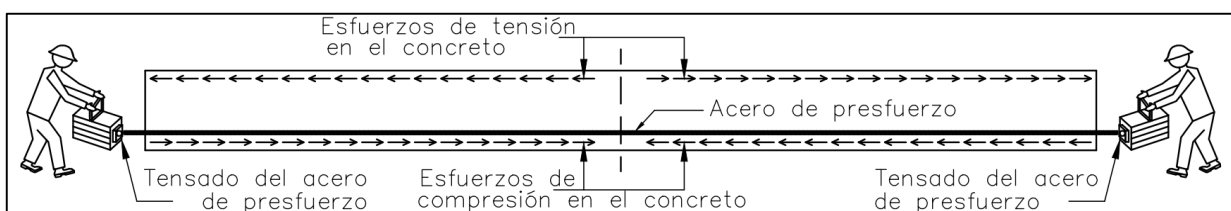


Figura 2.14 Sección transversal de un cable de presfuerzo

En el presfuerzo se deben obtener los esfuerzos en servicio de cada una de las etapas que involucran tanto la construcción como puesta en operación de un elemento estructural, por lo cual, es deber del proyectista revisar que estos esfuerzos no sobrepasen los límites establecidos tanto de ruptura como de tensión admisible en el concreto, a lo largo de su eje longitudinal.

La aplicación de esta teoría ha dado como resultado una reducción de los esfuerzos de tensión actuantes en el concreto, la reducción del agrietamiento en los por efectos de flexión en elementos estructurales y una disminución de las deflexiones producidas por efecto de cargas, esto debido a la compresión y el momento generado por el presfuerzo. A su vez, ha otorgado la posibilidad de cubrir grandes claros con elementos esbeltos y realizar un proceso de fabricación industrial, con lo cual se obtiene un mayor control de calidad y se disminuyen costos, volviéndola útil en el diseño de puentes de grandes claros o con intensas cargas.

2.3.1 BASES DEL CONCRETO PRESFORZADO

En la teoría del concreto presforzado se parte del efecto combinado que produce el acero de presfuerzo y las cargas actuantes, en donde se distinguen tres formas de colocar el presfuerzo: axial, con excentricidad y parabólica. Estas variantes en la disposición del acero de presfuerzo, le confieren al elemento un estado de esfuerzos diferente para cada caso:

- **Arreglo axial:** El acero de presfuerzo se coloca en el eje neutro de la sección transversal del elemento. Este arreglo no genera un momento debido al presfuerzo y la capacidad de soportar esfuerzos de tensión en el concreto es igual al esfuerzo de compresión resultante de la carga axial de tensado respecto al área de la sección transversal (P/A). Posee una desventaja, ya que el esfuerzo de compresión en la fibra superior se duplica y puede resultar crítico.
- **Arreglo excéntrico:** Se le da una excentricidad al acero de presfuerzo, lo cual genera la aparición de esfuerzos tanto de compresión y tensión en los lechos superior e inferior del elemento. Este arreglo provoca que el presfuerzo genere un momento constante a lo largo de toda la longitud del elemento, contrarrestando al momento máximo generado por efecto de las cargas actuantes, pero presenta la desventaja de desarrollar esfuerzos de tensión en las fibras superiores que pueden resultar críticos en los extremos del elemento donde hay poco o nulo efecto de cargas verticales. Su principal aplicación se da en elementos pretensados.
- **Arreglo parabólico:** En este arreglo el perfil longitudinal del acero de presfuerzo lleva una trayectoria parabólica, implicando que el aumento de su excentricidad sea gradual desde los apoyos hacia el centro del claro. Esta configuración es más eficiente para tomar cargas distribuidas debido a que el momento producido por el presfuerzo es una función de segundo grado al igual que el momento producido por las cargas actuantes, siendo usada principalmente en elementos postensados.

El estado de esfuerzos resultante en los arreglos tanto excéntricos y parabólicos en el presfuerzo muestra que los esfuerzos de tensión al centro del claro son menores o nulos debido al efecto de su excentricidad, diferenciándose únicamente por la presencia de esfuerzos de tensión en los extremos del arreglo excéntrico debido al momento que se mantiene constante a lo largo de todo el elemento. En este sentido, el arreglo axial y parabólico únicamente presenten el esfuerzo de compresión de la sección transversal del elemento en cuestión.

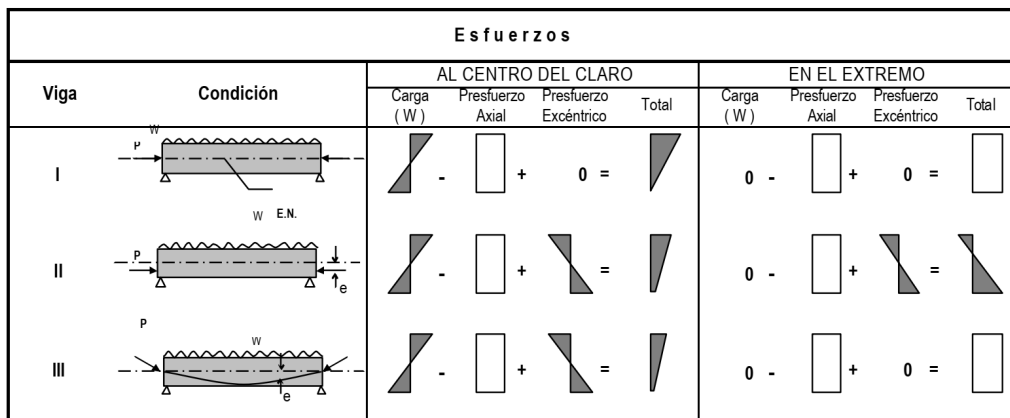


Figura 2.15 Sección transversal de un cable de presfuerzo (Figura 2.2, Capítulo 2 ANIPPAC)

Para contrarrestar los esfuerzos residuales de tensión que son generados por el presfuerzo, se permite encamisar este acero mediante ductos en determinados tramos del elemento. También, el uso complementario de acero de refuerzo para tomar los esfuerzos de tensión excedentes, el cual contribuye para el armado del elemento.

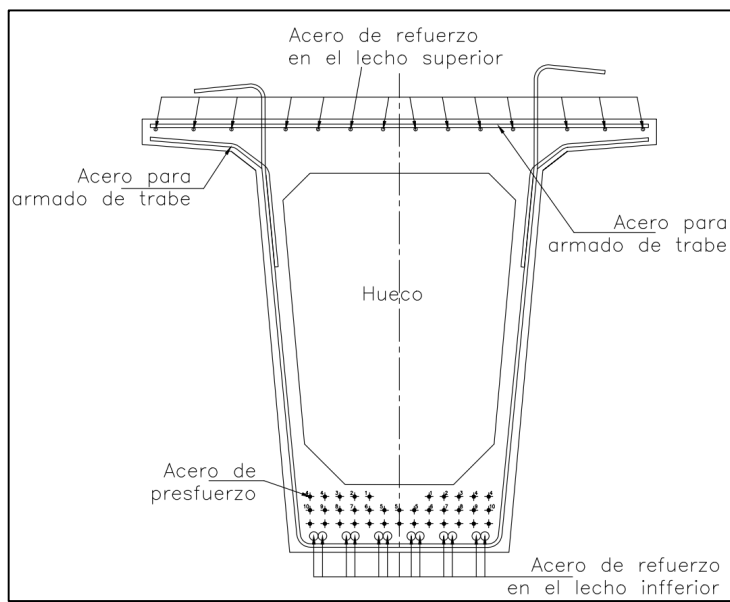


Figura 2.16 Trabajo en conjunto de acero de presfuerzo y refuerzo en trabe sección cajón

Las deflexiones en elementos estructurales, particularmente en el diseño de puentes, se hacen presentes en el desarrollo de las primeras etapas de construcción y montaje. Estas son originadas por cargas de carácter permanente como el peso propio, el efecto del presfuerzo, el peso que aportan tanto la losa como banquetas, guarniciones y parapetos; además, reducen la deformación vertical dada inicialmente al elemento por efecto del tensado en el presfuerzo, y que, al entrar en condiciones de servicio con la aplicación de las cargas vivas y su efecto sobre la estructura, provoca una nueva disminución de su contraflecha original.

La variación de la deflexión generada por la acción del presfuerzo y de las cargas actuantes, se presenta a continuación mediante los diagramas de momento flexionante que origina cada tipo de arreglo en el presfuerzo.

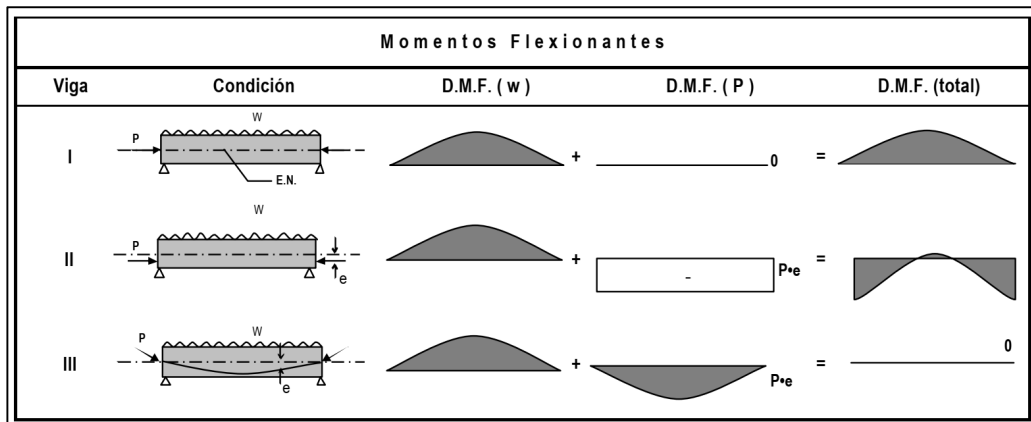


Figura 2.17 Diagramas de momento flexionante por presfuerzo (Figura 2.1, Capítulo 2 ANIPPAC)

De manera particular, el efecto que es generado por la acción del presfuerzo y de las cargas actuantes tanto de fuerzas como de momentos, se determina a partir de las siguientes expresiones:

- Efecto de la fuerza debida al presfuerzo:

$$\frac{P}{A}$$

- Efecto del momento debido a la excentricidad del presfuerzo:

$$\frac{Pe}{I} (y_{i,s})$$

- Efecto del momento debido a la acción de cargas permanentes y vivas:

$$\frac{M}{I} (y_{i,s})$$

En donde:

- P : Es la fuerza de presfuerzo
- A : Es el área efectiva de la sección transversal del elemento
- e : Es la excentricidad del presfuerzo
- I : Es el momento de inercia de la sección transversal del elemento
- $y_{(l,s)}$: Es la profundidad de la fibra a analizar, medida a partir del eje neutro

En conjunto, estas expresiones conforman la expresión matemática conocida como Fórmula de la Escuadrilla, la cual permite determinar el estado de esfuerzos en cualquier sección de un elemento presforzado.

$$\text{FÓRMULA DE LA ESCUADRILLA: } \sigma_{i,s} = \frac{P}{A} \pm \frac{Pe}{I} y_{i,s} \pm \frac{M}{I} y_{i,s}$$

2.3.2 SISTEMAS DE PRESFUERZO

El presfuerzo dentro del campo de la ingeniería estructural se enfoca en generar diseños que sean más eficientes en términos de su comportamiento estructural, permitiendo el empleo de secciones menos robustas y con ello, una reducción en los materiales necesarios para su construcción. Su influencia dentro de la industria de la construcción es de carácter económico, influyendo directamente su disponibilidad.

Los sistemas más comunes para presforzar un elemento estructural son el pretensado y postensado, mismos que permiten una combinación o modificación entre ambos para su implementación. Tal es el caso del sistema de presfuerzo externo que es una variante del sistema de postensado tradicional en donde el presfuerzo se coloca externamente al cuerpo del elemento para posteriormente ser tensado, y que es comúnmente usado en la reforzamiento de estructuras.

La técnica del pretensado permite su aplicación en una planta de elementos prefabricados, presentando la ventaja del abaratamiento de la mano de obra y un mejor control de calidad en su producción. La técnica del postensado se aplica en los casos en que se requiere un elemento estructural que cumpla con características específicas en su desempeño o en su geometría, por lo cual, este sistema involucra la fabricación en sitio de sus elementos.

La transferencia de energía contenida procedente del acero de presfuerzo al elemento de concreto para el sistema de pretensado ocurre cuando se cortan los cables después del colado y fraguado del elemento; en el caso del postensado, ocurre conforme se tensa el acero de presfuerzo por medio de gatos hidráulicos.

2.3.2.1 PRETENSADO

En este sistema de presfuerzo, se requiere disponer de elementos que sirvan como anclajes para el acero de presfuerzo durante el habilitado del acero estructural. Estos anclajes generalmente son bloques de concreto capaces de soportar la fuerza de presfuerzo que es aplicada al acero antes del colado y posterior fraguado del elemento estructural.

El procedimiento aplicado en la técnica del pretensado consiste en tensar el acero de presfuerzo antes del colado y fraguado de un elemento estructural. Esto se logra mediante el anclaje de uno de los extremos del acero en un muerto de concreto, se procede a estirarlo por medio de gatos hidráulicos y se realiza el colado del concreto, con lo cual queda embebido el acero de presfuerzo en el elemento. Una vez que el concreto ha alcanzado la resistencia deseada, que por lo general es entorno a un día, se corta el acero de presfuerzo de sus anclajes para generar la transferencia de la fuerza de tensión original a una fuerza de compresión actuante en el concreto, como un efecto de recuperar su longitud inicial, por medio del fenómeno de adherencia entre ambos materiales.

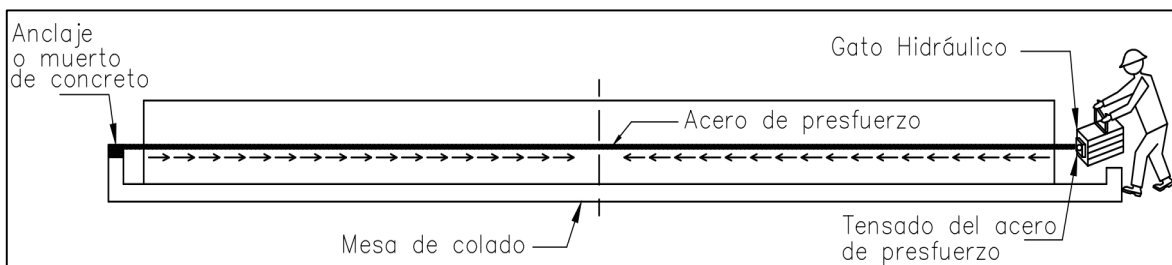


Figura 2.18 Representación del sistema de pretensado para una trabe de puente

La acción del acero de presfuerzo en el concreto es interna con trayectorias generalmente rectas, provocando que la deformación generada sea constante a lo largo del elemento. En resumen, en este sistema la deflexión provocada por el presfuerzo rige en los extremos y la genera por efecto de las cargas en servicio, en el centro.

En las secciones donde el presfuerzo resulta excesivo, tal como se suele presentarse en los extremos de vigas simplemente apoyadas, se debe disminuir el presfuerzo por medio del encamisando del acero o mediante un cambio en su trayectoria, para no provocar esfuerzos excesivos en los extremos.

La mayoría de los elementos pretensados se fabrican en serie dentro de plantas, aplicando una reutilización de moldes metálicos o de concreto para presforzar en una sola operación varios elementos, cuidando que no sea excedida la capacidad de los moldes de tensado y que los elementos sean manejables para su traslado por carreteras y avenidas.

Los elementos pretensados de fabricación más comunes tanto en edificación como en infraestructura son: viguetas, tráves, losas, pilas de puentes, tableros, cascarones, techumbres, reactores nucleares, depósitos para gas, plataformas marítimas, aerogeneradores, entre otros.



Figura 2.19 Proceso de fabricación de elementos pretensados

2.3.2.2 POSTENSADO

En el sistema del postensado de estructuras, se requiere en primer lugar colocar ductos perfectamente fijos en el elemento estructural para alojar el acero de presfuerzo, mismos que son rellenados con mortero o un tipo de lechada especial una vez que el acero de presfuerzo ha sido tensado y anclado; en segundo lugar, un conjunto de sistemas de anclaje para realizar su posterior tensado. En este sentido, se distinguen dos tipos de anclajes:

- *Anclajes Pasivos*: Son aquellos que sirven para fijar el acero de presfuerzo en el concreto, los cuales pueden estar formados por un bloque con perforaciones cilíndricas sobre el que se apoyan mangos roscados sustentados por una placa trasera cilíndrica o por una serie de cordones que se fijan al concreto, ya sea por medio de placas en cada uno de sus extremos o al ser perforados en sus extremos para crear bulbos de adherencia.

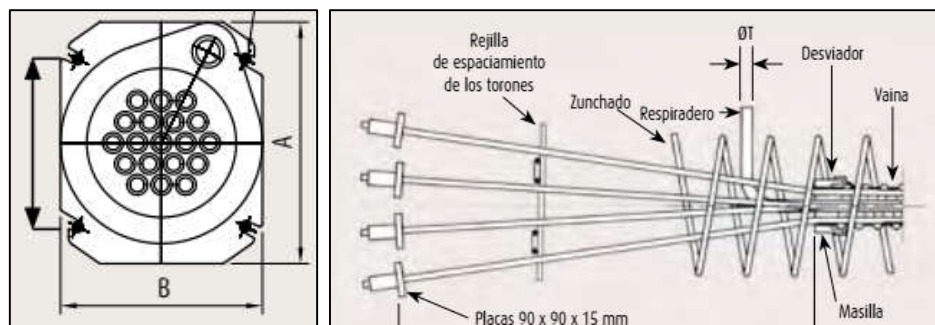


Figura 2.20 Tipos de anclajes pasivos NB y N, Freyssinet

- **Anclajes Activos:** Son aquellos que sirven para realizar el tensado del acero del acero de presfuerzo, los cuales están formados por bloques de acero circulares con perforaciones troncónicas y cuñas, que garantizan un anclaje eficaz ante esfuerzos estáticos y dinámicos.

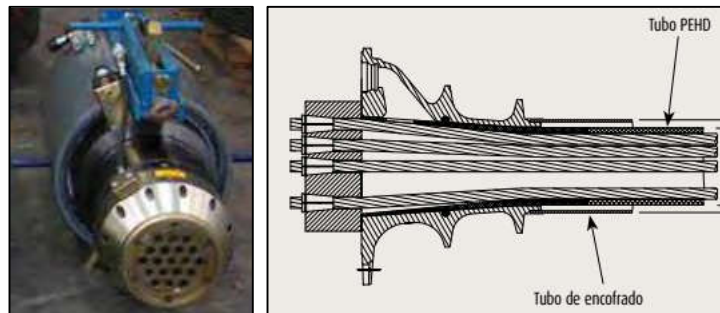


Figura 2.21 Tipos de activos pasivos ADnC15W, Freyssinet

En la técnica del postensado, la acción del presfuerzo sobre el elemento se ejerce externamente por medio de la generación del esfuerzo de compresión derivado del tensado del acero. Las trayectorias del presfuerzo usadas en elementos postensados por lo general son parabólicas, permitiendo variar su excentricidad y con ello, obtener diseños con una mayor eficiencia en elementos hiperestáticos, evitando grandes esfuerzos en los extremos del elemento.

En primer lugar, se inicia enductando y anclando el acero de presfuerzo durante la etapa de armado y cimbrado del elemento en uno de sus extremos mediante el uso de anclajes pasivos, que son dispositivos mecánicos que quedan embebidos en el concreto. Cabe resaltar que el tipo de acero de presfuerzo comúnmente usado en este procedimiento es del tipo de cables, ya que otorgan una mayor área de sección; además, se tiene la posibilidad dar al ducto el perfil que se desee.

En segundo lugar, se realiza el colado del concreto. Una vez que éste ha fraguado y alcanzado su resistencia, se procede a tensar el acero de presfuerzo en el anclaje activo mediante gatos hidráulicos; proceso donde estira, acuña y se retira. Finalmente, se inyecta una mezcla en el ducto que permita generar la adherencia entre acero y concreto, además de servir como protección al acero contra la corrosión y evitar movimientos relativos durante cargas dinámicas.

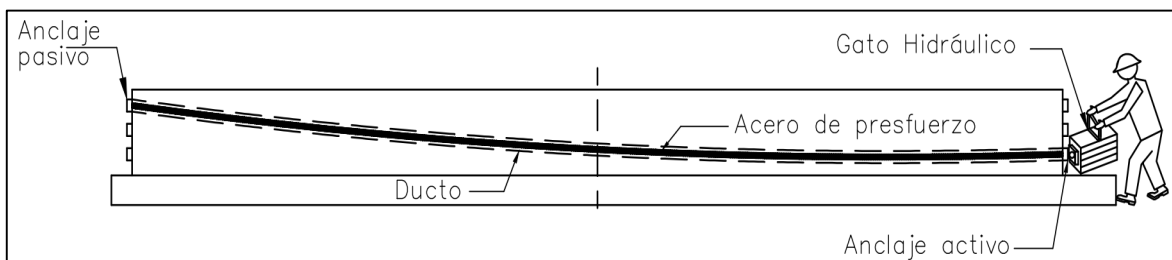


Figura 2.22 Representación del sistema de postensado para una trabe de puente

En este sistema la curvatura de los cables provoca una variación de la deflexión en el elemento estructural, la cual es nula en los apoyos pero que aumenta de manera gradual hacia su centro longitudinal. El mismo efecto es provocado por las cargas en servicio, generando que se contrarresten ambos efectos, disminuyendo o volviendo nula la flecha final. Debe señalarse que también es posible realizar el postensado entre la interacción de dos elementos estructurales como lo son tráves y losas; en particular, para el caso de puentes, esto se realiza mediante bloques de concreto que permiten cambiar su trayectoria y darles continuidad.



Figura 2.23 Proceso de tensado del acero de presfuerzo en tráves postensadas

Existe una amplia gama de sistemas patentados para postensar un elemento y gran parte de ellos trabajan con cuñas o a base de tuercas, permitiendo ser fabricados en planta o en el emplazamiento de la obra, pero poseen la desventaja del costo que implican los dispositivos de anclaje que quedan embebidos en el concreto. Un ejemplo de esto es el sistema desarrollado por la empresa Freyssinet, el cual trabaja con una cuña troncocónica en donde se introduce el acero, posteriormente se estira y es empujado por un pistón en el interior del gato hidráulico, anclándolo.

Entre sus aplicaciones más comunes en el campo de la ingeniería estructural, se encuentra la fabricación de elementos hiperestáticos como lo son dovelas o tráves para puentes, cascarones, tanques de agua, losas de cimentación o soleras de naves industriales, entre otros.



Figura 2.24 Habilitado de acero de presfuerzo y dispositivos de anclaje en losa postensada

2.3.3 PÉRDIDAS EN EL PRESFUERZO

La fuerza en el presfuerzo no permanece constante durante la vida útil de un elemento presforzado, sino que a partir del momento en que es tensado el acero de presfuerzo presenta una disminución debido a diversos factores que actúan en el elemento. Estos cambios se deben a fenómenos físicos que afectan tanto al acero como al concreto y también, por la superposición de cargas a las que se encuentra sometido el elemento estructural.

Esta disminución en la fuerza aplicada al acero se conoce como pérdidas en el presfuerzo, dentro de las cuales se distinguen dos grupos: en primera instancia, se encuentran aquellas que se presentan de manera instantánea al ser tensado el acero; en segunda instancia, se encuentran aquellas que dependen del tiempo, es decir, se desarrollan durante un periodo de la vida útil del elemento. Cabe señalar que existe una interdependencia entre ambos grupos de pérdidas, lo cual debe considerarse al momento de realizar su estimación.

2.3.3.1 PERDIDA INMEDIATAS

Las pérdidas inmediatas o instantáneas son producto de la elasticidad de los materiales, y se conforman por efecto de los siguientes fenómenos:

- *Acortamiento Elástico del Concreto:* Se produce al transmitirse la fuerza de compresión del presfuerzo al concreto, provocando un acortamiento de este material y a su vez, permitiendo que el acero recupere parte de su longitud original disminuyendo con ello su fuerza sobre el elemento.
- *Por Fricción:* Se produce debido a un deslizamiento entre el acero y el material que lo recubre o ancla, ductos u orificios, en el momento de su tensado. Este deslizamiento produce una fuerza de fricción que reduce a la fuerza de tensión ejercida por el gato hidráulico, siendo mayor en elementos postensados que en pretensados.
- *Por Deslizamiento del Anclaje:* Se produce al momento en que es tensado el acero de presfuerzo debido a un deslizamiento entre las cuñas que lo anclan, provocando su relajamiento y una consecuente disminución de fuerza.

2.3.3.2 PERDIDAS DIFERIDAS

Las pérdidas diferidas son producto del comportamiento mecánico que tienen los materiales respecto del tiempo, su rapidez de variación al principio es grande y conforme transcurre la vida útil de la estructura disminuye hasta volverse casi nula, esto ocurre en un periodo entre 5 y 6 años.

Se conforman por efecto de los siguientes fenómenos:

- *Por Flujo Plástico del Concreto:* Este fenómeno representa un cambio en la longitud del elemento considerando que se deforma elásticamente hasta alcanzar un valor constante bajo la acción de una carga, permitiendo que el acero recupere parte de su longitud original y con ello, una pérdida de fuerza en el presfuerzo. Los factores que intervienen en la aparición de este fenómeno son tales como la dosificación del concreto, la humedad relativa del medio ambiente, las condiciones de curado y de la edad del concreto cuando es cargado por primera vez.
- *Por Contracción del Concreto:* Este fenómeno representa un acortamiento del concreto debido a la perdida de humedad cuando éste se seca, originando una reducción en la elongación del presfuerzo y con ello, una reducción en su fuerza. Se presenta a partir de que empieza el fraguado.
- *Por Relajación del Acero:* Este fenómeno es la perdida de esfuerzo a longitud constante en un material, es decir, representa una reducción en la fuerza aplicada al acero de presfuerzo y su magnitud varía dependiendo del tipo y grado del acero. Se presenta tanto en el momento en que termina la transferencia, para elementos pretensados, como en el momento en que actúan las cargas de servicio sobre el elemento.

2.3.4 ESTIMACIÓN DE LAS PÉRDIDAS EN EL PRESFUERZO

La estimación de las perdidas en el presfuerzo se realiza con base en el previo conocimiento de la fuerza de tensado que ha de aplicar el gato hidráulico al acero y su estimación es importante, ya que puede ser de hasta el 30% de la fuerza inicial. En este sentido, su estimación puede hacerse siguiendo uno de los métodos siguientes:

- **ESTIMACIÓN GLOBAL**

Es aplicable en el caso de no contar con la información técnica requerida para su estimación, se permite suponer que tanto perdidas instantáneas como diferidas corresponden a un porcentaje de la fuerza aplicada por el gato hidráulico. En elementos pretensados se pueden suponer que la suma de perdidas varía entre un 20 y 25% esta fuerza; en estructuras postensadas, la suma de pérdidas se supone entre un 25% y 30% de la fuerza inicial. Cabe mencionar que este método puede resultar en un diseño poco conservador

- **ESTIMACIÓN INDIVIDUAL**

Este procedimiento implica determinar de manera individual las pérdidas generadas por cada uno de los fenómenos físicos que se presentan tanto en el acero como en el concreto. En una primera etapa, se determinan las pérdidas instantáneas durante la etapa de transferencia y posteriormente, se determinan las pérdidas diferidas; la suma de ambas da la magnitud total de pérdidas en el presfuerzo.

- **ESTIMACIÓN POR DE INTERVALOS DE TIEMPO**

Este procedimiento está enfocado en estimar las pérdidas en distintos períodos de la vida útil de una estructura con base en la medición de la fuerza del presfuerzo referida a la edad del concreto.

2.3.4.1 PÉRDIDAS POR ACORTAMIENTO ELÁSTICO DEL CONCRETO

El acortamiento elástico del concreto se presenta debido a la compresión axial generada por la tensión en el presfuerzo, variando las expresiones que son usadas para estimarla entre elementos pretensados y postensados.

En la norma **AASHTO LRFD 2020** se proponen dos expresiones, conforme al tipo de presfuerzo empleado en el elemento, para determinar este tipo de pérdidas: la **Eq. 5.9.3.2.3a-1** es usada para elementos pretensados y la **Eq. 5.9.3.2.3b-1** es usada para elementos postensados.

<i>ELEMENTOS PRETENSADOS:</i> $\Delta f_{pES} = \frac{E_p}{E_{ci}} f_{cgp}$

Como expresión alterna para su estimación, se presenta la **Eq. C5.9.3.2.3a-1**:

$\Delta f_{pES} = \frac{A_{ps} f_{pb} (I_g + e_m^2 A_g) - e_m M_g A_g}{A_{ps} (I_g + e_m^2 A_g) + \frac{A_g I_g E_{ci}}{E_p}}$
--

En donde:

- f_{cgp} : Es la sumatoria de las tensiones actuantes en el centro de gravedad del acero de presfuerzo debidas al peso propio del elemento y a la fuerza de presfuerzo inmediatamente después de la transferencia.
- E_p : Es el módulo de elasticidad del acero de presfuerzo
- E_{ci} : Es el módulo de elasticidad del concreto al momento de la transferencia o de aplicación de la carga.

Continua:

- A_{ps} : Área del acero de presfuerzo (in^2).
- A_g : Área bruta de la sección (in^2).
- I_g : Momento de Inercia de la sección bruta (in^4).
- e_m : Promedio de la excentricidad del presfuerzo al centro del claro (in).
- M_g : Momento al centro del claro debido a peso propio (kip-in).

ELEMENTOS POSTENSADOS:	$\Delta f_{pES} = \frac{N - 1}{2N} \frac{E_p}{E_{ci}} f_{cgp}$
-------------------------------	--

Como expresión alterna para su estimación, se presenta la **Eq. C5.9.3.2.3b-1**:

$\Delta f_{pES} = \frac{N - 1}{2N} \frac{\frac{A_{ps} f_{pbt} (I_g + e_m^2 A_g) - e_m M_g A_g}{A_{ps} (I_g + e_m^2 A_g) + \frac{A_g I_g E_{ci}}{E_p}}}{}$

En donde:

- N : Es la número de tendones de acero de presfuerzo idénticos.
- f_{pbt} : Esfuerzo en el acero de presfuerzo antes de la transferencia como se especifica en la tabla 5.9.2.2-1 de la norma.
- f_{cgp} : Es la sumatoria de las tensiones actuantes en el centro de gravedad del acero de presfuerzo debidas al peso propio del elemento y a la fuerza de presfuerzo después del tensado.

Para profundizar en las expresiones propuesta para la estimación de las perdidas por acortamiento elástico del concreto, se recomienda al lector referenciarse al **artículo 5.9.3.2.3 Acortamiento Elástico**.

2.3.4.2 PÉRDIDAS POR FRICCIÓN

La fricción se genera cuando se empieza a tensar el acero de presfuerzo a través de los ductos u orificios, provocando una disminución en la fuerza generada por el gato hidráulico, causando que la fuerza en el extremo anclado es menor.

La norma **AASHTO LRFD 2020** indica que para elementos pretensados las pérdidas por fricción que deben considerarse corresponden a las que puedan presentarse en los dispositivos de anclaje. Para el caso de elementos postensados, se proponen dos expresiones para determinar este tipo de perdidas conforme a la posición del acero en un elemento estructural, interna o externa: la **Eq. 5.9.3.2.2b-1** es usada para acero interno y la **Eq. 5.9.3.2.2b-2** es usada para acero externo.

Pérdidas por fricción generadas por el contacto entre el acero de presfuerzo interno y la pared del ducto:

$$\text{Eq. 5.9.3.2.2b-1} \quad \Delta f_{pF} = f_{pj} \left(1 - e^{-(Kx + \mu\alpha)} \right)$$

Pérdidas por fricción generadas por el acero de presfuerzo externo que pasa a través de un único ducto desviador:

$$\text{Eq. 5.9.3.2.2b-2} \quad \Delta f_{pF} = f_{pj} \left(1 - e^{-\mu(\alpha+0.04)} \right)$$

En donde:

- f_{pj} : Esfuerzo en el acero de presfuerzo al momento del tensado
- e : Base de los logaritmos naturales
- K : Coeficiente de fricción por oscilación del acero (por ft de tendón)
- x : Longitud del acero de presfuerzo medida desde el extremo del gato hidráulico hasta el punto a analizar
- μ : Coeficiente de fricción
- α : Suma de los valores absolutos de la variación angular en el trazo del presfuerzo

Para la determinación de los coeficientes de fricción, la norma propone que sean tomados de la tabla **5.9.3.2.2b-1 Coeficientes de Fricción para Tendones Postensados**. En particular, la norma recomienda usar un coeficiente de fricción (μ) igual a 0.25 para cables formados por 12 torones.

Type of Steel	Type of Duct	K	μ
Wire or strand	Rigid and semirigid galvanized metal sheathing	0.0002	0.15–0.25
	Polyethylene	0.0002	0.23
	Rigid steel pipe deviators for external tendons	0.0002	0.25
High-strength bars	Galvanized metal sheathing	0.0002	0.30

Tabla 2.2 Coeficientes de fricción para acero postensado

Para profundizar en las consideraciones que tiene la norma para tanto para la estimación de perdidas debidas a la fricción como la aplicación de las expresiones propuestas, se recomienda al lector referenciarse al **artículo 5.9.3.2.2 Fricción**.

2.3.4.3 PÉRDIDAS POR DESLIZAMIENTO DEL ANCLAJE

Las pérdidas son provocadas por el movimiento del acero antes de ser acuñado y por el sistema de anclaje que es usado, pudiendo ser a base de tuercas o a base de cuñas. Las pérdidas a base de tuercas están en función de los herrajes del anclaje y por lo general mantienen magnitudes pequeñas, en cambio para el sistema a base de cuñas las pérdidas son importantes debido a que su deslizamiento permite que el acero recupere una parte significativa de su longitud original.

Su estimación cambia respecto al sistema de presfuerzo empleado. En el caso de elementos pretensados el deslizamiento de la cuña de anclaje se reparte en toda la longitud del cable, en donde a mayor longitud la deformación unitaria es menor y, por consiguiente, la perdida. Para elementos postensados, las pérdidas se concentran en los extremos, las cuales disminuyen proporcionalmente con la fricción y se ven flejadas a todo lo largo del elemento.

La norma **AASHTO LRFD 2020** indica que la magnitud del acuñamiento en los anclajes deberá ser la requerida para controlar el esfuerzo en el acero de presfuerzo al momento de la transferencia, la cual depende directamente del sistema de presfuerzo empleado. Además, presenta una recomendación del valor que debe tener el acuñamiento comprendido entre 3 mm y 10 mm, en donde un valor de 6 mm es de uso común en la práctica.

Para profundizar en las recomendaciones dadas por la norma respecto a los acuñamientos recomendados, se recomienda al lector referenciarse al **artículo 5.9.3.2.1 Acuñamiento de Anclajes de la norma AASHTO LRFD 2020**.

2.3.4.4 PÉRDIDAS POR FLUJO PLÁSTICO DEL CONCRETO

El flujo plástico en el concreto se presenta de una manera casi lineal por la deformación del concreto ante la acción de cargas sostenidas, interviniendo en su aparición factores de su fabricación y condiciones de servicio. La fluencia del concreto ante cargas permanente se encuentra dentro del orden de 0.5 a 4 veces de su acortamiento elástico.

La norma **AASHTO LRFD 2020** indica que estas pérdidas deben estimarse para dos etapas desde la fabricación hasta la puesta en servicio de un elemento presforzado: la primera etapa se considera a partir del momento en que se realiza la transferencia del esfuerzo de tensado al concreto hasta que es colado el sistema de piso como lo es una losa; en la segunda etapa, se inicia en el momento en que es terminado el sistema de piso hasta el momento en que termina de fluir plásticamente el concreto.

En la primera etapa, la norma recomienda el uso de la **Eq. 5.9.3.4.2b-1** para determinar las pérdidas.

PRIMERA ETAPA:

$$\Delta f_{pCR} = \frac{E_p}{E_{ci}} f_{cgp} \psi_b(t_d, t_i) K_{id}$$

En la segunda etapa, la norma recomienda el uso de la **Eq. 5.9.3.4.3b-1** para determinar las pérdidas.

SEGUNDA ETAPA: $\Delta f_{pCD} = \frac{E_p}{E_{ci}} f_{cgp} [\psi_b(t_f, t_i) - \psi_b(t_d, t_i)] K_{df} + \frac{E_p}{E_c} \Delta f_{cd} \psi_b(t_f, t_d) K_{df}$

En donde:

- f_{cgp} : Es la sumatoria de las tensiones actuantes en el centro de gravedad del acero de presfuerzo debidas a la fuerza de presfuerzo en el momento de la transferencia.
- E_p : Es el módulo de elasticidad del acero de presfuerzo.
- E_{ci} : Es el módulo de elasticidad del concreto al momento de la transferencia o de aplicación de la carga.
- $\psi_b(t_f, t_i)$: Coeficiente de fluencia al momento final de la transferencia.
- K_{id} : Coeficiente de la sección transformada que considera la adherencia entre acero y concreto durante la primera etapa.
- t_f : Edad final del concreto, se mide en días.
- t_i : Edad del concreto al momento de la transferencia, se mide en días.
- t_d : Edad del concreto al momento de la colocación del sistema de piso, se mide días.
- Δf_{cd} : Es la variación del esfuerzo en el concreto, en el centroide del acero de presfuerzo, debido a las pérdidas generadas en la primera etapa más el efecto del peso propio y las cargas en servicio.
- $\psi_b(t_f, t_d)$: Coeficiente de fluencia debido a la aplicación de las cargas de servicio en el sistema de piso.

Cabe mencionar, que el coeficiente de fluencia puede obtenerse de manera detallada con base en la **Eq. 5.4.2.3.2.-1** del **artículo 5.4.2.3.2 – Fluencia** que presenta la norma. Para elementos postensados construidos por segmentos, se recomienda tomar igual a cero las pérdidas referentes a la primera etapa.

Para profundizar en la estimación de las pérdidas debidas a la fluencia plástica del concreto, se recomienda al lector referirse a los **artículos 5.9.3.4.2b** y **5.9.3.4.3b – Fluencia en una Trabe de Concreto** del norma **AASHTO LRFD 2020**.

2.3.4.5 PÉRDIDAS POR CONTRACCIÓN DEL CONCRETO

Las pérdidas por contracción del concreto se generan debido a la pérdida de humedad en este material, generando una disminución en la deformación del acero de igual magnitud y con ello, una disminución en el esfuerzo generado por el acero. Estas pérdidas varían en magnitud dependiendo del sistema de presfuerzo empleado debido a que para elementos postensados la contracción en el concreto es menor a la que se presenta en elementos pretensados, esto se debe a que gran parte de la contracción ya se ha presentado antes del momento de la realización del tensado del acero.

La norma **AASHTO LRFD 2020** indica que estas pérdidas deben estimarse para las mismas etapas de la vida útil de un elemento presforzado citadas en la estimación de las pérdidas por flujo plástico, a partir la transferencia de esfuerzos hasta que es colado el sistema de piso y desde este punto hasta que se desarrollan por completo en condiciones de servicio.

La norma propone el uso de las **Eq. 5.9.3.4.2b-1** y **Eq. 5.9.3.4.2a-2** para estimar las pérdidas por contracción del concreto durante la primera etapa.

$$\boxed{\text{PRIMERA ETAPA: } \Delta f_{pSR} = \varepsilon_{bid} E_p K_{td}}$$

En donde el coeficiente correspondiente a la sección transformada (K_{id}) se determina con base en la **Eq. 5.9.3.4.2a-2**.

$$\boxed{K_{id} = \frac{1}{1 + \frac{E_p A_{ps}}{E_{ci} A_g} \left(1 + \frac{A_g e_{pg}^2}{I_g} \right) [1 + 0.7\psi_b(t_f, t_i)]}}$$

La norma propone el uso de la **Eq. 5.9.3.4.2b-1** para estimar las pérdidas por contracción del concreto durante la primera etapa.

$$\boxed{\text{SEGUNDA ETAPA: } \Delta f_{pSD} = \varepsilon_{bd} E_p K_{df}}$$

En donde el coeficiente correspondiente a la sección transformada (K_{df}) se determina con base en la **Eq. 5.9.3.4.2a-2**.

$$\boxed{K_{df} = \frac{1}{1 + \frac{E_p A_{ps}}{E_{ci} A_g} \left(1 + \frac{A_g e_{pc}^2}{I_c} \right) [1 + 0.7\psi_b(t_f, t_i)]}}$$

En donde:

- ε_{bid} : Deformación unitaria por contracción del concreto en la primera etapa.
- e_{pg} : Excentricidad de la fuerza del presfuerzo respecto del centroide de la trabe o elemento.
- ε_{bdf} : Deformación unitaria por contracción del concreto en la segunda etapa.
- A_c : Área de la sección compuesta.
- I_c : Momento de inercia de la sección compuesta.
- e_{pc} : Excentricidad de la fuerza del presfuerzo respecto del centroide de la sección compuesta.

En el caso de no tener la información requerida para la estimación detallada de los coeficientes de contracción en el concreto, la norma indica que pueden ser tomados valores de 0.0002 y 0.0005 para 28 días y 1 año, respectivamente.

Para profundizar en la estimación de las pérdidas por contracción del concreto, se recomienda al lector referenciarse a los **artículos 5.9.3.4.2a** y **5.9.3.4.3a Contracción en Trabes de Concreto**. El tema de contracción del concreto puede ampliarse si se consulta el artículo **5.4.2.3 Fluencia y Contracción**.

2.3.4.6 PÉRDIDAS POR RELAJACIÓN DEL ACERO

En este fenómeno las pérdidas en el presfuerzo se consideran que el acero se mantiene esforzado con una longitud constante, presentándose un relajamiento en este material debido a la intensidad del esfuerzo de tensado, el tiempo transcurrido y la temperatura a la que son expuestos, distinguiéndose entre elementos pretensados de los postensados. La mayor parte de las pérdidas por relajamiento ocurren antes de que sea colocado el sistema de piso, posterior a esto, las pérdidas

La norma **AASHTO LRFD 2020** indica que la estimación de las pérdidas por el relajamiento del acero de presfuerzo debe realizarse para la etapa que comprende el tensado y colocación del sistema de piso, así como de la puesta en operación del elemento.

La norma propone la **Eq. 5.9.3.4.2c-1** para estimar las pérdidas por relajación en el acero de presfuerzo durante la primera etapa.

$$\text{PRIMERA ETAPA: } \Delta f_{pR1} = \frac{f_{pt}}{K_L} \left(\frac{f_{pt}}{f_{py}} - 0.55 \right)$$

Para la segunda etapa, la norma propone la **Eq. 5.9.3.4.3c-1** para estimar las pérdidas por relajación en el acero de presfuerzo durante la segunda etapa.

$$\text{SEGUNDA ETAPA: } \Delta f_{pR2} = \Delta f_{pR1}$$

En donde:

- Δf_{pR1} : Es el esfuerzo en el acero de presfuerzo inmediatamente después de la transferencia, el cual no debe ser tomado menor a 0.55 de su esfuerzo de fluencia.
- K_L : Factor que va de acuerdo con el tipo de acero de presfuerzo usado, se permite tomar valores de 30 para aceros de baja relajación y 7 para otro tipo de acero, en caso de que información más precisa del fabricante no se encuentre disponible.

Para profundizar en el tema de la estimación de pérdidas por relajación del acero de presfuerzo, se recomienda al lector referirse a los **artículos 5.9.3.4.2c y 5.9.3.4.3c Relajación del Presfuerzo** de la norma **AASHTO LRFD 2020**.

2.3.5 OTRAS EXPRESIONES USADAS PARA ESTIMAR LAS PÉRDIDAS

Además de las expresiones propuestas en la norma AASHTO LRFD 2020 existen otro grupo de expresiones que son de uso común en la práctica, las cuales están desarrolladas con base en la teoría de mecánica de materiales y ofrecen resultados satisfactorios para estimar las pérdidas en el presfuerzo.

2.3.5.1 PÉRDIDAS POR ACORTAMIENTO ELÁSTICO DEL CONCRETO

En el Manual de Diseño de Estructuras Prefabricadas y Presforzadas del ANIPPAC 2018, se presentan dos expresiones para estimar estas pérdidas de acuerdo con el sistema de presfuerzo empleado en el elemento.

$$\text{ELEMENTOS PRETENSADOS: } \Delta AE = \frac{E_{sp}}{E_{ci}} f_{cgp}$$

Para la expresión anterior, el módulo de elasticidad del concreto en la transferencia debe obtenerse con base en la siguiente expresión:

$$E_{ci} = \frac{\gamma_c^{3/2}}{7.3} \sqrt{f'_{ci}}$$

En elementos postensados que utilizan varios tendones, se propone la siguiente expresión

$$\text{ELEMENTOS POSTENSADOS: } \Delta AE = \frac{\frac{N-1}{2N} \frac{E_{sp}}{E_{ci}}}{\frac{N}{2N}} f_{cgp}$$

En donde:

- f_{cgp} : Es la suma de los esfuerzos en el centro de gravedad del presfuerzo debidos al peso propio y a la fuerza de presfuerzo inmediatamente después de la transferencia, en las secciones de máximo momento.

Continua:

- E_{sp} : Es el módulo de elasticidad del acero de presfuerzo.
- E_{ci} : Es el módulo de elasticidad del concreto en la transferencia.
- N : Es el número de tendones idénticos.

En igual forma, se proponen otro grupo de expresiones para estimar las pérdidas por acortamiento elástico del concreto conforme al sistema de presfuerzo empleado, las cuales se diferencian por ser simplificaciones de las expresiones antes presentadas, pero que dan buenos resultados en la práctica.

Para el sistema de elementos pretensados, se puede presentar dos casos: el primer caso involucra que los cables se aflojen simultáneamente y el segundo caso, que los cables se aflojen una a la vez.

$$\text{PRIMER CASO: } \Delta f_{ela} = n_{ci} f_c$$

Donde:

$$n_{ci} = \frac{E_p}{E_{ci}}$$

$$f_c = -\frac{P_i}{A_c} \left(1 + \frac{e^2}{r^2} \right) + \frac{M_0 e}{I_c}$$

$$E_{ci} = 15,100 \sqrt{f'_c} \text{ (kg/cm}^2\text{)}$$

- P_i : Se considera como 0.9 de la fuerza ejercida por el gato hidráulico.

Para el segundo caso, el primer cable es el que más pérdidas experimenta pues cada vez que se aflojan los siguientes cables el concreto se acortara haciendo que tienda a recuperar su longitud original, el ultimo cable es el que menos pérdidas presenta. La expresión permite determinar la pérdida del cable n y se recomienda empezar por el ultimo.

$$\text{SEGUNDO CASO: } \Delta f_{ela} = n_{ci} \left[-\frac{f_{pn} A_{pm}}{A_c} \left(1 + \frac{e_n^2}{r^2} \right) - \sum_{k=n+1}^n \frac{f_{pk} A_{pk}}{A_c} \left(1 + \frac{e_k e_n}{r^2} \right) + \frac{M_0 e}{I_c} \right]$$

Para elementos postensados se presenta el uso de la siguiente expresión:

$$\text{ELEMENTOS POSTENSADOS: } \Delta f_{ela} = n_{ci} \left[- \sum_{k=n+1}^n \frac{f_{pk} A_{pk}}{A_c} \left(1 + \frac{e_k e_n}{r^2} \right) + \frac{M_0 e}{I_c} \right]$$

En la práctica, se tiene una buena aproximación al estimar las pérdidas por acortamiento elástico del concreto con las expresiones siguientes:

$$\text{PARA TRABES: } \Delta f_{ela} = \frac{1}{2} n_{ci} f_c$$

$$\text{PARA LOSAS: } \Delta f_{ela} = \frac{1}{4} n_{ci} f_c$$

En donde:

- f_{pn} : Es el esfuerzo en el cable después de perdidas por deslizamiento de cuñas y relajamiento del acero
- A_{pn} : Área del cable de acero de presfuerzo
- f_{pk} : Es el esfuerzo en los demás cables después de perdidas por deslizamiento de cuñas y relajamiento del acero
- A_{pk} : Área de la sección de cada uno de los demás cables
- e: Excentricidad de los cables de presfuerzo
- A_c : Área de la sección de concreto
- r: Es el radio de giro de la sección de concreto

2.3.5.2 PÉRDIDAS POR FRICCIÓN

Está dada por la expresión siguiente:

$$\text{ANIPPAC: } \Delta FR = f_{pj} (1 - e^{-(Kx + \mu\alpha)})$$

Uso de la tabla 2.3 para tomar los valores correspondientes a los coeficientes de fricción primaria y secundaria.

Cables dentro de una camisa metálica inyectada con lechada, formados por	K (1/m)	μ (1/rad)
Alambres	0.001 a 0.005	0.15 a 0.25
Barras de alta resistencia	0.0001 a 0.002	0.08 a 0.30
Torones de siete alambres	0.0005 a 0.0065	0.15 a 0.25
Alambre y torones de siete alambres no adheridos	cubiertos con resina Preengrasados	0.0010 a 0.0020 0.0003 a 0.0020
		0.05 a 0.15 0.05 a 0.15

Tabla 2.3 Coeficientes de fricción para acero postensado

De la expresión anterior, se entiende la siguiente expresión propuesta por el ACI para determinar el esfuerzo ya reducido por la fricción en el acero:

$$\text{ACI: } f_{pB} = f_{pA} * e^{-(Kx + \mu\alpha)}$$

En donde:

- f_{pj} : Es el esfuerzo en el acero al tensarlo (kg/cm^2).
- x: Es la distancia medida desde el anclaje hasta el punto a analizar (m).
- K: Es el coeficiente de fricción secundario o de deformación no intencional (1/m).
- μ : Es el coeficiente de fricción primario por curvatura intencional (1/m).
- α : Es la suma de los valores absolutos de la variación angular en la trayectoria del presfuerzo desde el anclaje hasta el punto a analizar (rad).
- f_{pA} : Es el esfuerzo en el acero en el punto A.
- f_{pB} : Es el esfuerzo en el acero en el punto B.

2.3.5.3 PÉRDIDAS POR DESLIZAMIENTO DEL ANCLAJE

Está dada por la siguiente expresión:

$$ANIPPAC: \Delta DA = \frac{\delta l}{L} E_{sp}$$

En donde:

- L : Es la longitud del tendón.
- E_{sp} : Es el módulo de elasticidad del acero de presfuerzo.
- δl : Es el deslizamiento el cual debe ser entregado por el fabricante. generalmente está comprendido entre 1 mm a 10 mm.

En el ACI se proponen las siguientes expresiones para determinar las perdidas por deslizamiento de cuñas en elementos postensados:

$$\Delta f_{po} = 2\beta x$$

$$\Delta f_{pA} = 2\beta(x - \frac{L}{4})$$

$$\Delta f_{pB} = 2\beta(x - \frac{L}{2})$$

$$\Delta f_{pC} = 2\beta(x - \frac{3L}{4})$$

$$\beta = \frac{(f_{pj} - f_{pB})}{(\frac{L}{2})}$$

$$x = \sqrt{\frac{\Delta 1 * E_p}{\beta}}$$

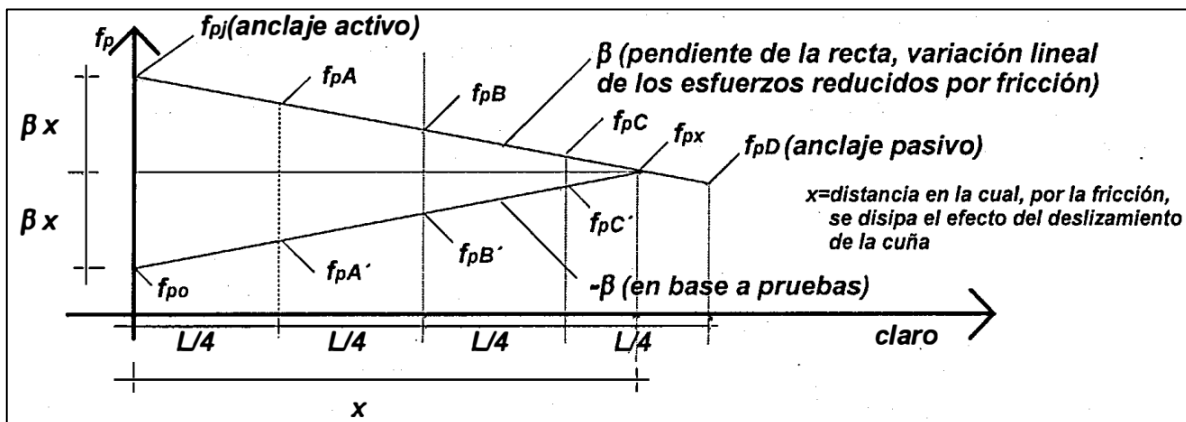


Figura 2.25 Esquema de las pérdidas de esfuerzo en el presfuerzo de un elemento postensado

En el caso de x sea mayor que el claro del elemento ocurre cuando la viga es muy corta o cunado la fricción es muy pequeña, implicando que el deslizamiento de la cuña sea en toda la longitud del elemento.

La deformación promedio es igual al deslizamiento de la cuña por la longitud total del elemento, resultando de esta forma en la expresión propuesta por el ANIPPAC que es la expresión comúnmente usada para elementos pretensados.

$$\Delta f_{des} = \frac{\Delta l}{L} E_{sp}$$

En donde:

- L : Es la longitud del tendón
- E_{sp} : Es el módulo de elasticidad del acero de presfuerzo
- δl : Es el deslizamiento el cual debe ser entregado por el fabricante generalmente está comprendido entre 1 mm a 10 mm.
- Δl : Es el deslizamiento de la cuña.

2.3.5.4 PÉRDIDAS POR RELAJACIÓN INSTANTÁNEA

Están dadas por la siguiente expresión para acero de baja relajación:

$$ANIPPAC: \Delta RE_i = \frac{\log(t)}{40} \left(\frac{f_{pj}}{f_{py}} - 0.55 \right) f_{pj}$$

A partir de esta expresión es posible determinar el esfuerzo en ambas etapas de ocurrencia de perdidas instantáneas:

$$\text{EN EL TENSADO: } f_{rel}(t_0) = [1 - \frac{\log(t)}{40} \left(\frac{f_{pj}}{f_{py}} - 0.55 \right)] f_{pj}$$

$$\text{EN LA TRANSMISIÓN: } \Delta f_{rel} = -\frac{\log(t)}{40} \left(\frac{f_{pj}}{f_{py}} - 0.55 \right) f_{pj}$$

En donde:

- t : Es el tiempo estimado en horas desde el tensado hasta la transferencia
- f_{pj} : Es el esfuerzo en el acero al final del tensado (kg/cm²)
- f_{py} : Es el esfuerzo de fluencia del acero de presfuerzo (0.9fpu)

2.3.5.5 PÉRDIDAS POR FLUJO PLÁSTICO DEL CONCRETO

Esta dada por la siguiente expresión:

$$\text{AASHTO: } \Delta FP = 12f_{cgp} - 7f_{cds} \geq 0$$

En tanto, el ACI propone el uso de la siguiente expresión:

$$\text{ACI: } \Delta FP = nK_{CR}(f_{cgp} - f_{cds})$$

En donde:

- f_{cgp} : Es la suma de los esfuerzos en el centro de gravedad del presfuerzo debidos al peso propio y a la fuerza de presfuerzo inmediatamente
- f_{cds} : Es el esfuerzo en la sección a la altura de su centro de gravedad de los torones bajo la acción de cargas muertas aplicadas después del tensado
- n : Es la relación modular entre acero y concreto
- K_{CR} : Coeficiente de flujo plástico con valores de 2 para concreto normal y 1.6 para concreto ligero

Otra expresión presentada por el ACI-AISCE es la siguiente:

$$\Delta f_{fpc} = C_u n_p f_{ci}$$

En donde el coeficiente de flujo plástico varia para elementos pretensados y postensados con valores parecidos a los dados para los diferentes tipos de concreto.

ELEMENTOS PRETENSADOS: $C_u = 2.00$

ELEMENTOS POSTENSADOS: $C_u = 1.60$

2.3.5.6 PÉRDIDAS POR CONTRACCIÓN DEL CONCRETO

Está dada por la siguiente expresión:

$$NTC: \Delta CC = \varepsilon_c E_p$$

Con base en lo establecido en la norma del AASHTO ESTÁNDAR (2002):

ELEMENTOS PRETENSADOS: $\Delta CC = 1193 - 10.5H$

ELEMENTOS POSTENSADOS: $\Delta CC = 954 - 8.4H$

Donde se utiliza la tabla 2.4 del ANNIPAC donde se indica el porcentaje de humedad relativa correspondiente al tipo de clima que predomina en la zona.

Tipo de clima	H (%)
Muy húmedo	90
Humedad intermedia	70
Seco	40

Tabla 2.4 Porcentaje de humedad conforme el tipo de clima

Por su parte, el manual PCI considera la humedad, la relación volumen-superficie del elemento y el valor de la deformación del concreto propone la siguiente expresión:

$$PCI: \Delta CC = 8.2 \times 10^{-6} K_{sh} E_{sp} \left(1 - 0.024 \frac{V}{S}\right) (100 - H)$$

Los valores del coeficiente K_{sh} está en función del periodo de tiempo comprendido desde el término del curado hasta la aplicación del tensado al presfuerzo, para elementos postensados se obtienen de la tabla 2.5

días	1	3	5	7	10	20	30	60
K_{sh}	0.92	0.85	0.80	0.77	0.73	0.64	0.58	0.45

Tabla 2.5 Valores del coeficiente K_{sh}

En donde:

- H : Es la humedad relativa anual promedio en porcentaje
- ε_c : Es la deformación unitaria del concreto
- V/S : Es la relación volumen sobre superficie
- K_{sh} : Coeficiente que varía entre elementos pretensados y postensados
- f_{cds} : Es el esfuerzo en la sección a la altura de su centro de gravedad de los torones bajo la acción de cargas muertas aplicadas después del tensado

Otras expresiones para estimar estas pérdidas cuando no se dispone de información específica dependiendo del tipo de curado que ha tenido el concreto

$$\text{CURADO CON HUMEDAD: } \Delta f_{sh} = 800 \times 10^{-6} E_p$$

$$\text{CURADO CON VAPOR: } \Delta f_{sh} = 730 \times 10^{-6} E_p$$

2.3.5.7 PÉRDIDAS POR RELAJACIÓN DEL ACERO

Se pueden estimar con base en las expresiones siguientes:

>Para elementos pretensados se usa la expresión

$$\text{ELEMENTOS PRETENSADOS: } \Delta RE_d = 1406 - 0.4 \Delta AE - 0.2(\Delta CC + \Delta FP)$$

>Para elementos postensados se usa la expresión:

$$\text{ELEMENTOS POSTENSADOS: } \Delta RE_d = 1406 - 0.3 \Delta FR - 0.4 \Delta AE - 0.2(\Delta CC + \Delta FP)$$

En donde:

- ΔAE : Es la pérdida en el presfuerzo debido al acortamiento elástico
- ΔCC : Es la pérdida en el presfuerzo debida a la contracción del concreto
- ΔFP : Es la pérdida en el presfuerzo debido al flujo plástico del concreto
- ΔFR : Es la pérdida en el presfuerzo debido a la fricción

Expresiones para determinar este tipo de pérdidas de acuerdo con el sistema de presfuerzo usado, pretensada o postensada para aceros de baja relajación

$$\text{ELEMENTO PRETENSADO: } \Delta f_{rel} = 0.9 f_{pi} \left(\frac{\log(t_f) - \log(t_i)}{45} \right) \left(\frac{0.9 f_{pi}}{f_{py}} - 0.55 \right)$$

$$\text{ELEMENTO POSTENSADO: } \Delta f_{rel} = 0.9 f_{pi} \left(\frac{\log(t)}{45} \right) \left(\frac{0.9 f_{pi}}{f_{py}} - 0.55 \right)$$

En donde:

- t_f : Es el tiempo final, en horas.
- t_i : Es el tiempo en la transferencia, en horas.

2.3.6 DETERMINACIÓN DE LOS ESFUERZOS

Para determinar los esfuerzos se emplea la ecuación de la escuadrilla:

$$f = \frac{P}{A} + \frac{P * e}{I} y_{s,i} + \frac{M}{I} y_{s,i}$$

Donde:

- P: Es la fuerza de presfuerzo con signo negativo debido a que es de compresión.
- A: Área de la sección transversal considerada.
- e: Excentricidad del presfuerzo
- I: Momento de inercia de la sección transversal considerada.
- y: Profundidad a la fibra a analizar medida a partir del eje neutro.
- M: Momento generado por las cargas actuantes sobre el elemento.

2.3.6.1 ESFUERZOS EN LA TRANSFERENCIA

La transferencia se entiende como la acción de la fuerza que ejerce el presfuerzo sobre el concreto, es decir, es el periodo que comprende el cortado de tendones para elementos pretensados o la liberación de la fuerza de tensión ejercida por el gato hidráulico en elementos postensados; en ambos casos se transfiere la fuerza original de tensión en el acero a una fuerza de compresión en el concreto dando origen a las pérdidas instantáneas, en general, se consideran tanto la acción del peso propio, el presfuerzo como las pérdidas instantáneas para determinar los esfuerzos.

2.3.6.2 ESFUERZOS EN SERVICIO

La condición de servicio involucra el trabajo en conjunto de los elementos que conforman la superestructura, es decir, se consideran las características geométricas que la sección compuesta aporta para su resistencia ante las solicitudes de su puesta en servicio (total de cargas permanentes, total de cargas vivas e impacto, total de pérdidas). Resulta conveniente limitar los esfuerzos que son permitidos tanto en el concreto como en el acero para evitar que se presenten agrietamientos excesivos o pérdidas importantes de fuerza en el presfuerzo.

2.3.6.3 ESFUERZOS PERMISIBLES EN EL CONCRETO

Los esfuerzos permisibles en el concreto se presentan de compresión y tensión, en este sentido se presentan los límites que propone la norma AASHTO en su artículo 5.9.2.3 – Límites de Esfuerzos para el Concreto.

>Esfuerzos de compresión antes de pérdidas

- Esfuerzo de compresión: **0.65 f'_{ci}**

>Esfuerzos de compresión después de pérdidas

Para los esfuerzos de compresión después de pérdidas o en estado de servicio se recomienda tomar los límites siguientes en donde la magnitud de ϕ_w se toma con base en el **artículo 5.6.4.7.2**.

Location	Stress Limit
• Due to the sum of effective prestress and permanent loads	$0.45 f'_{ci}$ (ksi)
• Due to the sum of effective prestress, permanent loads, and transient loads as well as during shipping and handling	$0.60 \phi_w f'_{ci}$ (ksi)

Tabla 2.6 Esfuerzos permisibles en el concreto después de pérdidas

2.3.6.4 ESFUERZOS PERMISIBLES EN EL ACERO DE PRESFUERZO

Los esfuerzos de tensión que se permite en el acero de presfuerzo se especifican en el **artículo 5.9.2.2 – Limitaciones de Esfuerzos para el Acero de Presfuerzo de la norma AASHTO**, a su vez, se recomienda que consultar con el fabricante sus límites recomendados o el **capítulo 2.7.1.2 Esfuerzos Permisibles en el Presfuerzo del Manual del ANIPPAC**.

Condition	Tendon Type		
	Plain High-Strength Bars	Low Relaxation Strand	Deformed High-Strength Bars
Pretensioning			
Immediately prior to transfer (f_{pbt})	$0.70 f_{pu}$	$0.75 f_{pu}$	—
At service limit state after all losses (f_{pe})	$0.80 f_{py}$	$0.80 f_{py}$	$0.80 f_{py}$

Tabla 2.7a Esfuerzos permisibles en el acero de presfuerzo para elementos pretensados

Post-Tensioning			
Prior to seating—short-term f_{pbt} may be allowed	$0.90f_{py}$	$0.90f_{py}$	$0.90f_{py}$
At anchorages and couplers immediately after anchor set	$0.70f_{pu}$	$0.70f_{pu}$	$0.70f_{pu}$
Elsewhere along length of member away from anchorages and couplers immediately after anchor set	$0.70f_{pu}$	$0.74f_{pu}$	$0.70f_{pu}$
At service limit state after losses (f_{pe})	$0.80f_{py}$	$0.80f_{py}$	$0.80f_{py}$

Tabla 2.7b Esfuerzos permisibles en el acero de presfuerzo para elementos postensados

Para la condición de servicio o después de pérdidas, la norma recomienda utilizar en su **artículo 5.9.2.3.2b** los límites de la siguiente tabla:

Bridge Type	Location	Stress Limit
Other Than Segmentally Constructed Bridges	Tension in the Precompressed Tensile Zone, Assuming Uncracked Sections	
These limits may be used for normal weight concrete with concrete compressive strengths for use in design up to 15.0 ksi and lightweight concrete up to 10.0 ksi.	<ul style="list-style-type: none"> For components with bonded prestressing tendons or reinforcement that are subjected to not worse than moderate corrosion conditions For components with bonded prestressing tendons or reinforcement that are subjected to severe corrosive conditions For components with unbonded prestressing tendons 	$0.19\lambda\sqrt{f'_c} \leq 0.6$ (ksi) $0.0948\lambda\sqrt{f'_c} \leq 0.3$ (ksi) No tension
Segmentally Constructed Bridges	Longitudinal Stresses through Joints in the Precompressed Tensile Zone	
	<ul style="list-style-type: none"> Joints with minimum bonded auxiliary reinforcement through the joints sufficient to carry the calculated longitudinal tensile force at a stress of $0.5f_y$; internal tendons or external tendons Joints without the minimum bonded auxiliary reinforcement through joints 	$0.0948\lambda\sqrt{f'_c} \leq 0.3$ (ksi) No tension
	Transverse Stresses	
	<ul style="list-style-type: none"> Tension in the transverse direction in precompressed tensile zone 	$0.0948\lambda\sqrt{f'_c} \leq 0.3$ (ksi)
	Stresses in Other Areas	
	<ul style="list-style-type: none"> For areas without bonded reinforcement In areas with bonded reinforcement sufficient to resist the tensile force in the concrete computed assuming an uncracked section, where reinforcement is proportioned using a stress of $0.5f_y$, not to exceed 30.0 ksi 	No tension $0.19\lambda\sqrt{f'_c}$ (ksi)

Tabla 2.8 Esfuerzos permisibles en el acero de presfuerzo después de pérdidas

2.3.7 ETAPAS DE REVISIÓN DE LOS ESFUERZOS

Los esfuerzos deben calcularse para cada una de las cargas que actúan, las cuales se distinguen en dos etapas de acuerdo con su aplicación sobre el elemento estructural.

2.3.7.1 PRIMERA ETAPA

Esta se caracteriza por mantener los esfuerzos en el concreto dentro de su rama elástica, por tal motivo, los esfuerzos para la acción de las siguientes cargas:

- Peso propio del elemento
- Presfuerzo inicial
- Pérdidas instantáneas
- Peso de losa

2.3.7.2 SEGUNDA ETAPA

En la segunda etapa los esfuerzos generados llevan al concreto a su rama plástica involucrando la acción de mayores solicitudes en el elemento estructural, en este sentido, los esfuerzos deben calcularse para las cargas siguientes:

- Total de carga muerta
- Pérdidas totales
- Cargas vivas
- Total de cargas en servicio
- Cargas últimas

2.3.8 CÁLCULO DE LAS DEFLEXIONES

Por medio del empleo de presfuerzo se puede controlar la deflexión generada por efecto de las cargas actuantes en elementos de concreto y acero, mediante la fuerza aplicada al tensar los cables o torones, la cual genera una contraflecha inicial en el elemento; es posible llegar a tener deflexiones nulas en condiciones de servicio dependiendo del análisis de presfuerzo realizado.

Las deflexiones se producen debido a los efectos generados tanto en la primera como en la segunda etapa de aplicación de las cargas, en donde se debe considerar el efecto que tiene el flujo plástico en el concreto en la condición de servicio.

En este sentido, la estimación de las deflexiones para un elemento presforzado corresponde a la suma de las deformaciones por períodos de tiempo tomando en cuenta los cambios en los cambios en las propiedades del concreto y del acero, la variación de las cargas, así como las pérdidas de fuerza en el presfuerzo. Cabe resaltar que generalmente las deflexiones se analizan para el centro del claro de todo elemento presforzado pero que pueden determinarse para cualquier punto de éste.

2.3.8.1 DEFLEXIONES INMEDIATAS

Corresponden a la etapa de transferencia involucrando la suma de la deflexión generada por el presfuerzo inicial incluyendo perdidas mas la deflexión generada por el peso propio generalmente es hacia arriba.

>*Deflexión por Presfuerzo Inicial*

$$\text{Presfuerzo con geometría parabólica: } \Delta_{pi} = \frac{5P_i e L^2}{48EI}$$

>*Deflexión por peso propio*

$$\Delta_{PoPo} = \frac{5\omega_{PoPo} L^4}{384EI}$$

2.3.8.2 DEFLEXIONES DIFERIDAS

En su estimación se consideran los efectos de larga duración que tiene la fuerza de presfuerzo después de la aparición de las pérdidas diferidas, considerando una fuerza constante durante la ocurrencia del flujo plástico que es igual al promedio de sus valores iniciales y finales, es decir, se considera el efecto de cargas sostenidas, flujo plástico y contracción del concreto, así como la relajación del acero.

>*Deflexión por presfuerzo efectivo*

$$\Delta_{Pe} = \Delta_{Pi} \frac{P_e}{P_i}$$

>*Deflexión promedio del presfuerzo*

$$\Delta_{Prom} = \frac{\Delta_{Pi} + \Delta_{Pe}}{2} C_u$$

>*Deflexión por carga viva máxima*

$$\Delta_{CVmáx} = \frac{5\omega_{CVmáx} L^4}{384EI}$$

>*Deflexión diferida por peso propio*

$$\Delta_{dif_{PoPo}} = \Delta_{PoPo} (1 + C_u)$$

>*Deflexión por CM inmediata y diferida*

$$\Delta_{CM} = \Delta_{PoPo} (1 + C_u)$$

>*Deflexión por carga viva sostenida*

$$\Delta_{CVmed} = \frac{5\omega_{CVmed} L^4}{384EI} C_u$$

2.3.8.3 DEFLEXIÓN TOTAL

La deflexión total corresponde a la suma de las deflexiones inmediatas y diferidas considerando de sentido negativo la deflexión del presfuerzo, esto es:

$$\Delta_T = -\Delta_{Pe} - \Delta_{Prom} + \Delta_{dif_{PoPo}} + \Delta_{CM} + \Delta_{CVmáx} + \Delta_{CVmed}$$

2.3.8.4 DEFLEXIONES PERMISIBLES

La norma AASHTO LRFD 2020 establece en su **artículo 2.5.2.6.2 – Criterios para Deflexiones** los límites permisibles para la deflexión presente en un elemento presforzado de acuerdo con el tipo de carga actuante.

Vehicular load, general	Span/800,
Vehicular and pedestrian loads	Span/1,000,

Tabla 2.9 Deformaciones permisibles

CAPÍTULO 3. ESTUDIOS PRELIMINARES

Todo proyecto de ingeniería requiere de la disposición de información previa que le permita conocer su situación general, por medio de la descripción y detallado de su entorno físico. Esta información permite generar una serie de alternativas en función de la problemática a resolver, comúnmente llamados anteproyectos, los cuales son evaluados con base en criterios económicos, técnicos y sociales, para finalmente desarrollar lo que es el proyecto ejecutivo.

Las fuentes de consulta pueden ser tanto gubernamentales como privadas, procurando que su contenido sea de utilidad para la elaboración de cada uno de los estudios que son requeridos. Esta información puede conformarse por fotografías áreas preexistentes, cartas topográficas, geológicas, hidrológicas, edafológicas y del uso de suelo; el portal del INEGI es una fuente digital de uso común para obtener las cartas requeridas, partiendo de una escala en general de 1:20,000 y 1:50,000, pero que varía dependiendo del caso en particular del estudio a realizar.

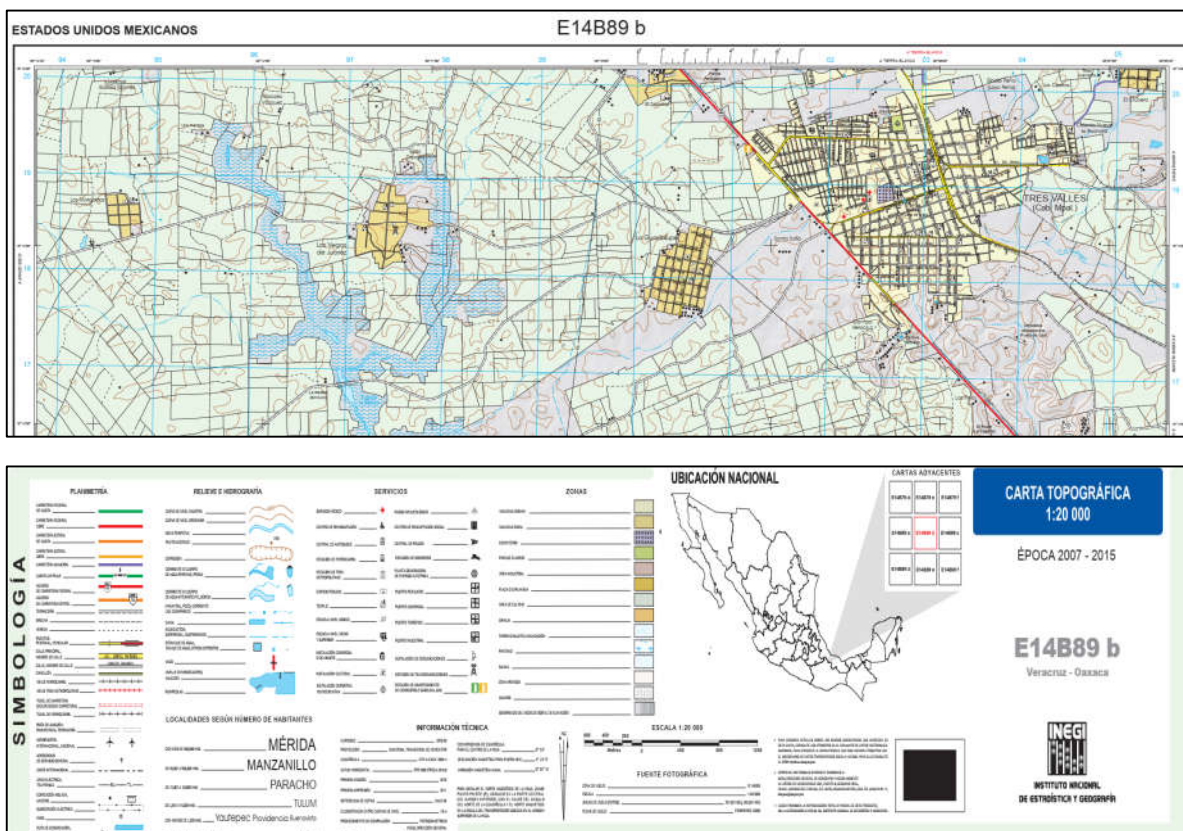


Figura 3.1 Ejemplo de carta topográfica escala 1:20,000 y su simbología (INEGI)

En el caso específico de proyectos de infraestructura gubernamentales, el proyecto de un puente carretero requiere de consultar toda la información que pudiese estar disponible para su elaboración con la SICT a través de la Dirección General de Servicios Técnicos (DGST) y de la Dirección General de Conservación de Carreteras (DGCC) en sus centros estatales conforme la ubicación de proyecto.

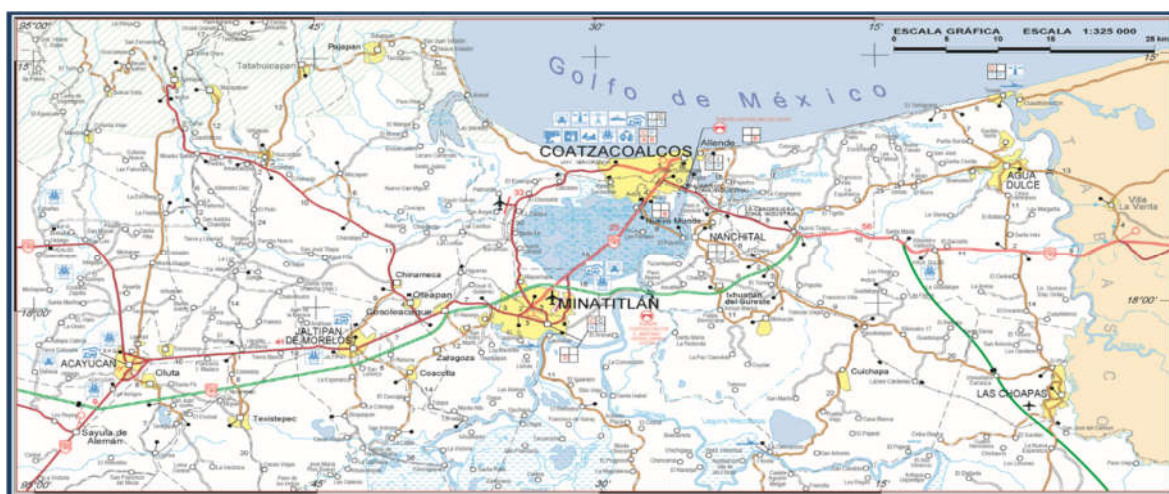


Figura 3.2 Ejemplo de mapa de infraestructura proporcionado por la SICT

La ejecución de un estudio preliminar comprende trabajos de campo, laboratorio y gabinete que deben realizarse para establecer las variables que determinan la concepción, el diseño, el comportamiento y las condiciones reales en las que se realizará y operará una obra de infraestructura.

Estos estudios pueden clasificarse como básicos o de detalle:

- **ESTUDIOS BÁSICOS:** Son los estudios que tienen por objetivo determinar tanto los factores generales como de carácter social, cultural, ambiental, operacional, técnico y económico que permiten la definición de una obra conforme a la planeación de la infraestructura del transporte requerida.
- **ESTUDIOS DE DETALLE:** Son los estudios que comprenden todas las actividades que se requieren para diseñar, con base en la ingeniería básica, todos los elementos de la obra por realizar. En estos estudios se elaboran los planos, sus especificaciones y la composición, el arreglo, la forma, los materiales, la resistencia, las dimensiones, los acabados, los conceptos y las cantidades de obra de cada elemento.

Para profundizar en los alcances generales que debe tener cada estudio se recomienda al lector referirse a la norma **N-LEG-2/00** de la **SICT**. Cabe aclarar que en el presente trabajo se omiten los estudios de tránsito, es decir, estudios de aforos y composición vehicular.

3.1 VISITA DE CAMPO

En todo proyecto de infraestructura, se deben realizar una serie de actividades que permitan corroborar la información previa, así programar los trabajos tanto de campo como aéreos requeridos, conformando en conjunto un levantamiento preciso del sitio de proyecto; estas actividades son previas a la ejecución de los estudios preliminares. Estos trabajos permiten la determinación del eje óptimo para el cruce del puente mediante su posterior aplicación en la elaboración del estudio topográfico.

Para la ejecución de estos trabajos, como se ha mencionado con anterioridad, se requiere contar con información previa tanto gubernamental como privada que pueda ser de utilidad para su elaboración, entre otras fuentes de información. El acervo requiere estar conformado por fotografías áreas preexistentes, así como por cartas de tipo topográficas, geológicas, hidrológicas, edafológicas y de uso de suelo, las cuales pueden obtenerse en el portal del INEGI partiendo de una escala en general de 1:50,000; cabe mencionar que la escala varía en función del caso en particular del estudio a realizar.

De este modo, se debe efectuar una visita de inspección a la zona donde se ubicará la estructura con el propósito de verificar la información existente y que no exista algún obstáculo que interfiera en la ejecución de la obra. También deben identificarse las obras inducidas que se requieran y recabar los datos necesarios para diseñar aquellas que deba ejecutar el contratista.

En la práctica se debe realizar un reporte fotográfico donde señalando los detalles relevantes del sitio de emplazamiento del proyecto o en caso de la existencia de una estructura previa, se deben presentar fotografías que muestren su estado actual.

El trabajo de visita campo debe estar integrado por la ejecución de las siguientes actividades:

- Reporte de inspección
- Reporte Fotográfico
- Levantamiento Geométrico y de daños (en caso de estructuras previas)
- Dictamen técnico

3.1.1 REPORTE DE INSPECCIÓN

El reporte de inspección consiste en realizar una visita de campo al sitio de proyecto, recabar la información concerniente a su entorno general acceso, es decir, caminos, accesos, materiales, estructuras previas. Este reporte debe contener el nombre de la carretera, el tramo, el subtramo, el kilómetro, el origen, nombre del sitio del emplazamiento o de la estructura, tipo de estructura, tipo de subestructura., la evaluación del estado de conservación, entre otros aspectos.

3.1.2 REPORTE FOTOGRÁFICO

La elaboración del reporte fotográfico consiste en la toma de fotografías del sitio y/o de la estructura previa, proporcionando panorámicas de las vistas laterales del cruce de vía o del puente existente, vistas de los accesos, accidentes naturales que pretende salvar o cuerpos de agua que ha de atravesar; en el caso de estructuras previas, se requiere contar con fotografías de la superestructura y subestructura, así como detalles de los agrietamientos visibles, desconches en el concreto y de acero expuesto.



Figura 3.3 Ejemplo de imagen con descripción de una estructura previa (Reporte Fotográfico)

3.1.3 LEVANTAMIENTO GEOMÉTRICO O DE DAÑOS

El levantamiento geométrico o de daños generalmente es realizado por un ingeniero topógrafo, consiste en realizar la medición de las medidas de la estructura existente, para el caso de estructuras previas, y de la zona de proyecto para generar un plano de la geometría, dibujar los acceso al sitio, las estructuras previas, así como los principales cuerpos de agua y accidentes naturales. Debe elaborarse en formato CAD, incorporar un reporte de daños, tipo de materiales, normativa aplicable y notas pertinentes.



Figura 3.4 Ejemplo de reporte de daños (Levantamiento Geométrico)

3.1.4 DICTAMEN TÉCNICO

El dictamen técnico es el reporte final generado por el ingeniero estructurista encargado de proyecto con base en la información recopilada del reporte fotográfico y el plano geométrico, el cual debe contener un dictamen de los daños encontrados, estudios propuestos y sus recomendaciones, proyecto propuesto y el carácter de los trabajos a realizarse. En tal sentido, la elaboración de un dictamen técnico permite la ejecución del estudio topográfico que es fundamental pues permite obtener la planta del sitio donde se emplazará la estructura, el eje de la vía, así como el perfil promedio que se obtiene al levantar perfiles a cada 25 o 50 m en ambos lados del eje de vía y la zona donde se ubicaran las obras complementarias.

3.1.5 RESUMEN DE PROYECTO

El proyecto desarrollado en el presente trabajo parte de la identificación daños en la superficie de rodamiento, guarniciones y parapetos de un tramo carretero operado por parte la SICT. Estos daños junto con una mala geometría hacen que aumente el riesgo de accidentes a los usuarios que la transitan, por tal motivo, la secretaría solicitó propuestas para realizar las adecuaciones necesarias al tramo carretero.

En este sentido y con base en la inspección de campo realizada al sitio de proyecto, se concluye que la carretera posee un deterioro importante en el tramo curvo que cruza la montaña debido a la falta de mantenimiento rutinario, considerándose su geometría no apta para el tránsito vehicular. La mayor parte de los daños encontrados se presentan debido a la mala ejecución de los procedimientos de reparación y mantenimiento, requiriendo atención a corto plazo.

Por tal motivo, se presenta el proyecto ejecutivo de la construcción de un puente nuevo que permita salvar el cuerpo de agua que cruza transversalmente con el trazo de la carretera existente, ubicado a un kilómetro y medio del municipio de Chocamán.

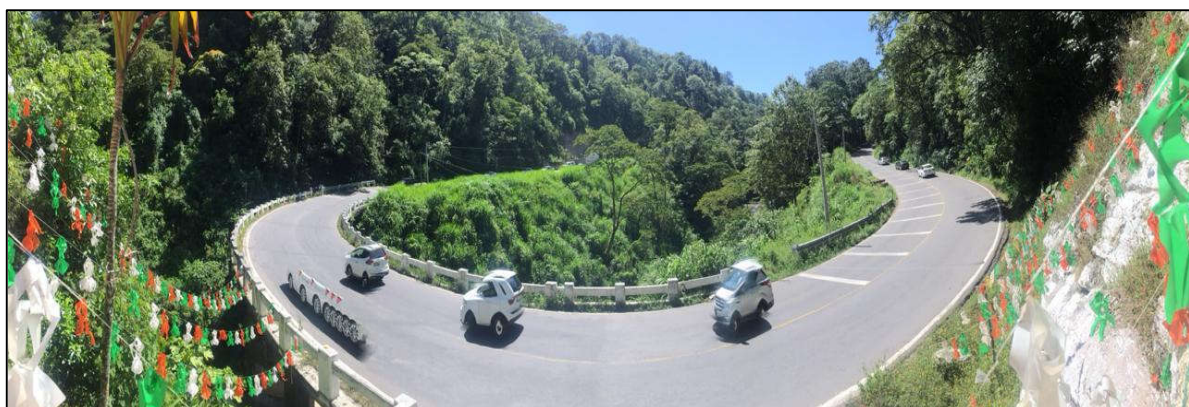


Figura 3.5 Tramo curvo dañado de la carretera Córdoba – Cardel en su km 16+720

3.2 ESTUDIO TOPOGRÁFICO Y GEORREFERENCIACIÓN

Los estudios topográficos son el conjunto de actividades tanto de campo como de gabinete que sirven para representar gráficamente y a una escala adecuada, la topografía detallada del área donde se ubicara una estructura.

Es mediante sus proyecciones horizontales (planimetría) y verticales (altimetría) e identificando sobre esta los puntos característicos de las obras que existan en el lugar y de las que se proyecten, que se llega a conocer la magnitud de las excavaciones necesarias, las obras de drenaje que requerirá el proyecto, así como medir y cuantificar los volúmenes de tierra o roca que se deberán transportarse y en caso de ser necesario, compactarse.

Un estudio topográfico tiene como objetivo realizar el dictamen de la ruta de proyecto, que es la franja de terreno con ancho variable entre dos puntos dentro de la cual es factible una estructura. Cabe mencionar que mientras más detallados y precisos sean los estudios, la franja de terreno tenderá a disminuir su ancho.

En proyectos de infraestructura, los estudios topográficos son clasificados de acuerdo con el propósito que tendrá cada proyecto, ya sea para el diseño de una carretera de altas especificaciones o el diseño de un puente que permitirá establecer comunicación entre dos tramos carreteros.

3.2.1 ESTUDIOS TOPOGRAFICOS PARA CARRETERAS

Son los estudios necesarios para realizar tanto el proyecto preliminar como el definitivo de una carretera mediante el procesamiento de la información recabada durante la etapa de ingeniería de detalle. Como resultado, se puede establecer el eje de camino, así como las obras menores y complementarias (drenaje y subdrenaje).

3.2.2 ESTUDIOS TOPOGRAFICOS DE OBRAS ESPECIALES

En primer lugar, una obra especial se entiende como elementos diferentes del camino pero que forman parte integral de la carretera. Un ejemplo de este tipo de obras son los entronques o intersecciones viales como cruces carreteros, ferroviarios o peatonales; también se incluyen a los puentes tanto carreteros como canal o ducto, casetas de cobro y en general, toda obra para el uso y aprovechamiento del derecho de vía.

De igual forma se pueden realizar estudios aerofotogramétricos dependiendo de la importancia y magnitud del proyecto, los cuales son el conjunto de actividades de campo y gabinete necesarias para la toma de fotografías áreas. En la actualidad, este tipo de estudios es realizado mediante el empleado de drones y sistemas globales de geolocalización.

3.2.3 CARACTERÍSTICAS DEL ESTUDIO TOPOGRÁFICO

La elaboración de un estudio topográfico debe incluir en su contenido la información correspondiente a altimetría, planimetría y toponimia, la cual sirve como base para la elaboración del anteproyecto. Éste debe apoyarse tanto en el sistema de coordenadas como en el nivel de eje de carretera revisado y aprobado en campo.

De este modo, el estudio se conforma por el conjunto de puntos característicos del eje de vía como son los puntos de inflexión (PI), principio de espiral (TE), principio de curva circular (PC o EC), termino de curva circular (PT o CE) y termino de espiral (ET); así como los puntos tangente (PST), sobre tangente (PSST o PSTE), sobre espiral (PSE) y sobre curva (PSC). Cabe recordar que estos puntos permiten identificar secciones especiales y marcar con ellos las estaciones, que generalmente se realiza a cada 20 m.

Paralelamente, se debe registrar los nombres de predios, ranchos, parcelas, ejidos, comunidades y todo elemento por el que pase el eje de proyecto. También debe indicarse el uso de suelo que se le da al predio, es decir, si es de cultivo, pastoreo, zona virgen, debiendo recabarse la información de todos los caminos y veredas que crucen o pasen cerca de este eje.

Debe existir un levantamiento de las zonas aledañas al sitio del proyecto, ya que pueden encontrarse poblaciones o centros de trabajo, debiendo incluir en la geometría la ubicación de todas las construcciones colindantes, postes y cableados, torres de alta tensión, ductos superficiales y subterráneos, así como ríos, arroyos, canales y otras masas de agua, vías de comunicación o cualquier otro elemento fijo que existen en la periferia del sitio de emplazamiento de la estructura.

En resumen, se requiere del uso de cartas topográficas a escala 1:50,000 obtenidas del INEGI y en caso de realizar un estudio aerofotogramétrico, éstas deben contar con plantas topográficas a escala 1:5,000, 1:2,000 y 1:1,000 con curvas de nivel a cada 1, 2 y 5 m que cubran la totalidad del territorio que abarcara el proyecto. Así mismo, se debe contar con información documental referente a los cadenamientos y coordenadas de los puntos característicos del eje de la carreta, referencias de trazo, longitudes y azimuts de las tangentes, curvas horizontales, circulares y con espirales; además de la identificación terrestre de los puntos de control o bancos de nivel y la relación de obras menores de drenaje existentes.

Por lo que se refiere al levantamiento de las secciones transversales que involucra la elaboración de planos para representar la configuración vertical del terreno, se pueden hacer hasta 10 m a cada lado del eje del camino o hasta los límites del derecho de vía más 5 m. Esta información le permite al proyectista diseñar las secciones transversales de construcción.

Finalmente, el informe técnico debe incluir los planos de las plantas topográficas y generales, elaborados para cada subtramo de 1 km del camino en donde se deberá plasmar la geometría recabada.

Para profundizar en la ejecución de los estudios topográficos requeridos, se recomienda al lector referenciarse a la norma **N-PRY-CAR-1-01-001/07**, **N-PRY-CAR-1-01-002/07** y **N-PRY-CAR-1-01-006/07** de la **SICT**.

3.2.4 DATOS TOPOGRÁFICOS DE PROYECTO

A continuación, se presentan los datos obtenidos del estudio topográfico y georreferenciación que tienen mayor peso en la elaboración de los anteproyectos.

3.2.4.1 UBICACIÓN DEL PUENTE NUEVO

En la condición actual, el tramo curvo de la carretera empieza en el km 16+720, mas para la construcción del puente nuevo se propone recorrer el punto de paso sobre el cuerpo de agua conforme la siguiente ubicación:

- Inicio de puente curvo: km 16+6329.9
- Termino de puente curvo: km 16+423.19

3.2.4.2 COTAS DE RASANTE

La rasante de proyecto indica la elevación que tiene la superficie de rodamiento de una carreta la cual se utiliza en la etapa de diseño para mantener la pendiente que posee el proyecto geométrico carretero. Conforme a lo anterior, se presenta el nivel de la rasante usado en el proyecto:

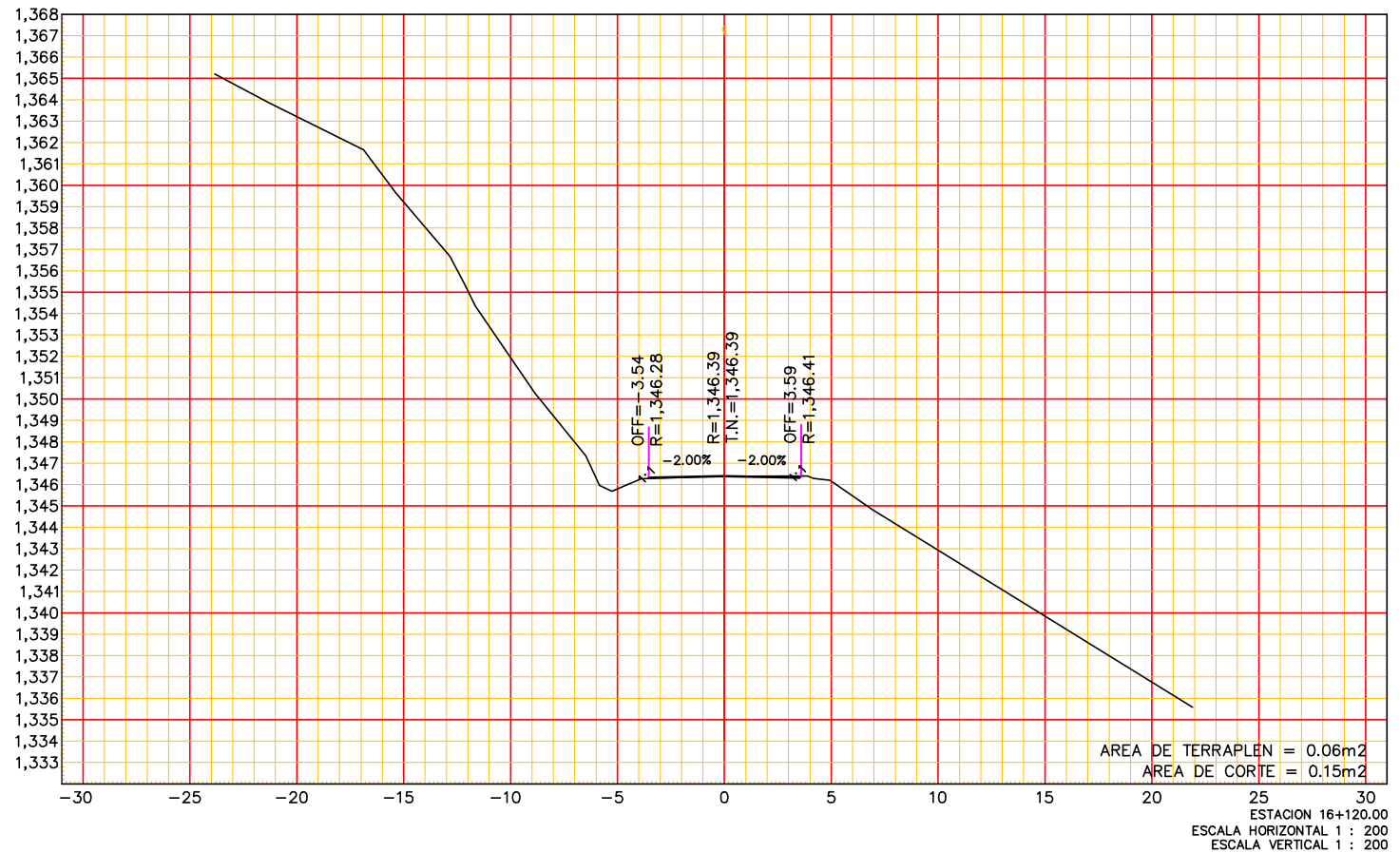
- Rasante al principio del tramo curvo: 1,336.2 m
- Rasante al final del tramo curvo: 1,337.81 m
- Pendiente: 1.75 %

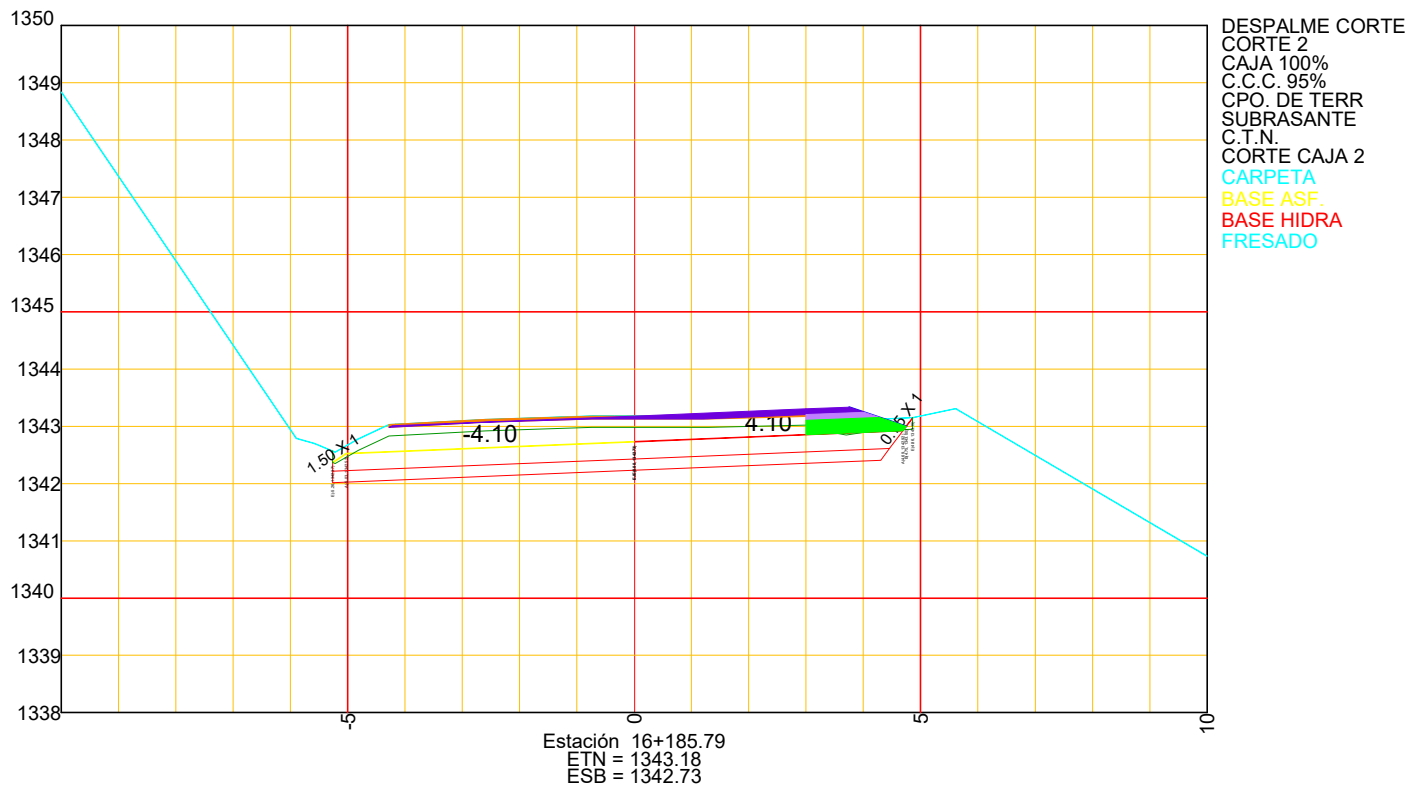
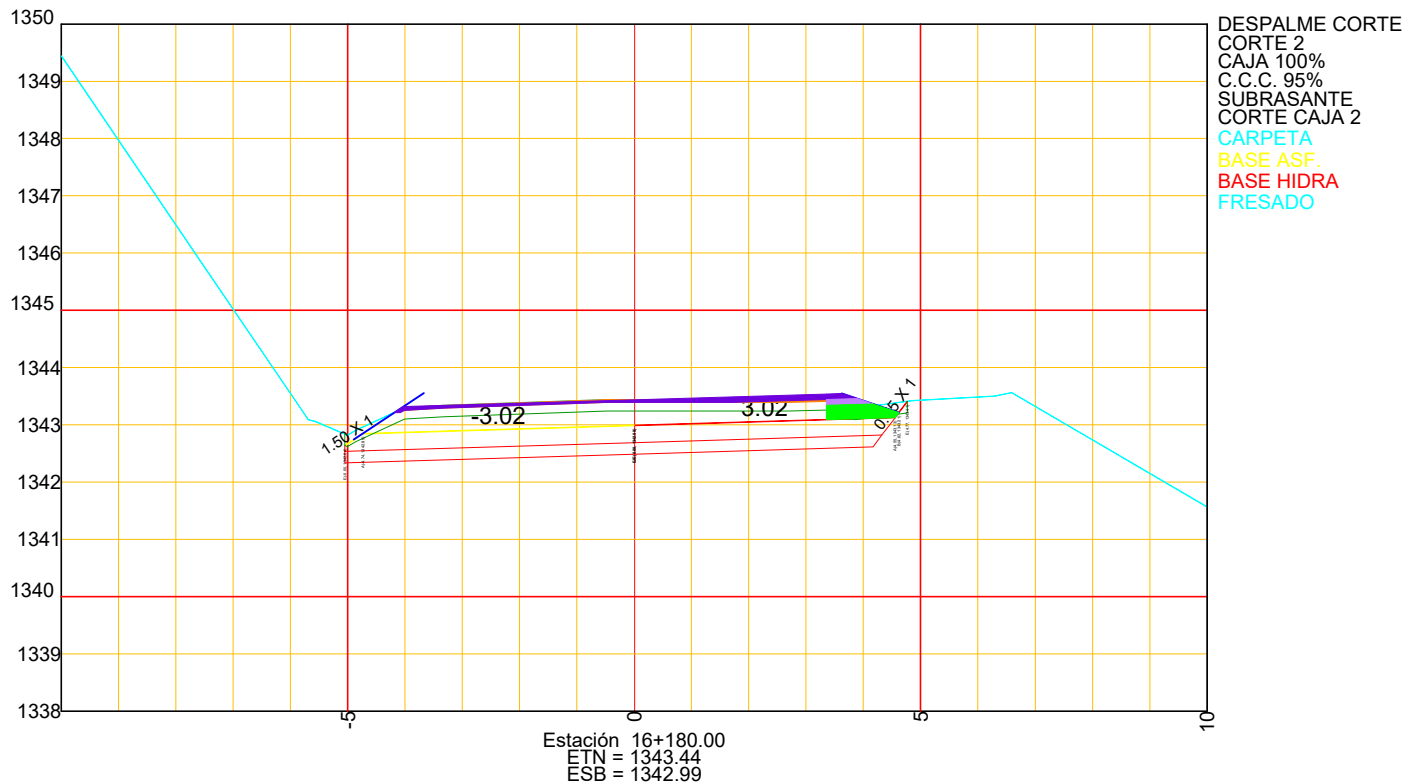
3.2.4.3 MOVIMIENTO DE TIERRAS

Se refiere al volumen de material excavado y acarreado para la ejecución del proyecto.

- Movimiento de tierras: 630 m³

Finalmente, si se desea profundizar en el estudio topográfico correspondiente al proyecto desarrollado, se recomiendo al lector referenciarse al **Anexo A. Estudios Preliminares** en donde se encuentran los planos correspondientes a las secciones transversales y de construcción.





3.3 ESTUDIO DE MECÁNICA DE SUELOS

El estudio de mecánica de suelos tiene como objetivo determinar la estratigrafía del suelo correspondiente al lugar de emplazamiento en un proyecto, así como las características y propiedades índice que conforman cada uno de sus estratos, además de la ubicación del nivel de aguas freáticas (NAF).

Este estudio es fundamentado con información obtenida de estudios geológicos, que permiten tener una visión tanto global como particular de la historia geológica del sitio, a partir de la cual se realiza un análisis de los materiales existente en el subsuelo determinando sus características y propiedades.

La exploración del subsuelo, directa o indirecta, involucra la obtención de muestras representativas alteradas, inalteradas e integrales de los materiales existentes en el terreno natural que permitan definir la litología y estratigrafía del suelo en el sitio de proyecto. De igual forma, se involucra la realización de estudios geofísicos que permiten la distribución geométrica de los diferentes estratos y macizos rocosos, así como los parámetros físicos de continuidad y compacidad, entre otras características del subsuelo que conforma al sitio de proyecto.

En general, la elaboración de un estudio de mecánica de suelos se conforma por la realización, en el orden presentado, de las siguientes actividades:

- *Trabajos de Campo:* Son las actividades que involucran el reconocimiento geotécnico mediante técnicas de muestreo de materiales, alteradas como inalteradas, y la realización de pruebas de campo.
- *Trabajos de Laboratorio:* Son las actividades que involucran la realización de los ensayos requeridos para determinar las características, propiedades índice y propiedades mecánicas de las muestras obtenidas en los trabajos de campo.
- *Trabajos de Gabinete:* Son las actividades técnicas que involucran la interpretación de los resultados obtenidos en etapas previas, aportando con fundamentos teóricos, la información correspondiente a la capacidad de carga que posee el suelo, así como los asentamientos que pueden presentarse y la estabilidad del material para ser excavado. En función de estos resultados, se propone el tipo de cimentación que se adapte mejor al proyecto (superficial, compensada o profunda), niveles de desplante y el procedimiento constructivo que debe emplearse.

Es conveniente destacar que la cimentación es el conjunto de elementos que se encargan de transmitir al suelo de desplante los esfuerzos provenientes tanto de la superestructura como de la subestructura, poseyendo un papel fundamental tanto en el desempeño y estabilidad ante solicitudes de una estructura.

3.3.1 ESTUDIO GEOLÓGICOS

Un estudio geológico se enfoca en la determinación de las características litológicas y estructurales de los materiales existentes en el sitio de proyecto, mediante un conjunto de técnicas y procedimientos que son utilizados para reconstruir su historia geológica. Su realización parte de la recopilación de información geológica general del área destinada para el emplazamiento del proyecto, siendo los medios de consulta más habituales el INEGI y el Servicio Geológico Mexicano (SGM), los cuales ofrecen datos de estratigrafía, tectónica, historia geológica e hidrológica para identificar de manera preliminar la litología, fallas, pliegues y períodos geológicos de los materiales.

En este sentido, se entiende como geología regional a los principales accidentes, estructuras geológicas, eventos tectónicos y de mineralización presentes en la región que circunda al sitio de proyecto, la cual puede tener importancia e incidencia durante la ejecución y puesta en servicio del proyecto.

Posterior a la descripción de la geología regional, se debe realizar la identificación y caracterización de la geología local, en otras palabras, se deben realizar estudios geológicos de detalle que consisten en recorridos de campo para definir unidades litológicas e identificar las formaciones que fueron anticipadas en el estudio geológico regional, además de confirmar y ubicar físicamente los posibles accidentes geológicos. También se debe determinar el grado de alteración y fracturamiento de la roca, así como la orientación de los planos principales de sus discontinuidades, para poder disponer de un modelo geológico preliminar.

En términos generales, un levantamiento geológico consiste en determinar las características de las diferentes unidades de roca y suelo, definiendo la litología, el grado de alteración y fracturamiento de los materiales; además, se deben señalar los límites horizontales y verticales de las diferentes unidades de roca, sus espesores y la relación que existe entre ellas. Se debe realizar una etapa de muestreo para que los especímenes recolectados sean analizados en laboratorio.

Para el caso específico de puentes, este estudio se realiza con el fin de establecer las características geológicas tanto general como local de las diferentes formaciones geológicas que se encuentran en el sitio de proyecto y definir los aspectos geológicos que influyen en su diseño. Como resultado, se presenta la propuesta de los procedimientos constructivos que son aplicables al proyecto de acuerdo con las características de los materiales, así como la evaluación del costo aproximado de su construcción.

Este estudio debe contener en primera instancia, mediante una revisión de la información existente, una descripción morfológica de la zonificación del sitio, además de una lista con las estructuras geológicas mayores como los son fallas, pliegamientos, discordancias y estructuras menores como fracturas, foliación y exfoliación.

En igual forma, se debe incluir la zonificación estratigráfica probable de las diferentes unidades de roca, así como las alteraciones que presentan en su contacto con el suelo, mismas que influyen en el desplante de la cimentación; en caso de ser requerirse, se debe incluir una recomendación de bancos de materiales cerca del sitio de proyecto.

Finalmente, se deben entregar planos que contengan la planta geológica que muestre en planta toda la información obtenida y procesada durante el levantamiento, además de las secciones geológicas necesarias para definir el modelo geológico; es posible colocar las secciones de manera vertical en el mismo plano de la planta geológica, facilitando la comprensión del modelo geológico.

Para profundizar en el tema de los estudios geológicos requeridos, así como en las características que deben cumplir los planos y fotografías áreas, se recomienda al lector referenciarse a las normas **M-MMP-1-02/03**, **N-PRY-CAR-1-03-001/00** y **N-PRY-CAR-1-03-002/00** de la SICT.

3.3.2 ESTUDIOS GEOTÉCNICOS

El estudio geotécnico se conforma por la recopilación de información existente de cartas topográficas, geológicas y de estudios previos disponibles, la realización de la exploración tanto directa como indirecta, ensayos de laboratorio para la obtención de parámetros de resistencia y deformabilidad; a su vez, involucra la elaboración de un modelo geotécnico, el análisis de alternativas para definir el tipo de cimentación, su nivel de desplante, la capacidad de carga y asentamientos que han de presentarse.

Este estudio parte de las técnicas para la evaluación del comportamiento de los suelos bajo la acción de cargas y agentes atmosféricos, en las zonas de ubicación del puente, estribos, pilas y accesos. Está enfocado en determinar el tipo de cimentación que sea óptima para cada uno de los apoyos de un puente, se deben revisar que se cumpla con los estados límite de falla y de servicio mediante el estudio de las propiedades físicas y mecánicas de los diferentes estratos del suelo donde se desplante la cimentación.

El informe geotécnico debe describir de manera detallada y objetiva los parámetros geotécnicos preliminares para el diseño del puente a nivel de anteproyecto, así como el comportamiento de la cimentación junto con recomendaciones constructivas y obras de protección. Este informe proporciona al proyectista y al constructor, los datos para el desarrollo y ejecución del proyecto de cimentación.

En el caso de estructuras previas (puentes) en el sitio de proyecto, se debe incluir en el estudio de manera inicial información general, esto incluye: su localización, elementos básicos del proyecto, su clasificación, una descripción de la superestructura y de la subestructura, estribos, pilas, tipos y combinaciones de cargas de diseño de acuerdo con el año en que fue proyectado.

Para profundizar en los lineamientos que se requieren en la elaboración del informe técnico, se recomienda al lector referenciarse a la norma **N-PRY-CAR-1-03-003** de la **SICT**. En lo que se refiere al proceso y desarrollo de los actividades que conforman el estudio geotécnico de cimentación de puentes, se recomienda al lector consultar la **Guía de Exploración y Elaboración de Estudios para la Cimentación de Puentes** de la **DGST**.

3.3.3 INFORMACIÓN DE PROYECTO

El estudio de mecánica de suelos comprende la realización de sondeos a una profundidad de 15 m, esto es:

- No. de sondeos: 4
- Tipos de sondeos: mixto, Penetración estándar, avance con broca tricónica y avance con barril giratorio.

3.3.3.1 CAPACIDAD DE CARGA DE PILAS

Se presenta el resumen de la capacidad de carga para diferentes diámetros.

CAPACIDAD DE CARGA DE PILAS DE DIFERENTES DIAMETROS		
Profundidad de pila (m)	Diámetro de pila (m)	Capacidad de carga admisible para 1 pila, en (ton)
12	0.8	256
12	1	398
12	1.2	573
12	1.5	893
12	1.6	1016

Tabla 3.1 Resumen de capacidad de carga para las pilas de cimentación

3.3.3.2 RECOMENDACIONES

Con base en lo presentando, se emiten las siguientes recomendaciones:

- Dadas las condiciones actuales del sitio, la cimentación puede resolverse mediante el empleo de pilas de concreto reforzado pudiendo ser desplantadas a partir de 12 m en los accesos y hasta 30m en los ejes centrales.
- Los asentamientos del terreno serán del tipo elástico y se presentarán durante la etapa de construcción.
- No se encontró el nivel de aguas freáticas hasta la profundidad explorada.
- La socavación general es de 2.9 m.
- Para fines de diseño sísmico debe considerarse un tipo II de terreno y un coeficiente sísmico mino de 0.64.

Para consultar el perfil estratigráfico de los cuatro sondeos, se recomienda al lector consultar el **Anexo A. Estudios Preliminares** del presente escrito.

 Universidad Nacional Autónoma de México	 Facultad de Ingeniería	 PUEI	Programa Único de Especializaciones de Ingeniería
---	---	--	---

REGISTRO DE CAMPO

CAPÍTULO 3. ESTUDIOS PRELIMINARES								EQUIPO:	LONG YEAR-34
SONDEO: 1 TIPO: S.P.T. (MIXTO)								BARRA:	B.W.
FECHA DE INICIO: 03/10/2019 FECHA DE TERMINO: 04/10/2019								ADEME:	BENTONITA
								N.A.F.:	NO SE ENCONTRO
								HOJA No.:	1

MUESTRA	PROFUNDIDAD		TIPO DE HERRAMIENTA:		SPT			LONG. PERF.	RECUPERACIÓN	CLASIFICACIÓN DE CAMPO
	EN m.				Número de golpes					
No.	DE:	A:	AVANCE	MUESTREO	15 cm.	30 cm.	15 cm.	cm.	cm.	%
1	0.00	0.60	T. LISO P.		21	12	13	60	23	38.33
2	0.60	1.20	T. LISO P.		12	14	9	60	15	25.00
-	1.20	1.80	AVANCE TRICONICA		8	12	13	60	19	31.67
3	1.80	2.10	T. LISO P.		17	50/15		30	18	60.00
-	2.10	2.40	AVANCE TRICONICA		A	B	T	30	0	0.00
4	2.40	2.56	T. LISO P.		21	50/11		16	14	87.50
-	2.56	3.00	AVANCE TRICONICA		A	B	T	44	0	0.00
5	3.00	3.22	T. LISO P.		25	50/7		22	11	50.00
-	3.22	3.60	AVANCE TRICONICA		A	B	T	38	0	0.00
6	3.60	3.85	T. LISO P.		29	50/10		25	17	68.00
-	3.85	4.20	AVANCE TRICONICA		A	B	T	35	0	0.00
7	4.20	4.49	T. LISO P.		22	50/14		29	21	72.41
-	4.49	4.80	AVANCE TRICONICA		A	B	T	31	0	0.00
8	4.80	5.07	T. LISO P.		31	50/12		27	15	55.56
-	5.07	5.40	AVANCE TRICONICA		A	B	T	33	0	0.00
9	5.40	5.64	T. LISO P.		25	50/9		24	12	50.00
-	5.64	6.00	AVANCE TRICONICA		A	B	T	36	0	0.00
10	6.00	6.28	T. LISO P.		28	50/13		28	16	57.14
-	6.28	6.60	AVANCE TRICONICA		A	B	T	32	0	0.00
11	6.60	6.82	T. LISO P.		33	50/7		22	14	63.64
-	6.82	7.20	AVANCE TRICONICA		A	B	T	38	0	0.00
12	7.20	7.39	T. LISO P.		35	50/4		19	11	57.89
-	7.39	7.80	AVANCE TRICONICA		A	B	T	41	0	0.00
13	7.80	8.04	T. LISO P.		28	50/9		24	16	66.67
-	8.04	8.40	AVANCE TRICONICA		A	B	T	36	0	0.00
14	8.40	9.00	T. LISO P.		13	28	14	60	37	61.67
-	9.00	9.10	AVANCE TRICONICA		50/10			10	8	80.00
15	9.10	9.60	T. LISO P.		A	B	T	50	0	0.00
-	9.60	9.81	AVANCE TRICONICA		27	50/6		21	14	66.67
16	9.81	10.20	T. LISO P.		A	B	T	39	0	0.00
-	10.20	10.32	AVANCE TRICONICA		50/12			12	10	83.33
17	10.32	10.80	T. LISO P.		A	B	T	48	0	0.00
18	10.80	10.80	AVANCE TRICONICA		50/0			0	0	0.00
19	10.80	12.00	BARRIL GIRATORIO		BARRIL NQ			120	19	15.83
20	12.00	13.20	BARRIL GIRATORIO		BARRIL NQ			120	23	19.17
21	13.20	14.40	BARRIL GIRATORIO		BARRIL NQ			120	37	30.83
22	14.40	15.00	BARRIL GIRATORIO		BARRIL NQ			60	48	80.00

OBSERVACIONES:	PERFORISTA:
	NIVEL FREÁTICO (m): NO SE ENCONTRO
	PROFUNDIDAD FINAL (m): 15,00 M



PERFIL ESTRATIGRAFICO SONDEO SPT-01

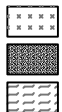
PROFUNDIDAD DE EXPLORACIÓN: 15 M

UBICACION: Edo de Veracruz

N.A.F.
NO SE ENCONTRADO

FIN DEL SONDEO

S I M B O L O G I A



RELENO



ARENA



ARCHILLA



GRAVA



LIMO



BOCA

TP = TUBO PARTIDO
NQ = MUESTRA CON BARRIL NQ
ABT = AVANCE CON BROCA TRICONICA
T.P = TUBO PARTIDO

LP = LIMITE PLASTICO
LI = LIMITE LIQUIDO
IP = INDICE DE PLASTICIDAD
W0 = CONTENIDO DE HUMEDAD

3.4 ESTUDIO HIDROLÓGICO E HIDRÁULICO

El estudio hidráulico e hidrológico está conformado por las características tanto fisiográficas como hídricas de la zona de proyecto y por el análisis del cauce del cuerpo de agua, debiéndose realizar en una primera etapa el estudio hidrológico con el fin de recabar la información hídrica que permite realizar los análisis hidráulicos de la sección transversal en una segunda etapa.

En este sentido se comprende que la hidrología trata sobre la ocurrencia, circulación y distribución del agua en la superficie terrestre, es decir, el estudio tanto de ríos como arroyos, lagos o cualquier cuerpo de agua que interfiera en el trazo de una vía de comunicación como lo es una carretera o un puente. Está enfocado en determinar la avenida o el gasto de diseño, el cual le permite al proyectista conocer el nivel máximo de agua y con ello la altura que deberá tener la subestructura de un puente.

Este estudio involucra la aplicación de métodos tanto directos como indirectos para determinar los gastos de diseño mediante la integración de los registros de precipitación, que se obtienen de estaciones pluviométricas en el área de influencia de la cuenca o mediante el empleo de isoyetas de la zona de proyecto, con las características geomorfológicas de la cuenca como lo es la pendiente, la longitud, sección transversal y materiales del cauce.

En lo que respecta al estudio hidráulico, éste se enfoca en el análisis de las características tanto físicas como mecánicas del cauce en un cuerpo de agua mediante el estudio de su geometría, las velocidades que se presentan en su sección transversal, la distribución de presiones y en general, la aplicación de la ecuación de continuidad entre otros aspectos. En este sentido, se pueden emplear métodos de análisis que consisten en la simulación del funcionamiento hidráulico mediante software especializado, un ejemplo de ello es el programa de cómputo HEC-RAS.

En síntesis, la elaboración del estudio hidráulico e hidrológico se involucran un conjunto de trabajos de campo y gabinete que definen el diseño estructural en un proyecto que, para el caso de puentes, se establecen sus dimensiones mínimas tanto de longitud como el número de claros que conforman la superestructura, así como el espacio mínimo vertical que debe existir entre el nivel de aguas de diseño (NADI) respecto el lecho inferior de la superestructura.

Se deben elaborar planos de la cuenca, el perfil longitudinal y las secciones transversales del cauce, así como la planta correspondiente a la llanura de inundación, la memoria del cálculo hidrológico y el resultado de la modelación del cauce en software especializado.

3.4.1 ESTUDIO HIDROLÓGICO

Este estudio proporciona los datos hidráulicos requeridos para el diseño estructural de un puente, requiriendo de la obtención de información tanto fisiográfica como hidrológica de la cuenca que permita conocer el comportamiento de la corriente, la cual puede obtenerse a través del portal electrónico de CONAGUA, el Servicio Meteorológico Nacional o CFE, entre otros. Además, se debe realizar un reconocimiento del sitio de proyecto y su correspondiente levantamiento topográfico para verificar que no existan cambios sustanciales en la densidad de vegetación, así como de elementos que obstaculicen el cauce y el uso de suelo de la zona.

En este sentido, también se requiere del proyecto geométrico de la carretera de la cual formará parte el puente debido a que la información correspondiente al trazo, secciones transversales, bancos de nivel y elevaciones de nivel permiten al proyectista diseñar la estructura para que mantenga la rasante del camino. De igual forma, se requiere del estudio geológico de la zona para estimar la infiltración de agua en la cuenca a la que pertenece el sitio de proyecto, así como fotografías aéreas de la zona para delimitar el área de la cuenca de aportación; cabe mencionar que este análisis puede llevarse a cabo por medios digitales, por ejemplo, el uso de Google Earth.

Ahora bien, es posible apoyarse en información obtenida de proyectos que se encuentren dentro de la misma área de influencia, ya sean estudios topohidráulicos, hidráulicos o hidrológicos que ayuden a realizar un predimensionamiento.

3.4.1.1 CARACTERÍSTICAS DE LA INFORMACIÓN REQUERIDA

En conjunto, se recomienda que la información empleada en la elaboración del análisis hidrológico posea las siguientes características:

- Se requieren cartas topográficas, geológicas, hidrológicas, edafológicas y de uso de suelo a escala 1:50,000 de la región donde para zonas rurales, en caso de zonas urbanas se recomienda el empleo de cartas a escala 1:5,000.
- Recabar la información obtenida de las estaciones pluviográfica, pluviométricas e hidrométricas que se encuentren dentro de la cuenca o en su defecto, sitios cercanos a la zona a la cuenca. Se requieren registros de lluvias anuales de un periodo igual o mayor que la mitad del periodo de retorno, en donde para cuencas mayores a 1,000 km² se recomienda usar al menos 25 años de registros de ser posible.

3.4.2 ANÁLISIS HIDRÁULICO

Se deben aplicar modelos teóricos como el método de Manning y la ecuación de continuidad a las secciones hidráulicas obtenidas del estudio hidrológico, incluyendo la información de pendiente media y los coeficientes de rugosidad. La norma **N-PRY-CAR-1-06-005/18** menciona que si la pendiente es mayor al 2% deben de emplearse mediciones con molinetes o cuerpos flotantes para obtener mejores resultados.

El análisis hidráulico debe conformarse por la determinación de los gastos, tirantes, niveles y velocidades de la corriente del cuerpo de agua con base en los períodos de retorno seleccionados. En particular, se deben obtener las pendientes medias del cauce principal, presentar un resumen de los gastos calculados denotando el gasto máximo correspondiente al de diseño, las velocidades en la sección hidráulica respecto a los coeficientes de rugosidad estimados y los tirantes en diferentes tramos del cauce; en conjunto, esta información permite al proyectista conocer como funciona el cauce principal y definir la influencia que tendrá la estructura en éste.

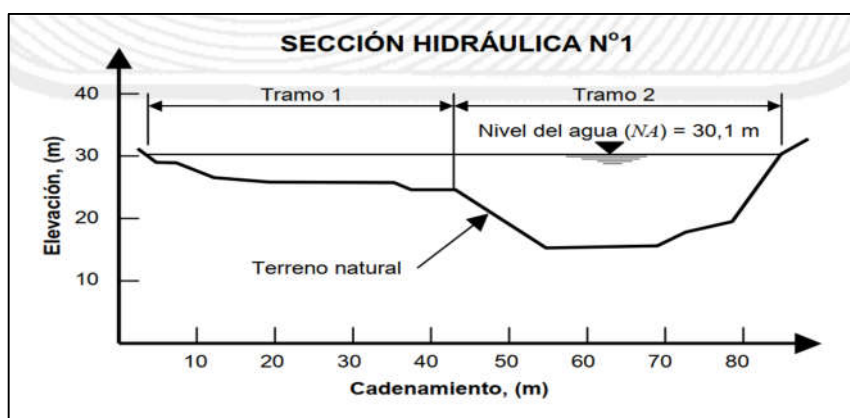


Figura 3.5 Sección hidráulica usada en para un análisis hidráulico (N-PRY-CAR-1-06-005/00)

3.4.2.1 ANÁLISIS DE LA INFORMACIÓN

Para determinar los gastos de diseño de acuerdo con los períodos de retorno que pueden ser desde 50, 100 o 1,000 dependiendo de su tipo, vida útil y costo de la estructura, se recomienda el empleo de métodos estadísticos o semi empíricos. A continuación, se presenta un listado con los métodos más comúnmente usados en la práctica:

- Método racional
- Método de Horton
- Método de Ven Te Chow
- Método del hidrograma unitario triangular
- Método del hidrograma unitario sintético
- Método de Gumbel
- Método de Nash
- Método Exponencial
- Método Log Normal

3.4.3 PRESENTACIÓN DEL ESTUDIO

En función de lo planteado, se debe presentar un conjunto de planos que contengan la información recabada y calculada en los estudios antes mencionados. A continuación, se presentan las características generales que deben tener:

- Se debe entregar un plano de la corriente, precisando su dirección y sentido de escurrimiento, así como determinar la ubicación de la estructura y si requiere de esviaje señalando el número; el tipo y la ubicación de las obras de protección marginal, así como el encauzamiento y rectificaciones del cauce de ser necesarias.
- Un plano donde se represente la configuración del terreno por el fondo del cauce, las secciones hidráulicas y los niveles de agua para obtener tanto la pendiente geométrica del cauce como la del agua. Se debe incluir un apartador donde se presenten los cálculos realizados para determinar las velocidades
- El croquis de localización de la estructura en el sitio del cauce, debiendo incluir las poblaciones, rutas de acceso y distancias aproximadas.

Finalmente, se recomienda al lector referenciarse a las normas **M-PRY-CAR-1-06-004/00** y **M-PRY-CAR-1-06-005/00** para profundizar en lo referente a elaboración de los análisis hidrológicos e hidráulicos, respectivamente. En igual forma la norma de la **SICT N-PRY-CAR-1-06-001-00** es la referencia para inicial que todo proyectista debe consultar al manejar información referente a estos estudios.

3.4.4 INFORMACIÓN DE PROYECTO

Para el estudio hidráulico – hidrológico se realizaron dos levantamientos topográficos, uno a 300 m aguas arriba y otro a 280 m aguas abajo respecto al punto propuesto para el puente nuevo. El levantamiento de perfiles abarca una extensión de 800 m tanto en el cuerpo izquierdo como el derecho del eje de proyecto.

3.4.4.1 DATOS HIDROLOGICOS GENERALES

A continuación, se presentan la información hidrológica general pertinente al sitio de proyecto:

- Área de la cuenca: 97.114163 km²
- Región hidrológica: No. 28
- Cauce: Sinuoso y encajonado
- Tipo de escurrimiento: Torrencial
- Precipitación media anual: 360 mm
- Período de lluvias: De junio a octubre

3.4.4.2 ANÁLISIS HIDROLÓGICO

Se presenta el resumen del análisis realiza para determinar el gasto de diseño:

- Método Aplicado: Ven Te Chow
- Gasto Máximo: 522.56 m³/s
- Periodo de Retorno: 500 años
- Gasto para el Nivel de Aguas de Construcción (NAC): 115.94 m³/s
- NAME = 1,317.84

Tabla de resumen Método Ven Te Chow	
Tr (años)	Gasto m3/s
Tr=10 años	115.94 m3/s
Tr=100 años	335.98 m3/s
Tr=200 años	413.60 m3/s
Tr=500 años	522.56 m3/s

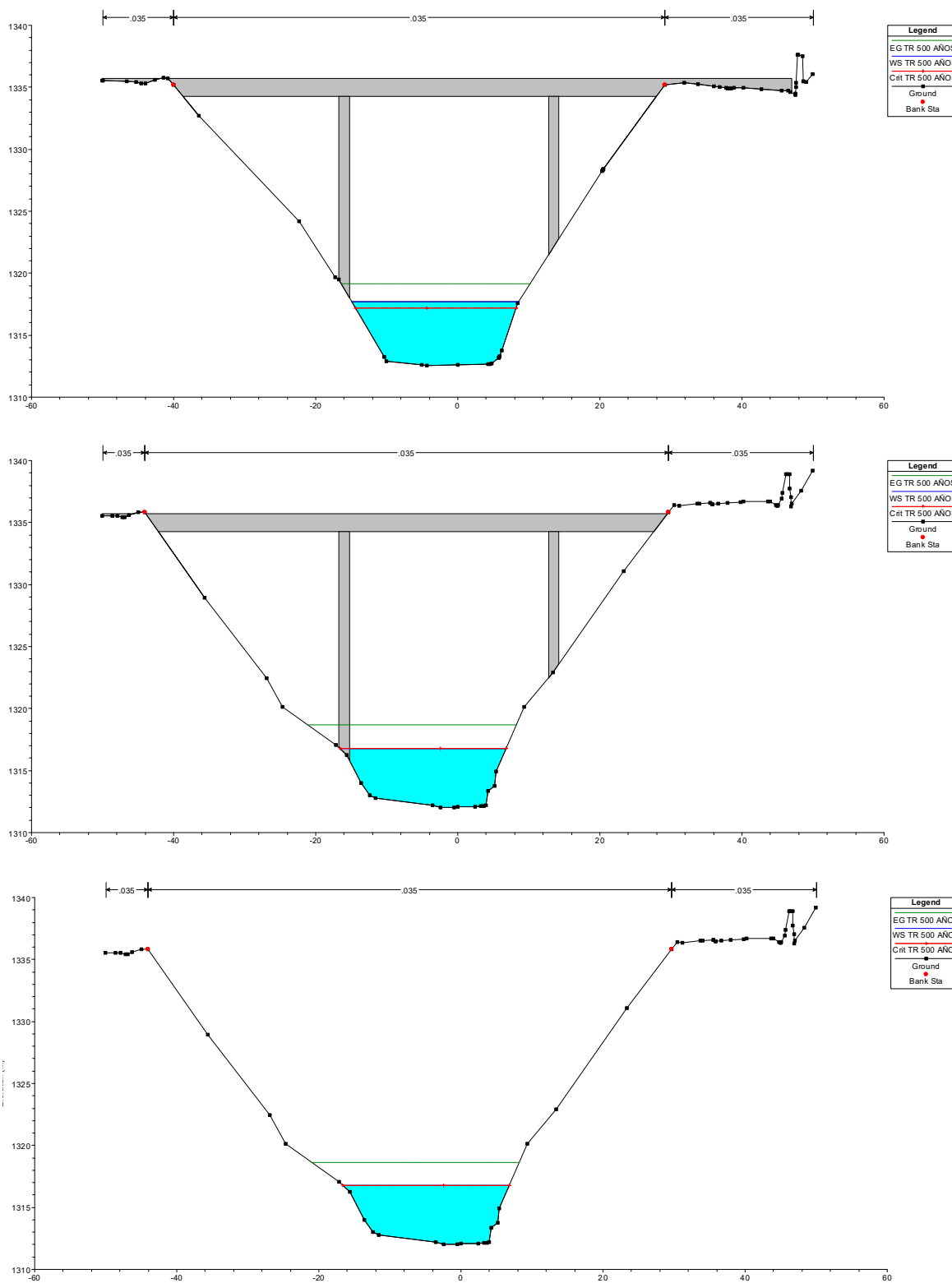
Tabla 3.2 Resumen de gastos obtenidos con el método de Ven Te Chow

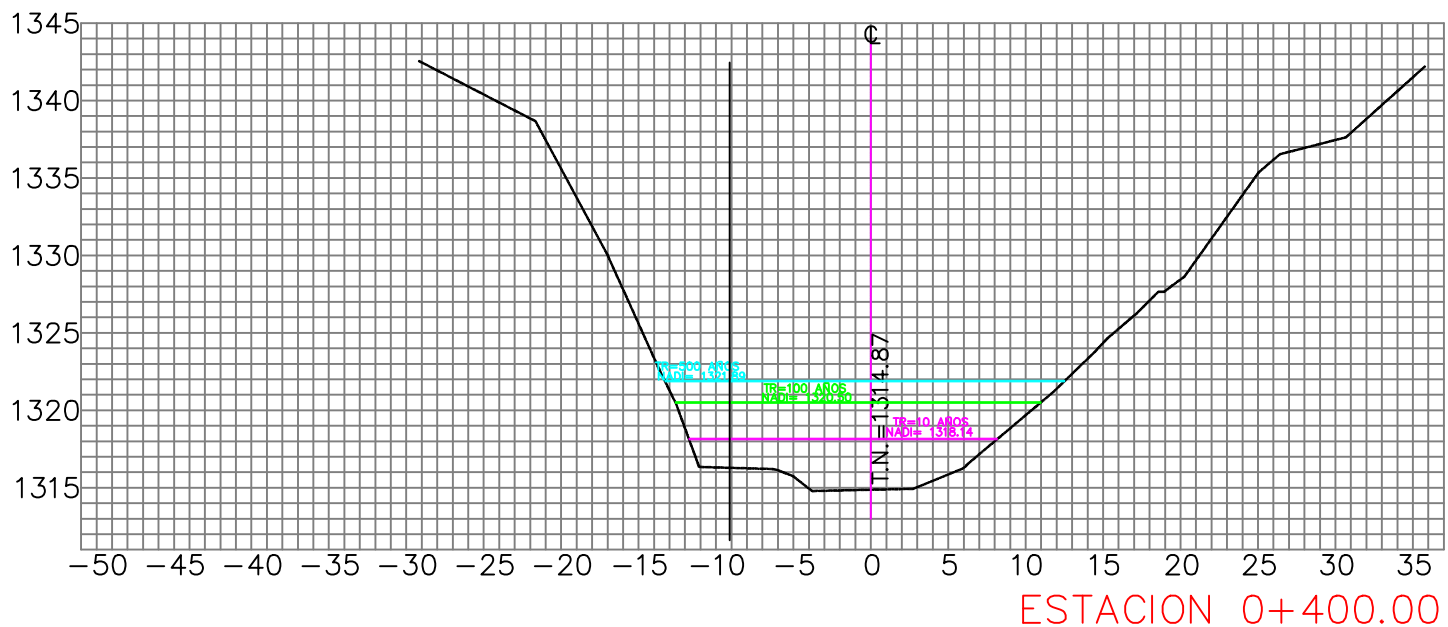
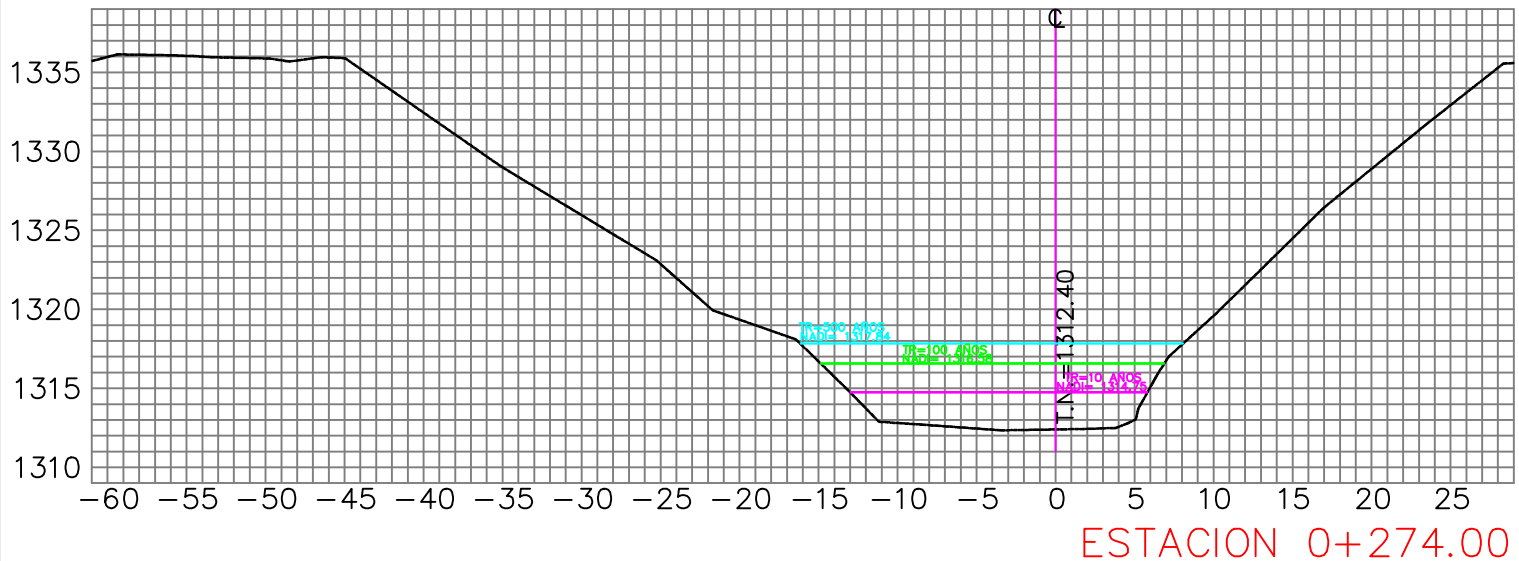
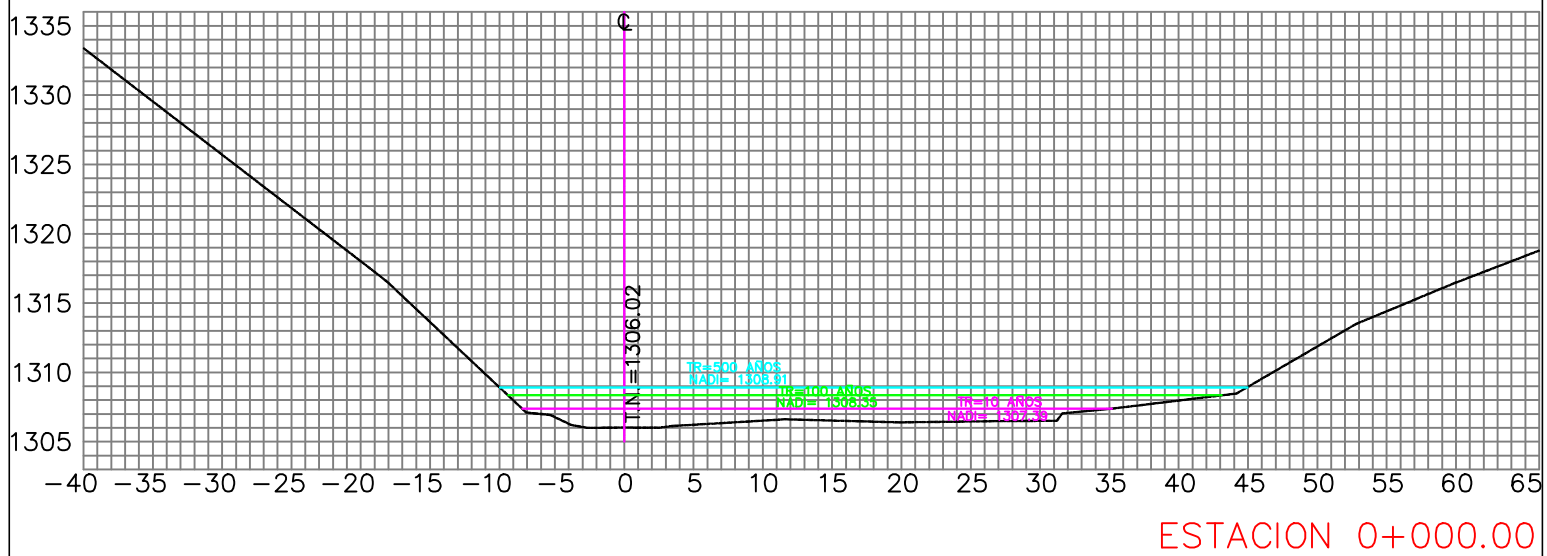
3.4.4.3 ANÁLISIS HIDRÁULICO

A continuación, se presenta el resumen del análisis hidráulico:

RESUMEN DEL ANÁLISIS HIDRÁULICO EN HEC-RAS	
PERÍODO DE RETORNO	PERÍODO DE RETORNO
T _r = 10 años	T _r = 100 años
SECCIÓN AL CRUCE	SECCIÓN AL CRUCE
k _m = 0+280	k _m = 0+280
ÁREA HIDRÁULICA	ÁREA HIDRÁULICA
A _H = 35.29 m ²	A _H = 72.39 m ²
VELOCIDAD MEDIA	VELOCIDAD MEDIA
V _m = 3.28 m/s	V _m = 4.64 m/s
NIVEL DE AGUAS DE DISEÑO	NIVEL DE AGUAS DE DISEÑO
NADI = 1,314.75 msnm	NADI = 1,316.58 msnm
RESUMEN DEL ANÁLISIS HIDRÁULICO EN HEC-RAS	
PERÍODO DE RETORNO	PERÍODO DE RETORNO
T _r = 200 años	T _r = 500 años
SECCIÓN AL CRUCE	SECCIÓN AL CRUCE
k _m = 0+280	k _m = 0+280
ÁREA HIDRÁULICA	ÁREA HIDRÁULICA
A _H = 83.71 m ²	A _H = 100.99 m ²
VELOCIDAD MEDIA	VELOCIDAD MEDIA
V _m = 4.94 m/s	V _m = 5.17 m/s
NIVEL DE AGUAS DE DISEÑO	NIVEL DE AGUAS DE DISEÑO
NADI = 1,317.10 msnm	NADI = 1,317.84 msnm

Tabla 3.3 Resumen del análisis hidráulico realizado con HEC-RAS





3.5 ESTUDIO DE IMPACTO AMBIENTAL

El impacto ambiental involucra la transformación, modificación o alteración tanto de la flora, fauna, suelo y agua como del entorno de desarrollo humano, es decir, el social, el económico y el cultural; este cambio puede ser ocasionado por la acción de la naturaleza o por actividad humana, pudiendo ser positivo o negativo. En este sentido, se entiende que los efectos sobre el ambiente pueden ser mitigables o no mitigables, así como reversibles o no reversibles, presentándose en el corto, mediano o largo plazo.

En la elaboración de un estudio de impacto ambiental se deben cumplir con las disposiciones reglamentarias de la LGEEPA, los cuales involucran a la legislación aplicable al sitio de proyecto, la determinación de impactos generados por el proyecto y su valoración, las medidas de mitigación aplicables y su implementación. Se debe incluir una descripción general del sitio y su climatología, la contaminación tanto ambiental como por tránsito y ruido de vehículos terrestres y aéreos, el deterioro ecológico, el peligro de inundaciones o deslaves; un análisis de la información obtenida, conclusiones y recomendaciones deben ser presentadas.

Por lo que se refiere al estudio de impacto ambiental que debe presentarse en todo proyecto de infraestructura, se deben involucrar las condiciones iniciales del lugar donde se desarrollará el proyecto, en consecuencia, la determinación de los impactos se debe realizar para cada una de las etapas del proyecto que van desde los trabajos de desmonte o despalme, abarcando el proceso de construcción hasta la operación y abandono.

Desde una perspectiva más general, la evaluación del impacto ambiental se conforma por la descripción del proyecto y su desglose en etapas, la descripción inicial del medio ambiente y sus elementos más significativos; el alcance del estudio está directamente relacionado con la magnitud del proyecto y de los impactos que tendrá en el ambiente, relacionándose directamente con las medidas de mitigación y el plan de vigilancia y control que deberá tenerse de la obra.

Un ejemplo de ello es que para trabajos de conservación rutinaria solo se requiere dar aviso a la dependencia encargada mientras que para trabajos de construcción y ampliación, se requiere presentar una manifestación de impacto ambiental ya sea general, intermedia o específica, según su magnitud.

En síntesis, se requiere de una manifestación de impacto ambiental que es un estudio técnico con carácter preventivo, el cual es usado durante la etapa de planeación de todo proyecto y sirve para identificar los efectos que tendrá la obra sobre el medio ambiente, debiéndose manifestar las medidas preventivas que minimicen los efectos negativos.

CAPÍTULO 4. PROYECTO GEOMÉTRICO

En el proyecto geométrico se realiza el ordenamiento y dimensionamiento de los elementos visibles de la carretera con su entorno tomando en cuenta su clasificación respecto al tipo de función, su volumen de tránsito, el tipo de terreno, la velocidad de proyecto y la capacidad proyectada; como resultado se obtiene la representación en planta, el perfil longitudinal y las secciones transversales del terreno.

En síntesis, es el conjunto de trabajos que involucra a los estudios de campo, la selección de la ruta, la determinación de los parámetros de diseño, el análisis y cálculo del alineamiento vertical y horizontal de carreteras generando la geometría general del camino, así como los volúmenes de material necesarios para la construcción.

Entre las características que definen a un proyecto geométrico se encuentran la velocidad de proyecto, las distancias de visibilidad, el grado máximo de curvatura, las pendientes máximas, longitudes críticas, anchos de corona y de calzada, ampliaciones y sobrelevaciones máximas.

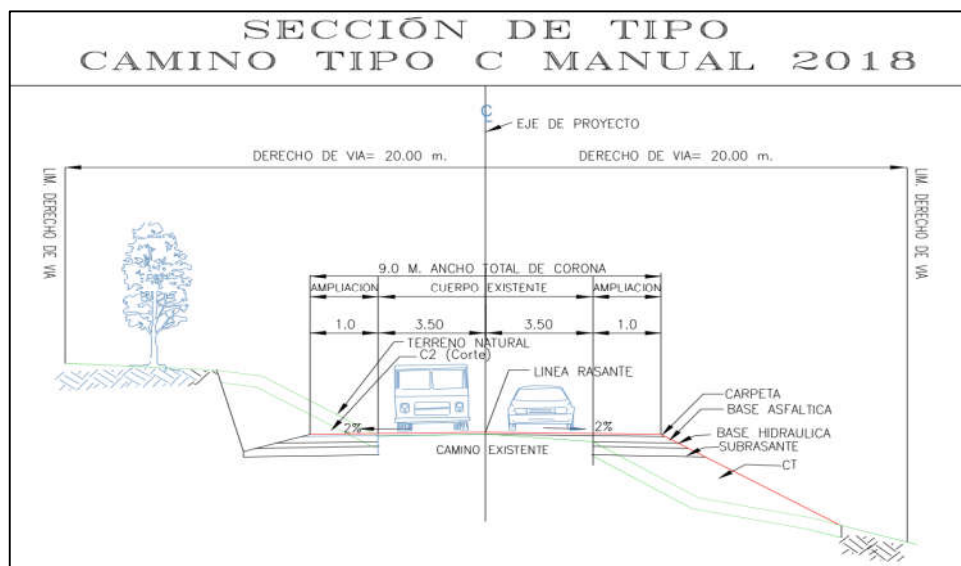


Figura 4.1 Sección transversal de un camino Tipo C como resultado de un proyecto geométrico

En el presente trabajo se omiten los elementos complementarios y solamente se enfocare en la adecuación del trazo geométrico de la curva por donde se proyecta el puente curvo.

Para ampliar conocimientos referentes a la elaboración del proyecto geométrico, se recomienda al lector referenciarse a las normas **NOM-012.SCT-2, M-PRY-CAR-2-02, M-PRY-2-06** de la **SICT** y al **Manual de Proyecto Geométrico de Carreteras 2018**.

4.1 VEHICULO

El vehículo constituye un factor importante en la elaboración del proyecto geométrico tanto en carreteras como en sus obras especiales, siendo este el caso de los puentes. Las características del tipo de vehículo de diseño influyen directamente en las solicitudes a las que estará expuesto por carga viva e impacto debido al peso por eje que éste le transmite a la superestructura, además influye directamente en el ancho de calzada para puentes curvos ya que ésta depende de la longitud y entrevía del vehículo seleccionado.

El tipo de vehículo considerado para el diseño le confiere al proyectista las dimensiones de alto, ancho, longitud, distancia entre ejes y entrevía, necesarias para el diseño de la superestructura en puentes carreteros. Esta información le permite determinar el peso total del vehículo cargado, también llamado peso bruto vehicular.

Dentro de la clasificación acorde al tipo de vehículo, éstos pueden ser autos (A), autobuses (B), camiones unitarios (C), este último agrupa a los camiones articulados que se designan con la primera letra del nombre de las unidades que lo conforman: *T* para trato camión, *S* indica un semirremolque, *R* hace referencia a un segundo semirremolque; además, se agrega un dígito a cada letra que corresponde al número de ejes sencillos que conforman a la unidad.

Un ejemplo de lo anterior es la clasificación que tienen los vehículos que más transitan la red de carreteras nacional, estos son: A2 (automóvil), B3 (autobús), C3 (camión rabón), T3S2 (tórton), T3S3 (tráiler), T3S2R4 (full tráiler).

CLASE: VEHÍCULO O CONFIGURACIÓN	NOMENCLATURA
AUTOBÚS	B
CAMIÓN UNITARIO	C
TRACTOCAMIÓN	T
CONVERTIDOR	D
CAMIÓN REMOLQUE	C-R
TRACTOCAMIÓN ARTICULADO	T-S
TRACTOCAMIÓN DOBLEMENTE ARTICULADO	T-S-R Y T-S-S

Tabla 4.1 Clasificación de los vehículos de acuerdo con su clase (NOM-012-SCT-2-2017)

Para profundizar en este tema, se recomienda al lector referenciar a la **NOM-012-SCT-2-2017** de la **SICT**.

4.2 CLASIFICACIÓN DE LAS CARRETERAS

La carretera es un camino dispuesto para el tránsito de vehículos que para la red nacional se agrupan administrativamente como federales, estatales, vecinales y de cuota; a su vez, también son clasificadas de acuerdo con su nivel de construcción dividiéndose en terracerías, revestidas y pavimentadas.

Por otra parte, se encuentra una clasificación de vialidades que permite entender el tipo de parque vehicular que las transita, siendo estas clasificadas como vialidades principales (arterias), vialidades secundarias (colectoras) y vialidades locales (calles).

Ahora bien, para la red nacional de carreteras la SICT publicó su clasificación de las carreteras de acuerdo con el número de carriles que posee la calzada y el tipo de vehículo de mayor peso y dimensiones que la transita.

Tipo de carretera	Nomenclatura
Carretera de cuatro carriles, Eje de Transporte	ET4
Carretera de dos carriles, Eje de Transporte	ET2
Carretera de cuatro carriles	A4
Carretera de dos carriles	A2
Carretera de cuatro carriles, red primaria	B4
Carretera de dos carriles, red primaria	B2
Carretera de dos carriles, red secundaria	C
Carretera de dos carriles, red alimentadora	D

Tabla 4.2 Tipos de carreteras y su nomenclatura

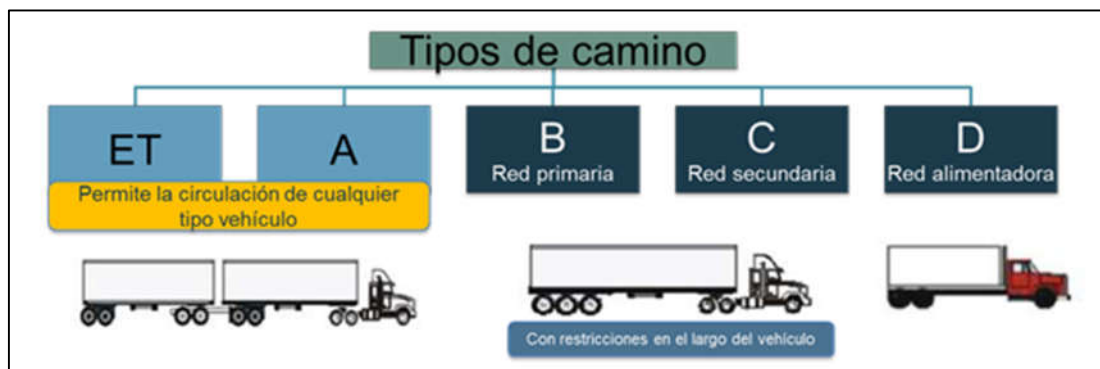


Figura 4.2 Tipo de carreteras y los vehículos que pueden transitarlas

Tipo de camino	vehículo de proyecto		Peso bruto vehicular	Largo m	Ancho m	Relación Peso/potencia	hp NOM-012
	Tipo	Nomenclatura					
ET-A	T3-S2-R4	DE-2836	75.5	31.0	2.6	175.5	430
B	C3-R3	DE-2434	47.5	28.5	2.6	110.5	430
C	T3-R3	DE-1594	40.0	18.5	2.6	93.0	430
D	C3	DE-846	18.5	12.5	2.6	92.5	200

Tabla 4.3 Características de las carreteras y el tipo de vehículos que pueden transitar en ellas

4.3 CURVATURA

La planta de las vías terrestres emplea líneas rectas con pendiente que están unidas por curvas verticales parabólicas, en donde la línea definitiva se define a partir de los tramos rectos, también llamados tangentes, que se cortan en puntos de intersección o inflexión llamados PI.

En este sentido, una vía no puede desarrollarse siguiendo las tangentes entre PI consecutivos, por lo que se requiere de curvas horizontales que cambian suavemente de una dirección a otra uniendo las tangentes del trazo que generalmente pueden ser curvas circulares simples, curvas compuestas, curvas espirales o de transición e inversas. Lo anterior implica que cuando un vehículo circula por una curva horizontal debe analizarse su estabilidad y el ancho mínimo que requerido para dar la vuelta, ya que un vehículo es estable cuando permanece sobre sus llantas y sigue la trayectoria del camino.

Por otra parte, una curvatura en el trazo de camino le confiere un extra de solicitudes a los vehículos debido a la acción de la fuerza centrífuga, por lo cual, es necesario que se genere una sobre elevación en la curva exterior que tienda a llevar a los vehículos al centro de la curvatura con el fin de contrarrestar el efecto de dichas fuerzas.

En la práctica se debe procurar que las curvas no sean de corta longitud, es decir, no llegar a la curvatura máxima que permite la velocidad de proyecto y en su lugar, usar curvas de gran radio que proporcionen tramos con visibilidad suficiente para el rebase de los vehículos. También se debe evitar usar tramos rectos entre dos curvas que poseen la misma dirección, ya que generan accidentes.

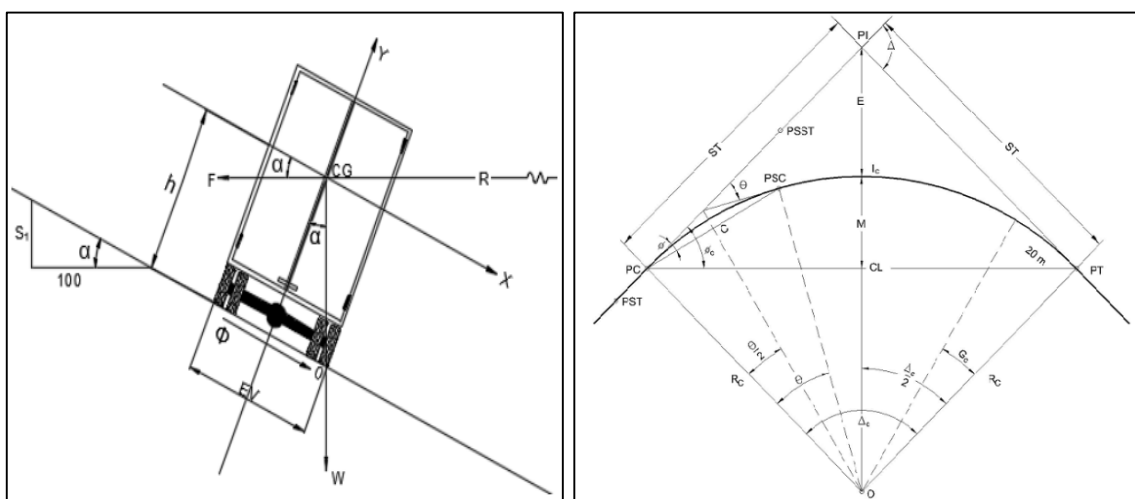


Figura 4.3 Sobrelevación y curvatura en el trazo de proyecto

4.4 RADIO DE GIRO

El radio de giro involucra las características tanto de dimensiones como de operación de los diferentes tipos de vehículos, siendo el radio de la circunferencia definida por la trayectoria de la rueda delantera externa del vehículo cuando está efectuando un giro, en donde las ruedas externa e interna se utilizan para determinar las ampliaciones en las curvas horizontales necesarias para diseñar la orilla interna de la calzada de la superestructura de un puente.

En particular los radios de las trayectorias de las ruedas traseras son menores que los de las ruedas delanteras, lo que implica que el ancho requerido para transitar por la curva sea mayor que el requerido en un tramo recto, por lo tanto, es deber del proyectista considerar una ampliación.

El radio de giro se define con base en las siguientes dimensiones:

- *Radio de Giro Mínimo*: Esta delimitado por la deflexión máxima que presentan las ruedas del vehículo.
- *Distancia entre Huellas Externas*: Es la distancia entre los límites exteriores de la llanta delantera externa y trasera interna.
- *Entrevía del vehículo*
- *Desplazamiento de la Huella*: Es la diferencia entre huellas externas y entrevía del vehículo.

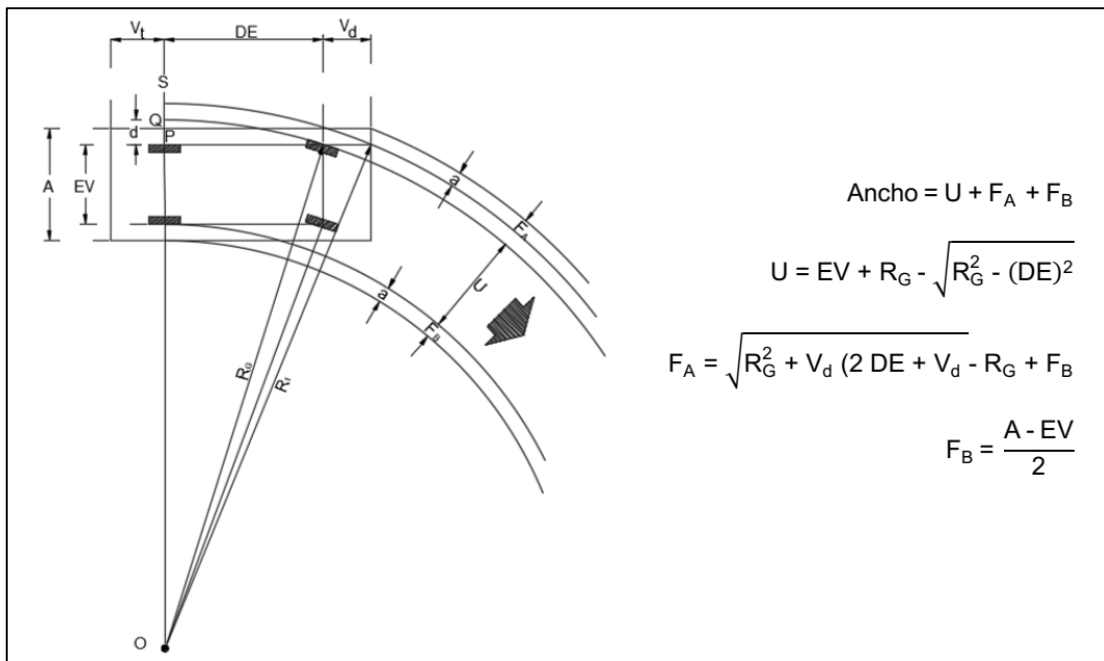


Figura 4.4 Dimensiones requeridas para determinar el radio de giro (Figura I.3, MPGC-2018)

Cabe resaltar que el radio de giro minino está limitado por la deflexión máxima de las ruedas, es decir, la distancia entre los límites exteriores de las huellas delantera externa y trasera interna determina el radio de giro mínimo requerido para el tránsito de un determinado tipo de vehículo.

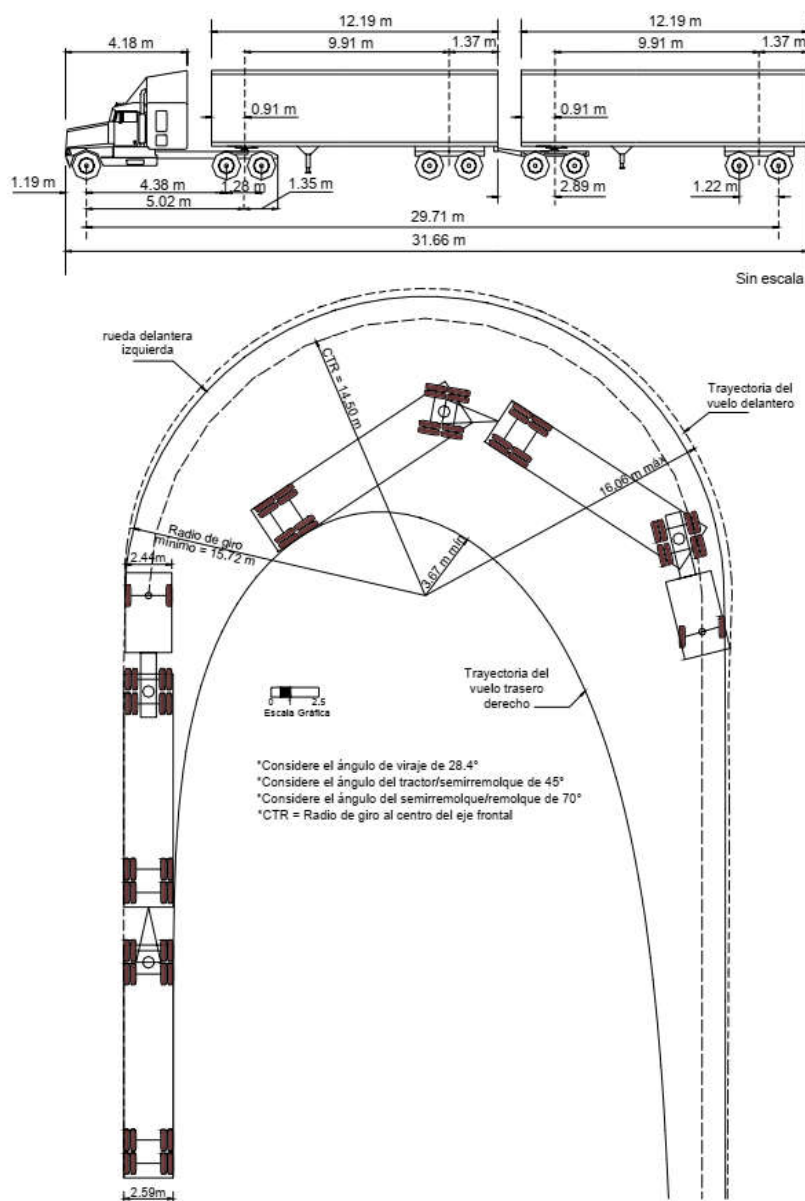


Figura 4.5 Esquema de la trayectoria de giro para un vehículo de proyecto DE-2970

Para profundizar en las expresiones presentadas para el cálculo del radio de giro, se recomienda al lector referenciarse al inciso D.2.1.2 correspondiente al **Capítulo I** del **Manual de Proyecto Geométrico de Carreteras 2018 de la SICT**.

4.5 ALINEAMIENTO HORIZONTAL

Es la unión de los puntos de inflexión de las tangentes mediante el empleo de arcos, ya sean circulares o espirales, los cuales se determinan en el plano de planta debiendo escoger el radio que mejor se adapte al trazo y a la velocidad de proyecto.

4.6 ALINEAMIENTO VERTICAL

Es la unión de los puntos de inflexión vertical presentes en el trazo de proyecto, compuestos de un tramo de parábola vertical cóncava o conexa que tienen su punto de inicio en un PCV y terminan en un PTV; su longitud depende de la pendiente entre tangentes, la visibilidad y distancia de frenado variando en tramos de 20 m.

4.7 GALIBO HORIZONTAL DE CLAROS

Se refiere a la longitud que deben tener los claros del puente con base en el estudio hidráulico - hidrológico cuando una estructura cruce un cuerpo de agua o cuando atravesese una carretera se deber tener un claro mínimo igual que el ancho total de la calzada de la carretera inferior más acotamientos; preferentemente se busca que sea de 1.2 m a cada lado, considerando las defensas de protección a 60 cm del paramento del estribo o pila.

4.8 GABLIGO VERTICAL

Es el espacio libre entre la superestructura y cualquier punto de la superficie de la calzada y sus acotamientos, la parte superior de un riel o el nivel de aguas de diseño (NADI) de un cauce, el cual debe ser como mínimo 5.5 m para puentes que crucen carreteras y aquellos que crucen cuerpos de agua debe ser el que establezca el estudio hidráulico e hidrológico, es decir, debe ser mayor que el Nivel de Aguas de Diseño.

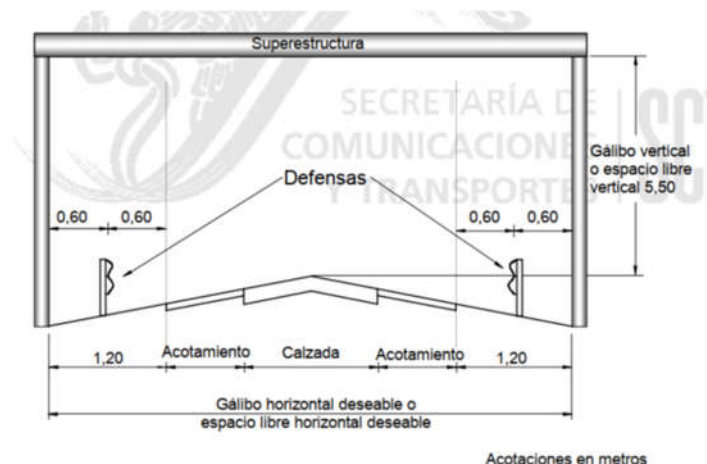


Figura 4.6 Espacios libres tanto horizontal como vertical (Figura 1, N-PRY-CAR-6-01-002/01)

4.9 ANCHO DE CALZADA

Es determinado por el espacio libre entre las partes inferiores de las guarniciones o banquetas medido al eje longitudinal, en donde para el uso de vehículos debe ser igual al ancho de corona de la carretera en los accesos incluyendo al ancho de calzada más sus acotamientos, en caso de tenerlos. En el caso de estructuras con curvatura, se debe añadir la al ancho de calzada una ampliación que es función del grado de curvatura y velocidad del proyecto.

El ancho de carril recomendado varía entre 3.5 y 3.6 m, mas no se permiten anchos de carriles menores a 3 m ya que provocan accidentes. Para puentes nuevos se recomienda usar acotamientos de 0.9 m de ser posible.

4.10 ANCHO TOTAL DE LA ESTRUCTURA

Es la distancia entre las caras externas de la superestructura, involucra a los anchos de calzada, los anchos de guarniciones, parapetos y banquetas.

4.11 DRENAJE DE CALZADA

En la superestructura de un puente la superficie de rodamiento debe tener una pendiente a partir del eje de rasante hacia los extremos de la calzada para encausar de manera natural la salida del agua de su superficie. En este sentido y debido a que no se permite que el agua escurra sobre la estructura, se debe proyectar una obra auxiliar que intercepte y capte dicha agua a través de drenes o coladeras, debiendo procurar que no descargue sobre alguna parte de la estructura ni sobre el tránsito inferior en caso de cruzar una carretera.

4.12 SOBREELEVACIÓN

Es la pendiente que se le da a la superficie de rodamiento para contrarrestar los efectos de la fuerza centrífuga que experimenta un vehículo al transitar un tramo curvo, la cual no debe exceder el 10 %, manteniéndose preferentemente constante.

4.13 PERFIL LONGITUDINAL

Es la representación la rasante o subrasante definitiva del proyecto respecto al terreno existente, donde se aprecian las cotas de los puntos tanto importantes como obligados, las obras de drenaje, cruces entre otros.

Su elaboración parte de la información obtenida del estudio topográfico y consiste en dibujar una planta del sitio, después se deben marcar las curvas de nivel con el eje para de esta manera, unir aquellas que correspondan con los niveles de rasante o subrasante. De este dibujo se obtienen gráficamente los espesores que son usados para calcular los volúmenes de materiales para corte y en terraplén.

Para revisar a detalle el perfil longitudinal de proyecto, se recomienda al lector que refiera al **Anexo B. Proyecto Geométrico** donde se encuentra su plano correspondiente.

4.14 RASANTE Y SUBRASANTE DE PROYECTO

La rasante es la proyección del eje de la superficie de rodamiento de la carretera, mientras que la subrasante la proyección del perfil del eje de las terracerías y sirve para determinar los cortes y rellenos necesarios en el proyecto. Ambas están formadas por una serie de líneas rectas con sus respectivas pendientes que están unidas unas a otras por arcos de curvas parabólicas verticales tangentes a ellas y su seguimiento va conforme la siguiente convención: positivas si son ascendentes y negativas si son descendentes.

En general, se debe de tener una pendiente del 2% en carreteras de altas especificaciones y de 3% para otro tipo de carreteras.

Para conocer las cotas de rasante y nivel del terreno natural, se recomienda al lector referenciarse al **Anexo B. Proyecto Geométrico**.

4.15 SECCIONES TRANSVERSALES

Son perfiles del terreno normales al eje de proyecto obtenidas a cada 20 m dibujadas a escala 1:100, las cuales muestran la sección que deberá construirse, corte o terraplén, el talud de ellos dependerá de la clase de terreno y deberá tener la inclinación de reposo natural para evitar derrumbes

- Cortes: relación máxima de 1.5:1
- Terraplenes: relación máxima de 2:1

Las secciones transversales obtenidas se utilizan para obtener los volúmenes de material por llenar y excavar, en donde se relacionan las áreas de dos secciones transversales consecutivas a distancia constante de 20 m; para este proceso se puede emplear el método de curva masa.

Para ver las secciones transversales se recomienda al lector referenciarse al **Anexo. Estudios Preliminares**.

4.16 CURVA MASA

Es una gráfica dibujada en ejes cartesianos donde las ordenadas representan volúmenes acumulados de excavación o relleno de material, y las abscisas representan el cedamiento de la carretera, en síntesis, es la curva donde se representan los volúmenes de material y las distancias de acarreo; está se dibuja en el mismo plano que el perfil, en donde los cedamientos deben coincidir.

Cabe mencionar que entre dos estaciones consecutivas, si la curva masa asciende indica que ahí debe hacerse un corte, si la curva masa desciende indica que debe haber un terraplén o relleno.

De igual manera, se utiliza para seleccionar el equipo más adecuado para realizar los trabajos de excavación y acarreo del material, buscando que el material extraído de los cortes sea utilizado en la formación de los terraplenes.

Para profundizar en este tema se recomienda al lector referenciarse a las normas **N-CTR-CAR-1-01-011/11** y de la **SICT**.

4.17 ELEVACIONES DE CORONAS

La corona, también es conocida como capa subrasante, es la parte superior del terraplén construida en un espesor de al menos 30 cm y es representada mediante una línea en las sección transversales elaboradas en el estudio topográfico.

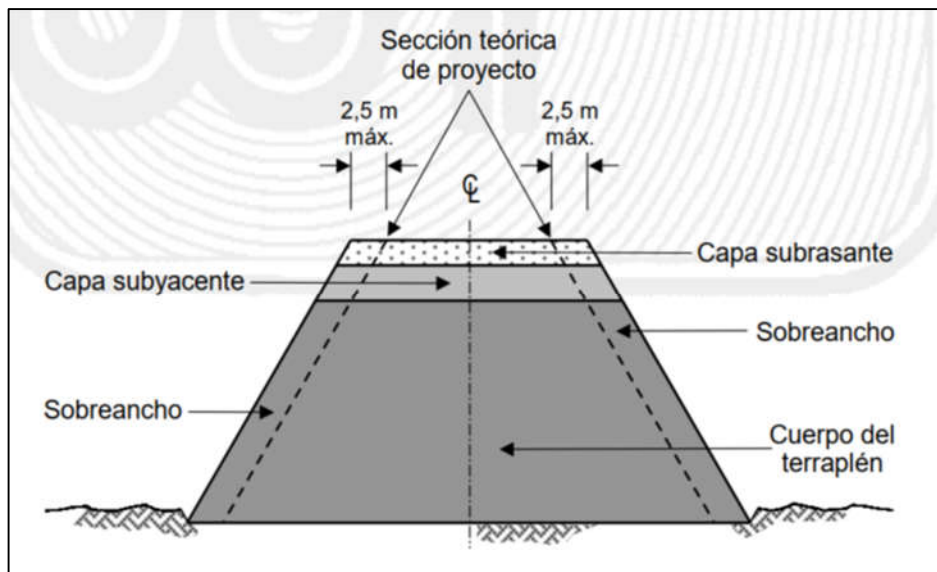
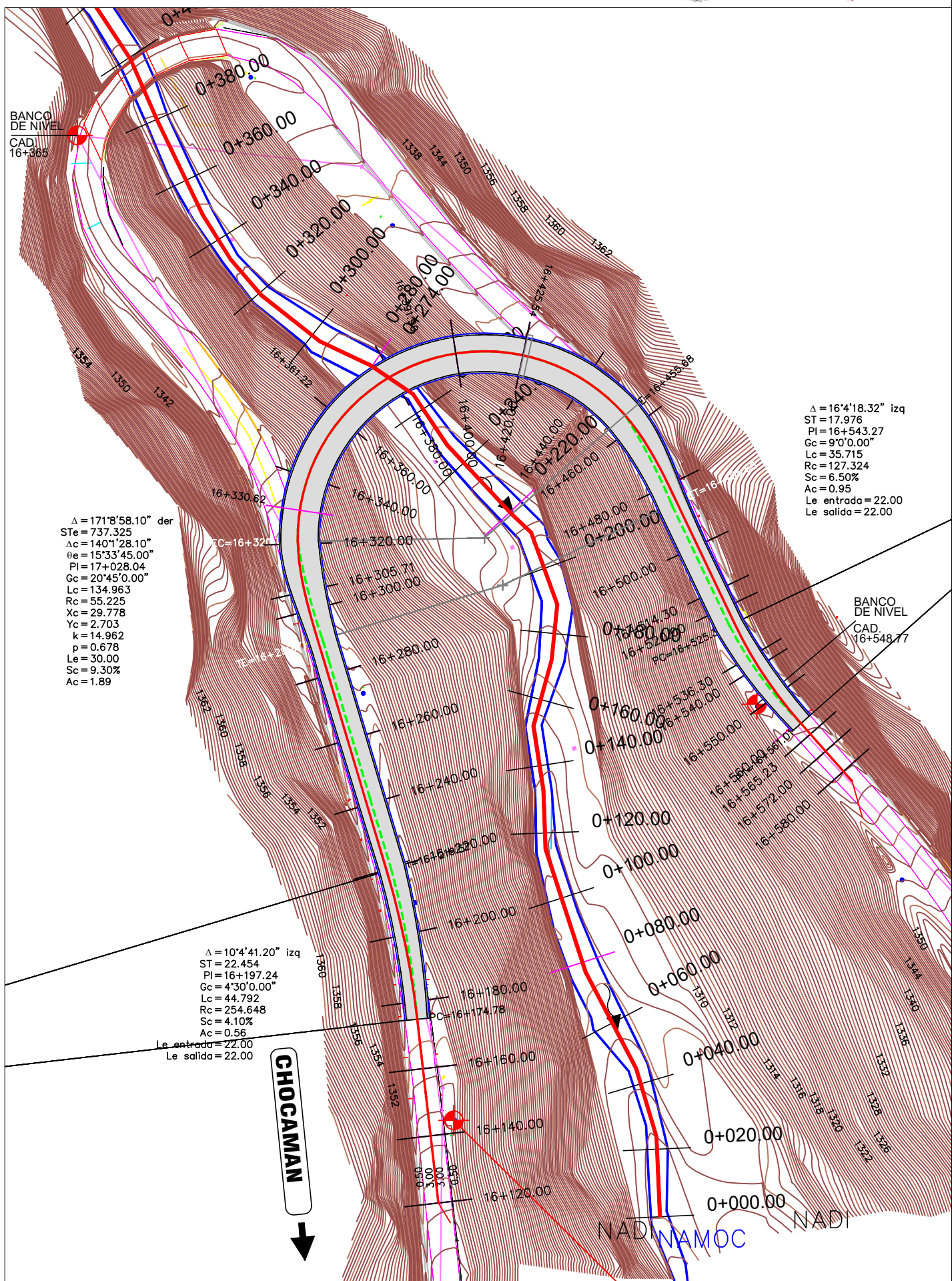


Figura 4.7 Representación de la capa subrasante (Figura 1, N-CTR-CAR-1-01-009/00)

Para conocer las elevaciones de coronas que tiene el ejemplo de proyecto, se recomienda al lector referirse al **Anexo A. Estudios Preliminares**.



CAPÍTULO 5. MEMORIA DE CÁLCULO

5.1 REGLAMENTOS Y BASES DE DISEÑO

5.1.1 NORMA AASHTO LRFD 2020

Las Especificaciones de Diseño LRFD para Puentes de la American Association Of State Highway and Transportation Officials (AASHTO por sus siglas en inglés) son el recurso más ampliamente usado para el diseño de puentes carreteros a nivel nacional, ya que se están elaboradas con base en estudios estadísticos provenientes de las carreteras de los Estados Unidos de América, así como del conocimiento adquirido tanto empírico como por experimentación del comportamiento de las estructuras.

En estas especificaciones, el proyectista encuentra los requisitos mínimos de seguridad que debe cumplir al realizar el diseño, evaluación o rehabilitación de un puente siguiendo la metodología de Diseño por Factores de Carga y Resistencia (LRFD por sus siglas en inglés).

Para el año de edición y publicación de este texto se hace uso de la **Novena Edición de las LRFD Bridge Design Specifications 2020**, mas se recomienda al lector referirse a la publicación más reciente.

5.1.2 BASES DE DISEÑO

El diseño de puente tiene como objetivo asegurar su seguridad estructural ante las solicitudes que se puedan presentar durante su periodo de vida útil, en donde el proyectista debe contemplar cada una de las etapas que se involucran desde su concepción estructural hasta su construcción y posterior puesta en operación.

En términos generales, se deben contemplar los estados límite de resistencia y servicio en el diseño, así como los aspectos de su procedimiento constructivo y de mantenimiento involucrando la economía disponible y estética requerida para cada proyecto.

En la revisión del estado límite de resistencia se busca cumplir con las combinaciones de cargas que pueden actuar en la estructura y en el estado límite de servicio se revisan las tensiones, deformaciones y dimensiones de fisuras que pudiesen presentarse durante su operación.

En las especificaciones de la norma AASHTO se establece que la metodología empleada para el diseño de cada uno de los elementos y conexiones se sustenta en el uso de factores de carga y resistencia (LRFD) los cuales son aplicados en la **Eq. 1.3.2.1-1 del artículo 1.3.2.1 – Requisitos Generales:**

$$\sum n_i \gamma_i Q_i \leq \phi R_n = R_r$$

Donde:

- γ_i = Factor de carga que se aplica a las solicitudes (**Tablas 3.4.1-1 y 3.4.1-5 de la norma AASHTO LRFD 2020**)
- ϕ = Factor de resistencia que se aplica a la resistencia nominal
- η_i = Factor modificador de cargas relacionado con la ductilidad, redundancia e importancia estructural
- Q_i = Efecto de las cargas
- R_n = Resistencia nominal
- R_r = Resistencia Factorizada

Para profundizar en la filosofía de diseño se recomienda al lector referirse al artículo **1.3 Filosofía de diseño de la norma AASHTO LRFD 2020** o su equivalente más reciente. A su vez, para profundizar en los objetivos de diseño que deberá seguirse en todo proyecto se recomienda al lector referirse al artículo **2.5 Objetivos de Diseño de la norma AASHTO LRFD 2020** o su equivalente más reciente.

5.1.3 FACTORES DE CARGA

En las especificaciones de la norma AASHTO LRFD 2020 se contempla que el uso de factores que modifican las cargas actuantes en una estructura sean aplicados con el fin de producir la mayor solicitud, es decir, la combinación más crítica analizando los valores extremos positivos como los extremos negativos.

Es deber del proyectista identificar el efecto de las solicitudes en la estructura y definir el factor de carga a utilizar, es decir, si una carga reduce el efecto de otra el factor a utilizar deberá ser el menor para la carga que provoca la reducción y en el mismo caso se aplica para cargas permanentes, ya que si una carga aumenta o beneficia el comportamiento estructural se deberá aplicar un valor mínimo del factor de carga para mantener un diseño más conservador.

Para el caso específico de este texto se hará uso de los siguientes factores de carga:

- Factor Cargas Muertas: **1.25**
- Factor Carga por Asfalto: **1.5**
- Factor por Carga Viva: **1.75**

Los factores de carga que propone la norma se presentan en las **Tablas 3.4.1-2, 3.4.1-3, 3.4.1-4 y 3.4.1-5**.

Type of Load, Foundation Type, and Method Used to Calculate Downdrag		Load Factor	
		Maximum	Minimum
<i>DC</i> : Component and Attachments		1.25	0.90
<i>DC</i> : Strength IV only		1.50	0.90
<i>DD</i> : Downdrag	Piles, α Tomlinson Method	1.40	0.25
	Piles, λ Method	1.05	0.30
	Drilled shafts, O'Neill and Reese (2010) Method	1.25	0.35
<i>DW</i> : Wearing Surfaces and Utilities		1.50	0.65
<i>EH</i> : Horizontal Earth Pressure			
• Active		1.50	0.90
• At-Rest		1.35	0.90
• <i>AEP</i> for anchored walls		1.35	N/A
<i>EL</i> : Locked-in Construction Stresses		1.00	1.00
<i>EV</i> : Vertical Earth Pressure			
• Overall and Compound Stability		1.00	N/A
• Retaining Walls and Abutments		1.35	1.00
• MSE wall internal stability soil reinforcement loads			
○ Stiffness Method			
■ Reinforcement and connection rupture		1.35	N/A
■ Soil failure – geosynthetics (Service I)		1.20	N/A
○ Coherent Gravity Method		1.35	N/A
• Rigid Buried Structure		1.30	0.90
• Rigid Frames		1.35	0.90
• Flexible Buried Structures			
○ Metal Box Culverts, Structural Plate Culverts with Deep Corrugations, and Fiberglass Culverts		1.50	0.90
○ Thermoplastic Culverts		1.30	0.90
○ All others		1.95	0.90
• Internal and Compound Stability for Soil Failure in Soil Nail Walls		1.00	N/A
<i>ES</i> : Earth Surcharge		1.50	0.75

Tabla 5.1 Factores de Carga para Cargas Permanentes (Tabla 3.4.1-2 AASHTO LRFD 2020)

Para determinar los efectos de sismo se recomienda hacer uso de la norma **N-PRY-CAR-6-01-005/01** de la **Secretaría de Infraestructura, Comunicaciones y Transportes** (antes SCT) debido a las condiciones sísmicas particulares de la regionalización sísmica nacional, la cual contempla que la resultante de la fuerza sísmica actuante en la estructura se obtiene por la acción combinada del sismo unidireccional (X, Y).

Para profundizar en el tema de las combinaciones de carga y sus características, se recomienda al lector referirse al artículo **3.4.1 Factores de Carga y Combinaciones de Carga de la norma AASHTO LRFD 2020** o su equivalente más reciente.

5.1.4 COMBINACIONES DE CARGA

En las especificaciones de la norma AASHTO LRFD 2020 se proponen tres grupos de combinaciones de carga conforme al tipo de solicitud que actuará en la estructura: combinaciones por resistencia, eventos extremos (cargas accidentales) y en servicio.

Load Combination Limit State	<i>DC</i>	<i>DD</i>	<i>DW</i>	<i>EH</i>	<i>EV</i>	<i>ES</i>	<i>EL</i>	<i>PS</i>	<i>CR</i>	<i>PL</i>	<i>LS</i>	<i>WA</i>	<i>WS</i>	<i>WL</i>	<i>FR</i>	<i>TU</i>	<i>TG</i>	<i>SE</i>	<i>EQ</i>	<i>BL</i>	<i>IC</i>	<i>CT</i>	<i>CV</i>	Use One of These at a Time				
Strength I (unless noted)	γ_p	1.75	1.00	—	—	1.00	0.50/1.20	γ_{TG}	γ_{SE}	—	—	—	—	—	—	—	—	—	—	—	—	—	—	—	—	—	—	
Strength II	γ_p	1.35	1.00	—	—	1.00	0.50/1.20	γ_{TG}	γ_{SE}	—	—	—	—	—	—	—	—	—	—	—	—	—	—	—	—	—	—	
Strength III	γ_p	—	1.00	1.00	—	1.00	0.50/1.20	γ_{TG}	γ_{SE}	—	—	—	—	—	—	—	—	—	—	—	—	—	—	—	—	—	—	
Strength IV	γ_p	—	1.00	—	—	1.00	0.50/1.20	—	—	—	—	—	—	—	—	—	—	—	—	—	—	—	—	—	—	—	—	
Strength V	γ_p	1.35	1.00	1.00	1.00	1.00	0.50/1.20	γ_{TG}	γ_{SE}	—	—	—	—	—	—	—	—	—	—	—	—	—	—	—	—	—	—	
Extreme Event I	1.00	γ_{EQ}	1.00	—	—	1.00	—	—	—	—	—	1.00	—	—	—	—	—	—	—	—	—	—	—	—	—	—	—	
Extreme Event II	1.00	0.50	1.00	—	—	1.00	—	—	—	—	—	1.00	1.00	1.00	1.00	1.00	1.00	1.00	1.00	1.00	1.00	1.00	1.00	1.00	1.00	1.00		
Service I	1.00	1.00	1.00	1.00	1.00	1.00	1.00/1.20	γ_{TG}	γ_{SE}	—	—	—	—	—	—	—	—	—	—	—	—	—	—	—	—	—	—	
Service II	1.00	1.30	1.00	—	—	1.00	1.00/1.20	—	—	—	—	—	—	—	—	—	—	—	—	—	—	—	—	—	—	—	—	
Service III	1.00	γ_{LL}	1.00	—	—	1.00	1.00/1.20	γ_{TG}	γ_{SE}	—	—	—	—	—	—	—	—	—	—	—	—	—	—	—	—	—	—	
Service IV	1.00	—	1.00	1.00	—	1.00	1.00/1.20	—	1.00	—	—	—	—	—	—	—	—	—	—	—	—	—	—	—	—	—	—	
Fatigue I— <i>LL, IM & CE</i> only	—	1.75	—	—	—	—	—	—	—	—	—	—	—	—	—	—	—	—	—	—	—	—	—	—	—	—	—	—
Fatigue II— <i>LL, IM & CE</i> only	—	0.80	—	—	—	—	—	—	—	—	—	—	—	—	—	—	—	—	—	—	—	—	—	—	—	—	—	—

Note: For Service I, the load factor for *EV* equals 1.2 for Stiffness Method Soil Failure as shown in Table 3.4.1-2.

Tabla 5.2 Combinaciones de Carga y Factores de Carga (Tabla 3.4.1-1 AASHTO LRFD 2020)

Para el análisis del efecto de cargas accidentales, como lo es el sismo, se recomienda seguir lo que establece la norma **N-PRY-CAR-6-01-005/01** de la **SICT** considerando que la combinación de carga a utilizar será la siguiente:

$$CP_N + CV_N + CE_N$$

Donde se involucran la combinación de cargas permanentes, de cargas vivas y de cargas eventuales (accidentales) afectadas por un factor de carga que, para ser congruentes con el análisis, deberá corresponder con los propuestos en la norma AASHTO LRFD 2020 o su equivalente más reciente.

Para profundizar en el tema de las combinaciones de carga se recomienda al lector referirse al artículo **3.4.1 Factores de Carga y Combinaciones de Carga de la norma AASHTO LRFD 2020 2020** o su equivalente más reciente y a las normas **N-PRY-CAR-6-01-005/01** y **N-PRY-CAR-6-01-006/01** de la **SICT** para el efecto de sismo.

5.1.5 FACTOR DE REPARTO TRANSVERSAL

Es el factor que distribuye el efecto que tiene la carga viva sobre las trabes que soportan al sistema de piso de acuerdo con su posición, ya sea una trabe externa o interna, con el fin de realizar los análisis tanto de estado límite de servicio como de resistencia última considerando la carga real que toma cada elemento.

En el diseño de puentes, se tienen varios métodos simplificados que permiten determinar el factor de reparto transversal, siendo uno de los más conocidos el Método de Courbon que parte del hecho de suponer que existe una variación lineal en la deflexión de su sección transversal con cargas simétricas y asimétricas.

Por otra parte, la norma AASHTO LRFD 2020 propone que para trabes sección cajón se deben diseñar con los factores de distribución de carga viva especificados en los **artículos 4.6.2.2.2 y 4.6.2.2.3** para trabes interiores. Antes bien, es de uso común en la práctica profesional usar la recomendación de la norma AASHTO Estándar, ya que es

Condiciones para reparto transversal según AASHTO ESTÁNDAR
\$/1.68 ; Cuando \$ ≤ 1.83 mts
\$/(1.22+0.25\$) ; Cuando 1.83 ≤ \$ ≤ 4.27
\$ > 4.23 ; analizar como viga simplemente apoyada

One Design Lane Loaded:

$$\left(1.75 + \frac{S}{3.6}\right) \left(\frac{1}{L}\right)^{0.35} \left(\frac{1}{N_c}\right)^{0.45}$$

Two or More Design Lanes Loaded:

$$\left(\frac{13}{N_c}\right)^{0.3} \left(\frac{S}{5.8}\right) \left(\frac{1}{L}\right)^{0.25}$$

Figura 5.1 Factores de reparto transversal según AASHTO Estándar y LRFD

En relación con el ejemplo de diseño desarrollado en este trabajo, se consideró un **factor de reparto transversal** igual a **1.5** debido a la simplificación que representa para el análisis estructural al ser una sección cajón con un sola celda. En este sentido, se entiende que la sección efectiva en cada nervadura es la que toma la mitad del total de solicitudes presentes en la superestructura, siendo un total de dos nervaduras.

5.2. CÁLCULO DE LA SECCIÓN EFECTIVA

La sección efectiva de un elemento estructural corresponde a una sección de dimensiones reducidas que se considera es la que trabaja al momento de presentarse solicitudes tanto permanentes como vivas, permitiendo realizar un diseño más apegado a la realidad del comportamiento estructural y un análisis más conservador.

En publicaciones anteriores de la norma AASHTO, se presentaban criterios específicos para determinar el ancho efectivo (b_e) de acuerdo con la posición de la trabe, esto es:

- *Trabes Interiores:* El ancho efectivo (b_e) se debe tomar como el valor menor entre un cuarto de la longitud efectiva, doce veces el espesor promedio de la losa más el ancho del alma o el semi ancho del ala superior de la trabe, y la separación promedio entre trabes adyacentes.
- *Trabes Exteriores:* El ancho efectivo (b_e) se debe tomar como el menor valor entre un octavo de la longitud efectiva, seis veces el espesor promedio de la losa, un cuarto del espesor del alma o un cuarto del ancho del ala superior de la trabe.

Por otra parte, la norma AASHTO LRFD 2020 en su artículo **4.6.2.6 – Ancho de Ala Efectiva** presenta la metodología a seguir para determinar el ancho efectivo de acuerdo con el tipo de trabe que conforma a la superestructura. En lo referente a la trabe usada en el ejemplo de proyecto, el **artículo 4.6.2.6.2 – Trabes de Sección Cajón Segmentales y de una sola Célula Coladas In Situ** establece que el ancho de ala efectivo en cada nervadura se deberá determinar con base en las dimensiones b_1 , b_2 y b_3 de la **figura 4.6.2.6.2-3** debiéndose usar en la expresión mostrada en la **figura 4.6.2.6.2-2**, para determinar los coeficientes de ancho de ala efectivos (b_m y b_s), junto con la longitud efectiva determinada como se indica en la **figura 4.6.2.6.2-1**.

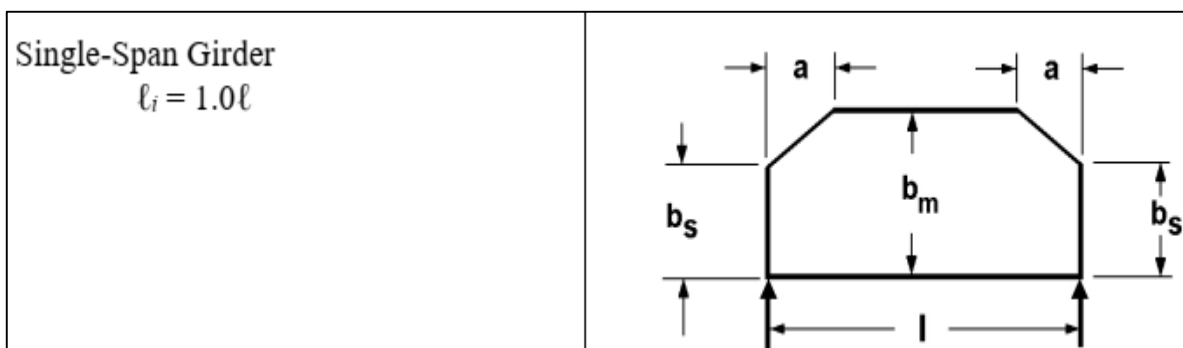


Figura 5.2 Relación de ancho efectivo b_m , b_s y b_e (Figura 4.6.2.6.2-1, AASHTO LRFD 2020)

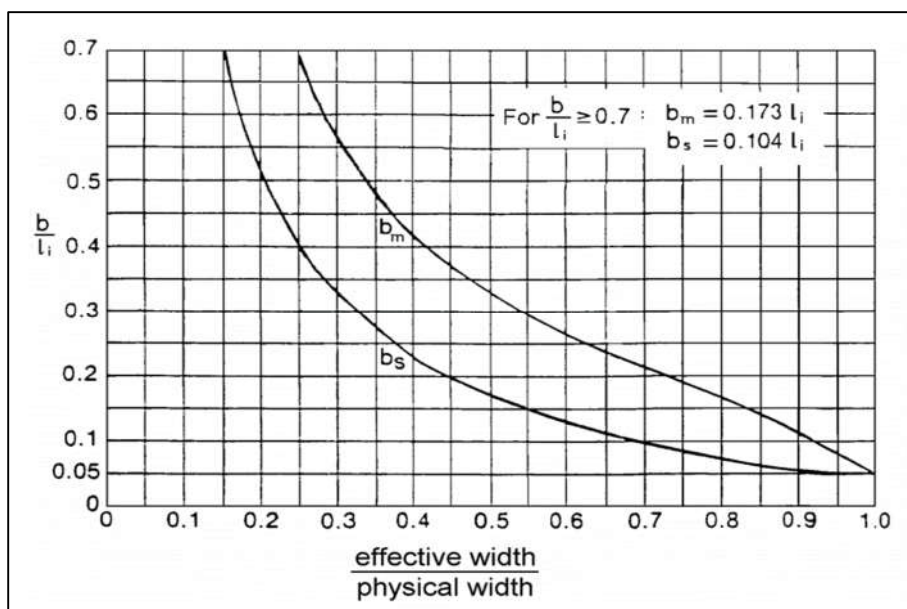


Figura 5.3 Coeficientes de ancho efectivo b_m y b_s (Figura 4.6.2.6.2-2, AASHTO LRFD 2020)

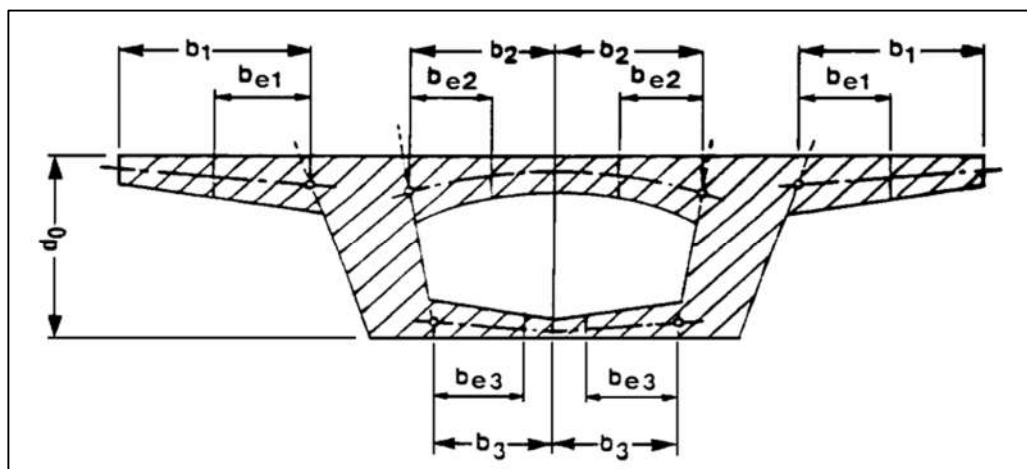


Figura 5.4 Sección transversal con anchos reales y efectivos (Figura 4.6.2.6.2-3, AASHTO LRFD 2020)

En concordancia, se presentan las dimensiones calculadas de la sección efectiva para la trabe sección cajón analizada en el ejemplo de proyecto, éstas son:

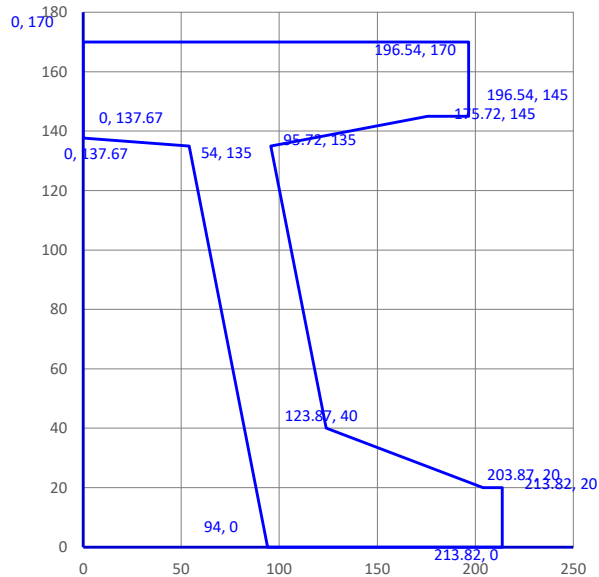
- $b_{e1} = 54$ cm
- $b_{e2} = 100.82$ cm
- $b_{e3} = 89.95$ cm



GEOMETRIA DE LA SECCION SIMPLE (NERVADURA EFECTIVA DE LA SECCIÓN CAJÓN)

COORDENADAS DE LA SECCION SIMPLE

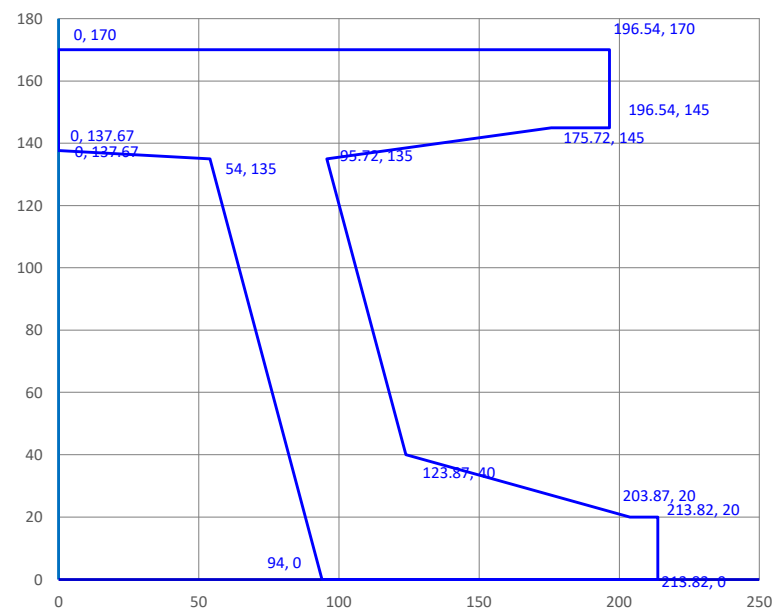
(X)	(Y)
0	137.67
54	135
94	0
213.82	0
213.82	20
203.87	20
123.87	40
95.72	135
175.72	145
196.54	145
196.54	170
0	170
0	137.67



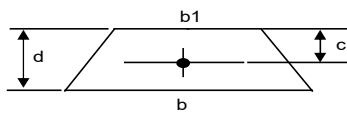
GEOMETRIA DE LA SECCION COMPUESTA (NERVADURA EFECTIVA DE LA SECCIÓN CAJÓN)

COORDENADAS DE LA SECC. COMPUUESTA

(X)	(Y)
0	137.67
54	135
94	0
213.82	0
213.82	20
203.87	20
123.87	40
95.72	135
175.72	145
196.54	145
196.54	170
0	170
0	137.67



FORMULAS UTILIZADAS



$$I_0 = \frac{d^3(b^2 + 4bb_1 + b_1^2)}{36(b + b_1)}$$

$$C = \frac{d(2b + b_1)}{3(b + b_1)}$$



DATOS DE LOS TRAPECIOS

Elemento	Geometría	Centroide	Elemento	Geometría	Centroide
1	Base mayor (B) = 196.54 Base menor (b) = 196.54 Altura (hi) = 25.00	157.50	11	Base mayor (B) = 0.00 Base menor (b) = 0.00 Altura (hi) = 0.00	0.00
2	Base mayor (B) = 175.72 Base menor (b) = 117.11 Altura (hi) = 7.33	141.58	12	Base mayor (B) = 0.00 Base menor (b) = 0.00 Altura (hi) = 0.00	0.00
3	Base mayor (B) = 117.11 Base menor (b) = 41.72 Altura (hi) = 2.67	136.55	13	Base mayor (B) = 0.00 Base menor (b) = 0.00 Altura (hi) = 0.00	0.00
4	Base mayor (B) = 41.72 Base menor (b) = 41.72 Altura (hi) = 95.00	87.50	14	Base mayor (B) = 0.00 Base menor (b) = 0.00 Altura (hi) = 0.00	0.00
5	Base mayor (B) = 115.79 Base menor (b) = 41.72 Altura (hi) = 20.00	28.43	15	Base mayor (B) = 0.00 Base menor (b) = 0.00 Altura (hi) = 0.00	0.00
6	Base mayor (B) = 125.74 Base menor (b) = 119.82 Altura (hi) = 20.00	10.08	16	Base mayor (B) = 0.00 Base menor (b) = 0.00 Altura (hi) = 0.00	0.00
7	Base mayor (B) = 0.00 Base menor (b) = 0.00 Altura (hi) = 0.00	0.00	17	Base mayor (B) = 0.00 Base menor (b) = 0.00 Altura (hi) = 0.00	0.00
8	Base mayor (B) = 0.00 Base menor (b) = 0.00 Altura (hi) = 0.00	0.00	18	Base mayor (B) = 0.00 Base menor (b) = 0.00 Altura (hi) = 0.00	0.00
9	Base mayor (B) = 0.00 Base menor (b) = 0.00 Altura (hi) = 0.00	0.00	19	Base mayor (B) = 0.00 Base menor (b) = 0.00 Altura (hi) = 0.00	0.00
10	Base mayor (B) = 0.00 Base menor (b) = 0.00 Altura (hi) = 0.00	0.00	Losa	Base mayor (B) = 0.00 Base menor (b) = 0.00 Altura (hi) = 0.00	0.00

SECCION SIMPLE TEOREMA DE STEINER O DE LOS EJES PARALELOS

Elemento	A cm ²	Centroide (y) cm	A(y) cm ³	Inercia (I) cm ⁴	d=Yss-y cm	d ² cm ²	I+Ad ² cm ⁴
1	4,913.50	157.50	773,876.25	255,911.46	60.89	3,708.12	18,475,774.22
2	1,073.22	141.58	151,946.25	4,741.09	44.97	2,022.65	2,175,493.04
3	212.04	136.55	28,852.99	116.51	39.94	1,595.25	338,370.24
4	3,963.40	87.50	346,797.50	2,980,807.08	9.11	82.91	3,309,423.20
5	1,575.10	28.43	44,784.00	48,633.13	68.17	4,647.58	7,369,035.88
6	2,455.60	10.08	24,753.33	81,837.48	86.53	7,486.62	18,465,991.33
7	0.00	0.00	0.00	0.00	0.00	0.00	0.00
8	0.00	0.00	0.00	0.00	0.00	0.00	0.00
9	0.00	0.00	0.00	0.00	0.00	0.00	0.00
10	0.00	0.00	0.00	0.00	0.00	0.00	0.00
11	0.00	0.00	0.00	0.00	0.00	0.00	0.00
12	0.00	0.00	0.00	0.00	0.00	0.00	0.00
13	0.00	0.00	0.00	0.00	0.00	0.00	0.00
14	0.00	0.00	0.00	0.00	0.00	0.00	0.00
15	0.00	0.00	0.00	0.00	0.00	0.00	0.00
16	0.00	0.00	0.00	0.00	0.00	0.00	0.00
17	0.00	0.00	0.00	0.00	0.00	0.00	0.00
18	0.00	0.00	0.00	0.00	0.00	0.00	0.00
19	0.00	0.00	0.00	0.00	0.00	0.00	0.00

14,192.86

1,371,110.32

50,134,087.91

Eje neutro, cm: Yss = 96.61

CARACTERISTICAS GEOMETRICAS DE LA SECCIÓN SIMPLE

A =	14,192.86	cm ²
I ss =	50,134,087.91	cm ⁴
Y _s ss =	96.61	cm
Y _s ss =	73.39	cm
h ss =	170.00	cm
S _i ss =	518,956.12	cm ³
S _s ss =	683,078.21	cm ³



SECCION COMPUESTA TEOREMA DE STEINER O DE LOS EJES PARALELOS

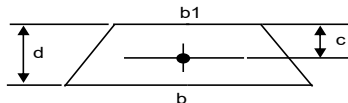
Componente	A cm ²	Centroide (y _l) cm	A(y _l) cm ³	Inercia (I) cm ⁴	d=Ysc-y _l cm	d ₂ cm ²	I+Ad ₂ cm ⁴
1	4,913.50	157.50	773,876.25	255,911.46	60.89	3,708.12	18,475,774.22
2	1,073.22	141.58	151,946.25	4,741.09	44.97	2,022.65	2,175,493.04
3	212.04	136.55	28,952.99	116.51	39.94	1,595.25	338,370.24
4	3,963.40	87.50	346,797.50	2,980,807.08	9.11	82.91	3,309,423.20
5	1,575.10	28.43	44,784.00	48,633.13	68.17	4,647.58	7,369,035.88
6	2,455.60	10.08	24,753.33	81,837.48	86.53	7,486.62	18,465,991.33
7	0.00	0.00	0.00	0.00	0.00	0.00	0.00
8	0.00	0.00	0.00	0.00	0.00	0.00	0.00
9	0.00	0.00	0.00	0.00	0.00	0.00	0.00
10	0.00	0.00	0.00	0.00	0.00	0.00	0.00
11	0.00	0.00	0.00	0.00	0.00	0.00	0.00
12	0.00	0.00	0.00	0.00	0.00	0.00	0.00
13	0.00	0.00	0.00	0.00	0.00	0.00	0.00
14	0.00	0.00	0.00	0.00	0.00	0.00	0.00
15	0.00	0.00	0.00	0.00	0.00	0.00	0.00
16	0.00	0.00	0.00	0.00	0.00	0.00	0.00
17	0.00	0.00	0.00	0.00	0.00	0.00	0.00
18	0.00	0.00	0.00	0.00	0.00	0.00	0.00
19	0.00	0.00	0.00	0.00	0.00	0.00	0.00
Losa	0.00	0.00	0.00	0.00	96.61	9,332.65	0.00
	14,192.86		1,371,110.32				50,134,087.91

Eje neutro, cm : Ysc = **96.61**

CARACTERISTICAS GEOMETRICAS	
Sección compuesta	
A (cm ²) =	14,192.86
I sc (cm ⁴) =	50,134,087.91
Y ₁ sc (cm) =	96.61
Y _s sc (cm) =	73.39
h sc (cm) =	170.00
S _i sc (cm ³) =	518,956.12
S _s sc (cm ³) =	683,078.21

RESUMEN DE CARACTERISTICAS GEOEMETRICAS	
Sección simple	Sección compuesta
A (cm ²) = 14,192.86	A cm ² = 14,192.86
I ss(cm ⁴) = 50,134,087.91	I sc(cm ⁴) = 50,134,087.91
Y ₁ ss(cm) = 96.61	Y ₁ sc(cm) = 96.61
Y _s ss(cm) = 73.39	Y _s sc(cm) = 73.39
h ss(cm) = 170.00	h sc(cm) = 170.00
S _i ss (cm ³) = 518,956.12	S _i sc (cm ³) = 518,956.12
S _s ss(cm ³) = 683,078.21	S _s sc(cm ³) = 683,078.21

FORMULAS UTILIZADAS



$$I_0 = \frac{d^3(b^2 + 4bb_1 + b_1^2)}{36(b + b_1)}$$

$$C = \frac{d(2b + b_1)}{3(b + b_1)}$$

5.3 ANÁLISIS POR FLEXIÓN LOGITUDINAL DE SUPERESTRUCTURA

En este subcapítulo, se presenta la sección cajón propuesta en el proyecto que sirve como ejemplo, sus dimensiones y las descargas que manda a la subestructura. De igual manera se presentan las sobrecargas permanentes que fueron consideradas como parte de la superestructura, en otras palabras, los elementos que forman parte tanto de las obras auxiliares como de la superficie de rodamiento; además de presentar los elementos mecánicos que generan cada una de ellas.

5.3.1 ANÁLISIS POR CARGAS PERMANENTES

En este análisis se presentan tanto dimensiones de elementos como espesores considerados, materiales y pesos volumétricos empleados, así como las descargas que generan a la subestructura los siguientes elementos:

- Trabe de Sección Cajón
- Relleno
- Carpeta Asfáltica
- Guarniciones
- Parapetos

5.3.1.1 TRABE SECCIÓN CAJÓN

La trabe sección cajón propuesta para el proyecto que sirve de ejemplo, presenta las siguientes dimensiones de su sección transversal:

- | | |
|----------------------------------|-------------------------------------|
| • Ancho patín superior: 1,280 cm | • Espesor de almas = 40 cm |
| • Ancho patín inferior: 600 cm | • Espesor de patín inferior = 20 cm |
| • Peralte total: 170 cm | • Longitud de volado = 300 cm |

>Espesores de losa:

$$\bullet \quad t_1 = 20 \text{ cm} \qquad \bullet \quad t_2 = 35 \text{ cm} \qquad \bullet \quad t_3 = 25 \text{ cm}$$

La resistencia a compresión del concreto es:

$$\bullet \quad f'c = 450 \text{ kg/cm}^2$$

El peso volumétrico considerado para el concreto es:

$$\bullet \quad Y_c = 2.4 \text{ ton/m}^3$$

En consecuencia, se tienen las siguientes descargas por peso propio:

- Por total de trabe: **438.68 ton**
- Por eje de apoyo: **219.34 ton**
- Por apoyo en cabezal: **109.67 ton**

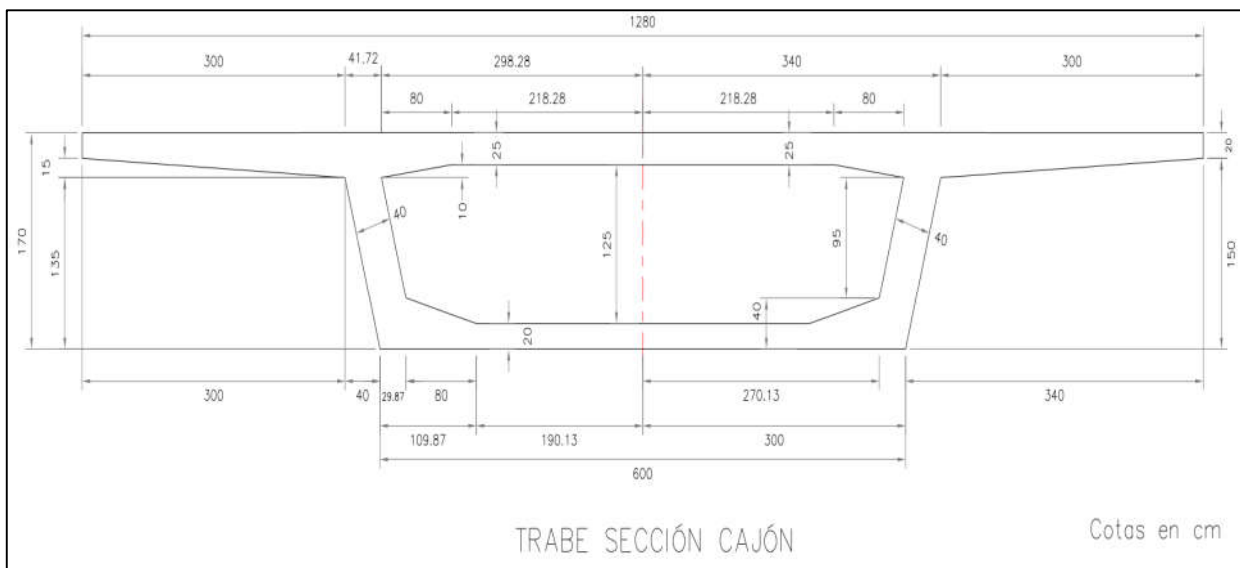


Figura 5.5 Corte transversal de la trabe sección cajón usada en el proyecto

5.3.1.2 RELLENO

El relleno fue considerado para generar la sobre elevación requerida por la curvatura del proyecto, presentando una sección variable que tiene su espesor máximo en la margen izquierda de la calzada y que disminuye hasta llegar a la margen derecha.

Espesores del relleno correspondientes a la margen izquierda, al eje de calzada y a la margen derecha, respectivamente:

- $t_1 = 30 \text{ cm}$
- $t_2 = 18 \text{ cm}$
- $t_3 = 6 \text{ cm}$

Para determinar la carga uniformemente distribuida que se usó para cargar el modelo, se consideró el siguiente espesor promedio:

$$\bullet \quad t = 18 \text{ cm}$$

El peso volumétrico considerado para el relleno es:

$$\bullet \quad Y_{\text{relleno}} = 1.7 \text{ ton/m}^3$$

Las descargas por relleno hacia la subestructura son las siguientes:

- Por total de trabe: **111.2 ton**
- Por eje de apoyo: **55.6 ton**
- Por apoyo en cabezal: **27.8 ton**

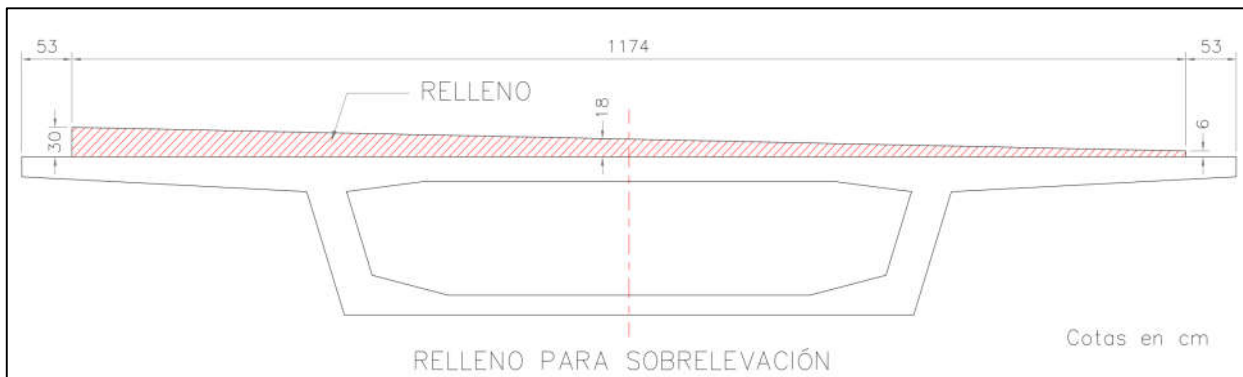


Figura 5.6 Corte transversal del relleno para generar la sobre elevación

5.3.1.3 CARPETA ASFÁLTICA

El espesor de la carpeta asfáltica que debe colocarse en obra es de 5 cm pero en el modelo debe de considerarse al menos el doble de dicho espesor, ya que no se puede tener seguridad que en los trabajos de reencarpetamiento sea retirado por completo el asfalto desgastado.

En este sentido, se consideró que la sobrecarga actuante por carpeta asfáltica en la superestructura tiene el siguiente espesor:

- $t = 10 \text{ cm}$

El peso volumétrico considerado para asfalto es:

- $\gamma_{\text{asfalto}} = 2.2 \text{ ton/m}^3$

Las descargas generadas por el asfalto hacia la subestructura son las siguientes:

- Por total de trabe: **80.86 ton**
- Por eje de apoyo: **40.43 ton**
- Por apoyo en cabezal: **20.215 ton**

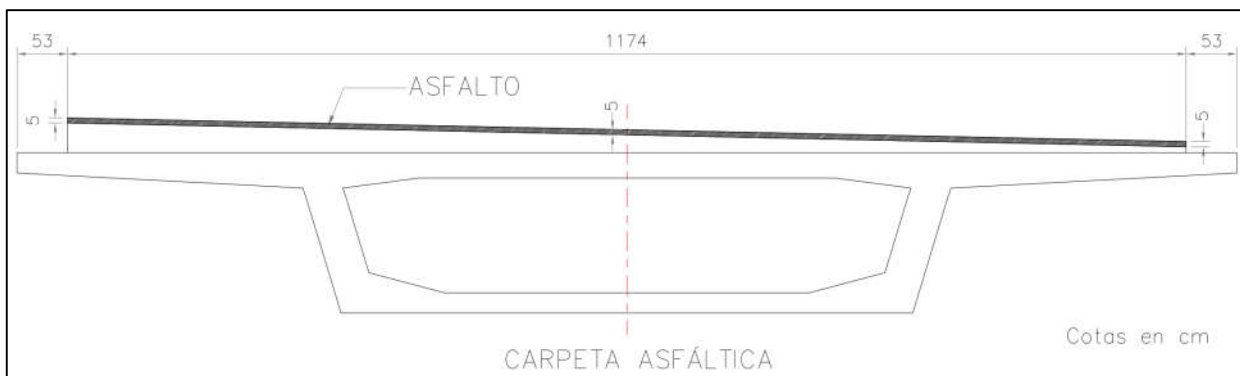


Figura 5.7 Corte transversal de la carpeta asfáltica

5.3.1.4 BANQUETA

Es un elemento ubicado en la superestructura que tienen como objetivo permitir el paso de peatones. Su fabricación es a base de concreto, debiendo tener las siguientes medidas mínimas:

- Ancho libre: 75 cm (medidos a paño de guarnición)
- Altura: 25 cm

Para el ejemplo práctico desarrollado en este trabajo no se proponen banquetas en la superestructura al ser un puente carretero.

5.3.1.5 GUARNICIÓN

Es un elemento usado para encauzar los límites de la calzada y guiar el tránsito a través de ella, siendo su fabricación es a base de concreto reforzado.

Para el proyecto que presenta como ejemplo, se consideró el mismo tipo de guarnición pero con diferentes dimensiones debido a la sobre elevación. A continuación se presentan las dimensiones generales de ambas guarniciones:

Guarnición de Curva Exterior

- Ancho: 53 cm
- Peralte: 100 cm
- Área = 0.3859 m²

Guarnición de Curva Interior

- Ancho: 53 cm
- Peralte: 70 cm
- Área = 0.246 m²

El peso volumétrico considerado para el concreto es:

$$\bullet \quad Y_{\text{guarnición}} = 2.4 \text{ ton/m}^3$$

Las descargas generadas por ambas guarniciones hacia la subestructura son las siguientes:

- Por total de trabe: **47.48 ton**
- Por eje de apoyo: **23.74 ton**
- Por apoyo en cabezal: **11.87 ton**



Figura 5.8 Sección transversal de las guarniciones y parapetos

5.3.1.6 PARAPETOS O DEFENSAS

El parapeto es una estructura conformada por postes verticales y elementos horizontales que sirven como medio para guiar el tránsito a través de la calzada dando protección ante una colisión. Estas estructuras pueden ser fabricadas de concreto reforzado o presforzado, con acero (tubos y perfiles), madera o por medio de defensas metálicas de lámina.

En el territorio mexicano su diseño se basa, pero no se limita, a lo presentado en la norma **N-PRY-CAR-6-001-002/01** dentro de su apartado **L.1 PARAPETOS PARA VEHÍCULOS AUTOMOTORES**, debiendo cumplir con las siguientes restricciones en su altura:

- Altura mínima: 70 cm
- Altura máxima: 105 cm

Para el análisis de cargas efectuado en el ejemplo de proyecto, se consideró una carga uniformemente repartida general para este elemento:

- $W_{PPTO} = 0.15 \text{ ton/m}$ (por parapeto)

Las descargas generadas por ambos parapetos hacia la subestructura son las siguientes:

- Por total de trabe: **9.4 ton**
- Por eje de apoyo: **4.7 ton**
- Por apoyo en cabezal: **2.35 ton**

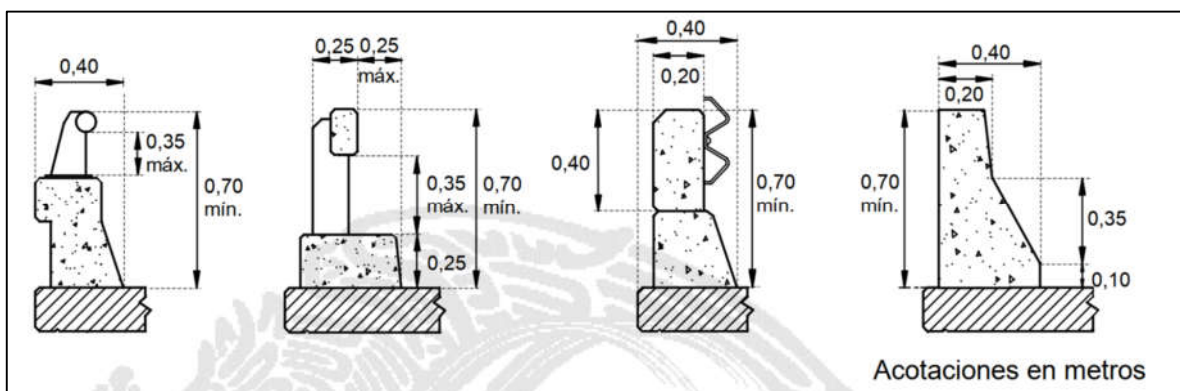


Figura 5.9 Parapetos para vehículos automotores (Figura 3 N-PRY-CAR-6-001-002/01)

5.4 ANÁLISIS POR CARGA VIVA E IMPACTO

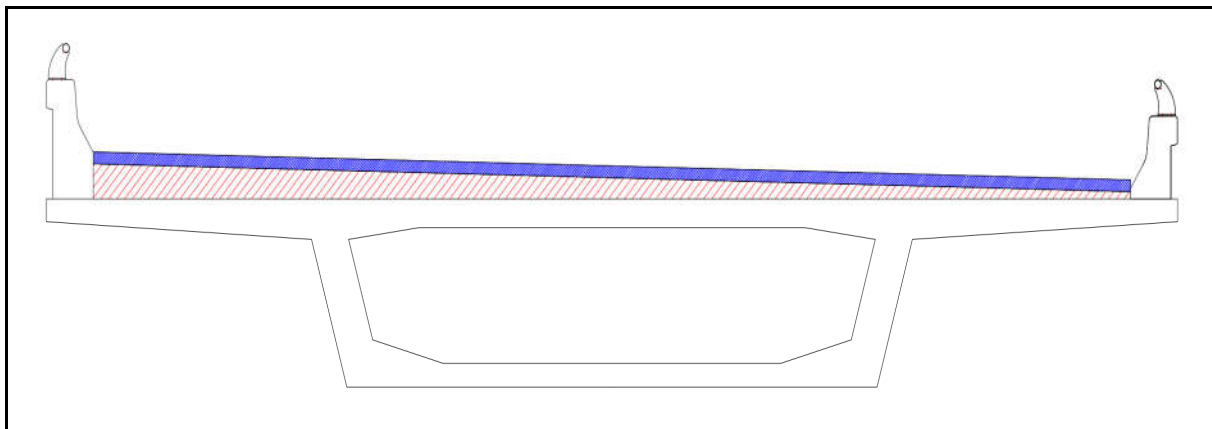
En el caso de puentes carreteros la carga viva que se considera actuante sobre la superestructura corresponde en su totalidad a la generada por los vehículos que por ella transitan, ya sean automóviles o camiones, siendo estos últimos los que mayores solicitudes le generan a la estructura. En el análisis de cargas vivas debe considerarse tanto el efecto que generan las cargas estáticas de los vehículos cargados como el efecto dinámico que se genera en las llantas al cruzar por la superficie de rodamiento.

5.4.1 CARGAS VIVAS

Para su análisis se emplea un vehículo que idealiza las cargas máximas que son aplicadas por los camiones que poseen las mayores dimensiones y pesos, siendo llamado camión de diseño; cabe mencionar que este camión varía en especificaciones de acuerdo con el reglamento al que se refiere el diseño estructural.

Ejemplos de lo mencionado son los camiones HS15, HS20 Y HL-93 de la norma AASHTO o los camiones 20.5 y 66.5 propuestos por el Instituto Mexicano del Transporte (IMT). En la práctica profesional es común el empleo de los camiones más grandes y pesados que circulan en la red de carreteras mexicanas, es decir, los camiones T3S3 y T3S2R4.

RESUMEN DE ELEMENTOS MECÁNICOS POR CARGAS PERMANENTES



DATOS DE LA TRABE						
LONGITUD =	31.3 m					

ABCISA (m)	M po.po (t-m)	M relleno (t-m)	M asfalto (t-m)	M guarn. (t-m)	M ppto. (t-m)	M cm (t-m)
0.00	0.00	0.00	0.00	0.00	0.00	0.00
3.13	617.51	156.54	113.81	66.83	13.22	967.91
6.26	1,096.21	278.40	202.41	118.85	25.51	1,721.38
9.39	1,441.48	365.42	265.68	156.00	30.85	2,259.44
12.52	1,647.31	417.60	303.62	178.28	35.26	2,582.08
15.65	1,716.35	435.10	316.34	185.75	36.74	2,690.28
18.78	1,647.31	417.60	303.62	178.28	35.26	2,582.08
21.91	1,441.48	365.42	265.68	156.00	30.85	2,259.44
25.04	1,098.21	278.40	202.41	118.85	23.51	1,721.38
28.17	617.51	156.54	113.81	66.83	13.22	967.91
31.30	0.00	0.00	0.00	0.00	0.00	0.00

ABCISA (m)	V po.po (ton)	V relleno (ton)	V asfalto (ton)	V guarn. (ton)	V ppto. (ton)	V cm (ton)
0.00	-219.34	-55.60	-40.43	-23.74	-4.70	-343.81
3.13	-175.47	-44.48	-32.34	-18.99	-3.76	-275.04
6.26	-131.60	-33.36	-24.26	-14.24	-2.82	-206.28
9.39	-87.74	-22.24	-16.17	-9.50	-1.88	-137.52
12.52	-43.87	-11.12	-8.09	-4.75	-0.94	-68.76
15.65	0.00	0.00	0.00	0.00	0.00	0.00
18.78	43.87	11.12	8.09	4.75	0.94	68.76
21.91	87.74	22.24	16.17	9.50	1.88	137.52
25.04	131.60	33.36	24.26	14.24	2.82	206.28
28.17	175.47	44.48	32.34	18.99	3.76	275.04
31.30	219.34	55.60	40.43	23.74	4.70	343.81

5.4.2 INCREMENTO DE LA CARGA VIVA POR IMPACTO

El impacto es un incremento que se aplica a los efectos estáticos de la carga viva debido al impacto provocado en la superestructura por parte de las ruedas de los vehículos en movimiento, esto es, el movimiento que presenta el puente debido a los vehículos que lo transitan y la respuesta del total de ruedas de un vehículo ante las discontinuidades de la superficie de rodamiento. Cabe mencionar que, en la mayoría de los puentes, la componente de la carga viva por impacto no supera el 25%, pero es por efecto de la combinación del camión de diseño con la carga presente en un carril que se presentan solicitudes de alrededor $\frac{4}{3}$ de las originadas por un único vehículo.

En este sentido, la norma AASHTO en su **artículo 3.6.2 Incremento por Carga Dinámica: IM** propone tomar un factor para carga viva por impacto con base en la **tabla 3.6.2.1-1**, siendo **0.33** el factor que corresponde para el análisis de cargas.

Component	IM
Deck Joints—All Limit States	75%
All Other Components:	
• Fatigue and Fracture Limit State	15%
• All Other Limit States	33%

Tabla 5.3 Factor de carga dinámica (Tabla 3.6.2.1-1, AASHTO LRFD 2020)

5.4.3 CAMIONES DE DISEÑO

La norma AASHTO en su **artículo 3.6.1.2 – Carga Viva Vehicular de Diseño** establece que la sobrecarga vehicular en la superestructura de los puentes debe corresponder a la generada por el vehículo de diseño HL-93 en cualquiera de sus dos variantes, es decir, camión o tandem. En versiones anteriores de esta norma se presenta el camión HS15 que ya no es de uso común en la actualidad y el camión HS20, el cual se suele usar para el diseño de las losas debido a que posee una mayor descarga en sus ejes traseros.

Los camiones de diseño propuestos por el IMT comprenden la aplicación de un sistema de cargas concentradas junto a una carga uniformemente repartida, la cual se agrega dependiendo del claro del puente, cuyas magnitudes se obtuvieron a través de la realización de análisis probabilísticos y simulaciones tránsito correspondientes a los vehículos pesados más pesados conforme lo establecido en la **NOM-012-SCT-2-2017**.

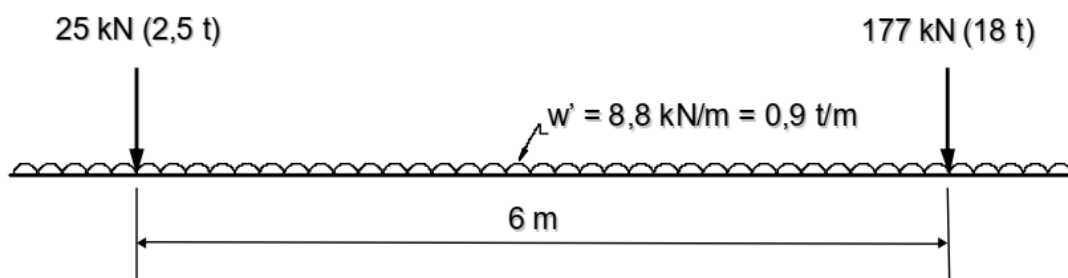
Son dos los vehículos de diseño que presentan, uno corresponde para el diseño en carreteras principales (tipo ET, A, B y C) y el segundo, es para el diseño en vías alimentadoras (tipo D).

Principalmente estos vehículos de diseño se diferencian de la norma AASHTO en los elementos mecánicos que generan debido a que los vehículos más pesados que transitan por el país producen solicitudes de momentos flexionantes y fuerzas cortantes superiores a los vehículos de diseño que esta norma propone. En este sentido, los camiones de diseño propuestos por el IMT generan elementos mecánicos de mayor magnitud con el propósito de otorgar un nivel de seguridad adecuado en el diseño.

5.4.3.1 CAMIÓN DE DISEÑO IMT 20.5

El camión de diseño IMT 20.5 está pensado para carreteras alimentadoras en donde se considera que los vehículos tipo C3 (camión rabón) son los que mayores solicitudes le pueden generar a los puentes, mas toma en cuenta que bajo ciertas condiciones es posible que circulen vehículos pesados.

Para claros mayores o iguales a 15 m



Para claros menores de 15 m

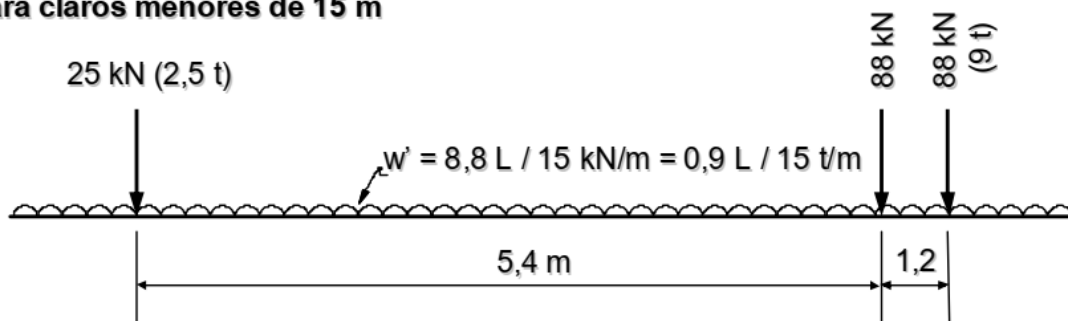


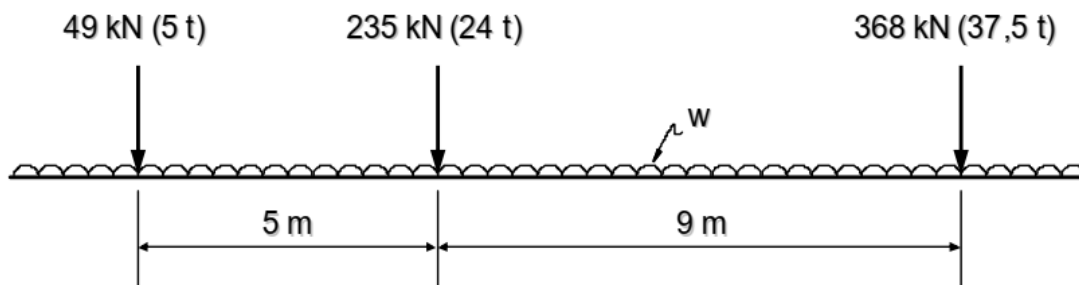
Figura 5.10 Modelos de cargas vivas IMT 20.5 (Instituto Mexicano del Transporte)

5.4.3.2 CAMIÓN DE DISEÑO IMT 66.5

Por otra parte, el camión de diseño IMT 66.5 está pensado para carreteras principales donde circulan los camiones T3S3 y T3S2R4, considerando un arreglo de tres ejes de aplicación de la cargas:

- Eje delantero corresponde a la posición del tractor camión,
- Eje intermedio corresponde al primer tandem (camión T3S3)
- Eje trasero corresponde al segundo tandem (camión T3S2R4).

Para claros mayores o iguales a 30 m



$$w = (L - 30) / 60 \text{ t/m} = (L - 30) / 6 \text{ kN/m}, \text{ si } 30 \text{ m} = L = 90 \text{ m}$$

$$w = 1 \text{ t/m} = 10 \text{ kN/m}, \text{ si } L > 90 \text{ m}$$

Para claros menores de 30 m

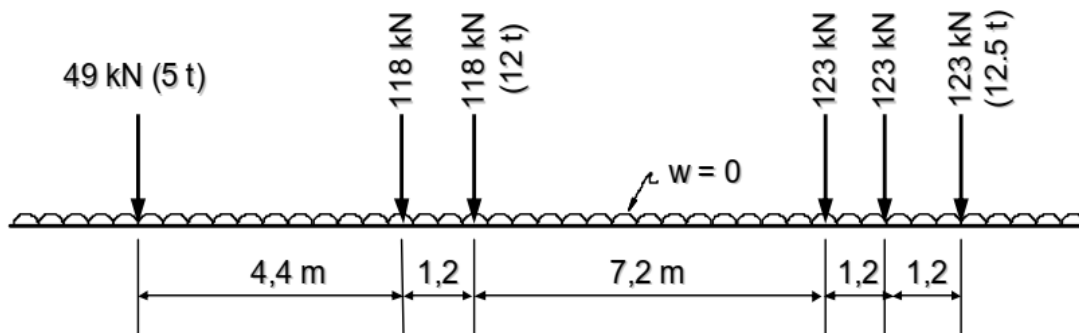


Figura 5.11 Modelos de cargas vivas IMT 66.5 (Instituto Mexicano del Transporte)

Para profundizar en el tema de las cargas vivas vehiculares propuestas por IMT, se recomienda al lector referenciar al documento **Formulación de la Norma SCT de Cargas Vehiculares para Diseño Estructural de Puentes Carreteros**.

5.4.3.3 VEHÍCULOS DE DISEÑO HL-93C Y HL-93T

El camión de diseño HL-93 de la norma AASHTO consta de tres ejes de ruedas con separaciones de 4.3 m y de 4.3 a 9 m, respectivamente; este vehículo de diseño tiene unas descargas de 3.63 ton, 14.515 ton y 14.515 ton por eje. Por otra parte, el tandem de diseño tiene dos ejes de ruedas a una separación de 1.2 m, descargando 11.3 ton por eje.

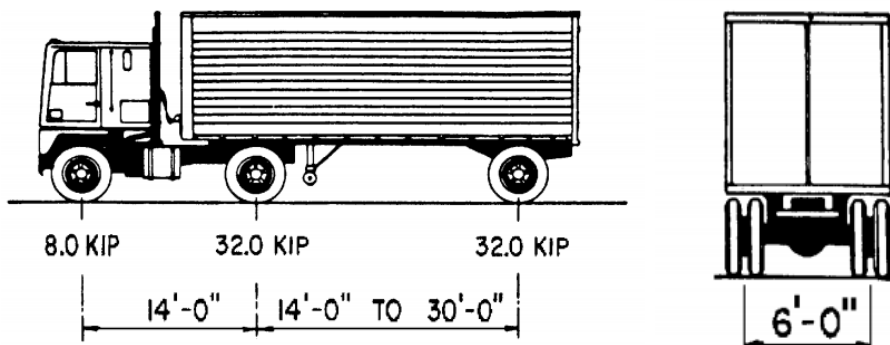


Figura 5.12 Vehículo de diseño HL-93 C (Figura 3.6.1.2.2-1, AASHTO LRFD 2020)

5.4.3.4 CAMIÓN DE DISEÑO HS15

Es un camión está formado por tres ejes de ruedas a una separación de 4.27 m, el cual descarga 2.73 ton en el eje delantero junto con 10.9 ton para los ejes intermedio y trasero.

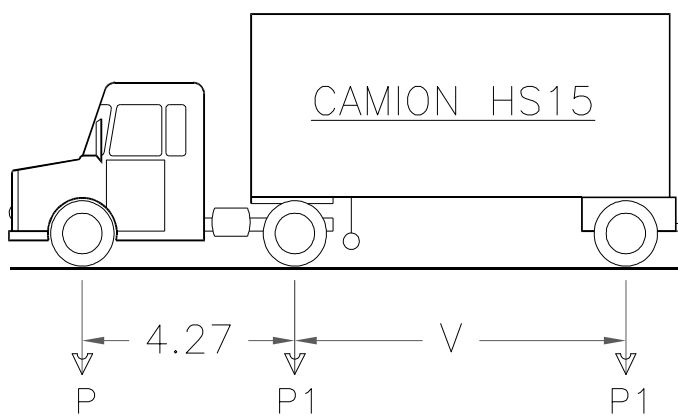


Figura 5.13 Camión de diseño HS15 (AASHTO Estándar)

5.4.3.5 CAMIÓN DE DISEÑO HS20

Es un camión está formado por tres ejes de ruedas a una separación de 4.27 m, el cual descarga 3.63 ton en el eje delantero junto con 14.52 ton tanto para el eje intermedio como el trasero.

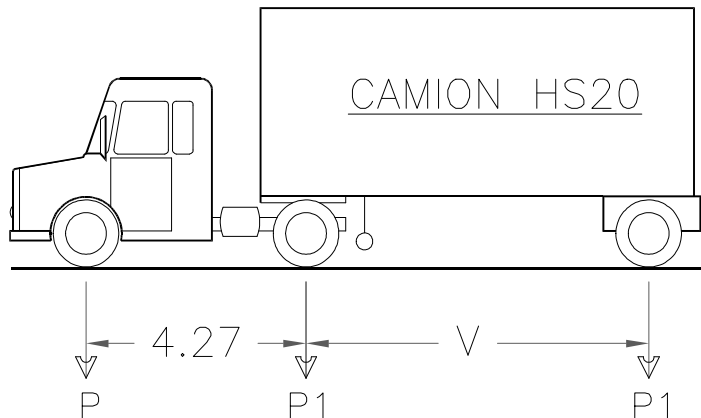


Figura 5.14 Camión de diseño HS20 (AASHTO Estándar)

5.4.3.6 CAMIÓN DE DISEÑO T3S3

Es un camión está formado por seis ejes de ruedas con separaciones de 3.5 m, 1.2 m, 4.27 m, 1.2 m y 1.2 m. Presenta las siguientes descargas por eje: 6.7 ton, 9.8 ton, 9.8 ton, 7.4 ton, 7.4 ton y 7.4 ton, respectivamente.

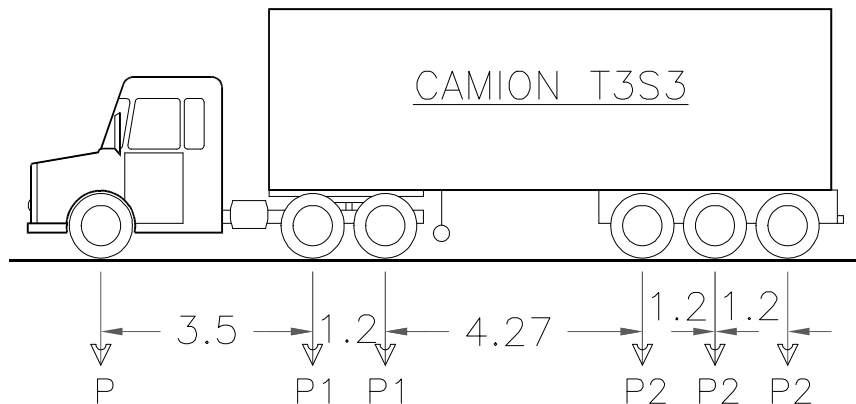


Figura 5.15 Camión de diseño T3S3

5.4.3.7 CAMIÓN DE DISEÑO T3S2R4

Este camión está formado por nueve ejes de ruedas con separaciones de 3.5 m, 1.2 m, 4.25 m, 1.2 m, 3.2 m, 1.2 m, 4.25 m y 1.2 m. Presenta una descarga de 5.3 ton para el eje delantero y 8.4 ton para los ejes restantes.

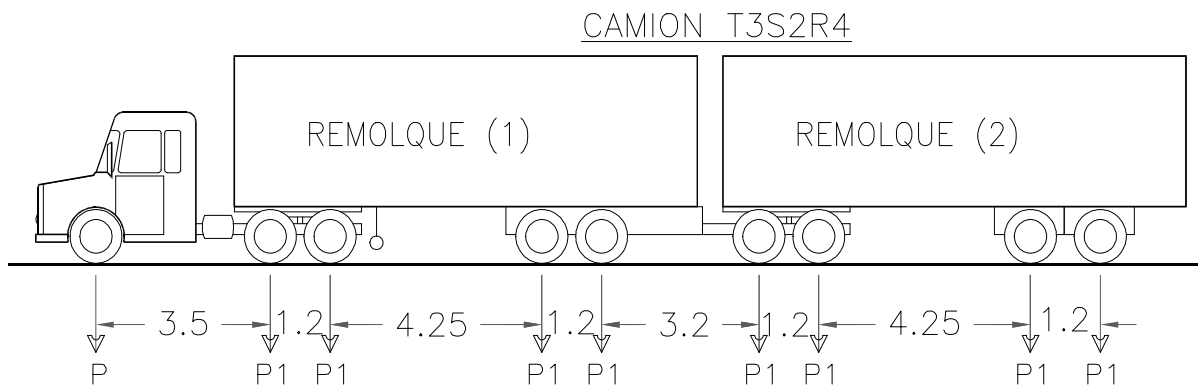


Figura 5.16 Camión de diseño T3S2R4

5.5 ANÁLISIS POR EVENTOS ESPECIALES

Un evento especial se refiere a un grupo de acciones sobre una estructura que se presentan en casos extraordinarios alcanzando grandes intensidades en períodos cortos de tiempo, siendo los principales la acción del agua, los efectos sísmicos y viento, aquellos que afectan a los puentes carreteros. En este sentido la norma AASHTO indica una uniformidad en la distribución de la carga por viento sobre el área expuesta de la estructura, conformada por la sumatoria de todas las áreas del sistema de piso y obras auxiliares perpendiculares a la dirección del viento; respecto a las cargas hidráulicas, indica que actúan de forma perpendicular a la superficie que las retiene, siendo la socavación el efecto de mayor gravedad en un puente.

En este subcapítulo y dado los alcances del ejemplo de proyecto, únicamente se realiza el análisis sísmico del puente continuo con base en el sitio, a partir del cual se realiza el diseño de los elementos que conforman a la subestructura.

5.5.1 ANÁLISIS POR SISMO

El análisis por sismo fue realizado con base en el **Manual de Diseño de Obras Civiles** en su **Capítulo Diseño por Sismo 2015** de la **CFE** empleando por el software **PRODISIS V4.1** para determinar los parámetros espectrales requeridos en el espectro de diseño.

5.5.1.1 UBICACIÓN DEL PROYECTO

La selección del sitio para ubicar el ejemplo de proyecto se realizó con base en el cumplimiento de dos criterios principales:

- Existencia de dos carreteras paralelas o de una única carretera con tramos paralelos entre ella.
- Presencia de un cuerpo de agua entre dos carreteras o entre dos tramos de una misma carretera.

Teniendo en cuenta lo anterior, se eligió un sitio que conecta las localidades de Tomatlán y Chocomán, atravesando el río Jamapa dentro de la zona montañosa del estado de Veracruz. De este modo se cumple con los criterios antes mencionados, ya que presenta un cuerpo de agua y dos tramos carreteros a sus márgenes que pueden ser conectados mediante un puente.

La información general sitio de proyecto se presenta a continuación:

Coordenadas de georreferenciación:

- Latitud: $19^{\circ}1'57.43''$ N
- Longitud: $97^{\circ}1'37.24''$ W

- Carretera: Córdoba – Cardel
- Tramo: Fortín – Conejos
- Estado: Veracruz

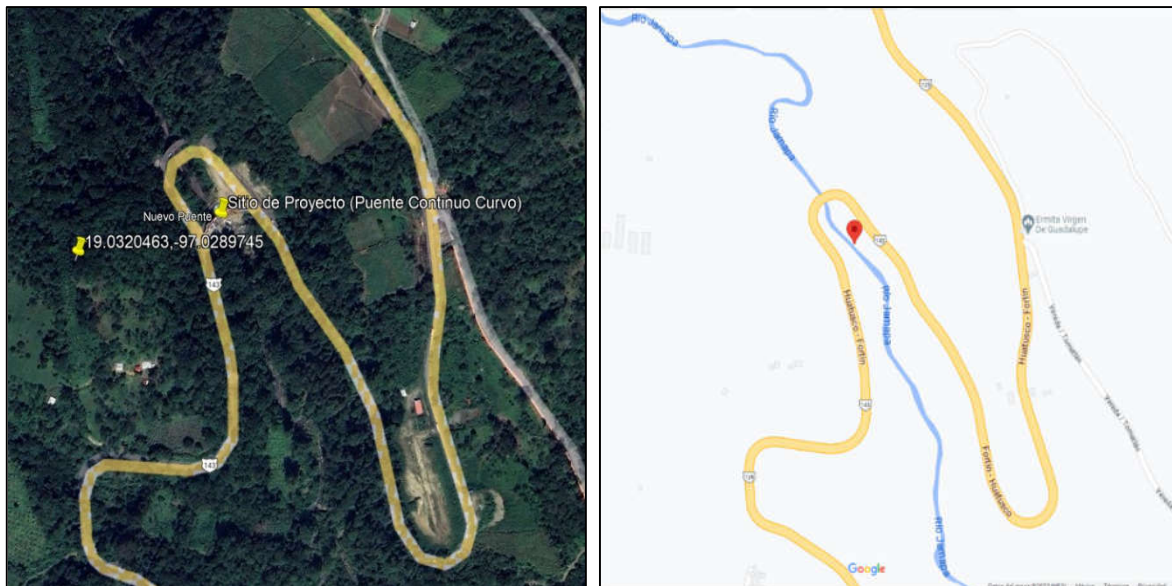


Figura 5.17 Localización del sitio de proyecto (Google Earth y Google Maps)

5.5.1.2 ANÁLISIS CON PRODISIS USANDO REGLAMENTO CFE 2015

Para realizar el análisis sísmico se elaboró el Espectro Regional del sitio de proyecto, requiriendo en una primera instancia clasificar a la estructura de acuerdo con su importancia, y al sitio de proyecto respecto a la zona sísmica donde se ubica por medio de su aceleración máxima en roca.

CLASIFICACIÓN CON BASE EN EL MANUAL DE DISEÑO POR SISMO CFE 2015							
CLASIFICACIÓN SÍSMICA		CLASIFICACIÓN ESTRUCTURAL		ACELERACIÓN DE GRAVEDAD			
ZONA	INTENSIDAD	GRUPO	SUBGRUPO	$g = 9.81 \frac{m}{s^2}$			
C	ALTA	B	B1				
PARÁMETROS ESPECTRALES							
ACELERACIÓN MÁXIMA EN ROCA			ACELERACIÓN MÁXIMA ESPECTRAL				
$a_0^T = 107.19 \text{ cm/s}^2$			$C^T = 346.52 \text{ cm/s}^2$				
FACTOR DE SITIO			FACTOR DE RESPUESTA				
$F_{Sf} = 2.38$			$F_{Res} = 3.59$				
ACELERACIÓN MÁXIMA DEL TERRENO			COEFICIENTE SISMICO				
$a_0 = 254.95 \text{ cm/s}^2$			$c = 914.17 \text{ cm/s}^2$				
ESPECTRO REGIONALES DEL TERRENO							
TERRENO	Ts (s)	Tb (s)	Tc (s)	k	r		
II	0.2	1.5	2	1	0.667		

Tabla 5.4 Resumen del espectro regional para el sitio de proyecto

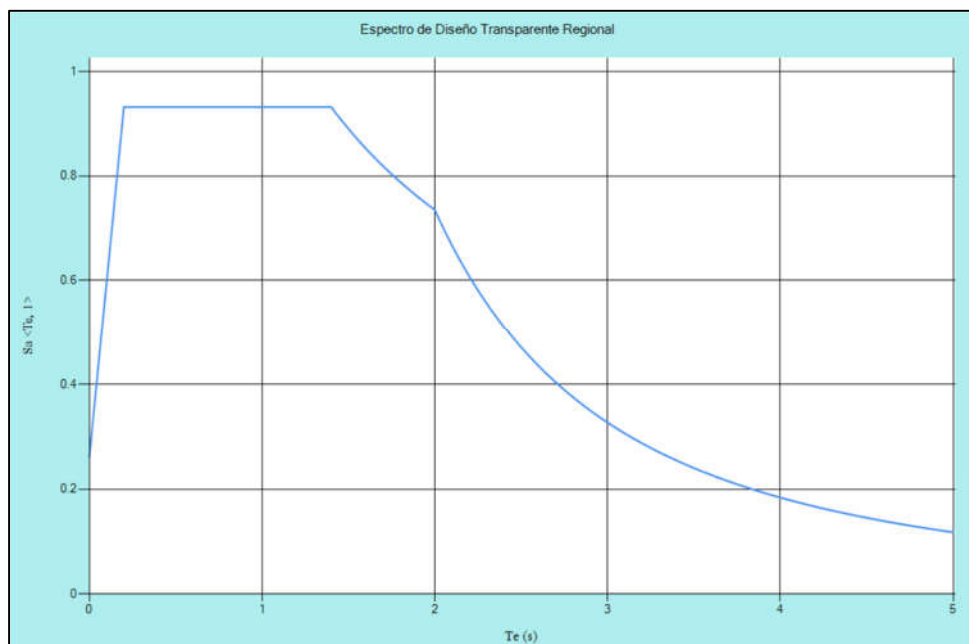


Figura 5.18 Espectro de diseño transparente obtenido del programa PRODISIS

Ahora bien, este espectro transparente para ser usado en la modelación de la estructura se debe afectar por los factores de sobrerresistencia y ductilidad que van acorde con las característica propias de la estructura a diseñar, obteniéndose un espectro de menores magnitudes espectrales.

Finalmente, se utiliza este espectro para determinar las fuerzas que el sismo genera en la estructura y se procede a realizar el diseño de los elementos encargados de tomar dichas solicitudes que, para el caso de puentes, corresponde a los elementos que conforman la subestructura.

DATOS GENERALES DE LA ESTRUCTURA PARA EL ANÁLISIS SISMICO		
PERÍODO DE VIBRAR DIRECCIÓN Y	PERÍODO DE VIBRAR DIRECCIÓN X	
$T_e = 1.0748$	s	$T_e = 0.89419$ s
DUCTILIDAD	AMORTIGUAMIENTO	FACTOR P_b
$Q = 1.00$	$\zeta = 0.05$	$P_b = 1$
FACTORES DE REDUCCIÓN DEL ESPECTRO DE DISEÑO TRANSPARENTE		
POR AMORTIGUAMIENTO	POR DUCTILIDAD	POR SOBRERESSISTENCIA
$\beta = 1.00$	$Q' = 1.00$	$R_0 = 1.50$
ACELERACIÓN MÁXIMA DEL TERRENO		COEFICIENTE SISMICO
$a_0 = 102.02$	cm/s ²	$c = 609.65$ cm/s ²

Tabla 5.5 Resumen del espectro de diseño modificado por ductilidad y sobrerresistencia

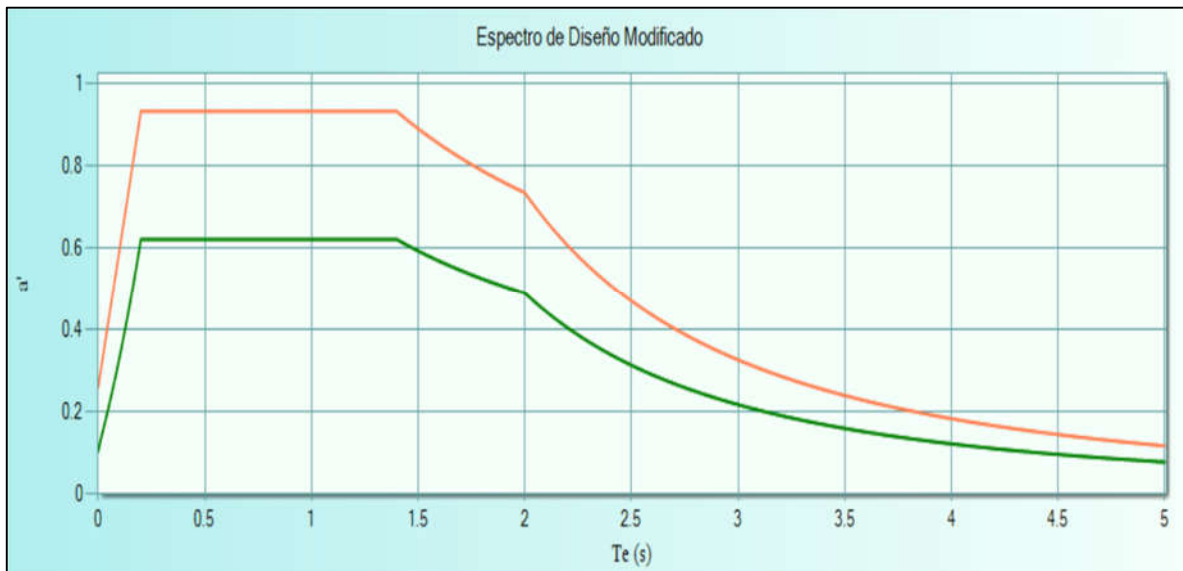


Figura 5.19 Espectro de diseño modificado obtenido del programa PRODISIS

5.6 MODELACIÓN EN SOFTWARE ESPECIALIZADO

El análisis estructural del ejemplo de proyecto fue realizado en etapas, las cuales comprenden desde el modelado individual de algunos de sus elementos estructurales hasta el modelado parcial y total del puente curvo, fundamentándose en determinar las solicitudes actuantes al considerar que durante una primera etapa el puente tendrá un comportamiento isostático; es así que no será hasta que sean colados los bloques de continuidad junto con el postensado de los cables en la losa, que el puente adquiere su carácter de hiperestático.

En concordancia con lo anterior, se presentan los modelos que fueron realizados en para el análisis estructural del puente curvo:

- Modelo de los tres tramos del puente curvo
- Modelo del tramo 1 del puente curvo
- Modelo de la trabe sección cajón
- Modelo de la losa con espesor promedio
- Modelo del cabezal

Para la modelación en conjunto de los tres tramos del puente curvo como la del tramo 1, se empleó el software especializado CSI Bridge. Por otra parte, se hizo usó del software SAP2000 para la modelación individual de la trabe, la losa y el cabezal.

5.6.1 MODELO TIPO FRAME DEL PUENTE CONTINUO EN CSI BRIDGE

Este es el modelo final que representa al puente curvo continuo de tres claros con trabe sección cajón y caballetes en sus cuatro ejes. El modelo fue desarrollado para conocer las solicitudes de momento flexionante y fuerzas cortantes finales que se aplican tanto en superestructura como en subestructura, las deflexiones máximas al centro del claro de cada tramo y la respuesta sísmica que tiene ante el espectro de diseño del sitio de emplazamiento.

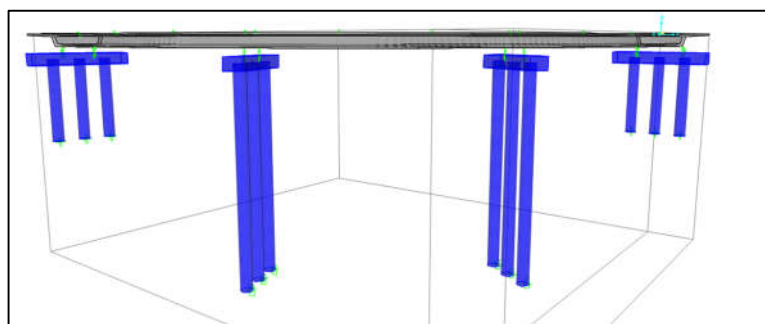


Figura 5.20 Vista de los cuatro caballetes que conforman la subestructura del puente curvo

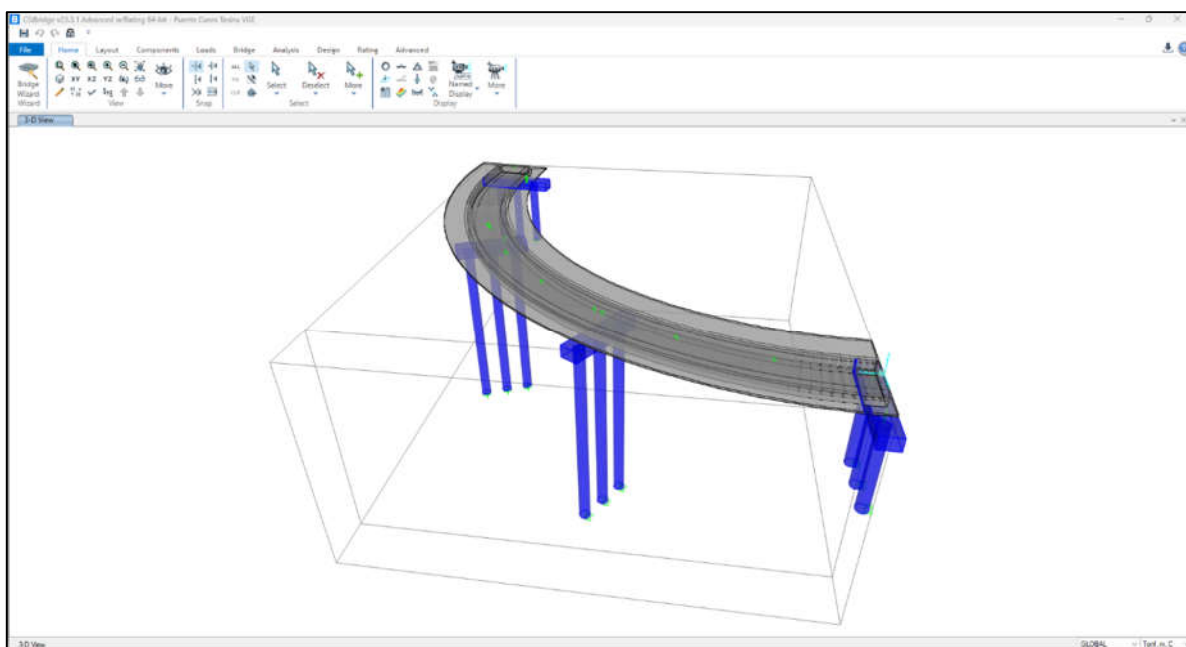


Figura 5.21 Perfil longitudinal del puente curvo

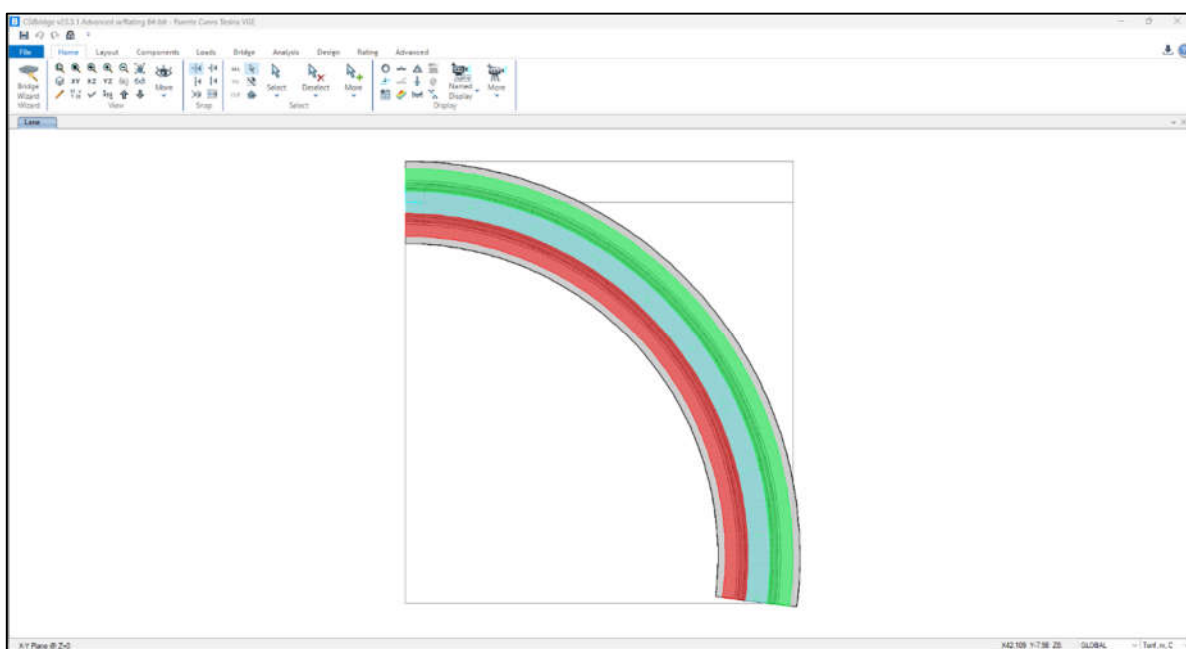


Figura 5.22 Planta del puente con sus tres carriles de circulación

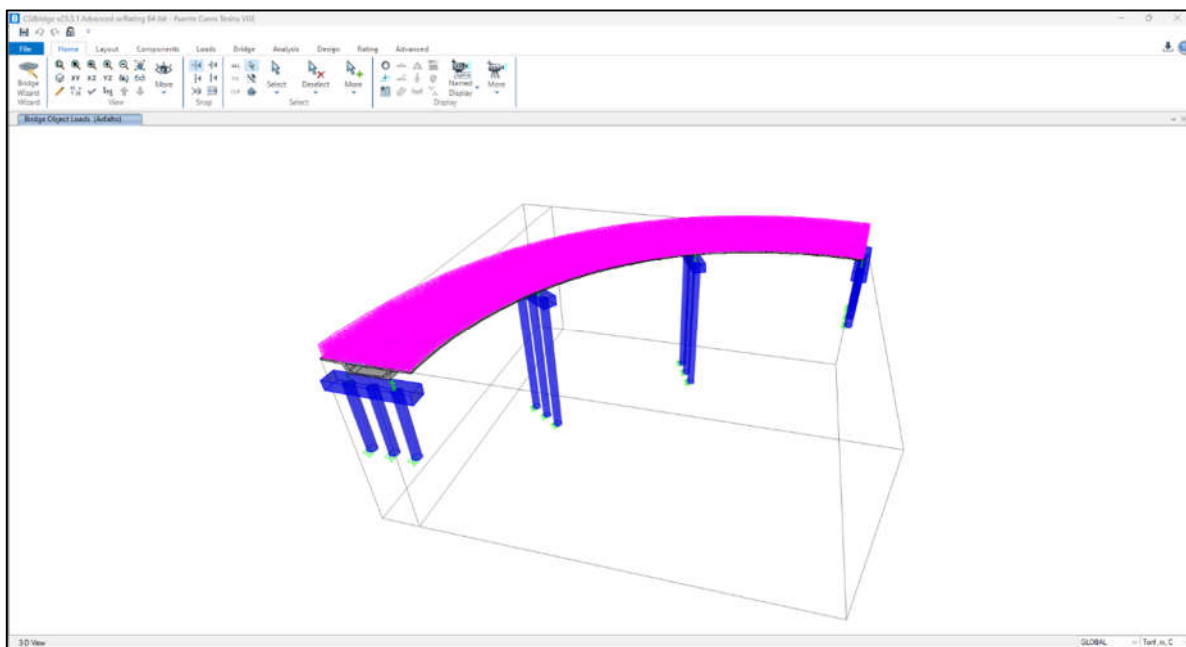


Figura 5.23 Ejemplo de la carga permanente por asfalto aplicada en el modelo

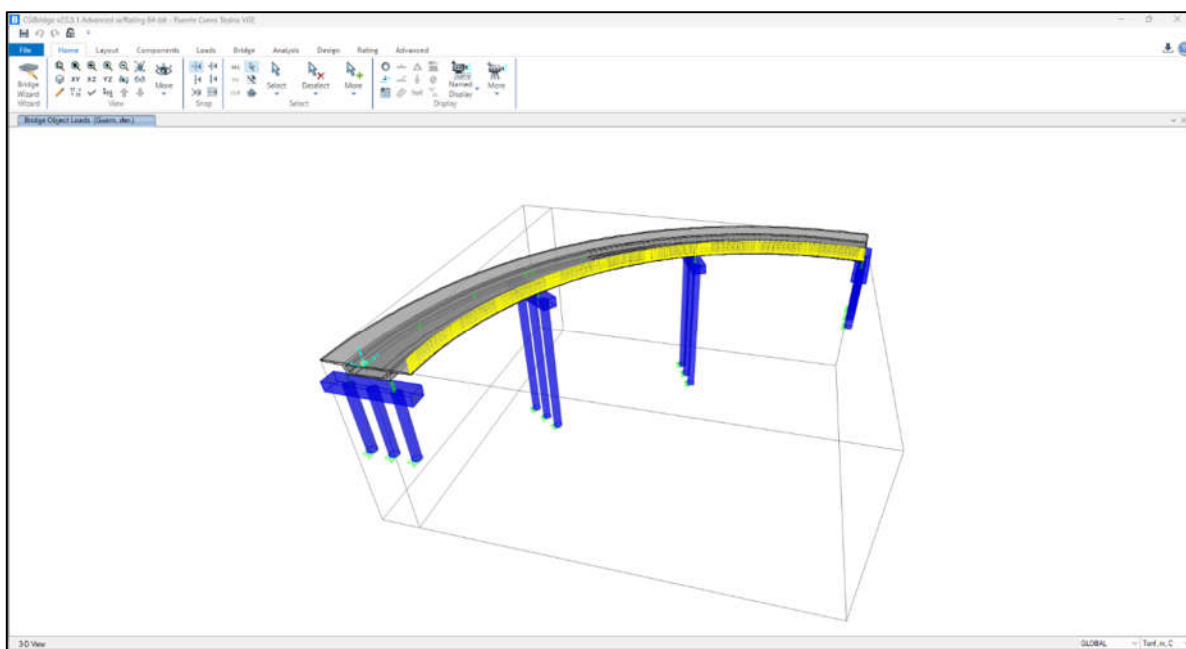


Figura 5.24 Ejemplo de la carga permanente por guarnición derecha aplicada en el modelo

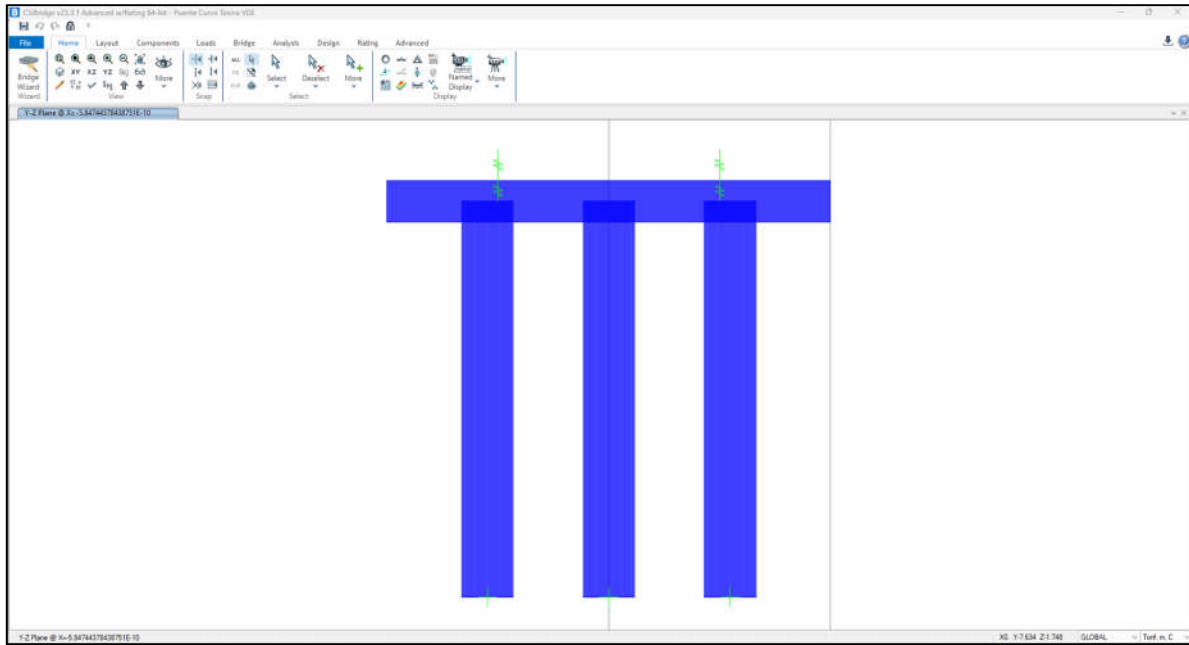


Figura 5.25 Sección transversal de caballete eje 4

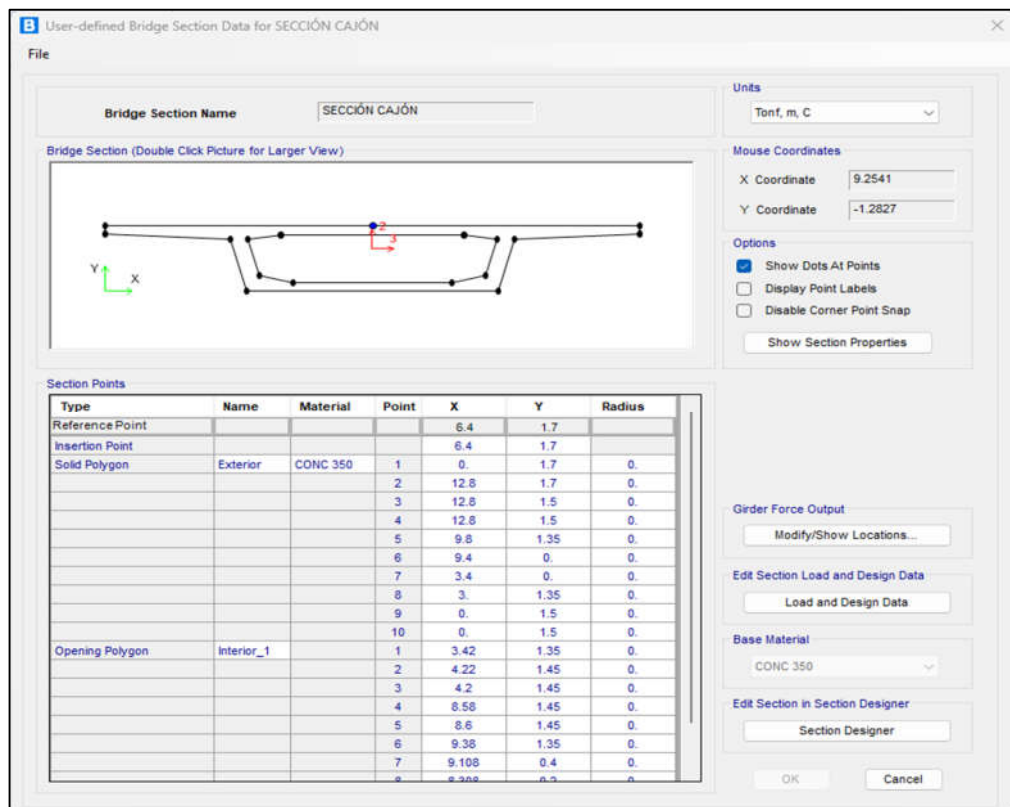


Figura 5.26 Sección transversal de la trabe sección cajón modelada

5.6.2 MODELO TIPO FRAME DEL TRAMO 1 DEL PUENTE EN SAP2000

El modelo representa la primera etapa del proceso constructivo del puente, en la cual cada uno de los tres tramos trabaja de manera isostática, siendo desarrollado para conocer las solicitudes máximas a las que se verán sometidos los miembros estructurales cuando sean montados. Cabe aclarar que esta condición cambia al momento es que es aplicado el presfuerzo de continuidad, ya que al trabajar de manera hiperestática se produce una redistribución de esfuerzos y por ende, disminuyen los elementos mecánicos.

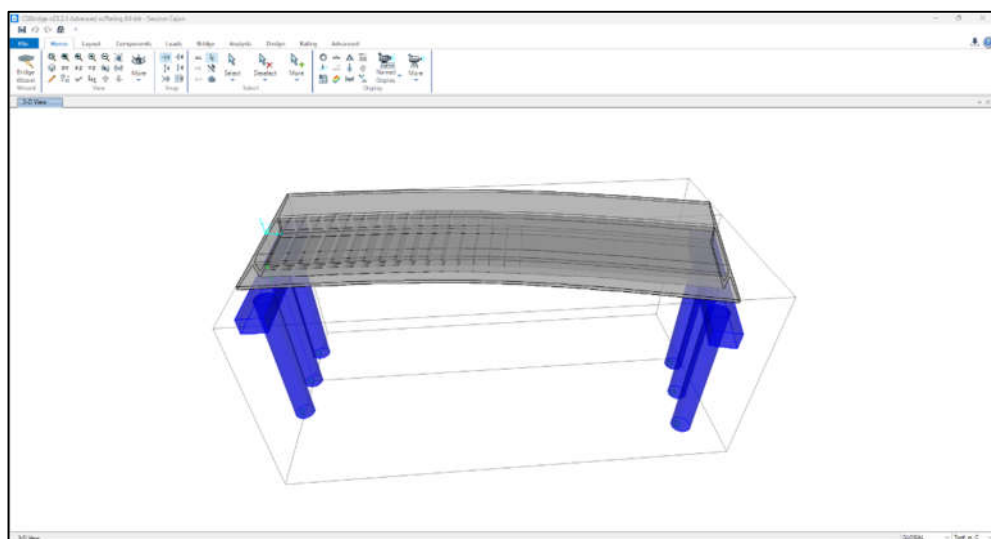


Figura 5.27 Vista longitudinal del tramo 1 trabajando de manera isostática

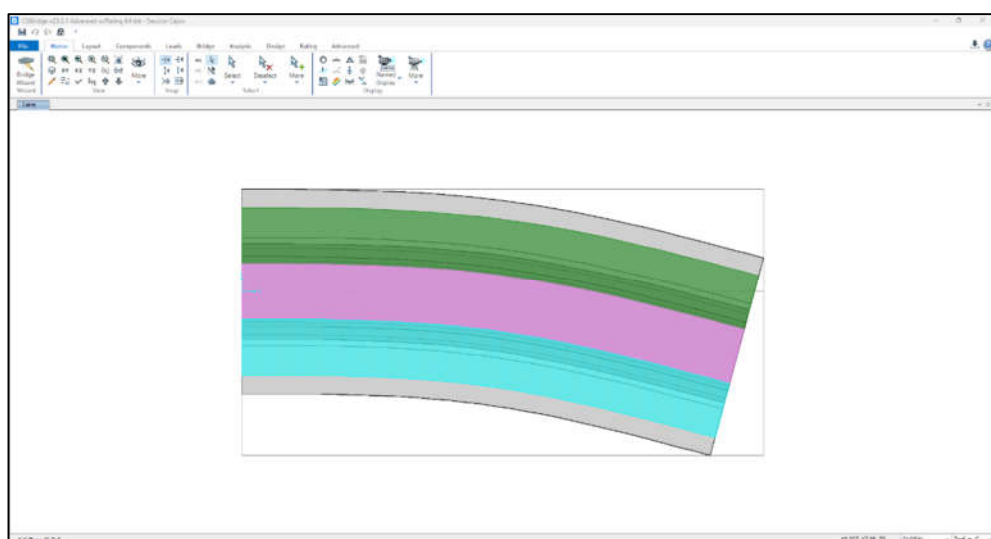


Figura 5.28 Planta del tramo 1 cargada en los tres carriles

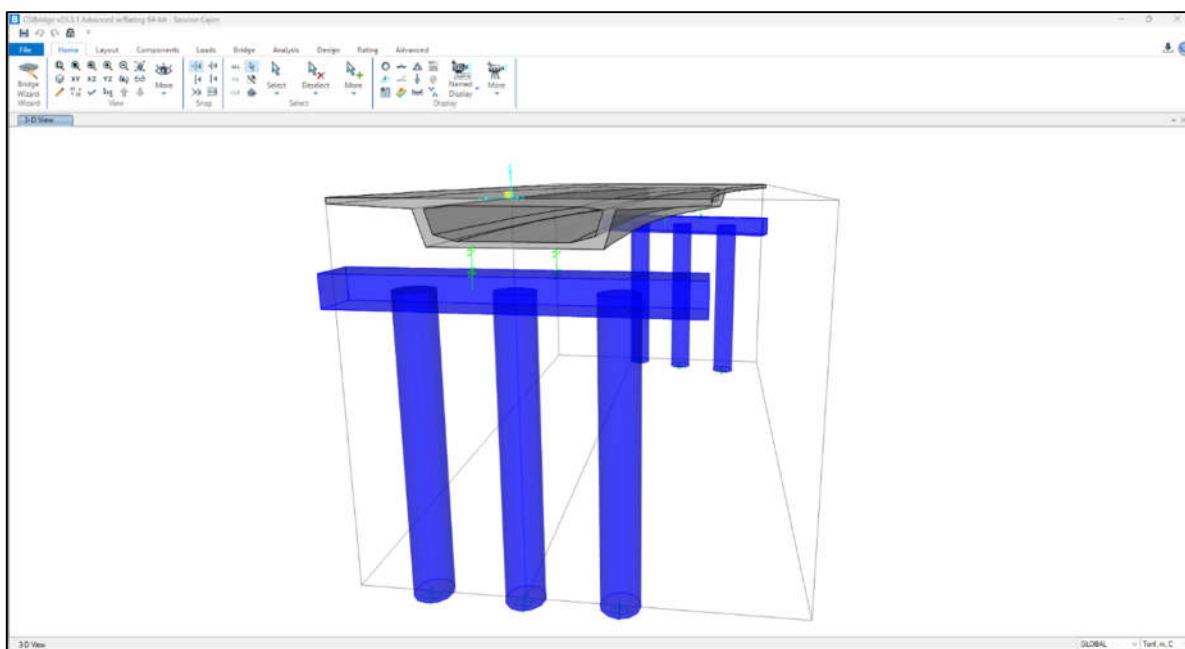


Figura 5.29 Vista de la sección transversal de superestructura y subestructura

5.6.3 MODELO TIPO FRAME DE LA TRABE SECCIÓN CAJÓN EN SAP2000

Este modelo final fue realizado para determinar varios aspectos del análisis de cargas necesarios para el diseño posterior de los elementos estructurales, partiendo de conocer las características geométricas de la trabe tanto de su sección simple como de su sección efectiva y posteriormente, cargando el modelo con las solicitudes tanto de cargas permanentes como de cargas vivas para obtener las descargas que generan a la subestructura.

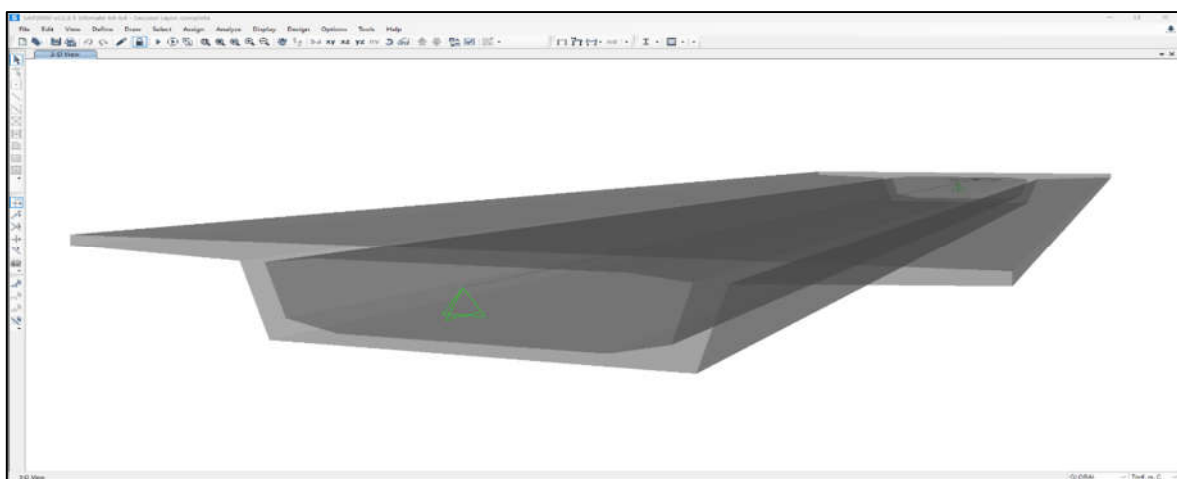


Figura 5.30 Vista longitudinal de la trabe sección cajón

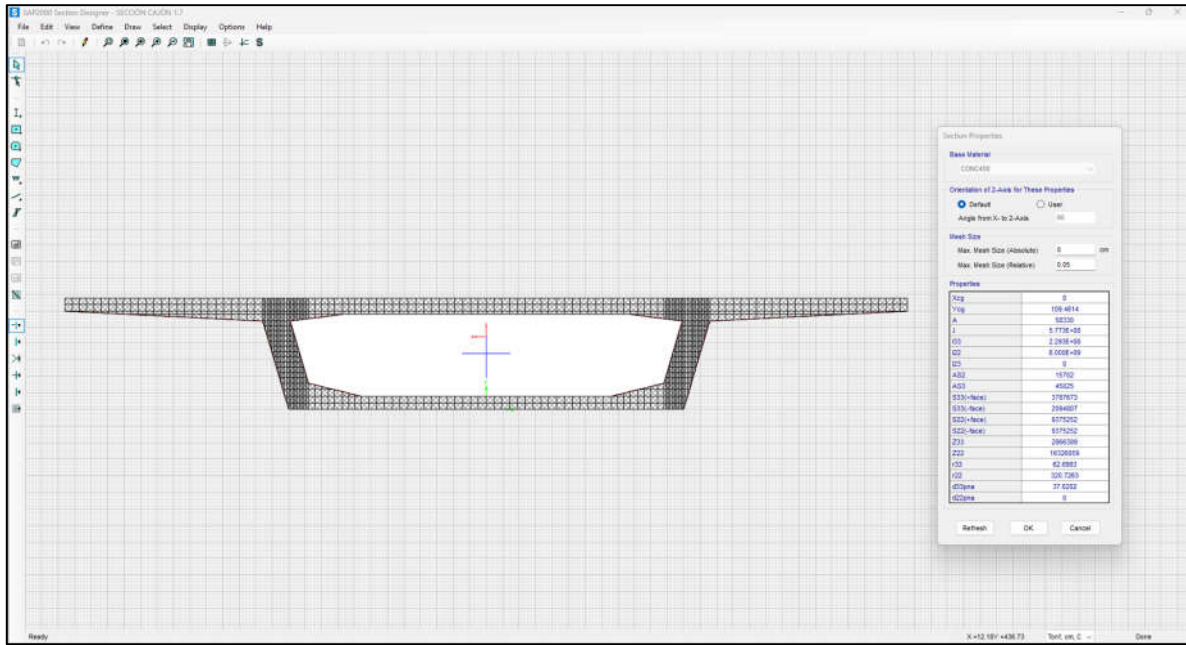


Figura 5.31 Sección Transversal y características geométricas de la sección simple

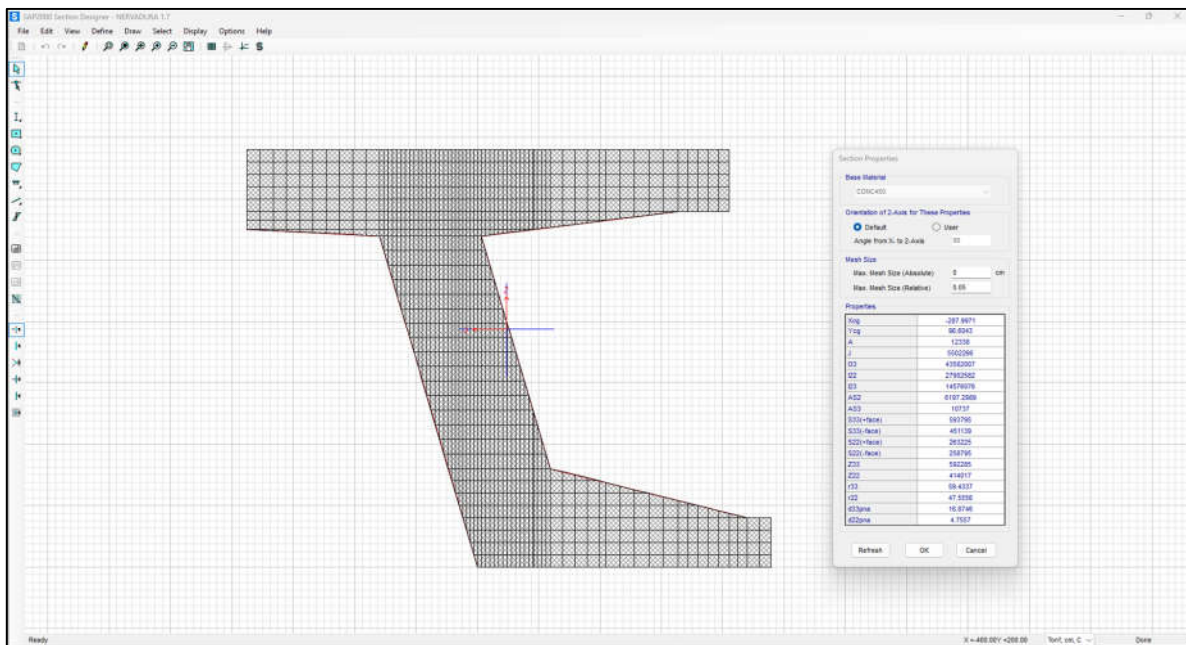


Figura 5.32 Sección Transversal y características geométricas de la sección efectiva

5.6.4 MODELO TIPO FRAME DE LOSA DE ESPESOR PROMEDIO EN SAP2000

El modelo de la losa fue realizado tomando un espesor promedio entre los espesores del volado, la nervadura y al centro de la trabe, permitiendo obtener los elementos mecánicos necesarios para en una primera etapa estimar el acero de refuerzo longitudinal perpendicular al tránsito requerido, así como el acero de distribución. En una segunda etapa, se revisó que la capacidad a flexión dada por el acero a la losa fuera la óptima.

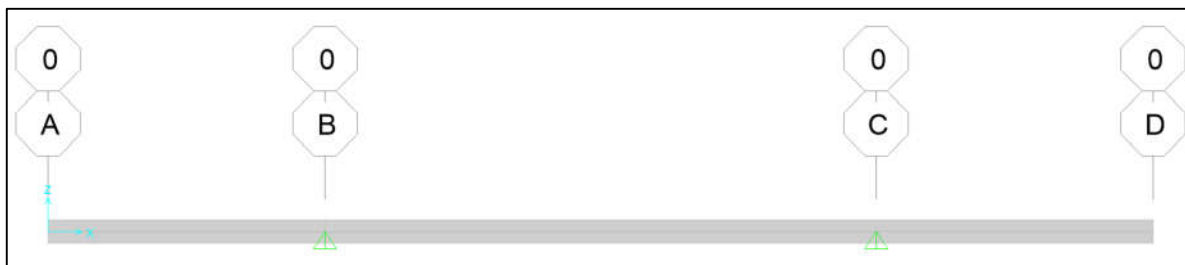


Figura 5.33 Perfil longitudinal de la losa con espesor promedio

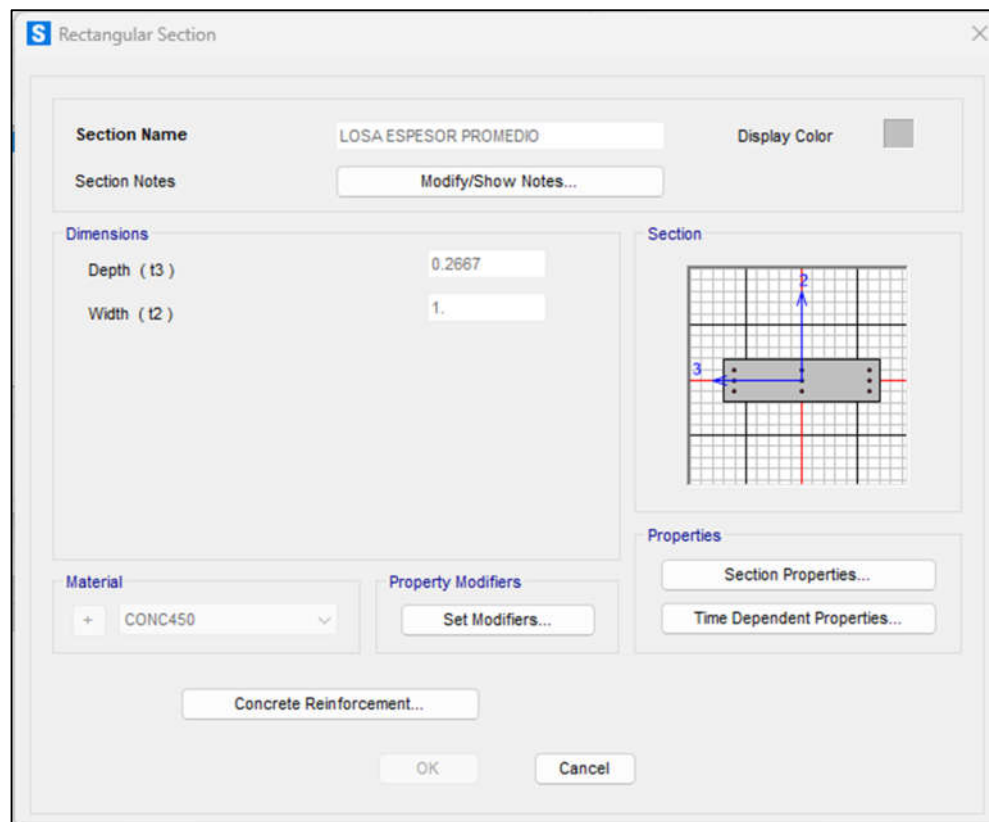


Figura 5.34 Características de la sección transversal para el análisis de flexión y cortante

5.6.5 MODELO TIPO FRAME DEL CABEZAL EN SAP2000

El modelo del cabezal corresponde al caballete de los ejes 2 y 3 que son las más esforzados, siendo realizado para determinar los elementos mecánicos que le producen las descargas de la superestructura, mismas que se transfieren a las pilas; con ello se estimó el refuerzo tanto longitudinal como transversal requerido.

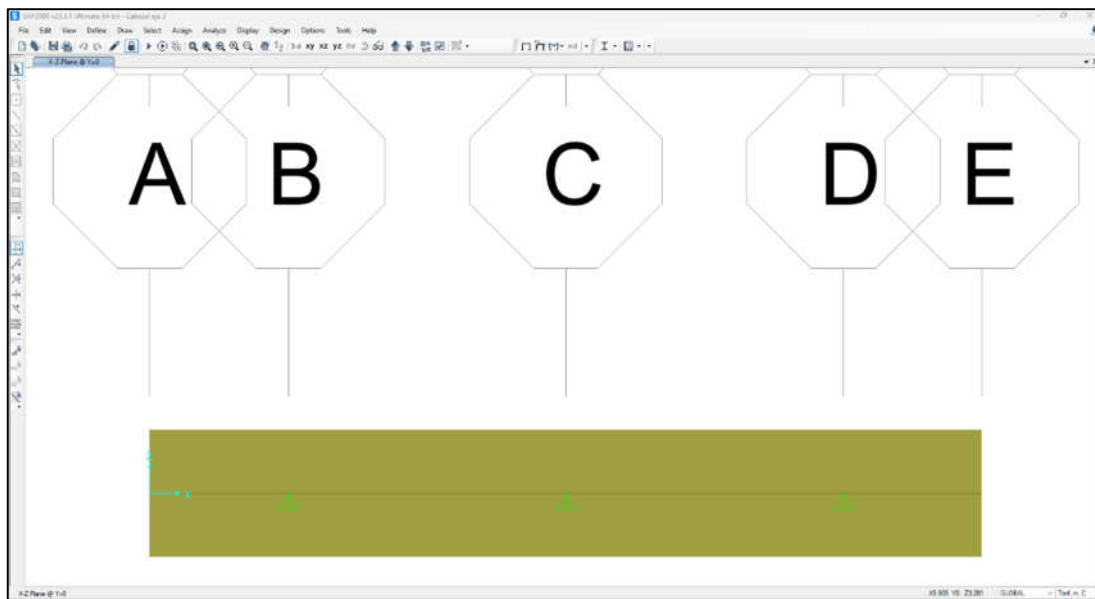
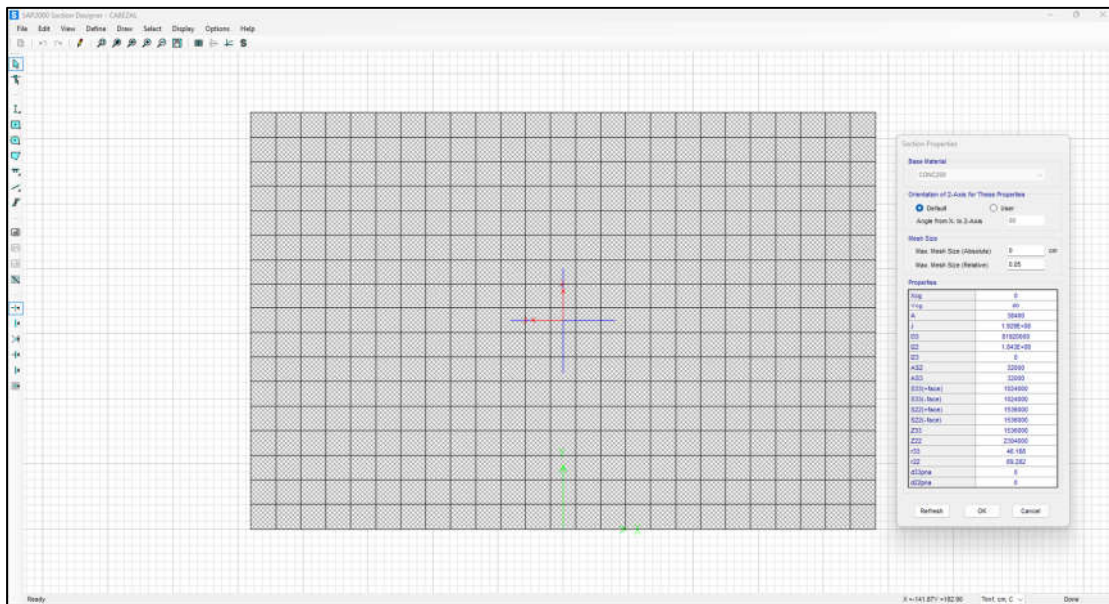


Figura 5.35 Perfil longitudinal de cabezal



5.7 ANÁLISIS DE SUBESTRUCTURA

En esta sección se presenta en primer lugar la sección del cabezal propuesta para el proyecto, sus dimensiones y descargas hacia las pilas; en segundo lugar, se presenta la sección transversal propuesta para las pilas, sus dimensiones y descargas al terreno. Finalmente, se presenta un resumen de los elementos mecánicos.

5.7.1 ANÁLISIS DE CABEZAL

El cabezal propuesto para el proyecto presenta las siguientes dimensiones de su sección transversal:

- Ancho: 240 cm
- Peralte total: 160 cm
- Claro Ejes 1 y 4: 1,280 cm
- Claro Ejes 2 y 3: 1,050 cm

Cabe mencionar que la longitud de los cabezales varía entre ejes debido a que en los apoyos extremos (ejes 1 y 4) el cabezal debe de llevar un muro de respaldo para proteger los accesos al puente y dado que el ancho de cerna es de 1,280 cm, la longitud del cabezal debe ser la misma; mas en los ejes 2 y 3, no se requiere dicha longitud y puede reducirse para disminuir el peso hacia las pilas.

La resistencia a compresión del concreto y peso volumétrico considerados son:

- $f'_c = 300 \text{ kg/cm}^2$
- $\gamma_c = 2.4 \text{ ton/m}^3$

Las descargas en servicio hacia cada pila, en los ejes 2 y 3, son las siguientes:

- Descarga a pila de curva interior: **364.37 ton**
- Descarga a pila central: **460.47 ton**
- Descarga a pila de curva exterior: **364.37 ton**

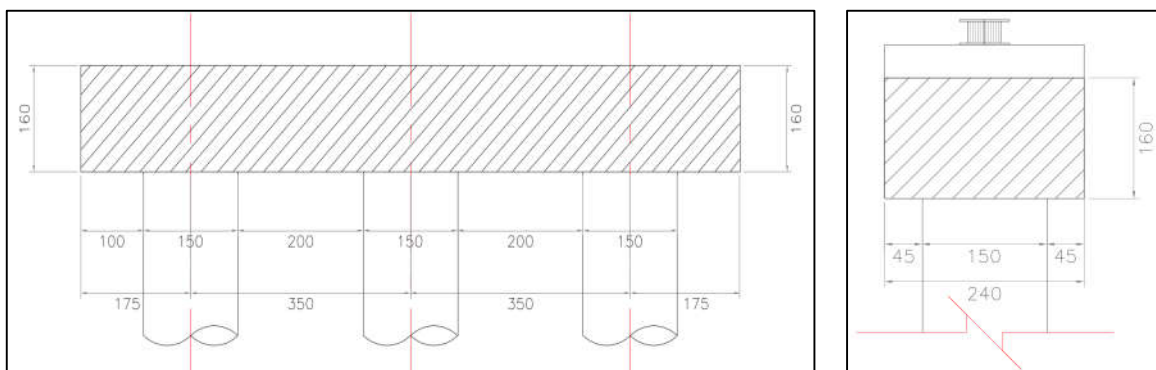


Figura 5.37 Corte transversal y longitudinal del cabezal

5.7.2 ANÁLISIS DE PILAS

Para el análisis de las pilas se propuso una misma sección transversal para todos los caballetes variando únicamente su altura. A continuación, se presenta las dimensiones de las pilas por caballete:

Caballetes Ejes 1 y 4

- Diámetro: 150 cm
- Altura a cabezal: 1,215 cm
- Número de pilas: 3

Caballetes Ejes 2 y 3

- Diámetro: 150 cm
- Altura a cabezal: 2,915 cm
- Número de pilas: 3

La resistencia a compresión del concreto y peso volumétrico considerados son:

- $f'_c = 300 \text{ kg/cm}^2$
- $\gamma_c = 2.4 \text{ ton/m}^3$

Las descargas en servicio para cada eje de pilas se presentan a continuación:

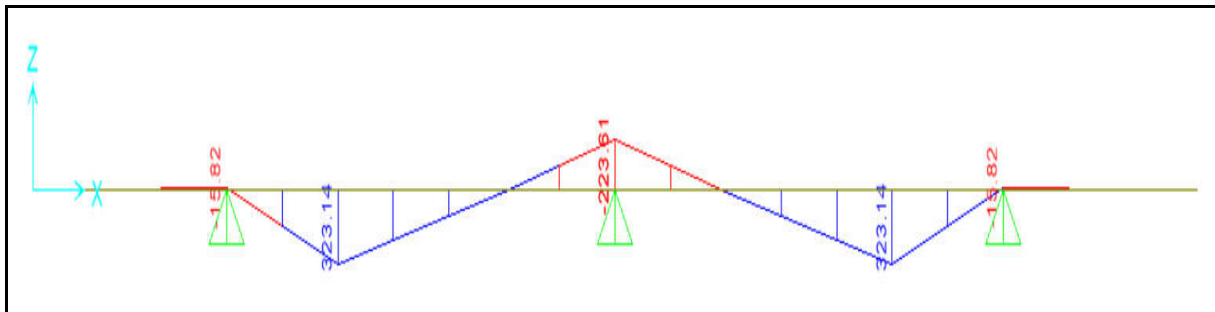
DESCARGAS EN LA BASE DE LAS PILAS		
CABALLETE EJE 1		
PILA CURVA INTERIOR	PILA CENTRAL	PILA CURVA EXTERIOR
188.421 ton	202.321 ton	384.158 ton
CABALLETE EJE 2		
PILA CURVA INTERIOR	PILA CENTRAL	PILA CURVA EXTERIOR
459.726 ton	535.761 ton	552.709 ton
CABALLETE EJE 3		
PILA CURVA INTERIOR	PILA CENTRAL	PILA CURVA EXTERIOR
459.121 ton	535.784 ton	553.433 ton
CABALLETE EJE 4		
PILA CURVA INTERIOR	PILA CENTRAL	PILA CURVA EXTERIOR
163.495 ton	261.267 ton	355.586 ton

Tabla 5.6 Resumen de las descargas por pila en cada caballete

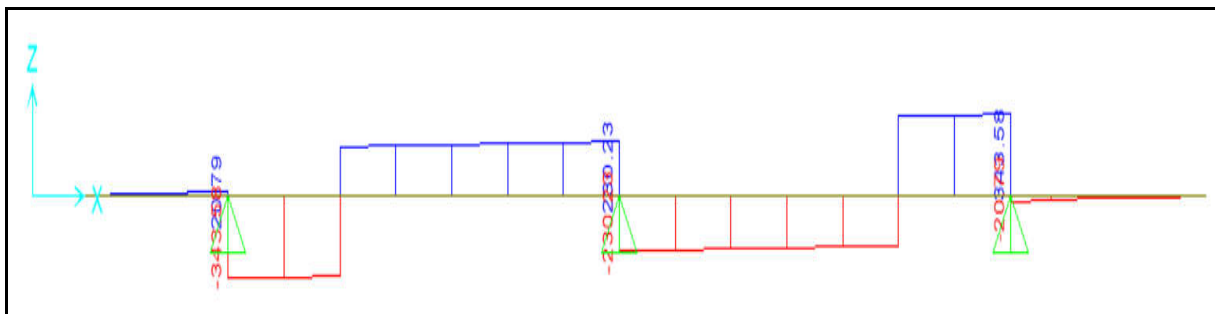


RESUMEN DE ELEMENTOS MECÁNICOS EN CONDICIONES DE SERVICIO

DATOS DEL CABEZAL		
LONGITUD =	10.5	m



ABCISA (m)	M cm (t-m)	M asfalto (t-m)	M cv (t-m)	M imp (t-m)	M serv. (t-m)
0.00	0.00	0.00	0.00	0.00	0.00
1.05	-5.28	0.00	0.00	0.00	-5.28
2.10	72.28	16.98	10.80	3.56	103.62
3.15	173.65	35.60	22.63	7.47	239.35
4.20	9.87	1.67	1.06	0.35	12.95
5.25	-164.06	-32.27	-20.52	-6.77	-223.61
6.30	9.87	1.67	1.06	0.35	12.95
7.35	173.65	35.60	22.63	7.47	239.35
8.40	72.28	16.98	10.80	3.56	103.62
9.45	-5.28	0.00	0.00	0.00	-5.28
10.50	0	0.00	0.00	0.00	0.00



ABCISA (m)	V cm (ton)	V asfalto (ton)	V cv (ton)	V imp (ton)	V serv. (ton)
0.00	0.00	0.00	0.00	0.00	0.00
1.05	9.69	0.00	0.00	0.00	9.69
2.10	-250.79	-48.53	-30.85	-10.18	-340.35
3.15	151.21	32.32	20.55	6.78	210.86
4.20	160.90	32.32	20.55	6.78	220.55
5.25	170.59	32.32	20.55	6.78	230.23
6.30	-160.90	-32.32	-20.55	-6.78	-220.55
7.35	-151.21	-32.32	-20.55	-6.78	-210.86
8.40	250.79	48.53	30.85	10.18	340.35
9.45	-9.69	0.00	0.00	0.00	-9.69
10.50	0.00	0.00	0.00	0.00	0.00

5.8 DISEÑO DE SUPERESTRUCTURA

En este subcapítulo se presentan los resultados principales del diseño tanto a flexión como a cortante, bajo condiciones de servicio y últimas de la superestructura, así como las hojas de cálculo elaboradas para realizar el diseño de cada elemento. En este sentido, se presenta la lista de los elementos estructurales diseñados:

- Diseño de losa
- Diseño de trabe sección cajón

5.8.1 DISEÑO DE LOSA

Para el diseño de la losa se consideró un análisis por metro de losa para facilitar la asignación de cargas uniformemente distribuidas, mas los elementos mecánicos obtenidos fueron afectados por la magnitud del ancho de franja de diseño que establece la norma AASHTO. A su vez, se requirió analizar la combinación de carriles cargados que genera las mayores solicitudes en la losa.

A continuación se presentan los resultados correspondientes al diseño por flexión de la losa en términos del área de acero de refuerzo empleado para lecho inferior y superior. De igual manera, se presenta al final de este capítulo las hojas de cálculo correspondientes a la estimación del acero de refuerzo y de la revisión de su capacidad a flexión.

>Datos Generales de Diseño:

- Ancho total del puente: **12.8 m**
- Ancho de calzada = **11.74 m**
- No. de carriles de diseño = **4**
- Ancho de franja de diseño = **2.13 m**

>Datos del Refuerzo Longitudinal Perpendicular al Tránsito:

- Para momento negativo (lecho superior): 5 vars. # 8/m = **25.35 cm²/m**
- Para momento positivo (lecho inferior): 5 vars. # 6/m = **14.25 cm²/m**

>Datos del Refuerzo de Distribución:

- Acero de distribución: 5 vars. # 6/m = **14.25 cm²/m**

Cabe mencionar que el diseño corresponde al primer tramo del puente y que este será el mismo para los tramos restantes.



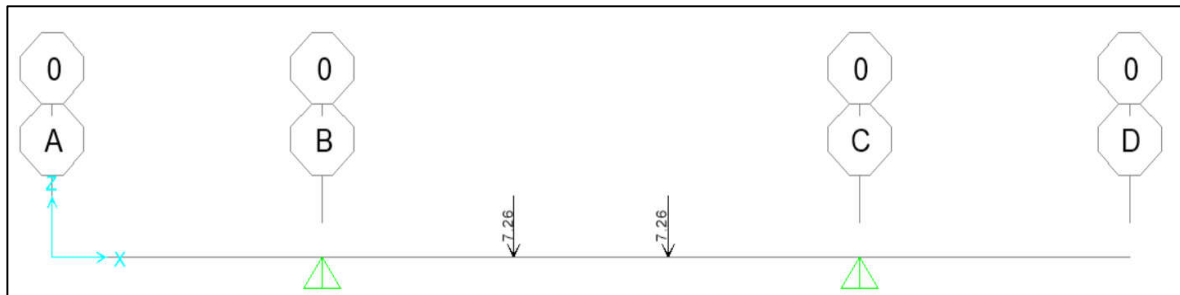
RESUMEN DE MOMENTOS EN COMBINACIÓN DE SERVICIO

CASO: CARRIL IZQUIERDO CARGADO



SECCIÓN	0 L	0.25 L	0.5 L	0.75 L	1 L
TRAMO 1	0	-0.56758	-1.900083	-5.83074	-12.16339
TRAMO 2	-12.16339	-4.69592	-2.53547	-2.82702	-5.46929
TRAMO 3	-5.46929	-3.25135	-1.57927	-0.46525	0

CASO: CARRIL CENTRAL CARGADO



SECCIÓN	0 L	0.25 L	0.5 L	0.75 L	1 L
TRAMO 1	0	-0.56008	-1.91622	-3.94652	-6.61685
TRAMO 2	-6.61685	4.61646	9.2094	5.114	-5.45953
TRAMO 3	-5.46953	-3.25149	-1.57934	-0.46526	0

CASO: CARRIL IZQUIERDO Y DERECHO CARGADOS

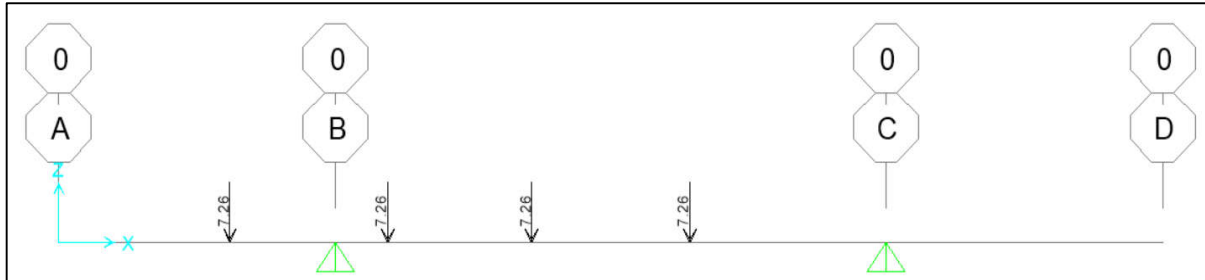


SECCIÓN	0 L	0.25 L	0.5 L	0.75 L	1 L
TRAMO 1	0	-0.56758	-1.90083	-5.83074	-12.16339
TRAMO 2	-12.16339	-5.39971	-3.93502	-4.9032	-11.01612
TRAMO 3	-11.01612	-5.13933	-1.56671	-0.47127	0



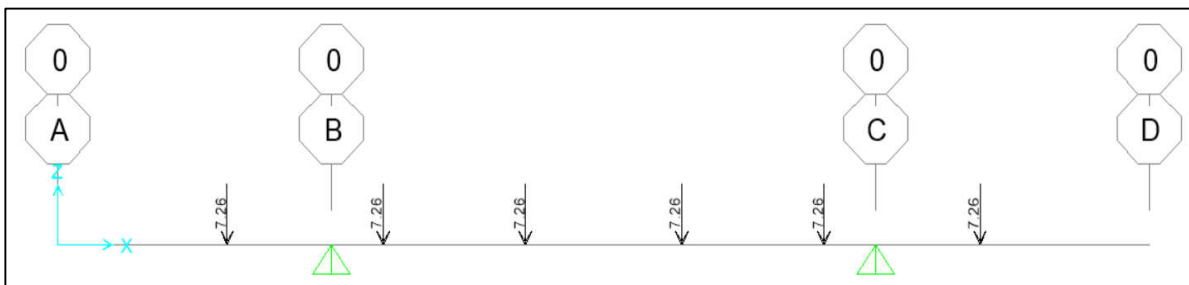
RESUMEN DE MOMENTOS EN COMBINACIÓN DE SERVICIO

CASO: CARRIL IZQUIERDO Y CENTRAL CARGADOS



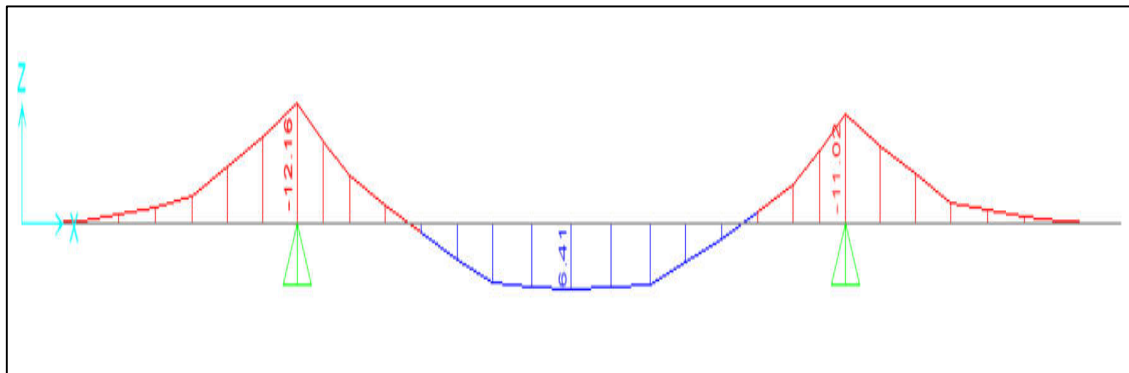
SECCIÓN	0 L	0.25 L	0.5 L	0.75 L	1 L
TRAMO 1	0	-0.56758	-1.90083	-5.83074	-12.16339
TRAMO 2	-12.16339	2.52346	7.81006	4.41431	-5.46929
TRAMO 3	-5.46929	-3.25135	-1.57927	-0.46525	0

CASO: LOS TRES CARRILES CARGADOS



SECCIÓN	0 L	0.25 L	0.5 L	0.75 L	1 L
TRAMO 1	0	-0.56758	-1.90083	-5.83074	-12.1639
TRAMO 2	-12.16339	1.82398	6.41111	2.32113	-11.01612
TRAMO 3	-11.01612	-5.13933	-1.56671	-0.47127	0

CONDICIÓN QUE RIGE: LOS TRES CARRILES CARGADOS





DISEÑO DE LOSA

REGLAMENTO: AASHTO LRFD 2020

DATOS GENERALES DEL PUENTE									
LONGITUD DEL TRAMO			CARRILES DE CIRCULACIÓN			CAMIÓN DE DISEÑO			
L = 31.3 m	No. Carriles = 3		CAMIÓN: HS20						

DIMENSIONES DEL SISTEMA DE PISO Y OBRAS AUXILIARES									
ANCHO DE CARRIL DE CIRCULACIÓN			ANCHO DE GUARNICIÓN			ANCHO DE ACOTAMIENTO			
A _{Carril} = 3.5 m			A _{Guar} = 0.53 m			A _{Acot} = 0.62 m			
ANCHO DE CARRIL DE DISEÑO				ANCHO DE BANQUETA					
A _{CarrilDis} = 3.05 m			A _{Banq} = 0 m						

PROPIEDADES DEL PUENTE									
ANCHO TOTAL DEL PUENTE			ANCHO DE CALZADA			CARRILES DE DISEÑO			
A _{Total} = 12.8 m			A _{Calzada} = 11.74 m			No. Carriles = 4			

DATOS GENERALES DE LA LOSA					MATERIALES				
ESPESORES DE LA LOSA					CONCRETO				
t ₁ = 20 cm					f _c = 450 kg/cm ²				
t ₂ = 25 cm					f' _c = 383 kg/cm ²				
t ₃ = 35 cm					Y _c = 2.4 ton/m ³				
ESPESOR PROMEDIO DE LOSA					ACERO DE REFUERZO				
h = 26.67 cm					f _y = 4.200 kg/cm ²				

RESUMEN DE CARGAS									
CARGAS MUERTAS UNIFORMEMENTE DISTRIBUIDAS					DESGLOSE DE GUARNICIÓN Y PPTO				
CARGAS	ESPESOR	ANCHO	Y	W	GUARNICIÓN IZQUIERDA Y DERECHA				
	m	m	ton/m ³	t/m	A _{GuarnIzq} = 0.3859 m ²				
PoPo Losa	0.2667	1	2.4	0.6401	W _{GuarnIzq} = 0.9262 ton/m				
Pavimento	0.1	1	2.2	0.22	A _{GuarnDerec} = 0.246 m ²				
Guarnición	0	1	2.4	1.5166	W _{GuarnDerec} = 0.5904 ton/m				
PPTO	0	1	0.3	0.300	PARAPETO IZQUIERDO Y DERECHO				
RELLENO	0.18	1	1.7	0.306	W _{PPTO} = 0.3 ton/m				

CÁLCULO DE ANCHO DE FRANJA EQUIVALENTE									
REGLAMENTO AASHTO LRFD Art. 4.6.2.3 - Anchos de Franja Equivalentes para Puentes tipo Losa					CÁLCULO DE ANCHO DE FRANJA EQUIVALENTE				
CASO: UN CARRIL CARGADO					CASO: MÚLTIPLES CARRILES CARGADOS				
Ancho de franja equivalente por carril cargado tanto para cortante como para momento					Ancho de franja equivalente por múltiples carriles cargados tanto para cortante como para momento				
$E = 10 + 5.0\sqrt{L_i W_1}$ Eq. 4.6.2.3-1					$E = 84 + 1.44\sqrt{L_i W_1} \leq \frac{12W}{N_L}$ Eq. 4.6.2.3-2				
ANCHO DE FRANJA EQUIVALENTE					ANCHO DE FRANJA EQUIVALENTE				
E = 1.64 m					E = 2.53 m				

Donde:

E = Ancho de franja equivalente (m).

L₁ = Longitud modificada del claro tomada como el menor valor entre la longitud real del claro y 18.29 m (60 ft).W₁ = Ancho modificado del puente (borde a borde). Se toma el menor valor entre el ancho real y 18.29 m para varios carriles cargados y 9.14 m para un solo carril cargado.

W = Ancho real entre los bordes del puente (ancho total del puente).

N_L = Número de carriles de diseño

DATOS REFERENTES AL CÁLCULO DE ANCHOS DE FRANJA EFECTIVOS									
CASO CONSIDERADO			FACTORES DE CONVERSIÓN			LÍMITE DE FRANJA EQUIVALENTE			
Múltiples carriles cargados				1 ft = 0.3048 m					
L ₁ = 18.29 m				1 m = 3.28084 ft					
W ₁ = 9.14 m				1 in = 0.0254 m					
W = 12.80 m									
N _L = 4.00									
RESUMEN DE ANCHO DE FRANJA EFECTIVO									
LÍMITE DE ANCHO DE FAJA			ANCHO DE FRANJA TEÓRICO			ANCHO DE FRANJA DE DISEÑO			
E = 2.13 m			E = 2.53 m			E = 2.13 m			

RESUMEN DE MOMENTOS: CONDICIÓN EN SERVICIO									
MOMENTO	TRAMO	1	TRAMO	2	TRAMO	3			
M _{cm} (ton·m)	0	-1.32158	-4.18633	-4.18633	-1.243841	-3.03906	-3.03906	-0.98746	0
M _{asf} (ton·m)	0	-0.06057	-0.37053	-0.37053	0.15545	-0.37053	-0.37053	-0.06057	0
M _{cv} (ton·m)	0.00	-0.52	-7.61	-7.61	7.50	-7.61	-7.61	-0.52	0.00
M _{serv} (ton·m)	0.00	-1.90	-12.16	-12.16	6.41	-11.02	-11.02	-1.57	0.00

FACTORES DE CARGA									
FACTOR POR CARGA MUERTA			FACTOR POR ASFALTO			FACTOR POR CARGA VIVA			IMPACTO
F _{CM} = 1.5	F _{Asf} = 1.25		F _{cv} = 1.75						IMP = 0.33

DISEÑO DE LOSA

REGLAMENTO: AASHTO LRFD 2020

RESUMEN DE MOMENTOS: CONDICIÓN ÚLTIMA								
MOMENTO	TRAMO 1			TRAMO 2			TRAMO 3	
1.25M _{cm} (ton*m)	0.0000	-1.6520	-5.2329	-5.2329	-1.5548	-3.7988	-3.7988	-1.2343 0.0000
1.5M _{asf} (ton*m)	0.0000	-0.0909	-0.5558	-0.5558	0.2332	-0.5558	-0.5558	-0.0909 0.0000
1.75M _{cv} (ton*m)	0.0000	-0.9077	-13.3114	-13.3114	13.1241	-13.3114	-13.3114	-0.9077 0.0000
M _{ult.} (ton*m)	0.00	-2.65	-19.10	-19.10	11.80	-17.67	-17.67	-2.23 0.00

CÁLCULO DEL ACERO DE REFUERZO PRINCIPAL: PERPENDICULAR AL TRÁNSITO								
DATOS DEL ACERO DE REFUERZO								
ACERO PROPUESTO			CARACTERÍSTICAS GEOMÉTRICAS				FACTORES DEL ANÁLISIS A FLEXIÓN	
Varilla #:	8		Y _g =	3.77	cm		ϕ =	0.9
As =	5.07	cm ²	h _{efec} =	26.67	cm		J =	0.9
ϕ =	2.54	cm	b =	100	cm			
r =	2.5	cm	d =	22.9	cm			
RESUMEN DEL ACERO DE REFUERZO PRINCIPAL								
	TRAMO 1			TRAMO 2			TRAMO 3	
As Requerido	0.00	3.40	24.52	24.52	15.15	22.68	22.68	2.87 0.00
No. de varillas	0.00	0.67	4.84	4.84	2.99	4.47	4.47	0.57 0.00
Varillas Real	5	5	5	5	5	5	5	5
As Real	25.35	25.35	25.35	25.35	25.35	25.35	25.35	25.35
a	2.7835	2.7835	2.7835	2.7835	2.7835	2.7835	2.7835	2.7835
M _R	20.61	20.61	20.61	20.61	20.61	20.61	20.61	20.61
MR vs MU	Ok	Ok	Ok	Ok	Ok	Ok	Ok	Ok
S _{Teórica}	20.00	20.00	20.00	20.00	20.00	20.00	20.00	20.00
S _{Real}	20	20	20	20	30	20	20	20

CÁLCULO DEL ACERO DE DISTRIBUCIÓN								
REGLAMENTO AASHTO LRFD Art. 9.7.3.2 - Refuerzo de distribución								
SEPARACIÓN ENTRE APOYOS			ACERO PERPENDICULAR AL TRÁNSITO				ÁREA DE ACERO DE DISTRIBUCIÓN	
S _T =	6.3828	m	$A_{s,DIST} = \frac{220}{\sqrt{L}} \leq 67\%$				%As _{DIST} =	48.08 %
S _T =	20.94	ft					As _{DIST} =	0.48 cm ²
RESUMEN DEL ACERO DISTRIBUCIÓN								
ACERO PROPUESTO				TRAMO 1		TRAMO 2	TRAMO 3	
Varilla #:	6		As Requerido	12.19	12.19	12.19		
As =	2.85		No. de varillas	4.28	4.28	4.28		
ϕ =	1.9		No. Varillas =	5	5	5		
r =	2.5		As Real	14.25	14.25	14.25		
			S _{Teórica}	20.00	20.00	20.00		
			S _{Real}	20	20	20		

CÁLCULO DEL ACERO POR CONTRACCIÓN Y TEMPERATURA								
REGLAMENTO AASHTO LRFD Art. 5.10.6 - Refuerzo por Contracción y Temperatura								
DIMENSIONES DE LA LOSA			ACERO P/CONTRACCIÓN Y TEMPERATURA				ACERO P/CONTRACCIÓN Y TEMPERATURA	
b =	1,280.00		$A_s = \frac{1.3bh}{2(b+h)f_y}$ Eq. 5.10.6-1				As _{C&T} =	0.1119 in ² /ft
h =	26.67	cm					As _{C&T} =	2.37 cm ² /m
RESUMEN DEL ACERO POR CONTRACCIÓN Y TEMPERATURA								
ACERO POR CONTRACCIÓN Y TEMPERATURA				TRAMO 1		TRAMO 2	TRAMO 3	
Varilla #:	4		As Requerido	2.37	2.37	2.37		
As =	1.27		No. de varillas	1.87	1.87	1.87		
ϕ =	1.27		Varillas Real	2	2	2		
r =	2		As Real	2.54	2.54	2.54		
			S _{Teórica}	199.61	199.61	199.61		
			S _{Real}	200	200	200		

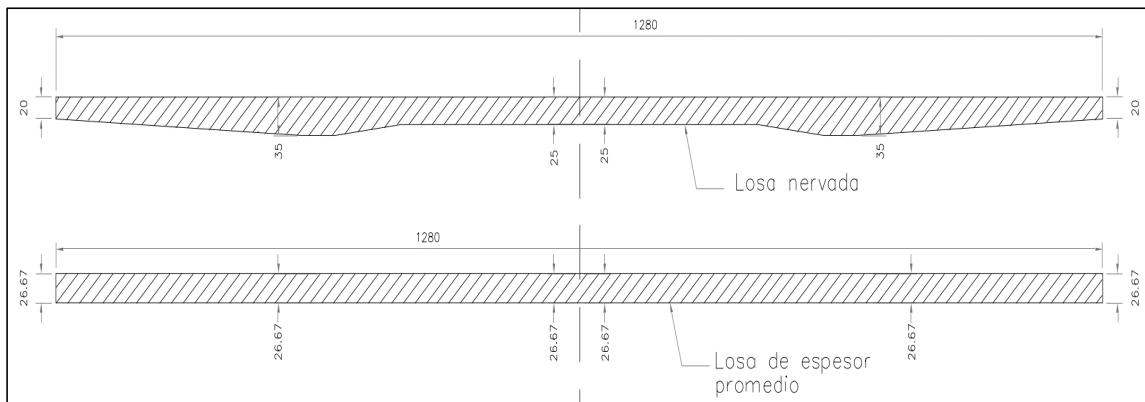


REVISIÓN DE CAPACIDAD DE LOSA

CARACTERÍSTICAS GEOMÉTRICAS DE LA LOSA		
SECCIÓN SIMPLE	SECCIÓN COMPUESTA	DIMENSIONES DE LOSA
ESPESOR PROMEDIO	ESPESOR PROMEDIO	ANCHO DE ANÁLISIS
$H \text{ (m)} = 0.26670$	$H \text{ (m)} = 0.26670$	$B, \text{ cm} = 100$
ÁREA DE LA SECCIÓN	ÁREA DE LA SECCIÓN	ESPESOR PROMEDIO
$A \text{ (m}^2\text{)} = 1.25000$	$A \text{ (m}^2\text{)} = 1.2500$	$h, \text{ cm} = 26.67$
EJE NEUTRO	EJE NEUTRO	$h_f \text{ (m)} = 0$
$Y_i \text{ (m)} = 0.13335$	$Y_i \text{ (m)} = 0.13$	CLARO TOTAL DE LOSA
$Y_s \text{ (m)} = 0.13335$	$Y_s \text{ (m)} = 0.13$	
INERCIA BRUTA	INERCIA BRUTA	$L, \text{ cm} = 1,280$
$I_x \text{ (m}^4\text{)} = 0.00158084$	$I_x \text{ (m}^4\text{)} = 0.00158084$	

CARACTERÍSTICAS DE LOS MATERIALES	
CONCRETO	ACERO
$f'_c = 450 \text{ kg/cm}^2$	$f_y = 4,200 \text{ kg/cm}^2$

>BOSQUEJO DE LOSA CONSIDERADA





REVISIÓN DE CAPACIDAD DE LOSA

CARACTERÍSTICAS GEOMÉTRICAS		TRAMO 1						MATERIALES DE LA LOSA	
SECCIÓN SIMPLE		SECCIÓN COMPUESTA						RESISTENCIA A COMPRESIÓN	
ESPESOR MEDIO DE LOSA	$h_f(m) = 0$	ALTURA TOTAL DE LOSA	$H(m) = 0.26670$					$f'_c = 450$	kg/cm ²
ALTURA TOTAL DE LOSA	$H(m) = 0.26670$	ÁREA DE LOSA	$A(m^2) = 1.25000$					LIMITE ELÁSTICO DEL ACERO	
ÁREA DE LOSA	$A(m^2) = 1.25000$	DIST. DEL (E.N) A LA F. INF.	$Y_i(m) = 0.13335$					$f_y = 4,200.00$	kg/cm ²
DIST. DEL (E.N) A LA F. INF.	$Y_i(m) = 0.13335$	DIST. DEL (E.N) A LA F. SUP.	$Y_s(m) = 0.13335$					FACTOR DE CONVERSIÓN	
DIST. DEL (E.N) A LA F. SUP.	$Y_s(m) = 0.13335$	MOMENTO DE INERCIA	$I_x(m^4) = 0.00$					$Lb/in^2 a Kg/cm^2; \quad 0.0703081$	
MOMENTO DE INERCIA	$I_x(m^4) = 0.00$	MOD. DE SECCION INF.	$S_i(m^3) = 0.01185$					DIMENSIONES DEL SEGMENTO DE LOSA ANALIZADO	
MOD. DE SECCION INF.	$S_i(m^3) = 0.01185$	MOD. DE SECCION SUP.	$S_s(m^3) = 0.01185$					Claro, L (mts)=	3.2086
MOD. DE SECCION SUP.	$S_s(m^3) = 0.01185$	ANCHO DE PATIN (b) EN CM	$b(cm) = 100.00$					$h, (mts) = 0.2667$	
		ANCHO DEL ALMA (b') EN CM	$b'(cm) = 100.00$						

DISTRIBUCIÓN DEL ACERO DE REFUERZO											
DISTRIBUCIÓN DEL ACERO DE REFUERZO EN TENSIÓN											
SECCION	Apoyo	0.1 L	0.2 L	0.3L	0.4L	0.5L	0.6L	0.7L	0.8L	0.9L	Apoyo
As (cm ²)	25.35	25.35	25.35	25.35	25.35	25.35	25.35	25.35	25.35	25.35	
r (cm)	3.77	3.77	3.77	3.77	3.77	3.77	3.77	3.77	3.77	3.77	
DISTRIBUCIÓN DEL ACERO DE REFUERZO EN COMPRESIÓN										Apoyo	
SECCION	Apoyo	0.1 L	0.2 L	0.3L	0.4L	0.5L	0.6L	0.7L	0.8L	0.9L	Apoyo
As (cm ²)	14.25	14.25	14.25	14.25	14.25	14.25	14.25	14.25	14.25	14.25	
r (cm)	3.77	3.77	3.77	3.77	3.77	3.77	3.77	3.77	3.77	3.77	

DATOS GENERALES DEL ACERO Y DEL SEGMENTO DE LOSA									
DATOS DEL ACERO					DATOS DEL TRAMO				
LIMITE DE FLUENCIAS (f _y)					f _y (kg/cm ²) = 4,200.00				
MODULO DE ELASTICIDAD (E _s)					E _s (29,000,000.00 PSI)				
FACTOR DE CONVERSIÓN DE (lb/in ²) a (kg/cm ²)					Factor = 0.0703081				
					E _s = 2,038,934.90 kg/cm ²				
EXPRESIONES PARA CONDICIONES ÚLTIMAS (NORMA AASHTO LRFD 2020)									
$\theta M_n = \theta [A_s f_y (1 - 0.6 \frac{f'_y}{f_c})]$		Formula de momento							
$\theta M_n = \theta [A_s f_y (d - \frac{a}{2})]$		ASHTO Capítulo 8.16.3.1							
$a = \frac{A_s f_y}{0.85 f'_c b}$		Profundidad del bloque de esfuerzos							
$\theta = 0.9$		Factor de reducción							
$M_u = 1.25[M_{CM}] + 1.5[M_{ASf}] + 1.75[M_{CV} + M_{IMP}]$		Momento Flexionante							
$V_u = 1.25[V_{SCM}] + 1.5[V_{ASf}] + 1.75[V_{CV} + V_{IMP}]$		Fuerza cortante							

FACTORES DE CARGA									
FACTOR POR CARGA MUERTA			FACTOR POR ASFALTO			FACTOR POR CARGA VIVA			FACTOR POR IMPACTO
F _{CM} = 1.5			F _{Asf} = 1.25			F _{CV} = 1.75			IMP = 0.33

ELEMENTOS MECÁNICOS: MOMENTOS											
MOMENTO FLEXIONANTE (SERVICIO)											
Apoyo	0.1L	0.2L	0.3L	0.4L	0.5L	0.6L	0.7L	0.8L	0.9L	Apoyo	
0 m	0.32086	0.64172	0.96258	1.28344	1.6043	1.92516	2.24602	2.56688	2.88774	3.2086	
M cm(t-m)	0	-0.0513	-0.2852	-0.5795	-0.9247	-1.3216	-1.7840	-2.3068	-2.8819	-3.5086	
M asf(t-m)	0	-0.0002	-0.0012	-0.0119	-0.0315	-0.0606	-0.1017	-0.1540	-0.2164	-0.2885	
M cv(t-m)	0	-0.0186	-0.0065	-0.1459	-0.2543	-0.3900	-0.5609	-1.6543	-2.9806	-4.3355	
M imp(t-m)	0	-0.0061	-0.0021	-0.0482	-0.0839	-0.1287	-0.1851	-0.5459	-0.9836	-1.4307	
M serv.(t-m)	0.00	-0.08	-0.30	-0.79	-1.90	-2.63	-4.66	-7.06	-9.56	-12.16	
MOMENTO FLEXIONANTE (ÚLTIMOS)											
1.25 M cm(t-m)	0	-0.06410	-0.35646	-0.72436	-1.15585	-1.65198	-2.22998	-2.88344	-3.60241	-4.38578	-5.23291
1.5 M asf(t-m)	0	-0.00027	-0.00185	-0.01787	-0.04731	-0.09086	-0.15251	-0.23106	-0.32454	-0.43278	-0.55580
1.75 M cv(t-m)	0.00	-0.03260	-0.01137	-0.25536	-0.44496	-0.68248	-0.98149	-2.89497	-5.21596	-7.58718	-10.00860
1.75 M imp(t-m)	0	-0.01076	-0.00375	-0.08427	-0.14684	-0.22522	-0.32389	-0.95534	-1.72127	-2.50377	-3.30284
M ult.(t-m)	0.00	-0.11	-0.37	-1.08	-1.79	-2.65	-3.69	-6.96	-10.86	-14.91	-19.10

ELEMENTOS MECÁNICOS: CORTANTE (SERVICIO)											
FUERZA CORTANTE (SERVICIO)											
Apoyo	0.1L	0.2L	0.3L	0.4L	0.5L	0.6L	0.7L	0.8L	0.9L	Apoyo	
0 m	0.32086	0.64172	0.96258	1.28344	1.6043	1.92516	2.24602	2.56688	2.88774	3.2086	
V cm(t-m)	0.0000	0.6782	0.8092	0.9847	1.1676	1.3486	1.5271	1.7034	1.8776	2.0498	2.2200
V asf(t-m)	0.0000	0.0022	0.0149	0.0447	0.0778	0.1110	0.1441	0.1772	0.2104	0.2435	0.2767
V cv(t-m)	0.0000	0.0965	0.1931	0.2896	0.3861	0.4827	0.5792	0.8481	4.1807	4.2772	4.3737
V imp(t-m)	0.0000	0.0318	0.0637	0.0956	0.1274	0.1593	0.1911	1.3478	1.3796	1.4115	1.4433
V serv.(t-m)	0.00	0.81	1.08	1.41	1.76	2.10	2.44	7.31	7.65	7.98	8.31
FUERZA CORTANTE (ÚLTIMOS)											
1.25 V cm(t-m)	0	0.84775	1.0115	1.230875	1.4595	1.68575	1.908875	2.12925	2.347	2.56225	2.775
1.5 V asf(t-m)	0	0.0033	0.02235	0.06705	0.1167	0.1665	0.21615	0.2658	0.3156	0.36525	0.41505
1.75 V cv(t-m)	0.00	0.17	0.34	0.51	0.68	0.84	1.01	7.15	7.32	7.49	7.65
1.75 V imp(t-m)	0	0.05572875	0.11151525	0.167244	0.22297275	0.27875925	0.334488	2.35856775	2.41435425	2.470083	2.52581175
V ult.(t-m)	0.00	1.08	1.48	1.97	2.47	2.98	3.47	11.90	12.39	12.88	13.37



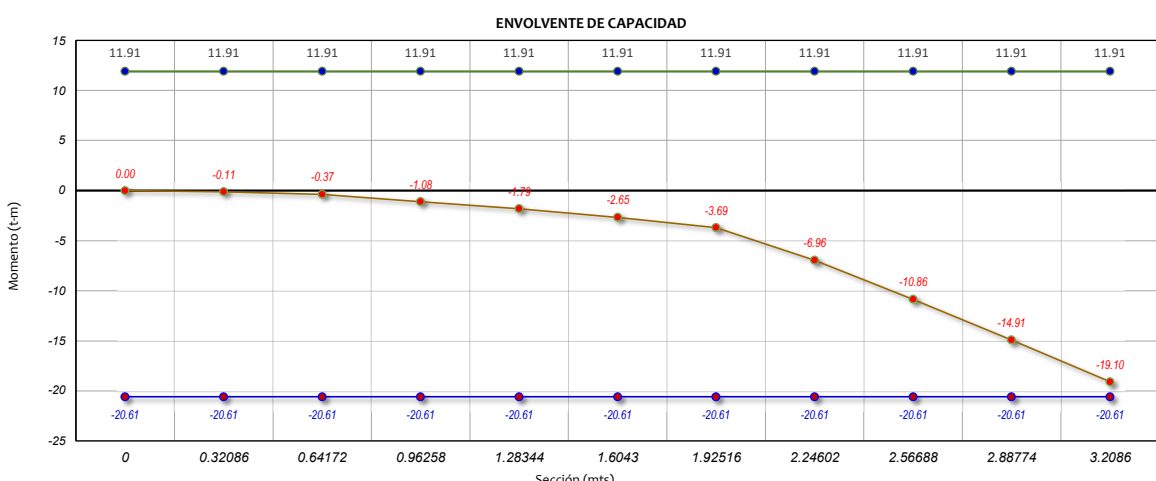
REVISIÓN DE LA CAPACIDAD A FLEXIÓN CÁLCULO DEL MOMENTO RESISTENTE A TENSIÓN											
	Apoyo 0 m	0.1L 0.32086 m	0.2L 0.64172 m	0.3L 0.96258 m	0.4L 1.28344 m	0.5L 1.6043 m	0.6L 1.92516 m	0.7L 2.24602 m	0.8L 2.56688 m	0.9L 2.88774 m	Apoyo 3.2086 m
As	25.35	25.35	25.35	25.35	25.35	25.35	25.35	25.35	25.35	25.35	25.35
f _y	4,200.00	4,200.00	4,200.00	4,200.00	4,200.00	4,200.00	4,200.00	4,200.00	4,200.00	4,200.00	4,200.00
As f _y	106,470.00	106,470.00	106,470.00	106,470.00	106,470.00	106,470.00	106,470.00	106,470.00	106,470.00	106,470.00	106,470.00
f' _c	450.00	450.00	450.00	450.00	450.00	450.00	450.00	450.00	450.00	450.00	450.00
b	100.00	100.00	100.00	100.00	100.00	100.00	100.00	100.00	100.00	100.00	100.00
0.85f' _c b	38,250.00	38,250.00	38,250.00	38,250.00	38,250.00	38,250.00	38,250.00	38,250.00	38,250.00	38,250.00	38,250.00
a	2.78	2.78	2.78	2.78	2.78	2.78	2.78	2.78	2.78	2.78	2.78
h	26.67	26.67	26.67	26.67	26.67	26.67	26.67	26.67	26.67	26.67	26.67
r	3.77	3.77	3.77	3.77	3.77	3.77	3.77	3.77	3.77	3.77	3.77
d	22.90	22.90	22.90	22.90	22.90	22.90	22.90	22.90	22.90	22.90	22.90
d-(a/2)	21.51	21.51	21.51	21.51	21.51	21.51	21.51	21.51	21.51	21.51	21.51
Ø	0.90	0.90	0.90	0.90	0.90	0.90	0.90	0.90	0.90	0.90	0.90
Ø Mn(kg·cm) =	2,060,983.63	2,060,983.63	2,060,983.63	2,060,983.63	2,060,983.63	2,060,983.63	2,060,983.63	2,060,983.63	2,060,983.63	2,060,983.63	2,060,983.63
Ø Mn(t·m) =	20.61	20.61	20.61	20.61	20.61	20.61	20.61	20.61	20.61	20.61	20.61

REVISIÓN DE LA CAPACIDAD A FLEXIÓN CÁLCULO DEL MOMENTO RESISTENTE A COMPREsión											
	Apoyo 0 m	0.1L 0.32086 m	0.2L 0.64172 m	0.3L 0.96258 m	0.4L 1.28344 m	0.5L 1.6043 m	0.6L 1.92516 m	0.7L 2.24602 m	0.8L 2.56688 m	0.9L 2.88774 m	Apoyo 3.2086 m
As	14.25	14.25	14.25	14.25	14.25	14.25	14.25	14.25	14.25	14.25	14.25
f _y	4,200.00	4,200.00	4,200.00	4,200.00	4,200.00	4,200.00	4,200.00	4,200.00	4,200.00	4,200.00	4,200.00
As f _y	59,850.00	59,850.00	59,850.00	59,850.00	59,850.00	59,850.00	59,850.00	59,850.00	59,850.00	59,850.00	59,850.00
f' _c	450.00	450.00	450.00	450.00	450.00	450.00	450.00	450.00	450.00	450.00	450.00
b	100.00	100.00	100.00	100.00	100.00	100.00	100.00	100.00	100.00	100.00	100.00
0.85f' _c b	38,250.00	38,250.00	38,250.00	38,250.00	38,250.00	38,250.00	38,250.00	38,250.00	38,250.00	38,250.00	38,250.00
a	1.56	1.56	1.56	1.56	1.56	1.56	1.56	1.56	1.56	1.56	1.56
h	26.67	26.67	26.67	26.67	26.67	26.67	26.67	26.67	26.67	26.67	26.67
r	3.77	3.77	3.77	3.77	3.77	3.77	3.77	3.77	3.77	3.77	3.77
d	22.90	22.90	22.90	22.90	22.90	22.90	22.90	22.90	22.90	22.90	22.90
d-(a/2)	22.12	22.12	22.12	22.12	22.12	22.12	22.12	22.12	22.12	22.12	22.12
Ø	0.90	0.90	0.90	0.90	0.90	0.90	0.90	0.90	0.90	0.90	0.90
Ø Mn(kg·cm) =	1,191,367.06	1,191,367.06	1,191,367.06	1,191,367.06	1,191,367.06	1,191,367.06	1,191,367.06	1,191,367.06	1,191,367.06	1,191,367.06	1,191,367.06
Ø Mn(t·m) =	11.91	11.91	11.91	11.91	11.91	11.91	11.91	11.91	11.91	11.91	11.91

LECHO A TENSIÓN		
SECCIÓN(m)	M ult (t-m)	M res.(t-m)
0	0.00	-20.61
0.32086	-0.11	-20.61
0.64172	-0.37	-20.61
0.96258	-1.08	-20.61
1.28344	-1.79	-20.61
1.6043	-2.65	-20.61
1.92516	-3.69	-20.61
2.24602	-6.96	-20.61
2.56688	-10.86	-20.61
2.88774	-14.91	-20.61
3.2086	-19.10	-20.61

LECHO A COMPRESIÓN		
SECCIÓN(m)	M ult (t-m)	M res.(t-m)
0	0.00	11.91
0.32086	-0.11	11.91
0.64172	-0.37	11.91
0.96258	-1.08	11.91
1.28344	-1.79	11.91
1.6043	-2.65	11.91
1.92516	-3.69	11.91
2.24602	-6.96	11.91
2.56688	-10.86	11.91
2.88774	-14.91	11.91
3.2086	-19.10	11.91

Momento	Positivo
Negativo	2





REVISIÓN DE CAPACIDAD DE LOSA

CARACTERÍSTICAS GEOMÉTRICAS		TRAMO 2		MATERIALES DE LA LOSA	
SECCION SIMPLE		SECCION COMPUESTA		RESISTENCIA A COMPRESIÓN	
ESPESOR MEDIO DE LOSA	$hf(m) = 0$	ALTURA TOTAL DE LOSA	$H(m) = 0.26670$	$f'c = 450 \text{ kg/cm}^2$	
ALTURA TOTAL DE LOSA	$H(m) = 0.26670$	ÁREA DE LOSA	$A(m^2) = 0.25000$	LIMITE ELASTICO DEL ACERO	
ÁREA DE LOSA	$A(m^2) = 0.25000$	DIST. DEL (E.N) A LA F. INF.	$Y_i(m) = 0.13335$	$f_y = 4,200.00 \text{ kg/cm}^2$	
DIST. DEL (E.N) A LA F. INF.	$Y_i(m) = 0.13335$	DIST. DEL (E.N) A LA F. SUP.	$Y_s(m) = 0.13335$	FACTOR DE CONVERSIÓN	
DIST. DEL (E.N) A LA F. SUP.	$Y_s(m) = 0.13335$	MOMENTO DE INERCIA	$I_x(m^4) = 0.002$	$Lb / in^2 \text{ a Kg/cm}^2; 0.0703081$	
MOMENTO DE INERCIA	$I_x(m^4) = 0.002$	MOD. DE SECCION INF.	$S_i(m^3) = 0.01185$	DIMENSIONES DEL SEGMENTO DE LOSA ANALIZADO	
MOD. DE SECCION INF.	$S_i(m^3) = 0.01185$	MOD. DE SECCION SUP.	$S_s(m^3) = 0.01185$	Claro, L (mts)= 6.3828	
MOD. DE SECCION SUP.	$S_s(m^3) = 0.01185$	ANCHO DE PATIN (b) EN CM	$b(cm) = 100.00$	$h,(mts) = 0.2667$	
		ANCHO DEL ALMA (b') EN CM	$b'(cm) = 100.00$		

DISTRIBUCIÓN DEL ACERO DE REFUERZO											
DISTRIBUCIÓN DEL ACERO DE REFUERZO EN TENSIÓN											
SECCION	Apoyo	0.1 L	0.2 L	0.3L	0.4L	0.5L	0.6L	0.7L	0.8L	0.9L	Apoyo
As (cm ²)	25.35	25.35	25.35	25.35	25.35	25.35	25.35	25.35	25.35	25.35	
r (cm)	3.77	3.77	3.77	3.77	3.77	3.77	3.77	3.77	3.77	3.77	
DISTRIBUCIÓN DEL ACERO DE REFUERZO EN COMPRESIÓN											
SECCION	Apoyo	0.1 L	0.2 L	0.3L	0.4L	0.5L	0.6L	0.7L	0.8L	0.9L	Apoyo
As (cm ²)	14.25	14.25	14.25	14.25	14.25	14.25	14.25	14.25	14.25	14.25	
r (cm)	3.77	3.77	3.77	3.77	3.77	3.77	3.77	3.77	3.77	3.77	

DATOS GENERALES DEL ACERO Y DEL SEGMENTO DE LOSA									
DATOS DEL ACERO					DATOS DEL TRAMO				
LIMITE DE FLUENCIAS $f_y(\text{kg/cm}^2) = 4,200.00$					CLARO (L), m = 6.3828				
MODULO DE ELASTICIDAD (Es) = 29000000 PSI					No. secciones = 10				
FACTOR DE CONVERSIÓN DE (lb/in ²) a (kg/cm ²) Factor = 0.0703081					$\Delta(m) = 0.63828$				
$Es = 2,038,934.90 \text{ kg/cm}^2$									
EXPRESIONES PARA CONDICIONES ÚLTIMAS (NORMA ASHTO LRFD 2020)									
$\theta M_n = \theta [A_s f_y (1 - 0.6 \frac{\rho f_y}{f'_c})]$					Formula de momento ASHTO Capítulo 8.16.3.1				
$\theta M_n = \theta [A_s f_y (d - \frac{a}{2})]$					Profundidad del bloque de esfuerzos				
$a = \frac{A_s f_y}{0.85 f'_c}$					Factor de reducción				
$\theta = 0.9$					$M_u = 1.25[M_{CM}] + 1.5[M_{Asf}] + 1.75[M_{CV} + M_{IMP}]$ Momento Flexionante				
$V_u = 1.25[V_{CM}] + 1.5[V_{Asf}] + 1.75[V_{CV} + V_{IMP}]$ Fuerza cortante									

FACTORES DE CARGA									
FACTOR POR CARGA MUERTA			FACTOR POR ASFALTO			FACTOR POR CARGA VIVA			FACTOR POR IMPACTO
$F_{CM} = 1.5$			$F_{Asf} = 1.25$			$F_{CV} = 1.75$			$IMP = 0.33$

ELEMENTOS MECÁNICOS: MOMENTOS											
MOMENTO FLEXIONANTE (SERVICIO)											
Apoyo	0.1L	0.2L	0.3L	0.4L	0.5L	0.6L	0.7L	0.8L	0.9L	Apoyo	
0 m	0.63828	1.27656	1.91484	2.55312	3.1914	3.82968	4.46796	5.10624	5.74452	6.3828	
M cm(t-m)	-4.1863	-3.1921	-2.4115	-1.8224	-1.4454	-1.2438	-1.2550	-1.4327	-1.8011	-2.3334	-3.0391
M asf(t-m)	-0.3705	-0.1818	-0.0361	0.0703	0.1319	0.1555	0.1318	0.0703	-0.0361	-0.1818	-0.3705
M cv(t-m)	-5.7192	-0.9271	1.6730	4.1582	5.5699	5.6387	5.5699	4.1582	1.6730	-0.9271	-5.7192
M imp(t-m)	-1.8873	-0.3059	0.5521	1.3722	1.8381	1.8608	1.8381	1.3722	0.5521	-0.3059	-1.8873
M serv.(t-m)	-12.16	-4.61	-0.22	3.78	6.09	6.41	6.28	4.17	0.39	-3.75	-11.02
MOMENTO FLEXIONANTE (ÚLTIMOS)											
1.25 M cm(t-m)	-5.239125	-3.9901375	-3.0143375	-2.2780125	-1.8067	-1.5547625	-1.5688	-1.790825	-2.2514	-2.91675	-3.798825
1.5 M asf(t-m)	-0.555795	-0.272715	-0.054075	0.105375	0.197745	0.233175	0.197745	0.105375	-0.054075	-0.272715	-0.555795
1.75 M cv(t-m)	-10.01	-1.62	2.93	7.28	9.75	9.87	9.75	7.28	2.93	-1.62	-10.01
1.75 M imp(t-m)	-3.302838	-0.53540025	0.9661575	2.40134175	3.216611475	3.25634925	3.216611475	2.40134175	0.9661575	-0.53540025	-3.302838
M ult.(t-m)	-19.10	-6.42	0.83	7.51	11.35	11.80	11.59	7.99	1.59	-9.35	-17.67

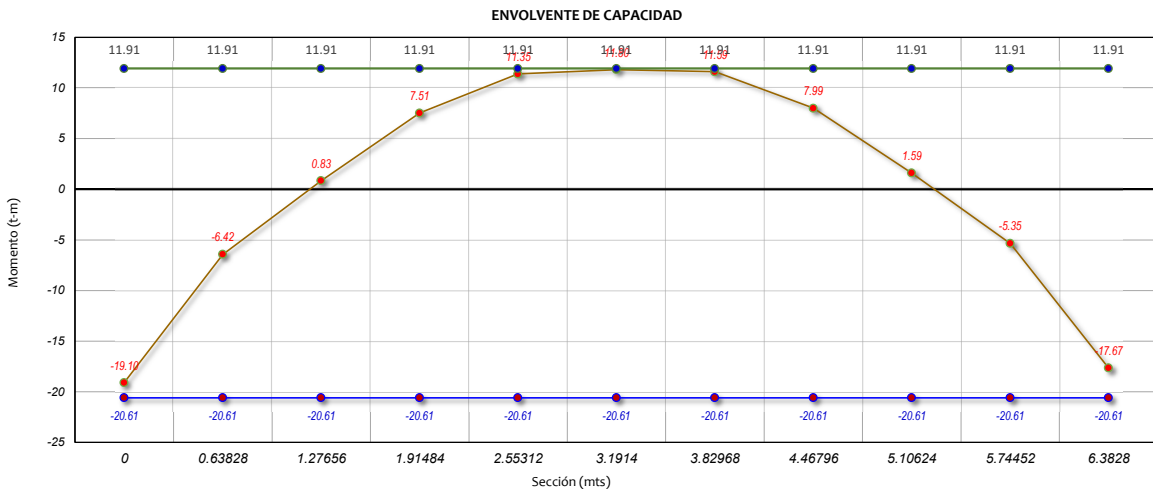
ELEMENTOS MECÁNICOS: CORTANTE											
FUERZA CORTANTE (SERVICIO)											
Apoyo	0.1L	0.2L	0.3L	0.4L	0.5L	0.6L	0.7L	0.8L	0.9L	Apoyo	
0 m	0.63828	1.27656	1.91484	2.55312	3.1914	3.82968	4.46796	5.10624	5.74452	6.3828	
V cm(t-m)	-1.7292	-1.3974	-1.0735	-0.7569	-0.4486	-0.1473	0.1453	0.4308	0.7080	0.9779	1.2399
V asf(t-m)	-0.3296	-0.2637	-0.1978	-0.1319	-0.0659	0.0000	0.0659	0.1319	0.1978	0.2637	0.3296
V cv(t-m)	-7.7770	-4.1765	-3.9845	-3.7925	-0.1920	0.0000	0.1920	3.7925	3.9845	4.1765	7.7770
V imp(t-m)	-2.5664	-1.3782	-1.3149	-1.2515	-0.0634	0.0000	0.0634	1.2515	1.3149	1.3782	2.5664
V serv.(t-m)	-12.40	-7.22	-6.57	-5.93	-0.77	-0.15	0.47	5.61	6.21	6.80	11.91
FUERZA CORTANTE (ÚLTIMOS)											
1.25 V cm(t-m)	-2.1615	-1.74675	-1.341875	-0.946125	-0.56075	-0.184125	0.181625	0.5385	0.885	1.222375	1.549875
1.5 V asf(t-m)	-0.4944	-0.39555	-0.2967	-0.19785	-0.09885	0	0.09885	0.19785	0.2967	0.39555	0.4944
1.75 V cv(t-m)	-13.61	-7.31	-6.97	-6.64	-0.34	0.00	0.34	6.64	6.97	7.31	13.61
1.75 V imp(t-m)	-4.4912175	-2.41192875	-2.30104875	-2.19016875	-0.11088	0	0.11088	2.19016875	2.30104875	2.41192875	4.4912175
V ult.(t-m)	-20.76	-11.86	-10.91	-9.97	-1.11	-0.18	0.73	9.56	10.46	11.34	20.15



REVISIÓN DE LA CAPACIDAD A FLEXIÓN											
CÁLCULO DEL MOMENTO RESISTENTE A TENSIÓN											
	Apoyo 0 m	0.1L 0.63828 m	0.2L 1.27656 m	0.3L 1.91484 m	0.4L 2.55312 m	0.5L 3.1914 m	0.6L 3.82968 m	0.7L 4.46796 m	0.8L 5.10624 m	0.9L 5.74452 m	Apoyo 6.3828 m
As	25.35	25.35	25.35	25.35	25.35	25.35	25.35	25.35	25.35	25.35	25.35
f _y	4,200.00	4,200.00	4,200.00	4,200.00	4,200.00	4,200.00	4,200.00	4,200.00	4,200.00	4,200.00	4,200.00
As f _y	106,470.00	106,470.00	106,470.00	106,470.00	106,470.00	106,470.00	106,470.00	106,470.00	106,470.00	106,470.00	106,470.00
f'c	450.00	450.00	450.00	450.00	450.00	450.00	450.00	450.00	450.00	450.00	450.00
b	100.00	100.00	100.00	100.00	100.00	100.00	100.00	100.00	100.00	100.00	100.00
0.85f'c b	38,250.00	38,250.00	38,250.00	38,250.00	38,250.00	38,250.00	38,250.00	38,250.00	38,250.00	38,250.00	38,250.00
a	2.78	2.78	2.78	2.78	2.78	2.78	2.78	2.78	2.78	2.78	2.78
h	26.67	26.67	26.67	26.67	26.67	26.67	26.67	26.67	26.67	26.67	26.67
r	3.77	3.77	3.77	3.77	3.77	3.77	3.77	3.77	3.77	3.77	3.77
d	22.90	22.90	22.90	22.90	22.90	22.90	22.90	22.90	22.90	22.90	22.90
d-(a/2)	21.51	21.51	21.51	21.51	21.51	21.51	21.51	21.51	21.51	21.51	21.51
Ø	0.90	0.90	0.90	0.90	0.90	0.90	0.90	0.90	0.90	0.90	0.90
Ø M _n (kg·cm) =	2,060,983.63	2,060,983.63	2,060,983.63	2,060,983.63	2,060,983.63	2,060,983.63	2,060,983.63	2,060,983.63	2,060,983.63	2,060,983.63	2,060,983.63
Ø M _n (t·m) =	20.61	20.61	20.61	20.61	20.61	20.61	20.61	20.61	20.61	20.61	20.61

REVISIÓN DE LA CAPACIDAD A FLEXIÓN											
CÁLCULO DEL MOMENTO RESISTENTE A COMPREsión											
	Apoyo 0 m	0.1L 0.63828 m	0.2L 1.27656 m	0.3L 1.91484 m	0.4L 2.55312 m	0.5L 3.1914 m	0.6L 3.82968 m	0.7L 4.46796 m	0.8L 5.10624 m	0.9L 5.74452 m	Apoyo 6.3828 m
As	14.25	14.25	14.25	14.25	14.25	14.25	14.25	14.25	14.25	14.25	14.25
f _y	4,200.00	4,200.00	4,200.00	4,200.00	4,200.00	4,200.00	4,200.00	4,200.00	4,200.00	4,200.00	4,200.00
As f _y	59,850.00	59,850.00	59,850.00	59,850.00	59,850.00	59,850.00	59,850.00	59,850.00	59,850.00	59,850.00	59,850.00
f'c	450.00	450.00	450.00	450.00	450.00	450.00	450.00	450.00	450.00	450.00	450.00
b	100.00	100.00	100.00	100.00	100.00	100.00	100.00	100.00	100.00	100.00	100.00
0.85f'c b	38,250.00	38,250.00	38,250.00	38,250.00	38,250.00	38,250.00	38,250.00	38,250.00	38,250.00	38,250.00	38,250.00
a	1.56	1.56	1.56	1.56	1.56	1.56	1.56	1.56	1.56	1.56	1.56
h	26.67	26.67	26.67	26.67	26.67	26.67	26.67	26.67	26.67	26.67	26.67
r	3.77	3.77	3.77	3.77	3.77	3.77	3.77	3.77	3.77	3.77	3.77
d	22.90	22.90	22.90	22.90	22.90	22.90	22.90	22.90	22.90	22.90	22.90
d-(a/2)	22.12	22.12	22.12	22.12	22.12	22.12	22.12	22.12	22.12	22.12	22.12
Ø	0.90	0.90	0.90	0.90	0.90	0.90	0.90	0.90	0.90	0.90	0.90
Ø M _n (kg·cm) =	1,191,367.06	1,191,367.06	1,191,367.06	1,191,367.06	1,191,367.06	1,191,367.06	1,191,367.06	1,191,367.06	1,191,367.06	1,191,367.06	1,191,367.06
Ø M _n (t·m) =	11.91	11.91	11.91	11.91	11.91	11.91	11.91	11.91	11.91	11.91	11.91

LECHO A TENSIÓN			LECHO A COMPREsión			Momento
SECCIÓN(m)	M ult (t·m)	M res.(t·m)	SECCIÓN(m)	M ult (t·m)	M res.(t·m)	Tipo
0	-19.10	-20.61	0	-19.10	11.91	1
0.63828	-6.42	-20.61	0.63828	-6.42	11.91	1
1.27656	0.83	-20.61	1.27656	0.83	11.91	1
1.91484	7.51	-20.61	1.91484	7.51	11.91	1
2.55312	11.35	-20.61	2.55312	11.35	11.91	1
3.1914	11.80	-20.61	3.1914	11.80	11.91	1
3.82968	11.59	-20.61	3.82968	11.59	11.91	1
4.46796	7.99	-20.61	4.46796	7.99	11.91	1
5.10624	1.59	-20.61	5.10624	1.59	11.91	1
5.74452	-5.35	-20.61	5.74452	-5.35	11.91	1
6.3828	-17.67	-20.61	6.3828	-17.67	11.91	1



REVISIÓN DE CAPACIDAD DE LOSA

CARACTERISTICAS GEOMETRICAS		TRAMO 3		MATERIALES DE LA LOSA	
SECCION SIMPLE		SECCION COMPUESTA		RESISTENCIA A COMPRESION	
ESPESOR MEDIO DE LOSA	hf(m) = 0	ALTURA TOTAL DE LOSA	H (m) = 0.26670	f' c = 450 kg/cm ²	LIMITE ELASTICO DEL ACERO
ALTAURA TOTAL DE LOSA	H (m) = 0.26670	AREA DE LOSA	A (m ²) = 1.25000	fy = 4.200 kg/cm ²	FACTOR DE CONVERSION
AREA DE LOSA	A (m ²) = 1.25000	DIST. DEL (E.N) A LA F. INF.	Yi (m) = 0.13335	Lb / in ² a Kg/cm ² ; 0.0703081	DIMENSIONES DEL SEGMENTO DE LOSA ANALIZADO
DIST. DEL (E.N) A LA F. INF.	Yi (m) = 0.13335	DIST. DEL (E.N) A LA F. SUP.	Ys (m) = 0.13335		
DIST. DEL (E.N) A LA F. SUP.	Ys (m) = 0.13335	MOMENTO DE INERCIA	Ix (m ⁴) = 0.00158		
MOMENTO DE INERCIA	Ix (m ⁴) = 0.00158	MOD. DE SECCION INF.	Si (m ³) = 0.01185		
MOD. DE SECCION INF.	Si (m ³) = 0.01185	MOD. DE SECCION SUP.	Ss (m ³) = 0.01185		
MOD. DE SECCION SUP.	Ss (m ³) = 0.01185	ANCHO DE PATIN (b) EN CM	b (cm) = 100.00	Claro, L (mts)= 3.2086	
		ANCHO DEL ALMA (b') EN CM	b' (cm) = 100.00	h, (mts)= 0.2667	

DATOS GENERALES DEL ACERO Y DEL SEGMENTO DE LOSA				
DATOS DEL ACERO		DATOS DEL TRAMO		
LIMITE DE FLUENCIA fy (kg/cm ²)=	4,200.00	CLARO (L), m =	3.2086	
MODULO DE ELASTICIDAD (Es) =	29000000 PSI	No. secciones =	10	
FACTOR DE CONVERSIÓN DE (lb/in ²) a (kg/cm ²)		Δ (m) =	0.32086	
Factor =	0.0703081	EXPRESIONES PARA CONDICIONES ÚLTIMAS (NORMA AASHTO LRFD 2020)		
Es =	2,038,934.90 kg/cm ²			
$\theta M_n = \theta [A_s f_y (1 - 0.6 \frac{\rho f_y}{f'_c})]$	Formula de momento ASSHTO Capítulo 8.16.3.1	$M_u = 1.25[M_{SCM}] + 1.5[M_{ASf}] + 1.75[M_{CV} + M_{IMP}]$	Momento Flexionante	
$\theta M_n = \theta [A_s f_y (d - \frac{a}{2})]$	Profundidad del bloque de esfuerzos	$V_u = 1.25[V_{SCM}] + 1.5[V_{ASf}] + 1.75[V_{CV} + V_{IMP}]$	Fuerza cortante	
$a = \frac{A_s f_y}{0.85 f'_c b}$	Factor de reducción			
$\theta = 0.9$				

FACTORES DE CARGA			
FACTOR POR CARGA MUERTA	FACTOR POR ASFALTO	FACTOR POR CARGA VIVA	FACTOR POR IMPACTO
$F_{CM} = 1.5$	$F_{Asf} = 1.25$	$F_{Cv} = 1.75$	$IMP = 0.33$

ELEMENTOS MECANICOS: MOMENTOS											
MOMENTO FLEXIONANTE (SERVICIO)											
	Apoyo	0.1L	0.2L	0.3L	0.4L	0.5L	0.6L	0.7L	0.8L	0.9L	Apoyo
M cm(t-m)	-3.0391	-2.5527	-2.1042	-1.6932	-1.3194	-0.9875	-0.6993	-0.4448	-0.2233	-0.0421	0.0000
M asf(t-m)	-0.3705	-0.2885	-0.2164	-0.1541	-0.1017	-0.0606	-0.0315	-0.0119	-0.0012	-0.0002	0.0000
M cv(t-m)	-5.7192	-4.3355	-2.9806	-1.6543	-0.5609	-0.3900	-0.2543	-0.1459	-0.0650	-0.0186	0.0000
M imp.(t-m)	-1.8873	-1.4307	-0.9836	-0.5459	-0.1851	-0.1287	-0.0839	-0.0482	-0.0214	-0.0061	0.0000
M serv.(t-m)	-11.02	-8.61	-6.28	-4.05	-2.17	-1.57	-1.07	-0.65	-0.31	-0.07	0.00
MOMENTO FLEXIONANTE (ULTIMOS)											
1.25 M cm(t-m)	-3.7988	-3.1909	-2.6303	-2.1165	-1.6493	-1.2343	-0.8741	-0.5560	-0.2792	-0.0526	0.0000
1.5 M asf(t-m)	-0.5558	-0.4328	-0.3245	-0.2311	-0.1525	-0.0909	-0.0473	-0.0179	-0.0018	-0.0003	0.0000
1.75 Mcv(t-m)	-10.0086	-7.5872	-5.2160	-2.8950	-0.9815	-0.6825	-0.4450	-0.2554	-0.1137	-0.0326	0.0000
1.75 M imp(t-m)	-3.3028	-2.5038	-1.7213	-0.9553	-0.3239	-0.2252	-0.1468	-0.0843	-0.0375	-0.0108	0.0000
M ult.(t-m)	-17.67	-13.71	-9.89	-6.20	-3.11	-2.23	-1.51	-0.91	-0.43	-0.10	0.00

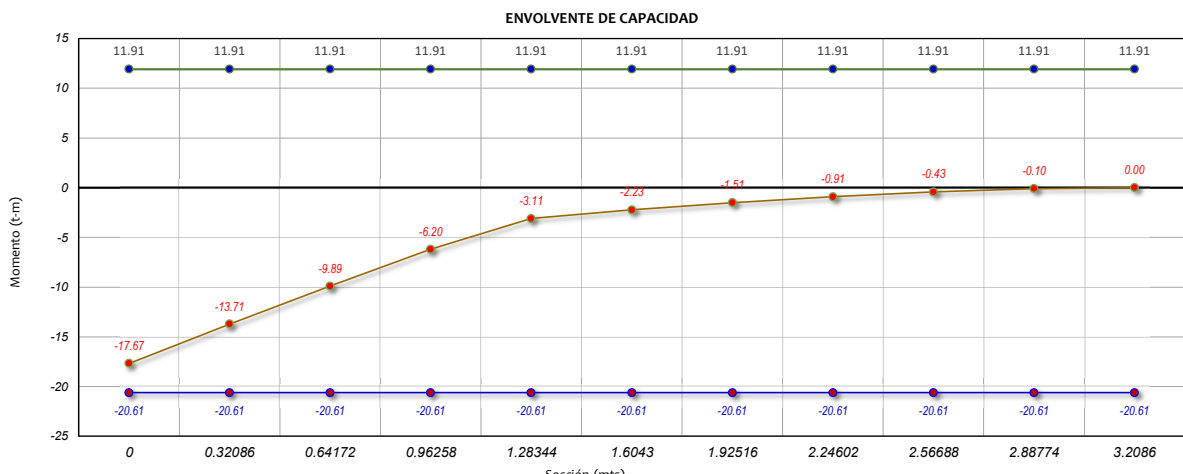
ELEMENTOS MECANICOS: CORTANTES											
	FUERZA CORTANTE (SERVICIO)										
	Apoyo	0.1L	0.2L	0.3L	0.4L	0.5L	0.6L	0.7L	0.8L	0.9L	Apoyo
	0 m	0.32086 m	0.64172 m	0.96258 m	1.28344 m	1.6043 m	1.92516 m	2.24602 m	2.56688 m	2.88774 m	3.2086 m
V cm(t-m)	-1.5977	-1.4692	-1.3423	-1.2171	-1.0936	-0.9720	-0.8525	-0.7346	-0.6200	-0.5164	0.0000
V asf(t-m)	-0.2767	-0.2435	-0.2104	-0.1772	-0.1441	-0.1110	-0.0778	-0.0447	-0.0149	-0.0022	0.0000
V cv(t-m)	-4.3737	-4.2772	-4.1807	-4.0841	-3.5792	-0.4827	-0.3861	-0.2896	-0.1931	-0.0965	0.0000
V imp.(t-m)	-1.4433	-1.4115	-1.3796	-1.3478	-0.1911	-0.1593	-0.1274	-0.0956	-0.0637	-0.0318	0.0000
V serv.(t-m)	-7.69	-7.40	-7.11	-6.83	-2.01	-1.72	-1.44	-1.16	-0.89	-0.65	0.00
FUERZA CORTANTE (ULTIMOS)											
1.25 V cm(t-m)	-1.997125	-1.8365	-1.677875	-1.521375	-1.367	-1.215	-1.065625	-0.91825	-0.775	-0.6455	0
1.5 V asf(t-m)	-0.41505	-0.36525	-0.3156	-0.2658	-0.21615	-0.1665	-0.1167	-0.06705	-0.02235	-0.0033	0
1.75 V cv(t-m)	-7.65	-7.49	-7.32	-7.15	-1.01	-0.84	-0.68	-0.51	-0.34	-0.17	0.00
1.75 V imp(t-m)	-2.52581175	-2.470083	-2.41435425	-2.35856775	-0.334488	-0.27875925	-0.22297275	-0.167244	-0.11151525	-0.05572875	0
V ult.(t-m)	-12.59	-12.16	-11.72	-11.29	-2.93	-2.50	-2.08	-1.66	-1.25	-0.87	0.00



REVISIÓN DE LA CAPACIDAD A FLEXIÓN											
CÁLCULO DEL MOMENTO RESISTENTE A TENSIÓN											
	Apoyo 0 m	0.1L 0.32086 m	0.2L 0.64172 m	0.3L 0.96258 m	0.4L 1.28344 m	0.5L 1.6043 m	0.6L 1.92516 m	0.7L 2.24602 m	0.8L 2.56688 m	0.9L 2.88774 m	Apoyo 3.2086 m
As	25.35	25.35	25.35	25.35	25.35	25.35	25.35	25.35	25.35	25.35	25.35
f _y	4,200.00	4,200.00	4,200.00	4,200.00	4,200.00	4,200.00	4,200.00	4,200.00	4,200.00	4,200.00	4,200.00
As f _y	106,470.00	106,470.00	106,470.00	106,470.00	106,470.00	106,470.00	106,470.00	106,470.00	106,470.00	106,470.00	106,470.00
f'c	450.00	450.00	450.00	450.00	450.00	450.00	450.00	450.00	450.00	450.00	450.00
b	100.00	100.00	100.00	100.00	100.00	100.00	100.00	100.00	100.00	100.00	100.00
0.85f'c b	38,250.00	38,250.00	38,250.00	38,250.00	38,250.00	38,250.00	38,250.00	38,250.00	38,250.00	38,250.00	38,250.00
a	2.78	2.78	2.78	2.78	2.78	2.78	2.78	2.78	2.78	2.78	2.78
h	26.67	26.67	26.67	26.67	26.67	26.67	26.67	26.67	26.67	26.67	26.67
r	3.77	3.77	3.77	3.77	3.77	3.77	3.77	3.77	3.77	3.77	3.77
d	22.90	22.90	22.90	22.90	22.90	22.90	22.90	22.90	22.90	22.90	22.90
d-(a/2)	21.51	21.51	21.51	21.51	21.51	21.51	21.51	21.51	21.51	21.51	21.51
Ø	0.90	0.90	0.90	0.90	0.90	0.90	0.90	0.90	0.90	0.90	0.90
Ø M _n (kg-cm) =	2,060,983.63	2,060,983.63	2,060,983.63	2,060,983.63	2,060,983.63	2,060,983.63	2,060,983.63	2,060,983.63	2,060,983.63	2,060,983.63	2,060,983.63
Ø M _n (t-m) =	20.61	20.61	20.61	20.61	20.61	20.61	20.61	20.61	20.61	20.61	20.61

REVISIÓN DE LA CAPACIDAD A FLEXIÓN											
CÁLCULO DEL MOMENTO RESISTENTE A COMPREsión											
	Apoyo 0 m	0.1L 0.32086 m	0.2L 0.64172 m	0.3L 0.96258 m	0.4L 1.28344 m	0.5L 1.6043 m	0.6L 1.92516 m	0.7L 2.24602 m	0.8L 2.56688 m	0.9L 2.88774 m	Apoyo 3.2086 m
As	14.25	14.25	14.25	14.25	14.25	14.25	14.25	14.25	14.25	14.25	14.25
f _y	4,200.00	4,200.00	4,200.00	4,200.00	4,200.00	4,200.00	4,200.00	4,200.00	4,200.00	4,200.00	4,200.00
As f _y	59,850.00	59,850.00	59,850.00	59,850.00	59,850.00	59,850.00	59,850.00	59,850.00	59,850.00	59,850.00	59,850.00
f'c	450.00	450.00	450.00	450.00	450.00	450.00	450.00	450.00	450.00	450.00	450.00
b	100.00	100.00	100.00	100.00	100.00	100.00	100.00	100.00	100.00	100.00	100.00
0.85f'c b	38,250.00	38,250.00	38,250.00	38,250.00	38,250.00	38,250.00	38,250.00	38,250.00	38,250.00	38,250.00	38,250.00
a	1.56	1.56	1.56	1.56	1.56	1.56	1.56	1.56	1.56	1.56	1.56
h	26.67	26.67	26.67	26.67	26.67	26.67	26.67	26.67	26.67	26.67	26.67
r	3.77	3.77	3.77	3.77	3.77	3.77	3.77	3.77	3.77	3.77	3.77
d	22.90	22.90	22.90	22.90	22.90	22.90	22.90	22.90	22.90	22.90	22.90
d-(a/2)	22.12	22.12	22.12	22.12	22.12	22.12	22.12	22.12	22.12	22.12	22.12
Ø	0.90	0.90	0.90	0.90	0.90	0.90	0.90	0.90	0.90	0.90	0.90
Ø M _n (kg-cm) =	1,191,367.06	1,191,367.06	1,191,367.06	1,191,367.06	1,191,367.06	1,191,367.06	1,191,367.06	1,191,367.06	1,191,367.06	1,191,367.06	1,191,367.06
Ø M _n (t-m) =	11.91	11.91	11.91	11.91	11.91	11.91	11.91	11.91	11.91	11.91	11.91

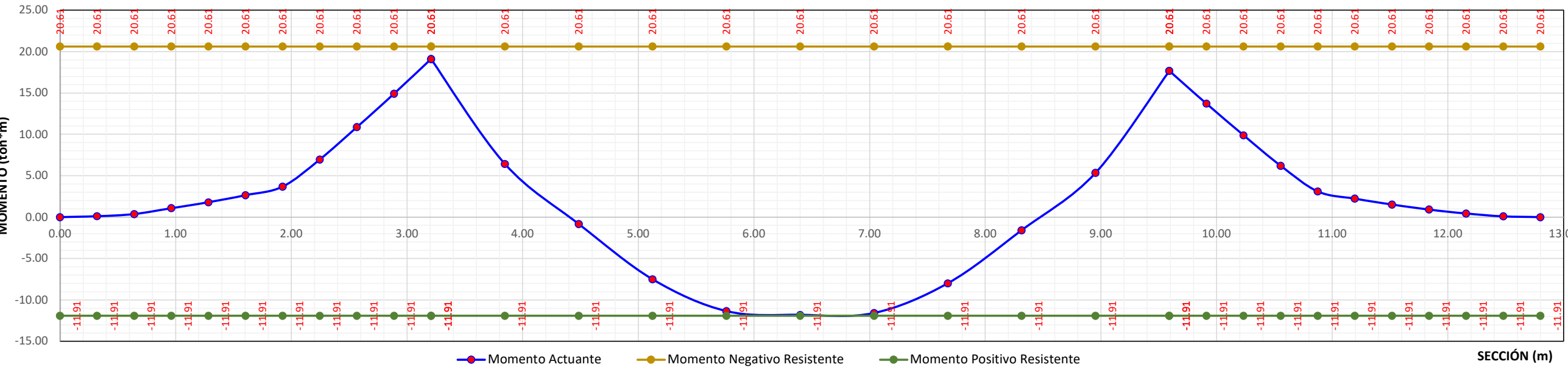
LECHO A TENSIÓN				LECHO A COMPREsión				Momento
SECCIÓN(m)	M ult (t-m)	M res.(t-m)	Tipo	SECCIÓN(m)	M ult (t-m)	M res.(t-m)	Tipo	Positivo
0	-17.67	-20.61	2	1.6043	-2.23	11.91	1	
0.32086	-13.71	-20.61	2	0.32086	-13.71	11.91	1	
0.64172	-9.89	-20.61	2	0.64172	-9.89	11.91	1	
0.96258	-6.20	-20.61	2	0.96258	-6.20	11.91	1	
1.28344	-3.11	-20.61	2	1.28344	-3.11	11.91	1	
1.6043	-2.23	-20.61	2	1.6043	-2.23	11.91	1	
1.92516	-1.51	-20.61	2	1.92516	-1.51	11.91	1	
2.24602	-0.91	-20.61	2	2.24602	-0.91	11.91	1	
2.56688	-0.43	-20.61	2	2.56688	-0.43	11.91	1	
2.88774	-0.10	-20.61	2	2.88774	-0.10	11.91	1	
3.2086	0.00	-20.61	2	3.2086	0.00	11.91	1	





RESUMEN DE LA ENVOLVENTE DE MOMENTOS						
SECCIÓN(m)	M ult (t-m)	Coordenada	M res.(-)	Coordenada	M res. (+)	Coordenada
1	0	0.00	0.00	-20.61	20.61	11.91
2	0.32086	-0.11	0.11	-20.61	20.61	11.91
3	0.64172	-0.37	0.37	-20.61	20.61	11.91
4	0.96258	-1.08	1.08	-20.61	20.61	11.91
5	1.28344	-1.79	1.79	-20.61	20.61	11.91
6	1.6043	-2.65	2.65	-20.61	20.61	11.91
7	1.92516	-3.69	3.69	-20.61	20.61	11.91
8	2.24602	-6.96	6.96	-20.61	20.61	11.91
9	2.56688	-10.86	10.86	-20.61	20.61	11.91
10	2.88774	-14.91	14.91	-20.61	20.61	11.91
11	3.2086	-19.10	19.10	-20.61	20.61	11.91
12	3.2086	-19.10	19.10	-20.61	20.61	11.91
13	3.84688	-6.42	6.42	-20.61	20.61	11.91
14	4.48516	0.83	-0.83	-20.61	20.61	11.91
15	5.12344	7.51	-7.51	-20.61	20.61	11.91
16	5.76172	11.35	-11.35	-20.61	20.61	11.91
17	6.4	11.80	-11.80	-20.61	20.61	11.91
18	7.03828	11.59	-11.59	-20.61	20.61	11.91
19	7.67656	7.99	-7.99	-20.61	20.61	11.91
20	8.31484	1.59	-1.59	-20.61	20.61	11.91
21	8.95312	-5.35	5.35	-20.61	20.61	11.91
22	9.5914	-17.67	17.67	-20.61	20.61	11.91
23	9.5914	-17.67	17.67	-20.61	20.61	11.91
24	9.91226	-13.71	13.71	-20.61	20.61	11.91
25	10.23312	-9.89	9.89	-20.61	20.61	11.91
26	10.55398	-6.20	6.20	-20.61	20.61	11.91
27	10.87484	-3.11	3.11	-20.61	20.61	11.91
28	11.1957	-2.23	2.23	-20.61	20.61	11.91
29	11.51656	-1.51	1.51	-20.61	20.61	11.91
30	11.83742	-0.91	0.91	-20.61	20.61	11.91
31	12.15828	-0.43	0.43	-20.61	20.61	11.91
32	12.47914	-0.10	0.10	-20.61	20.61	11.91
33	12.8	0.00	0.00	-20.61	20.61	11.91

CAPACIDAD A FLEXIÓN DE LOSA



5.8.2 DISEÑO POR FLEXIÓN DE TRABE CAJÓN

El diseño de la trabe sección cajón parte de la sección efectiva determinada con anterioridad y del análisis efectuado con la modelación del puente curvo, siendo así, en una primera instancia se estimó el presfuerzo requerido en cada nervadura. Posteriormente mediante el trazo de entrada y salida de los cables, se procedió a estimar las pérdidas que son requeridas en la revisión de esfuerzos en la trabe por etapas.

El diseño continua con el cálculo de los esfuerzos tanto en la fibra superior como en la inferior de la tabre, procurando no exceder el límite de rotura del concreto por esfuerzos de tensión y compresión.

Finalmente, se presenta el análisis por cortante y la deflexión generada en condiciones de servicio respecto a la contraflecha que genera el presfuerzo.

La resistencia a compresión del concreto es: $f'c = 450 \text{ kg/cm}^2$

Tipo de torones empleados:

- Baja relajación
- Cable = 15T1

Se debe mencionar que el análisis presentado corresponde a la nervadura de la curva externa del primer tramo, para conocer los resultados respecto la nervadura de la curva interna del mismo tramo se debe consultar el **Anexo C. Memoria de Cálculo**.

5.8.2.1 ESTIMACIÓN DEL PRESFUERZO

La estimación del presfuerzo requerido para tomar los momentos generados en condición de servicio parte de las características geométricas de la sección efectiva y del empleo de la fórmula de la escuadrilla para despejar la fuerza de presfuerzo (P) de esta expresión al hacerla igual a cero, ya que en la práctica nacional no se recomienda dejar esfuerzos de tensión en la fibra inferior de las trabes debido a los problemas de corrosión que se genera en el acero; además, actualmente se tiene un problema con los cementos de fabricación nacional debido al uso de cales en altas cantidades para producir el Clinker, generando problemas para alcanzar las resistencias de diseño, así como agrietamientos debidos a carbonatación.

En resumen, se presenta la estimación del presfuerzo para momento positivo de la nervadura y para momento negativo de la losa, correspondiente a la curva externa del tramo 1, mismos que aplican a la nervadura y losa de la curva interna y que sirven como base para la estimación del presfuerzo de los tramos restantes.

Con base en lo anterior, el presfuerzo requerido quedó conformado de la siguiente manera:

>Presfuerzo por Nervadura:

- Cables: 15T15
- No. de cables: 6

>Presfuerzo en Losa por Nervadura:

- Cables: 15T15
- No. de cables: 6

5.8.2.2 TRAZO DE CABLES DE PRESFUERZO

El trazo de los cables consiste en el empleo de la ecuación de la parábola con el fin de darle esa condición geométrica al cable para compensar de mejor forma los esfuerzos y deflexiones, tomando en cuenta la posición de entrada, salida y al centro del claro que se le quiere dar al cable. En este sentido, se presenta el arreglo que tendrán los cables tanto en el alma como en el patín inferior de la sección efectiva:

Cabe C-1

- Entrada: 1.3 m
- CL: 0.1 m
- Salida: 0.5 m

Cable C-2

- Entrada: 0.9 m
- CL: 0.1 m
- Salida: 0.9 m

Cable C-3

- Entrada: 0.5 m
- CL: 0.1 m
- Salida: 1.3 m

Cabe C-4

- Entrada: 1.3 m
- CL: 0.2 m
- Salida: 0.5 m

Cable C-5

- Entrada: 0.9 m
- CL: 0.2 m
- Salida: 0.9 m

Cable C-6

- Entrada: 0.5 m
- CL: 0.2 m
- Salida: 1.3 m

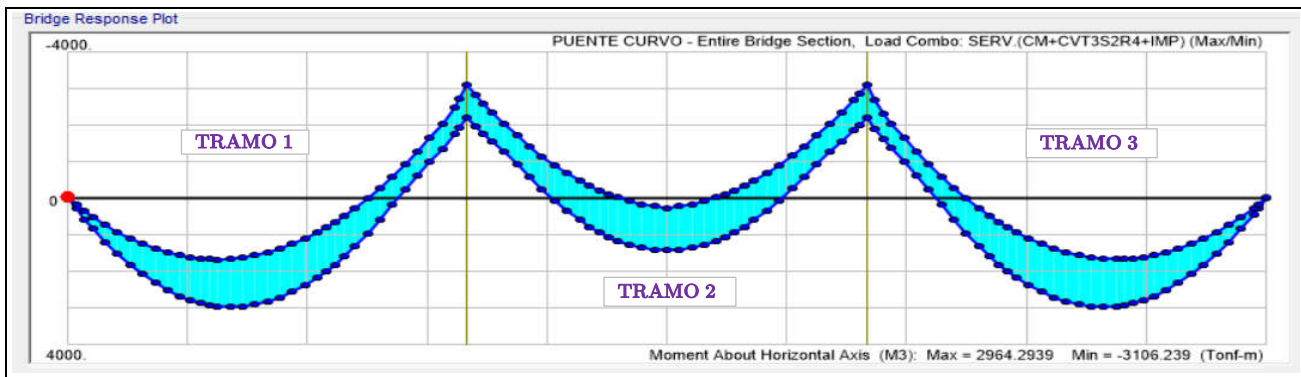
En el caso de la losa, los cables se encuentran a una misma posición de 45 cm del paño de losa hacia el bloque de anclaje para su tensado y de 15 cm del paño en el cuerpo de la losa. Cabe mencionar que en este apartado sólo se presenta el trazo de los cables C-1, C-2 Y C-3, para revisar el trazo de los cables C-4, C-5 y C-6, el lector debe referenciarse al **Anexo C. Memoria de Cálculo**.

5.8.2.3 CÁLCULO DE PÉRDIDAS

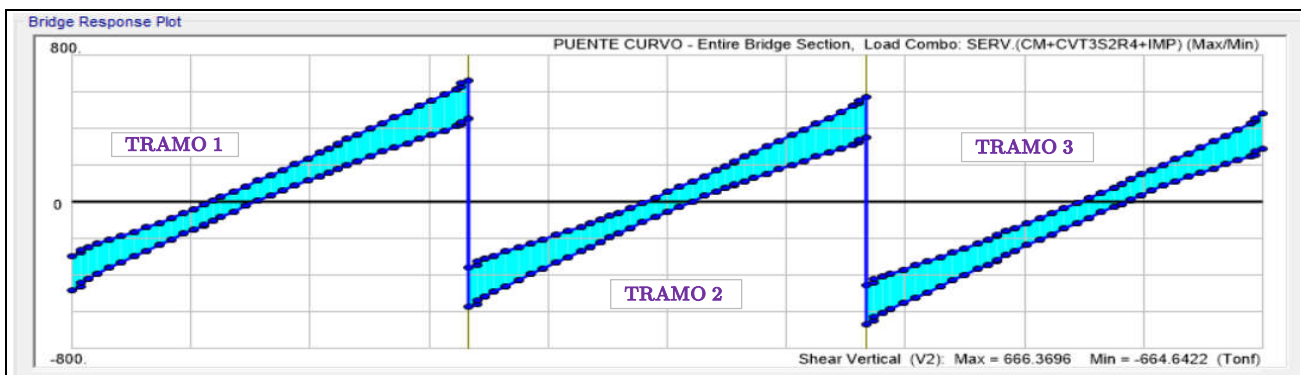
La estimación de las pérdidas en el presfuerzo se realizó con base en los métodos expuestos en el **Capítulo 2. Concreto Presforzado**, siendo presentados los resultados de los cables C-1, C-2 Y C-3 correspondientes a la nervadura de la curva extrema del tramo 1. Para revisar las pérdidas de los cables C-4, C-5 Y C-6 de la misma nervadura, así como al resumen de las pérdidas en los cables restantes, el lector debe referenciarse al **Anexo C. Memoria de Cálculo**.

RESUMEN DE ELEMENTOS MECÁNICOS DE LA TRABE CAJÓN EN CONDICIONES DE SERVICIO Y ÚLTIMAS

DATOS DEL TRAMO 1	
LONGITUD =	31.3 m



MOMENTOS DEL TRAMO 1										
ABCISA (m)	M po.po (t-m)	M guarn. (t-m)	M ppto. (t-m)	M relleno (t-m)	M asfalto (t-m)	M cm (t-m)	M cv (t-m)	M imp (t-m)	M serv. (t-m)	M ultimo (t-m)
0.00	0.00	0.00	0.00	0.00	0.00	0.00	0.00	0.00	0.00	0.00
3.13	495.31	36.06	10.20	177.51	89.30	808.38	362.96	119.78	1,291.11	1,877.57
6.26	855.78	62.79	17.77	308.53	155.69	1,400.55	615.84	203.23	2,219.62	3,222.99
9.39	1,077.70	78.90	22.33	387.02	195.87	1,761.82	798.27	263.43	2,823.53	4,109.23
12.52	1,149.18	84.17	23.82	411.90	209.28	1,878.36	874.49	288.58	3,041.42	4,435.63
15.65	1,076.93	78.76	22.29	383.92	196.31	1,758.22	859.54	283.65	2,901.41	4,247.44
18.78	861.93	62.41	17.66	301.86	156.34	1,400.21	753.22	248.56	2,401.99	3,542.46
21.91	504.11	35.45	10.03	167.30	90.15	807.05	557.12	183.85	1,548.02	2,328.04
25.04	-2.28	-2.21	-0.63	-20.17	-2.46	-27.75	284.21	93.79	350.25	626.20
28.17	-644.50	-50.28	-14.23	-259.12	-120.78	-1,088.91	132.20	43.63	-913.07	-1,083.62
31.30	-1,432.16	-108.67	-30.73	-549.06	-264.57	-2,385.20	145.04	47.86	-2,192.30	-2,710.07



CORTANTES DEL TRAMO 1										
ABCISA (m)	V po.po (ton)	V guarn. (ton)	V ppto. (ton)	V relleno (ton)	V asfalto (ton)	V cm (ton)	V cv (ton)	V imp (ton)	V serv. (ton)	V ultimo (ton)
0.00	-196.42	-13.16	-3.72	-63.51	-33.00	-309.81	14.31	4.72	-290.77	-362.20
3.13	-134.40	-9.84	-2.79	-47.32	-24.74	-219.08	14.31	4.72	-200.05	-246.73
6.26	-90.58	-6.52	-1.85	-31.12	-16.48	-146.55	14.41	4.75	-127.39	-153.77
9.39	-46.77	-3.20	-0.91	-14.93	-8.21	-74.02	24.31	8.02	-41.69	-37.99
12.52	1.25	0.11	0.03	1.26	0.05	2.71	39.27	12.96	54.93	94.80
15.65	45.07	3.43	0.97	17.45	8.31	75.23	57.50	18.98	151.72	229.96
18.78	88.88	6.75	1.91	33.65	16.58	147.76	77.90	25.71	251.36	370.15
21.91	136.90	10.07	2.85	49.84	24.84	224.49	103.85	34.27	362.61	528.54
25.04	180.71	13.38	3.79	66.03	33.10	297.02	124.37	41.04	462.42	669.01
28.17	224.53	16.70	4.73	82.22	41.36	369.55	145.70	48.08	563.33	811.40
31.30	288.55	20.59	5.67	98.42	49.63	462.84	166.86	55.06	684.77	979.33

RESUMEN DE ELEMENTOS MECÁNICOS DE LA TRABE CAJÓN EN CONDICIONES DE SERVICIO Y ÚLTIMAS

DATOS DEL TRAMO 2	
LONGITUD =	31.3 m

MOMENTOS DEL TRAMO 2										
ABCISA (m)	M po.po (t-m)	M guarn. (t-m)	M ppto. (t-m)	M relleno (t-m)	M asfalto (t-m)	M cm (t-m)	M cv (t-m)	M imp (t-m)	M serv. (t-m)	M ultimo (t-m)
0.00	-1,432.16	-108.58	-30.73	-549.07	-264.19	-2,384.73	143.36	47.31	-2,194.07	-2,713.31
3.13	-792.54	-61.48	-17.40	-316.22	-147.84	-1,335.47	96.49	31.84	-1,207.14	-1,481.73
6.26	-299.71	-24.72	-7.00	-134.57	-57.04	-523.04	307.73	101.55	-113.75	48.19
9.39	58.23	1.70	0.48	-4.02	8.22	64.61	532.38	175.69	772.68	1,321.94
12.52	269.05	17.52	4.96	74.17	47.33	413.02	666.64	219.99	1,299.65	2,079.72
15.65	338.93	22.87	6.47	100.58	60.56	529.41	710.15	234.35	1,473.91	2,329.78
18.78	268.46	17.47	4.94	73.83	47.27	411.97	666.72	220.02	1,298.71	2,078.58
21.91	57.07	1.60	0.45	-4.69	8.04	62.47	532.60	175.76	770.83	1,319.72
25.04	-301.45	-24.87	-7.04	-134.57	-57.31	-525.23	307.86	101.60	-115.77	45.69
28.17	-794.85	-61.67	-17.45	-317.56	-148.19	-1,339.72	96.61	31.88	-1,211.23	-1,486.83
31.30	-1,434.22	-102.19	-30.80	-550.35	-248.27	-2,365.83	133.42	44.03	-2,188.39	-2,708.83

CORTANTES DEL TRAMO 2										
ABCISA (m)	V po.po (ton)	V guarn. (ton)	V ppto. (ton)	V relleno (ton)	V asfalto (ton)	V cm (ton)	V cv (ton)	V imp (ton)	V serv. (ton)	V ultimo (ton)
0.00	-241.38	-16.58	-4.69	-80.90	-41.30	-384.85	23.13	7.63	-354.09	-437.56
3.13	-179.37	-13.26	-3.75	-64.71	-33.04	-294.13	23.13	7.63	-263.37	-322.09
6.26	-135.55	-9.94	-2.81	-48.52	-24.77	-221.60	23.13	7.63	-190.84	-229.36
9.39	-91.73	-6.63	-1.88	-32.32	-16.51	-149.07	23.13	7.63	-118.31	-136.64
12.52	-43.72	-3.31	-0.94	-16.13	-8.25	-72.34	28.77	9.49	-34.08	-25.53
15.65	0.00	0.00	0.00	0.06	0.02	0.08	44.02	14.52	58.62	102.55
18.78	43.92	3.33	0.94	16.25	8.28	72.72	61.77	20.39	154.87	236.74
21.91	91.93	6.64	1.88	32.45	16.54	149.44	85.85	28.33	263.63	390.76
25.04	135.75	9.96	2.82	48.63	24.80	221.96	106.47	35.14	363.57	531.47
28.17	179.56	13.28	3.76	64.83	33.07	294.50	129.67	42.79	466.97	678.21
31.30	241.45	16.03	4.70	81.02	41.64	384.84	153.53	50.67	589.04	848.81

DATOS DEL TRAMO 3	
LONGITUD =	31.3 m

MOMENTOS DEL TRAMO 3										
ABCISA (m)	M po.po (t-m)	M guarn. (t-m)	M ppto. (t-m)	M relleno (t-m)	M asfalto (t-m)	M cm (t-m)	M cv (t-m)	M imp (t-m)	M serv. (t-m)	M ultimo (t-m)
0.00	-1,433.19	-108.52	-30.69	-547.18	-264.26	-2,383.84	144.05	47.54	-2,192.25	-2,710.58
3.13	-645.58	-50.12	-14.19	-257.63	-120.60	-1,088.12	131.51	43.40	-913.21	-1,084.21
6.26	-3.41	-2.04	-0.58	-18.70	-2.24	-26.97	284.81	93.99	351.83	628.63
9.39	502.95	35.63	10.08	168.75	90.41	807.82	558.25	184.22	1,550.29	2,331.70
12.52	860.73	62.60	17.72	303.29	152.63	1,396.97	754.15	248.87	2,399.98	3,539.65
15.65	1,075.71	78.95	22.35	385.32	196.64	1,758.97	860.63	284.01	2,903.61	4,250.99
18.78	1,147.93	84.37	23.88	413.27	209.64	1,879.09	875.71	288.98	3,043.78	4,439.49
21.91	1,076.42	79.10	22.39	388.36	196.27	1,762.54	799.28	263.76	2,825.58	4,112.56
25.04	854.49	63.00	17.83	309.82	156.12	1,401.25	617.14	203.66	2,222.05	3,226.99
28.17	494.00	36.27	10.26	178.76	89.76	809.05	363.86	120.07	1,292.98	1,880.64
31.30	0.00	0.00	0.00	0.00	0.00	0.00	0.00	0.00	0.00	0.00

CORTANTES DEL TRAMO 3										
ABCISA (m)	V po.po (ton)	V guarn. (ton)	V ppto. (ton)	V relleno (ton)	V asfalto (ton)	V cm (ton)	V cv (ton)	V imp (ton)	V serv. (ton)	V ultimo (ton)
0.00	-285.51	-20.02	-5.67	-98.40	-49.64	-459.24	4.77	1.57	-452.90	-575.37
3.13	-224.49	-16.70	-4.73	-82.21	-41.38	-369.51	4.77	1.57	-363.17	-461.14
6.26	-180.68	-13.39	-3.79	-66.01	-33.12	-296.99	5.66	1.87	-289.46	-366.34
9.39	-136.86	-10.07	-2.85	-49.82	-24.86	-224.46	12.35	4.07	-208.03	-258.05
12.52	-88.84	-6.75	-1.91	-33.63	-16.59	-147.73	21.51	7.10	-119.13	-138.75
15.65	-45.03	-3.43	-0.97	-17.44	-8.33	-75.20	33.73	11.13	-30.34	-17.58
18.78	-1.21	-0.12	-0.03	-1.24	-0.07	-2.67	48.54	16.02	61.89	109.63
21.91	46.80	3.20	0.91	14.95	8.20	74.06	69.34	22.88	166.27	256.00
25.04	90.62	6.52	1.85	31.14	16.46	146.58	88.22	29.11	263.92	392.68
28.17	134.44	9.84	2.78	47.33	24.72	219.11	111.60	36.83	367.54	539.82
31.30	196.45	13.16	3.72	63.53	32.98	309.84	140.67	46.42	496.93	722.95

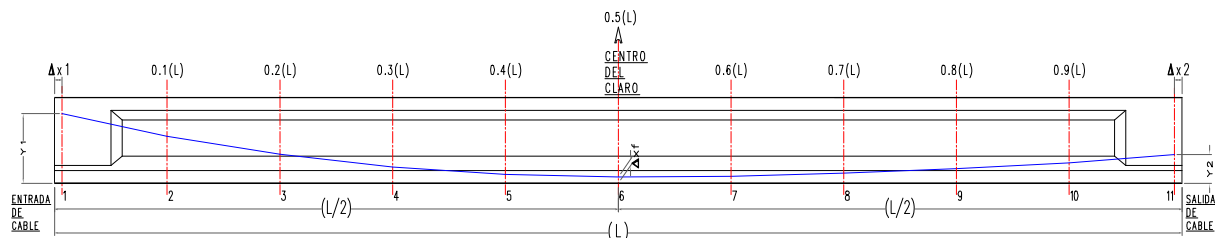


ESTIMACION DEL PRESFUERZO PARA MOMENTO POSITIVO (PRESFUERZO EN TRABES)											
CALCULO DEL PRESFUERZO POR FORMULA DE LA ESCUADRIA											
ESFUERZOS ACTUANTES	ESFUERZOS PERMISIBLES EN SERVICIO										
	En (ksi) En (kg/cm ²)										
$f_i \left(\frac{t}{m^2} \right) = \frac{P}{A} + \frac{P(e)Y_i}{I} - \frac{M_s(Y_i)}{I}$	CON REFUERZO $f_{rup} = 6\sqrt{f'c}$										
$f_s \left(\frac{t}{m^2} \right) = \frac{P}{A} - \frac{P(e)Y_s}{I} + \frac{M_s(Y_s)}{I}$	SIN REFUERZO $f_{rup} = 1.5906\sqrt{f'c}$ (0).										
EN Z. COSTERAS	$f_{rup} = 3\sqrt{f'c}$										
FACTOR DE CONVERSIÓN DE (klb/in ²) a (kg/cm ²)	$f'c$ (kg/cm ²) = 450										
Factor = 70.307	E_c (kg/cm ²) = 328,800.69										
	$f'c$ (kg/cm ²) = 6.400485										
	E_c (kg/cm ²) = 4,676.64										
COMENTARIOS											
LAS NORMAS AASHTO PERMITEN TENSIONES EN LA FIBRA INFERIOR IGUAL AL MODULO DE RUPTURA, DEPENDIENDO DE LA ZONA DONDE SE UBIQUE LA ESTRUCTURA. PERO ES PRACTICA COMUN EN MEXICO NO DEJAR TENSIONES EN LA FIBRA INFERIOR, SE RECOMIENDA COMO LIMITE (0) O COMPRESIONES MENORES.											
EXPRESION PARA EL CALCULO DEL PRESFUERZO											
SIMBOLOGIA	AGRUPANDO TERMINOS										
P ; FUERZA DE PRESFUERZO EN (TON)	$\left[\frac{1}{A} + \frac{(e)Y_i}{I} \right] P - \left[\frac{M_s(Y_i)}{I} \right] = -0.8\sqrt{f'c}$										
e ; EXCENTRICIDAD DEL ACERO DE PRESFUERZO EN (MTS)											
Y _i ; DISTANCIA DE LA FIBRA INFERIOR AL EJE NEUTRO EN (MTS)	DESPEJANDO LA FUERZA DE PRESFUERZO										
Y _s ; DISTANCIA DE LA FIBRA SUPERIOR AL EJE NEUTRO EN (MTS)											
A; AREA DE LA SECCIÓN TRANSVERSAL	$P = -0.8\sqrt{f'c} + \left[\frac{M_s(Y_i)}{I} \right] / \left[\frac{1}{A} + \frac{(e)Y_i}{I} \right]$										
M _s ; MOMENTO EN SERVICIO (Ms = Mcm+Mcv+Mimpacto)											
IGUALANDO EL ESFUERZO INFERIOR CON EL MODULO DE RUPTURA O CERO(0)											
$f_i \left(\frac{t}{m^2} \right) = \frac{P}{A} + \frac{P(e)Y_i}{I} - \frac{M_s(Y_i)}{I} = -0.8\sqrt{f'c}$	MODULO DE RUPTURA EN (T/M ²)										
	EN CASO DE CONSIDERAR TENSIONES										
	$f_{rup} \left(\frac{t}{m^2} \right) = -0.8\sqrt{f'c} = -169.71$										
No. DE ALMAS = 2											
SOLICITACIONES ACTUANTES											
TOTALES	POR ALMA	CABLE UTILIZADO :	15 T15	No. TORONES=	15						
M cm = 1,878.36	939.18 t-m	Ø toron (mm) = 15.00		E (kg/mm ²) = 20,400.00							
M cv = 874.49	437.24 t-m	A (mm ²) = 141.00		Factor = 0.75	Pfzo. Interno						
M imp = 288.58	144.29 t-m	frg (kg/mm ²) = 189.20		fo (kg/mm ²) = 141.90							
Ms(act) = 3,041.42	1,520.71 t-m	fre (kg/mm ²) = 160.20		To (ton) = 20.01							
PROPIEDADES DE SECCIÓN REDUCIDA SEGÚN NORMA AASHTO LRFD		CONSIDERAR TENSIONES									
RELACIONES		SI	NO	PROCEDE							
A (m ²) = 1.4193	0.8\sqrt{f'c} (t/m ²) = -169.71	1	2	2							
I (m ⁴) = 0.5013	Ms (t-m) = 1,520.71	FUERZA DE PRESFUERZO									
Y _i (m) = 0.966	Ms(Y _i) / I = 2,930.40	P (ton) = 1,286.96									
Y _s (m) = 0.734	1/A = 0.70	PERDIDAS 25.00%									
r pfzo. (m) = 0.15	(e)Y _i /I = 1.57	P (ton) = 1,715.94									
e (m) = 0.816		No. Cables = 5.72									
COMENTARIO											
LAS PERDIDAS SON ESTIMADAS. EL CALULO DE PERDIDAS DE PRESFUERZO SE CALCULAN MAS ADELANTE EN EL METODO DE RESISTENCIA.											



ESTIMACION DEL PRESFUERZO PARA MOMENTO NEGATIVO (PRESFUERZO EN LOSA)					
CALCULO DEL PRESFUERZO POR FORMULA DE LA ESCUADRIA					
ESFUERZOS ACTUANTES		ESFUERZOS PERMISIBLES EN SERVICIO			
		En (ksi)	En (kg/cm²)		
$f_i \left(\frac{t}{m^2} \right) = \frac{P}{A} - \frac{P(e)Y_i}{I} + \frac{Ms(Y_i)}{I}$	CON REFUERZO	$f_{rup} = 6\sqrt{f'c}$	$f_{rup} = 1.5906\sqrt{f'c}$		
$f_s \left(\frac{t}{m^2} \right) = \frac{P}{A} + \frac{P(e)Y_s}{I} - \frac{Ms(Y_s)}{I}$	SIN REFUERZO EN Z. COSTERAS	(0).			
FACTOR DE CONVERSIÓN DE (klb/in²) a (kg/cm²) Factor = 70.307	$f_c \text{ (kg/cm²)} =$ $f_c \text{ (kg/cm²)} =$	450 6.400485	$E_c \text{ (kg/cm²)} =$ $E_c \text{ (kg/cm²)} =$		
			328,800.69 4,676.64		
COMENTARIOS					
LAS NORMAS AASHTO PERMITEN TENSIONES EN LA FIBRA INFERIOR IGUAL AL MODULO DE RUPTURA, DEPENDIENDO DE LA ZONA DONDE SE UBIQUE LA ESTRUCTURA. PERO ES PRACTICA COMUN EN MEXICO NO DEJAR TENSIONES EN LA FIBRA INFERIOR, SE RECOMIENDA COMO LIMITE (0) O COMPRESIONES MENORES.					
EXPRESION PARA EL CALCULO DEL PRESFUERZO					
SIMBOLOGIA	AGRUPANDO TERMINOS				
P ; FUERZA DE PRESFUERZO EN (TON)	$\left[\frac{1}{A} + \frac{(e)Y_s}{I} \right] P - \left[\frac{Ms(Y_s)}{I} \right] = -0.8\sqrt{f'c}$				
e ; EXCENTRICIDAD DEL ACERO DE PRESFUERZO EN (MTS)	DESPEJANDO LA FUERZA DE PRESFUERZO				
Y _i ; DISTANCIA DE LA FIBRA INFERIOR AL EJE NEUTRO EN (MTS)	$P = -0.8\sqrt{f'c} + \left[\frac{Ms(Y_s)}{I} \right] / \left[\frac{1}{A} + \frac{(e)Y_s}{I} \right]$				
Y _s ; DISTANCIA DE LA FIBRA SUPERIOR AL EJE NEUTRO EN (MTS)	IGUALANDO EL ESFUERZO SUPERIOR CON EL MODULO DE RUPTURA O CERO(O)				
A; AREA DE LA SECCIÓN TRANSVERSAL	MODULO DE RUPTURA EN (T/M²)				
Ms; MOMENTO EN SERVICIO (Ms = Mcm+Mcv+Mimpacto)	EN CASO DE CONSIDERAR TENSIONES				
	$f_{rup} \left(\frac{t}{m^2} \right) = -0.8\sqrt{f'c} = -169.71$				
No. DE ALMAS = 2					
SOLICITACIONES ACTUANTES		DATOS DEL PRESFUERZO			
TOTALES	POR ALMA	CABLE UTILIZADO :	15 T15 No. TORONES= 15		
M cm = 2,385.20	1,192.60 t-m	Ø toron = 15.00	E (kg/mm²) = 20,400.00		
M cv = 145.04	72.52 t-m	A (mm²) = 141.00	Factor = 0.75		
M imp = 47.86	23.93 t-m	f _{rg} (kg/mm²) = 189.20	f _o (kg/mm²) = 141.90		
Ms(act) = 2,578.09	1,289.05 t-m	f _{re} (kg/mm²) = 160.20	To (ton) = 20.01		
PROPIEDADES DE SECCIÓN REDUCIDA SEGÚN NORMA AASHTO LRFD		CONSIDERAR TENSIONES			
		SI	NO		
A (m²) = 1.4193	0.8√f'c (t/m²) = -169.71	1	2		
I (m⁴) = 0.5013	Ms (t-m) = 1,289.05	FUERZA DE PRESFUERZO			
Y _i (m) = 0.966	Ms(Y _s) / I = 1,887.41	P (ton) = 1,210.14			
Y _s (m) = 0.734	1/A = 0.70	PERDIDAS 25.00%			
r pfzo. (m) = 0.15	(e)Y _s /I = 0.86	P (ton) = 1,613.52			
e (m) = 0.584		No. Cables = 5.38			
COMENTARIO					
LAS PERDIDAS SON ESTIMADAS. EL CALULO DE PERDIDAS DE PRESFUERZO SE CALCULAN MAS ADELANTE EN EL METODO DE RESISTENCIA.					

TRAZO DE CABLE C-1



ECUACIÓN DE LA PARABOLA

$$X^2 = 4P(Y) \quad Ec \quad (1)$$

$$Y = \frac{x^2}{4P} \quad Ec \underline{\hspace{2cm}} (2)$$

DATOS GENERALES DEL CABLE DE PRESFUERZO

DATOS DEL ACERO DE PRESFUERZO					
Tipo	frg kg/mm ²	fru kg/mm ²	f _o kg/mm ²	A _o kg/mm ²	F _o ton
15T15	189.20	160.20	151.36	2,115.00	320.13

EJE NEUTRO	
Ss	S c
cm	cm
96.60	96.60

PUNTO #	ABCISA (x) m	ORDENADA (y) m	LONGITUD cm
1	16.215	1.300	
2	12.972	0.868	327.16
3	9.729	0.532	326.04
4	6.486	0.292	325.19
5	3.243	0.148	324.62
6	0.000	0.100	324.34
7	3.243	0.116	324.30
8	6.486	0.164	324.34
9	9.729	0.244	324.40
10	12.972	0.356	324.49
11	16.215	0.500	324.62
	32.430		3.249.49

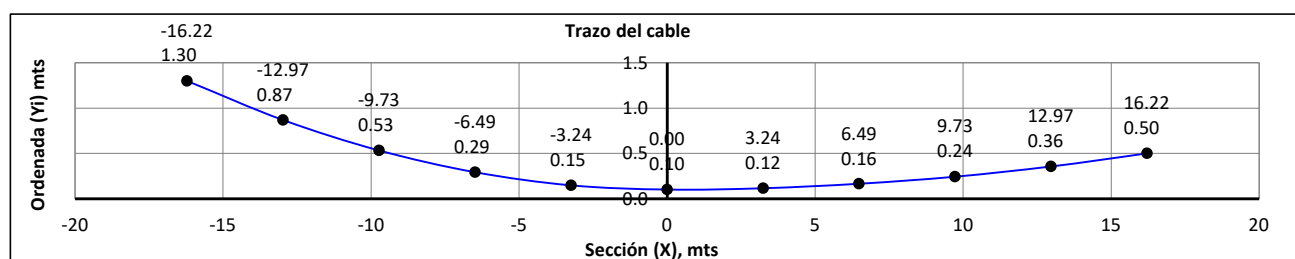
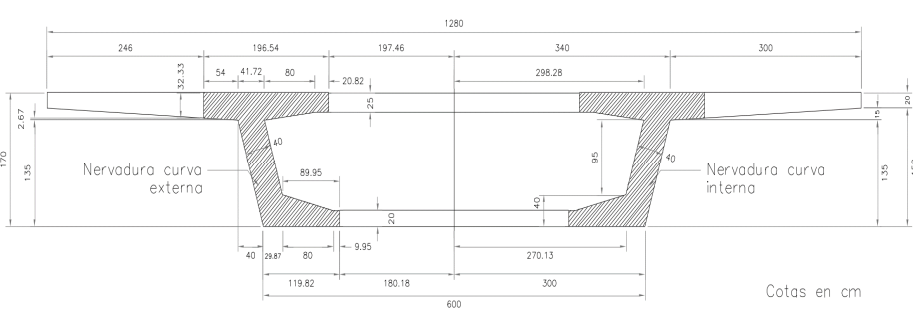
LONGITUD DE TRABE	
L trabe, m =	32.73
SEPARACIÓN A PAÑO	
Δ x 1, m =	0.15
Δ x 2, m =	0.15
LONGITUD DE CABLE	
Δx cable, m =	32.43
Secciones =	10

LONGITUD POR SECCIÓN	
$\Delta x (a)$, m =	3.243
$\Delta x (b)$, m =	3.243
LONGITUD MEDIA DE CABLE	
Δx cable(a) =	16.22
Δx cable(b) =	16.22

PUNTOS DE INTERES DEL PRESFUERZO			
PUNTO INICIAL	PUNTO FINAL	PUNTO MEDIO	
X 1(m) = 16.22	X 11(m) = 16.22		
Y 1 (m) = 1.20	Y 11 (m) = 0.40	D xf =	0.1
P 1 = 54.78	P 11 = 164.33		

TRAZO DEL CABILDE DE PRESUELZO

PUNTO #	ABCISA (x) m	ORDENADA (y) m
1	-16.215	1.300
2	-12.972	0.868
3	-9.729	0.532
4	-6.486	0.292
5	-3.243	0.148
6	0.000	0.100
7	3.243	0.116
8	6.486	0.164
9	9.729	0.244
10	12.972	0.356
11	16.215	0.500

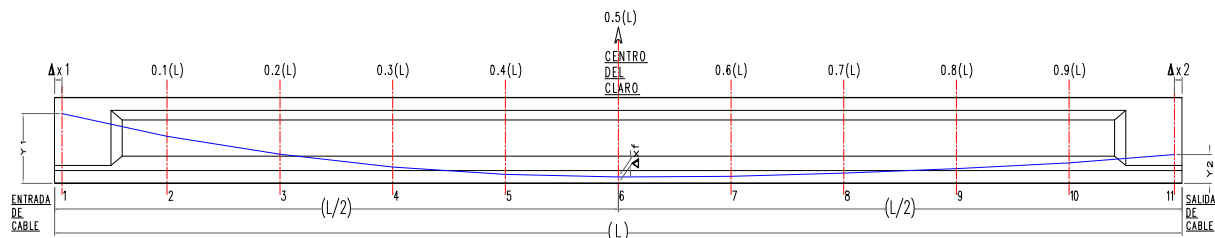


SECCION SIMPLE.			
A cm ²	Y i cm	Y s cm	I cm ⁴
14,193.00	96.60	73.40	50,134,692.00

SECCION COMPUESTA			
A cm ²	Y i cm	Y s cm	I cm ⁴
14,193.00	96.60	73.40	50,134,692.00



TRAZO DE CABLE C-2



ECUACIÓN DE LA PARABOLA

$$X^2 = 4P(Y) \quad Ec \quad (1)$$

$$Y = \frac{X^2}{4P} \quad Ec \quad (2)$$

DATOS GENERALES DEL CABLE DE PRESFUERZO

DATOS DEL ACERO DE PRESFUERZO					
Tipo	frg kg/mm ²	fru kg/mm ²	f o kg/mm ²	A o kg/mm ²	Fo ton
15T15	189.20	160.20	151.36	2,115.00	320.13

EJE NEUTRO	
Ss cm	S c cm
96.60	96.60

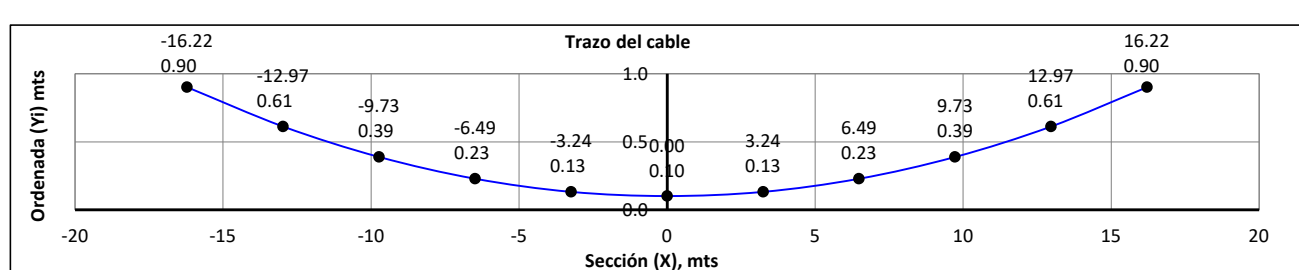
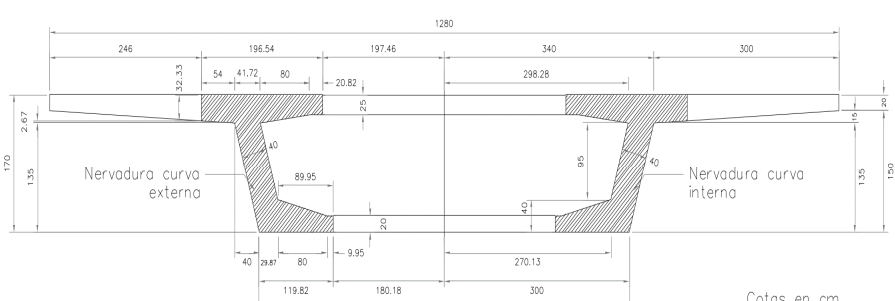
PUNTO #	ABCISA (x) m	ORDENADA (y) m	LONGITUD cm
1	16.215	0.900	
2	12.972	0.612	325.58
3	9.729	0.388	325.07
4	6.486	0.228	324.69
5	3.243	0.132	324.44
6	0.000	0.100	324.32
7	3.243	0.132	324.32
8	6.486	0.228	324.44
9	9.729	0.388	324.69
10	12.972	0.612	325.07
11	16.215	0.900	325.58
	32.430		3,248.20

LONGITUD DE TRABE	
L trabe, m =	32.73
SEPARACIÓN A PAÑO	
Δ x 1, m =	0.15
Δ x 2, m =	0.15
LONGITUD DE CABLE	
Δx cable, m =	32.43
Secciones =	10

LONGITUD POR SECCIÓN	
Δ x (a), m =	3.243
Δ x (b), m =	3.243
LONGITUD MEDIA DE CABLE	
Δx cable(a) =	16.22
Δx cable(b) =	16.22

PUNTO INICIAL	PUNTO FINAL	PUNTO MEDIO
X 1(m) = 16.22	X 11(m) = 16.22	
Y 1 (m) = 0.80	Y 11 (m) = 0.80	D xf = 0.1

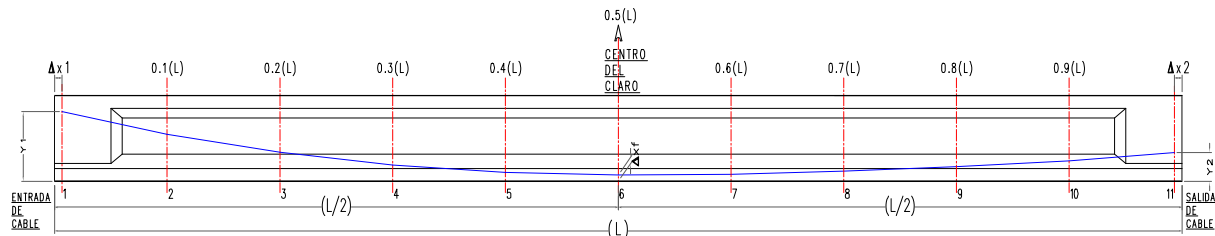
TRAZO DEL CABLE DE PRESFUERZO



SECCION SIMPLE.			
A cm ²	Y i cm	Y s cm	I cm ⁴
14,193.00	96.60	73.40	50,134,692.00

SECCION COMPUESTA			
A cm ²	Y i cm	Y s cm	I cm ⁴
14,193.00	96.60	73.40	50,134,692.00

TRAZO DE CABLE C-3



ECUACIÓN DE LA PARABOLA

$$X^2 = 4P(Y) \quad Ec \text{_____} (1)$$

$$Y = \frac{x^2}{4p} \quad Ec \quad (2)$$

DATOS GENERALES DEL CABLE DE PRESFUERZO

DATOS DEL ACERO DE PRESFUERZO					
Tipo	frg kg/mm ²	fru kg/mm ²	f o kg/mm ²	A o kg/mm ²	Fo ton
15T15	189.20	160.20	151.36	2.115.00	320.13

EJE NEUTRO	
Ss	S c
cm	cm
96.60	96.60

PUNTO #	ABCISA (x) m	ORDENADA (y) m	LONGITUD cm
1	16.215	0.500	
2	12.972	0.356	324.62
3	9.729	0.244	324.49
4	6.486	0.164	324.40
5	3.243	0.116	324.34
6	0.000	0.100	324.30
7	3.243	0.148	324.34
8	6.486	0.292	324.62
9	9.729	0.532	325.19
10	12.972	0.868	326.04
11	16.215	1.300	327.16
	32.430		3,249.49

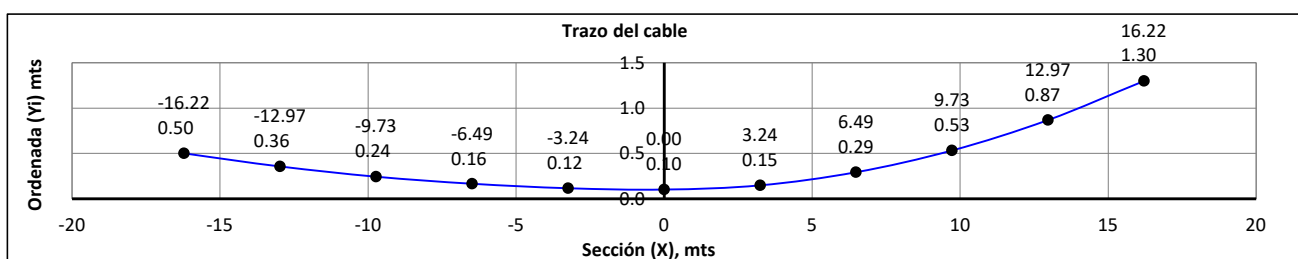
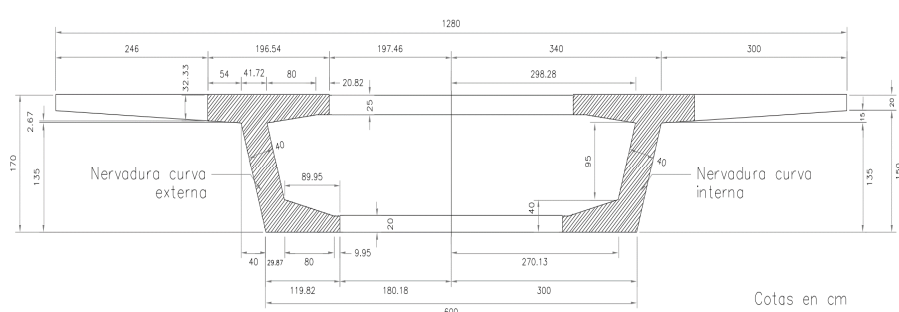
LONGITUD DE TRABE
L trabe, m = 32.73
SEPARACIÓN A PAÑO
Δx_1 , m = 0.15
Δx_2 , m = 0.15
LONGITUD DE CABLE
Δx cable, m = 32.43
Secciones = 10

LONGITUD POR SECCIÓN	
$\Delta x (a)$, m=	3.243
$\Delta x (b)$, m=	3.243
LONGITUD MEDIA DE CABLE	
Δx cable(a) =	16.22
Δx cable(b) =	16.22

PUNTOS DE INTERES DEL PRESFUERZO			
PUNTO INICIAL	PUNTO FINAL	PUNTO MEDIO	
X 1(m) = 16.22	X 11(m) = 16.22		
Y 1 (m) = 0.40	Y 11 (m) = 1.20	D xf =	0.1
P 1 = 164.33	P 11 = 54.78		

TRAZO DEL CABILDE DE PRESUELZO

PUNTO	ABCISA (x) m	ORDENADA (y) m
#		
1	-16.215	0.500
2	-12.972	0.356
3	-9.729	0.244
4	-6.486	0.164
5	-3.243	0.116
6	0.000	0.100
7	3.243	0.148
8	6.486	0.292
9	9.729	0.532
10	12.972	0.868
11	16.215	1.300



SECCION SIMPLE.			
A cm ²	Y i cm	Y s cm	I cm ⁴
14,193.00	96.60	73.40	50,134,692.00

SECCION COMPUESTA			
A cm ²	Y i cm	Y s cm	I cm ⁴
14,193.00	96.60	73.40	50,134,692.00



DATOS GENERALES PARA LA ESTIMACIÓN DE PÉRDIDAS

DATOS GEOMETRICOS.

CABLE # = **2**
 LONGITUD DE LA TRABE = **32.73** m
 PROFUNDIDAD CAJA IZQUIERDA(Dx1) = **0.15** m
 PROFUNDIDAD CAJA DERECHA (Dx2) = **0.15** m
 SECCIONES A ANALIZAR = **10**

CARACTERISTICAS GEOMETRICAS DE LA TRABE.

TRABE SECCIÓN CAJÓN

SECCIÓN SIMPLE

AREA DE LA TRABE (A) = **14,193.00 cm²**
 PRFUNDIDAD DEL EJE NEUTRO (Y_i) = **96.60** cm
 PRFUNDIDAD DEL EJE NEUTRO (Y_s) = **73.40** cm
 MOMENTO DE INERCIA (I_s) = **50,134,692.00 cm⁴**
 Modulo, Si = **518,969.00 cm³**
 Modulo, S_s = **683,074.00 cm³**
 Radio, r_x = **59.43** cm

b_{sup} = **196.54**
 d₁ = **20**
 d₂ = **20**
 d₃ = **95**
 d₄ = **15**
 d₅ = **20**
 bw = **40**
 b_{inf} = **600**
 h = **170**
 t₁ = **0**

SECCIÓN COMPUESTA

AREA DE LA TRABE (A) = **14,193.00 cm²**
 PRFUNDIDAD DEL EJE NEUTRO (Y_i) = **96.60** cm
 PRFUNDIDAD DEL EJE NEUTRO (Y_s) = **73.40** cm
 MOMENTO DE INERCIA (I_s) = **50,134,692.00 cm⁴**
 Modulo, Si = **518,969.00 cm³**
 Modulo, S_s = **683,074.00 cm³**
 Radio, r_x = **59.43** cm

n_b e = **196.54**
 b_{sup} = **196.54**
 d₁ = **20**
 d₂ = **20**
 d₃ = **95**
 d₄ = **15**
 d₅ = **20**
 bw = **40**
 b_{inf} = **600**
 h = **170**
 t₁ = **0**

CARACTERÍSTICAS DEL CONCRETO

CONCRETO F'C = **450** kg/cm²

DATOS DEL CABLE DE PRESFUERZO.

CARACTERÍSTICAS DEL CABLE

Cable (tipo) = **15T15**
 Ep (kg/mm²) = **20,400.00**
 frg (kg/mm²) = **189.20**
 fru (kg/mm²) = **160.20**
 Tensado = **0.80**
 A (mm²) = **2,115.00**
 fo (kg/mm²) = **151.36**

Simbología.

Cable formado por torones de baja relajación
 Modulo de elasticidad del acero de presfuerzo
 Esfuerzo de ruptura del acero de presfuerzo
 Esfuerzo de fluencia del acero de presfuerzo
 Factor de tensado del acero de presfuerzo
 Área transversal del acero de presfuerzo
 Esfuerzo de tensado del acero de presfuerzo

COEFICIENTES UTILIZADOS

Coeficiente de fricción por desarrollo lineal, κ = **0.0002**
 Coeficiente de fricción por curvatura, μ = **0.25**
 Deslizamiento del anclaje (entrada de cono), Δ = **6** mm
 Relajacion = **3.5%**

TRAZO DEL CABLE

ENTRADA DEL CABLE (Y ₁) =	0.8 mts.	e =	0.00025
SALIDA DEL CABLE (Y ₁) =	0.8 mts.	r t =	0.18
CABLE AL C. CLARO(Y _{cc}) =	0.1 mts.		
No. DE CABLES =	6		

**CALCULO DE PERDIDAS POR FRICTION.**

CARACTERISTICAS GEOMETRICAS		COEFICIENTES UTILIZADOS		DATOS DEL CABLE	
L trabe (m) =	32.73	κ =	0.0002	Cable (tipo) =	15T15
$\Delta x 1$ (m) =	0.15	μ =	0.25	E_p (kg/mm ²) =	20,400.00
$\Delta x 2$ (m) =	0.15	Δ =	6 mm	f_{rg} (kg/Cm ²) =	18,920.00
Δx cable (m) =	32.43	Relajacion =	3.50% a 100 hrs.	Tensado al =	0.80
No.Secc. =	10	Δm fricción = <u>25.694</u> (Pendiente por fricción)		f_o (kg/cm ²) =	15,136.00
Δx =	3.243			A (mm ²) =	2,115.00
Δy c.claro =	10			CABLE : <u>2</u>	

Sección	(X)	(X)	Yi	ΔY_i (m)	$\frac{2 \Delta y}{x}$ (radianes)	$\frac{2 \Delta y}{x}$ (rad) parcial	α (grados)	α acumulado (grados)	f_i (kg/cm ²)	Δf_i
1	16.22	0.00	90.00	0.80	0.00	0.02	0.00	0.00	15,136.00	0.00
2	12.97	3.24	61.20	0.51	0.02	0.02	1.13	1.13	15,052.67	83.33
3	9.73	6.49	38.80	0.29	0.04	0.02	2.26	2.26	14,969.35	166.65
4	6.49	9.73	22.80	0.13	0.06	0.02	3.39	3.39	14,886.02	249.98
5	3.24	12.97	13.20	0.03	0.08	0.02	4.52	4.52	14,802.70	333.30
6	0.00	16.22	10.00	0.00	0.10	0.10	5.65	5.65	14,719.37	416.63
7	3.24	19.46	13.20	0.03	0.08	0.02	4.52	6.78	14,636.05	499.95
8	6.49	22.70	22.80	0.13	0.06	0.02	3.39	7.92	14,552.72	583.28
9	9.73	25.94	38.80	0.29	0.04	0.02	2.26	9.05	14,469.40	666.60
10	12.97	29.19	61.20	0.51	0.02	0.02	1.13	10.18	14,386.07	749.93
11	16.22	32.43	90.00	0.80	0.00	0.02	0.00	11.31	14,302.75	833.25

CÁLCULO DE LA LONGITUD DE INFLUENCIA POR ENTRADA DE CONO										
Ep (Δ) =	1,224,000.00 kg/cm ²									
Δm fricción =	25.694 kg/cm ² /m								CALCULO DEL ESFUERZO AL PUNTO DE INFLUENCIA POR ENTRADA DE CONO.	
Izquierdo										
d =	2,182.6058 cm								$(*) f_i (d) =$	<u>14,575.20</u> kg/mm ²
$(*) d$ =	<u>21.83</u> m								COMENTARIO : TENSAR EL CABLE POR UN LADO	
FÓRMULAS EMPLEADAS										
$\Delta_m = f_o - \frac{f_{L/2}}{L/2}$	Ec_____ (1) Pendiente por fricción									
$d = \sqrt{\frac{E_p (A)}{\Delta m \text{ fricción}}}$	Ec_____ (3) Longitud de influencia por entrada de cuña									
$\Delta f_o = f_o e^{-(k x + \mu)}$	Ec_____ (2) Perdidas por fricción y curvatura									



CALCULO DE ESFUERZOS DE ACUÑAMIENTO.

Sección	f_i (kg/cm ²) Esfuerzo después de perdidas por fricción.	$f_{acuñ.}$ (kg/cm ²)	$\Delta_{acuñ.} = \frac{f_i(d) - f_e}{d_{acuñ.}}$ Ec_____ (4) Pendiente por acuñamiento
1	15,136.00	14,014.40	
2	15,052.67	14,097.73	
3	14,969.35	14,181.06	
4	14,886.02	14,264.38	
5	14,802.70	14,347.71	
6	14,719.37	14,431.03	
7	14,636.05	14,514.36	
Acuñamiento	14,575.20	14,597.68	$f_e = f_o - [2(f_0 - f_i(d))]$ Ec_____ (5) Esfuerzo en el anclaje después de ocurrido el acuñamiento $f(e) = 14,014.40$ $\Delta m_{acuñ.} = 25.694$
8	14,552.72		
9	14,469.40		
10	14,386.07		
11	14,302.75		

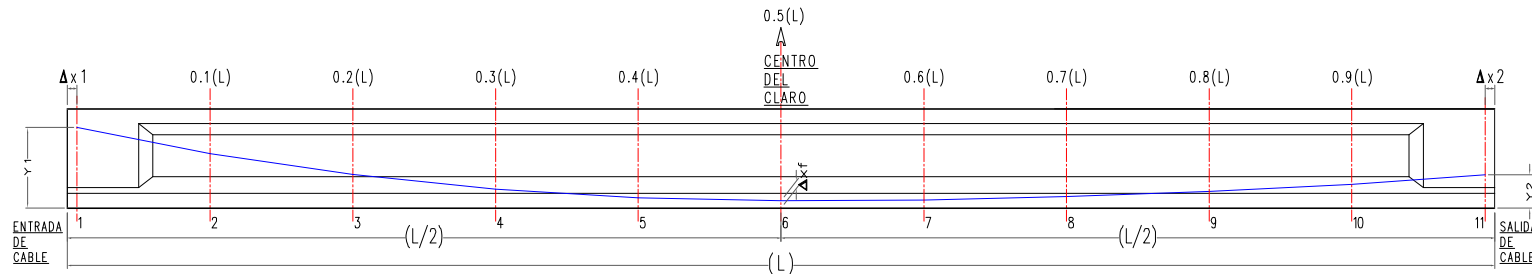
GRÁFICA DE ESFUERZOS

Sección	Abcisa (mts)	f_i (kg/cm ²)	$f_{acuñ}$ (kg/cm ²)	Long. Cable (cm)	Alarg. (mm)
1	0.00	15,136.00	14,014.40	325.58	24.09
2	3.24	15,052.67	14,097.73	325.58	23.92
3	6.49	14,969.35	14,181.06	325.07	23.76
4	9.73	14,886.02	14,264.38	324.69	23.61
5	12.97	14,802.70	14,347.71	324.44	23.47
6	16.22	14,719.37	14,431.03	324.32	23.33
7	19.46	14,636.05	14,514.36	324.32	23.23
Acuñ.	21.83	14,575.20	14,597.68	324.44	23.21
8	22.70	14,552.72		324.44	23.10
9	25.94	14,469.40		324.69	22.99
10	29.19	14,386.07		325.07	22.89
11	32.43	14,302.75		325.58	

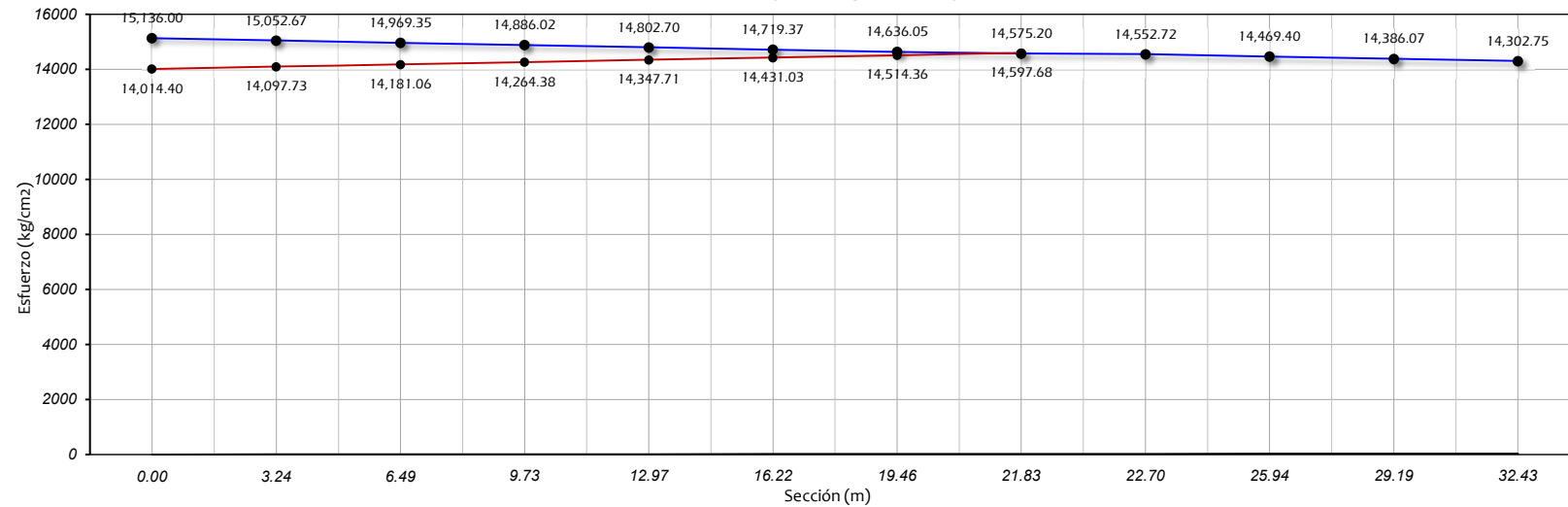
Alargamiento del cable, mm = [257.60](#)



GRAFICA DE ESFUERZOS (TENSADO POR UN SOLO LADO)



Grafica de esfuerzos (tensado por un lado)



**PERDIDAS POR ACORTAMIENTO ELASTICO****Características de los materiales.**

$f_c = 450 \text{ Kg/cm}^2$

$E_{ci} = 296,984.85 \text{ Kg/cm}^2$

Características de la trabe.

$A = 14,193.00 \text{ cm}^2$

$Y_i = 96.60 \text{ cm}$

$Y_s = 73.40 \text{ cm}$

$I = 50,134,692.00 \text{ cm}^4$

Características del presfuerzo.

$\text{Cable} = 15T15$

$E_p = 20,400.00 \text{ Kg/cm}^2$

$F_{rg} = 189.20 \text{ Kg/cm}^2$

$\text{Tensado al} = 0.80$

$F_o = 151.36 \text{ Kg/cm}^2$

$\text{Apresf} = 2,115.00 \text{ mm}^2$

$r^2 = 0.35$

$N = 6.00 \text{ Cables}$

Momentos por peso propio.Sección simple

$M_x = \frac{W_{popo}}{2} * [L(X) - X^2] \quad Ec. \underline{\hspace{2cm}}$ (6)

$V_x = W_{popo} \left(\frac{L}{2} - X \right) \quad Ec. \underline{\hspace{2cm}}$ (7)

$0 \leq X \leq \frac{L}{2} \quad \text{Condición de apoyo simple}$

$W_{popo} = 3.406 \text{ ton/m}$

$\text{Claro (L)} = 32.73$

$n = 6.869$

Sección	X	f_I kg/cm^2	$f_{acuñ}$ kg/cm^2	$f_I(r)$ kg/cm^2	$M_{po.po}$ $t \cdot m$	Δy_i cm	e m	e_2 m^2	P_i ton
1	0.00	15,136.00	14,014.40	14,014.40	0.00	0.80	0.17	0.03	296.40
2	3.24	15,052.67	14,097.73	14,097.73	162.87	0.51	0.45	0.21	298.17
3	6.49	14,969.35	14,181.06	14,181.06	289.91	0.29	0.68	0.46	299.93
4	9.73	14,886.02	14,264.38	14,264.38	381.13	0.13	0.84	0.70	301.69
5	12.97	14,802.70	14,347.71	14,347.71	436.52	0.03	0.93	0.87	303.45
6	16.22	14,719.37	14,431.03	14,431.03	456.09	0.00	0.97	0.93	305.22
7	19.46	14,636.05	14,514.36	14,514.36	436.52	0.03	0.93	0.87	306.98
Acuñ.	21.83	14,575.20	14,597.68	14,575.20	399.60	0.13	0.84	0.70	308.27
8	22.70	14,552.72		14,552.72	381.13	0.13	0.84	0.70	307.79
9	25.94	14,469.40		14,469.40	289.91	0.29	0.68	0.46	306.03
10	29.19	14,386.07		14,386.07	162.87	0.51	0.45	0.21	304.27
11	32.43	14,302.75		14,302.75	0.00	0.80	0.17	0.03	302.50

Sección	P/A kg/cm^2	$1+(e_2/r^2)$	$M_{o e / I}$ kg/cm^2	f_c kg/cm^2	Δf kg/cm^2
1	20.88	1.08	0	22.51	64.434
2	21.01	1.58	14.75	18.52	53.000
3	21.13	2.30	39.21	9.43	26.980
4	21.26	2.99	63.71	0.19	0.546
5	21.38	3.47	81.32	7.14	20.438
6	21.50	3.64	87.88	9.57	27.377
7	21.63	3.47	81.32	6.28	17.972
Acuñamiento	21.72	2.99	66.79	1.89	5.422
8	21.69	2.99	63.71	1.09	3.129
9	21.56	2.30	39.21	10.42	29.810
10	21.44	1.58	14.75	19.20	54.947
11	21.31	1.08	0.00	22.98	65.760

FORMULAS EMPLEADAS

$$\Delta_f = \frac{N - 1}{2N} * \frac{E_p}{E_{ci}} * f_c \quad Ec. \underline{\hspace{2cm}} \quad (8)$$

$$f_c = \frac{P}{A} * \left(1 + \frac{e^2}{r^2} \right) + \left(\frac{M_{popo} * e}{I} \right) \quad Ec. \underline{\hspace{2cm}} \quad (9)$$

$$n = \frac{E_p}{E_{ci}} \quad Ec. \underline{\hspace{2cm}} \quad (10)$$

$$r^2 = \frac{I}{A} \quad Ec. \underline{\hspace{2cm}} \quad (11)$$



PERDIDAS DIFERIDAS

CONTRACCIÓN DEL CONCRETO

Características de los materiales.

$$\epsilon = 0.00025$$

$$E_p = 20400$$

$$r_t = 0.18$$

Formulas

$$\Delta f_c = E_p * \epsilon (1 - r_t) \quad Ec. \underline{\hspace{2cm}} \quad (12)$$

$$\Delta f_c = 418.200 \quad \text{Kg/cm}^2$$

Sección	Abcisa m	Δf_c kg/cm^2
1	0.00	418.20
2	3.24	418.20
3	6.49	418.20
4	9.73	418.20
5	12.97	418.20
6	16.22	418.20
7	19.46	418.20
Acuñamiento	21.83	418.20
8	22.70	418.20
9	25.94	418.20
10	29.19	418.20
11	32.43	418.20

Resumen de perdidas Instantáneas

Sección	Abcisa m	$\Delta f_{\text{fricción}}$ kg/cm^2	$\Delta \sigma_{\text{E.cono}}$ kg/cm^2	$\Delta \sigma_{\text{A.elástico}}$ kg/cm^2	$\Delta \sigma_{\text{total instantáneas}}$ kg/cm^2	(*) σ_i kg/cm^2
1	0.00	0.00	1,121.60	64.43	1,186.03	13,949.97
2	3.24	83.33	1,038.27	53.00	1,174.59	13,961.41
3	6.49	166.65	954.94	26.98	1,148.57	13,987.43
4	9.73	249.98	871.62	0.55	1,122.14	14,013.86
5	12.97	333.30	788.29	20.44	1,142.03	13,993.97
6	16.22	416.63	704.97	27.38	1,148.97	13,987.03
7	19.46	499.95	621.64	17.97	1,139.57	13,996.43
Acuñamiento	21.83	583.28	538.32	5.42	1,127.02	14,008.98
8	22.70	583.28		3.13	586.41	14,549.59
9	25.94	666.60		29.81	696.41	14,439.59
10	29.19	749.93		54.95	804.88	14,331.12
11	32.43	833.25		65.76	899.01	14,236.99

(*)
Esfuerzo en el cable después
de ocurridas las perdidas
instantáneas.



FLUJO PLASTICO DEL CONCRETO

MOMENTOS POR PESO PROPIO

Sección compuesta

$$M_x = \frac{W_{popo}}{2} * [L(X) - X^2]$$

$$V_x = W_{popo} \left(\frac{L}{2} - X \right)$$

CARACTERÍSTICAS DE LOS MATERIALES

$E_p = 20,400.00$ kg/cm

$E_{ci} = 296,984.85$ kg/cm

$n = 6.87$

$$0 \leq X \leq \frac{L}{2} \quad \text{Condición de apoyo simple}$$

$W_{(popo)} = 3.406$ ton/m

Claro (L) = 32.73

CARACTERÍSTICAS DE LA TRABE

Sección compuesta

$A = 14,193.00$ cm²

$Y_i = 96.60$ cm

$Y_s = 73.40$ cm

$I = 50,134,692.00$ cm⁴

FORMULAS EMPLEADAS

$$\Delta f_f = 2 * f_i \left(\frac{E_p}{E_c} \right) \quad \text{Ec. (13)}$$

$$f_c = \frac{P}{A} \left(1 + \frac{e^2}{r^2} \right) + \left(\frac{M_{pp} * e}{I} \right) \quad \text{Ec. (14)}$$

$$n = \frac{E_p}{E_{ci}}$$

$$r^2 = \frac{I}{A}$$

Sección	Abcisa m	σ_i después de ΔI_{inst} kg/cm ²	M po.po (t - m)	$M_{o e / I}$ (kg/cm ²)	f c (kg/cm ²)	Δf Sec. compuesta kg/cm ²	Δf Sec. Simple kg/cm ²	Δf kg/cm ²
			Sec. Comp					
1	0.00	13,949.97	0.00	0.00	22.51	64.43	64.43	885.21
2	3.24	13,961.41	162.87	14.75	18.52	53.00	53.00	728.12
3	6.49	13,987.43	289.91	39.21	9.43	26.98	26.98	370.65
4	9.73	14,013.86	381.13	63.71	-0.19	-0.55	0.55	7.49
5	12.97	13,993.97	436.52	81.32	-7.14	-20.44	20.44	280.77
6	16.22	13,987.03	456.09	87.88	-9.57	-27.38	27.38	376.11
7	19.46	13,996.43	439.84	81.94	-6.90	-19.74	17.97	246.90
Acuñamiento	21.83	14,008.98	405.34	67.75	-2.85	-8.17	5.42	74.49
8	22.70	14,549.59	387.76	64.81	-0.01	-0.04	3.13	42.99
9	25.94	14,439.59	299.85	40.55	9.07	25.96	29.81	409.53
10	29.19	14,331.12	176.12	15.95	18.00	51.51	54.95	754.87
11	32.43	14,236.99	16.57	0.55	22.43	64.19	65.76	903.42

RELAJACION DEL ACERO DE PRESFUERZO.

Datos : $f_{rg} = 18,920.00$

$P(1000)hrs = 3.5$

$\mu_o = 0.43$

Sección	Abcisa m o =	σ_i después de ΔI_{Inst} kg/cm ²	Δf_r Sec. Compuesta t-m
1	0.00	13,949.97	900.27
2	3.24	13,961.41	902.78
3	6.49	13,987.43	908.50
4	9.73	14,013.86	914.33
5	12.97	13,993.97	909.95
6	16.22	13,987.03	908.42
7	19.46	13,996.43	910.49
Acuñamiento	21.83	14,008.98	913.26
8	22.70	14,549.59	1,035.80
9	25.94	14,439.59	1,010.34
10	29.19	14,331.12	985.50
11	32.43	14,236.99	964.15

FORMULA EMPLEADA

$$\Delta f_r = \frac{6}{100} * \left(\frac{f_{pi}}{f_{rg}} - \mu_o \right) * f_{pi} * P_{1000 hrs} \quad \text{Ec. (15)}$$



RESUMEN DE PERDIDAS

Sección	Abcisa m	$\Delta \sigma$ fricción kg/cm²	$\Delta \sigma$ E. cono kg/cm²	$\Delta \sigma$ A. Elástico kg/cm²	$\Delta \sigma$ total Instantáneas kg/cm²	$\Delta \sigma$ Contracción kg/cm²	$\Delta \sigma$ Flujo plástico kg/cm²	$\Delta \sigma$ Relajación kg/cm²	$\Delta \sigma$ total Diferidas kg/cm²
1	0.00	0.00	1,121.60	64.43	1,186.03	418.20	885.21	900.27	2,203.68
2	3.24	83.33	1,038.27	53.00	1,174.59	418.20	728.12	902.78	2,049.10
3	6.49	166.65	954.94	26.98	1,148.57	418.20	370.65	908.50	1,697.35
4	9.73	249.98	871.62	0.55	1,122.14	418.20	7.49	914.33	1,340.03
5	12.97	333.30	788.29	20.44	1,142.03	418.20	280.77	909.95	1,608.92
6	16.22	416.63	704.97	27.38	1,148.97	418.20	376.11	908.42	1,702.73
7	19.46	499.95	621.64	17.97	1,139.57	418.20	246.90	910.49	1,575.58
Acumulado	21.83	583.28	538.32	5.42	1,127.02	418.20	74.49	913.26	1,405.95
8	22.70	583.28	0.00	3.13	586.41	418.20	42.99	1,035.80	1,496.99
9	25.94	666.60	0.00	29.81	696.41	418.20	409.53	1,010.34	1,838.07
10	29.19	749.93	0.00	54.95	804.88	418.20	754.87	985.50	2,158.57
11	32.43	833.25	0.00	65.76	899.01	418.20	903.42	964.15	2,285.77

Sección	Abcisa m	Δ total Instantáneas kg/cm²	Δ total Diferidas kg/cm²	σ o Esfzo. Inicial kg/cm²	σ i Esfzo. Final kg/cm²	Fo Fuerza final ton.	Δ (%) perdidas instantáneas	Δ (%) perdidas diferidas	Δ (%) perdidas totales
1	0.00	1,186.03	2,203.68	15,136.00	11,746.29	248.43	7.84	14.56	22.40
2	3.24	1,174.59	2,049.10	15,136.00	11,912.31	251.95	7.76	13.54	21.30
3	6.49	1,148.57	1,697.35	15,136.00	12,290.07	259.93	7.59	11.21	18.80
4	9.73	1,122.14	1,340.03	15,136.00	12,673.83	268.05	7.41	8.85	16.27
5	12.97	1,142.03	1,608.92	15,136.00	12,385.05	261.94	7.55	10.63	18.17
6	16.22	1,148.97	1,702.73	15,136.00	12,284.30	259.81	7.59	11.25	18.84
7	19.46	1,139.57	1,575.58	15,136.00	12,420.85	262.70	7.53	10.41	17.94
Acumulado	21.83	1,127.02	1,405.95	15,136.00	12,603.03	266.55	7.45	9.29	16.73
8	22.70	586.41	1,496.99	15,136.00	13,052.60	276.06	3.87	9.89	13.76
9	25.94	696.41	1,838.07	15,136.00	12,601.51	266.52	4.60	12.14	16.74
10	29.19	804.88	2,158.57	15,136.00	12,172.56	257.45	5.32	14.26	19.58
11	32.43	899.01	2,285.77	15,136.00	11,951.22	252.77	5.94	15.10	21.04



RESUMEN FINAL.

CABLE:

2

Sección	Abcisa m	Ordenada m	Δ σ total Instantáneas kg/cm ²	Δ σ total Diferidas kg/cm ²	σ o Esfzo. Inicial kg/cm ²	σ i Esfzo. Final kg/cm ²	Fo Fuerza inicial ton.	Fo Fuerza final ton.	Δ Fo Instantáneas ton.	Δ Fo diferidas ton.
1	0.00	0.90	1,186.03	2,203.68	15,136.00	11,746.29	320.13	248.43	25.08	46.61
2	3.24	0.61	1,174.59	2,049.10	15,136.00	11,912.31	320.13	251.95	24.84	43.34
3	6.49	0.39	1,148.57	1,697.35	15,136.00	12,290.07	320.13	259.93	24.29	35.90
4	9.73	0.23	1,122.14	1,340.03	15,136.00	12,673.83	320.13	268.05	23.73	28.34
5	12.97	0.13	1,142.03	1,608.92	15,136.00	12,385.05	320.13	261.94	24.15	34.03
6	16.22	0.10	1,148.97	1,702.73	15,136.00	12,284.30	320.13	259.81	24.30	36.01
7	19.46	0.13	1,139.57	1,575.58	15,136.00	12,420.85	320.13	262.70	24.10	33.32
Acuñamiento	21.83	0.23	1,127.02	1,405.95	15,136.00	12,603.03	320.13	266.55	23.84	29.74
8	22.70	0.23	586.41	1,496.99	15,136.00	13,052.60	320.13	276.06	12.40	31.66
9	25.94	0.39	696.41	1,838.07	15,136.00	12,801.51	320.13	266.52	14.73	38.88
10	29.19	0.61	804.88	2,158.57	15,136.00	12,172.56	320.13	257.45	17.02	45.65
11	32.43	0.90	899.01	2,285.77	15,136.00	11,951.22	320.13	252.77	19.01	48.34

TABLA RESUMEN DE PERDIDAS

2

Sección	Abcisa (X) m	Ordenada (Y) m	Δ σf fricción kg/cm ²	Δ σf E. cono kg/cm ²	Δ σf A. elástico kg/cm ²	Δ σ total Instantáneas kg/cm ²	Δ σf Contracción kg/cm ²	Δ σf F. plástico kg/cm ²	Δ σf Relajación kg/cm ²	Δ σ total Diferidas kg/cm ²	Fo Fuerza inicial ton.	Fo Fuerza final ton.	Δ Fo Instantáneas ton.	Δ Fo diferidas ton.	% Perdidas ton.
1	0.00	0.90	0.00	1,121.60	64.43	1,186.03	418.20	885.21	900.27	2,203.68	320.13	248.43	25.08	46.61	22.40
2	3.24	0.61	83.33	1,038.27	53.00	1,174.59	418.20	728.12	902.78	2,049.10	320.13	251.95	24.84	43.34	21.30
3	6.49	0.39	166.65	954.94	26.98	1,148.57	418.20	370.65	908.50	1,697.35	320.13	259.93	24.29	35.90	18.80
4	9.73	0.23	249.98	871.62	0.55	1,122.14	418.20	7.49	914.33	1,340.03	320.13	268.05	23.73	28.34	16.27
5	12.97	0.13	333.30	788.29	20.44	1,142.03	418.20	280.77	909.95	1,608.92	320.13	261.94	24.15	34.03	18.17
6	16.22	0.10	416.63	704.97	27.38	1,148.97	418.20	376.11	908.42	1,702.73	320.13	259.81	24.30	36.01	18.84
7	19.46	0.13	499.95	621.64	17.97	1,139.57	418.20	246.90	910.49	1,575.58	320.13	262.70	24.10	33.32	17.94
Acuñ.	21.83	0.23	583.28	538.32	5.42	1,127.02	418.20	74.49	913.26	1,405.95	320.13	266.55	23.84	29.74	16.73
8	22.70	0.23	583.28	0.00	3.13	586.41	418.20	42.99	1,035.80	1,496.99	320.13	276.06	12.40	31.66	13.76
9	25.94	0.39	666.60	0.00	29.81	696.41	418.20	409.53	1,010.34	1,838.07	320.13	266.52	14.73	38.88	16.74
10	29.19	0.61	749.93	0.00	54.95	804.88	418.20	754.87	985.50	2,158.57	320.13	257.45	17.02	45.65	19.58
11	32.43	0.90	833.25	0.00	65.76	899.01	418.20	903.42	964.15	2,285.77	320.13	252.77	19.01	48.34	21.04
															$\Delta f_p = 18.47$



DATOS GENERALES PARA LA ESTIMACIÓN DEL PRESFUERZO

DATOS GEOMETRICOS.

CABLE # = **2**
 LONGITUD DE LA TRABE = **32.73** m
 PROFUNDIDAD CAJA IZQUIERDA(Dx1) = **0.15** m
 PROFUNDIDAD CAJA DERECHA (Dx2) = **0.15** m
 SECCIONES A ANALIZAR = **10**

CARACTERISTICAS GEOMETRICAS DE LA TRABE.

TRABE SECCIÓN CAJÓN

SECCIÓN SIMPLE

AREA DE LA TRABE (A) = **14,193.00 cm²**
 PRFUNDIDAD DEL EJE NEUTRO (Y_i) = **96.60** cm
 PRFUNDIDAD DEL EJE NEUTRO (Y_s) = **73.40** cm
 MOMENTO DE INERCIA (I_s) = **50,134,692.00 cm⁴**
 Modulo, Si = **518,969.00 cm³**
 Modulo, S_s = **683,074.00 cm³**
 Radio, r_x = **59.43** cm

b_{sup} = **196.54**
 d₁ = **20**
 d₂ = **20**
 d₃ = **95**
 d₄ = **15**
 d₅ = **20**
 bw = **40**
 b_{inf} = **600**
 h = **170**
 t₁ = **0**

SECCIÓN COMPUESTA

AREA DE LA TRABE (A) = **14,193.00 cm²**
 PRFUNDIDAD DEL EJE NEUTRO (Y_i) = **96.60** cm
 PRFUNDIDAD DEL EJE NEUTRO (Y_s) = **73.40** cm
 MOMENTO DE INERCIA (I_s) = **50,134,692.00 cm⁴**
 Modulo, Si = **518,969.00 cm³**
 Modulo, S_s = **683,074.00 cm³**
 Radio, r_x = **59.43** cm

n_b e = **196.54**
 b_{sup} = **196.54**
 d₁ = **20**
 d₂ = **20**
 d₃ = **95**
 d₄ = **15**
 d₅ = **20**
 bw = **40**
 b_{inf} = **600**
 h = **170**
 t₁ = **0**

CARACTERÍSTICAS DEL CONCRETO

CONCRETO F'C = **450** kg/cm²

DATOS DEL CABLE DE PRESFUERZO.

CARACTERÍSTICAS DEL CABLE

Cable (tipo) = **15T15**
 Ep (kg/mm²) = **20,400.00**
 frg (kg/mm²) = **189.20**
 fru (kg/mm²) = **160.20**
 Tensado = **0.80**
 A (mm²) = **2,115.00**
 fo (kg/mm²) = **151.36**

Simbología.

Cable formado por torones de baja relajación
 Modulo de elasticidad del acero de presfuerzo
 Esfuerzo de ruptura del acero de presfuerzo
 Esfuerzo de fluencia del acero de presfuerzo
 Factor de tensado del acero de presfuerzo
 Área transversal del acero de presfuerzo
 Esfuerzo de tensado del acero de presfuerzo

COEFICIENTES UTILIZADOS

Coeficiente de fricción por desarrollo lineal, κ = **0.0002**
 Coeficiente de fricción por curvatura, μ = **0.25**
 Deslizamiento del anclaje (entrada de cono), Δ = **6** mm
 Relajacion = **3.5%**

TRAZO DEL CABLE

ENTRADA DEL CABLE (Y ₁) =	0.8 mts.	e =	0.00025
SALIDA DEL CABLE (Y ₁) =	0.8 mts.	r t =	0.18
CABLE AL C. CLARO(Y _{cc}) =	0.1 mts.		
No. DE CABLES =	6		



CALCULO DE PERDIDAS POR FRICTION.

CARACTERISTICAS GEOMETRICAS		COEFICIENTES UTILIZADOS		DATOS DEL CABLE	
L trabe (m) =	32.73	κ =	0.0002	Cable (tipo) =	15T15
$\Delta x 1$ (m) =	0.15	μ =	0.25	E_p (kg/mm ²) =	20,400.00
$\Delta x 2$ (m) =	0.15	Δ =	6 mm	f_{rg} (kg/Cm ²) =	18,920.00
Δx cable (m) =	32.43	Relajacion =	3.50% a 100 hrs.	Tensado al =	0.80
No.Secc. =	10	Δm fricción = <u>25.694</u> (Pendiente por fricción)		f_o (kg/cm ²) =	15,136.00
Δx =	3.243			A (mm ²) =	2,115.00
Δy c.claro =	10			CABLE : <u>2</u>	

Sección	(X)	(X)	Yi	ΔY_i	$\frac{2 \Delta y}{x}$	$\frac{2 \Delta y}{x}$	α	α acumulado	f_i (kg/cm ²)	Δf_i
	Partiendo del C. Claro	partiendo del apoyo (m)	Desde el patín inf. de trabe (cm)	(m)	(radianes)	(rad) parcial	(grados)	(grados)	Esfzo. después de perdidas por fricción	Perdida por fricción (kg/cm ²)
1	16.22	0.00	90.00	0.80	0.00	0.02	0.00	0.00	15,136.00	0.00
2	12.97	3.24	61.20	0.51	0.02	0.02	1.13	1.13	15,052.67	83.33
3	9.73	6.49	38.80	0.29	0.04	0.02	2.26	2.26	14,969.35	166.65
4	6.49	9.73	22.80	0.13	0.06	0.02	3.39	3.39	14,886.02	249.98
5	3.24	12.97	13.20	0.03	0.08	0.02	4.52	4.52	14,802.70	333.30
6	0.00	16.22	10.00	0.00	0.10	0.10	5.65	5.65	14,719.37	416.63
7	3.24	19.46	13.20	0.03	0.08	0.02	4.52	6.78	14,636.05	499.95
8	6.49	22.70	22.80	0.13	0.06	0.02	3.39	7.92	14,552.72	583.28
9	9.73	25.94	38.80	0.29	0.04	0.02	2.26	9.05	14,469.40	666.60
10	12.97	29.19	61.20	0.51	0.02	0.02	1.13	10.18	14,386.07	749.93
11	16.22	32.43	90.00	0.80	0.00	0.02	0.00	11.31	14,302.75	833.25

CÁLCULO DE LA LONGITUD DE INFLUENCIA POR ENTRADA DE CONO																	
Ep (Δ) =	1,224,000.00	kg/cm ²															
Δm fricción =	25.694	kg/cm ² /m	CALCULO DEL ESFUERZO AL PUNTO DE INFLUENCIA POR ENTRADA DE CONO.														
d =	2,182.6058	cm	Izquierdo														
(*) d =	21.83	m	(*) f_i (d) = 14,575.20 kg/mm²														
COMENTARIO : TENSAR EL CABLE POR UN LADO																	
FÓRMULAS EMPLEADAS																	
$\Delta_m = f_o - \frac{f_{L/2}}{L/2}$	Ec_____	(1) Pendiente por fricción															
$d = \sqrt{\frac{E_p (A)}{\Delta m \text{ fricción}}}$	Ec_____	(3) Longitud de influencia por entrada de cuña															
$\Delta f_o = f_o e^{-(k x + \mu)}$	Ec_____	(2) Perdidas por fricción y curvatura															



CALCULO DE ESFUERZOS DE ACUÑAMIENTO.

Sección	f_i (kg/cm ²) Esfuerzo después de perdidas por fricción.	$f_{acuñ.}$ (kg/cm ²)	$\Delta_{acuñ.} = \frac{f_i(d) - f_e}{d_{acuñ.}}$ Ec_____ (4) Pendiente por acuñamiento
1	15,136.00	14,014.40	
2	15,052.67	14,097.73	
3	14,969.35	14,181.06	
4	14,886.02	14,264.38	
5	14,802.70	14,347.71	
6	14,719.37	14,431.03	
7	14,636.05	14,514.36	
Acuñamiento	14,575.20	14,597.68	$f_e = f_o - [2(f_0 - f_i(d))]$ Ec_____ (5) Esfuerzo en el anclaje después de ocurrido el acuñamiento $f(e) = 14,014.40$ $\Delta m_{acuñ.} = 25.694$
8	14,552.72		
9	14,469.40		
10	14,386.07		
11	14,302.75		

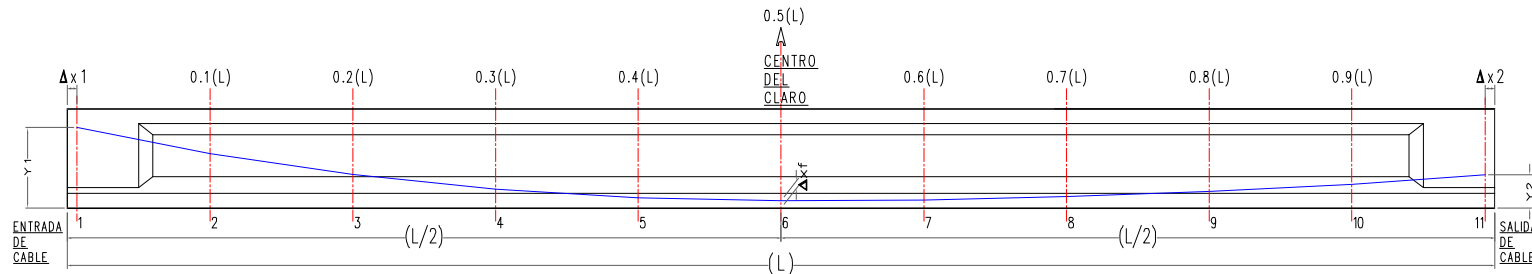
GRÁFICA DE ESFUERZOS

Sección	Abcisa (mts)	f_i (kg/cm ²)	$f_{acuñ}$ (kg/cm ²)	Long. Cable (cm)	Alarg. (mm)
1	0.00	15,136.00	14,014.40	325.58	24.09
2	3.24	15,052.67	14,097.73	325.07	23.92
3	6.49	14,969.35	14,181.06	324.69	23.76
4	9.73	14,886.02	14,264.38	324.44	23.61
5	12.97	14,802.70	14,347.71	324.32	23.47
6	16.22	14,719.37	14,431.03	324.32	23.33
7	19.46	14,636.05	14,514.36	324.44	23.23
Acuñ.	21.83	14,575.20	14,597.68	324.44	23.21
8	22.70	14,552.72		324.44	23.10
9	25.94	14,469.40		324.69	22.99
10	29.19	14,386.07		325.07	22.89
11	32.43	14,302.75		325.58	

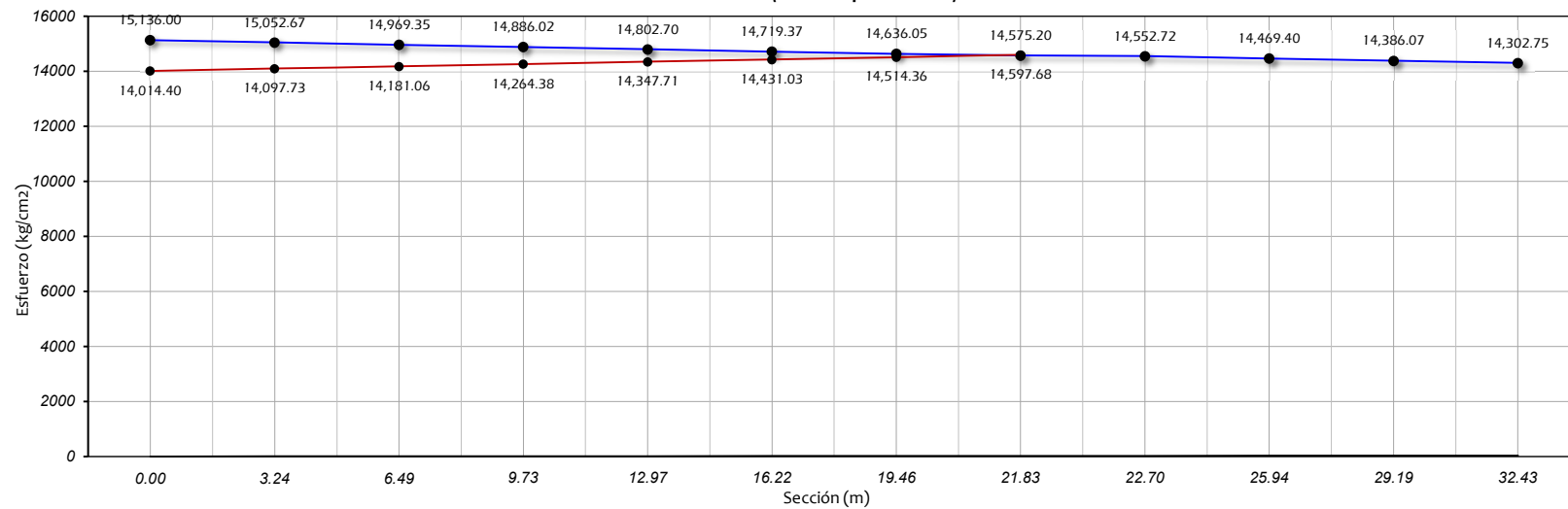
Alargamiento del cable, mm = **257.60**



GRAFICA DE ESFUERZOS (TENSADO POR UN SOLO LADO)



Grafica de esfuerzos (tensado por un lado)





PERDIDAS POR ACORTAMIENTO ELASTICO

Características de los materiales.

$f_c = 450$ Kg/cm²

$E_{ci} = 296,984.85$ Kg/cm²

Características de la trabe.

$A = 14,193.00$ cm²

$Y_i = 96.60$ cm

$Y_s = 73.40$ cm

$I = 50,134,692.00$ cm⁴

Características del presfuerzo.

Cable = 15T15

$E_p = 20,400.00$ Kg/cm²

$F_{rg} = 189.20$ Kg/cm²

Tensado al = 0.80

$F_o = 151.36$ Kg/cm²

Apresf = 2,115.00 mm²

$r^2 = 0.35$

$N = 6.00$ Cables

Momentos por peso propio.

Sección simple

$$M_x = \frac{W_{popo}}{2} * [L(X) - X^2] \quad Ec. \underline{\hspace{2cm}} \quad (6)$$

$$V_x = W_{popo} \left(\frac{L}{2} - X \right) \quad Ec. \underline{\hspace{2cm}} \quad (7)$$

$$0 \leq X \leq \frac{L}{2} \quad Condición \ de \ apoyo \ simple$$

$W_{popo} = 3.406$ ton/m

Claro (L) = 32.73

$n = 6.869$

Sección	(X)	f_I kg/cm ²	$f_{aciñ}$ kg/cm ²	$f_I(r)$ kg/cm ²	$M_{po.po}$ t - m	Δy_i cm	e m	e_2 m ²	P_i ton
1	0.00	15,136.00	14,014.40	14,014.40	0.00	0.80	0.17	0.03	296.40
2	3.24	15,052.67	14,097.73	14,097.73	162.87	0.51	0.45	0.21	298.17
3	6.49	14,969.35	14,181.06	14,181.06	289.91	0.29	0.68	0.46	299.93
4	9.73	14,886.02	14,264.38	14,264.38	381.13	0.13	0.84	0.70	301.69
5	12.97	14,802.70	14,347.71	14,347.71	436.52	0.03	0.93	0.87	303.45
6	16.22	14,719.37	14,431.03	14,431.03	456.09	0.00	0.97	0.93	305.22
7	19.46	14,636.05	14,514.36	14,514.36	436.52	0.03	0.93	0.87	306.98
Acuñ.	21.83	14,575.20	14,597.68	14,575.20	399.60	0.13	0.84	0.70	308.27
8	22.70	14,552.72		14,552.72	381.13	0.13	0.84	0.70	307.79
9	25.94	14,469.40		14,469.40	289.91	0.29	0.68	0.46	306.03
10	29.19	14,386.07		14,386.07	162.87	0.51	0.45	0.21	304.27
11	32.43	14,302.75		14,302.75	0.00	0.80	0.17	0.03	302.50

Sección	P/A kg/cm ²	$1+(e_2/r^2)$	$M_{o e / I}$ kg/cm ²	f_c kg/cm ²	Δf kg/cm ²
1	20.88	1.08	0	22.51	64.434
2	21.01	1.58	14.75	18.52	53.000
3	21.13	2.30	39.21	9.43	26.980
4	21.26	2.99	63.71	0.19	0.546
5	21.38	3.47	81.32	7.14	20.438
6	21.50	3.64	87.88	9.57	27.377
7	21.63	3.47	81.32	6.28	17.972
Acuñamiento	21.72	2.99	66.79	1.89	5.422
8	21.69	2.99	63.71	1.09	3.129
9	21.56	2.30	39.21	10.42	29.810
10	21.44	1.58	14.75	19.20	54.947
11	21.31	1.08	0.00	22.98	65.760

FORMULAS EMPLEADAS

$$\Delta_f = \frac{N - 1}{2N} * \frac{E_p}{E_{ci}} * f_c \quad Ec. \underline{\hspace{2cm}} \quad (8)$$

$$f_c = \frac{P}{A} * \left(1 + \frac{e^2}{r^2} \right) + \left(\frac{M_{popo} * e}{I} \right) \quad Ec. \underline{\hspace{2cm}} \quad (9)$$

$$n = \frac{E_p}{E_{ci}} \quad Ec. \underline{\hspace{2cm}} \quad (10)$$

$$r^2 = \frac{I}{A} \quad Ec. \underline{\hspace{2cm}} \quad (11)$$



PERDIDAS DIFERIDAS

CONTRACCIÓN DEL CONCRETO

Características de los materiales.

$$\epsilon = 0.00025$$

$$E_p = 20400$$

$$r_t = 0.18$$

Formulas

$$\Delta f_c = E_p * \epsilon (1 - r_t) \quad Ec. \text{_____} (12)$$

$$\Delta f_c = 418.200 \quad \text{Kg/cm}^2$$

Sección	Abcisa m	Δf_c kg/cm^2
1	0.00	418.20
2	3.24	418.20
3	6.49	418.20
4	9.73	418.20
5	12.97	418.20
6	16.22	418.20
7	19.46	418.20
Acuñamiento	21.83	418.20
8	22.70	418.20
9	25.94	418.20
10	29.19	418.20
11	32.43	418.20

Resumen de perdidas Instantáneas

Sección	Abcisa m	$\Delta f_{\text{fricción}}$ kg/cm^2	$\Delta \sigma_{\text{E.cono}}$ kg/cm^2	$\Delta \sigma_{\text{A.elástico}}$ kg/cm^2	$\Delta \sigma_{\text{total instantáneas}}$ kg/cm^2	(*) σ_i kg/cm^2
1	0.00	0.00	1,121.60	64.43	1,186.03	13,949.97
2	3.24	83.33	1,038.27	53.00	1,174.59	13,961.41
3	6.49	166.65	954.94	26.98	1,148.57	13,987.43
4	9.73	249.98	871.62	0.55	1,122.14	14,013.86
5	12.97	333.30	788.29	20.44	1,142.03	13,993.97
6	16.22	416.63	704.97	27.38	1,148.97	13,987.03
7	19.46	499.95	621.64	17.97	1,139.57	13,996.43
Acuñamiento	21.83	583.28	538.32	5.42	1,127.02	14,008.98
8	22.70	583.28		3.13	586.41	14,549.59
9	25.94	666.60		29.81	696.41	14,439.59
10	29.19	749.93		54.95	804.88	14,331.12
11	32.43	833.25		65.76	899.01	14,236.99

(*)
Esfuerzo en el cable después
de ocurridas las perdidas
instantáneas.



FLUJO PLASTICO DEL CONCRETO

MOMENTOS POR PESO PROPIO

Sección compuesta

$$M_x = \frac{W_{popo}}{2} * [L(X) - X^2]$$

$$V_x = W_{popo} \left(\frac{L}{2} - X \right)$$

CARACTERÍSTICAS DE LOS MATERIALES

$E_p = 20,400.00$ kg/cm

$E_{ci} = 296,984.85$ kg/cm

$n = 6.87$

$$0 \leq X \leq \frac{L}{2} \quad \text{Condición de apoyo simple}$$

$W_{(popo)} = 3.406$ ton/m

Claro (L) = 32.73

CARACTERÍSTICAS DE LA TRABE

Sección compuesta

$A = 14,193.00$ cm²

$Y_i = 96.60$ cm

$Y_s = 73.40$ cm

$I = 50,134,692.00$ cm⁴

FORMULAS EMPLEADAS

$$\Delta f_f = 2 * f_i \left(\frac{E_p}{E_c} \right) \quad \text{Ec. (13)}$$

$$f_c = \frac{P}{A} \left(1 + \frac{e^2}{r^2} \right) + \left(\frac{M_{pp} * e}{I} \right) \quad \text{Ec. (14)}$$

$$n = \frac{E_p}{E_{ci}}$$

$$r^2 = \frac{I}{A}$$

Sección	Abcisa m	σ_i después de ΔI_{inst} kg/cm ²	M po.po (t - m)	$M o / I$ (kg/cm ²)	f c (kg/cm ²)	Δf Sec. compuesta kg/cm ²	Δf Sec. Simple kg/cm ²	Δf kg/cm ²
			Sec. Comp					
1	0.00	13,949.97	0.00	0.00	22.51	64.43	64.43	885.21
2	3.24	13,961.41	162.87	14.75	18.52	53.00	53.00	728.12
3	6.49	13,987.43	289.91	39.21	9.43	26.98	26.98	370.65
4	9.73	14,013.86	381.13	63.71	-0.19	-0.55	0.55	7.49
5	12.97	13,993.97	436.52	81.32	-7.14	-20.44	20.44	280.77
6	16.22	13,987.03	456.09	87.88	-9.57	-27.38	27.38	376.11
7	19.46	13,996.43	439.84	81.94	-6.90	-19.74	17.97	246.90
Acuñamiento	21.83	14,008.98	405.34	67.75	-2.85	-8.17	5.42	74.49
8	22.70	14,549.59	387.76	64.81	-0.01	-0.04	3.13	42.99
9	25.94	14,439.59	299.85	40.55	9.07	25.96	29.81	409.53
10	29.19	14,331.12	176.12	15.95	18.00	51.51	54.95	754.87
11	32.43	14,236.99	16.57	0.55	22.43	64.19	65.76	903.42

RELAJACION DEL ACERO DE PRESFUERZO.

Datos : $f_{rg} = 18,920.00$

$P(1000)hrs = 3.5$

$\mu_o = 0.43$

Sección	Abcisa m o =	σ_i después de ΔI_{inst} kg/cm ²	Δf_r Sec. Compuesta t-m
1	0.00	13,949.97	900.27
2	3.24	13,961.41	902.78
3	6.49	13,987.43	908.50
4	9.73	14,013.86	914.33
5	12.97	13,993.97	909.95
6	16.22	13,987.03	908.42
7	19.46	13,996.43	910.49
Acuñamiento	21.83	14,008.98	913.26
8	22.70	14,549.59	1,035.80
9	25.94	14,439.59	1,010.34
10	29.19	14,331.12	985.50
11	32.43	14,236.99	964.15

FORMULA EMPLEADA

$$\Delta f_r = \frac{6}{100} * \left(\frac{f_{pi}}{f_{rg}} - \mu_o \right) * f_{pi} * P_{1000 hrs} \quad \text{Ec. (15)}$$



RESUMEN DE PERDIDAS

Sección	Abcisa m	$\Delta \sigma$ fricción kg/cm²	$\Delta \sigma$ E. cono kg/cm²	$\Delta \sigma$ A. Elástico kg/cm²	$\Delta \sigma$ total Instantáneas kg/cm²	$\Delta \sigma$ Contracción kg/cm²	$\Delta \sigma$ Flujo plástico kg/cm²	$\Delta \sigma$ Relajación kg/cm²	$\Delta \sigma$ total Diferidas kg/cm²
1	0.00	0.00	1,121.60	64.43	1,186.03	418.20	885.21	900.27	2,203.68
2	3.24	83.33	1,038.27	53.00	1,174.59	418.20	728.12	902.78	2,049.10
3	6.49	166.65	954.94	26.98	1,148.57	418.20	370.65	908.50	1,697.35
4	9.73	249.98	871.62	0.55	1,122.14	418.20	7.49	914.33	1,340.03
5	12.97	333.30	788.29	20.44	1,142.03	418.20	280.77	909.95	1,608.92
6	16.22	416.63	704.97	27.38	1,148.97	418.20	376.11	908.42	1,702.73
7	19.46	499.95	621.64	17.97	1,139.57	418.20	246.90	910.49	1,575.58
Acumamiento	21.83	583.28	538.32	5.42	1,127.02	418.20	74.49	913.26	1,405.95
8	22.70	583.28	0.00	3.13	586.41	418.20	42.99	1,035.80	1,496.99
9	25.94	666.60	0.00	29.81	696.41	418.20	409.53	1,010.34	1,838.07
10	29.19	749.93	0.00	54.95	804.88	418.20	754.87	985.50	2,158.57
11	32.43	833.25	0.00	65.76	899.01	418.20	903.42	964.15	2,285.77

Sección	Abcisa m	Δ total Instantáneas kg/cm²	Δ total Diferidas kg/cm²	σ o Esfzo. Inicial kg/cm²	σ i Esfzo. Final kg/cm²	Fo Fuerza final ton.	Δ (%) perdidas instantáneas	Δ (%) perdidas diferidas	Δ (%) perdidas totales
1	0.00	1,186.03	2,203.68	15,136.00	11,746.29	248.43	7.84	14.56	22.40
2	3.24	1,174.59	2,049.10	15,136.00	11,912.31	251.95	7.76	13.54	21.30
3	6.49	1,148.57	1,697.35	15,136.00	12,290.07	259.93	7.59	11.21	18.80
4	9.73	1,122.14	1,340.03	15,136.00	12,673.83	268.05	7.41	8.85	16.27
5	12.97	1,142.03	1,608.92	15,136.00	12,385.05	261.94	7.55	10.63	18.17
6	16.22	1,148.97	1,702.73	15,136.00	12,284.30	259.81	7.59	11.25	18.84
7	19.46	1,139.57	1,575.58	15,136.00	12,420.85	262.70	7.53	10.41	17.94
Acumamiento	21.83	1,127.02	1,405.95	15,136.00	12,603.03	266.55	7.45	9.29	16.73
8	22.70	586.41	1,496.99	15,136.00	13,052.60	276.06	3.87	9.89	13.76
9	25.94	696.41	1,838.07	15,136.00	12,601.51	266.52	4.60	12.14	16.74
10	29.19	804.88	2,158.57	15,136.00	12,172.56	257.45	5.32	14.26	19.58
11	32.43	899.01	2,285.77	15,136.00	11,951.22	252.77	5.94	15.10	21.04



RESUMEN FINAL.

CABLE:

2

Sección	Abcisa m	Ordenada m	Δ σ total Instantáneas kg/cm ²	Δ σ total Diferidas kg/cm ²	σ o Esfzo. Inicial kg/cm ²	σ i Esfzo. Final kg/cm ²	Fo Fuerza inicial ton.	Fo Fuerza final ton.	Δ Fo Instantáneas ton.	Δ Fo diferidas ton.
1	0.00	0.90	1,186.03	2,203.68	15,136.00	11,746.29	320.13	248.43	25.08	46.61
2	3.24	0.61	1,174.59	2,049.10	15,136.00	11,912.31	320.13	251.95	24.84	43.34
3	6.49	0.39	1,148.57	1,697.35	15,136.00	12,290.07	320.13	259.93	24.29	35.90
4	9.73	0.23	1,122.14	1,340.03	15,136.00	12,673.83	320.13	268.05	23.73	28.34
5	12.97	0.13	1,142.03	1,608.92	15,136.00	12,385.05	320.13	261.94	24.15	34.03
6	16.22	0.10	1,148.97	1,702.73	15,136.00	12,284.30	320.13	259.81	24.30	36.01
7	19.46	0.13	1,139.57	1,575.58	15,136.00	12,420.85	320.13	262.70	24.10	33.32
Acuñamiento	21.83	0.23	1,127.02	1,405.95	15,136.00	12,603.03	320.13	266.55	23.84	29.74
8	22.70	0.23	586.41	1,496.99	15,136.00	13,052.60	320.13	276.06	12.40	31.66
9	25.94	0.39	696.41	1,838.07	15,136.00	12,801.51	320.13	266.52	14.73	38.88
10	29.19	0.61	804.88	2,158.57	15,136.00	12,172.56	320.13	257.45	17.02	45.65
11	32.43	0.90	899.01	2,285.77	15,136.00	11,951.22	320.13	252.77	19.01	48.34

TABLA RESUMEN DE PERDIDAS

2

Sección	Abcisa (X) m	Ordenada (Y) m	Δ σf fricción kg/cm ²	Δ σf E. cono kg/cm ²	Δ σf A. elástico kg/cm ²	Δ σ total Instantáneas kg/cm ²	Δ σf Contracción kg/cm ²	Δ σf F. plástico kg/cm ²	Δ σf Relajación kg/cm ²	Δ σ total Diferidas kg/cm ²	Fo Fuerza inicial ton.	Fo Fuerza final ton.	Δ Fo Instantáneas ton.	Δ Fo diferidas ton.	% Perdidas ton.
1	0.00	0.90	0.00	1,121.60	64.43	1,186.03	418.20	885.21	900.27	2,203.68	320.13	248.43	25.08	46.61	22.40
2	3.24	0.61	83.33	1,038.27	53.00	1,174.59	418.20	728.12	902.78	2,049.10	320.13	251.95	24.84	43.34	21.30
3	6.49	0.39	166.65	954.94	26.98	1,148.57	418.20	370.65	908.50	1,697.35	320.13	259.93	24.29	35.90	18.80
4	9.73	0.23	249.98	871.62	0.55	1,122.14	418.20	7.49	914.33	1,340.03	320.13	268.05	23.73	28.34	16.27
5	12.97	0.13	333.30	788.29	20.44	1,142.03	418.20	280.77	909.95	1,608.92	320.13	261.94	24.15	34.03	18.17
6	16.22	0.10	416.63	704.97	27.38	1,148.97	418.20	376.11	908.42	1,702.73	320.13	259.81	24.30	36.01	18.84
7	19.46	0.13	499.95	621.64	17.97	1,139.57	418.20	246.90	910.49	1,575.58	320.13	262.70	24.10	33.32	17.94
Acuñ.	21.83	0.23	583.28	538.32	5.42	1,127.02	418.20	74.49	913.26	1,405.95	320.13	266.55	23.84	29.74	16.73
8	22.70	0.23	583.28	0.00	3.13	586.41	418.20	42.99	1,035.80	1,496.99	320.13	276.06	12.40	31.66	13.76
9	25.94	0.39	666.60	0.00	29.81	696.41	418.20	409.53	1,010.34	1,838.07	320.13	266.52	14.73	38.88	16.74
10	29.19	0.61	749.93	0.00	54.95	804.88	418.20	754.87	985.50	2,158.57	320.13	257.45	17.02	45.65	19.58
11	32.43	0.90	833.25	0.00	65.76	899.01	418.20	903.42	964.15	2,285.77	320.13	252.77	19.01	48.34	21.04
															$\Delta f_p = 18.47$



DATOS GENERALES PARA LA ESTIMACIÓN DE PÉRDIDAS

DATOS GEOMETRICOS.

CABLE # = **3**
 LONGITUD DE LA TRABE = **32.73** m
 PROFUNDIDAD CAJA IZQUIERDA(Dx1) = **0.15** m
 PROFUNDIDAD CAJA DERECHA (Dx2) = **0.15** m
 SECCIONES A ANALIZAR = **10**

CARACTERISTICAS GEOMETRICAS DE LA TRABE.

TRABE SECCIÓN CAJÓN

SECCIÓN SIMPLE

AREA DE LA TRABE (A) = **14,193.00 cm²**
 PRFUNDIDAD DEL EJE NEUTRO (Y_i) = **96.60** cm
 PRFUNDIDAD DEL EJE NEUTRO (Y_s) = **73.40** cm
 MOMENTO DE INERCIA (I_s) = **50,134,692.00 cm⁴**
 Modulo, Si = **518,969.00 cm³**
 Modulo, S_s = **683,074.00 cm³**
 Radio, r_x = **59.43** cm

b_{sup} = **196.54**
 d₁ = **20**
 d₂ = **20**
 d₃ = **95**
 d₄ = **15**
 d₅ = **20**
 bw = **40**
 b_{inf} = **600**
 h = **170**
 t₁ = **0**

SECCIÓN COMPUESTA

AREA DE LA TRABE (A) = **14,193.00 cm²**
 PRFUNDIDAD DEL EJE NEUTRO (Y_i) = **96.60** cm
 PRFUNDIDAD DEL EJE NEUTRO (Y_s) = **73.40** cm
 MOMENTO DE INERCIA (I_s) = **50,134,692.00 cm⁴**
 Modulo, Si = **518,969.00 cm³**
 Modulo, S_s = **683,074.00 cm³**
 Radio, r_x = **59.43** cm

n_b e = **196.54**
 b_{sup} = **196.54**
 d₁ = **20**
 d₂ = **20**
 d₃ = **95**
 d₄ = **15**
 d₅ = **20**
 bw = **40**
 b_{inf} = **600**
 h = **170**
 t₁ = **0**

CARACTERÍSTICAS DEL CONCRETO

CONCRETO F'C = **450** kg/cm²

DATOS DEL CABLE DE PRESFUERZO.

CARACTERÍSTICAS DEL CABLE

Cable (tipo) = **15T15**
 Ep (kg/mm²) = **20,400.00**
 frg (kg/mm²) = **189.20**
 fru (kg/mm²) = **160.20**
 Tensado = **0.80**
 A (mm²) = **2,115.00**
 fo (kg/mm²) = **151.36**

Simbología.

Cable formado por torones de baja relajación
 Modulo de elasticidad del acero de presfuerzo
 Esfuerzo de ruptura del acero de presfuerzo
 Esfuerzo de fluencia del acero de presfuerzo
 Factor de tensado del acero de presfuerzo
 Área transversal del acero de presfuerzo
 Esfuerzo de tensado del acero de presfuerzo

COEFICIENTES UTILIZADOS

Coeficiente de fricción por desarrollo lineal, κ = **0.0002**
 Coeficiente de fricción por curvatura, μ = **0.25**
 Deslizamiento del anclaje (entrada de cono), Δ = **6** mm
 Relajacion = **3.5%**

TRAZO DEL CABLE

ENTRADA DEL CABLE (Y ₁) =	0.4 mts.	e =	0.00025
SALIDA DEL CABLE (Y ₁) =	1.2 mts.	r t =	0.18
CABLE AL C. CLARO(Y _{cc}) =	0.1 mts.		
No. DE CABLES =	6		



CALCULO DE PERDIDAS POR FRICTION.

CARACTERISTICAS GEOMETRICAS		COEFICIENTES UTILIZADOS		DATOS DEL CABLE	
L trabe (m) =	32.73	κ =	0.0002	Cable (tipo) =	15T15
$\Delta x 1$ (m) =	0.15	μ =	0.25	E_p (kg/mm ²) =	20,400.00
$\Delta x 2$ (m) =	0.15	Δ =	6 mm	f_{rg} (kg/Cm ²) =	18,920.00
Δx cable (m) =	32.43	Relajacion =	3.50% a 100 hrs.	Tensado al =	0.80
No.Secc. =	10	Δm fricción = <u>36.822</u> (Pendiente por fricción)		f_o (kg/cm ²) =	15,136.00
Δx =	3.243			A (mm ²) =	2,115.00
Δy c.claro =	10			CABLE :	3

Sección	(X)	(X)	Yi	ΔY_i	$\frac{2 \Delta y}{x}$	$\frac{2 \Delta y}{x}$	α	α acumulado	f_i (kg/cm ²)	Δf_i
	Partiendo del C. Claro	partiendo del apoyo (m)	Desde el patín inf. de trabe (cm)	(m)	(radianes)	(rad) parcial	(grados)	(grados)	Esfzo. después de perdidas por fricción	Perdida por fricción (kg/cm ²)
1	16.22	0.00	50.00	0.40	0.00	0.01	0.00	0.00	15,136.00	0.00
2	12.97	3.24	35.60	0.26	0.01	0.01	0.57	0.57	15,016.59	119.41
3	9.73	6.49	24.40	0.14	0.02	0.01	1.13	1.13	14,897.17	238.83
4	6.49	9.73	16.40	0.06	0.03	0.01	1.70	1.70	14,777.76	358.24
5	3.24	12.97	11.60	0.02	0.04	0.11	2.26	2.26	14,658.35	477.65
6	0.00	16.22	10.00	0.00	0.15	0.15	8.48	8.48	14,538.94	597.06
7	3.24	19.46	14.80	0.05	0.12	0.03	6.78	10.18	14,419.52	716.48
8	6.49	22.70	29.20	0.19	0.09	0.03	5.09	11.87	14,300.11	835.89
9	9.73	25.94	53.20	0.43	0.06	0.03	3.39	13.57	14,180.70	955.30
10	12.97	29.19	86.80	0.77	0.03	0.03	1.70	15.26	14,061.28	1,074.72
11	16.22	32.43	130.00	1.20	0.00	0.03	0.00	16.96	13,941.87	1,194.13

CÁLCULO DE LA LONGITUD DE INFLUENCIA POR ENTRADA DE CONO																			
Ep (Δ) =	1,224,000.00 kg/cm ²																		
Δm fricción =	36.822 kg/cm ² /m									CÁLCULO DEL ESFUERZO AL PUNTO DE INFLUENCIA POR ENTRADA DE CONO.									
d =	1,823.2174 cm									Izquierdo									
(*) d =	18.23 m									(*) f_i (d) = 14,464.66 kg/mm ²									
COMENTARIO : TENSAR EL CABLE POR UN LADO																			
FÓRMULAS EMPLEADAS																			
$\Delta_m = f_o - \frac{f_{L/2}}{L/2}$	Ec_____	(1) Pendiente por fricción																	
$d = \sqrt{\frac{E_p (A)}{\Delta m \text{ fricción}}}$	Ec_____	(3) Longitud de influencia por entrada de cuña																	
$\Delta f_o = f_o e^{-(k x + \mu)}$	Ec_____	(2) Perdidas por fricción y curvatura																	



CALCULO DE ESFUERZOS DE ACUÑAMIENTO.

Sección	f_i (kg/cm ²) Esfuerzo después de perdidas por fricción.	f_{acuñ.} (kg/cm ²)	$\Delta_{acuñ.} = \frac{f_i(d) - f_e}{d_{acuñ.}}$ Ec_____ (4) Pendiente por acuñamiento
1	15,136.00	13,793.32	
2	15,016.59	13,912.73	
3	14,897.17	14,032.14	
4	14,777.76	14,151.56	
5	14,658.35	14,270.97	
6	14,538.94	14,390.38	
Acuñamiento	14,464.66	14,509.80	$f(e) = 13,793.32$
7	14,419.52		$\Delta m_{acuñ.} = 36.822$
8	14,300.11		
9	14,180.70		
10	14,061.28		
11	13,941.87		

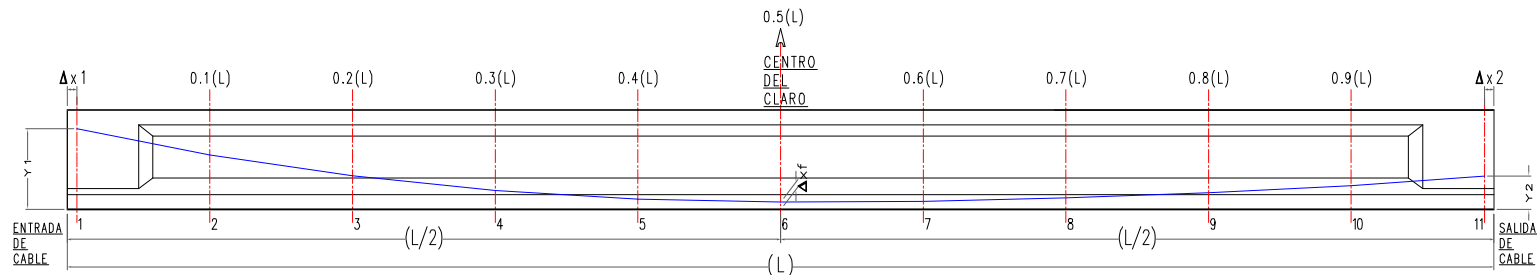
GRÁFICA DE ESFUERZOS

Sección	Abcisa (mts)	f_i (kg/cm ²)	f_{acuñ} (kg/cm ²)	Long. Cable (cm)	Alarg. (mm)
1	0.000	15,136.00	13,793.32		
2	3.243	15,016.59	13,912.73	324.62	23.99
3	6.486	14,897.17	14,032.14	324.49	23.79
4	9.729	14,777.76	14,151.56	324.40	23.59
5	12.972	14,658.35	14,270.97	324.34	23.40
6	16.215	14,538.94	14,390.38	324.30	23.21
Acuñ.	18.232	14,464.66	14,509.80	324.34	23.06
7	19.458	14,419.52		324.34	23.02
8	22.701	14,300.11		324.62	22.85
9	25.944	14,180.70		325.19	22.70
10	29.187	14,061.28		326.04	22.57
11	32.430	13,941.87		327.16	22.46

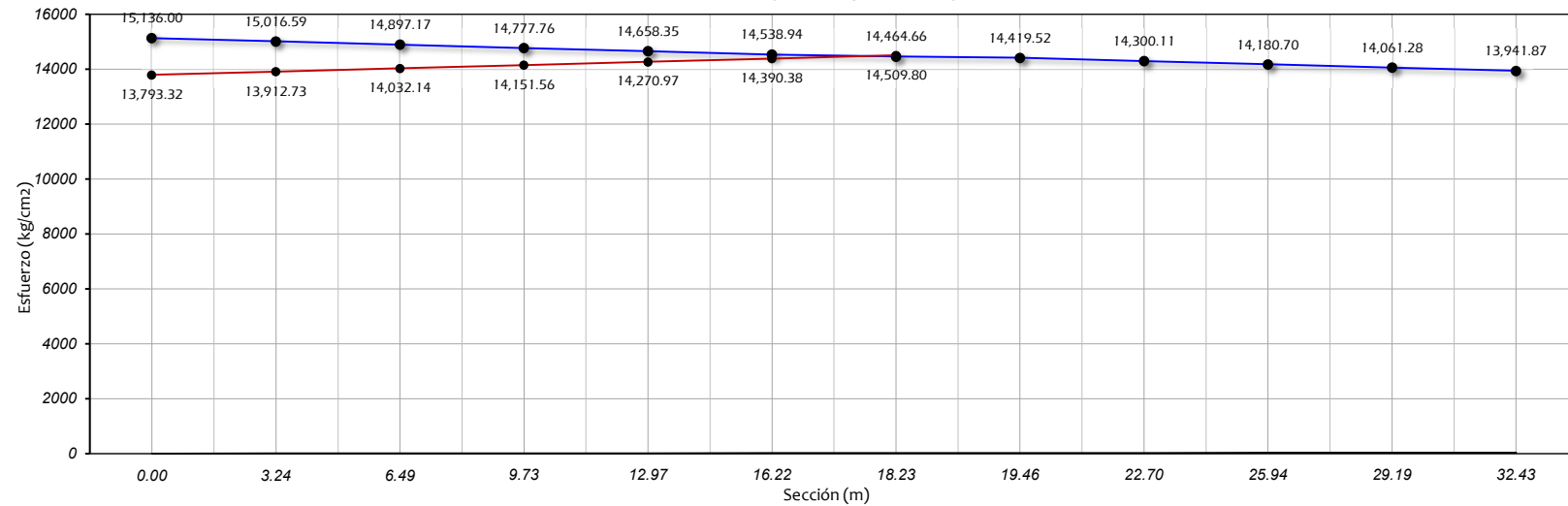
Alargamiento del cable, mm = [254.63](#)



GRAFICA DE ESFUERZOS (TENSADO POR UN SOLO LADO)



Grafica de esfuerzos (tensado por un lado)



**PERDIDAS POR ACORTAMIENTO ELASTICO****Características de los materiales.**

$f_c = 450 \text{ Kg/cm}^2$

$E_{ci} = 296,984.85 \text{ Kg/cm}^2$

Características de la trabe.

$A = 14,193.00 \text{ cm}^2$

$Y_i = 96.60 \text{ cm}$

$Y_s = 73.40 \text{ cm}$

$I = 50,134,692.00 \text{ cm}^4$

Características del presfuerzo.

$\text{Cable} = 15T15$

$E_p = 20,400.00 \text{ Kg/cm}^2$

$F_{rg} = 189.20 \text{ Kg/cm}^2$

$Tensado al = 0.80$

$F_o = 151.36 \text{ Kg/cm}^2$

$A_{presf} = 2,115.00 \text{ mm}^2$

$r^2 = 0.35$

$N = 6.00 \text{ Cables}$

Momentos por peso propio.Sección simple

$M_x = \frac{W_{popo}}{2} * [L(X) - X^2] \quad Ec. \underline{\hspace{2cm}}$ (6)

$V_x = W_{popo} \left(\frac{L}{2} - X \right) \quad Ec. \underline{\hspace{2cm}}$ (7)

$0 \leq X \leq \frac{L}{2} \quad Condición \ de \ apoyo \ simple$

$W_{popo} = 3.406 \text{ ton/m}$

$Claro (L) = 32.73$

$n = 6.869$

Sección	X	f_I kg/cm^2	$f_{acuñ}$ kg/cm^2	$f_I(r)$ kg/cm^2	$M_{po.po}$ $t \cdot m$	Δy_i cm	e m	e_2 m^2	P_i ton
1	0.00	15,136.00	13,793.32	13,793.32	0.00	0.40	0.57	0.32	291.73
2	3.24	15,016.59	13,912.73	13,912.73	162.87	0.26	0.71	0.50	294.25
3	6.49	14,897.17	14,032.14	14,032.14	289.91	0.14	0.82	0.68	296.78
4	9.73	14,777.76	14,151.56	14,151.56	381.13	0.06	0.90	0.81	299.31
5	12.97	14,658.35	14,270.97	14,270.97	436.52	0.02	0.95	0.90	301.83
6	16.22	14,538.94	14,390.38	14,390.38	456.09	0.00	0.97	0.93	304.36
Acuñ.	18.23	14,464.66	14,509.80	14,464.66	450.19	0.05	0.92	0.84	305.93
7	19.46	14,419.52		14,419.52	436.52	0.05	0.92	0.84	304.97
8	22.70	14,300.11		14,300.11	381.13	0.19	0.77	0.60	302.45
9	25.94	14,180.70		14,180.70	289.91	0.43	0.53	0.29	299.92
10	29.19	14,061.28		14,061.28	162.87	0.77	0.20	0.04	297.40
11	32.43	13,941.87		13,941.87	0.00	1.20	-0.23	0.05	294.87

Sección	P/A kg/cm^2	$1+(e_2/r^2)$ kg/cm^2	$Mo e / I$ kg/cm^2	f_c kg/cm^2	Δf kg/cm^2
1	20.55	1.91	0.00	39.20	112.18
2	20.73	2.43	23.06	27.25	78.00
3	20.91	2.91	47.53	13.38	38.28
4	21.09	3.30	68.57	1.09	3.12
5	21.27	3.55	82.72	7.12	20.37
6	21.44	3.64	87.88	9.79	28.01
Acuñamiento	21.55	3.39	82.43	9.45	27.06
7	21.49	3.39	79.93	7.18	20.55
8	21.31	2.70	58.84	1.39	3.98
9	21.13	1.81	30.88	7.31	20.93
10	20.95	1.11	6.43	16.85	48.22
11	20.78	1.16	0.00	24.00	68.68

FORMULAS EMPLEADAS

$$\Delta_f = \frac{N - 1}{2N} * \frac{E_p}{E_{ci}} * f_c \quad Ec. \underline{\hspace{2cm}} \quad (8)$$

$$f_c = \frac{P}{A} * \left(1 + \frac{e^2}{r^2} \right) + \left(\frac{M_{popo} * e}{I} \right) \quad Ec. \underline{\hspace{2cm}} \quad (9)$$

$$n = \frac{E_p}{E_{ci}} \quad Ec. \underline{\hspace{2cm}} \quad (10)$$

$$r^2 = \frac{I}{A} \quad Ec. \underline{\hspace{2cm}} \quad (11)$$



PERDIDAS DIFERIDAS

CONTRACCIÓN DEL CONCRETO

Características de los materiales.

$$\epsilon = 0.00025$$

$$E_p = 20400$$

$$r_t = 0.18$$

Formulas

$$\Delta f_c = E_p * \epsilon (1 - r_t) \quad Ec. \text{_____} (12)$$

$$\Delta f_c = 418.200 \quad \text{Kg/cm}^2$$

Sección	Abcisa m	Δf_c kg/cm^2
1	0.00	418.20
2	3.24	418.20
3	6.49	418.20
4	9.73	418.20
5	12.97	418.20
6	16.22	418.20
Acuñamiento	18.23	418.20
7	19.46	418.20
8	22.70	418.20
9	25.94	418.20
10	29.19	418.20
11	32.43	418.20

Resumen de perdidas Instantáneas

Sección	Abcisa m	$\Delta f_{\text{fricción}}$ kg/cm^2	$\Delta \sigma$ E.cono kg/cm^2	$\Delta \sigma$ A.elástico kg/cm^2	$\Delta \sigma_{\text{total}}$ Instantáneas kg/cm^2	(*) σ_i kg/cm^2
1	0.00	0.00	1,342.68	112.18	1,454.86	13,681.14
2	3.24	119.41	1,223.27	78.00	1,420.69	13,715.31
3	6.49	238.83	1,103.86	38.28	1,380.96	13,755.04
4	9.73	358.24	984.44	3.12	1,345.80	13,790.20
5	12.97	477.65	865.03	20.37	1,363.05	13,772.95
6	16.22	597.06	745.62	28.01	1,370.69	13,765.31
Acuñamiento	18.23	716.48	626.20	27.06	1,369.74	13,766.26
7	19.46	716.48		20.55	737.02	14,398.98
8	22.70	835.89		3.98	839.87	14,296.13
9	25.94	955.30		20.93	976.23	14,159.77
10	29.19	1,074.72		48.22	1,122.93	14,013.07
11	32.43	1,194.13		68.68	1,262.81	13,873.19

(*)
Esfuerzo en el cable después
de ocurridas las perdidas
instantáneas.



FLUJO PLASTICO DEL CONCRETO

MOMENTOS POR PESO PROPIO

Sección compuesta

$$M_x = \frac{W_{popo}}{2} * [L(X) - X^2]$$

$$V_x = W_{popo} \left(\frac{L}{2} - X \right)$$

CARACTERÍSTICAS DE LOS MATERIALES

$E_p = 20,400.00$ kg/cm

$E_{ci} = 296,984.85$ kg/cm

$n = 6.87$

$$0 \leq X \leq \frac{L}{2} \quad \text{Condición de apoyo simple}$$

$W_{(popo)} = 3.406$ ton/m

Claro (L) = 32.73

CARACTERÍSTICAS DE LA TRABE

Sección compuesta

$A = 14,193.00$ cm²

$Y_i = 96.60$ cm

$Y_s = 73.40$ cm

$I = 50,134,692.00$ cm⁴

FORMULAS EMPLEADAS

$$\Delta f_f = 2 * f_i \left(\frac{E_p}{E_c} \right) \quad \text{Ec. (13)}$$

$$f_c = \frac{P}{A} \left(1 + \frac{e^2}{r^2} \right) + \left(\frac{M_{pp} * e}{I} \right) \quad \text{Ec. (14)}$$

$$n = \frac{E_p}{E_{ci}}$$

$$r^2 = \frac{I}{A}$$

Sección	Abcisa m	σ_i después de ΔI_{inst} kg/cm ²	M po.po (t - m)	M_o / I (kg/cm ²)	f c (kg/cm ²)	Δf Sec. compuesta kg/cm ²	Δf Sec. Simple kg/cm ²	Δf kg/cm ²
			Sec. Comp					
1	0.00	13,681.14	0.00	0.00	39.20	112.18	112.18	1,541.16
2	3.24	13,715.31	162.87	23.06	27.25	78.00	78.00	1,071.64
3	6.49	13,755.04	289.91	47.53	13.38	38.28	38.28	525.92
4	9.73	13,790.20	381.13	68.57	1.09	3.12	3.12	42.86
5	12.97	13,772.95	436.52	82.72	-7.12	-20.37	20.37	279.79
6	16.22	13,765.31	456.09	87.88	-9.79	-28.01	28.01	384.78
Acuñamiento	18.23	13,766.26	450.19	82.43	-9.45	-27.06	27.06	371.74
7	19.46	14,398.98	439.84	80.54	-7.79	-22.28	20.55	282.27
8	22.70	14,296.13	387.76	59.86	-2.41	-6.91	3.98	54.65
9	25.94	14,159.77	299.85	31.94	6.25	17.90	20.93	287.48
10	29.19	14,013.07	161.21	6.37	16.91	48.41	48.22	662.42
11	32.43	13,873.19	16.57	-0.77	24.77	70.89	68.68	943.53

RELAJACION DEL ACERO DE PRESFUERZO.

Datos : $f_{rg} = 18,920.00$

$P(1000)hrs = 3.5$

$\mu_o = 0.43$

Sección	Abcisa m o =	σ_i después de ΔI_{inst} kg/cm ²	Δf_r Sec. Compuesta t-m
1	0.00	13,681.14	842.10
2	3.24	13,715.31	849.41
3	6.49	13,755.04	857.93
4	9.73	13,790.20	865.51
5	12.97	13,772.95	861.79
6	16.22	13,765.31	860.14
Acuñamiento	18.23	13,766.26	860.35
7	19.46	14,398.98	1,001.01
8	22.70	14,296.13	977.54
9	25.94	14,159.77	946.79
10	29.19	14,013.07	914.16
11	32.43	13,873.19	883.49

FORMULA EMPLEADA

$$\Delta f_r = \frac{6}{100} * \left(\frac{f_{pi}}{f_{rg}} - \mu_o \right) * f_{pi} * P_{1000 hrs} \quad \text{Ec. (15)}$$



RESUMEN DE PERDIDAS

Sección	Abcisa m	$\Delta \sigma$ fricción kg/cm²	$\Delta \sigma$ E. cono kg/cm²	$\Delta \sigma$ A. Elástico kg/cm²	$\Delta \sigma$ total Instantáneas kg/cm²	$\Delta \sigma$ Contracción kg/cm²	$\Delta \sigma$ Flujo plástico kg/cm²	$\Delta \sigma$ Relajación kg/cm²	$\Delta \sigma$ total Diferidas kg/cm²
1	0.00	0.00	1,342.68	112.18	1,454.86	418.20	1,541.16	842.10	2,801.46
2	3.24	119.41	1,223.27	78.00	1,420.69	418.20	1,071.64	849.41	2,339.24
3	6.49	238.83	1,103.86	38.28	1,380.96	418.20	525.92	857.93	1,802.05
4	9.73	358.24	984.44	3.12	1,345.80	418.20	42.86	865.51	1,326.56
5	12.97	477.65	865.03	20.37	1,363.05	418.20	279.79	861.79	1,559.78
6	16.22	597.06	745.62	28.01	1,370.69	418.20	384.78	860.14	1,663.12
Acuñamiento	18.23	716.48	626.20	27.06	1,369.74	418.20	371.74	860.35	1,650.28
7	19.46	716.48	0.00	20.55	737.02	418.20	282.27	1,001.01	1,701.48
8	22.70	835.89	0.00	3.98	839.87	418.20	54.65	977.54	1,450.40
9	25.94	955.30	0.00	20.93	976.23	418.20	287.48	946.79	1,652.47
10	29.19	1,074.72	0.00	48.22	1,122.93	418.20	662.42	914.16	1,994.78
11	32.43	1,194.13	0.00	68.68	1,262.81	418.20	943.53	883.49	2,245.22

Sección	Abcisa m	Δ total Instantáneas kg/cm²	Δ total Diferidas kg/cm²	σ o Esfzo. Inicial kg/cm²	σ i Esfzo. Final kg/cm²	Fo Fuerza final ton.	Δ (%) perdidas instantáneas	Δ (%) perdidas diferidas	Δ (%) perdidas totales
1	0.00	1,454.86	2,801.46	15,136.00	10,879.68	230.11	9.61	18.51	28.12
2	3.24	1,420.69	2,339.24	15,136.00	11,376.07	240.60	9.39	15.45	24.84
3	6.49	1,380.96	1,802.05	15,136.00	11,952.99	252.81	9.12	11.91	21.03
4	9.73	1,345.80	1,326.56	15,136.00	12,463.64	263.61	8.89	8.76	17.66
5	12.97	1,363.05	1,559.78	15,136.00	12,213.17	258.31	9.01	10.31	19.31
6	16.22	1,370.69	1,663.12	15,136.00	12,102.19	255.96	9.06	10.99	20.04
Acuñamiento	18.23	1,369.74	1,650.28	15,136.00	12,115.98	256.25	9.05	10.90	19.95
7	19.46	737.02	1,701.48	15,136.00	12,697.49	268.55	4.87	11.24	16.11
8	22.70	839.87	1,450.40	15,136.00	12,845.74	271.69	5.55	9.58	15.13
9	25.94	976.23	1,652.47	15,136.00	12,507.30	264.53	6.45	10.92	17.37
10	29.19	1,122.93	1,994.78	15,136.00	12,018.28	254.19	7.42	13.18	20.60
11	32.43	1,262.81	2,245.22	15,136.00	11,627.97	245.93	8.34	14.83	23.18



RESUMEN FINAL.

CABLE:

3

Sección	Abcisa m	Ordenada m	Δ σ total Instantáneas kg/cm ²	Δ σ total Diferidas kg/cm ²	σ o Esfzo. Inicial kg/cm ²	σ i Esfzo. Final kg/cm ²	Fo Fuerza inicial ton.	Fo Fuerza final ton.	Δ Fo Instantáneas ton.	Δ Fo diferidas ton.
1	0.00	0.50	1,454.86	2,801.46	15,136.00	10,879.68	320.13	230.11	30.77	59.25
2	3.24	0.36	1,420.69	2,339.24	15,136.00	11,376.07	320.13	240.60	30.05	49.47
3	6.49	0.24	1,380.96	1,802.05	15,136.00	11,952.99	320.13	252.81	29.21	38.11
4	9.73	0.16	1,345.80	1,326.56	15,136.00	12,463.64	320.13	263.61	28.46	28.06
5	12.97	0.12	1,363.05	1,559.78	15,136.00	12,213.17	320.13	258.31	28.83	32.99
6	16.22	0.10	1,370.69	1,663.12	15,136.00	12,102.19	320.13	255.96	28.99	35.18
Acuñamiento	18.23	0.15	1,369.74	1,650.28	15,136.00	12,115.98	320.13	256.25	28.97	34.90
7	19.46	0.15	737.02	1,701.48	15,136.00	12,697.49	320.13	268.55	15.59	35.99
8	22.70	0.29	839.87	1,450.40	15,136.00	12,845.74	320.13	271.69	17.76	30.68
9	25.94	0.53	976.23	1,652.47	15,136.00	12,507.30	320.13	264.53	20.65	34.95
10	29.19	0.87	1,122.93	1,994.78	15,136.00	12,018.28	320.13	254.19	23.75	42.19
11	32.43	1.30	1,262.81	2,245.22	15,136.00	11,627.97	320.13	245.93	26.71	47.49

TABLA RESUMEN DE PERDIDAS

3

Sección	Abcisa (X) m	Ordenada (Y) m	Δ σf fricción kg/cm ²	Δ σf E. cono kg/cm ²	Δ σf A. elástico kg/cm ²	Δ σ total Instantáneas kg/cm ²	Δ σf Contracción kg/cm ²	Δ σf F. plástico kg/cm ²	Δ σf Relajación kg/cm ²	Δ σ total Diferidas kg/cm ²	Fo Fuerza inicial ton.	Fo Fuerza final ton.	Δ Fo Instantáneas ton.	Δ Fo diferidas ton.	% Perdidas ton.
1	0.00	0.50	0.00	1,342.68	112.18	1,454.86	418.20	1,541.16	842.10	2,801.46	320.13	230.11	30.77	59.25	28.12
2	3.24	0.36	119.41	1,223.27	78.00	1,420.69	418.20	1,071.64	849.41	2,339.24	320.13	240.60	30.05	49.47	24.84
3	6.49	0.24	238.83	1,103.86	38.28	1,380.96	418.20	525.92	857.93	1,802.05	320.13	252.81	29.21	38.11	21.03
4	9.73	0.16	358.24	984.44	3.12	1,345.80	418.20	42.86	865.51	1,326.56	320.13	263.61	28.46	28.06	17.66
5	12.97	0.12	477.65	865.03	20.37	1,363.05	418.20	279.79	861.79	1,559.78	320.13	258.31	28.83	32.99	19.31
6	16.22	0.10	597.06	745.62	28.01	1,370.69	418.20	384.78	860.14	1,663.12	320.13	255.96	28.99	35.18	20.04
Acuñ.	18.23	0.15	716.48	626.20	27.06	1,369.74	418.20	371.74	860.35	1,650.28	320.13	256.25	28.97	34.90	19.95
7	19.46	0.15	716.48	0.00	20.55	737.02	418.20	282.27	1,001.01	1,701.48	320.13	268.55	15.59	35.99	16.11
8	22.70	0.29	835.89	0.00	3.98	839.87	418.20	54.65	977.54	1,450.40	320.13	271.69	17.76	30.68	15.13
9	25.94	0.53	955.30	0.00	20.93	976.23	418.20	287.48	946.79	1,652.47	320.13	264.53	20.65	34.95	17.37
10	29.19	0.87	1,074.72	0.00	48.22	1,122.93	418.20	662.42	914.16	1,994.78	320.13	254.19	23.75	42.19	20.60
11	32.43	1.30	1,194.13	0.00	68.68	1,262.81	418.20	943.53	883.49	2,245.22	320.13	245.93	26.71	47.49	23.18
															$\Delta f_p =$ 20.28

5.8.2.4 REVISIÓN DE ESFUERZOS POR ETAPAS

El cálculo de los esfuerzos se realizó para la fibra inferior y superior de la sección efectiva, siguiendo la teoría expuesta del **Capítulo 2. Concreto Presforzado**, para las etapas de peso propio, tensado, aplicación de cargas permanentes (relleno, asfalto, guarniciones y parapetos) y cargas en servicio (CV + IMP T3S2R3).

En este apartado se presenta el cálculo de los esfuerzos en la nervadura extrema del tramo 1. El cálculo para la nervadura izquierda se muestra en el **Anexo C. Memoria de Cálculo**.

RESUMEN DE ESFUERZOS EN LA NERVADURA DE CURVA EXTREMA				
Sección m	Momento último Mu (t-m)	Momento resistente MR (t-m)	Radio de capacidad (MR / Mu)	Comentario
0	0.00	1,287.16	0.00	Pasa
3.13	938.79	1,538.36	0.61	Pasa
6.26	1,611.49	1,961.94	0.82	Pasa
9.39	2,054.61	2,269.73	0.91	Pasa
12.52	2,217.82	2,456.11	0.90	Pasa
15.65	2,123.72	2,518.49	0.84	Pasa
18.78	1,771.23	2,450.18	0.72	Pasa
21.91	1,164.02	2,316.95	0.50	Pasa
25.04	313.10	2,067.03	0.15	Pasa
28.17	-541.81	-1,669.86	0.32	Pasa
31.3	-1,355.03	-1,287.16	1.05	Escaso

Tabla 5.7 Resumen de esfuerzos finales en la sección efectiva

Cabe aclarar que en el análisis se presentan secciones donde la fuerza de compresión supera el límite de rotura del concreto, en esos casos, es requerido el empleo de acero por estallamiento el cual se coloca en el alma de la sección efectiva; en otros casos, las solicitudes exceden en menos del 5% a la capacidad resistente del elemento, para tal caso, se emplea de acero de refuerzo para dar capacidad.

5.8.2.5 REVISIÓN DE LA CAPACIDAD POR RESISTENCIA

Se presentan los envolventes de capacidad para la fibra inferior y superior en las etapas de tensado y en servicio para identificar las secciones en el claro donde los esfuerzos actuantes superan los límites permisibles, para tal caso, se propone el empleo de acero dulce para tomar el excedente como es el caso del acero por estallamiento.



ESFUERZOS Y CAPACIDAD DE NERVADURA DE CURVA EXTERIOR TRAMO 1

ETAPAS DE TENSADO

1

REVISIÓN SECCIÓN CAJÓN (POSTENSADA)

CON 6 CABLES DE 15 TORONES DE 15 MM, SE INCLUYE ASFALTO DE 10 CM DE ESPESOR

DATOS DEL TORON

TIPO :	BAJA RELAJACION	CLARO =	31.3
DIAMETRO :	15 mm	No. SECCIONES =	10
ESFZO. RUPTURA :	189.2 kg/mm ²	Δ =	3.13
ESFZO. FLUENCIA :	160.2 kg/mm ²	P(1000)hrs =	3.5
FACTOR DE TENSION INICIAL :	0.8	μ o =	0.43
f o =	151.36 kg/mm ²	b 1 =	0.9
TENSION INICIAL (F _o) :	320.13 Ton	Δ presfuerzo =	10 cm
MODULO DE ELASTICIDAD (E) :	20,400.00 kg/mm ²		
SECCION TORON (At) :	141 mm ²		

PRESFUERZO EN 1a. ETAPA

	Apoyo	0.1L	0.2L	0.3L	0.4L	C. Claro
Cable No.1	15	15	15	15	15	15
Cable No.2	15	15	15	15	15	15
Cable No.3	15	15	15	15	15	15
Cable No.4	15	15	15	15	15	15
Cable No.5	15	15	15	15	15	15
Cable No.6	15	15	15	15	15	15
Cable No.7	0	0	0	0	0	0
Total =	90	90	90	90	90	90

PRESFUERZO EN 2a. ETAPA

	Apoyo	0.1L	0.2L	0.3L	0.4L	C. Claro
Cable No.1	0	0	0	0	0	0
Cable No.2	0	0	0	0	0	0
Cable No.3	0	0	0	0	0	0
Cable No.4	0	0	0	0	0	0
Cable No.5	0	0	0	0	0	0
Cable No.6	0	0	0	0	0	0
Cable No.7	0	0	0	0	0	0
Total =	0	0	0	0	0	0

CARACTERISTICAS DE LOS MATERIALES

FÓRMULA EMPLEADA: Eq. 5.4.2.4-1 (AASHTO LRFD 2020)

$$E = 33,000K_1w^{1.5} \sqrt{f'_c}$$

$$1 \text{ ksi} = 70.307 \frac{\text{kg}}{\text{cm}^2}$$

Donde:
 $K_1 = 1$
 $w = 0.14640$

Concrete	Lightweight	0.110 to 0.135
	Normal Weight with $f'_c \leq 5.0$ ksi	0.145
	Normal Weight with $5.0 < f'_c \leq 15.0$ ksi	0.140 + 0.001 f'_c

MÓDULO DE ELÁSTICIDAD DEL CONCRETO

Concreto $f'_c =$	6.400 ksi	$E_c =$	4,676.64 ksi	$e =$	0.00025
Concreto $f'_c =$	450 kg/cm ²	$E_c =$	328,800.69 kg/cm ²	$r_t =$	0.18

LIMITES DE TENSIÓN PARA TENDONES DE PRESFUERZO

Cables de baja relajación	
Pretensado	Postensado
Al Tensado 0.75 fpu	Al tensado 0.9 fpy
Después de perdidas 0.8 fpy	Después de acuñamiento 0.7 fpu
	En el extremo de placa después del acunamiento 0.74 fpu
	Después de pérdidas 0.8 fpy



CARACTERISTICAS GEOMETRICAS					
b e = 196.54 cm		Trabe (tipo) = Postensada			
t = 26.67 cm					
h s.s = 143.33 cm		h s.c = 170 cm			
bwp = 119.82 cm		f = 0.9			
tw = 40.00 cm					
SECCION SIMPLE		SECCION COMPUESTA			
Área, A = 14,193.00 cm ²		Área, A = 14,193.00 cm ²			
Yi = 96.60 cm		Yi = 96.60 cm			
Ys = 73.40 cm		Ys = 73.40 cm			
Inercia, I = 50,134,692.00 cm ⁴		Inercia, I = 50,134,692.00 cm ⁴			
Módulo, Si = 518,969.00 cm ³		Módulo, Si = 518,969.00 cm ³			
Módulo, Ss = 683,074.00 cm ³		Módulo, Ss = 683,074.00 cm ³			
Radio, rx = 59.43 cm		Radio, rx = 59.43 cm			
Esfuerzo permisible al = 100 %					
SECCIONES A ANALIZAR		COMBINACIÓN DE DISEÑO			
APOYO 1		CMT + CV + IMPACTO			
0.1L					
0.2L					
0.3L					
0.4L					
C.CLARO					
APOYO 2		FACTORES DE CARGA			
		F _{CM} = 1.25			
		f _{Asf} = 1.5			
		F _{CV} = 1.75			
CARGA VIVA QUE RIGE					
CAMIÓN T3S2R4					
ACERO EN TENSION		ACERO EN COMPRESIÓN			
A _s = 0.00 cm ²		A _s = 0.00 cm ²			
f _y = 4,200.00 kg/cm ²		f _y = 4,200.00 kg/cm ²			
Es = 2,039,000.00 kg/cm ²		Es = 2,039,000.00 kg/cm ²			
r = 5.00 cm		r = 5.00 cm			
ETAPAS PARA REVISIÓN DE ESFUERZOS					
1a etapa		2a etapa.			
Peso propio		Presfzo (2a. etapa)			
Presfzo. (1a. etapa)		Perdidas instantáneas(2a.Etapa)			
Perdidas Instantáneas (1a. Etapa)		Perdidas diferidas totales			
Losa + diafragmas		Banqueta+Guarnición			
		Parapeto+Relleno			
		Carreta asfáltica			
		Carpa Viva			
PERDIDAS DE PRESFUERZO					
Sección	A _s total Instantáneas kg/cm ²	A _s total Diferidas kg/cm ²	SOLICITACIONES ACTUANTES EN SERVICIO CM+CV+IMP.		
			Abcisa mts	Momento t-m	Cortante ton
			$\Delta = 3.13$ m		
1	146.46	318.43	0	0.0	-145.4
2	143.48	278.24	3.13	600.9	-100.0
3	139.44	223.55	6.26	1032.0	-63.7
4	135.80	174.40	9.39	1313.8	-20.8
5	138.04	204.59	12.52	1416.1	27.5
6	138.94	216.84	15.65	1352.5	75.9
7	111.23	206.96	18.78	1122.8	125.7
8	103.22	188.37	21.91	728.9	181.3
9	103.57	237.04	25.04	176.4	231.2
10	106.93	291.83	28.17	-396.1	281.7
11	119.02	329.05	31.3	-963.9	342.4



**Facultad de
Ingeniería**

CAPÍTULO 5. MEMORIA DE CÁLCULO

PUEI

Programa Único de
Especializaciones
de Ingeniería

RESUMEN DE SOLICITACIONES (POR NERVADURA)

CARGA VIVA :

CAMIÓN T3S2R4

Impacto = **0.33**

MOMENTOS

ABCISA (m)	M po.po (t-m)	M diafrag. (t-m)	M losa (t-m)	M banq. (t-m)	M guarn. (t-m)	M ppto. (t-m)	M relleno (t-m)	M asfalto (t-m)	M cm (t-m)	M cv (t-m)	M cv ban (t-m)	M imp (t-m)	M serv. (t-m)	M ultimo (t-m)
0.00	0.00	0.00	0.00	0.00	0.00	0.00	0.00	0.00	0.00	0.00	0.00	0.00	0.00	0.00
3.13	247.66	0.00	0.00	0.00	18.03	5.10	88.75	44.65	359.54	181.48	0.00	59.89	600.91	938.79
6.26	427.89	0.00	0.00	0.00	31.39	8.88	154.26	77.84	622.43	307.92	0.00	101.61	1,031.97	1,611.49
9.39	538.85	0.00	0.00	0.00	39.45	11.17	193.51	97.94	782.98	399.14	0.00	131.72	1,313.83	2,054.61
12.52	574.59	0.00	0.00	0.00	42.09	11.91	205.95	104.64	834.54	437.24	0.00	144.29	1,416.07	2,217.82
15.65	538.47	0.00	0.00	0.00	39.38	11.15	191.96	98.16	780.95	429.77	0.00	141.82	1,352.55	2,123.72
18.78	430.96	0.00	0.00	0.00	31.21	8.83	150.93	78.17	621.93	376.61	0.00	124.28	1,122.82	1,771.23
21.91	252.06	0.00	0.00	0.00	17.73	5.02	83.65	45.08	358.45	278.56	0.00	91.92	728.93	1,164.02
25.04	-1.14	0.00	0.00	0.00	-1.11	-0.31	-10.09	-1.23	-12.65	142.11	0.00	46.89	176.36	313.10
28.17	-322.25	0.00	0.00	0.00	-25.14	-7.12	-129.56	-60.39	-484.06	66.10	0.00	21.81	-396.15	-541.81
31.30	-716.08	0.00	0.00	0.00	-54.34	-15.37	-274.53	-132.29	-1,060.31	72.52	0.00	23.93	-963.87	-1,355.03

CORTANTES

ABCISA (m)	V po.po (ton)	V diafrag. (ton)	V losa (ton)	V banq. (ton)	V guarn. (ton)	V ppto. (ton)	V relleno (ton)	V asfalto (ton)	V cm (ton)	V cv (ton)	V cv ban (ton)	V imp (ton)	V serv. (ton)	V ultimo (ton)
0.00	-98.21	0.00	0.00	0.00	-6.58	-1.86	-31.75	-16.50	-154.90	7.16	0.00	2.36	-145.39	-181.10
3.13	-67.20	0.00	0.00	0.00	-4.92	-1.39	-23.66	-12.37	-109.54	7.16	0.00	2.36	-100.02	-123.36
6.26	-45.29	0.00	0.00	0.00	-3.26	-0.92	-15.56	-8.24	-73.28	7.20	0.00	2.38	-63.69	-76.89
9.39	-23.38	0.00	0.00	0.00	-1.60	-0.45	-7.47	-4.11	-37.01	12.16	0.00	4.01	-20.84	-19.00
12.52	0.62	0.00	0.00	0.00	0.06	0.02	0.63	0.03	1.35	19.63	0.00	6.48	27.47	47.40
15.65	22.53	0.00	0.00	0.00	1.72	0.49	8.73	4.16	37.62	28.75	0.00	9.49	75.86	114.98
18.78	44.44	0.00	0.00	0.00	3.37	0.96	16.82	8.29	73.88	38.95	0.00	12.85	125.68	185.08
21.91	68.45	0.00	0.00	0.00	5.03	1.42	24.92	12.42	112.25	51.93	0.00	17.14	181.31	264.27
25.04	90.36	0.00	0.00	0.00	6.69	1.89	33.02	16.55	148.51	62.18	0.00	20.52	231.21	334.50
28.17	112.27	0.00	0.00	0.00	8.35	2.36	41.11	20.68	184.77	72.85	0.00	24.04	281.67	405.70
31.30	144.27	0.00	0.00	0.00	10.29	2.83	49.21	24.81	231.42	83.43	0.00	27.53	342.38	489.66



CABLE C-1

Sección	Abcisa mts	Ordenada (mts)	Δ σ total Instantáneas kg/cm ²	Δ σ total Diferidas kg/cm ²	σ o Esfzo. Inicial kg/cm ²	σ i Esfzo. Final kg/cm ²	Fo Fuerza inicial ton.	Fo Fuerza final ton.	Δ Fo instantáneas ton.	Δ Fo diferidas ton.
1	0.00	1.30	910.90	2,347.13	15,136.00	11,877.97	320.13	251.22	19.27	49.64
2	3.24	0.87	890.02	2,065.10	15,136.00	12,180.88	320.13	257.63	18.82	43.68
3	6.49	0.53	863.01	1,700.05	15,136.00	12,572.95	320.13	265.92	18.25	35.96
4	9.73	0.29	842.89	1,428.26	15,136.00	12,864.85	320.13	272.09	17.83	30.21
5	12.97	0.15	860.11	1,660.89	15,136.00	12,615.00	320.13	266.81	18.19	35.13
6	16.22	0.10	866.32	1,744.84	15,136.00	12,524.83	320.13	264.90	18.32	36.90
7	19.46	0.16	856.21	1,608.24	15,136.00	12,671.55	320.13	268.00	18.11	34.01
8	22.70	0.16	850.24	1,527.50	15,136.00	12,758.26	320.13	269.84	17.98	32.31
9	25.94	0.24	886.68	2,019.89	15,136.00	12,229.43	320.13	258.65	18.75	42.72
10	29.19	0.36	507.42	2,658.16	15,136.00	11,970.42	320.13	253.17	10.73	56.22
11	32.43	0.50	587.20	3,092.72	15,136.00	11,456.08	320.13	242.30	12.42	65.41

CABLE C-2

Sección	Abcisa mts	Ordenada (mts)	Δ σ total Instantáneas kg/cm ²	Δ σ total Diferidas kg/cm ²	σ o Esfzo. Inicial kg/cm ²	σ i Esfzo. Final kg/cm ²	Fo Fuerza inicial ton.	Fo Fuerza final ton.	Δ Fo instantáneas ton.	Δ Fo diferidas ton.
1	0.00	0.90	1,186.03	2,203.68	15,136.00	11,746.29	320.13	248.43	25.08	46.61
2	3.24	0.61	1,174.59	2,049.10	15,136.00	11,912.31	320.13	251.95	24.84	43.34
3	6.49	0.39	1,148.57	1,697.35	15,136.00	12,290.07	320.13	259.93	24.29	35.90
4	9.73	0.23	1,122.14	1,340.03	15,136.00	12,673.83	320.13	268.05	23.73	28.34
5	12.97	0.13	1,142.03	1,608.92	15,136.00	12,385.05	320.13	261.94	24.15	34.03
6	16.22	0.10	1,148.97	1,702.73	15,136.00	12,284.30	320.13	259.81	24.30	36.01
7	19.46	0.13	1,139.57	1,575.58	15,136.00	12,420.85	320.13	262.70	24.10	33.32
8	22.70	0.23	586.41	1,496.99	15,136.00	13,052.60	320.13	276.06	12.40	31.66
9	25.94	0.39	696.41	1,838.07	15,136.00	12,601.51	320.13	266.52	14.73	38.88
10	29.19	0.61	804.88	2,158.57	15,136.00	12,172.56	320.13	257.45	17.02	45.65
11	32.43	0.90	899.01	2,285.77	15,136.00	11,951.22	320.13	252.77	19.01	48.34

CABLE C-3

Sección	Abcisa mts	Ordenada (mts)	Δ σ total Instantáneas kg/cm ²	Δ σ total Diferidas kg/cm ²	σ o Esfzo. Inicial kg/cm ²	σ i Esfzo. Final kg/cm ²	Fo Fuerza inicial ton.	Fo Fuerza final ton.	Δ Fo instantáneas ton.	Δ Fo diferidas ton.
1	0.00	0.50	1,454.86	2,801.46	15,136.00	10,879.68	320.13	230.11	30.77	59.25
2	3.24	0.36	1,420.69	2,339.24	15,136.00	11,376.07	320.13	240.60	30.05	49.47
3	6.49	0.24	1,380.96	1,802.05	15,136.00	11,952.99	320.13	252.81	29.21	38.11
4	9.73	0.16	1,345.80	1,326.56	15,136.00	12,463.64	320.13	263.61	28.46	28.06
5	12.97	0.12	1,363.05	1,559.78	15,136.00	12,213.17	320.13	258.31	28.83	32.99
6	16.22	0.10	1,370.69	1,663.12	15,136.00	12,102.19	320.13	255.96	28.99	35.18
7	19.46	0.15	737.02	1,701.48	15,136.00	12,697.49	320.13	268.55	15.59	35.99
8	22.70	0.29	839.87	1,450.40	15,136.00	12,845.74	320.13	271.69	17.76	30.68
9	25.94	0.53	976.23	1,652.47	15,136.00	12,507.30	320.13	264.53	20.65	34.95
10	29.19	0.87	1,122.93	1,994.78	15,136.00	12,018.28	320.13	254.19	23.75	42.19
11	32.43	1.30	1,262.81	2,245.22	15,136.00	11,627.97	320.13	245.93	26.71	47.49

CABLE C-4

Sección	Abcisa mts	Ordenada (mts)	Δ σ total Instantáneas kg/cm ²	Δ σ total Diferidas kg/cm ²	σ o Esfzo. Inicial kg/cm ²	σ i Esfzo. Final kg/cm ²	Fo Fuerza inicial ton.	Fo Fuerza final ton.	Δ Fo instantáneas ton.	Δ Fo diferidas ton.
1	0.00	1.30	817.74	2,286.34	15,136.00	12,031.92	320.13	254.48	17.30	48.36
2	3.24	0.90	802.38	2,078.73	15,136.00	12,254.89	320.13	259.19	16.97	43.97
3	6.49	0.60	777.33	1,740.28	15,136.00	12,618.39	320.13	266.88	16.44	36.81
4	9.73	0.38	754.12	1,426.74	15,136.00	12,955.14	320.13	274.00	15.95	30.18
5	12.97	0.24	771.90	1,666.93	15,136.00	12,697.18	320.13	268.55	16.33	35.26
6	16.22	0.20	778.49	1,756.04	15,136.00	12,601.47	320.13	266.52	16.47	37.14
7	19.46	0.21	768.19	1,616.86	15,136.00	12,750.95	320.13	269.68	16.25	34.20
8	22.70	0.25	765.03	1,574.23	15,136.00	12,796.73	320.13	270.65	16.18	33.30
9	25.94	0.31	804.42	2,106.32	15,136.00	12,225.26	320.13	258.56	17.01	44.55
10	29.19	0.39	850.59	2,730.05	15,136.00	11,555.36	320.13	244.40	17.99	57.74
11	32.43	0.50	895.28	3,334.01	15,136.00	10,906.70	320.13	230.68	18.94	70.51



CABLE C-5

Sección	Abcisa mts	Ordenada (mts)	Δ σ total Instantáneas kg/cm ²	Δ σ total Diferidas kg/cm ²	σ o Esfzo. Inicial kg/cm ²	σ i Esfzo. Final kg/cm ²	Fo Fuerza inicial ton.	Fo Fuerza final ton.	Δ Fo instantáneas ton.	Δ Fo diferidas ton.
1	0.00	0.90	1,130.71	2,320.70	15,136.00	11,684.59	320.13	247.13	23.91	49.08
2	3.24	0.65	1,116.68	2,131.13	15,136.00	11,888.19	320.13	251.44	23.62	45.07
3	6.49	0.45	1,088.71	1,753.01	15,136.00	12,294.28	320.13	260.02	23.03	37.08
4	9.73	0.31	1,059.74	1,361.50	15,136.00	12,714.76	320.13	268.92	22.41	28.80
5	12.97	0.23	1,078.38	1,613.43	15,136.00	12,444.19	320.13	263.19	22.81	34.12
6	16.22	0.20	1,085.74	1,712.96	15,136.00	12,337.30	320.13	260.93	22.96	36.23
7	19.46	0.23	1,076.17	1,583.55	15,136.00	12,476.28	320.13	263.87	22.76	33.49
8	22.70	0.31	1,063.62	1,413.95	15,136.00	12,658.42	320.13	267.73	22.50	29.91
9	25.94	0.45	627.24	1,902.89	15,136.00	12,605.88	320.13	266.61	13.27	40.25
10	29.19	0.65	728.52	2,251.16	15,136.00	12,156.32	320.13	257.11	15.41	47.61
11	32.43	0.90	816.02	2,413.46	15,136.00	11,906.51	320.13	251.82	17.26	51.04

CABLE C-6

Sección	Abcisa mts	Ordenada (mts)	Δ σ total Instantáneas kg/cm ²	Δ σ total Diferidas kg/cm ²	σ o Esfzo. Inicial kg/cm ²	σ i Esfzo. Final kg/cm ²	Fo Fuerza inicial ton.	Fo Fuerza final ton.	Δ Fo instantáneas ton.	Δ Fo diferidas ton.
1	0.00	0.50	1,424.40	3,096.65	15,136.00	10,614.94	320.13	224.51	30.13	65.49
2	3.24	0.39	1,379.71	2,492.18	15,136.00	11,264.11	320.13	238.24	29.18	52.71
3	6.49	0.31	1,334.22	1,877.10	15,136.00	11,924.68	320.13	252.21	28.22	39.70
4	9.73	0.25	1,296.18	1,362.70	15,136.00	12,477.13	320.13	263.89	27.41	28.82
5	12.97	0.21	1,311.02	1,563.43	15,136.00	12,261.55	320.13	259.33	27.73	33.07
6	16.22	0.20	1,319.11	1,672.85	15,136.00	12,144.03	320.13	256.85	27.90	35.38
7	19.46	0.24	682.08	1,699.45	15,136.00	12,754.47	320.13	269.76	14.43	35.94
8	22.70	0.38	775.43	1,443.35	15,136.00	12,917.22	320.13	273.20	16.40	30.53
9	25.94	0.60	905.82	1,688.01	15,136.00	12,542.16	320.13	265.27	19.16	35.70
10	29.19	0.90	1,041.57	2,005.39	15,136.00	12,089.04	320.13	255.68	22.03	42.41
11	32.43	1.30	1,167.22	2,186.56	15,136.00	11,782.23	320.13	249.19	24.69	46.25

CABLE C-7

Sección	Abcisa mts	Ordenada (mts)	Δ σ total Instantáneas kg/cm ²	Δ σ total Diferidas kg/cm ²	σ o Esfzo. Inicial kg/cm ²	σ i Esfzo. Final kg/cm ²	Fo Fuerza inicial ton.	Fo Fuerza final ton.	Δ Fo instantáneas ton.	Δ Fo diferidas ton.
1	0.00	0.00	0.00	0.00	0.00	0.00	0.00	0.00	0.00	0.00
2	0.00	0.00	0.00	0.00	0.00	0.00	0.00	0.00	0.00	0.00
3	0.00	0.00	0.00	0.00	0.00	0.00	0.00	0.00	0.00	0.00
4	0.00	0.00	0.00	0.00	0.00	0.00	0.00	0.00	0.00	0.00
5	0.00	0.00	0.00	0.00	0.00	0.00	0.00	0.00	0.00	0.00
6	0.00	0.00	0.00	0.00	0.00	0.00	0.00	0.00	0.00	0.00
7	0.00	0.00	0.00	0.00	0.00	0.00	0.00	0.00	0.00	0.00
8	0.00	0.00	0.00	0.00	0.00	0.00	0.00	0.00	0.00	0.00
9	0.00	0.00	0.00	0.00	0.00	0.00	0.00	0.00	0.00	0.00
10	0.00	0.00	0.00	0.00	0.00	0.00	0.00	0.00	0.00	0.00
11	0.00	0.00	0.00	0.00	0.00	0.00	0.00	0.00	0.00	0.00



RESUMEN DE PRESFUERZO Y ETAPAS DE TENSADO				
Cable	Tipo	frg Esfzo. Ruptura kg/mm ²	fre Esfzo. Fluencia kg/mm ²	Etapa de tensado
1	15T15	189.20	160.2	1
2	15T15	189.20	160.2	1
3	15T15	189.20	160.2	1
4	15T15	189.20	160.2	1
5	15T15	189.20	160.2	1
6	15T15	189.20	160.2	1
7				

Nota.

Colocar (1) si el cable es de 1a. Etapa

Colocar (2) si el cable es de 2a. Etapa

CABLES DE 1a. ETAPA		
Sección	ΔF_o instantaneas ton.	ΔF_o diferidas ton.
1	146.46	318.43
2	143.48	278.24
3	139.44	223.55
4	135.80	174.40
5	138.04	204.59
6	138.94	216.84
7	111.23	206.96
8	103.22	188.37
9	103.57	237.04
10	106.93	291.83
11	119.02	329.05

CABLES DE 2a. ETAPA		
Sección	ΔF_o instantaneas ton.	ΔF_o diferidas ton.
1	0.00	0.00
2	0.00	0.00
3	0.00	0.00
4	0.00	0.00
5	0.00	0.00
6	0.00	0.00
7	0.00	0.00
8	0.00	0.00
9	0.00	0.00
10	0.00	0.00
11	0.00	0.00

CABLES DE 1a.y 2a. ETAPA		
Sección	ΔF_o instantaneas ton.	ΔF_o diferidas ton.
1	146.46	318.43
2	143.48	278.24
3	139.44	223.55
4	135.80	174.40
5	138.04	204.59
6	138.94	216.84
7	111.23	206.96
8	103.22	188.37
9	103.57	237.04
10	106.93	291.83
11	119.02	329.05



DATOS DE ANALISIS		DATOS DEL PROYECTISTA		DATOS DE LA TRABE		ETAPAS DE TENSADO		1	
SECCION : APOYO 1 COMBINACION : CMT + CV + IMPACTO CARGA VIVA QUE RIGE : CAMIÓN T3S2R4		PROYECTO : ING. EDUARDO VÁZQUEZ GARCES		SECCIÓN CAJON (POSTENSADA)		UNA ETAPA (1) DOS ETAPAS (2)		Tensado en sección simple Tensado en sección simple y sección compuesta	

ESFUERZO PERMISIBLE		PROPIEDADES DE LOS MATERIALES		MOMENTO 2		DATOS DEL PRESFUERZO		1a. ETAPA	
% de Esfzos. Permisibles = 100		f_c tens.(kg/cm²) = 450.00 Esfzo. Al tensado f_c (kg/cm²) = 450.00 Esfzo. Compresión f_{rg} (kg/cm²) = 18,920.00 Esfzo. Ruptura		Anotar(1) si(-) Anotar(2) si(+)		f_{rg} = 189.20 Kg/mm² Esfuerzo de ruptura f_{re} = 160.20 Kg/mm² Esfuerzo de fluencia (%) Tensado = 0.80 f_{rg} (%) de esfuerzo de tensado (f' o) = 151.36 Kg/mm² Esfuerzo de tensado E_p = 20,400.00 Kg/mm² Modulo de elasticidad		Peso propio Presfzo. (1a. etapa) Perdidas Instantáneas (1a. Etapa) Losa + diafragmas	

CARACTERISTICAS GEOMETRICAS DE LA TRABE		REVISION A LA RUPTURA		No. Torones		ϕ (mm)		At (mm²)		Yp (cm)		2a. ETAPA	
Sección simple	Sección compuesta	H (m) = 1.43 Altura de trabe I_x (m^4) = 0.501347 Inercia de trabe A (m^2) = 1.419300 Área de trabe Y_i (m) = 0.966000 Eje neutro Y_s (m) = 0.467300 dist. Superior S (m^3) = 0.518993 Mod. Secc. Inf. S_s (m^3) = 1.072859 Mod. Secc. Sup.	H (m) = 1.70 Altura total I_x (m^4) = 0.501347 Inercia A (m^2) = 1.419300 Área Y_i (m) = 0.966000 Eje neutro Y_s (m) = 0.734000 dist. Superior S (m^3) = 0.518993 Mod. Secc. Inferior S_s (m^3) = 1.072859 Mod. Secc. Superior S_s losa (m^3) = 0.683034 Mod. Secc. Losa Y_s viga (m) = 0.467300 Eje neutro	Aps (total) = 126.90 cm² d_p = 80.00 cm f_{pu} = 189.20 kg/mm² b = 0.90 cm k = 0.39 c (Sec. Tee)= 37.99 cm f_{ps} = 15,447.39 kg / cm²	15 15 15 15 15 0	15 15 15 15 15 15	141 141 141 141 141 141	130.00 90.00 50.00 50.00 130.00 0.00	PRESFUERZO (1a. ETAPA)	Pesfzo (2a. etapa) Perdidas instantáneas(2a.Etapa) Perdidas diferidas totales Banqueta+Guarnición Parapeto+Relleno			
Pérdidas de presfuerzo		Centroide(1a.etapa), cm = 90.00 Centroide(2a.etapa), cm = 0.00 1a. Etapa : ΔS inst.(ton) = 119.02 1a. Etapa : ΔS dif. (ton) = 329.05 Presfuerzo(1a.etapa), ton = 1,920.76 Presfuerzo(2a.etapa), ton = 0.00 2a. Etapa : ΔS inst.(ton) = 0.00 2a. Etapa : ΔS dif. (ton) = 0.00	Geometría de la trabe	ϕ = 0.90 b_w = 40.00 b_e = 196.54 h_f = 26.67	ΣAt = 12,690.00 mm² Eje de presfuerzo = 90.00 cm Presfuerzo(1a.etapa) = 1,920.76 ton							Carpeta asfáltica Carva Viva	
				Acero en tensión	Acero en compresión	Acero en compresión	PRESFUERZO 2a. ETAPA	No. Torones	ϕ (mm)	A_t (mm²)	Y_p (cm)		
				A_s = 0.00 cm² f_y = 4,200.00 kg/cm² E_s = 2,039,000.00 kg/cm² r = 5.00 cm d_s = 165.00 cm	$A's$ (cm²) = 0.00 $f'y$ (kg/cm²) = 4,200.00 Limité elástico $r'(cm)$ = 5.00 Recubrimiento $d's(cm)$ = 21.67 Brazo $d(e)cm$ = 80.00 Brazo $a(cm)$ = 34.19 Bloque de esfzos.	$A's$ (cm²) = 0.00 Acero de refuerzo $f'y$ (kg/cm²) = 4,200.00 Limite elástico $r'(cm)$ = 5.00 Recubrimiento $d's(cm)$ = 21.67 Brazo $d(e)cm$ = 80.00 Brazo $a(cm)$ = 34.19 Bloque de esfzos.	0 0 0 0 0	15 15 15 15 15	141 141 141 141 141	50.00 90.00 130.00 50.00 90.00			
				c = 28.923 cm Rige Secc.Tee	Viga TEE							PRESFUERZO 2a. ETAPA	
						ΣAt = 0 mm² Eje de presfuerzo = 0.00 cm Presfuerzo(2a.etapa) = 0.00 ton							

REVISIÓN POR ESFUERZOS PERMISIBLES										ESFUERZOS PERMISIBLES POR AASHTO						
SOLICITACIONES				ESFUERZOS EN TRABE (kg/cm²)				ESFUERZOS EN LOSA (kg/cm²)				ESFUERZOS PERMISIBLES POR AASHTO				
Etapas de trabajo		P (ton)	e (m)	M (ton-m)	Inferior	Inf. acum.	Superior	Sup. acum.	Inferior	Inf. acum.	Superior	Sup. acum.	Modulo de ruptura			
Peso propio		0.00	0.00	0.00	0.00	0.00	0.00	0.00	0.00	0.00	0.00	0.00	AASHTO Capítulo 9.15.2.3	Lb/in²	kg/cm²	
Presfzo. (1a. etapa)		1,920.76	0.07	0.00	159.76	159.76	123.52	123.52	0.00	0.00	0.00	0.00	Para Concreto Peso Normal	7.5 $\sqrt{f_c}$	42.19	
Perdidas Instantáneas (1a. Etapa)		119.02	0.07	0.00	-9.90	149.86	-7.65	115.86	0.00	0.00	0.00	0.00	Para Concreto Peso Ligero	6.3 $\sqrt{f_c}$	35.44	
Losa + diafragmas		0.00	0.00	0.00	0.00	149.86	0.00	115.86	0.00	0.00	0.00	0.00	Para cualquier tipo de Concreto	5.5 $\sqrt{f_c}$	30.94	
Presfzo (2a. etapa)		0.00	0.97	0.00	0.00	149.86	0.00	115.86	0.00	0.00	0.00	0.00	Esfuerzos permisibles al tensado (antes de perdidas)			
Perdidas instantáneas(2a.Etapa)		0.00	0.97	0.00	0.00	149.86	0.00	115.86	0.00	0.00	0.00	0.00	AASHTO Capítulo 9.15.2.1	Lb/in²	kg/cm²	
Perdidas diferidas totales		329.05	0.97	0.00	-84.43	65.43	6.44	122.31	6.44	6.44	-23.35	-23.35	Compresión :Pretensados	0.6f'c	270	
Banqueta+Guarnición		0.00	0.00	0.00	0.00	65.43	0.00	122.31	0.00	6.44	0.00	-23.35	Compresión: Postensados	0.55f'c	247.5	
Parapeto+Relleno		0.00	0.00	0.00	0.00	65.43	0.00	122.31	0.00	6.44	0.00	-23.35	AASHTO Capítulo 9.15.2.2	Lb/in²	kg/cm²	
Carpeta asfáltica		0.00	0.00	0.00	0.00	65.43	0.00	122.31	0.00	6.44	0.00	-23.35	Tensión: Sin refuerzo	3 $\sqrt{f_c}$	16.87	
Carva Viva		0.00	0.00	0.00	0.00	65.43	0.00	122.31	0.00	6.44	0.00	-23.35	Tensión: Con refuerzo	7.5 $\sqrt{f_c}$	42.19	
ESTADO FINAL DE ESFUERZO (kg / cm²)				Inf. Acum -	65.43	Sup. Acum -	122.31	Inf. Acum -	6.44	Sup. Acum -	23.35		Esfuerzos permisibles al tensado (después de perdidas)			
Esfuerzos permisibles		Al tensado		En servicio		Comentarios finales										
		Con refuerzo	Sin refuerzo			Al tensado	Bien		Bien		Bien					
Compresión		247.50	180.00	Compresión Serv.		Bien			Bien		Bien		AASHTO Capítulo 9.15.2.2	Lb/in²	kg/cm²	
Tensión		-42.19	-16.87	-16.87	Tensión Serv.	Bien		Bien		Bien		Excede	Tensión: Sin refuerzo	6 $\sqrt{f_c}$	33.75	
Modulo de ruptura		-30.94											Tensión: Con refuerzo	7.5 $\sqrt{f_c}$	42.19	

REVISIÓN POR RESISTENCIA ULTIMA											
Nota Importante.		Momento último (M u)		Momento resistente (MR)		Capacidad		Verificación del refuerzo por tensión			
1- Las normas AASHTO si permiten tensiones		Actuante		1		2					
1- Las normas SCT no permiten tensiones				Corro Seccipon TEE		f ps = 16,275.832	Como Seccipon Rectangular	Momento resistente	No Requiere refuerzo por tensión		
2- Las normas SCT no permiten tensiones				1,233.14 ton-m		a = 26.031	1,383.50 ton-m	1	Adecuado		
				54.02 ton-m				1,287.16			
				0.00 ton-m		Pasa por Mu		1,383.50 ton-m			
				1,287.16 ton-m							

DATOS DE ANÁLISIS				DATOS DEL CLIENTE				DATOS DE LA TRABE				ETAPAS DE TENSADO		1				
SECCION : 0.1L COMBINACION : CMT + CV + IMPACTO CARGA VIVA QUE RIGE : CAMIÓN T3S2R4				PROYECTO : ING. EDUARDO VÁZQUEZ GARCÉS				SECCIÓN CAJÓN (POSTENSADA)				UNA ETAPA (1)	Tensado en sección simple					
								DOS ETAPAS (2)				DOS ETAPAS (2)	Tensado en sección simple y sección compuesta					
ESFUERZO PERMISIBLE				PROPIEDADES DE LOS MATERIALES				DATOS DEL PRESFURZO				1a. ETAPA						
% de Esfzos. Permisibles = 100				f_c tens.(kg/cm ²) = 450.00 Esfzo. Al tensado f_c (kg/cm ²) = 450.00 Esfzo. Compresión frg (kg/cm ²) = 18,920.00 Esfzo. Ruptura				Anotar(1) si(-) Anotar(2) si(+)				f_{rg} = 189.20 Kg/mm ² Esfuerzo de ruptura f_{re} = 160.20 Kg/mm ² Esfuerzo de fluencia (%) Tensado = 0.80 frg (f _o) = 151.36 Kg/mm ² Esfuerzo de tensado E_p = 20,400.00 Kg/mm ² Modulo de elasticidad	Peso propio Presfzo. (1a. etapa) Perdidas Instantáneas (1a. Etapa) Losa + diafragmas					
CARACTERISTICAS GEOMÉTRICAS DE LA TRABE				REVISIÓN A LA RUPTURA				No. Torones				♦ (mm)	At (mm ²)	Y _p (cm)	2a. ETAPA			
Sección simple <i>H (m) = 1.43 Altura de trabe</i> <i>I_x (m⁴) = 0.501347 Inercia de trabe</i> <i>A (m²) = 1.419300 Área de trabe</i> <i>Y_i (m) = 0.966000 Eje neutro</i> <i>Y_s (m) = 0.467300 dist. Superior</i> <i>S_i (m³) = 0.518993 Mod. Secc. Inf.</i> <i>S_s (m³) = 1.072859 Mod. Secc. Sup.</i>				Sección compuesta <i>H (m) = 1.70 Altura total</i> <i>I_x (m⁴) = 0.501347 Inercia</i> <i>A (m²) = 1.419300 Área</i> <i>Y_i (m) = 0.966000 Eje neutro</i> <i>Y_s (m) = 0.734000 dist. Superior</i> <i>S_i viga (m³) = 0.518993 Mod. Secc. Inferior</i> <i>S_s viga (m³) = 1.072859 Mod. Secc. Superior</i> <i>S_s losa (m³) = 0.683034 Mod. Secc. Losa</i> <i>Y_s viga (m) = 0.467300 Eje neutro</i>				REVISIÓN A LA RUPTURA <i>Aps(total) = 126.90 cm²</i> <i>d_p = 91.87 cm</i> <i>f_{pu} = 189.20 kg/mm²</i> <i>b₁ = 0.90 cm</i> <i>k = 0.39</i> <i>c (Sec. Tee)= 40.37 cm</i> <i>f_{ps} = 15,706.13 kg / cm²</i>				<i>15</i> <i>15</i> <i>15</i> <i>15</i> <i>15</i> <i>0</i> <i>15</i>	<i>15</i> <i>15</i> <i>15</i> <i>15</i> <i>15</i> <i>141</i> <i>141</i>	<i>141</i> <i>141</i> <i>141</i> <i>141</i> <i>141</i> <i>0.00</i> <i>141</i>	<i>86.80</i> <i>61.20</i> <i>90.40</i> <i>64.80</i> <i>130.00</i> <i></i> <i></i>	PRESFURZO (1a. ETAPA) <i>Presfzo (2a. etapa)</i> <i>Perdidas instantáneas(2a.Etapa)</i> <i>Perdidas diferidas totales</i> <i>Banqueta+Guarnición</i> <i>Parapeto+Relleno</i>		
Pérdidas de presfuzro <i>Centroide(1a.etapa), cm = 78.13</i> <i>Centroide(2a.etapa), cm = 0.00</i> <i>1a. Etapa ; Δ S inst.(ton) = 143.48</i> <i>1a. Etapa ; Δ S dif. (ton) = 278.24</i> <i>Presfuzro(1a.etapa), ton = 1,920.76</i> <i>Presfuzro(2a.etapa), ton = 0.00</i> <i>2a. Etapa ; Δ S inst.(ton) = 0.00</i> <i>2a. Etapa ; Δ S dif. (ton) = 0.00</i>				Geometría de la trabe <i>ϕ = 0.90</i> <i>b w = 40.00</i> <i>b e = 196.54</i> <i>h f = 26.67</i>				Acero en tensión <i>A_s = 0.00 cm²</i> <i>f_y = 4,200.00 kg/cm²</i> <i>E_s = 2,039,000.00 kg/cm²</i> <i>r = 5.00 cm</i> <i>d_s = 165.00 cm</i> <i>C = 29.414 cm</i>				<i>0.00</i> <i>4,200.00</i> <i>2,039,000.00</i> <i>5.00</i> <i>165.00</i> <i>29.414</i>	<i>0.00</i> <i>4,200.00</i> <i>kg/cm²</i> <i>5.00</i> <i>Recubrimiento</i> <i>Brazo</i>	<i>Aero de refuerzo</i> <i>Límite elástico</i> <i>0.00</i> <i>141</i> <i>141</i> <i>90.40</i>	<i>86.80</i> <i>61.20</i> <i>35.60</i> <i>90.40</i> <i>64.80</i> <i>0.00</i>		PRESFURZO 2a. ETAPA <i>Carpeta asfáltica</i> <i>Carva Viva</i>	
REVISIÓN POR ESFUERZOS PERMISIBLES				SOLICITACIONES				ESFUERZOS EN TRABE (kg/cm²)				ESFUERZOS EN LOSA (kg/cm²)				ESFUERZOS PERMISIBLES POR AASHTO		
Etapas de trabajo		P (ton)	ε (m)	M (ton-m)	Inferior	Inf. acum.	Superior	Sup. acum.	Inferior	Inf. acum.	Superior	Sup. acum.	Modulo de ruptura					
Peso propio		0.00	0.00	247.66	-47.72	-47.72	23.08	23.08	0.00	0.00	0.00	0.00	<i>AASHTO Capítulo 9.15.2.3 Lb/in² kg/cm²</i> <i>Para Concreto Peso Normal 7.5 √ f'c 42.19</i> <i>Para Concreto Peso Ligero 6.3 √ f'c 35.44</i> <i>Para cualquier tipo de Concreto 5.5 √ f'c 30.94</i>					
Presfzo. (1a. etapa)		1,920.76	0.18	0.00	203.68	155.96	102.27	125.35	0.00	0.00	0.00	0.00	<i>AASHTO Capítulo 9.15.2.1 Lb/in² kg/cm²</i> <i>Compresión :Pretenados 0.6f'c 270</i> <i>Compresión: Postensados 0.55f'c 247.5</i>					
Perdidas Instantáneas (1a. Etapa)		143.48	0.18	0.00	-15.21	140.74	-7.64	117.71	0.00	0.00	0.00	0.00	<i>AASHTO Capítulo 9.15.2.2 Lb/in² kg/cm²</i> <i>Tensión: Sin refuerzo 3 √ f'c 16.87</i> <i>Tensión: Con refuerzo 7.5 √ f'c 42.19</i>					
Losa + diafragmas		0.00	0.00	0.00	0.00	140.74	0.00	117.71	0.00	0.00	0.00	0.00						
Presfzo. (2a. etapa)		0.00	0.97	0.00	0.00	140.74	0.00	117.71	0.00	0.00	0.00	0.00						
Perdida instantánea(2a.Etapa)		0.00	0.97	0.00	0.00	140.74	0.00	117.71	0.00	0.00	0.00	0.00						
Perdidas diferidas totales		278.24	0.97	0.00	-71.39	69.35	5.45	123.16	5.45	5.45	-19.75	-19.75						
Banqueta+Guarnición		0.00	0.00	18.03	-3.47	65.88	1.68	124.84	1.68	7.13	2.64	-17.11						
Parapeto+Relleno		0.00	0.00	93.86	-18.08	47.79	8.75	133.59	8.75	15.88	13.74	-3.37						
Carpeta asfáltica		0.00	0.00	44.65	-8.60	39.19	4.16	137.75	4.16	20.04	6.54	3.17						
Carva Viva		0.00	0.00	241.37	-46.51	-7.32	22.50	160.25	22.50	42.54	35.34	38.51						
ESTADO FINAL DE ESFUERZO (kg / cm²)				Inf. Acum = -7.32	Sup. Acum = 160.25	Inf. Acum = 42.54	Sup. Acum = 38.51	Esfuerzos permisibles al tensado (después de perdidas)										
Esfuerzos permisibles		Al tensado		En servicio		Comentarios finales				Esfuerzos permisibles al tensado (antes de perdidas)								
		Con refuerzo		Sin refuerzo		Al tensado				Compresión :Pretenados 0.4f'c 180								
Compresión		247.50		180.00		Compresión Serv.				Compresión: Postensados 0.4f'c 180								
Tensión		-42.19		-16.87		Tensión Serv.				Tensión: Sin refuerzo 6 √ f'c 33.75								
Modulo de ruptura		-30.94								Tensión: Con refuerzo 7.5 √ f'c 42.19								
REVISIÓN POR RESISTENCIA ULTIMA																		
Nota Importante. 1- Las normas AASHTO si permiten tensiones 2- Las normas SCT no permiten tensiones		Momento último (M u) Actuante		Momento resistente (MR) Como Sección TEE 1,468.93 ton-m 69.44 ton-m		Momento resistente (MR) Como Sección Rectangular a = 26.473 1,654.21 ton-m		Capacidad Momento resistente 1 1,538.36		Verificación del refuerzo por tensión Requiere refuerzo por tensión (ton) 28.09								
938.79 ton-m		1,538.36 ton-m		Pasa por Mu		Pasa por Mu		1,654.21 ton-m										

DATOS DE ANÁLISIS		DATOS DEL CLIENTE				DATOS DE LA TRABE		ETAPAS DE TENSADO		1
SECCION : 0.2L COMBINACION : CMT + CV + IMPACTO CARGA VIVA QUE RIGE : CAMIÓN T3S2R4		PROYECTO : ING. EDUARDO VÁZQUEZ GARCÉS				SECCIÓN CAJÓN (POSTENSADA)		UNA ETAPA (1)	DOS ETAPAS (2)	Tensado en sección simple Tensado en sección simple y sección compuesta

ESFUERZO PERMISIBLE		PROPIEDADES DE LOS MATERIALES			MOMENTO		DATOS DEL PRESFUEZO		1a. ETAPA	
% de Esfzs. Permisibles = 100		f_c tens.(kg/cm²) = 450.00 Esfzo. Al tensado f_c (kg/cm²) = 450.00 Esfzo. Compresión frg (kg/cm²) = 18,920.00 Esfzo. Ruptura			Anotar(1) si(-) Anotar(2) si(+)		f_{rg} = 189.20 Kg/mm² f_{re} = 160.20 Kg/mm² (%) Tensado = 0.80 frg (f_o) = 151.36 Kg/mm² E_p = 20,400.00 Kg/mm²	Esfuerzo de ruptura Esfuerzo de fluencia (%) de esfuerzo de tensado Esfuerzo de tensado Modulo de elasticidad		

CARACTERISTICAS GEOMETRICAS DE LA TRABE		REVISION A LA RUPTURA		No. Torones		ϕ (mm)	At (mm²)	Yp (cm)	2a. ETAPA	
Sección simple		Sección compuesta		$Aps(total)$ = 126.90 cm²		15	15	141	53.20	Peso propio
H (m) = 1.43 Altura de trabe		H (m) = 1.70 Altura total		d_p = 111.47 cm		15	15	141	38.80	Presfzo. (1a. etapa)
I_x (m³) = 0.501347 Inercia de trabe		I_x (m³) = 0.501347 Inercia		f_{pu} = 189.20 kg/mm²		15	15	141	24.40	Perdidas Instantáneas (1a. Etapa)
A (m²) = 1.419300 Área de trabe		A (m²) = 1.419300 Área		b_1 = 0.90 cm		15	15	141	59.60	Perdidas instantáneas(2a.Etapa)
Y_i (m) = 0.966000 Eje neutro		Y_i (m) = 0.966000 Eje neutro		k = 0.39		15	15	141	45.20	Perdidas diferidas totales
Y_s (m) = 0.467300 dist. Superior		Y_s (m) = 0.734000 dist. Superior		c (Sec. Tee)= 43.62 cm		0	15	141	130.00	Banqueta+Guarnición
S_i (m³) = 0.518993 Mod. Secc. Inf.		S_i viga (m³) = 0.518993 Mod. Secc. Inferior		f_{ps} = 16,058.30 kg / cm²		ΣAt = 12,690.00 mm²		Parapeto+Relleno		Presfuzo(1a.etapa)
S_s (m³) = 1.072859 Mod. Secc. Sup.		S_s viga (m³) = 1.072859 Mod. Secc. Superior		Eje de presfuzo = 58.53 cm		Carpeta asfáltica		Carva Viva		Presfuzo(1a.etapa) = 1,920.76 ton
Pérdidas de presfuzo		Geometría de la trabe		Acero en compresión		PRESFUEZO 2a. ETAPA				
Centroide(1a.etapa), cm = 58.53		ϕ = 0.90		A_s = 0.00 cm²		No. Torones	ϕ (mm)	At (mm²)	Y_p (cm)	
Centroide(2a.etapa), cm = 0.00		b_w = 40.00		$A's(cm^2)$ = 0.00		0	15	141	53.20	Peso propio
1a. Etapa ; ΔS inst.(ton) = 139.44		b_e = 196.54		$f'y$ (kg/cm²)= 4,200.00		0	15	141	38.80	Presfzo. (2a. etapa)
1a. Etapa ; ΔS dif. (ton) = 223.55		h_f = 26.67		Es = 2,039,000.000 kg/cm²		0	15	141	24.40	Perdidas instantáneas(2a.Etapa)
Presfuzo(1a.etapa), ton = 1,920.76				r (cm)= 5.00		0	15	141	59.60	Perdidas diferidas totales
Presfuzo(2a.etapa), ton = 0.00				$d's(cm)$ = 21.67 Brazo		0	15	141	45.20	Banqueta+Guarnición
2a. Etapa ; ΔS inst.(ton) = 0.00				$d(e)$ = 111.47 Brazo		0	15	141	0.00	Parapeto+Relleno
2a. Etapa ; ΔS dif. (ton) = 0.00				a (cm)= 39.25 Bloque de esfzs.		ΣAt = 0 mm²				Presfuzo(2a.etapa) = 0.00 ton

REVISIÓN POR ESFUERZOS PERMISIBLES				ESFUERZOS EN TRABE (kg/cm²)				ESFUERZOS EN LOSA (kg/cm²)				ESFUERZOS PERMISIBLES POR AASHTO				
SOLICITACIONES		ESFUERZOS EN TRABE (kg/cm²)		ESFUERZOS EN LOSA (kg/cm²)		ESFUERZOS PERMISIBLES POR AASHTO		Modulo de ruptura		ESFUERZOS PERMISIBLES AL TENSADO (antes de perdidas)		ESFUERZOS PERMISIBLES AL TENSADO (después de perdidas)				
Etapas de trabajo	P (ton)	e (m)	M (ton-m)	Inferior	Inf. acum.	Superior	Sup. acum.	Inferior	Inf. acum.	Superior	Sup. acum.	AASHTO Capítulo 9.15.2.3	Lb/in²	kg/cm²		
Peso propio	0.00	0.00	427.89	-82.45	-82.45	39.88	39.88	0.00	0.00	0.00	0.00	Para Concreto Peso Normal	7.5 $\sqrt{f'c}$	42.19		
Presfzo. (1a. etapa)	1,920.76	0.38	0.00	276.21	193.77	67.18	107.06	0.00	0.00	0.00	0.00	Para Concreto Peso Ligero	6.3 $\sqrt{f'c}$	35.44		
Perdidas Instantáneas (1a. Etapa)	139.44	0.38	0.00	-20.05	173.72	-4.88	102.19	0.00	0.00	0.00	0.00	Para cualquier tipo de Concreto	5.5 $\sqrt{f'c}$	30.94		
Losa + diafragmas	0.00	0.00	0.00	0.00	173.72	0.00	102.19	0.00	0.00	0.00	0.00					
Presfzo. (2a. etapa)	0.00	0.97	0.00	0.00	173.72	0.00	102.19	0.00	0.00	0.00	0.00					
Perdida instantánea(2a.Etapa)	0.00	0.97	0.00	0.00	173.72	0.00	102.19	0.00	0.00	0.00	0.00					
Perdidas diferidas totales	223.55	0.97	0.00	-57.36	116.35	4.38	106.56	4.38	4.38	-15.87	-15.87					
Banqueta+Guarnición	0.00	0.00	31.39	-6.05	110.31	2.93	109.49	2.93	7.30	4.60	-11.27					
Parapeto+Relleno	0.00	0.00	163.15	-31.44	78.87	15.21	124.70	15.21	22.51	23.89	12.62					
Carpeta asfáltica	0.00	0.00	77.84	-15.00	63.87	7.26	131.95	7.26	29.77	11.40	24.01					
Carva Viva	0.00	0.00	409.53	-78.91	-15.04	38.17	170.13	38.17	67.94	59.96	83.97					
ESTADO FINAL DE ESFUERZO (kg/cm²)				Inf. Acum = -15.04	Sup. Acum = 170.13	Inf. Acum = 67.94	Sup. Acum = 83.97	Esfuerzos permisibles al tensado (después de perdidas)								
Esfuerzos permisibles	Al tensado		En servicio		Comentarios finales											
	Con refuerzo	Sin refuerzo		Al tensado	Bien		Bien		Bien		Bien		Compresión :Pretensados	0.4f'c	180	
Compresión			247.50	180.00	Compresión Serv.	Bien		Bien		Bien			Compresión :Postensados	0.4f'c	180	
Tensión	-42.19	-16.87	-16.87	Tensión Serv.	Bien		Bien		Bien		Bien		AASHTO Capítulo 9.15.2.2	Lb/in²	kg/cm²	
Modulo de ruptura	-30.94												Tensión: Sin refuerzo	6 $\sqrt{f'c}$	33.75	
													Tensión: Con refuerzo	7.5 $\sqrt{f'c}$	42.19	

REVISIÓN POR RESISTENCIA ULTIMA								Capacidad		Verificación del refuerzo por tensión	
Nota Importante.	Momento resistente (MR)		1						Momento resistente	Requiere refuerzo por tensión (ton)	
1- Las normas AASHTO si permiten tensiones	Momento último (Mu)	Actuante	Como Sección TEE	1,871.51 ton-m	90.43 ton-m	Pasa por Mu	Pasa por Mu	1	1,961.94	55.45	
2- Las normas SCT no permiten tensiones				1,961.94 ton-m				1,961.94			

DATOS DE ANÁLISIS		DATOS DEL CLIENTE				DATOS DE LA TRABE		ETAPAS DE TENSADO		1
SECCION : 0.3L COMBINACION : CMT + CV + IMPACTO CARGA VIVA QUE RIGE : CAMIÓN T3S2R4		PROYECTO : ING. EDUARDO VÁZQUEZ GARCÉS				SECCIÓN CAJÓN (POSTENSADA)		UNA ETAPA (1) DOS ETAPAS (2)		Tensado en sección simple Tensado en sección simple y sección compuesta

ESFUERZO PERMISIBLE		PROPIEDADES DE LOS MATERIALES		MOMENTO		DATOS DEL PRESFUEZO		1a. ETAPA		
% de Esfzs. Permisibles = 100		f_c tens.(kg/cm²) = 450.00 Esfzo. Al tensado f_c (kg/cm²) = 450.00 Esfzo. Compresión frg (kg/cm²) = 18,920.00 Esfzo. Ruptura		Anotar(1) si(-) Anotar(2) si(+)		f_{rg} = 189.20 Kg/mm² f_{re} = 160.20 Kg/mm² (%) Tensado = 0.80 frg (f_o) = 151.36 Kg/mm² E_p = 20,400.00 Kg/mm²		Esfuerzo de ruptura Esfuerzo de fluencia (%) de esfuerzo de tensado Esfuerzo de tensado Modulo de elasticidad		

CARACTERISTICAS GEOMETRICAS DE LA TRABE		REVISION A LA RUPTURA		No. Torones		ϕ (mm)	At (mm²)	Yp (cm)	2a. ETAPA	
Sección simple		Sección compuesta		Aps(total) = 126.90 cm²		15	15	141	29.20	PRESFUEZO (1a. ETAPA)
H (m) = 1.43 Altura de trabe	Ix (m⁴) = 0.501347 Inercia de trabe	H (m) = 1.70 Altura total	Ix (m⁴) = 0.501347 Inercia	d p = 125.47 cm		15	15	141	22.80	Presfzo. (2a. etapa)
A (m²) = 1.419300 Área de trabe	A (m²) = 1.419300 Área	A (m²) = 1.419300 Área	A (m²) = 1.419300 Área	f pu = 189.20 kg/mm²		15	15	141	16.40	Perdidas instantáneas(2a. Etapa)
Yi (m) = 0.966000 Eje neutro	Yi (m) = 0.966000 Eje neutro	b 1 = 0.90 cm	b 1 = 0.90 cm	b 1 = 0.90 cm		15	15	141	37.60	Perdidas diferidas totales
Ys (m) = 0.467300 dist. Superior	Ys (m) = 0.734000 dist. Superior	k = 0.39	k = 0.39	k = 0.39		15	15	141	31.20	Banqueta+Guarnición
S i (m³) = 0.518993 Mod. Secc. Inf.	Si viga (m³) = 0.518993 Mod. Secc. Inferior	c (Sec. Tee)= 45.53 cm	c (Sec. Tee)= 45.53 cm	c (Sec. Tee)= 45.53 cm		0	15	141	130.00	Parapeto+Relleno
S s (m³) = 1.072859 Mod. Secc. Sup.	Ss viga (m³) = 1.072859 Mod. Secc. Superior	f ps = 16,266.03 kg / cm²	f ps = 16,266.03 kg / cm²	f ps = 16,266.03 kg / cm²		ΣAt = 12,690.00 mm²		Presfuezo(1a.etapa) = 1,920.76 ton		
Pérdidas de presfuzo		Geometría de la trabe		Eje de presfuzo = 44.53 cm		Acer en compresión		PRESFUEZO 2a. ETAPA		
Centroide(1a.etapa), cm = 44.53	Centroide(2a.etapa), cm = 0.00	ϕ = 0.90	b_w = 40.00	a_s = 0.00 cm²	A's(cm²) = 0.00	Acer de refuerzo	No. Torones	ϕ (mm)	At (mm²)	Yp (cm)
1a. Etapa ; ΔS inst.(ton) = 135.80	1a. Etapa ; ΔS dif. (ton) = 174.40	b_e = 196.54	h_f = 26.67	f_y = 4,200.00 kg/cm²	f 'y (kg/cm²)= 4,200.00	Límite elástico	0	15	141	29.20
Presfuzo(1a.etapa), ton = 1,920.76	Presfuzo(2a.etapa), ton = 0.00	r (cm)= 5.00	$d's$ (cm) = 21.67	Es = 2,039,000.000 kg/cm²	r (cm)= 5.00 Recubrimiento	0	15	141	22.80	
2a. Etapa ; ΔS inst.(ton) = 0.00	2a. Etapa ; ΔS dif. (ton) = 0.00	d (cm) = 125.47	a (cm)= 40.98	r (cm)= 5.00 Brazo	d (cm) = 125.47 Brazo	0	15	141	16.40	
		c = 30.475 cm		$Viga TEE$		0	15	141	37.60	
		Rige Sec. Tee				ΣAt = 0 mm²		Eje de presfuzo = 0.00 cm		
						Presfuzo(2a.etapa) = 0.00 ton				

SOLICITACIONES				ESFUERZOS EN TRABE (kg/cm²)				ESFUERZOS EN LOSA (kg/cm²)				ESFUERZOS PERMISIBLES POR AASHTO				
Etapas de trabajo		P (ton)	e (m)	M (ton-m)	Inferior	Inf. acum.	Superior	Sup. acum.	Inferior	Inf. acum.	Superior	Sup. acum.	Modulo de ruptura			
Peso propio		0.00	0.00	538.85	-103.83	-103.83	50.23	50.23	0.00	0.00	0.00	0.00	AASHTO Capítulo 9.15.2.3	Lb/in²	kg/cm²	
Presfzo. (1a. etapa)		1,920.76	0.52	0.00	328.03	224.20	42.12	92.34	0.00	0.00	0.00	0.00	Para Concreto Peso Normal	7.5 √ f'c	42.19	
Perdidas Instantáneas (1a. Etapa)		135.80	0.52	0.00	-23.19	201.01	-2.98	89.36	0.00	0.00	0.00	0.00	Para Concreto Peso Ligero	6.3 √ f'c	35.44	
Losa + diafragmas		0.00	0.00	0.00	0.00	201.01	0.00	89.36	0.00	0.00	0.00	0.00	Para cualquier tipo de Concreto	5.5 √ f'c	30.94	
Presfzo. (2a. etapa)		0.00	0.97	0.00	0.00	201.01	0.00	89.36	0.00	0.00	0.00	0.00	Efuerzos permisibles al tensado (antes de perdidas)			
Perdida instantánea(2a.Etapa)		0.00	0.97	0.00	0.00	201.01	0.00	89.36	0.00	0.00	0.00	0.00	AASHTO Capítulo 9.15.2.1	Lb/in²	kg/cm²	
Perdidas diferidas totales		174.40	0.97	0.00	-44.75	156.26	3.42	92.78	3.42	3.42	-12.38	-12.38	Compresión :Pretenados	0.6f'c	270	
Banqueta+Guarnición		0.00	0.00	39.45	-7.60	148.66	3.68	96.46	3.68	7.09	5.78	-6.60	Compresión: Postensados	0.55f'c	247.5	
Parapeto+Relleno		0.00	0.00	204.68	-39.44	109.22	19.08	115.53	19.08	26.17	29.97	23.36	AASHTO Capítulo 9.15.2.2	Lb/in²	kg/cm²	
Carpeta asfáltica		0.00	0.00	97.94	-18.87	90.35	9.13	124.66	9.13	35.30	14.34	37.70	Tensión: Sin refuerzo	3 √ f'c	16.87	
Carva Viva		0.00	0.00	530.85	-102.28	-11.93	49.48	174.14	49.48	84.78	77.72	115.42	Tensión: Con refuerzo	7.5 √ f'c	42.19	
ESTADO FINAL DE ESFUERZO (kg / cm²)				Inf. Acum = -11.93	Sup. Acum = 174.14	Inf. Acum = 84.78	Sup. Acum = 115.42	Esfuerzos permisibles al tensado (después de perdidas)								
Esfuerzos permisibles		Al tensado		En servicio		Comentarios finales										
		Con refuerzo	Sin refuerzo	Al tensado	Bien	Bien	Bien	Bien	Comentarios finales					Compresión :Pretenados	0.4f'c	180
Compresión				Bien		Bien		Bien					Compresión: Postensados	0.4f'c	180	
Tensión		-42.19	-16.87	-16.87	Bien	Bien	Bien	Bien					AASHTO Capítulo 9.15.2.2	Lb/in²	kg/cm²	
Modulo de ruptura		-30.94											Tensión: Sin refuerzo	6 √ f'c	33.75	
													Tensión: Con refuerzo	7.5 √ f'c	42.19	

REVISIÓN POR RESISTENCIA ULTIMA							
Nota Importante.		Momento resistente (MR)		Momento resistente (MR)		Capacidad	
1- Las normas AASHTO si permiten tensiones		Como Sección TEE		Como Sección Rectangular		Requerimiento de refuerzo por tensión (ton)	
2- Las normas SCT no permiten tensiones		Actuante		$f_{ps} = 17,143.576$		1	
		2,166.92 ton-m		$a = 27.427$		2,431.21 ton-m	
		2,054.61 ton-m		Pasa por Mu		Pasa por Mu	
		2,269.73 ton-m		2,431.21 ton-m		2,269.73	



DATOS DE ANÁLISIS		DATOS DEL CLIENTE				DATOS DE LA TRABE		ETAPAS DE TENSADO		1
		PROYECTO : ING. EDUARDO VÁZQUEZ GARCÉS				SECCIÓN CAJÓN (POSTENSADA)		UNA ETAPA (1) DOS ETAPAS (2)		Tensado en sección simple Tensado en sección simple y sección compuesta
1- Las normas AASHTO si permiten tensiones 2- Las normas SCT no permiten tensiones										

ESFUERZO PERMISIBLE		PROPIEDADES DE LOS MATERIALES		MOMENTO		DATOS DEL PRESFUEZO		1a. ETAPA	
% de Esfzos. Permisibles = 100		f_c tens.(kg/cm²) = 450.00 Esfzo. Al tensado		Anotar(1) si(-) Anotar(2) si(+)		f_{rg} = 189.20 Kg/mm² Esfuerzo de ruptura		Peso propio	
		f_c (kg/cm²) = 450.00 Esfzo. Compresión		f_{re} = 160.20 Kg/mm² Esfuerzo de fluencia		Presfzo. (1a. etapa)		Presfzo. (1a. etapa)	
		frg (kg/cm²) = 18,920.00 Esfzo. Ruptura		(%) Tensado = 0.80 frg (f o) = 151.36 Kg/mm² Esfuerzo de tensado		Perdidas Instantáneas (1a. Etapa)		Perdidas Instantáneas (1a. Etapa)	
				E_p = 20,400.00 Kg/mm² Modulo de elasticidad		Losa + diafragmas			

CARACTERÍSTICAS GEOMÉTRICAS DE LA TRABE		REVISIÓN A LA RUPTURA		No. Torones		♦ (mm)	At (mm²)	Yp (cm)	2a. ETAPA	
Sección simple		Sección compuesta		$Aps(total)$ = 126.90 cm²		15	15	141	14.80	PRESFUEZO (1a. ETAPA)
$H (m)$ = 1.43 Altura de trabe		$H (m)$ = 1.70 Altura total		$d p$ = 133.87 cm		15	15	141	13.20	Presfzo (2a. etapa)
$I_x (m^4)$ = 0.501347 Inercia de trabe		$I_x (m^4)$ = 0.501347 Inercia		f_{pu} = 189.20 kg/mm²		15	15	141	24.40	Perdidas instantáneas(2a.Etapa)
$A (m²)$ = 1.419300 Área de trabe		$A (m²)$ = 1.419300 Área		b_1 = 0.90 cm		15	15	141	22.80	Perdidas diferidas totales
$Y_i (m)$ = 0.966000 Eje neutro		$Y_i (m)$ = 0.966000 Eje neutro		k = 0.39		15	15	141	13.00	Banqueta+Guarnición
$Y_s (m)$ = 0.467300 dist. Superior		$Y_s (m)$ = 0.734000 dist. Superior		$c (Sec. Tee)$ = 46.55 cm		0	15	141	0.00	Parapeto+Relleno
$S_i (m³)$ = 0.518993 Mod. Secc. Inf.		S_i viga (m³) = 0.518993 Mod. Secc. Inferior		f_{ps} = 16,376.79 kg / cm²						
$S_s (m³)$ = 1.072859 Mod. Secc. Sup.		S_s viga (m³) = 1.072859 Mod. Secc. Superior								
		S_s losa (m³) = 0.683034 Mod. Secc. Losa								
		Y_s viga (m) = 0.467300 Eje neutro								
Pérdidas de presfuzo				ΣAt = 12,690.00 mm²		Carpeta asfáltica				
Centroide(1a.etapa), cm = 36.13		Eje de presfuzo = 36.13 cm		Presfuzo(1a.etapa) = 1,920.76 ton		Carva Viva				
Centroide(2a.etapa), cm = 0.00										
1a. Etapa ; ΔS inst.(ton) = 138.04		ϕ = 0.90								
1a. Etapa ; ΔS dif. (ton) = 204.59		b_w = 40.00								
Presfuzo(1a.etapa), ton = 1,920.76		b_e = 196.54								
Presfuzo(2a.etapa), ton = 0.00		h_f = 26.67								
2a. Etapa ; ΔS inst.(ton) = 0.00										
2a. Etapa ; ΔS dif. (ton) = 0.00										

DATOS DE ANÁLISIS				DATOS DEL CLIENTE				DATOS DE LA TRABE				ETAPAS DE TENSADO		1														
SECCION : C.CLARO COMBINACION : CMT + CV + IMPACTO CARGA VIVA QUE RIGE : CAMIÓN T3S2R4				PROYECTO : ING. EDUARDO VÁZQUEZ GARCÉS				SECCIÓN CAJÓN (POSTENSADA)				UNA ETAPA (1)	Tensado en sección simple															
								DOS ETAPAS (2)				DOS ETAPAS (2)	Tensado en sección simple y sección compuesta															
ESFUERZO PERMISIBLE		PROPIEDADES DE LOS MATERIALES				MOMENTO		2		DATOS DEL PRESFURZO				1a. ETAPA														
% de Esfzos. Permisibles = 100		f_c tens.(kg/cm²) = 450.00 Esfzo. Al tensado f_c (kg/cm²) = 450.00 Esfzo. Compresión frg (kg/cm²) = 18,920.00 Esfzo. Ruptura				Anotar(1) si(-) Anotar(2) si(+)		f rg = 189.20 Kg/mm² f re = 160.20 Kg/mm² (%) Tensado = 0.80 frg (f o) = 151.36 Kg/mm² E p = 20,400.00 Kg/mm²		Esfuerzo de ruptura Esfuerzo de fluencia (%) de esfuerzo de tensado Esfuerzo de tensado Modulo de elasticidad				Peso propio Presfzo. (1a. etapa) Perdidas Instantáneas (1a. Etapa) Losa + diafragmas														
CARACTERISTICAS GEOMETRICAS DE LA TRABE				REVISION A LA RUPTURA				No. Torones		d (mm)		At (mm²)		Yp (cm)														
Sección simple H (m) = 1.43 Altura de trabe I_x (m⁴) = 0.501347 Inercia de trabe A (m²) = 1.419300 Área de trabe Y_i (m) = 0.966000 Eje neutro Y_s (m) = 0.467300 dist. Superior S_i (m³) = 0.518993 Mod. Secc. Inf. S_s (m³) = 1.072859 Mod. Secc. Sup.				Sección compuesta H (m) = 1.70 Altura total I_x (m⁴) = 0.501347 Inercia A (m²) = 1.419300 Área Y_i (m) = 0.966000 Eje neutro Y_s (m) = 0.734000 dist. Superior S_i viga (m³) = 0.518993 Mod. Secc. Inferior S_s viga (m³) = 1.072859 Mod. Secc. Superior S_s losa (m³) = 0.683034 Mod. Secc. Losa Y_s viga (m) = 0.467300 Eje neutro				Aps (total) = 126.90 cm² d_p = 136.67 cm f_{pu} = 189.20 kg/mm² b_1 = 0.90 cm k = 0.39 c (Sec. Tee)= 46.87 cm f_{ps} = 16,411.69 kg / cm²		15 15 15 15 15 15 0		15 15 15 15 15 15 15		141 141 141 141 141 141 141		10.00 10.00 20.00 20.00 130.00 0.00												
Pérdidas de presfuzro Centroide(1a.etapa), cm = 33.33 Centroide(2a.etapa), cm = 0.00 1a. Etapa ; ΔS inst.(ton) = 138.94 1a. Etapa ; ΔS dif. (ton) = 216.84 Presfuzro(1a.etapa), ton = 1,920.76 Presfuzro(2a.etapa), ton = 0.00 2a. Etapa ; ΔS inst.(ton) = 0.00 2a. Etapa ; ΔS dif. (ton) = 0.00				Geometria de la trabe ϕ = 0.90 b_w = 40.00 b_e = 196.54 h_f = 26.67				ΣAt = 12,690.00 mm² Eje de presfuzro = 33.33 cm Presfuzro(1a.etapa) = 1,920.76 ton		PRESFUZO 1a. ETAPA Acero en compresión A_s = 0.00 cm² f_y = 4,200.00 kg/cm² E_s = 2,039,000.00 kg/cm² r = 5.00 cm d_s = 165.00 cm c = 30.751 cm Rige Sec. Tee		PRESFUZO 2a. ETAPA Acero en compresión $A_s(cm^2)$ = 0.00 Acero de refuerzo $f' y$ (kg/cm²)= 4,200.00 Límite elástico r (cm)= 5.00 Recubrimiento $d's(cm)$ = 21.67 Brazo $d(e)cm$ = 136.67 Brazo $a(cm)$ = 42.18 Bloque de esfzos.		No. Torones No. Torones No. Torones No. Torones No. Torones No. Torones No. Torones		At (mm²) At (mm²) At (mm²) At (mm²) At (mm²) At (mm²) At (mm²)		Yp (cm) Yp (cm) Yp (cm) Yp (cm) Yp (cm) Yp (cm) Yp (cm)										
REVISIÓN POR ESFUERZOS PERMISIBLES				SOLICITACIONES ESFUERZOS EN TRABE (kg/cm²) ESFUERZOS EN LOSA (kg/cm²) ESFUERZOS PERMISIBLES POR AASHTO				Modulo de ruptura																				
Etapas de trabajo		P (ton) Peso propio Presfzo. (1a. etapa) Perdidas Instantáneas (1a. Etapa) Losa + diafragmas Presfuzro (2a. etapa) Perdida instantánea(2a.Etapa) Perdidas diferidas totales Banqueta+Guarnición Parapeto+Relleno Carpeta asfáltica Carva Viva		e (m) 0.00 0.63 0.63 0.00 0.97 0.97 0.97 0.00 0.00 0.00 0.00 0.00 0.00 0.00 0.00		M (ton-m) 538.47 0.00 0.00 0.00 0.00 0.00 0.00 0.00 0.00 0.00 0.00 0.00 0.00 0.00 0.00	Inferior -103.75 369.48 -26.73 0.00 0.00 0.00 0.00 0.00 0.00 -55.64 183.36 -7.59 175.77 3.67 78.57 3.67 7.92 5.77 9.15 106.66 53.28 159.93 53.28 89.28 83.68 118.17		Inf. acum. -103.75 265.72 239.00 -1.60 70.66 0.00 0.00 0.00 0.00 4.25 74.90 175.77 78.57 7.92 18.93 9.15 106.66 159.93 0.00 0.00 0.00 0.00 0.00 0.00 0.00 0.00 0.00 0.00 0.00 0.00 0.00 0.00		Superior 50.19 72.25 70.66 0.00 0.00 0.00 0.00 0.00 4.25 4.25 4.25 78.57 7.92 18.93 9.15 106.66 159.93 0.00 0.00 0.00 0.00 0.00 0.00 0.00 0.00 0.00 0.00 0.00 0.00 0.00 0.00	Inferior 0.00 0.00 0.00 0.00 0.00 0.00 0.00 0.00 0.00 0.00 0.00 0.00 0.00 0.00 0.00	Inf. acum. 0.00 0.00 0.00 0.00 0.00 0.00 0.00 0.00 0.00 0.00 0.00 0.00 0.00 0.00 0.00	Superior 0.00 0.00 0.00 0.00 0.00 0.00 0.00 0.00 0.00 0.00 0.00 0.00 0.00 0.00 0.00	Sup. acum. 0.00 0.00 0.00 0.00 0.00 0.00 0.00 0.00 0.00 0.00 0.00 0.00 0.00 0.00 0.00	AASHTO Capítulo 9.15.2.3 Para Concreto Peso Normal $7.5 \sqrt{f_c}$ 42.19 Para Concreto Peso Ligero $6.3 \sqrt{f_c}$ 35.44 Para cualquier tipo de Concreto $5.5 \sqrt{f_c}$ 30.94												
Esfuerzos permisibles al tensado (antes de perdidas)				Esfuerzos permisibles al tensado (después de perdidas)				Esfuerzos permisibles al tensado (antes de perdidas)				Esfuerzos permisibles al tensado (después de perdidas)																
Esfuerzos permisibles		Al tensado Con refuerzo Compresión Tensión Modulo de ruptura		En servicio Sin refuerzo Compresión Serv. Tensión Serv. Modulo de refuerzo		Comentarios finales				Comentarios finales				Comentarios finales														
ESTADO FINAL DE ESFUERZO (kg / cm²)				Inf. Acum = 7.59		Sup. Acum = 159.93		Inf. Acum = 89.28		Sup. Acum = 118.17		Esfuerzos permisibles al tensado (después de perdidas)																
REVISIÓN POR RESISTENCIA ULTIMA				Nota Importante. 1- Las normas AASHTO si permiten tensiones 2- Las normas SCT no permiten tensiones				Momento resistente (MR) Como Sección TEE 2,407.00 ton-m 111.49 ton-m 2,123.72 ton-m				Momento resistente (MR) Como Sección Rectangular $a = 27.676$ 2,692.56 ton-m 2,692.56 ton-m				Capacidad Momento resistente 1 $2,518.49$												
Verificación del refuerzo por tensión				No Requiere refuerzo por tensión Adecuado																								

DATOS DE ANÁLISIS		DATOS DEL CLIENTE				DATOS DE LA TRABE		ETAPAS DE TENSADO		1
SECCION : 0.6L COMBINACION : CMT + CV + IMPACTO CARGA VIVA QUE RIGE : CAMIÓN T3S2R4		PROYECTO : ING. EDUARDO VÁZQUEZ GARCÉS				SECCIÓN CAJÓN (POSTENSADA)		UNA ETAPA (1) DOS ETAPAS (2)		Tensado en sección simple Tensado en sección simple y sección compuesta

ESFUERZO PERMISIBLE		PROPIEDADES DE LOS MATERIALES		MOMENTO		2		DATOS DEL PRESFUEZO		1a. ETAPA
% de Esfzos. Permisibles = 100		f_c tens.(kg/cm²) = 450.00 Esfzo. Al tensado f_c (kg/cm²) = 450.00 Esfzo. Compresión frg (kg/cm²) = 18,920.00 Esfzo. Ruptura		Anotar(1) si(-) Anotar(2) si(+)		f_{rg} = 189.20 Kg/mm² f_{re} = 160.20 Kg/mm² (%) Tensado = 0.80 frg (f_o) = 151.36 Kg/mm² E_p = 20,400.00 Kg/mm²		Esfuerzo de ruptura Esfuerzo de fluencia (%) de esfuerzo de tensado Esfuerzo de tensado Modulo de elasticidad		Peso propio Presfzo. (1a. etapa) Perdidas Instantáneas (1a. Etapa) Losa + diafragmas

CARACTERISTICAS GEOMETRICAS DE LA TRABE		REVISION A LA RUPTURA		No. Torones		ϕ (mm)	At (mm²)	Yp (cm)	2a. ETAPA	
Sección simple		Sección compuesta		Aps(total) = 126.90 cm²		15	15	141	16.40	PRESFUEZO (1a. ETAPA)
H (m) = 1.43 Altura de trabe		H (m) = 1.70 Altura total		d_p = 133.60 cm		15	15	141	13.20	Presfzo (2a. etapa)
I_x (m⁴) = 0.501347 Inercia de trabe		I_x (m⁴) = 0.501347 Inercia		f_{pu} = 189.20 kg/mm²		15	15	141	21.20	Perdidas instantáneas(2a.Etapa)
A (m²) = 1.419300 Área de trabe		A (m²) = 1.419300 Área		b_1 = 0.90 cm		15	15	141	22.80	Perdidas diferidas totales
Y_i (m) = 0.966000 Eje neutro		Y_i (m) = 0.966000 Eje neutro		k = 0.39		15	15	141	130.00	Banqueta+Guarnición
Y_s (m) = 0.467300 dist. Superior		Y_s (m) = 0.734000 dist. Superior		c (Sec. Tee)= 46.52 cm		0	15	141	0.00	Parapeto+Relleno
S_i (m³) = 0.518993 Mod. Secc. Inf.		S_i viga (m³) = 0.518993 Mod. Secc. Inferior		f_{ps} = 16,373.42 kg / cm²						
S_s (m³) = 1.072859 Mod. Secc. Sup.		S_s viga (m³) = 1.072859 Mod. Secc. Superior							ΣAt = 12,690.00 mm²	
		S_s losa (m³) = 0.683034 Mod. Secc. Losa							Eje de presfuerzo = 36.40 cm	
		Y_s viga (m) = 0.467300 Eje neutro							Presfuerzo(1a.etapa) = 1,920.76 ton	
Pérdidas de presfuerzo		Geometría de la trabe		Acero en compresión		PRESFUEZO 2a. ETAPA				
Centroide(1a.etapa), cm = 36.40		ϕ = 0.90		A_s = 0.00 cm²		No. Torones	ϕ (mm)	At (mm²)	Yp (cm)	
Centroide(2a.etapa), cm = 0.00		b_w = 40.00		$A's$ (cm²) = 0.00		0	15	141	16.40	
1a. Etapa ; ΔS inst.(ton) = 111.23		b_e = 196.54		$f'y$ (kg/cm²)= 4,200.00		0	15	141	13.20	
1a. Etapa ; ΔS dif. (ton) = 206.96		h_f = 26.67		Es = 2,039,000.00 kg/cm²		0	15	141	21.20	
Presfuerzo(1a.etapa), ton = 1,920.76				r (cm)= 5.00 Recubrimiento		0	15	141	14.80	
Presfuerzo(2a.etapa), ton = 0.00				$d's$ (cm) = 21.67 Brazo		0	15	141	22.80	
2a. Etapa ; ΔS inst.(ton) = 0.00				d (cm) = 133.60 Brazo		0	15	141	0.00	
2a. Etapa ; ΔS dif. (ton) = 0.00				a (cm)= 41.87 Bloque de esfzos.						

SOLICITACIONES		ESFUERZOS EN TRABE (kg/cm²)				ESFUERZOS EN LOSA (kg/cm²)				ESFUERZOS PERMISIBLES POR AASHTO			
Etapas de trabajo	P (ton)	e (m)	M (ton-m)	Inferior	Inf. acum.	Superior	Sup. acum.	Inferior	Inf. acum.	Superior	Sup. acum.	Modulo de ruptura	
Peso propio	0.00	0.00	430.96	-83.04	-83.04	40.17	40.17	0.00	0.00	0.00	0.00	AASHTO Capítulo 9.15.2.3	Lb/in² kg/cm²
Presfzo. (1a. etapa)	1,920.76	0.60	0.00	358.13	275.09	27.55	67.72	0.00	0.00	0.00	0.00	Para Concreto Peso Normal	7.5 √ f'c 42.19
Perdidas Instantáneas (1a. Etapa)	111.23	0.60	0.00	-20.74	254.35	-1.60	66.13	0.00	0.00	0.00	0.00	Para Concreto Peso Ligero	6.3 √ f'c 35.44
Losa + diafragmas	0.00	0.00	0.00	0.00	254.35	0.00	66.13	0.00	0.00	0.00	0.00	Para cualquier tipo de Concreto	5.5 √ f'c 30.94
Presfzo. (2a. etapa)	0.00	0.97	0.00	0.00	254.35	0.00	66.13	0.00	0.00	0.00	0.00	Esfuerzos permisibles al tensado (antes de perdidas)	
Perdida instantánea(2a.Etapa)	0.00	0.97	0.00	0.00	254.35	0.00	66.13	0.00	0.00	0.00	0.00	AASHTO Capítulo 9.15.2.1	Lb/in² kg/cm²
Perdidas diferidas totales	206.96	0.97	0.00	-53.10	201.25	4.05	70.18	4.05	4.05	-14.69	-14.69	Compresión :Pretenados	0.6f'c 270
Banqueta+Guarnición	0.00	0.00	31.21	-6.01	195.23	2.91	73.09	2.91	6.96	4.57	-10.12	Compresión: Postensados	0.55f'c 247.5
Parapeto+Relleno	0.00	0.00	159.76	-30.78	164.45	14.89	87.98	14.89	21.85	23.39	13.27	AASHTO Capítulo 9.15.2.2	Lb/in² kg/cm²
Carpeta asfáltica	0.00	0.00	78.17	-15.06	149.39	7.29	95.27	7.29	29.14	11.44	24.72	Tensión: Sin refuerzo	3 √ f'c 16.87
Carva Viva	0.00	0.00	500.89	-96.51	52.88	46.69	141.95	46.69	75.83	73.33	98.05	Tensión: Con refuerzo	7.5 √ f'c 42.19
ESTADO FINAL DE ESFUERZO (kg / cm²)		Inf. Acum =	52.88	Sup. Acum =	141.95	Inf. Acum =	75.83	Sup. Acum =	98.05	Esfuerzos permisibles al tensado (después de perdidas)			
Esfuerzos permisibles	Al tensado		En servicio		Comentarios finales								
	Con refuerzo	Sin refuerzo		Al tensado	Excede		Bien		Bien		Bien		
Compresión			247.50	180.00	Compresión Serv.	Bien		Bien		Bien		AASHTO Capítulo 9.15.2.2	Lb/in² kg/cm²
Tensión	-42.19	-16.87	-16.87	Tensión Serv.	Bien		Bien		Bien		Bien	Tensión: Sin refuerzo	6 √ f'c 33.75
Modulo de ruptura	-30.94											Tensión: Con refuerzo	7.5 √ f'c 42.19

REVISIÓN POR RESISTENCIA ULTIMA									
Nota Importante.		Momento último (M u)		Como Sección TEE		Como Sección Rectangular		Capacidad	
1- Las normas AASHTO si permiten tensiones		Actuante		1 Como Sección TEE 2,340.97 ton-m 109.21 ton-m		2 Como Sección Rectangular a = 27.610 2,620.91 ton-m		Momento resistente	
2- Las normas SCT no permiten tensiones		1,771.23 ton-m		2,450.18 ton-m		1 Pasa por Mu 2,620.91 ton-m		1 2,450.18	
								No Requiere refuerzo por tensión Adecuado	

DATOS DE ANÁLISIS				DATOS DEL CLIENTE				DATOS DE LA TRABE				ETAPAS DE TENSADO		1					
SECCION : 0.7L COMBINACION : CMT + CV + IMPACTO CARGA VIVA QUE RIGE : CAMIÓN T3S2R4				PROYECTO : ING. EDUARDO VÁZQUEZ GARCÉS				SECCIÓN CAJÓN (POSTENSADA)				UNA ETAPA (1)	Tensado en sección simple						
								DOS ETAPAS (2)				DOS ETAPAS (2)	Tensado en sección simple y sección compuesta						
ESFUERZO PERMISIBLE				PROPIEDADES DE LOS MATERIALES				MOMENTO 2				DATOS DEL PRESFUERZO		1a. ETAPA					
% de Esfzs. Permisibles = 100				f_c tens.(kg/cm ²) = 450.00 Esfzo. Al tensado f_c (kg/cm ²) = 450.00 Esfzo. Compresión f_{rg} (kg/cm ²) = 18,920.00 Esfzo. Ruptura				Anotar(1) si(-) Anotar(2) si(+)				f_{rg} = 189.20 Kg/mm ² f_{re} = 160.20 Kg/mm ² (%) Tensado = 0.80 frg (f _o) = 151.36 Kg/mm ² E_p = 20,400.00 Kg/mm ²	Esfuerzo de ruptura Esfuerzo de fluencia (%) de esfuerzo de tensado Esfuerzo de tensado Modulo de elasticidad	Peso propio Presfzo. (1a. etapa) Perdidas Instantáneas (1a. Etapa) Losa + diafragmas	Presfzo. (2a. etapa) Perdidas instantáneas(2a.Etapa) Perdidas diferidas totales Banqueta+Guarnición Parapeto+Relleno				
CARACTERÍSTICAS GEOMÉTRICAS DE LA TRABE				REVISIÓN A LA RUPTURA				No. Torones				♦ (mm)	At (mm ²)	Y _p (cm)	2a. ETAPA				
Sección simple H (m) = 1.43 Altura de trabe I _x (m ⁴) = 0.501347 Inercia de trabe A (m ²) = 1.419300 Área de trabe Y _i (m) = 0.966000 Eje neutro Y _s (m) = 0.467300 dist. Superior S _i (m ³) = 0.518993 Mod. Secc. Inf. S _s (m ³) = 1.072859 Mod. Secc. Sup.				Sección compuesta H (m) = 1.70 Altura total I _x (m ⁴) = 0.501347 Inercia A (m ²) = 1.419300 Área Y _i (m) = 0.966000 Eje neutro Y _s (m) = 0.734000 dist. Superior S _i viga (m ³) = 0.518993 Mod. Secc. Inferior S _s viga (m ³) = 1.072859 Mod. Secc. Superior S _s losa (m ³) = 0.683034 Mod. Secc. Losa Y _s viga (m) = 0.467300 Eje neutro				Aps(total) = 126.90 cm ² d_p = 127.60 cm f_{pu} = 189.20 kg/mm ² b₁ = 0.90 cm k = 0.39 c (Sec. Tee)= 45.80 cm f_{ps} = 16,295.06 kg / cm ²				15 15 15 15 15 0	15 15 15 15 15 15	141 141 141 141 141 141	16.40 22.80 24.80 31.20 130.00 0.00	PRESFUERZO (1a. ETAPA)	Presfzo. (2a. etapa) Perdidas instantáneas(2a.Etapa) Perdidas diferidas totales Banqueta+Guarnición Parapeto+Relleno		
Pérdidas de presfuerzo Centroide(1a.etapa), cm = 42.40 Centroide(2a.etapa), cm = 0.00 1a. Etapa ; Δ S inst.(ton) = 103.22 1a. Etapa ; Δ S dif. (ton) = 188.37 Presfuerzo(1a.etapa), ton = 1,920.76 Presfuerzo(2a.etapa), ton = 0.00 2a. Etapa ; Δ S inst.(ton) = 0.00 2a. Etapa ; Δ S dif. (ton) = 0.00				Geometría de la trabe φ = 0.90 b _w = 40.00 b _e = 196.54 h _f = 26.67				Acero en tensión A _s = 0.00 cm ² f _y = 4,200.00 kg/cm ² Es = 2,039,000.00 kg/cm ² r = 5.00 cm d _s = 165.00 cm c = 30.530 cm				A_s(cm²) = 0.00 Acero de refuerzo f' y (kg/cm²) = 4,200.00 Límite elástico r (cm) = 5.00 Recubrimiento d's(cm) = 21.67 Brazo d (cm) = 127.60 Brazo a (cm) = 41.22 Bloque de esfzos.	Acero en compresión		PRESFUERZO 2a. ETAPA				
								No. Torones 0				15	141	16.40	Presfzo. (2a. etapa) Perdidas instantáneas(2a.Etapa) Perdidas diferidas totales Banqueta+Guarnición Parapeto+Relleno				
								No. Torones 0				15	141	22.80	Carpeta asfáltica Carva Viva				
								No. Torones 0				15	141	24.80	Viga TEE				
								No. Torones 0				15	141	31.20	Σ At = 0 mm ² Eje de presfuerzo = 0.00 cm Presfuerzo(2a.etapa) = 0.00 ton				
REVISIÓN POR ESFUERZOS PERMISIBLES																			
SOLICITACIONES				ESFUERZOS EN TRABE (kg/cm ²)				ESFUERZOS EN LOSA (kg/cm ²)				ESFUERZOS PERMISIBLES POR AASHTO							
Etapas de trabajo		P (ton)	ε (m)	M (ton·m)	Inferior	Inf. acum.	Superior	Sup. acum.	Inferior	Inf. acum.	Superior	Sup. acum.	Modulo de ruptura						
Peso propio		0.00	0.00	252.06	-48.57	-48.57	23.49	23.49	0.00	0.00	0.00	0.00	AASHTO Capítulo 9.15.2.3 Lb/in ² kg/cm ²						
Presfzo. (1a. etapa)		1,920.76	0.54	0.00	335.92	287.36	38.30	61.79	0.00	0.00	0.00	0.00	Para Concreto Peso Normal 7.5 √ f'c 42.19						
Perdidas Instantáneas (1a. Etapa)		103.22	0.54	0.00	-18.05	269.30	-2.06	59.73	0.00	0.00	0.00	0.00	Para Concreto Peso Ligero 6.3 √ f'c 35.44						
Losa + diafragmas		0.00	0.00	0.00	0.00	269.30	0.00	59.73	0.00	0.00	0.00	0.00	Para cualquier tipo de Concreto 5.5 √ f'c 30.94						
Presfzo. (2a. etapa)		0.00	0.97	0.00	0.00	269.30	0.00	59.73	0.00	0.00	0.00	0.00	Efuerzos permisibles al tensado (antes de perdidas)						
Perdida instantánea(2a.Etapa)		0.00	0.97	0.00	0.00	269.30	0.00	59.73	0.00	0.00	0.00	0.00	AASHTO Capítulo 9.15.2.1 Lb/in ² kg/cm ²						
Perdidas diferidas totales		188.37	0.97	0.00	-48.33	220.97	3.69	63.42	3.69	3.69	-13.37	-13.37	Compresión :Pretenados 0.6f'c 270						
Banqueta+Guarnición		0.00	0.00	17.73	-3.42	217.55	1.65	65.07	1.65	5.34	2.60	-10.77	Compresión: Postensados 0.55f'c 247.5						
Parapeto+Relleno		0.00	0.00	88.67	-17.08	200.47	8.26	73.34	8.26	13.61	12.98	2.21	AASHTO Capítulo 9.15.2.2 Lb/in ² kg/cm ²						
Carpeta asfáltica		0.00	0.00	45.08	-8.69	191.78	4.20	77.54	4.20	17.81	6.60	8.81	Tensión: Sin refuerzo 3 √ f'c 16.87						
Carva Viva		0.00	0.00	370.48	-71.39	120.40	34.53	112.07	34.53	52.34	54.24	63.05	Tensión: Con refuerzo 7.5 √ f'c 42.19						
ESTADO FINAL DE ESFUERZO (kg/cm ²)				Inf. Acum =	120.40	Sup. Acum =	112.07	Inf. Acum =	52.34	Sup. Acum =	63.05	Efuerzos permisibles al tensado (después de perdidas)							
Esfuerzos permisibles		Al tensado		En servicio		Comentarios finales								Compresión :Pretenados 0.4f'c 180					
		Con refuerzo		Sin refuerzo		Al tensado Excede Bien Bien Bien Bien Compresión Serv. Bien Bien Bien Bien Tensión Serv. Bien Bien Bien Bien Modulo de ruptura -30.94								Compresión: Postensados 0.4f'c 180					
														AASHTO Capítulo 9.15.2.2 Lb/in ² kg/cm ²					
														Tensión: Sin refuerzo 6 √ f'c 33.75					
														Tensión: Con refuerzo 7.5 √ f'c 42.19					
REVISIÓN POR RESISTENCIA ULTIMA																			
Nota Importante.				Momento resistente (MR)				1	Momento resistente (MR)				Capacidad	Verificación del refuerzo por tensión					
1- Las normas AASHTO si permiten tensiones				Como Sección TEE				1	Como Sección Rectangular				Momento resistente	No Requiere refuerzo por tensión					
2- Las normas SCT no permiten tensiones				Actuante					a = 27.477				1	Adecuado					
				1,164.02 ton-m				2,316.95 ton-m	Pasa por Mu				2,480.92 ton-m						

DATOS DE ANÁLISIS				DATOS DEL CLIENTE				DATOS DE LA TRABE				ETAPAS DE TENSADO		1					
SECCION : 0.8L COMBINACION : CMT + CV + IMPACTO CARGA VIVA QUE RIGE : CAMIÓN T3S2R4				PROYECTO : ING. EDUARDO VÁZQUEZ GARCÉS				SECCIÓN CAJÓN (POSTENSADA)				UNA ETAPA (1)	Tensado en sección simple						
								DOS ETAPAS (2)				DOS ETAPAS (2)	Tensado en sección simple y sección compuesta						
ESFUERZO PERMISIBLE				PROPIEDADES DE LOS MATERIALES				DATOS DEL PRESFURZO				1a. ETAPA							
% de Esfzos. Permisibles = 100				f_c tens.(kg/cm ²) = 450.00 Esfzo. Al tensado f_c (kg/cm ²) = 450.00 Esfzo. Compresión frg (kg/cm ²) = 18,920.00 Esfzo. Ruptura				Anotar(1) si(-) Anotar(2) si(+)				f_{rg} = 189.20 Kg/mm ² Esfuerzo de ruptura f_{re} = 160.20 Kg/mm ² Esfuerzo de fluencia (%) Tensado = 0.80 frg (f _o) = 151.36 Kg/mm ² Esfuerzo de tensado E_p = 20,400.00 Kg/mm ² Modulo de elasticidad	Peso propio Presfzo. (1a. etapa) Perdidas Instantáneas (1a. Etapa) Losa + diafragmas						
CARACTERISTICAS GEOMÉTRICAS DE LA TRABE				REVISIÓN A LA RUPTURA				No. Torones				♦ (mm)	At (mm ²)	Y _p (cm)	2a. ETAPA				
Sección simple H (m) = 1.43 Altura de trabe I_x (m ⁴) = 0.501347 Inercia de trabe A (m ²) = 1.419300 Área de trabe Y_i (m) = 0.966000 Eje neutro Y_s (m) = 0.467300 dist. Superior S i (m ³) = 0.518993 Mod. Secc. Inf. S s (m ³) = 1.072859 Mod. Secc. Sup.				Sección compuesta H (m) = 1.70 Altura total I_x (m ⁴) = 0.501347 Inercia A (m ²) = 1.419300 Área Y_i (m) = 0.966000 Eje neutro Y_s (m) = 0.734000 dist. Superior S i viga (m ³) = 0.518993 Mod. Secc. Inferior S s viga (m ³) = 1.072859 Mod. Secc. Superior S s losa (m ³) = 0.683034 Mod. Secc. Losa Y_s viga (m) = 0.467300 Eje neutro				Aps(total) = 126.90 cm ² d p = 116.27 cm f pu = 189.20 kg/mm ² b 1 = 0.90 cm k = 0.39 c (Sec. Tee)= 44.30 cm f ps = 16,133.09 kg / cm ²				15 15 15 15 15 0 Σ At = 12,690.00 mm ²	15 15 15 15 15 15 Eje de presfuerzo = 53.73 cm	141 141 141 141 141 0.00 Viga TEE	24.40 38.80 53.20 30.80 130.00 Carreta asfáltica Carva Viva	PRESFUEZO (1a. ETAPA)	Presfzo (2a. etapa) Perdidas instantáneas(2a.Etapa) Perdidas diferidas totales Banqueta+Guarnición Parapeto+Relleno		
Pérdidas de presfuerzo Centroide(1a.etapa), cm = 53.73 Centroide(2a.etapa), cm = 0.00 1a. Etapa ; Δ S inst.(ton) = 103.57 1a. Etapa ; Δ S dif. (ton) = 237.04 Presfuerzo(1a.etapa), ton = 1,920.76 Presfuerzo(2a.etapa), ton = 0.00 2a. Etapa ; Δ S inst.(ton) = 0.00 2a. Etapa ; Δ S dif. (ton) = 0.00				Geometría de la trabe ϕ = 0.90 b w = 40.00 b e = 196.54 h f = 26.67				Acero en tensión A s = 0.00 cm ² f y = 4,200.00 kg/cm ² Es = 2,039,000.00 kg/cm ² r = 5.00 cm d s = 165.00 cm c = 30.223 cm				A's(cm²) = 0.00 Acero de refuerzo f' y (kg/cm²) = 4,200.00 Límite elástico r (cm) = 5.00 Recubrimiento d's(cm) = 21.67 Brazo d (cm) = 116.27 Brazo a (cm) = 39.87 Bloque de esfzos.	No. Torones 0 0 0 0 0 0	At (mm²) 15 15 15 15 15 0	Y_p (cm) 141 141 141 141 141 Carreta asfáltica Carva Viva	PRESFUEZO 2a. ETAPA	No. Torones 0 0 0 0 0 0		
								Acero en compresión A s = 0.00 cm ² f' y (kg/cm²) = 4,200.00 Límite elástico r (cm) = 5.00 Recubrimiento d's(cm) = 21.67 Brazo d (cm) = 116.27 Brazo a (cm) = 39.87 Bloque de esfzos.				A's(cm²) = 0.00 Acero de refuerzo f' y (kg/cm²) = 4,200.00 Límite elástico r (cm) = 5.00 Recubrimiento d's(cm) = 21.67 Brazo d (cm) = 116.27 Brazo a (cm) = 39.87 Bloque de esfzos.	No. Torones 0 0 0 0 0 0	At (mm²) 15 15 15 15 15 0	Y_p (cm) 141 141 141 141 141 0	PRESFUEZO 2a. ETAPA	No. Torones 0 0 0 0 0 0		
SOLICITACIONES				ESFUERZOS EN TRABE (kg/cm ²)				ESFUERZOS EN LOSA (kg/cm ²)				ESFUERZOS PERMISIBLES POR AASHTO							
Etapas de trabajo		P (ton)	e (m)	M (ton-m)	Inferior	Inf. acum.	Superior	Sup. acum.	Inferior	Inf. acum.	Superior	Sup. acum.	Modulo de ruptura						
Peso propio		0.00	0.00	-1.14	0.22	0.22	-0.11	-0.11	0.00	0.00	0.00	0.00	AASHTO Capítulo 9.15.2.3 Lb/in ² kg/cm ²						
Presfzo. (1a. etapa)		1,920.76	0.43	0.00	293.98	294.20	58.59	58.48	0.00	0.00	0.00	0.00	Para Concreto Peso Normal 7.5 √ f'c 42.19						
Perdidas Instantáneas (1a. Etapa)		103.57	0.43	0.00	-15.85	278.35	-3.16	55.32	0.00	0.00	0.00	0.00	Para Concreto Peso Ligero 6.3 √ f'c 35.44						
Losa + diafragmas		0.00	0.00	0.00	0.00	278.35	0.00	55.32	0.00	0.00	0.00	0.00	Para cualquier tipo de Concreto 5.5 √ f'c 30.94						
Presfzo. (2a. etapa)		0.00	0.97	0.00	0.00	278.35	0.00	55.32	0.00	0.00	0.00	0.00	Efuerzos permisibles al tensado (antes de perdidas)						
Perdida instantánea(2a.Etapa)		0.00	0.97	0.00	0.00	278.35	0.00	55.32	0.00	0.00	0.00	0.00	AASHTO Capítulo 9.15.2.1 Lb/in ² kg/cm ²						
Perdidas diferidas totales		237.04	0.97	0.00	-60.82	217.52	4.64	59.96	4.64	4.64	-16.82	-16.82	Compresión :Pretenados 0.6f'c 270						
Banqueta+Guarnición		0.00	0.00	-1.11	0.21	217.74	-0.10	59.86	-0.10	4.54	-0.16	-16.98	Compresión: Postensados 0.55f'c 247.5						
Parapeto+Relleno		0.00	0.00	-10.40	2.00	219.74	-0.97	58.89	-0.97	3.57	-1.52	-18.51	AASHTO Capítulo 9.15.2.2 Lb/in ² kg/cm ²						
Carreta asfáltica		0.00	0.00	-1.23	0.24	219.98	-0.11	58.78	-0.11	3.46	-0.18	-18.69	Tensión: Sin refuerzo 3 √ f'c 16.87						
Carva Viva		0.00	0.00	189.00	-36.42	183.56	17.62	76.39	17.62	21.07	27.67	8.98	Tensión: Con refuerzo 7.5 √ f'c 42.19						
ESTADO FINAL DE ESFUERZO (kg / cm ²)				Inf. Acum =	183.56	Sup. Acum =	76.39	Inf. Acum =	21.07	Sup. Acum =	8.98	Efuerzos permisibles al tensado (después de perdidas)							
Esfuerzos permisibles		Al tensado		En servicio		Comentarios finales													
		Con refuerzo		Sin refuerzo		Al tensado Excede Bien Bien Bien Compresión Serv. Excede Bien Bien Bien Tensión Serv. Bien Bien Bien Bien Modulo de ruptura -30.94													
REVISIÓN POR RESISTENCIA ULTIMA				Nota Importante.				Momento resistente (MR)				Capacidad				Verificación del refuerzo por tensión			
				1- Las normas AASHTO si permiten tensiones				Como Sección TEE				Momento resistente				No Requiere refuerzo por tensión			
				2- Las normas SCT no permiten tensiones				1.97215 ton-m				1				Adecuado			
				Actuante				94.89 ton-m				2,217.27 ton-m							
				313.10 ton-m				2,067.03 ton-m				Pasa por Mu							
				Pasa por Mu				2,217.27 ton-m				2,067.03							



INGENIERIA Facultad de Ingeniería	CAPÍTULO 5. MEMORIA DE CÁLCULO										PUEI	Programa Único de Especializaciones de Ingeniería			
DATOS DE ANALISIS				DATOS DEL CLIENTE				DATOS DE LA TRABE		ETAPAS DE TENSADO					
SECCION : 0.9L COMBINACION : CMT + CV + IMPACTO CARGA VIVA QUE RIGE : CAMIÓN T3S2R4	PROYECTO: ING. EDUARDO VÁZQUEZ GARCÉS				SECCIÓN CAJON (POSTENSADA)				UNA ETAPA (1) DOS ETAPAS (2)		1		Tensado en sección simple Tensado en sección simple y sección compuesta		
ESFUERZO PERMISIBLE		PROPIEDADES DE LOS MATERIALES				MOMENTO	2	DATOS DEL PRESFUERZO				1a. ETAPA			
% de Esfzos. Permisibles = 100		fc tens.(kg/cm²) = 450.00 Esfzo. Al tensado fc (kg/cm²) = 450.00 Esfzo. Compresión frg (kg/cm²) = 18,920.00 Esfzo. Ruptura				Anotar(1) si(-) Anotar(2) si(+)		f rg = 189.20 Kg/mm² (%) Tensado = 0.80 (f o) = 151.36 Kg/mm² E p = 20,400.00 Kg/mm²	f re = 160.20 Kg/mm² frg (%) de esfuerzo de tensado Esfuerzo de tensado Modulo de elasticidad	Esfuerzo de ruptura Esfuerzo de fluencia (%) de esfuerzo de tensado Esfuerzo de tensado Modulo de elasticidad	Esfuerzo de ruptura Esfuerzo de fluencia (%) de esfuerzo de tensado Esfuerzo de tensado Modulo de elasticidad	Peso propio Presfzo. (1a. etapa) Perdidas Instantaneas (1a. Etapa) Losa + diafragmas	Peso propio Presfzo. (1a. etapa) Perdidas Instantaneas (1a. Etapa) Losa + diafragmas		
CARACTERISTICAS GEOMETRICAS DE LA TRABE															
Sección simple		Sección compuesta				REVISION A LA RUPTURA				No. Torones	ϕ (mm)	At (mm²)	Yp (cm)	2a. ETAPA	
H (m) = 1.43	Altura de trabe	H (m) = 1.70	Altura total	Aps(total) = 126.90 cm²	d p = 100.40 cm	f pu = 189.20 kg/mm²	b 1 = 0.90 cm	k = 0.39	c (Sec. Tee)= 41.88 cm	15	15	141	35.60	Presfzo (2a. etapa) Perdidas instantaneas(2a.Etapa) Perdidas diferidas totales Banqueta+Guarnición Parapeto+Relleno Carpeta asfaltica Carva Viva	Presfzo (2a. etapa) Perdidas instantaneas(2a.Etapa) Perdidas diferidas totales Banqueta+Guarnición Parapeto+Relleno Carpeta asfaltica Carva Viva
Ix (m⁴) = 0.501347	Inercia de trabe	Ix (m⁴) = 0.501347	Inercia	d p = 100.40 cm	15	15	141	64.80	f ps = 15,869.57 kg / cm²	15	15	141	61.20		
A (m²) = 1.419300	Area de trabe	A (m²) = 1.419300	Area	f pu = 189.20 kg/mm²	15	15	141	39.20	Σ At = 12,690.00 mm²	0	15	141	86.80		
Yi (m) = 0.966000	Eje neutro	Yi (m) = 0.966000	Eje neutro	b 1 = 0.90 cm	15	15	141	130.00	Eje de presfuerzo = 69.60 cm	0	15	141	39.20		
Ys (m) = 0.467300	dist. Superior	Ys (m) = 0.734000	dist. Superior	k = 0.39	15	15	141	0.00	Presfuerzo(1a.etapa) = 1,920.76 ton	0	15	141	64.80		
S i (m³) = 0.518993	Mod. Secc. Inf.	Si viga (m³) = 0.518993	Mod. Secc. Inferior	c (Sec. Tee)= 41.88 cm	0	15	141	0.00	Acero en tensión				PRESFUERZO 2a. ETAPA		
S s (m³) = 1.072859	Mod. Secc. Sup.	Ss viga (m³) = 1.072859	Mod. Secc. Superior	A's (cm²) = 0.00 cm²	A's (cm²) = 0.00	Acero en compresión				No. Torones	ϕ (mm)	A t (mm²)	Yp (cm)	Presfuerzo 2a. ETAPA	
Pérdidas de presfuerzo		Geometria de la trabe		f y = 4,200.00 kg/cm²	f y' (kg/cm²)= 4,200.00	Aero de refuerzo				0	15	141	35.60		
Centroide(1a.etapa), cm = 69.60	Centroide(2a.etapa), cm = 0.00	φ = 0.90	b w = 40.00	Es = 2,039,000.00 kg/cm²	r (cm)= 5.00	Limites elásticos				0	15	141	61.20		
1a. Etapa : Δ s inst.(ton) = 106.93	1a. Etapa : Δ s dif. (ton) = 291.83	b e = 100.40	h f = 26.67	d s = 165.00 cm	d's(cm) = 21.67	Recubrimiento				0	15	141	86.80		
Presfuerzo(1a.etapa), ton = 1,920.76	Presfuerzo(2a.etapa), ton = 0.00	Presfuerzo(1a.etapa), ton = 1920.76	Presfuerzo(2a.etapa), ton = 0.00	d e(cm) = 100.40	d'e(cm) = 100.40	Brazo				0	15	141	39.20		
2a. Etapa : Δ s inst.(ton) = 0.00	2a. Etapa : Δ s dif. (ton) = 0.00	Viga TEE				a (cm) = 37.69 Bloque de esfzos.				0	15	141	64.80	Σ At = 0 mm²	
REVISIÓN POR ESFUERZOS PERMISIBLES														Eje de presfuerzo = 0.00 cm	Eje de presfuerzo = 0.00 cm
SOLICITACIONES				ESFUERZOS EN TRABE (kg/cm²)				ESFUERZOS EN LOSA (kg/cm²)				ESFUERZOS PERMISIBLES POR ASHTO			
Etapas de trabajo	P (ton)	e (m)	M (ton-m)	Inferior	Inf. acum.	Superior	Sup. acum.	Inferior	Inf. acum.	Superior	Sup. acum.	Modulo de ruptura			
Peso propio	0.00	0.00	-322.25	62.09	62.09	-30.04	-30.04	0.00	0.00	0.00	0.00	AASHTO Capítulo 9.15.2.3	Lb/in²	kg/cm²	
Presfzo. (1a. etapa)	1,920.76	0.27	0.00	235.26	297.35	86.99	56.96	0.00	0.00	0.00	0.00	Para Concreto Peso Normal	7.5 √ f'c	42.19	
Perdidas Instantaneas (1a. Etapa)	106.93	0.27	0.00	-13.10	284.25	-4.84	52.11	0.00	0.00	0.00	0.00	Para Concreto Peso Ligero	6.3 √ f'c	35.44	
Losa + diafragmas	0.00	0.00	0.00	0.00	284.25	0.00	52.11	0.00	0.00	0.00	0.00	Para cualquier tipo de Concreto	5.5 √ f'c	30.94	
Presfzo (2a. etapa)	0.00	0.97	0.00	0.00	284.25	0.00	52.11	0.00	0.00	0.00	0.00	Esfuerzos permisibles al tensado (antes de perdidas)			
Perdidas instantaneas(2a.Etapa)	0.00	0.97	0.00	0.00	284.25	0.00	52.11	0.00	0.00	0.00	0.00	AASHTO Capítulo 9.15.2.1	Lb/in²	kg/cm²	
Perdidas diferidas totales	291.83	0.97	0.00	-74.88	209.37	5.71	57.83	5.71	5.71	-20.71	-20.71	Compresión :Pretenados	0.6f'c	270	
Banqueta+Guarnición	0.00	0.00	-25.14	4.84	214.21	-2.34	55.48	-2.34	3.37	-3.68	-24.39	Compresión: Postensados	0.55f'c	247.5	
Parapeto+Relleno	0.00	0.00	-136.67	26.33	240.55	-12.74	42.75	-12.74	-9.37	-20.01	-44.40	AASHTO Capítulo 9.15.2.2	Lb/in²	kg/cm²	
Carpeta asfaltica	0.00	0.00	-60.39	11.64	252.19	-5.63	37.12	-5.63	-15.00	-8.84	-53.24	Tensión: Sin refuerzo	3 √ f'c	16.87	
Carva Viva	0.00	0.00	87.92	-16.94	235.25	8.19	45.31	8.19	-6.80	12.87	-40.37	Tensión: Con refuerzo	7.5 √ f'c	42.19	
ESTADO FINAL DE ESFUERZO (kg / cm²)				Inf. Acum = 235.25	Sup. Acum = 45.31	Inf. Acum = -6.80	Sup. Acum = -40.37	Esfuerzos permisibles al tensado (después de perdidas)			Esfuerzos permisibles al tensado (después de perdidas)			Compresión :Pretenados	
Esfuerzos permisibles	Al tensado		En servicio	Comentarios finales				Compresión: Postensados			Comprobación			0.4f'c	180
	Con refuerzo	Sin refuerzo		Al tensado	Excede	Bien		Bien		Bien				0.4f'c	180
Compresión			247.50	180.00	Compresión Serv.	Excede	Bien		Bien						
Tensión			-42.19	-16.87	-16.87	Tensión Serv.	Bien		Bien			Excede			
Modulo de ruptura			-30.94												
REVISIÓN POR RESISTENCIA ULTIMA														Verificación del refuerzo por tensión	
Nota importante.	Momento resistente (MR)			1	Momento resistente (MR)			2	Capacidad			Verificación del refuerzo por tensión			

DATOS DE ANÁLISIS	DATOS DEL CLIENTE	DATOS DE LA TRABE	ETAPAS DE TENSADO	1
SECCION : APOYO 2 COMBINACION : CMT + CV + IMPACTO CARGA VIVA QUE RIGE : CAMIÓN T3S2R4	PROYECTO : ING. EDUARDO VÁZQUEZ GARCÉS	SECCIÓN CAJÓN (POSTENSADA)	UNA ETAPA (1) DOS ETAPAS (2)	Tensado en sección simple Tensado en sección simple y sección compuesta

ESFUERZO PERMISIBLE	PROPIEDADES DE LOS MATERIALES	MOMENTO	2	DATOS DEL PRESFUEZO	1a. ETAPA
% de Esfzos. Permisibles = 100	f _c tens.(kg/cm ²) = 450.00 f _c (kg/cm ²) = 450.00 frg (kg/cm ²) = 18,920.00 Esfzo. Al tensado Esfzo. Compresión Esfzo. Ruptura	Anotar(1) si(-) Anotar(2) si(+)		f _{rg} = 189.20 Kg/mm ² f _{re} = 160.20 Kg/mm ² (%) Tensado = 0.80 frg (f _o) = 151.36 Kg/mm ² E _p = 20,400.00 Kg/mm ²	Esfuerzo de ruptura Esfuerzo de fluencia (%) de esfuerzo de tensado Esfuerzo de tensado Modulo de elasticidad

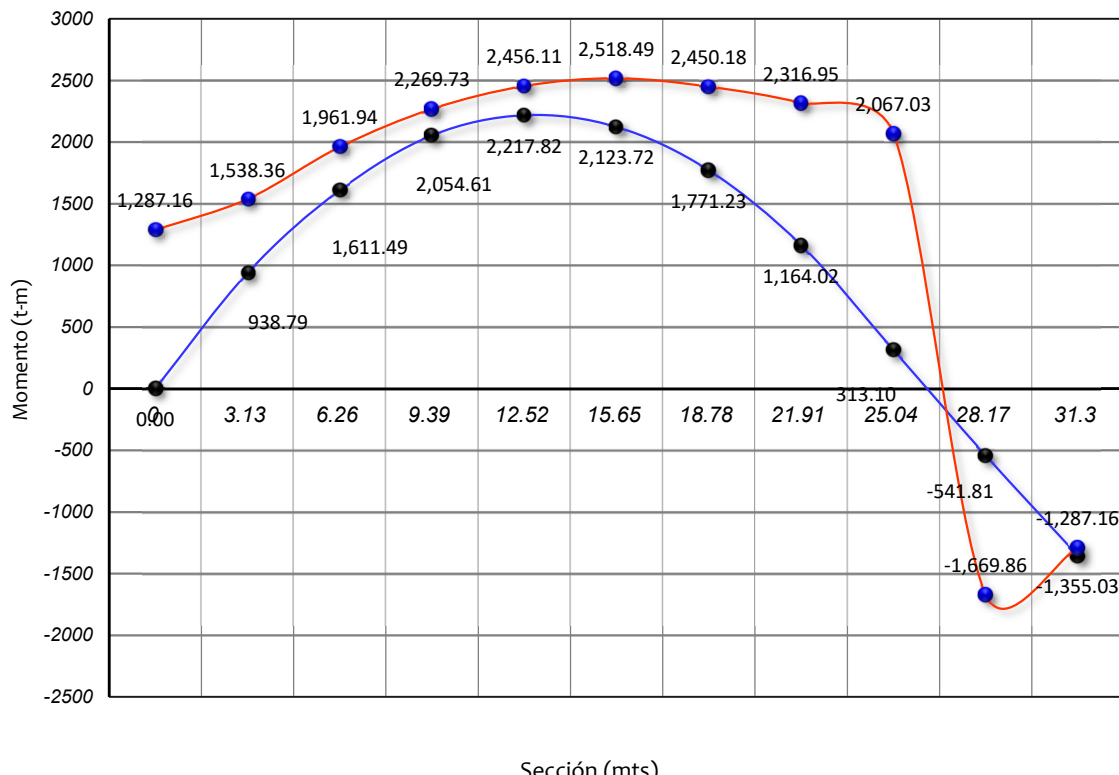
CARACTERISTICAS GEOMETRICAS DE LA TRABE	Sección simple	Sección compuesta	REVISIÓN A LA RUPTURA	No. Torones	ɸ (mm)	At (mm ²)	Y _p (cm)	PRESFUEZO (1a. ETAPA)	2a. ETAPA			
			Aps(total) = 126.90 cm ²	15	15	141	50.00					
H (m) = 1.43	Altura de trabe	H (m) = 1.70	Altura total	15	15	141	50.00		Presfzo (2a. etapa)			
I _x (m ⁴) = 0.501347	Inercia de trabe	I _x (m ⁴) = 0.501347	Inercia	15	15	141	90.00		Perdidas instantáneas(2a.Etapa)			
A (m ²) = 1.419300	Área de trabe	A (m ²) = 1.419300	Área	15	15	141	130.00		Perdidas diferidas totales			
Y _i (m) = 0.966000	Eje neutro	Y _i (m) = 0.966000	Eje neutro	15	15	141	50.00		Banqueta+Guarnición			
Y _s (m) = 0.467300	dist. Superior	Y _s (m) = 0.734000	dist. Superior	15	15	141	90.00		Parapeto+Relleno			
S i (m ³) = 0.518993	Mod. Secc. Inf.	S i viga (m ³) = 0.518993	Mod. Secc. Inferior	0	15	141	0.00					
S s (m ³) = 1.072859	Mod. Secc. Sup.	S _s viga (m ³) = 1.072859	Mod. Secc. Superior									
		S _s losa (m ³) = 0.683034	Mod. Secc. Losa									
		Y _s viga (m) = 0.467300	Eje neutro									
Pérdidas de presfuzo												
Centroide(1a.etapa), cm = 90.00												
Centroide(2a.etapa), cm = 0.00												
1a. Etapa ; Δ S inst.(ton) = 119.02		ϕ = 0.90										
1a. Etapa ; Δ S dif. (ton) = 329.05		b w = 40.00										
Presfuzo(1a.etapa), ton = 1,920.76		b e = 196.54										
Presfuzo(2a.etapa), ton = 0.00		h f = 26.67										
2a. Etapa ; Δ S inst.(ton) = 0.00												
2a. Etapa ; Δ S dif. (ton) = 0.00												
Geometría de la trabe												
REVISIÓN POR ESFUERZOS PERMISIBLES												
SOLICITACIONES	ESFUERZOS EN TRABE (kg/cm ²)				ESFUERZOS EN LOSA (kg/cm ²)				ESFUERZOS PERMISIBLES POR AASHTO			
Etapas de trabajo	P (ton)	ε (m)	M (ton-m)	Inferior	Inf. acum.	Superior	Sup. acum.	Inferior	Inf. acum.	Superior	Sup. acum.	Modulo de ruptura
Peso propio	0.00	0.00	-716.08	137.98	137.98	-66.75	-66.75	0.00	0.00	0.00	0.00	AASHTO Capítulo 9.15.2.3 Lb/in ² kg/cm ²
Presfzo. (1a. etapa)	1,920.76	0.07	0.00	159.76	297.73	123.52	56.77	0.00	0.00	0.00	0.00	Para Concreto Peso Normal 7.5 √ f'c 42.19
Perdidas Instantáneas (1a. Etapa)	119.02	0.07	0.00	-9.90	287.83	-7.65	49.12	0.00	0.00	0.00	0.00	Para Concreto Peso Ligero 6.3 √ f'c 35.44
Losa + diafragmas	0.00	0.00	0.00	0.00	287.83	0.00	49.12	0.00	0.00	0.00	0.00	Para cualquier tipo de Concreto 5.5 √ f'c 30.94
Presfzo. (2a. etapa)	0.00	0.97	0.00	0.00	287.83	0.00	49.12	0.00	0.00	0.00	0.00	Esfuerzos permisibles al tensado (antes de perdidas)
Perdida instantánea(2a.Etapa)	0.00	0.97	0.00	0.00	287.83	0.00	49.12	0.00	0.00	0.00	0.00	AASHTO Capítulo 9.15.2.1 Lb/in ² kg/cm ²
Perdidas diferidas totales	329.05	0.97	0.00	-84.43	203.40	6.44	55.56	6.44	6.44	-23.35	-23.35	Compresión :Pretenados 0.6f'c 270
Banqueta+Guarnición	0.00	0.00	-54.34	10.47	213.87	-5.06	50.50	-5.06	1.38	-7.96	-31.31	Compresión: Postensados 0.55f'c 247.5
Parapeto+Relleno	0.00	0.00	-289.90	55.86	269.73	-27.02	23.47	-27.02	-25.64	-42.44	-73.75	AASHTO Capítulo 9.15.2.2 Lb/in ² kg/cm ²
Carpeta asfáltica	0.00	0.00	-132.29	25.49	295.22	-12.33	11.14	-12.33	-37.97	-19.37	-93.12	Tensión: Sin refuerzo 3 √ f'c 16.87
Carva Viva	0.00	0.00	96.45	-18.58	276.64	8.99	20.13	8.99	-28.98	14.12	-79.00	Tensión: Con refuerzo 7.5 √ f'c 42.19
ESTADO FINAL DE ESFUERZO (kg / cm²)				Inf. Acum = 276.64	Sup. Acum = 20.13	Inf. Acum = -28.98	Sup. Acum = -79.00					Esfuerzos permisibles al tensado (después de perdidas)
Esfuerzos permisibles		Al tensado		En servicio		Comentarios finales						
		Con refuerzo	Sin refuerzo	Al tensado	Excede		Bien		Bien		Bien	
Compresión		247.50	180.00	Compresión Serv.	Excede		Bien		Bien		Bien	
Tensión	-42.19	-16.87	-16.87	Tensión Serv.	Bien		Bien		Excede		Excede	
Modulo de ruptura	-30.94											

REVISIÓN POR RESISTENCIA ULTIMA											
Nota Importante.	Momento último (M u)	Momento resistente (MR)	1	Momento resistente (MR)	2	Capacidad	Verificación del refuerzo por tensión				
1- Las normas AASHTO si permiten tensiones		Como Sección TEE		f ps = 16,275.832	Como Sección Rectangular		Momento resistente				
2- Las normas SCT no permiten tensiones	Actuante	1,355.03 ton-m	1,287.16 ton-m	No pasa por Mu	1,383.50 ton-m		No Requiere refuerzo por tensión				

**ENVOLVENTE DE CAPACIDAD**

Sección m	Momento ultimo M_u (t-m)	Momento resistente MR (t-m)	Radio de capacidad (MR / M_u)	Comentario
0	0.00	1,287.16	0.00	Pasa
3.13	938.79	1,538.36	0.61	Pasa
6.26	1,611.49	1,961.94	0.82	Pasa
9.39	2,054.61	2,269.73	0.91	Pasa
12.52	2,217.82	2,456.11	0.90	Pasa
15.65	2,123.72	2,518.49	0.84	Pasa
18.78	1,771.23	2,450.18	0.72	Pasa
21.91	1,164.02	2,316.95	0.50	Pasa
25.04	313.10	2,067.03	0.15	Pasa
28.17	-541.81	-1,669.86	0.32	Pasa
31.3	-1,355.03	-1,287.16	1.05	Escaso

Envolvente de capacidad a Momento flexionante



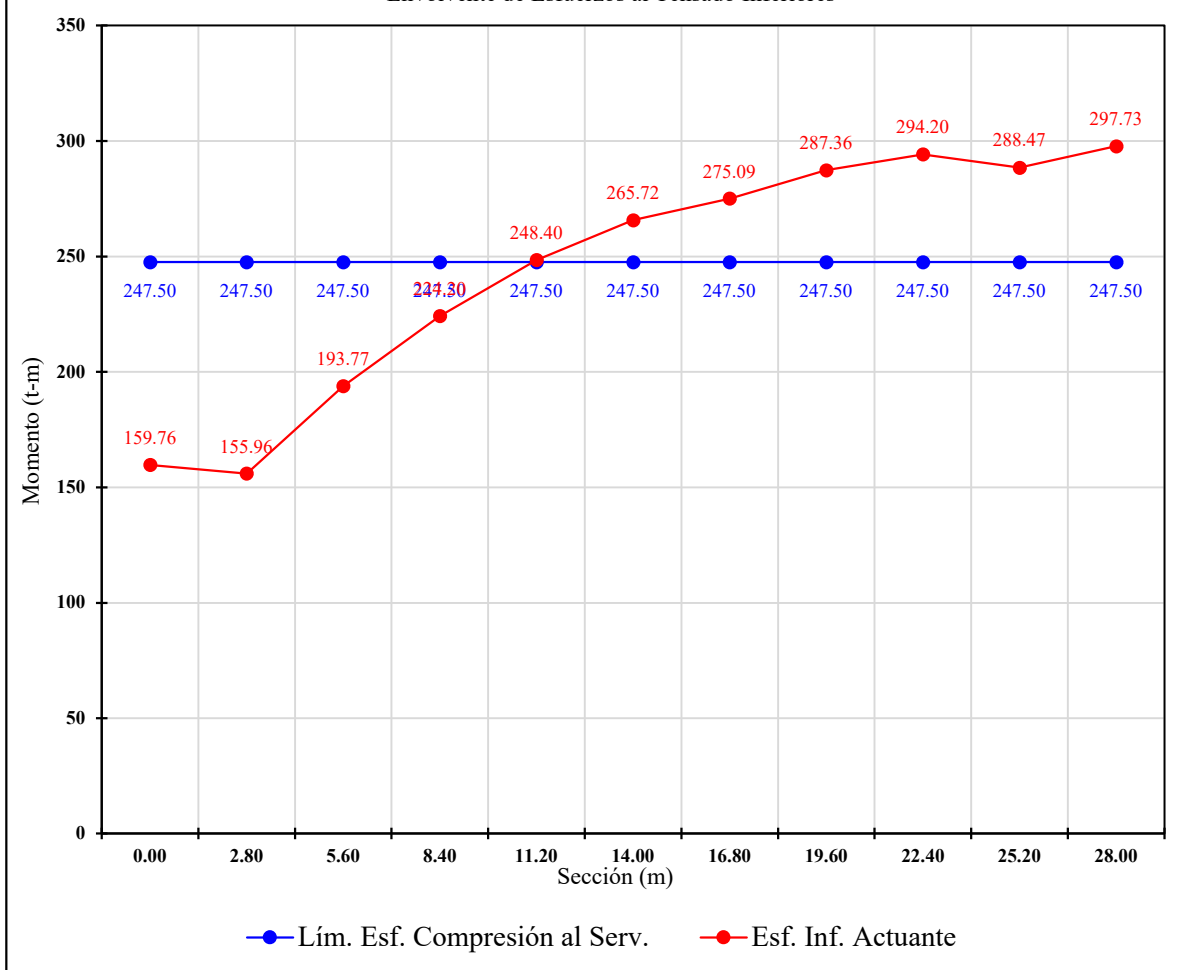
ESFUERZOS PERMISIBLES AL TENSADO

CV
CAMIÓN T3S2R4

ENVOLVENTE DE CAPACIDAD

Sección mts	Lím. Esf. Compresión al Serv. (kg/cm ²)	Esfuerzo Inferior Actuante (kg/cm ²)	Comentario
0	247.50	159.76	Pasa
3.1	247.50	155.96	Pasa
6.3	247.50	193.77	Pasa
9.4	247.50	224.20	Pasa
12.5	247.50	248.40	Excede
15.65	247.50	265.72	Excede
18.8	247.50	275.09	Excede
21.9	247.50	287.36	Excede
25.0	247.50	294.20	Excede
28.2	247.50	288.47	Excede
31.3	247.50	297.73	Excede

Envolvente de Esfuerzos al Tensado Inferiores

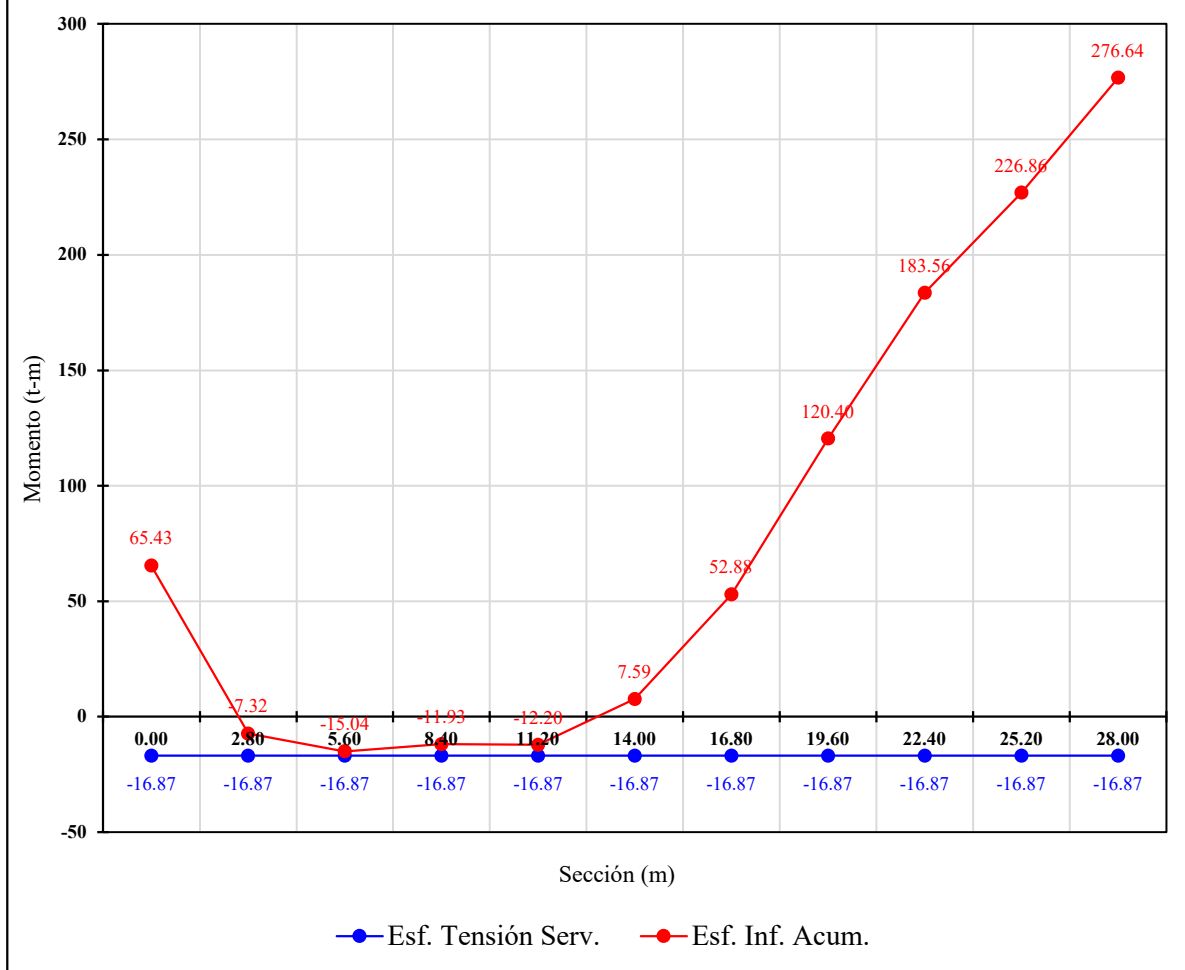


ESFUERZOS PERMISIBLES EN SERVICIO

CV
CAMIÓN T3S2R4

ENVOLVENTE DE CAPACIDAD

Sección mts	Esf. Tensión al Serv. (kg/cm ²)	Esf. Inf. Acum (kg/cm ²)	Comentario
0	-16.87	65.43	Pasa
3.1	-16.87	-7.32	Pasa
6.3	-16.87	-15.04	Pasa
9.4	-16.87	-11.93	Pasa
12.5	-16.87	-12.20	Pasa
15.65	-16.87	7.59	Pasa
18.8	-16.87	52.88	Pasa
21.9	-16.87	120.40	Pasa
25.0	-16.87	183.56	Pasa
28.2	-16.87	226.86	Pasa
31.3	-16.87	276.64	Pasa

Envolvente de Esfuerzos Inferiores


ESFUERZOS PERMISIBLES EN SERVICIO

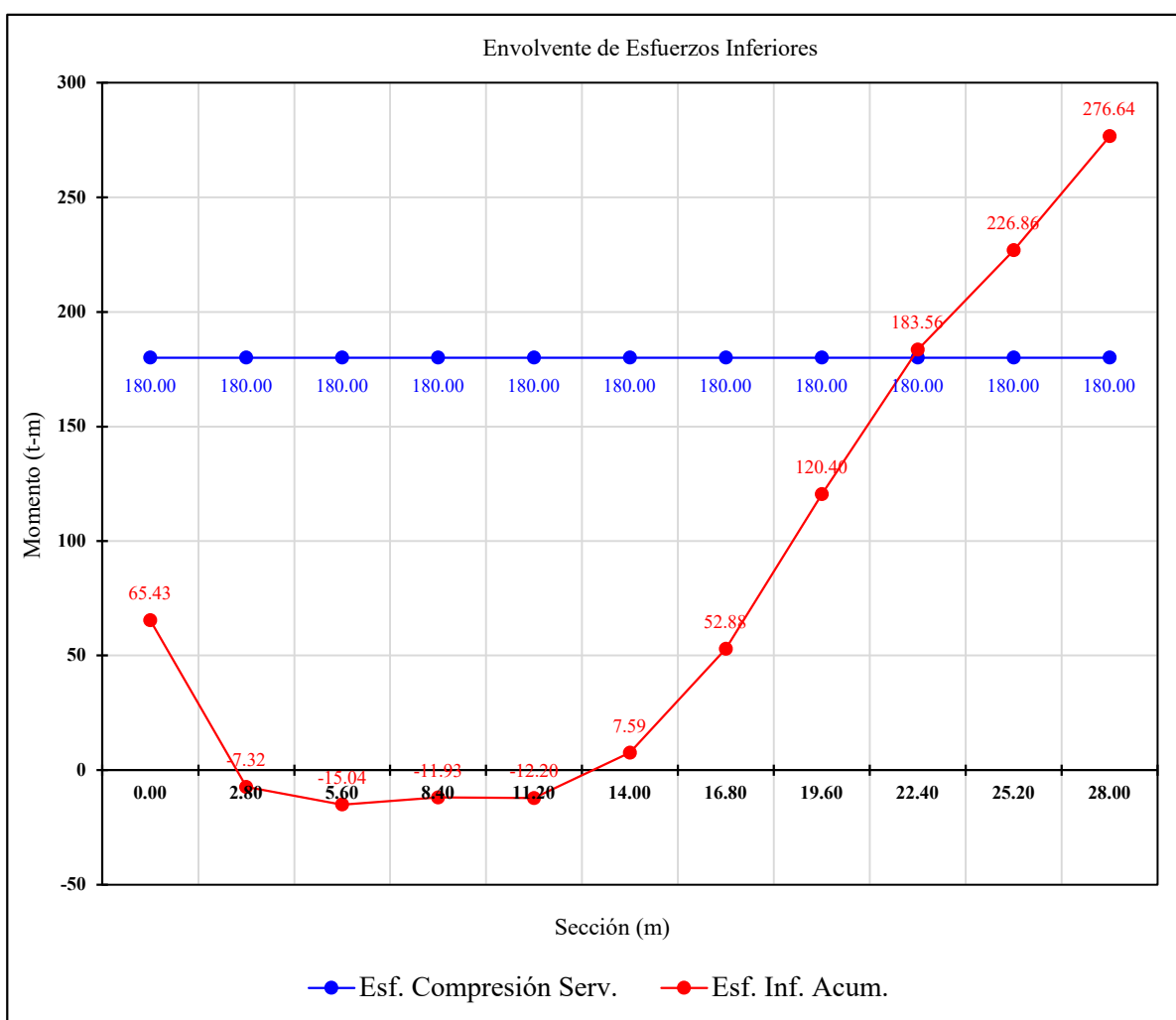
CV

CAMIÓN T3S2R4

ENVOLVENTE DE CAPACIDAD

Sección mts	Esf. Compresión al Serv. (kg/cm ²)	Esf. Inf. Acum (kg/cm ²)	Comentario
0	180.00	65.43	Pasa
3.1	180.00	-7.32	Pasa
6.3	180.00	-15.04	Pasa
9.4	180.00	-11.93	Pasa
12.5	180.00	-12.20	Pasa
15.65	180.00	7.59	Pasa
18.8	180.00	52.88	Pasa
21.9	180.00	120.40	Pasa
25.0	180.00	183.56	Excede
28.2	180.00	226.86	Excede
31.3	180.00	276.64	Excede

Envolvente de Esfuerzos Inferiores



ESFUERZOS PERMISIBLES AL TENSADO

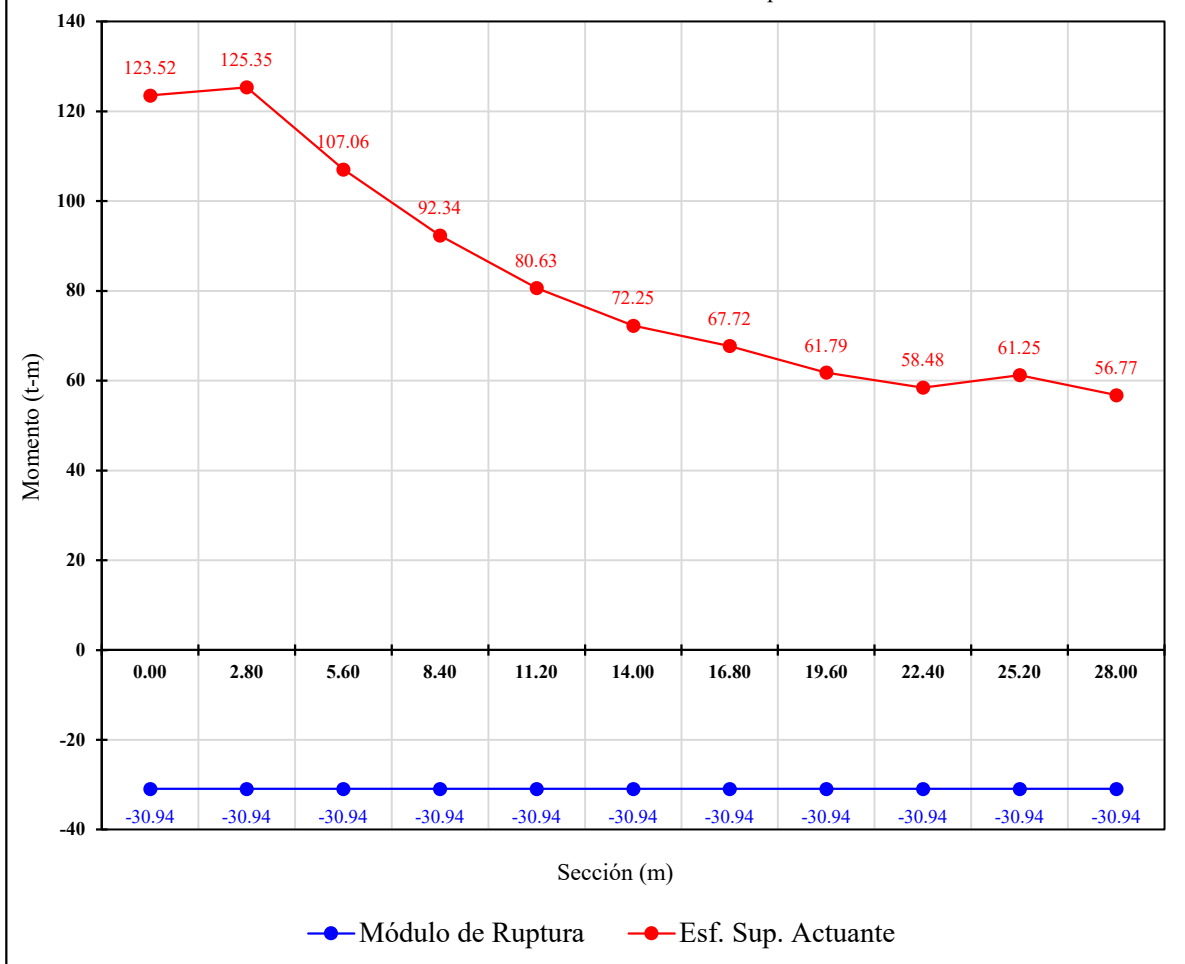
CV

CAMIÓN T3S2R4

ENVOLVENTE DE CAPACIDAD

Sección mts	Módulo de Ruptura (kg/cm ²)	Esfuerzo Superior Actuante (kg/cm ²)	Comentario
0	-30.94	123.52	Pasa
2.8	-30.94	125.35	Pasa
5.6	-30.94	107.06	Pasa
8.4	-30.94	92.34	Pasa
11.2	-30.94	80.63	Pasa
14	-30.94	72.25	Pasa
16.8	-30.94	67.72	Pasa
19.6	-30.94	61.79	Pasa
22.4	-30.94	58.48	Pasa
25.2	-30.94	61.25	Pasa
28	-30.94	56.77	Pasa

Envolvente de Esfuerzos al Tensado Superiores

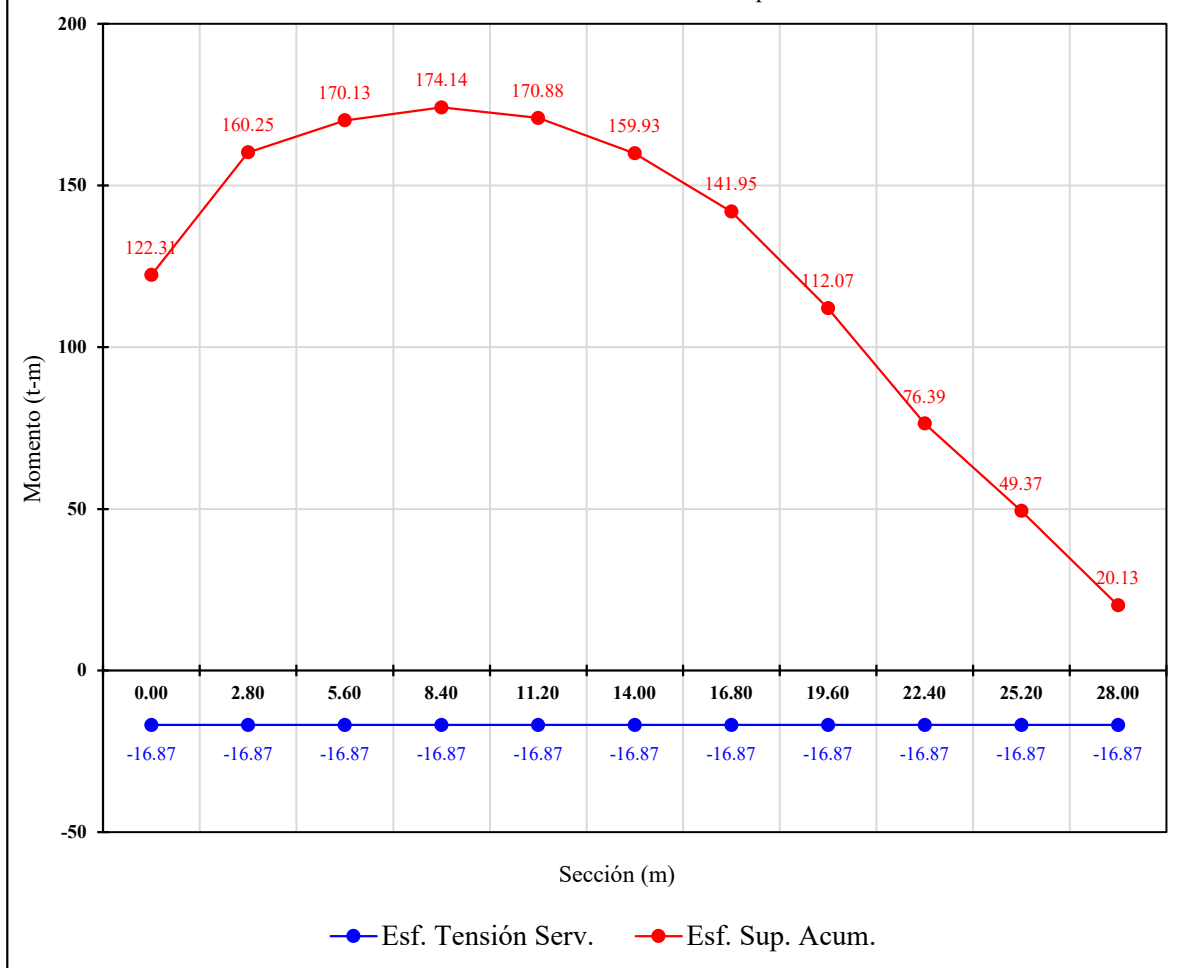


ESFUERZOS PERMISIBLES EN SERVICIO

CV
CAMIÓN T3S2R4

ENVOLVENTE DE CAPACIDAD

Sección mts	Esf. Tensión al Serv. (kg/cm ²)	Esf. Sup. Acum (kg/cm ²)	Comentario
0	-16.87	122.31	Pasa
2.8	-16.87	160.25	Pasa
5.6	-16.87	170.13	Pasa
8.4	-16.87	174.14	Pasa
11.2	-16.87	170.88	Pasa
14	-16.87	159.93	Pasa
16.8	-16.87	141.95	Pasa
19.6	-16.87	112.07	Pasa
22.4	-16.87	76.39	Pasa
25.2	-16.87	49.37	Pasa
28	-16.87	20.13	Pasa

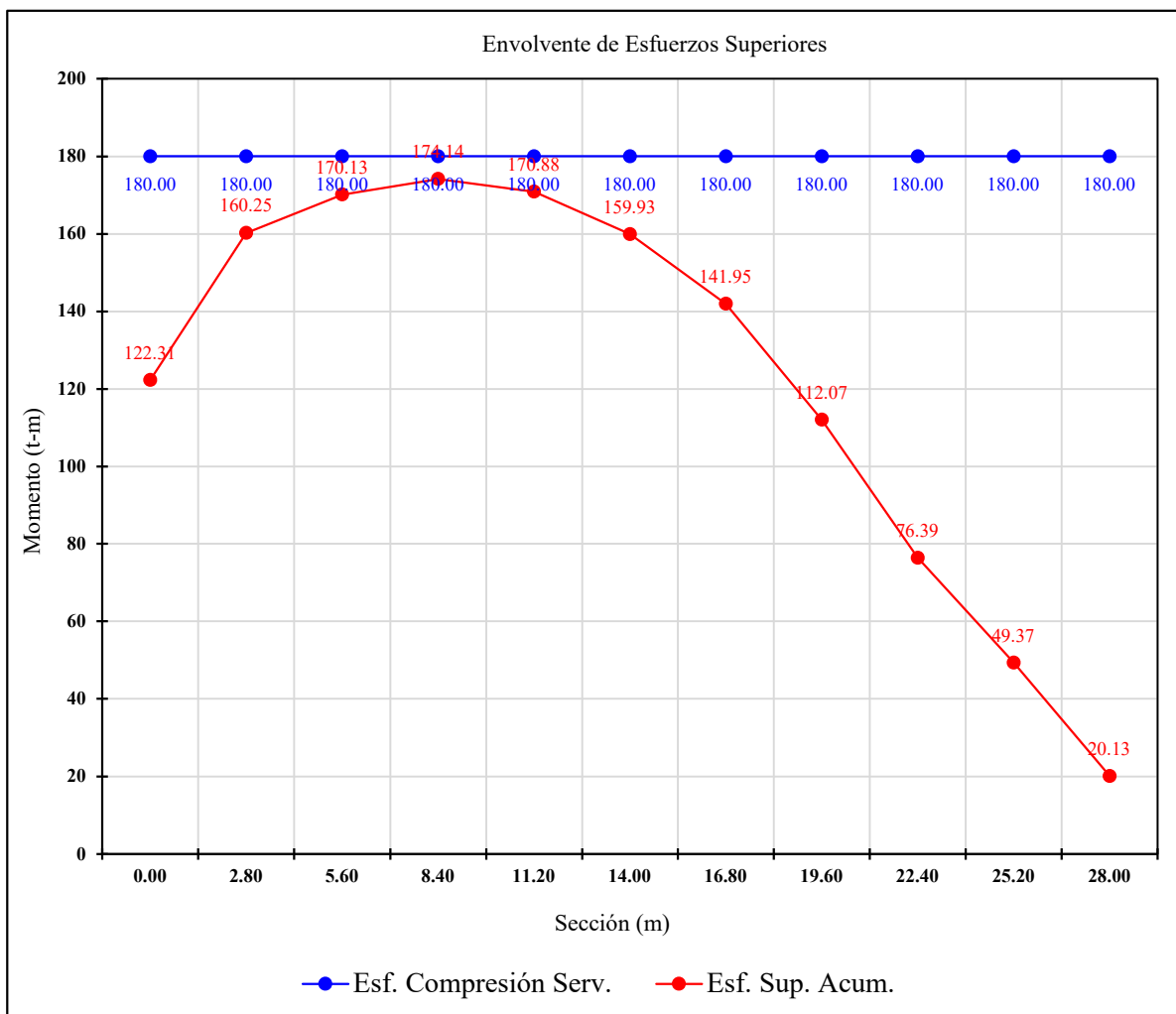
Envolvente de Esfuerzos Superiores


ESFUERZOS PERMISIBLES EN SERVICIO

CV
CAMIÓN T3S2R4

ENVOLVENTE DE CAPACIDAD

Sección mts	Esf. Compresión al Serv. (kg/cm ²)	Esf. Sup. Acum (kg/cm ²)	Comentario
0	180.00	122.31	Pasa
2.8	180.00	160.25	Pasa
5.6	180.00	170.13	Pasa
8.4	180.00	174.14	Pasa
11.2	180.00	170.88	Pasa
14	180.00	159.93	Pasa
16.8	180.00	141.95	Pasa
19.6	180.00	112.07	Pasa
22.4	180.00	76.39	Pasa
25.2	180.00	49.37	Pasa
28	180.00	20.13	Pasa



5.8.2.6 DISEÑO POR CORTANTE

En este apartado se presenta el cálculo de las fuerzas cortantes resistentes y su comparación respecto al cortante último en la nervadura extrema del tramo 1 con base en la teoría presentada en el **Capítulo 2. Concreto Presforzado**. El cálculo para la nervadura izquierda se muestra en el **Anexo C. Memoria de Cálculo**.

RESUMEN DE FUERZAS CORTANTES						
Abcisa (mts)	V act. (ton)	V conc.+refuerzo) (ton)	Vpresfuerzo (ton)	Vresistente (ton)	Relación (Vact./ Vresist.)	Comentario
0.00	145.39	261.47	101.53	363.00	0.40	Adecuado
3.13	100.02	261.47	81.83	343.30	0.29	Adecuado
6.26	63.69	192.87	60.66	253.52	0.25	Adecuado
9.39	20.84	192.87	36.66	229.52	0.09	Adecuado
12.52	-27.47	158.56	12.05	170.61	-0.16	Adecuado
15.65	-75.86	158.56	0.00	158.56	-0.48	Adecuado
18.78	-125.68	-158.56	-12.14	-170.71	0.74	Adecuado
21.91	-181.31	-192.87	-37.15	-230.02	0.79	Adecuado
25.04	-231.21	-192.87	-61.44	-254.31	0.91	Adecuado
28.17	-281.67	-261.47	-83.04	-344.51	0.82	Adecuado
31.30	-342.38	-261.47	-102.90	-364.37	0.94	Adecuado

Tabla 5.8 Resumen de fuerzas cortantes en la sección efectiva

5.8.2.7 DEFLEXIÓN

El cálculo de las flechas se realizó considerando el modelo isostático del tramo 1, ya que generar mayores solicitudes y permite valorar si el presfuerzo del diseño compensa de forma eficiente la deformación vertical generada por las cargas en servicio, presentando en este apartado la deflexión al centro del claro por cargas permanentes y vivas, así como el límite permisible establecido en la norma AASHTO. Su cálculo es conforme lo expuesto en el **Capítulo 2. Concreto Presforzado**.

RESUMEN DE DEFLEXIÓN AL C.L.	
DEFLEXIÓN POR CARGA PERMANENTE	
$\Delta_{CM} =$	3.74 cm
$\Delta_{Prest.} =$	-3.45 cm
DEFLEXIÓN POR CARGA VIVA	
$\Delta_{CV+IMP} =$	2.03 cm
DEFLEXIÓN TOTAL	
$\Delta_{Total} =$	2.32 cm
DEFLEXIÓN PERMISIBLE	
$\Delta_{Perm.} =$	3.91 cm

Tabla 5.9 Resumen de deflexiones al centro del claro



REVISIÓN DE LA CAPACIDAD A CORTANTE DE NERVADURA CURVA EXTERNA TRAMO 1

APORTACIÓN DEL CONCRETO Y DEL ACERO DE REFUERZO

CONCRETO		ACERO	
f'c =	450 Kg/cm ²	fy =	4,200.00 kg/cm ²
CLARO DE LA TRABE		FACTOR DE RESISTENCIA	
Claro (L), m =	31.3	FR =	0.75

DATOS DEL CORTANTE ACUTUANTE

EN SERVICIO		DIMENSIONES DE LA TRABE		
Apoyo	145.39			
0.1L	100.02	bw (cm) =	40	
0.2L	63.69	h (cm) =	170	
0.3L	20.84			
0.4L	-27.47			
C.claro	-75.86	CONDICIÓN DE CARGA		CORTANTE DE DISEÑO
0.6L	-125.68	CM+CV T3S2R4+IMPACTO		Vmax.(ton) = 145.39
0.7L	-181.31			V i (ton) = 100.02
0.8L	-231.21			d (mts) = 1.7
0.9L	-281.67			Δ x (mts) = 3.13
Apoyo	-342.38			V d (ton) = 120.7

DISTRIBUCIÓN DE ESTRIBOS VERTICALES

Sección	Φ	No. De ramas	Separación @	Centroide
Apoyo	5	2	10	5
0.1L	5	2	10	5
0.2L	5	2	15	5
0.3L	5	2	15	5
0.4L	5	2	20	5
0.5L	5	2	20	5

DISTRIBUCIÓN DE ESTRIBOS INCLINADOS

Sección	Φ	No. De ramas	Separación @	Centroide
Apoyo	0	0	0	0
0.1L	0	0	0	0
0.2L	0	0	0	0
0.3L	0	0	0	0
0.4L	0	0	0	0
0.5L	0	0	0	0

APORTACIÓN DEL ACERO DE PRESFUERZO

ORDENADA (mts)	f _o Esfuerzo inicial (kg/mm ²)	Δ F _o (ton) de perdidas instantáneas	Δ F _o (ton) de perdidas Diferidas	A _t (mm ²)	No. Torones	No. Cables
0.9000	151.36	146.46	318.43			
0.6120	151.36	143.48	278.24			
0.3880	151.36	139.44	223.55			
0.2280	151.36	135.80	174.40			
0.1320	151.36	138.04	204.59			
0.1000	151.36	138.94	216.84			
0.1320	151.36	111.23	206.96			
0.2280	151.36	103.22	188.37			
0.3880	151.36	103.57	237.04			
0.6120	151.36	106.93	291.83			
0.9000	151.36	119.02	329.05			



REVISIÓN DE LA CAPACIDAD A CORTANTE

CARGA : **CM+CV T3S2R4+IMPACTO**

CARACTERÍSTICAS DE LOS MATERIALES.

Concreto.

$$f'c = 450.00 \text{ kg/cm}^2$$

$$Ec = 328,799.06 \text{ kg/cm}^2$$

Claro (L), m = 31.3

Δ (m) = 3.13

Acerro de refuerzo.

$$fy = 4,200.00 \text{ kg/cm}^2$$

$$FR = 0.75$$

$$V_R = V_{CR} + (V_{S1} + V_{S2})$$

$$V_{CR} = FR(0.53 \sqrt{f'c}) bw d$$

$$V_{S1} = (FR A_v f_y) / S$$

$$V_{S2} = FR (A_v f_y (\operatorname{sen}\Phi + \cos\Phi)d) / S$$

$$Ec.....(1)$$

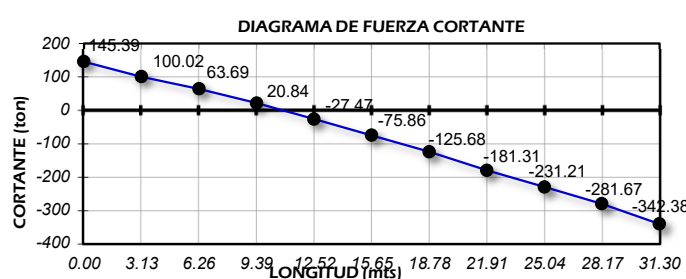
$$Ec.....(2)$$

$$Ec.....(3)$$

$$Ec.....(4)$$

$$Apoyo = 0.00$$

CORTANTE	
Abcisa (mts)	V act. (ton)
0.00	145.39
3.13	100.02
6.26	63.69
9.39	20.84
12.52	-27.47
15.65	-75.86
18.78	-125.68
21.91	-181.31
25.04	-231.21
28.17	-281.67
31.30	-342.38



Limitante de la capacidad del acero.

$$V_s = 2.1 \sqrt{f'c} bw d$$

$$V_s = 294.01 \text{ ton.}$$

RESISTENCIA A CORTANTE PROPORCIONADA POR EL CONCRETO

Sección	Ancho (bw) (cm)	Altura (h) (cm)	Centroide (cm)	Peralte (d) cm	Raíz (f'c) (kg/cm ²)	bw(d) (cm ²)	Vcr (kg)
0.00	40.00	170.00	5.00	165.00	21.21	6,600.00	55,652.84

RESISTENCIA A CORTANTE PROPORCIONADA POR EL ACERO (ESTRIBOS VERTICALES)

Φ	3	4	5	6	8	10	12
a _v (cm ²)	0.71	1.27	1.98	2.85	5.07	7.92	11.04

Sección	Φ	No. Ramas	A _v (cm ²)	Separación (S) cm	A _v (f _y) (kg)	A _v (f _y) d (kg - cm)	V _{s1} (kg)
0.00	5.00	2.00	1.98	10.00	16,632.00	2,744,280.00	205,821.00

RESISTENCIA A CORTANTE PROPORCIONADA POR EL ACERO (ESTRIBOS INCLINADOS)

Φ	3	4	5	6	8	10	12
a _v (cm ²)	0.71	1.27	1.98	2.85	5.07	7.92	11.04

$$\alpha (\text{grados}) = 45 \quad 0.7854 \text{ Radianes}$$

Sección	Φ	No. Ramas	A _v (cm ²)	Separación (S) cm	A _v (f _y) (kg)	A _v (f _y) d (kg - cm)	V _{s1} (kg)
0	0	0	0	0	0	0	0.00

$$\cos \alpha = 0.707105$$

$$\sin \alpha = 0.707108$$

Capacidad del acero

$$Vs_1, \text{ton} = 205.82$$

$$Vs_2, \text{ton} = 0.00$$

$$Vs, \text{ton} = 205.82$$

Resumen

$$\text{Concreto : } V_{CR}(\text{ton}) = 55.65$$

$$\text{Acero : } Vs(\text{ton}) = 205.82$$

Comparación

$$\text{Resistente : } VR (\text{ton}) = 261.47$$

$$\text{Actuante : } V_s (\text{ton}) = 145.39$$

Comentario : **Adecuado**



REVISIÓN DE LA CAPACIDAD A CORTANTE

CARGA : **CM+CV T3S2R4+IMPACTO**

CARACTERÍSTICAS DE LOS MATERIALES.

Concreto.

$$f'c = 450.00 \text{ kg/cm}^2$$

$$Ec = 328,799.06 \text{ kg/cm}^2$$

Acerro de refuerzo.

$$fy = 4,200.00 \text{ kg/cm}^2$$

$$FR = 0.75$$

$$V_R = V_{CR} + (V_{S1} + V_{S2})$$

$$Ec.....(1) \quad 0.1(L) = 3.13$$

$$V_{CR} = FR(\sqrt{f'c} bw d)$$

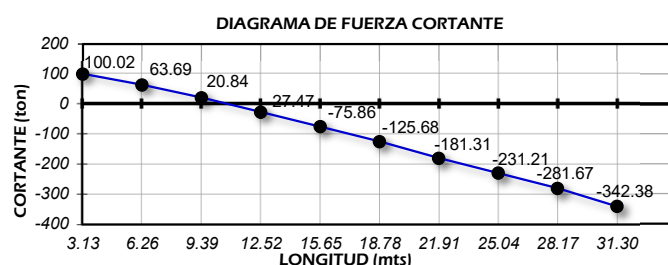
$$Ec.....(2)$$

$$V_{S1} = (FR Av fy) / S$$

$$Ec.....(3)$$

$$V_{S2} = FR (Av f_y (\operatorname{sen}\Phi + \cos\Phi)d) / S$$

$$Ec.....(4)$$



CORTANTE	
Abcisa (mts)	V act. (ton)
0.00	145.39
3.13	100.02
6.26	63.69
9.39	20.84
12.52	-27.47
15.65	-75.86
18.78	-125.68
21.91	-181.31
25.04	-231.21
28.17	-281.67
31.30	-342.38

Limitante de la capacidad del acero.

$$V_s = 2.1 \sqrt{f'c} bw d$$

$$V_s = 294.01 \text{ ton.}$$

RESISTENCIA A CORTANTE PROPORCIONADA POR EL CONCRETO							
Sección	Ancho (bw) (cm)	Altura (h) (cm)	Centroide (cm)	Peralte (d) cm	Raíz (f'c) (kg/cm ²)	bw(d) (cm ²)	Vcr (kg)
3.13	40.00	170.00	5.00	165.00	21.21	6,600.00	55,652.84

RESISTENCIA A CORTANTE PROPORCIONADA POR EL ACERO (ESTRIBOS VERTICALES)							
Φ	3	4	5	6	8	10	12
av (cm ²)	0.71	1.27	1.98	2.85	5.07	7.92	11.04
Sección	Φ	No. Ramas	Av (cm ²)	Separación (S) cm	Av (fy) (kg)	Av (fy) d (kg - cm)	Vs1 (kg)
3.13	5.00	2.00	1.98	10.00	16,632.00	2,744,280.00	205,821.00

RESISTENCIA A CORTANTE PROPORCIONADA POR EL ACERO (ESTRIBOS INCLINADOS)							
Φ	3	4	5	6	8	10	12
av (cm ²)	0.71	1.27	1.98	2.85	5.07	7.92	11.04
					α (grados) = 45	0.7854 Radianes	
Sección	Φ	No. Ramas	Av (cm ²)	Separación (S) cm	Av (fy) (kg)	Av (fy) d (kg - cm)	Vs1 (kg)
3.13	0	0	0	0	0	0	0.00
Cos α = 0.707105				Capacidad del acero		Resumen :	
Sen α = 0.707108				Vs1, ton = 205.82		Concreto : VCR(ton) = 55.65	
				Vs2, ton = 0.00		Acero : VS(ton) = 205.82	
				Vs, ton = 205.82		Comparación :	
				Resistente : VR (ton) = 261.47		Actuante : Vs (ton) = 100.02	
				Comentario : Adecuado			



REVISIÓN DE LA CAPACIDAD A CORTANTE

CARGA : CM+CV T3S2R4+IMPACTO

CARACTERÍSTICAS DE LOS MATERIALES.

Concreto.

$$f'c = 450.00 \text{ kg/cm}^2$$

$$Ec = 328,799.06 \text{ kg/cm}^2$$

Acero de refuerzo.

$$fy = 4,200.00 \text{ kg/cm}^2$$

$$FR = 0.75$$

$$V_R = V_{CR} + (V_{S1} + V_{S2})$$

$$Ec.....(1) \quad 0.2(L) = 6.26$$

$$V_{CR} = FR(0.53 Raiz(f'c) bw d)$$

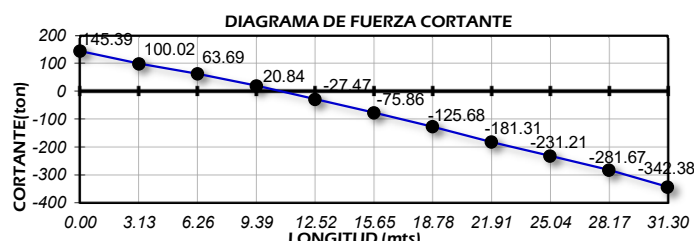
$$Ec.....(2)$$

$$Vs1 = (FR Av fy) / S$$

$$Ec.....(3)$$

$$Vs2 = FR (Av fy(\operatorname{sen}\Phi + \operatorname{cos}\Phi)d) / S$$

$$Ec.....(4)$$



CORTANTE

Abcisa (mts)	V act. (ton)
0.00	145.39
3.13	100.02
6.26	63.69
9.39	20.84
12.52	-27.47
15.65	-75.86
18.78	-125.68
21.91	-181.31
25.04	-231.21
28.17	-281.67
31.30	-342.38

Limitante de la capacidad del acero.

$$V_s = 2.1 \operatorname{Raiz}(f'c) bw d$$

$$V_s = 294.01 \text{ ton.}$$

RESISTENCIA A CORTANTE PROPORCIONADA POR EL CONCRETO

Sección	Ancho (bw) (cm)	Altura (h) (cm)	Centroide (cm)	Peralte (d) cm	Raiz (f'c) (kg/cm ²)	bw(d) (cm ²)	Vcr (kg)
6.26	40.00	170.00	5.00	165.00	21.21	6,600.00	55,652.84

RESISTENCIA A CORTANTE PROPORCIONADA POR EL ACERO (ESTRIBOS VERTICALES)

Φ	3	4	5	6	8	10	12
a_v (cm ²)	0.71	1.27	1.98	2.85	5.07	7.92	11.04

Sección	Φ	No. Ramas	A_v (cm ²)	Separación (S) cm	$A_v(fy)$ (kg)	$A_v(fy)d$ (kg - cm)	V_s1 (kg)
6.26	5.00	2.00	1.98	15.00	16,632.00	2,744,280.00	137,214.00

RESISTENCIA A CORTANTE PROPORCIONADA POR EL ACERO (ESTRIBOS INCLINADOS)

Φ	3	4	5	6	8	10	12
a_v (cm ²)	0.71	1.27	1.98	2.85	5.07	7.92	11.04

$$\alpha (\text{grados}) = 45 \quad 0.7854 \text{ Radians}$$

Sección	Φ	No. Ramas	A_v (cm ²)	Separación (S) cm	$A_v(fy)$ (kg)	$A_v(fy)d$ (kg - cm)	V_s1 (kg)
6.26	0	0	0	0	0	0	0.00

$$\cos \alpha = 0.707105$$

$$\sin \alpha = 0.707108$$

Capacidad del acero

Resumen :

$V_s1, \text{ton} = 137.21$	Concreto : $V_{CR}(\text{ton}) = 55.65$
$V_s2, \text{ton} = 0.00$	Acero : $V_s(\text{ton}) = 137.21$
Comparación :	
$V_s, \text{ton} = 137.21$	Resistente : $VR (\text{ton}) = 192.87$
	Actuante : $V_s (\text{ton}) = 63.69$
Comentario : Adecuado	



REVISIÓN DE LA CAPACIDAD A CORTANTE

CARGA : CM+CV T3S2R4+IMPACTO

CARACTERÍSTICAS DE LOS MATERIALES.

Concreto.

$$f'c = 450.00 \text{ kg/cm}^2$$

$$Ec = 328,799.06 \text{ kg/cm}^2$$

Acero de refuerzo.

$$fy = 4,200.00 \text{ kg/cm}^2$$

$$FR = 0.75$$

$$V_R = V_{CR} + (V_{S1} + V_{S2})$$

$$Ec \dots (1) \quad 0.3(L) = 9.39$$

$$V_{CR} = FR(0.53 \sqrt{f'c} bw d)$$

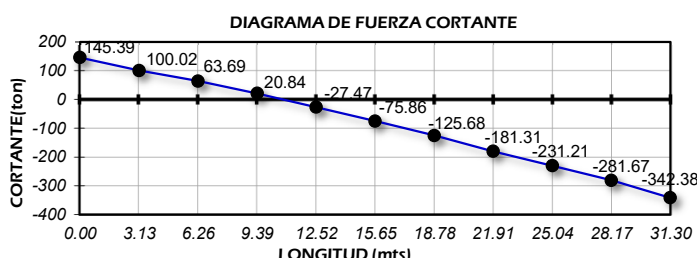
$$Ec \dots (2)$$

$$Vs1 = (FR Av fy) / S$$

$$Ec \dots (3)$$

$$Vs2 = FR (Av f_y (\operatorname{sen}\Phi + \cos\Phi)d) / S$$

$$Ec \dots (4)$$



CORTANTE

Abcisa (mts)	V act. (ton)
0.00	145.39
3.13	100.02
6.26	63.69
9.39	20.84
12.52	-27.47
15.65	-75.86
18.78	-125.68
21.91	-181.31
25.04	-231.21
28.17	-281.67
31.30	-342.38

Limitante de la capacidad del acero.

$$V_s = 2.1 \sqrt{f'c} bw d$$

$$V_s = 294.01$$

ton.

RESISTENCIA A CORTANTE PROPORCIONADA POR EL CONCRETO

Sección	Ancho (bw) (cm)	Altura (h) (cm)	Centroide (cm)	Peralte (d) cm	Raíz (f'c) (kg/cm ²)	bw(d) (cm ²)	Vcr (kg)
9.39	40.00	170.00	5.00	165.00	21.21	6,600.00	55,652.84

RESISTENCIA A CORTANTE PROPORCIONADA POR EL ACERO (ESTRIBOS VERTICALES)

Φ	3	4	5	6	8	10	12
a_v (cm ²)	0.71	1.27	1.98	2.85	5.07	7.92	11.04

Sección	Φ	No. Ramas	A_v (cm ²)	Separación (S) cm	$A_v(fy)$ (kg)	$A_v(fy)d$ (kg - cm)	$V_s 1$ (kg)
9.39	5.00	2.00	1.98	15.00	16,632.00	2,744,280.00	137,214.00

RESISTENCIA A CORTANTE PROPORCIONADA POR EL ACERO (ESTRIBOS INCLINADOS)

Φ	3	4	5	6	8	10	12
a_v (cm ²)	0.71	1.27	1.98	2.85	5.07	7.92	11.04

$$\alpha \text{ (grados)} = 45 \quad 0.7854 \text{ Radianes}$$

Sección	Φ	No. Ramas	A_v (cm ²)	Separación (S) cm	$A_v(fy)$ (kg)	$A_v(fy)d$ (kg - cm)	$V_s 1$ (kg)
9.39	0	0	0	0	0	0	0.00

$$\cos \alpha = 0.707105$$

$$\sin \alpha = 0.707108$$

Capacidad del acero

Resumen :

Vs1, ton =	137.21
Vs2, ton =	0.00
Vs, ton =	137.21

$$\text{Concreto : } V_{CR}(\text{ton}) = 55.65$$

$$\text{Acero : } V_s(\text{ton}) = 137.21$$

Comparación :

$$\text{Resistente : } VR(\text{ton}) = 192.87$$

$$\text{Actuante : } V_s(\text{ton}) = 20.84$$

Comentario : Adecuado



REVISIÓN DE LA CAPACIDAD A CORTANTE

CARGA : CM+CV T3S2R4+IMPACTO

CARACTERÍSTICAS DE LOS MATERIALES.

Concreto.

$f'_c = 450.00 \text{ kg/cm}^2$

$E_c = 328,799.06 \text{ kg/cm}^2$

Acero de refuerzo.

$f_y = 4,200.00 \text{ kg/cm}^2$

$F_R = 0.75$

$V_R = V_{CR} + (V_{S1} + V_{S2})$

$E_c \dots (1) \quad 0.4(L) = 12.52$

$V_{CR} = F_R(0.53 \sqrt{f'_c} b w d)$

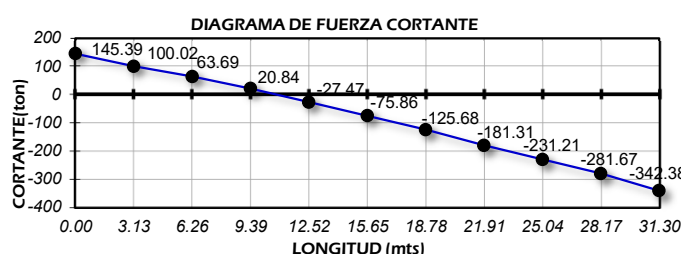
$E_c \dots (2)$

$V_{S1} = (F_R A_v f_y) / S$

$E_c \dots (3)$

$V_{S2} = F_R (A_v f_y (\sin \Phi + \cos \Phi) d) / S$

$E_c \dots (4)$



CORTANTE

Abcisa (mts)	V act. (ton)
0.00	145.39
3.13	100.02
6.26	63.69
9.39	20.84
12.52	-27.47
15.65	-75.86
18.78	-125.68
21.91	-181.31
25.04	-231.21
28.17	-281.67
31.30	-342.38

Limitante de la capacidad del acero.

$V_s = 2.1 \sqrt{f'_c} b w d$

$V_s = 294.01 \text{ ton.}$

RESISTENCIA A CORTANTE PROPORCIONADA POR EL CONCRETO

Sección	Ancho (bw) (cm)	Altura (h) (cm)	Centroide (cm)	Peralte (d) cm	Raíz (f'_c) (kg/cm ²)	bw(d) (cm ²)	V _c (kg)
12.52	40.00	170.00	5.00	165.00	21.21	6,600.00	55,652.84

RESISTENCIA A CORTANTE PROPORCIONADA POR EL ACERO (ESTRIBOS VERTICALES)

Φ	3	4	5	6	8	10	12
a_v (cm ²)	0.71	1.27	1.98	2.85	5.07	7.92	11.04

Sección	Φ	No. Ramas	A_v (cm ²)	Separación (S) cm	$A_v (f_y)$ (kg)	$A_v (f_y) d$ (kg - cm)	V_s (kg)
12.52	5.00	2.00	1.98	20.00	16,632.00	2,744,280.00	102,910.50

RESISTENCIA A CORTANTE PROPORCIONADA POR EL ACERO (ESTRIBOS INCLINADOS)

Φ	3	4	5	6	8	10	12
a_v (cm ²)	0.71	1.27	1.98	2.85	5.07	7.92	11.04

$\alpha \text{ (grados)} = 45 \quad 0.7854 \text{ Radians}$

Sección	Φ	No. Ramas	A_v (cm ²)	Separación (S) cm	$A_v (f_y)$ (kg)	$A_v (f_y) d$ (kg - cm)	V_s (kg)
12.52	0	0	0	0	0	0	0.00

$\cos \alpha = 0.707105$

$\sin \alpha = 0.707108$

Capacidad del acero

Resumen :

V_s , ton = 102.91
V_s , ton = 0.00
V_s , ton = 102.91

$\text{Concreto : } V_{CR}(\text{ton}) = 55.65$

$\text{Acero : } V_s(\text{ton}) = 102.91$

Comparación :

$\text{Resistente : } V_R (\text{ton}) = 158.56$

$\text{Actuante : } V_s (\text{ton}) = -27.47$

Comentario : Adecuado



REVISIÓN DE LA CAPACIDAD A CORTANTE

CARGA : CM+CV T3S2R4+IMPACTO

CARACTERÍSTICAS DE LOS MATERIALES.

Concreto.

$$f'c = 450.00 \text{ kg/cm}^2$$

$$Ec = 328,799.06 \text{ kg/cm}^2$$

Acero de refuerzo.

$$fy = 4,200.00 \text{ kg/cm}^2$$

$$FR = 0.75$$

$$V_R = V_{CR} + (V_{S1} + V_{S2})$$

$$Ec....(1)$$

$$0.5(L) = 15.65$$

$$V_{CR} = FR(0.53 Raiz(f'c) bw d)$$

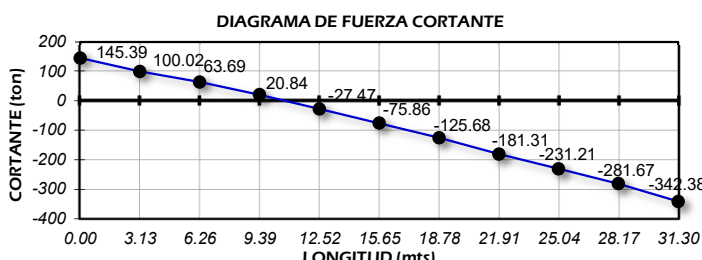
$$Ec....(2)$$

$$Vs1 = (FR Av fy) / S$$

$$Ec....(3)$$

$$Vs2 = FR (Av fy(\operatorname{sen}\Phi + \cos\Phi)d) / S$$

$$Ec....(4)$$



CORTANTE

Abcisa (mts)	V act. (ton)
0.00	145.39
3.13	100.02
6.26	63.69
9.39	20.84
12.52	-27.47
15.65	-75.86
18.78	-125.68
21.91	-181.31
25.04	-231.21
28.17	-281.67
31.30	-342.38

Limitante de la capacidad del acero.

$$V_s = 2.1 \operatorname{Raiz}(f'c) bw d$$

$$V_s = 294.01 \text{ ton.}$$

RESISTENCIA A CORTANTE PROPORCIONADA POR EL CONCRETO

Sección	Ancho (bw) (cm)	Altura (h) (cm)	Centroide (cm)	Peralte (d) cm	Raiz (f'c) (kg/cm ²)	bw(d) (cm ²)	Vcr (kg)
15.65	40.00	170.00	5.00	165.00	21.21	6,600.00	55,652.84

RESISTENCIA A CORTANTE PROPORCIONADA POR EL ACERO (ESTRIBOS VERTICALES)

Φ	3	4	5	6	8	10	12
a_v (cm ²)	0.71	1.27	1.98	2.85	5.07	7.92	11.04

Sección	Φ	No. Ramas	A_v (cm ²)	Separación (S) cm	$A_v (f_y)$ (kg)	$A_v (f_y) d$ (kg - cm)	$V_s 1$ (kg)
15.65	5.00	2.00	1.98	20.00	16,632.00	2,744,280.00	102,910.50

RESISTENCIA A CORTANTE PROPORCIONADA POR EL ACERO (ESTRIBOS INCLINADOS)

Φ	3	4	5	6	8	10	12
a_v (cm ²)	0.71	1.27	1.98	2.85	5.07	7.92	11.04

$$\alpha (\text{grados}) = 45 \quad 0.7854 \text{ Radians}$$

Sección	Φ	No. Ramas	A_v (cm ²)	Separación (S) cm	$A_v (f_y)$ (kg)	$A_v (f_y) d$ (kg - cm)	$V_s 1$ (kg)
15.65	0	0	0	0	0	0	0.00

$$\cos \alpha = 0.707105$$

$$\operatorname{Sen} \alpha = 0.707108$$

Capacidad del acero

Resumen :

$V_s 1$, ton = 102.91
$V_s 2$, ton = 0.00
V_s , ton = 102.91

$$\text{Concreto : } V_{CR}(\text{ton}) = 55.65$$

$$\text{Acero : } V_s(\text{ton}) = 102.91$$

Comparación :

$$\text{Resistente : } VR (\text{ton}) = 158.56$$

$$\text{Actuante : } V_s (\text{ton}) = -75.86$$

Comentario : Adecuado



REVISIÓN DE LA CAPACIDAD A CORTANTE

Aportación del presfuerzo

Carga : CM+CV T3S2R4+IMPACTO

Datos del presfuerzo

At (mm²)= 141

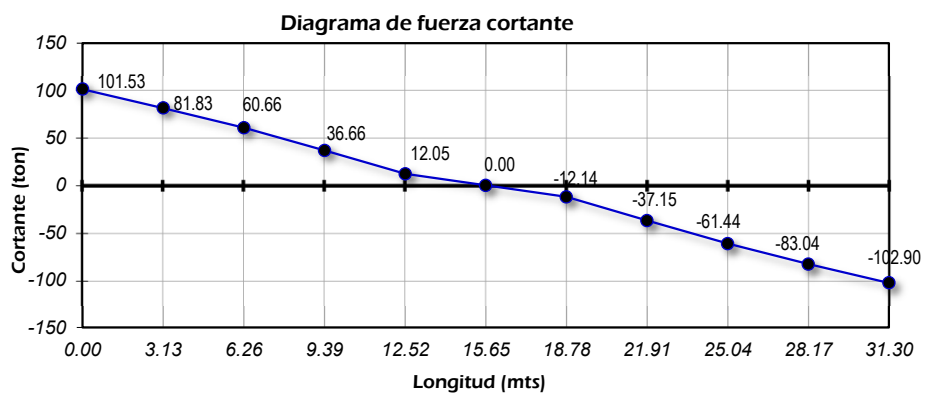
No. De torones= 15

No. De cables= 6

Sección	Abcisa (mts)	Ordenada (mts)	f o Esfuerzo inicial (kg/mm ²)	Δ Fo (ton) perdidas instantáneas	Δ Fo(ton) perdidas Diferidas	Fuerza al tensado (ton)	Fuerza a largo plazo (ton)
1	0.00	0.90	151.36	146.46	318.43	1,920.76	1,455.87
2	3.13	0.61	151.36	143.48	278.24	1,920.76	1,499.04
3	6.26	0.39	151.36	139.44	223.55	1,920.76	1,557.77
4	9.39	0.23	151.36	135.80	174.40	1,920.76	1,610.56
5	12.52	0.13	151.36	138.04	204.59	1,920.76	1,578.13
6	15.65	0.10	151.36	138.94	216.84	1,920.76	1,564.98
7	18.78	0.13	151.36	111.23	206.96	1,920.76	1,602.57
8	21.91	0.23	151.36	103.22	188.37	1,920.76	1,629.16
9	25.04	0.39	151.36	103.57	237.04	1,920.76	1,580.15
10	28.17	0.61	151.36	106.93	291.83	1,920.76	1,522.00
11	31.30	0.90	151.36	119.02	329.05	1,920.76	1,472.69

Sección	Φ	Sen (Φ)	Pi (ton)	Pi(sen Φ)	V p (ton)	FR (Vp) ton	
0							
	5.26	0.09	1,477.45	135.37	135.37	101.53	
3.13							
	4.09	0.07	1,528.40	109.10	109.10	81.83	
6.26							
	2.93	0.05	1,584.16	80.87	80.87	60.66	
9.39							
	1.76	0.03	1,594.34	48.88	48.88	36.66	
12.52							
	0.59	0.01	1,571.55	16.07	16.07	12.05	
15.65							
	0.59	0.01	1,583.77	16.19	16.19	12.14	
18.78							
	1.76	0.03	1,615.87	49.54	49.54	37.15	
21.91							
	2.93	0.05	1,604.66	81.92	81.92	61.44	
25.04							
	4.09	0.07	1,551.07	110.72	110.72	83.04	
28.17							
	5.26	0.09	1,497.34	137.20	137.20	102.90	
31.3							

Sección	FR (Vp), ton
0.00	101.53
3.13	81.83
6.26	60.66
9.39	36.66
12.52	12.05
15.65	0.00
18.78	-12.14
21.91	-37.15
25.04	-61.44
28.17	-83.04
31.30	-102.90





REVISIÓN DE LA CAPACIDAD A CORTANTE

RESUMEN DEL DIAGRAMA DE CORTANTE

Abcisa (mts)	Vact. (ton)	V(conc.+refuerzo) (ton)	Vpresfuerzo (ton)	Vresistente (ton)	Relación (Vact./ Vresist.)	Comentario
0.00	145.39	261.47	101.53	363.00	0.40	Adecuado
3.13	100.02	261.47	81.83	343.30	0.29	Adecuado
6.26	63.69	192.87	60.66	253.52	0.25	Adecuado
9.39	20.84	192.87	36.66	229.52	0.09	Adecuado
12.52	-27.47	158.56	12.05	170.61	-0.16	Adecuado
15.65	-75.86	158.56	0.00	158.56	-0.48	Adecuado
18.78	-125.68	-158.56	-12.14	-170.71	0.74	Adecuado
21.91	-181.31	-192.87	-37.15	-230.02	0.79	Adecuado
25.04	-231.21	-192.87	-61.44	-254.31	0.91	Adecuado
28.17	-281.67	-261.47	-83.04	-344.51	0.82	Adecuado
31.30	-342.38	-261.47	-102.90	-364.37	0.94	Adecuado

V diseño = 120.7 ton

SIMBOLOGIA

COMBINACIÓN ACTUANTE
CAPACIDAD RESISTENTE

CM+CV T3S2R4+IMPACTO
VR = FR (Vc+Vs+Vp)

Vc: aportación del concreto

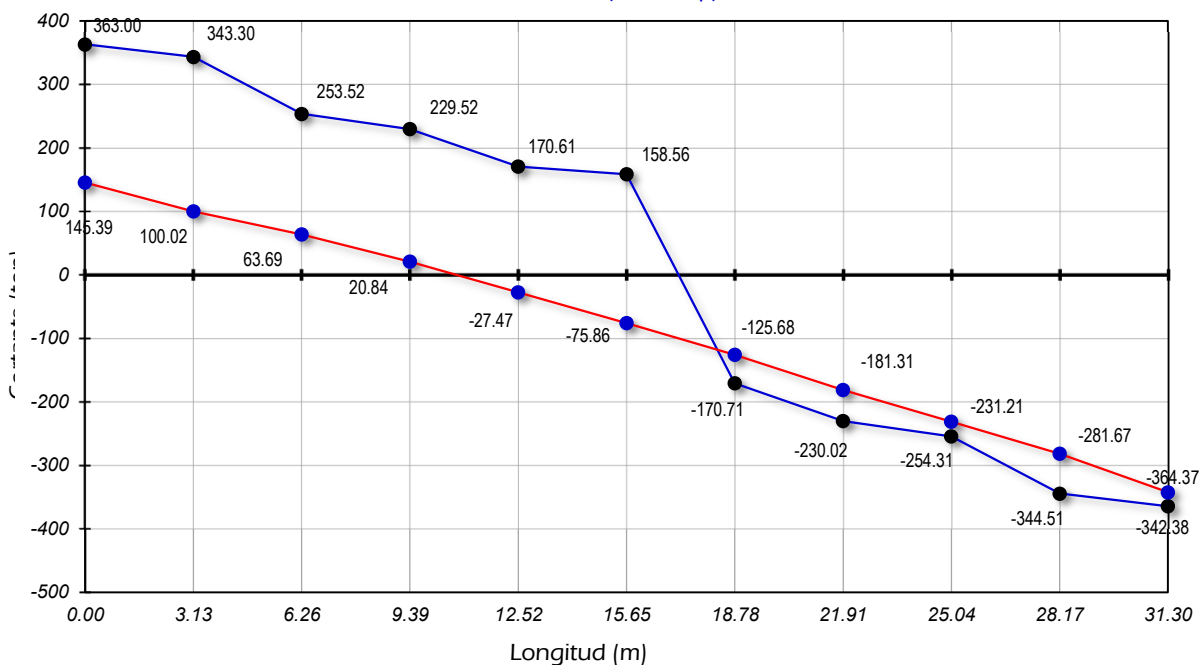
Vs: aportación del refuerzo

Vp: aportación del presfuerzo

Envolvente de cortante

Vactuante servicio: $V_{cm}+V_{cv}(\text{peatonal})+V_{imp}$.

Vresistente: $F_r(V_c+V_s+V_p)$



**RESUMEN DE MOMENTOS GENERADOS POR EL PRESFUERZO:
NERVADURA DE CURVA EXTERNA TRAMO 1**

PROFUNDIDAD DE EJE NEUTRO				
Y = 0.966 m				

CONTRAFLECHA GENERADA POR EL CABLE C-1				
ABCISA	ORDENADA m	EXCENTRICIDAD m	FUERZA FINAL ton	MOMENTO ton*m
0	1.30	0.33	251.22	83.91
3.243	0.87	0.10	257.63	25.25
6.486	0.53	0.43	265.92	115.41
9.729	0.29	0.67	272.09	183.39
12.972	0.15	0.82	266.81	218.25
16.215	0.10	0.87	264.90	229.40
19.458	0.12	0.85	268.00	227.80
22.701	0.16	0.80	269.84	216.41
25.944	0.24	0.72	258.65	186.75
29.187	0.36	0.61	253.17	154.44
32.43	0.50	0.47	242.30	112.91

CONTRAFLECHA GENERADA POR EL CABLE C-2				
ABSICA	ORDENADA m	EXCENTRICIDAD m	FUERZA FINAL ton	MOMENTO ton*m
0	0.90	0.07	248.43	16.40
3.243	0.61	0.35	251.95	89.19
6.486	0.39	0.58	259.93	150.24
9.729	0.23	0.74	268.05	197.82
12.972	0.13	0.83	261.94	218.46
16.215	0.10	0.87	259.81	225.00
19.458	0.13	0.83	262.70	219.09
22.701	0.23	0.74	276.06	203.73
25.944	0.39	0.58	266.52	154.05
29.187	0.61	0.35	257.45	91.14
32.43	0.90	0.07	252.77	16.68

CONTRAFLECHA GENERADA POR EL CABLE C-3				
ABSICA	ORDENADA m	EXCENTRICIDAD m	FUERZA FINAL ton	MOMENTO ton*m
0	0.50	0.47	230.11	107.23
3.243	0.36	0.61	240.60	146.77
6.486	0.24	0.72	252.81	182.53
9.729	0.16	0.80	263.61	211.41
12.972	0.12	0.85	258.31	219.56
16.215	0.10	0.87	255.96	221.66
19.458	0.15	0.82	268.55	219.68
22.701	0.29	0.67	271.69	183.12
25.944	0.53	0.43	264.53	114.81
29.187	0.87	0.10	254.19	24.91
32.43	1.30	0.33	245.93	82.14

**RESUMEN DE MOMENTOS GENERADOS POR EL PRESFUERZO:
NERVADURA DE CURVA EXTERNA TRAMO 1**

PROFUNDIDAD DE EJE NEUTRO				
Y = 0.966 m				

CONTRAFLECHA GENERADA POR EL CABLE C-4				
ABCISA	ORDENADA m	EXCENTRICIDAD m	FUERZA FINAL ton	MOMENTO ton*m
0	1.30	0.33	254.48	84.99
3.243	0.90	0.06	259.19	16.07
6.486	0.60	0.37	266.88	98.75
9.729	0.38	0.59	274.00	161.66
12.972	0.24	0.72	268.55	193.89
16.215	0.20	0.77	266.52	204.16
19.458	0.21	0.75	269.68	203.34
22.701	0.25	0.72	270.65	194.33
25.944	0.31	0.66	258.56	170.14
29.187	0.39	0.57	244.40	140.28
32.43	0.50	0.47	230.68	107.50

CONTRAFLECHA GENERADA POR EL CABLE C-5				
ABSICA	ORDENADA m	EXCENTRICIDAD m	FUERZA FINAL ton	MOMENTO ton*m
0	0.90	0.07	247.13	16.31
3.243	0.65	0.32	251.44	79.96
6.486	0.45	0.51	260.02	133.65
9.729	0.31	0.65	268.92	175.87
12.972	0.23	0.74	263.19	194.24
16.215	0.20	0.77	260.93	199.88
19.458	0.23	0.74	263.87	194.74
22.701	0.31	0.65	267.73	175.09
25.944	0.45	0.51	266.61	137.04
29.187	0.65	0.32	257.11	81.76
32.43	0.90	0.07	251.82	16.62

CONTRAFLECHA GENERADA POR EL CABLE C-6				
ABSICA	ORDENADA m	EXCENTRICIDAD m	FUERZA FINAL ton	MOMENTO ton*m
0	0.50	0.47	224.51	104.62
3.243	0.39	0.57	238.24	136.75
6.486	0.31	0.66	252.21	165.95
9.729	0.25	0.72	263.89	189.47
12.972	0.21	0.75	259.33	195.54
16.215	0.20	0.77	256.85	196.74
19.458	0.24	0.72	269.76	194.76
22.701	0.38	0.59	273.20	161.19
25.944	0.60	0.37	265.27	98.15
29.187	0.90	0.06	255.68	15.85
32.43	1.30	0.33	249.19	83.23

**RESUMEN DE MOMENTOS GENERADOS POR EL PRESFUERZO:
NERVADURA DE CURVA INTERNA TRAMO 1**

PROFUNDIDAD DE EJE NEUTRO				
Y = 0.966 m				

CONTRAFLECHA GENERADA POR EL CABLE C-1				
ABCISA	ORDENADA m	EXCENTRICIDAD m	FUERZA FINAL ton	MOMENTO ton*m
0	1.30	0.33	249.92	83.47
2.869	0.87	0.10	255.09	25.00
5.738	0.53	0.43	258.81	112.32
8.607	0.29	0.67	261.25	176.08
11.476	0.15	0.82	262.60	214.80
14.345	0.10	0.87	263.03	227.78
17.214	0.12	0.85	260.85	221.73
20.083	0.16	0.80	255.66	205.04
22.952	0.24	0.72	248.41	179.35
25.821	0.36	0.61	240.69	146.82
28.69	0.50	0.47	241.79	112.67

CONTRAFLECHA GENERADA POR EL CABLE C-2				
ABSICA	ORDENADA m	EXCENTRICIDAD m	FUERZA FINAL ton	MOMENTO ton*m
0	0.90	0.07	246.48	16.27
2.869	0.61	0.35	247.26	87.53
5.738	0.39	0.58	250.69	144.90
8.607	0.23	0.74	254.56	187.87
11.476	0.13	0.83	257.37	214.65
14.345	0.10	0.87	258.26	223.66
17.214	0.13	0.83	256.54	213.95
20.083	0.23	0.74	263.26	194.28
22.952	0.39	0.58	258.19	149.23
25.821	0.61	0.35	253.57	89.77
28.69	0.90	0.07	251.52	16.60

CONTRAFLECHA GENERADA POR EL CABLE C-3				
ABSICA	ORDENADA m	EXCENTRICIDAD m	FUERZA FINAL ton	MOMENTO ton*m
0	0.50	0.47	227.84	106.17
2.869	0.36	0.61	234.02	142.75
5.738	0.24	0.72	241.62	174.45
8.607	0.16	0.80	248.45	199.25
11.476	0.12	0.85	252.97	215.02
14.345	0.10	0.87	254.31	220.23
17.214	0.15	0.82	265.09	216.85
20.083	0.29	0.67	261.80	176.45
22.952	0.53	0.43	257.21	111.63
25.821	0.87	0.10	251.21	24.62
28.69	1.30	0.33	243.99	81.49

**RESUMEN DE MOMENTOS GENERADOS POR EL PRESFUERZO:
NERVADURA DE CURVA INTERNA TRAMO 1**

PROFUNDIDAD DE EJE NEUTRO				
Y = 0.966 m				

CONTRAFLECHA GENERADA POR EL CABLE C-4				
ABCISA	ORDENADA m	EXCENTRICIDAD m	FUERZA FINAL ton	MOMENTO ton*m
0	1.30	0.33	253.37	84.63
2.869	0.90	0.06	256.48	15.90
5.738	0.60	0.37	259.59	96.05
8.607	0.38	0.59	262.15	154.67
11.476	0.24	0.72	263.83	190.49
14.345	0.20	0.77	264.45	202.57
17.214	0.21	0.75	262.16	197.67
20.083	0.25	0.72	256.45	184.13
22.952	0.31	0.66	248.15	163.29
25.821	0.39	0.57	238.59	136.95
28.69	0.50	0.47	229.54	106.97

CONTRAFLECHA GENERADA POR EL CABLE C-5				
ABSICA	ORDENADA m	EXCENTRICIDAD m	FUERZA FINAL ton	MOMENTO ton*m
0	0.90	0.07	245.33	16.19
2.869	0.65	0.32	246.51	78.39
5.738	0.45	0.51	250.54	128.78
8.607	0.31	0.65	255.01	166.77
11.476	0.23	0.74	258.27	190.60
14.345	0.20	0.77	259.36	198.67
17.214	0.23	0.74	257.52	190.05
20.083	0.31	0.65	253.70	165.92
22.952	0.45	0.51	258.02	132.62
25.821	0.65	0.32	253.00	80.45
28.69	0.90	0.07	250.76	16.55

CONTRAFLECHA GENERADA POR EL CABLE C-6				
ABSICA	ORDENADA m	EXCENTRICIDAD m	FUERZA FINAL ton	MOMENTO ton*m
0	0.50	0.47	222.41	103.64
2.869	0.39	0.57	231.41	132.83
5.738	0.31	0.66	240.76	158.42
8.607	0.25	0.72	248.62	178.51
11.476	0.21	0.75	253.70	191.29
14.345	0.20	0.77	255.25	195.52
17.214	0.24	0.72	265.66	191.81
20.083	0.38	0.59	262.23	154.71
22.952	0.60	0.37	257.70	95.35
25.821	0.90	0.06	252.48	15.65
28.69	1.30	0.33	247.41	82.63

**RESUMEN GENERAL DE MOMENTOS POR PRESFUERZO
TRABE SECCIÓN CAJÓN TRAMO 1**

MOMENTOS POR PRESFUERZO NERVADURA CURVA EXTERNA							
ABCISA	M C-1 ton*m	M C-2 ton*m	M C-3 ton*m	M C-4 ton*m	M C-5 ton*m	M C-6 ton*m	MOMENTO ton*m
0.00	83.91	16.40	107.23	84.99	16.31	104.62	413.46
3.24	25.25	89.19	146.77	16.07	79.96	136.75	493.98
6.49	115.41	150.24	182.53	98.75	133.65	165.95	846.53
9.73	183.39	197.82	211.41	161.66	175.87	189.47	1,119.63
12.97	218.25	218.46	219.56	193.89	194.24	195.54	1,239.94
16.22	229.40	225.00	221.66	204.16	199.88	196.74	1,276.84
19.46	227.80	219.09	219.68	203.34	194.74	194.76	1,259.41
22.70	216.41	203.73	183.12	194.33	175.09	161.19	1,133.87
25.94	186.75	154.05	114.81	170.14	137.04	98.15	860.93
29.19	154.44	91.14	24.91	140.28	81.76	15.85	508.38
32.43	112.91	16.68	82.14	107.50	16.62	83.23	419.08

MOMENTOS POR PRESFUERZO NERVADURA CURVA INTERNA							
ABCISA	M C-1 ton*m	M C-2 ton*m	M C-3 ton*m	M C-4 ton*m	M C-5 ton*m	M C-6 ton*m	MOMENTO ton*m
0.00	83.47	16.27	106.17	84.63	16.19	103.64	410.37
2.87	25.00	87.53	142.75	15.90	78.39	132.83	482.40
5.74	112.32	144.90	174.45	96.05	128.78	158.42	814.91
8.61	176.08	187.87	199.25	154.67	166.77	178.51	1,063.16
11.48	214.80	214.65	215.02	190.49	190.60	191.29	1,216.85
14.35	227.78	223.66	220.23	202.57	198.67	195.52	1,268.43
17.21	221.73	213.95	216.85	197.67	190.05	191.81	1,232.05
20.08	205.04	194.28	176.45	184.13	165.92	154.71	1,080.54
22.95	179.35	149.23	111.63	163.29	132.62	95.35	831.47
25.82	146.82	89.77	24.62	136.95	80.45	15.65	494.27
28.69	112.67	16.60	81.49	106.97	16.55	82.63	416.92

>RESUMEN DE MOMENTOS DEL TRAMO 1

ABCISA	MOMENTO ton*m
0.00	823.83
3.13	976.38
6.26	1,661.44
9.39	2,182.79
12.52	2,456.79
15.65	2,545.27
18.78	2,491.46
21.91	2,214.41
25.04	1,692.40
28.17	1,002.65
31.30	836.00

CÁLCULO DE LAS DEFORMACIONES EN LA TRABE SECCIÓN CAJÓN TRAMO 1

DATOS GENERALES											
TRAMO 1				INCREMENTOS			CARGA VIVA				
Claro = 31.3 m				Secciones = 10			CAMION: T3S2R4				
$\Delta = 3.13$ m											

MOMENTOS (T-M)														
Abcisa (m)	PoPo (t-m)	Diáfragma (t-m)	Losa (t-m)	Relleno (t-m)	Guarnición (t-m)	PPTO (t-m)	Asfalto (t-m)	CM (t-m)	CV (t-m)	CVban (t-m)	Imp (t-m)	Servicio (t-m)	Último (t-m)	Presfuerzo (t-m)
0.00	0.00	0.00	0.00	0.00	0.00	0.00	0.00	0.00	0.00	0.00	0.00	0.00	0.00	-823.83
3.13	592.69	0.00	0.00	221.38	30.48	12.97	114.07	971.58	407.21	0.00	134.38	1,513.18	2,190.79	-976.38
6.26	1,065.79	0.00	0.00	399.38	55.27	23.34	205.17	1,748.94	709.42	0.00	234.11	2,692.47	3,888.64	-1,661.44
9.39	1,405.76	0.00	0.00	528.14	73.41	30.80	270.67	2,308.78	943.09	0.00	311.22	3,563.10	5,148.70	-2,182.79
12.52	1,611.34	0.00	0.00	606.52	84.56	35.32	310.30	2,648.04	1,083.81	0.00	357.66	4,089.51	5,910.20	-2,456.79
15.65	1,680.45	0.00	0.00	633.02	88.37	36.85	323.63	2,762.30	1,125.20	0.00	371.32	4,258.82	6,152.69	-2,545.27
18.78	1,611.34	0.00	0.00	606.52	84.56	35.32	310.30	2,648.04	1,083.90	0.00	357.69	4,089.62	5,910.39	-2,491.46
21.91	1,405.76	0.00	0.00	528.14	73.41	30.80	270.67	2,308.78	943.12	0.00	311.23	3,563.13	5,148.75	-2,214.41
25.04	1,065.79	0.00	0.00	399.38	55.27	23.34	205.17	1,748.94	709.43	0.00	234.11	2,692.48	3,888.66	-1,692.40
28.17	592.69	0.00	0.00	221.38	30.48	12.97	114.07	971.58	407.12	0.00	134.35	1,513.05	2,190.57	-1,002.65
31.30	0.00	0.00	0.00	0.00	0.00	0.00	0.00	0.00	0.00	0.00	0.00	0.00	0.00	-836.00

DATOS DE LA TRABE				DATOS DEL CONCRETO						ECUACIÓN DE LA ELÁSTICA					
CARACTERÍSTICAS GEOMÉTRICAS				MÓDULO DE ELÁSTICIDAD DEL CONCRETO (Ec)						RESISTENCIA A LA COMPRESIÓN					
A = 58,330.00 cm ²	Ec = 328,800.69 kg/cm ²	K ₁ = 1	L trabe (m) = 31.3	$E = 33,000K_1w^{1.5}\sqrt{f'_c}$ 1 ksi = 70.307 $\frac{\text{kg}}{\text{cm}^2}$						$w = 0.14640$	$y_i = \frac{w}{EI} \left[\frac{X^4}{24} - \frac{LX^3}{12} + \frac{XL^3}{24} \right]$				
Y _i = 109.46 cm	Inercia de la sección compuesta						Concrete						RESISTENCIA A LA COMPRESIÓN		
Y _s = 60.54 cm	I _{XX} = 229,300,000.00 cm ⁴						Lightweight						f _c = 450 kg/cm ²		
I _{XX} = 229,300,000.00 cm ⁴	Normal Weight with f' ≤ 5.0 ksi						0.110 to 0.135								
	Normal Weight with 5.0 < f' ≤ 15.0 ksi						0.145								
	Normal Weight with f' > 15.0 ksi						0.140 + 0.001 f'								

CARGAS EQUIVALENTES UNIFORMES (W) T/M														
	PoPo (t/m)	Diáfragma (t/m)	Losa (t/m)	Relleno (t/m)	Guarnición (t/m)	PPTO (t/m)	Asfalto (t/m)	CM (t/m)	CV (t/m)	CVban (t/m)	Imp (t/m)	Servicio (t/m)	Último (t/m)	Presfuerzo (t/m)
W	13.722	0.000	0.000	5.169	0.722	0.301	2.643	22.557	9.188	0.000	3.032	34.777	50.242	-20.784

CALCULO DE LAS DEFORMACIONES VERTICALES (Δ i)														
Abcisa (m)	PoPo (cm)	Diáfragma (cm)	Losa (cm)	Relleno (cm)	Guarnición (cm)	PPTO (cm)	Asfalto (cm)	CM (cm)	CV (cm)	CVban (cm)	Imp (cm)	Servicio (cm)	Último (cm)	Presfuerzo (cm)
0.00	0.000	0.000	0.000	0.000	0.000	0.000	0.000	0.000	0.000	0.000	0.000	0.000	0.000	0.000
3.13	0.714	0.000	0.000	0.269	0.038	0.016	0.138	1.174	0.478	0.000	0.158	1.810	2.614	-1.082
6.26	1.351	0.000	0.000	0.509	0.071	0.030	0.260	2.221	0.905	0.000	0.299	3.424	4.946	-2.046
9.39	1.850	0.000	0.000	0.697	0.097	0.041	0.356	3.040	1.238	0.000	0.409	4.687	6.772	-2.801
12.52	2.166	0.000	0.000	0.816	0.114	0.047	0.417	3.561	1.450	0.000	0.479	5.490	7.931	-3.281
15.65	2.275	0.000	0.000	0.857	0.120	0.050	0.438	3.739	1.523	0.000	0.503	5.765	8.328	-3.445
18.78	2.166	0.000	0.000	0.816	0.114	0.047	0.417	3.561	1.450	0.000	0.479	5.490	7.931	-3.281
21.91	1.850	0.000	0.000	0.697	0.097	0.041	0.356	3.040	1.238	0.000	0.409	4.687	6.772	-2.801
25.04	1.351	0.000	0.000	0.509	0.071	0.030	0.260	2.221	0.905	0.000	0.299	3.424	4.946	-2.046
28.17	0.714	0.000	0.000	0.269	0.038	0.016	0.138	1.174	0.478	0.000	0.158	1.810	2.614	-1.082
31.30	0.000	0.000	0.000	0.000	0.000	0.000	0.000	0.000	0.000	0.000	0.000	0.000	0.000	0.000

NORMA UTILIZADA				RESUMEN DE DEFORMACIONES (FLECHAS)					COMENTARIO				
AASHTO LRFD Artículo 2.5.2.6.2 - Criterios para Deflexiones				Flecha permisible : $\Delta_{perm.} = 3.91$ cm					La flecha que se presenta no sobrepasa el límite permisible				
Vehicular load, general Span/800,				Flecha por carga permanente : $\Delta_{cm} = 0.29$ cm					RECOMENDACIÓN				
Vehicular and pedestrian loads Span/1,000,				Flecha por carga viva+imp: $\Delta_{cv+imp} = 2.03$ cm					No se debe aumentar el presfuerzo				
				Flecha total : $\Delta_{total} = 2.32$									

5.9 DISEÑO DE SUBESTRUCTURA

En este subcapítulo se presenta el diseño a flexión, cortante y acciones sísmicas de los elementos que conforman la subestructura del proyecto, el resumen de los elementos mecánicos generados y las hojas de cálculo elaboradas para su diseño. En este sentido, se presenta la lista de los elementos estructurales diseñados:

- Diseño de cabezal
- Diseño de apoyos
- Diseño de pila

5.9.1 DISEÑO DE CABEZAL

El diseño del cabezal se realizó para la acción de carga vertical que corresponde a la descarga de la superestructura para la condición última obteniendo sus elementos mecánicos mediante la modelación en SAP2000. Se realizaron iteraciones entre dimensiones transversales y acero de refuerzo que otorgaran la capacidad requerida.

Es deber aclarar que el diseño se realizó para el cabezal correspondiente a los ejes 2 y 3, ya que hay una diferencia con el cabezal de los ejes de acceso respecto a su claro, esto es, el cabezal en los accesos debe cumplir con el mismo ancho total del puente y en los ejes centrales pueden reducir su claro. A su vez, los caballetes intermedios presentan una mayor descarga al apoyarse dos tramos de trabe con lo que se produce un caso más desfavorable; su diseño sirve tanto en dimensiones como en armado para el cabezal de los ejes 1 y 2 variando únicamente en su claro.

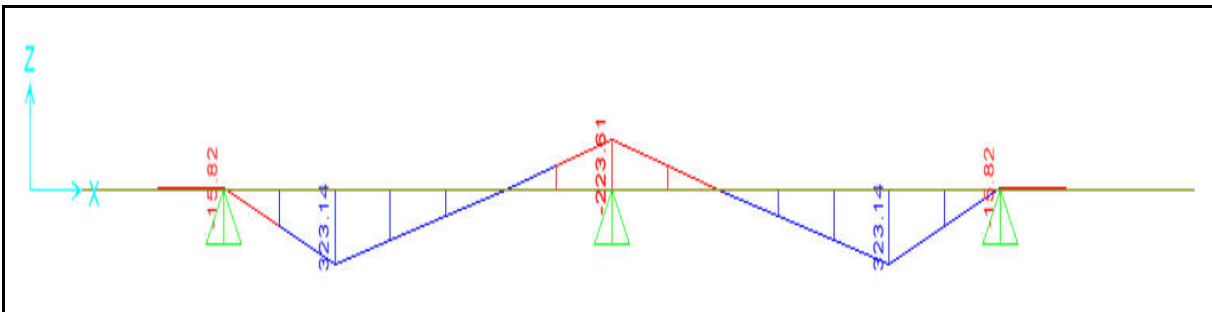
GEOMETRÍA DEL CABEZAL									
ANCHO		PERALTE							
B = 2.40 m		H = 1.60 m							
CLARO									
L = 10.5 m									
RESUMEN DEL ACERO DE REFUERZO LONGITUDINAL									
LECHO SUPERIOR									
VARILLA		As	S	M _U	M _R				
#	pzas	cm ²	cm	ton*m	ton*m				
8.00	10.00	50.70	25.00	289.11	291.28				
LECHO INFERIOR									
VARILLA		As	S	M _U	M _R				
#	pzas	cm ²	cm	ton*m	ton*m				
8.00	10.00	50.70	25.00	440.03	452.09				
ACERO DE REFUERZO PARA ARMADO (LATERALES)									
VARILLA		As	S	M _U	M _R				
#	pzas	cm ²	cm	ton*m	ton*m				
8.00	8.00	40.56	30.00	-	233.56				
RESUMEN DEL ACERO DE REFUERZO TRANSVERSAL									
VARILLA	As	No. Ramas	A _v	ESTRIBOS	S				
#	cm ²		cm ²	pzas	cm				
6.00	2.85	4.00	11.40	106.00	15.00				

Tabla 5.10 Resumen de geometría y acero de refuerzo en cabezal ejes 2 y 3

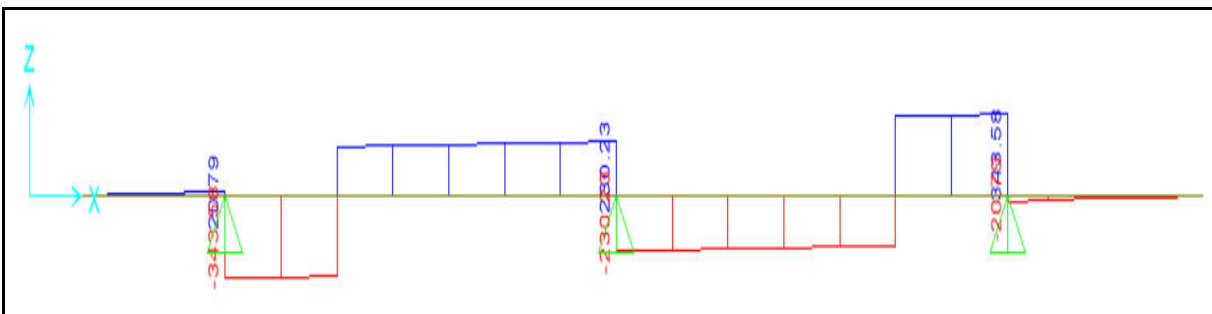


RESUMEN DE ELEMENTOS MECÁNICOS EN CONDICIONES DE SERVICIO

DATOS DEL CABEZAL		
LONGITUD =	10.5	m



ABCISA (m)	M cm (t-m)	M asfalto (t-m)	M cv (t-m)	M imp (t-m)	M serv. (t-m)
0.00	0.00	0.00	0.00	0.00	0.00
1.05	-5.28	0.00	0.00	0.00	-5.28
2.10	72.28	16.98	10.80	3.56	103.62
3.15	173.65	35.60	22.63	7.47	239.35
4.20	9.87	1.67	1.06	0.35	12.95
5.25	-164.06	-32.27	-20.52	-6.77	-223.61
6.30	9.87	1.67	1.06	0.35	12.95
7.35	173.65	35.60	22.63	7.47	239.35
8.40	72.28	16.98	10.80	3.56	103.62
9.45	-5.28	0.00	0.00	0.00	-5.28
10.50	0	0.00	0.00	0.00	0.00

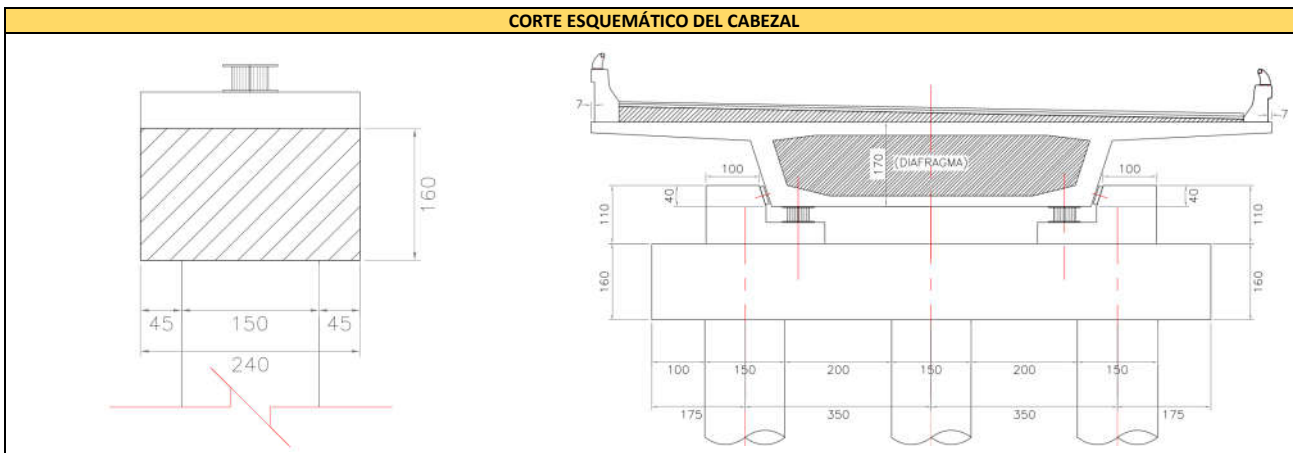


ABCISA (m)	V cm (ton)	V asfalto (ton)	V cv (ton)	V imp (ton)	V serv. (ton)
0.00	0.00	0.00	0.00	0.00	0.00
1.05	9.69	0.00	0.00	0.00	9.69
2.10	-250.79	-48.53	-30.85	-10.18	-340.35
3.15	151.21	32.32	20.55	6.78	210.86
4.20	160.90	32.32	20.55	6.78	220.55
5.25	170.59	32.32	20.55	6.78	230.23
6.30	-160.90	-32.32	-20.55	-6.78	-220.55
7.35	-151.21	-32.32	-20.55	-6.78	-210.86
8.40	250.79	48.53	30.85	10.18	340.35
9.45	-9.69	0.00	0.00	0.00	-9.69
10.50	0.00	0.00	0.00	0.00	0.00



DISEÑO POR FLEXIÓN Y CORTANTE DEL CABEZAL DE ESTRIBOS (EJE 2 & EJE 3)

REGLAMENTO: AASHTO LRFD 2020



DATOS GENERALES DE ANÁLISIS			
LONGITUD DEL TRAMO	NÚMERO DE APOYOS	NÚMERO DE PILAS	
L = 10.5 m	No. Apoyos = 2	No. Pilas = 3	

DIMENSIONES DEL CABEZAL			
LONGITUD TOTAL DE CABEZAL	ANCHO DE CABEZAL	PERALTE DE CABEZAL	
L _{Total} = 1,050.00 cm	A _{Cabezal} = 240.00 cm	H _{Cabezal} = 160.00 cm	

CARACTERÍSTICAS GEOMÉTRICAS DEL CABEZAL		MATERIALES	
SECCIÓN TRANSVERSAL		CONCRETO	
A = 38,400.00 cm ²		f _c = 300 kg/cm ²	
I _x = 81,920,000.00 cm ⁴		f' _c = 255 kg/cm ²	
Y _i = 80.00 cm		Y _c = 2.4 ton/m ³	
Y _s = 80.00 cm		ACERO DE REFUERZO	
S _i = 1,024,000.00 cm ³			
S _s = 1,024,000.00 cm ³		f _y = 4,200 kg/cm ²	

RESUMEN DE CARGAS			
DESCARGA TOTAL DE LA SUPERESTRUCTURA (2 TRABES)		DESCARGA POR APOYO DE LA SUPERESTRUCTURA (2 TRABES)	
CARGAS PERMANENTES		CARGAS PERMANENTES	
CM & POPO = 617.68 ton		CM & POPO = 308.84 ton	
ASFALTO = 80.86 ton		ASFALTO = 40.43 ton	
TOPE SÍSMICO = 9.55 ton		TOPE SÍSMICO = 4.77 ton	
CARGAS VIVAS		CARGAS VIVAS	
CV T3S2R4 = 308.40 ton		CV T3S2R4 = 154.20 ton	
IMP T3S2R4 = 101.76 ton		IMP T3S2R4 = 50.88 ton	

RESUMEN DE MOMENTOS: CONDICIÓN EN SERVICIO							
MOMENTO	TRAMO	1	TRAMO	2	TRAMO	3	
M _{cm} (ton·m)	0.00	-3.62	-15.82	-15.82	233.58	-164.05	-164.06 233.58 -15.82
M _{asf} (ton·m)	0.00	0.00	0.00	0.00	21.96	-24.20	-24.20 50.83 0.00
M _{cv} (ton·m)	0.00	0.00	0.00	0.00	41.03	-27.28	-27.29 41.03 0.00
M _{serv.} (ton·m)	0.00	-3.62	-15.82	-15.82	296.58	-215.54	-215.55 325.45 -15.82

RESUMEN DE MOMENTOS: CONDICIÓN EN SERVICIO		
MOMENTO	TRAMO	4
M _{cm} (ton·m)	-15.82	-3.62 0.00
M _{asf} (ton·m)	0.00	0.00 0.00
M _{cv} (ton·m)	0.00	0.00 0.00
M _{serv.} (ton·m)	-15.82	-3.62 0.00

FACTORES DE CARGA			
FACTOR POR CARGA MUERTA	FACTOR POR ASFALTO	FACTOR POR CARGA VIVA	IMPACTO
F _{CM} = 1.5	F _{Asf} = 1.25	F _{cv} = 1.75	IMP = 0.33



DISEÑO POR FLEXIÓN Y CORTANTE DEL CABEZAL DE ESTRIBOS (EJE 2 & EJE 3)

REGLAMENTO:	AASHTO LRFD 2020
-------------	------------------

RESUMEN DE MOMENTOS: CONDICIÓN ÚLTIMA								
MOMENTO	TRAMO	1	TRAMO	2	TRAMO	3		
1.25M _{cm} (ton*m)	0.00	-4.53	-19.78	-19.78	291.98	-205.06	-205.07	291.98
1.5M _{asf} (ton*m)	0.00	0.00	0.00	0.00	32.95	-36.30	-36.30	76.24
1.75M _{cv} (ton*m)	0.00	0.00	0.00	0.00	71.81	-47.74	-47.75	71.81
M _{ult.} (ton*m)	0.00	-4.53	-19.78	-19.78	396.74	-289.11	-289.12	440.03
								-19.78

RESUMEN DE MOMENTOS: CONDICIÓN ÚLTIMA			
MOMENTO	TRAMO	4	
1.25M _{cm} (ton*m)	-19.78	-4.53	0.00
1.5M _{asf} (ton*m)	0.00	0.00	0.00
1.75M _{cv} (ton*m)	0.00	0.00	0.00
M _{ult.} (ton*m)	-19.78	-4.53	0.00

CÁLCULO DEL ACERO DE REFUERZO PRINCIPAL: PERPENDICULAR AL TRÁNSITO								
DATOS DEL ACERO DE REFUERZO								
ACERO PROPUESTO			CARACTERÍSTICAS GEOMÉTRICAS			FACTORES DEL ANÁLISIS A FLEXIÓN		
Varilla #:	8		Varilla #:	10	Y _g =	6.27	cm	
As =	5.07	cm ²	As (cm ²) =	7.92	h _{refec} =	160.00	cm	ϕ = 0.9
ϕ =	2.54	cm	ϕ (cm) =	3.18	b =	240	cm	J = 0.9
r =	5	cm	r (cm) =	5	d =	153.73	cm	
RESUMEN DEL ACERO DE REFUERZO PRINCIPAL								
	TRAMO	1	TRAMO	2	TRAMO	3		
As Requerido	0.00	0.87	3.78	3.78	75.86	55.28	55.28	84.14
No. de varillas	0.00	0.11	0.75	0.75	9.58	10.90	10.90	10.62
Varillas Real	10	10	10	10	10	10	10	10
As Real	50.7	79.2	50.7	50.7	79.2	50.7	50.7	79.2
a	3.4794	5.4353	3.4794	3.4794	5.4353	3.4794	3.4794	5.4353
M _R	291.28	452.09	291.28	291.28	452.09	291.28	291.28	452.09
M _U	0.00	-4.53	-19.78	-19.78	396.74	-289.11	-289.12	440.03
MR vs MU	Ok	Ok	Ok	Ok	Ok	Ok	Ok	Ok
S _{Téorica}	24.00	24.00	24.00	24.00	24.00	24.00	24.00	24.00
S _{Real}	25	25	25	25	25	25	25	25

CÁLCULO DEL ACERO DE REFUERZO PRINCIPAL: PERP. AL TRÁNSITO		
RESUMEN DEL ACERO DE REFUERZO PRINCIPAL		
	TRAMO	4
As Requerido	3.78	0.87
No. de varillas	0.75	0.11
Varillas Real	10	10
As Real	50.7	79.2
a	3.4794	5.4353
M _R	291.28	452.09
M _U	19.78	4.53
MR vs MU	Ok	Ok
S _{Téorica}	24.00	24.00
S _{Real}	25	25

PORCENTAJE DE ACERO DE REFUERZO A FLEXIÓN								
LECHO SUPERIOR			LECHO INFERIOR			ACERO TOTAL A FLEXIÓN		
No. Varillas =	10		No. Varillas =	10		As (+) =	129.90	cm ²
As (-) =	50.70	cm ²	As (+) =	79.20	cm ²	p =	0.00352	
p =	0.00137		p =	0.00215				
ACERO MÍNIMO			ACERO BALANCEADO			COMENTARIO		
P _{min} =	0.00289		P _b =	0.03036		El acero de refuerzo propuesto a flexión es correcto		
A _{smin} =	106.51		A _{sb} =	106.51				

DISEÑO POR FLEXIÓN Y CORTANTE DEL CABEZAL DE ESTRIBOS (EJE 2 & EJE 3)

REGLAMENTO:	AASHTO LRFD 2020
-------------	------------------

RESUMEN DE CORTANTES: CONDICIÓN EN SERVICIO										
CORTANTE	TRAMO	1		TRAMO			2		TRAMO	3
V_{cm} (ton*m)	0	8.0733	20.7909	-254.0205	147.5438	170.59	-170.59	-147.5235	254.0205	
V_{asf} (ton*m)	0	0	0	-21.9638	18.4662	18.4662	-30.0125	-30.0125	50.8295	
V_{cv} (ton*m)	0.00	0.00	0.00	-41.03	27.97	27.33	-27.33	-27.03	41.03	
$V_{serv.}$ (ton*m)	0.00	8.07	20.79	-317.02	193.98	216.38	-227.93	-204.57	345.88	

RESUMEN DE CORTANTES: CONDICIÓN EN SERVICIO			
CORTANTE	TRAMO	4	
V_{cm} (ton*m)	-20.7909	-8.0733	0
V_{asf} (ton*m)	0	0	0
V_{cv} (ton*m)	0.00	0.00	0.00
$V_{serv.}$ (ton*m)	-20.79	-8.07	0.00

RESUMEN DE CORTANTES: CONDICIÓN ÚLTIMA										
CORTANTE	TRAMO	1		TRAMO			2		TRAMO	3
$1.25V_{cm}$ (ton*m)	0.0000	10.0916	25.9886	-317.5256	184.4298	213.2375	-213.2375	-184.4044	317.5256	
$1.5V_{asf}$ (ton*m)	0.0000	0.0000	0.0000	-32.9457	27.6993	27.6993	-45.0188	-45.0188	76.2443	
$1.75V_{cv}$ (ton*m)	0.0000	0.0000	0.0000	-71.8099	48.9545	47.8237	-47.8237	-47.3099	71.8099	
$V_{ult.}$ (ton*m)	0.00	10.09	25.99	-422.28	261.08	288.76	-306.08	-276.73	465.58	

RESUMEN DE CORTANTES: CONDICIÓN ÚLTIMA			
CORTANTE	TRAMO	4	
$1.25M_{cm}$ (ton*m)	-25.9886	-10.0916	0.0000
$1.5M_{asf}$ (ton*m)	0.0000	0.0000	0.0000
$1.75M_{cv}$ (ton*m)	0.0000	0.0000	0.0000
$V_{ult.}$ (ton*m)	-25.99	-10.09	0.00

RESUMEN DE CORTANTES: CONDICIÓN EN SERVICIO					
CORTANTE	TRAMO	1	TRAMO	2	TRAMO
V_{CR}	129.61	ton	129.61	ton	129.61 ton
V_U	25.99	ton	422.28	ton	465.58 ton
V_{SR}	0.00	ton	292.68	ton	335.97 ton
					0.00 ton

CÁLCULO DEL ACERO DE REFUERZO POR CORTANTE					
ACERO PROPUESTO			ÁREA DE ACERO POR ESTRIBO		
Varilla #:	6				
A_s =	2.85	cm ²			
ϕ =	1.9	cm			
r =	2.5	cm			
No. Ramas =			4		
A_y =			11.4	cm ²	

RESUMEN DE LA SEPARACIÓN DE ESTRIBOS					
SEPARACIÓN	TRAMO	1	TRAMO	2	TRAMO
Teórica	No aplica	cm	18.86	cm	16.43 cm
Real	15	cm	15	cm	15 cm

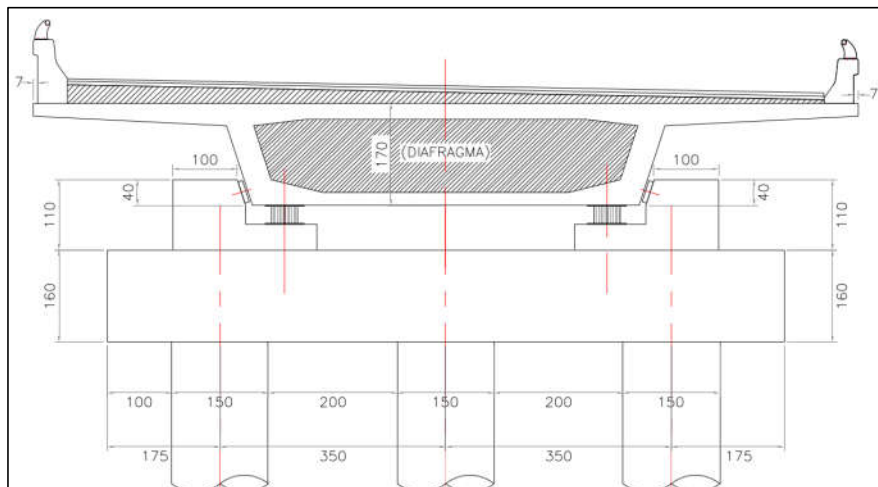


REVISIÓN DE CAPACIDAD A FLEXIÓN DE CABEZAL

CARACTERÍSTICAS GEOMÉTRICAS DEL CABEZAL		
SECCIÓN SIMPLE	SECCIÓN COMPUESTA	DIMENSIONES DE CABEZAL
ESPESOR PROMEDIO	ESPESOR PROMEDIO	ANCHO DE ANÁLISIS
$H \text{ (m)} = 1.60$	$H \text{ (m)} = 1.60000$	$B, \text{ cm} = 240$
ÁREA DE LA SECCIÓN	ÁREA DE LA SECCIÓN	ESPESOR PROMEDIO
$A \text{ (m}^2\text{)} = 3.840$	$A \text{ (m}^2\text{)} = 3.8400$	$h, \text{ cm} = 160$
EJE NEUTRO	EJE NEUTRO	$hf \text{ (m)} = 0$
$Y_i \text{ (m)} = 0.80$	$Y_i \text{ (m)} = 0.80$	CLARO DE CABEZAL
$Y_s \text{ (m)} = 0.80$	$Y_s \text{ (m)} = 0.80$	
INERCIA BRUTA	INERCIA BRUTA	$L, \text{ cm} = 1.050$
$I_x \text{ (m}^4\text{)} = 0.8192$	$I_x \text{ (m}^4\text{)} = 0.8192$	

CARACTERÍSTICAS DE LOS MATERIALES	
CONCRETO	ACERO
$f'_c = 300 \text{ kg/cm}^2$	$f_y = 4,200 \text{ kg/cm}^2$

>BOSQUEJO DE LOSA CONSIDERADA





REVISIÓN DE CAPACIDAD A FLEXIÓN DEL CABEZAL

CARACTERÍSTICAS GEOMÉTRICAS		TRAMO 1				MATERIALES DE CABEZAL			
SECCIÓN SIMPLE		SECCIÓN COMPUESTA				RESISTENCIA A COMPRESIÓN			
ESPESOR MEDIO DE CABEZAL	$hf (m) = 0$	PERALTE TOTAL DE CABEZAL	$H (m) = 1.6000$			$f'c = 300$	kg/cm ²		
PERALTE TOTAL DE CABEZAL	$H (m) = 1.6000$	ÁREA DE SECCIÓN TRANSVERSAL	$A (m^2) = 3.84000$			$A (m^2) = 3.84000$	LIMITE ELÁSTICO DEL ACERO		
ÁREA DE SECCIÓN TRANSVERSAL	$A (m^2) = 3.84000$	DIST. DEL (E.N) A LA F. INF.	$Y_i (m) = 0.80000$			$Y_i (m) = 0.80000$	$f_y = 4,200.00$	kg/cm ²	
DIST. DEL (E.N) A LA F. INF.	$Y_i (m) = 0.80000$	DIST. DEL (E.N) A LA F. SUP.	$Y_s (m) = 0.80000$			$Y_s (m) = 0.80000$	FACTOR DE CONVERSIÓN		
DIST. DEL (E.N) A LA F. SUP.	$Y_s (m) = 0.80000$	MOMENTO DE INERCIA	$I_x (m^4) = 0.82$			$I_x (m^4) = 0.82$	$Lb / in^2 a Kg/cm^2;$	0.0703081	
MOMENTO DE INERCIA	$I_x (m^4) = 0.82$	MOD. DE SECCION INF.	$S_i (m^3) = 1.02400$			$S_i (m^3) = 1.02400$	DIMENSIONES DEL SEGMENTO DE CABEZAL ANALIZADO		
MOD. DE SECCION INF.	$S_i (m^3) = 1.02400$	MOD. DE SECCION SUP.	$S_s (m^3) = 1.02400$			$S_s (m^3) = 1.02400$	Claro, L (mts)=	1.75	
MOD. DE SECCION SUP.	$S_s (m^3) = 1.02400$	ANCHO DE PATIN (b) EN CM	$b (cm) = 240.00$			$b (cm) = 240.00$	$h, (mts) =$	1.6	
		ANCHO DEL ALMA (b') EN CM	$b' (cm) = 240.00$						

DISTRIBUCIÓN DEL ACERO DE REFUERZO											
DISTRIBUCIÓN DEL ACERO DE REFUERZO EN TENSIÓN											
SECCIÓN	Apoyo	0.1 L	0.2 L	0.3L	0.4L	0.5L	0.6L	0.7L	0.8L	0.9L	Apoyo
As (cm ²)	50.7	50.7	50.7	50.7	50.7	50.7	50.7	50.7	50.7	50.7	50.7
r (cm)	6.27	6.27	6.27	6.27	6.27	6.27	6.27	6.27	6.27	6.27	6.27
DISTRIBUCIÓN DEL ACERO DE REFUERZO EN COMPRESIÓN											
SECCIÓN	Apoyo	0.1 L	0.2 L	0.3L	0.4L	0.5L	0.6L	0.7L	0.8L	0.9L	Apoyo
As (cm ²)	79.2	79.2	79.2	79.2	79.2	79.2	79.2	79.2	79.2	79.2	79.2
r (cm)	6.59	6.59	6.59	6.59	6.59	6.59	6.59	6.59	6.59	6.59	6.59

DATOS GENERALES DEL ACERO Y DEL SEGMENTO DE CABEZAL									
DATOS DEL ACERO					DATOS DEL TRAMO				
LIMITE DE FLUENCIAS (f _y)	fy (kg/cm ²) = 4,200.00								
MODULO DE ELASTICIDAD (E _s)	29,000,000.00 PSI								
FACTOR DE CONVERSIÓN DE (lb/in ²) a (kg/cm ²)	Factor = 0.0703081								
E _s	2,038,934.90 kg/cm ²								
EXPRESIONES PARA CONDICIONES ÚLTIMAS (NORMA AASHTO LRFD 2020)									
$\theta M_n = \theta [A_s f_y (1 - 0.6 \frac{f'_y}{f_c})]$	Formula de momento								
$\theta M_n = \theta [A_s f_y (d - \frac{a}{2})]$	ASHTO Capítulo 8.16.3.1								
$a = \frac{A_s f_y}{0.85 f'_c b}$	Profundidad del bloque de esfuerzos								
$\theta = 0.9$	Factor de reducción								
$M_u = 1.25[M_{CM}] + 1.5[M_{ASf}] + 1.75[M_{CV} + M_{IMP}]$	Momento Flexionante								
$V_u = 1.25[V_{SCM}] + 1.5[V_{ASf}] + 1.75[V_{CV} + V_{IMP}]$	Fuerza cortante								

FACTORES DE CARGA									
FACTOR POR CARGA MUERTA			FACTOR POR ASFALTO			FACTOR POR CARGA VIVA			FACTOR POR IMPACTO
$F_{CM} = 1.5$			$F_{Asf} = 1.25$			$F_{CV} = 1.75$			$IMP = 0.33$

ELEMENTOS MECÁNICOS: MOMENTOS											
MOMENTO FLEXIONANTE (SERVICIO)											
Apoyo	0.1L	0.2L	0.3L	0.4L	0.5L	0.6L	0.7L	0.8L	0.9L	Apoyo	
0	0.175	0.35	0.525	0.7	0.875	1.05	1.225	1.4	1.575	1.75	
m	m	m	m	m	m	m	m	m	m	m	
M cm(t-m)	0	-0.3791	-0.7454	-1.3879	-2.5061	-3.6242	-5.2819	-7.1455	-9.1360	-12.4797	-15.8325
M asf(t-m)	0	0.0000	0.0000	0.0000	0.0000	0.0000	0.0000	0.0000	0.0000	0.0000	0.0000
M cv(t-m)	0	0.0000	0.0000	0.0000	0.0000	0.0000	0.0000	0.0000	0.0000	0.0000	0.0000
M imp(t-m)	0	0.0000	0.0000	0.0000	0.0000	0.0000	0.0000	0.0000	0.0000	0.0000	0.0000
M serv.(t-m)	0.00	-0.38	-0.75	-1.39	-2.51	-3.62	-5.28	-7.15	-9.14	-12.48	-15.83
MOMENTO FLEXIONANTE (ÚLTIMOS)											
1.25 M cm(t-m)	0	-0.47389	-0.93180	-1.73491	-3.13260	-4.53030	-6.60243	-8.93191	-11.41999	-15.59965	-19.79058
1.5 M asf(t-m)	0	0.00000	0.00000	0.00000	0.00000	0.00000	0.00000	0.00000	0.00000	0.00000	0.00000
1.75 M cv(t-m)	0.00	0.00000	0.00000	0.00000	0.00000	0.00000	0.00000	0.00000	0.00000	0.00000	0.00000
1.75 M imp(t-m)	0	0.00000	0.00000	0.00000	0.00000	0.00000	0.00000	0.00000	0.00000	0.00000	0.00000
M ult.(t-m)	0.00	-0.47	-0.93	-1.73	-3.13	-4.53	-6.60	-8.93	-11.42	-15.60	-19.79

ELEMENTOS MECÁNICOS: CORTANTES											
FUERZA CORTANTE (SERVICIO)											
Apoyo	0.1L	0.2L	0.3L	0.4L	0.5L	0.6L	0.7L	0.8L	0.9L	Apoyo	
0	0.175	0.35	0.525	0.7	0.875	1.05	1.225	1.4	1.575	1.75	
m	m	m	m	m	m	m	m	m	m	m	
V cm(t-m)	0.0000	1.6147	3.2293	4.8440	6.4586	8.0733	9.6880	11.3026	17.5616	19.1763	20.7909
V asf(t-m)	0.0000	0.0000	0.0000	0.0000	0.0000	0.0000	0.0000	0.0000	0.0000	0.0000	0.0000
V cv(t-m)	0.0000	0.0000	0.0000	0.0000	0.0000	0.0000	0.0000	0.0000	0.0000	0.0000	0.0000
V imp(t-m)	0.0000	0.0000	0.0000	0.0000	0.0000	0.0000	0.0000	0.0000	0.0000	0.0000	0.0000
V serv.(t-m)	0.00	1.61	3.23	4.84	6.46	8.07	9.69	11.30	17.56	19.18	20.79
FUERZA CORTANTE (ÚLTIMOS)											
1.25 V cm(t-m)	0	2.018375	4.036625	6.055	8.07325	10.091625	12.11	14.12825	21.952	23.970375	25.988625
1.5 V asf(t-m)	0	0	0	0	0	0	0	0	0	0	0
1.75 V cv(t-m)	0.00	0.00	0.00	0.00	0.00	0.00	0.00	0.00	0.00	0.00	0.00
1.75 V imp(t-m)	0	0	0	0	0	0	0	0	0	0	0
V ult.(t-m)	0.00	2.02	4.04	6.06	8.07	10.09	12.11	14.13	21.95	23.97	25.99



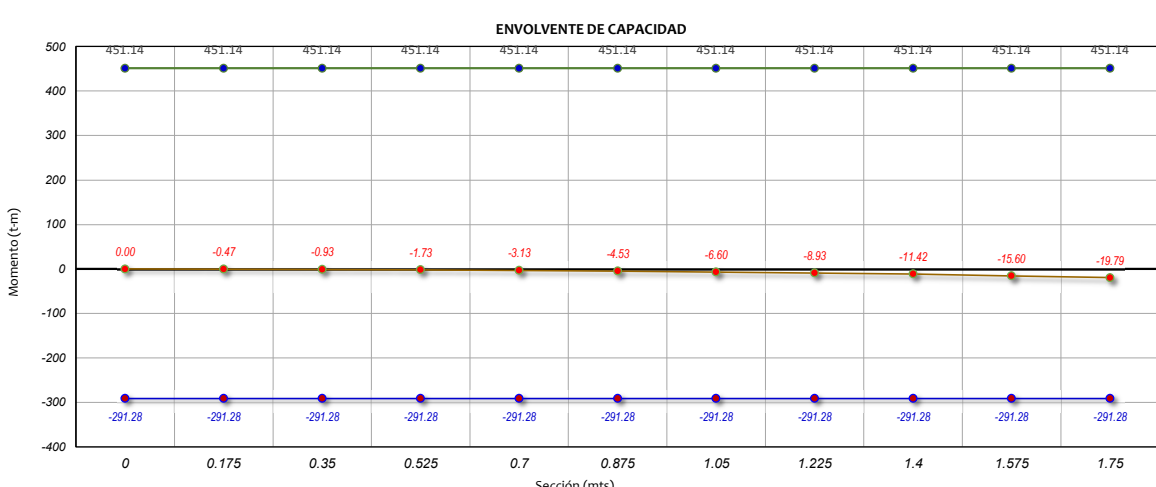
REVISIÓN DE LA CAPACIDAD A FLEXIÓN											
CÁLCULO DEL MOMENTO RESISTENTE A TENSIÓN											
	Apoyo 0 m	0.1L 0.175 m	0.2L 0.35 m	0.3L 0.525 m	0.4L 0.7 m	0.5L 0.875 m	0.6L 1.05 m	0.7L 1.225 m	0.8L 1.4 m	0.9L 1.575 m	Apoyo 1.75 m
As	50.70	50.70	50.70	50.70	50.70	50.70	50.70	50.70	50.70	50.70	50.70
f _y	4,200.00	4,200.00	4,200.00	4,200.00	4,200.00	4,200.00	4,200.00	4,200.00	4,200.00	4,200.00	4,200.00
As f _y	212,940.00	212,940.00	212,940.00	212,940.00	212,940.00	212,940.00	212,940.00	212,940.00	212,940.00	212,940.00	212,940.00
f'c	300.00	300.00	300.00	300.00	300.00	300.00	300.00	300.00	300.00	300.00	300.00
b	240.00	240.00	240.00	240.00	240.00	240.00	240.00	240.00	240.00	240.00	240.00
0.85f'c b	61,200.00	61,200.00	61,200.00	61,200.00	61,200.00	61,200.00	61,200.00	61,200.00	61,200.00	61,200.00	61,200.00
a	3.48	3.48	3.48	3.48	3.48	3.48	3.48	3.48	3.48	3.48	3.48
h	160.00	160.00	160.00	160.00	160.00	160.00	160.00	160.00	160.00	160.00	160.00
r	6.27	6.27	6.27	6.27	6.27	6.27	6.27	6.27	6.27	6.27	6.27
d	153.73	153.73	153.73	153.73	153.73	153.73	153.73	153.73	153.73	153.73	153.73
d-(a/2)	151.99	151.99	151.99	151.99	151.99	151.99	151.99	151.99	151.99	151.99	151.99
Ø	0.90	0.90	0.90	0.90	0.90	0.90	0.90	0.90	0.90	0.90	0.90
Ø Mn(kg·cm) =	29,128,331.91	29,128,331.91	29,128,331.91	29,128,331.91	29,128,331.91	29,128,331.91	29,128,331.91	29,128,331.91	29,128,331.91	29,128,331.91	29,128,331.91
Ø Mn(t·m) =	291.28	291.28	291.28	291.28	291.28	291.28	291.28	291.28	291.28	291.28	291.28

REVISIÓN DE LA CAPACIDAD A FLEXIÓN											
CÁLCULO DEL MOMENTO RESISTENTE A COMPRESIÓN											
	Apoyo 0 m	0.1L 0.175 m	0.2L 0.35 m	0.3L 0.525 m	0.4L 0.7 m	0.5L 0.875 m	0.6L 1.05 m	0.7L 1.225 m	0.8L 1.4 m	0.9L 1.575 m	Apoyo 1.75 m
As	79.20	79.20	79.20	79.20	79.20	79.20	79.20	79.20	79.20	79.20	79.20
f _y	4,200.00	4,200.00	4,200.00	4,200.00	4,200.00	4,200.00	4,200.00	4,200.00	4,200.00	4,200.00	4,200.00
As f _y	332,640.00	332,640.00	332,640.00	332,640.00	332,640.00	332,640.00	332,640.00	332,640.00	332,640.00	332,640.00	332,640.00
f'c	300.00	300.00	300.00	300.00	300.00	300.00	300.00	300.00	300.00	300.00	300.00
b	240.00	240.00	240.00	240.00	240.00	240.00	240.00	240.00	240.00	240.00	240.00
0.85f'c b	61,200.00	61,200.00	61,200.00	61,200.00	61,200.00	61,200.00	61,200.00	61,200.00	61,200.00	61,200.00	61,200.00
a	5.44	5.44	5.44	5.44	5.44	5.44	5.44	5.44	5.44	5.44	5.44
h	160.00	160.00	160.00	160.00	160.00	160.00	160.00	160.00	160.00	160.00	160.00
r	6.59	6.59	6.59	6.59	6.59	6.59	6.59	6.59	6.59	6.59	6.59
d	153.41	153.41	153.41	153.41	153.41	153.41	153.41	153.41	153.41	153.41	153.41
d-(a/2)	150.69	150.69	150.69	150.69	150.69	150.69	150.69	150.69	150.69	150.69	150.69
Ø	0.90	0.90	0.90	0.90	0.90	0.90	0.90	0.90	0.90	0.90	0.90
Ø Mn(kg·cm) =	45,113,673.85	45,113,673.85	45,113,673.85	45,113,673.85	45,113,673.85	45,113,673.85	45,113,673.85	45,113,673.85	45,113,673.85	45,113,673.85	45,113,673.85
Ø Mn(t·m) =	451.14	451.14	451.14	451.14	451.14	451.14	451.14	451.14	451.14	451.14	451.14

LECHO A TENSIÓN		
SECCIÓN(m)	M ult (t-m)	M res.(t-m)
0	0.00	-291.28
0.175	-0.47	-291.28
0.35	-0.93	-291.28
0.525	-1.73	-291.28
0.7	-3.13	-291.28
0.875	-4.53	-291.28
1.05	-6.60	-291.28
1.225	-8.93	-291.28
1.4	-11.42	-291.28
1.575	-15.60	-291.28
1.75	-19.79	-291.28

LECHO A COMPRESIÓN		
SECCIÓN(m)	M ult (t-m)	M res.(t-m)
0	0.00	451.14
0.175	-0.47	451.14
0.35	-0.93	451.14
0.525	-1.73	451.14
0.7	-3.13	451.14
0.875	-4.53	451.14
1.05	-6.60	451.14
1.225	-8.93	451.14
1.4	-11.42	451.14
1.575	-15.60	451.14
1.75	-19.79	451.14

Momento	1
Positivo	1
Negativo	2





REVISIÓN DE CAPACIDAD A FLEXIÓN DEL CABEZAL

CARACTERÍSTICAS GEOMÉTRICAS		TRAMO 2				MATERIALES DE CABEZAL	
SECCION SIMPLE		SECCION COMPUESTA				RESISTENCIA A COMPRESIÓN	
ESPESOR MEDIO DE CABEZAL	hf (m) = 0	PERALTE TOTAL DE CABEZAL	H (m) = 1.60000			f'c = 300 kg/cm²	
PERALTE TOTAL DE CABEZAL	H (m) = 1.60000	ÁREA DE SECCIÓN TRANSVERSAL	A (m²) = 3.84000			LIMITE ELASTICO DEL ACERO	
ÁREA DE SECCIÓN TRANSVERSAL	A (m²) = 3.84000	DIST. DEL (E.N) A LA F. INF.	Yi (m) = 0.80000			fy = 4,200,00 kg/cm²	
DIST. DEL (E.N) A LA F. INF.	Yi (m) = 0.80000	DIST. DEL (E.N) A LA F. SUP.	Ys (m) = 0.80000			FACTOR DE CONVERSIÓN	
DIST. DEL (E.N) A LA F. SUP.	Ys (m) = 0.80000	MOMENTO DE INERCIA	Ix (m⁴) = 0.819			Lb / in² a Kg/cm²; 0.0703081	
MOMENTO DE INERCIA	Ix (m⁴) = 0.819	MOD. DE SECCION INF.	Si (m³) = 1.02400			DIMENSIONES DEL SEGMENTO DE CABEZAL ANALIZADO	
MOD. DE SECCION INF.	Si (m³) = 1.02400	MOD. DE SECCION SUP.	Ss (m³) = 1.02400			Claro, L (mts)= 3.5	
MOD. DE SECCION SUP.	Ss (m³) = 1.02400	ANCHO DE PATIN (b) EN CM	b (cm) = 240.00			h, (mts)= 1.6	
		ANCHO DEL ALMA (b') EN CM	b' (cm) = 240.00				

DISTRIBUCIÓN DEL ACERO DE REFUERZO											
DISTRIBUCIÓN DEL ACERO DE REFUERZO EN TENSIÓN											
SECCION	Apoyo	0.1 L	0.2 L	0.3L	0.4L	0.5L	0.6L	0.7L	0.8L	0.9L	Apoyo
As (cm²)	50.7	50.7	50.7	50.7	50.7	50.7	50.7	50.7	50.7	50.7	50.7
r (cm)	6.27	6.27	6.27	6.27	6.27	6.27	6.27	6.27	6.27	6.27	6.27
DISTRIBUCIÓN DEL ACERO DE REFUERZO EN COMPRESIÓN											
SECCION	Apoyo	0.1 L	0.2 L	0.3L	0.4L	0.5L	0.6L	0.7L	0.8L	0.9L	Apoyo
As (cm²)	79.2	79.2	79.2	79.2	79.2	79.2	79.2	79.2	79.2	79.2	79.2
r (cm)	6.59	6.59	6.59	6.59	6.59	6.59	6.59	6.59	6.59	6.59	6.59

DATOS GENERALES DEL ACERO Y DEL SEGMENTO DE CABEZAL									
DATOS DEL ACERO					DATOS DEL TRAMO				
LIMITE DE FLUENCIAS	fy (kg/cm²) = 4,200.00								
MODULO DE ELASTICIDAD (Es) =	29000000 PSI								
FACTOR DE CONVERSIÓN DE (lb/in²) a (kg/cm²)	Factor = 0.0703081				CLARO (L), m = 3.5				
	Es = 2,038,934.90 kg/cm²				No. secciones = 10				
					Δ (m) = 0.35				
EXPRESIONES PARA CONDICIONES ÚLTIMAS (NORMA ASHTO LRFD 2020)									
$\theta M_n = \theta [A_s f_y (1 - 0.6 \frac{\rho f_y}{f'_c})]$	Formula de momento								
$\theta M_n = \theta [A_s f_y (d - \frac{a}{2})]$	ASHTO Capítulo 8.16.3.1								
$a = \frac{A_s f_y}{0.85 f'_c}$	Profundidad del bloque de esfuerzos								
$\theta = 0.9$	Factor de reducción								
FACTORES DE CARGA									
FACTOR POR CARGA MUERTA	FACTOR POR ASFALTO	FACTOR POR CARGA VIVA	FACTOR POR IMPACTO						
F _{CM} = 1.5	F _{Asf} = 1.25	F _{CV} = 1.75	IMP = 0.33						

ELEMENTOS MECÁNICOS: MOMENTOS											
MOMENTO FLEXIONANTE (SERVICIO)											
Apoyo	0.1L	0.2L	0.3L	0.4L	0.5L	0.6L	0.7L	0.8L	0.9L	Apoyo	
0	0.35	0.7	1.05	1.4	1.75	2.1	2.45	2.8	3.15	3.5	
m	m	m	m	m	m	m	m	m	m	m	
M cm(t-m)	-15.8235	72.2764	159.4536	226.0922	173.6517	120.0578	65.5413	9.8714	-47.1825	-105.1590	-164.0582
M asf(t-m)	0.0000	7.6873	15.3747	21.0405	14.5774	8.1142	1.6511	4.8121	-11.2753	17.7384	-24.2016
M cv(t-m)	0.0000	10.7985	21.5970	29.8254	22.6339	15.4424	8.2509	1.0593	-6.1322	-13.3237	-20.5152
M imp(t-m)	0.0000	3.5635	7.1270	9.8424	7.4692	5.0960	2.7228	0.3496	-2.0236	-4.3968	-6.7700
M serv.(t-m)	-15.82	94.33	203.55	286.80	218.33	148.71	78.17	6.47	-66.61	-105.14	-215.55
MOMENTO FLEXIONANTE (ÚLTIMOS)											
1.25 M cm(t-m)	-19.779325	90.345475	199.3169375	282.61525	217.0645625	150.07225	81.9265625	12.3392375	-58.9780875	-131.44875	-205.07225
1.5 M asf(t-m)	0	11.53101	23.06202	31.560795	21.866055	12.171315	2.476575	-7.218165	-16.91289	26.60763	-36.30237
1.75 M cv(t-m)	0.00	18.90	37.79	52.19	39.61	27.02	14.44	1.85	-10.73	-23.32	-35.90
1.75 M imp(t-m)	0	6.2361222	12.47223863	17.22418583	13.07108303	8.917980225	4.76487165	0.61176885	-3.54133395	-7.69443675	-11.84754533
M ult.(t-m)	-19.78	127.01	272.65	383.59	291.61	198.19	103.61	7.59	-90.16	-135.85	-289.12

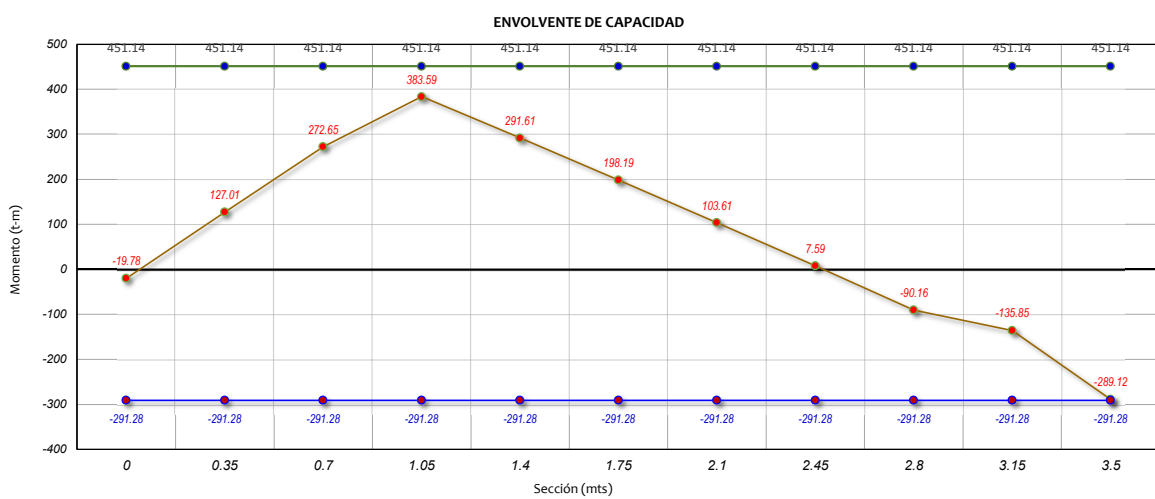
ELEMENTOS MECÁNICOS: CORTANTES											
FUERZA CORTANTE (SERVICIO)											
Apoyo	0.1L	0.2L	0.3L	0.4L	0.5L	0.6L	0.7L	0.8L	0.9L	Apoyo	
0	0.35	0.7	1.05	1.4	1.75	2.1	2.45	2.8	3.15	3.5	
m	m	m	m	m	m	m	m	m	m	m	
V cm(t-m)	-254.0205	-250.7912	-247.5618	147.9848	151.2141	154.4434	157.6728	160.9021	164.1314	167.3607	170.5900
V asf(t-m)	-21.9638	-21.9638	-21.9638	18.4662	18.4662	18.4662	18.4662	18.4662	18.4462	18.4462	18.4462
V cv(t-m)	-30.8528	-30.8528	-30.8528	20.5472	20.5472	20.5472	20.5472	20.5472	20.5472	20.5472	20.5472
V imp(t-m)	-10.1814	-10.1814	-10.1814	6.7806	6.7806	6.7806	6.7806	6.7806	6.7806	6.7806	6.7806
V serv.(t-m)	-317.02	-313.79	-310.56	193.78	197.01	200.22	203.47	206.70	209.91	213.13	216.36
FUERZA CORTANTE (ÚLTIMOS)											
1.25 V cm(t-m)	-317.525625	-313.489	-309.45225	184.981	189.017625	193.05425	197.091	201.127625	205.16425	209.200875	213.2375
1.5 V asf(t-m)	-32.9457	-32.9457	-32.9457	27.6993	27.6993	27.6993	27.6993	27.6993	27.6993	27.6993	27.6993
1.75 V cv(t-m)	-53.99	-53.99	-53.99	35.96	35.96	35.96	35.96	35.96	35.96	35.96	35.96
1.75 V imp(t-m)	-17.817492	-17.817492	-17.817492	11.866008	11.866008	11.866008	11.866008	11.866008	11.866008	11.866008	11.866008
V ult.(t-m)	-422.28	-418.24	-414.21	260.50	264.54	268.55	272.61	276.65	280.66	284.69	288.73



REVISIÓN DE LA CAPACIDAD A FLEXIÓN											
CÁLCULO DEL MOMENTO RESISTENTE A TENSIÓN											
	Apoyo 0 m	0.1L 0.35 m	0.2L 0.7 m	0.3L 1.05 m	0.4L 1.4 m	0.5L 1.75 m	0.6L 2.1 m	0.7L 2.45 m	0.8L 2.8 m	0.9L 3.15 m	Apoyo 3.5 m
As	50.70	50.70	50.70	50.70	50.70	50.70	50.70	50.70	50.70	50.70	50.70
f _y	4,200.00	4,200.00	4,200.00	4,200.00	4,200.00	4,200.00	4,200.00	4,200.00	4,200.00	4,200.00	4,200.00
As f _y	212,940.00	212,940.00	212,940.00	212,940.00	212,940.00	212,940.00	212,940.00	212,940.00	212,940.00	212,940.00	212,940.00
f'c	300.00	300.00	300.00	300.00	300.00	300.00	300.00	300.00	300.00	300.00	300.00
b	240.00	240.00	240.00	240.00	240.00	240.00	240.00	240.00	240.00	240.00	240.00
0.85f'c b	61,200.00	61,200.00	61,200.00	61,200.00	61,200.00	61,200.00	61,200.00	61,200.00	61,200.00	61,200.00	61,200.00
a	3.48	3.48	3.48	3.48	3.48	3.48	3.48	3.48	3.48	3.48	3.48
h	160.00	160.00	160.00	160.00	160.00	160.00	160.00	160.00	160.00	160.00	160.00
r	6.27	6.27	6.27	6.27	6.27	6.27	6.27	6.27	6.27	6.27	6.27
d	153.73	153.73	153.73	153.73	153.73	153.73	153.73	153.73	153.73	153.73	153.73
d-(a/2)	151.99	151.99	151.99	151.99	151.99	151.99	151.99	151.99	151.99	151.99	151.99
Ø	0.90	0.90	0.90	0.90	0.90	0.90	0.90	0.90	0.90	0.90	0.90
Ø Mn(kg·cm) =	29,128,331.91	29,128,331.91	29,128,331.91	29,128,331.91	29,128,331.91	29,128,331.91	29,128,331.91	29,128,331.91	29,128,331.91	29,128,331.91	29,128,331.91
Ø Mn(t·m) =	291.28	291.28	291.28	291.28	291.28	291.28	291.28	291.28	291.28	291.28	291.28

REVISIÓN DE LA CAPACIDAD A FLEXIÓN											
CÁLCULO DEL MOMENTO RESISTENTE A COMPREsión											
	Apoyo 0 m	0.1L 0.35 m	0.2L 0.7 m	0.3L 1.05 m	0.4L 1.4 m	0.5L 1.75 m	0.6L 2.1 m	0.7L 2.45 m	0.8L 2.8 m	0.9L 3.15 m	Apoyo 3.5 m
As	79.20	79.20	79.20	79.20	79.20	79.20	79.20	79.20	79.20	79.20	79.20
f _y	4,200.00	4,200.00	4,200.00	4,200.00	4,200.00	4,200.00	4,200.00	4,200.00	4,200.00	4,200.00	4,200.00
As f _y	332,640.00	332,640.00	332,640.00	332,640.00	332,640.00	332,640.00	332,640.00	332,640.00	332,640.00	332,640.00	332,640.00
f'c	300.00	300.00	300.00	300.00	300.00	300.00	300.00	300.00	300.00	300.00	300.00
b	240.00	240.00	240.00	240.00	240.00	240.00	240.00	240.00	240.00	240.00	240.00
0.85f'c b	61,200.00	61,200.00	61,200.00	61,200.00	61,200.00	61,200.00	61,200.00	61,200.00	61,200.00	61,200.00	61,200.00
a	5.44	5.44	5.44	5.44	5.44	5.44	5.44	5.44	5.44	5.44	5.44
h	160.00	160.00	160.00	160.00	160.00	160.00	160.00	160.00	160.00	160.00	160.00
r	6.59	6.59	6.59	6.59	6.59	6.59	6.59	6.59	6.59	6.59	6.59
d	153.41	153.41	153.41	153.41	153.41	153.41	153.41	153.41	153.41	153.41	153.41
d-(a/2)	150.69	150.69	150.69	150.69	150.69	150.69	150.69	150.69	150.69	150.69	150.69
Ø	0.90	0.90	0.90	0.90	0.90	0.90	0.90	0.90	0.90	0.90	0.90
Ø Mn(kg·cm) =	45,113,673.85	45,113,673.85	45,113,673.85	45,113,673.85	45,113,673.85	45,113,673.85	45,113,673.85	45,113,673.85	45,113,673.85	45,113,673.85	45,113,673.85
Ø Mn(t·m) =	451.14	451.14	451.14	451.14	451.14	451.14	451.14	451.14	451.14	451.14	451.14

LECHO A TENSIÓN				LECHO A COMPREsión				Momento
SECCIÓN(m)	M ult (t-m)	M res.(t-m)	Tipo	SECCIÓN(m)	M ult (t-m)	M res.(t-m)	Tipo	Positivo
0	-19.78	-291.28	2	0	451.14	451.14	1	1
0.35	127.01	-291.28	2	0.35	127.01	451.14	1	
0.7	272.65	-291.28	2	0.7	272.65	451.14	1	
1.05	383.59	-291.28	2	1.05	383.59	451.14	1	
1.4	291.61	-291.28	2	1.4	291.61	451.14	1	
1.75	198.19	-291.28	2	1.75	198.19	451.14	1	
2.1	103.61	-291.28	2	2.1	103.61	451.14	1	
2.45	7.59	-291.28	2	2.45	7.59	451.14	1	
2.8	-90.16	-291.28	2	2.8	-90.16	451.14	1	
3.15	-135.85	-291.28	2	3.15	-135.85	451.14	1	
3.5	-289.12	-291.28	2	3.5	-289.12	451.14	1	





REVISIÓN DE CAPACIDAD A FLEXIÓN DEL CABEZAL

CARACTERÍSTICAS GEOMÉTRICAS		TRAMO 3				MATERIALES DE CABEZAL	
SECCIÓN SIMPLE		SECCIÓN COMPUESTA				RESISTENCIA A COMPRESIÓN	
ESPESOR MEDIO DE CABEZAL	hf (m) = 0	PERALTE TOTAL DE CABEZAL	H (m) = 1.60000	A (m2) = 3.84000	f'c = 300 kg/cm2	LIMITE ELÁSTICO DEL ACERO	
PERALTE TOTAL DE CABEZAL	H (m) = 1.60000	ÁREA DE SECCIÓN TRANSVERCAL	A (m2) = 0.80000	Yf (m) = 0.80000	fy = 4,200.00 kg/cm2	FACTOR DE CONVERSIÓN	
ÁREA DE SECCIÓN TRANSVERCAL	A (m2) = 3.84000	DIST. DEL (E.N) A LA F. INF.	DIST. DEL (E.N) A LA F. SUP.	Ys (m) = 0.80000	Ix (m4) = 0.81920	Lb / in2 a Kg/cm2; 0.0703081	
DIST. DEL (E.N) A LA F. INF.	Yf (m) = 0.80000	MOMENTO DE INERCIA	MOD. DE SECCIÓN INF.	Si (m3) = 1.02400	Ss (m3) = 1.02400	DIMENSIONES DEL SEGMENTO DE CABEZAL ANALIZADO	
DIST. DEL (E.N) A LA F. SUP.	Ys (m) = 0.80000	MOD. DE SECCIÓN SUP.	ANCHO DE PATIN (b) EN CM	b (cm) = 240.00	b' (cm) = 240.00	Claro, L (mts)= 3.5	
MOMENTO DE INERCIA	Ix (m4) = 0.81920	ANCHO DEL ALMA (b') EN CM	ANCHO DEL ALMA (b') EN CM			h, (mts)= 1.6	
MOD. DE SECCIÓN INF.	Si (m3) = 1.02400						
MOD. DE SECCIÓN SUP.	Ss (m3) = 1.02400						

DISTRIBUCIÓN DEL ACERO DE REFUERZO											
DISTRIBUCIÓN DEL ACERO DE REFUERZO EN TENSIÓN											
SECCION	Apoyo	0.1 L	0.2 L	0.3L	0.4L	0.5L	0.6L	0.7L	0.8L	0.9L	Apoyo
As (cm2)	50.7	50.7	50.7	50.7	50.7	50.7	50.7	50.7	50.7	50.7	50.7
r (cm)	6.27	6.27	6.27	6.27	6.27	6.27	6.27	6.27	6.27	6.27	6.27
DISTRIBUCIÓN DEL ACERO DE REFUERZO EN COMPRESIÓN										Apoyo	
SECCION	Apoyo	0.1 L	0.2 L	0.3L	0.4L	0.5L	0.6L	0.7L	0.8L	0.9L	Apoyo
As (cm2)	79.2	79.2	79.2	79.2	79.2	79.2	79.2	79.2	79.2	79.2	79.2
r (cm)	6.59	6.59	6.59	6.59	6.59	6.59	6.59	6.59	6.59	6.59	6.59

DATOS GENERALES DEL ACERO Y DEL SEGMENTO DE CABEZAL									
DATOS DEL ACERO					DATOS DEL TRAMO				
LIMITE DE FLUENCIA fy (kg/cm2)= 4,200.00					CLARO (L), m = 3.5				
MODULO DE ELASTICIDAD (Es) = 29000000 PSI					No. secciones = 10				
FACTOR DE CONVERSIÓN DE (lb/in2) a (kg/cm2)					Δ (m) = 0.35				
Factor = 0.0703081					Es = 2,038,934.90 kg/cm2				
EXPRESIONES PARA CONDICIONES ÚLTIMAS (NORMA AASHTO LRFD 2020)									
$\theta M_n = \theta [A_s f_y (1 - 0.6 \frac{f_y}{f'_c})]$					Formula de momento ASHATO Capítulo 8.16.3.1				
$\theta M_n = \theta [A_s f_y (d - \frac{a}{2})]$					Profundidad del bloque de esfuerzos				
$a = \frac{A_s f_y}{0.85 f'_c b}$					Factor de reducción				
$\emptyset = 0.9$					$M_u = 1.25[M_{SCM}] + 1.5[M_{ASF}] + 1.75[M_{CV} + M_{IMP}]$ Momento Flexionante				
$V_u = 1.25[V_{SCM}] + 1.5[V_{ASF}] + 1.75[V_{CV} + V_{IMP}]$ Fuerza cortante									

FACTORES DE CARGA		FACTOR POR CARGA MUERTA		FACTOR POR ASFALTO		FACTOR POR CARGA VIVA		FACTOR POR IMPACTO	
F _{CM} = 1.5		F _{Asf} = 1.25		F _{CV} = 1.75		IMP = 0.33			

ELEMENTOS MECÁNICOS: MOMENTOS											
MOMENTO FLEXIONANTE (SERVICIO)											
	Apoyo	0.1L	0.2L	0.3L	0.4L	0.5L	0.6L	0.7L	0.8L	0.9L	Apoyo
	0	0.35	0.7	1.05	1.4	1.75	2.1	2.45	2.8	3.15	3.5
	m	m	m	m	m	m	m	m	m	m	m
M cm(t-m)	-164.0582	-105.1590	-47.1825	9.8714	65.5413	120.0578	173.6517	226.0922	159.4536	72.2764	-15.8235
M asf(t-m)	-24.2016	-13.6972	-3.1929	7.3115	17.8159	28.3202	38.8246	49.3289	35.5807	17.7903	0.0000
M cv(t-m)	-20.5152	-13.3237	-6.1322	1.0593	8.2509	15.4424	22.6339	29.8254	21.5970	10.7985	0.0000
M imp.(t-m)	-6.7700	-4.3968	-2.0236	0.3496	2.7228	5.0960	7.4692	9.8424	7.1270	3.5635	0.0000
M serv.(t-m)	-215.55	-136.58	-58.53	18.59	94.33	168.92	242.58	315.09	223.76	104.43	-15.82
MOMENTO FLEXIONANTE (ULTIMOS)											
1.25 M cm(t-m)	-205.0727	-131.4488	-58.9781	12.3392	81.9266	150.0722	217.0646	282.6153	199.3169	90.3455	-19.7793
1.5 M asf(t-m)	-36.3024	-20.5458	-4.7893	10.9672	26.7238	42.4803	58.2369	73.9934	53.3710	26.6855	0.0000
1.75 M cv(t-m)	-35.9017	-23.3165	-10.7313	1.8538	14.4390	27.0242	39.6093	52.1945	37.7947	18.8973	0.0000
1.75 M imp(t-m)	-11.8475	-7.6944	-3.5413	0.6118	4.7649	8.9180	13.0711	17.2242	12.4722	6.2361	0.0000
M ult.(t-m)	-289.12	-183.01	-78.04	25.77	127.85	228.49	327.98	426.03	302.95	142.16	-19.78

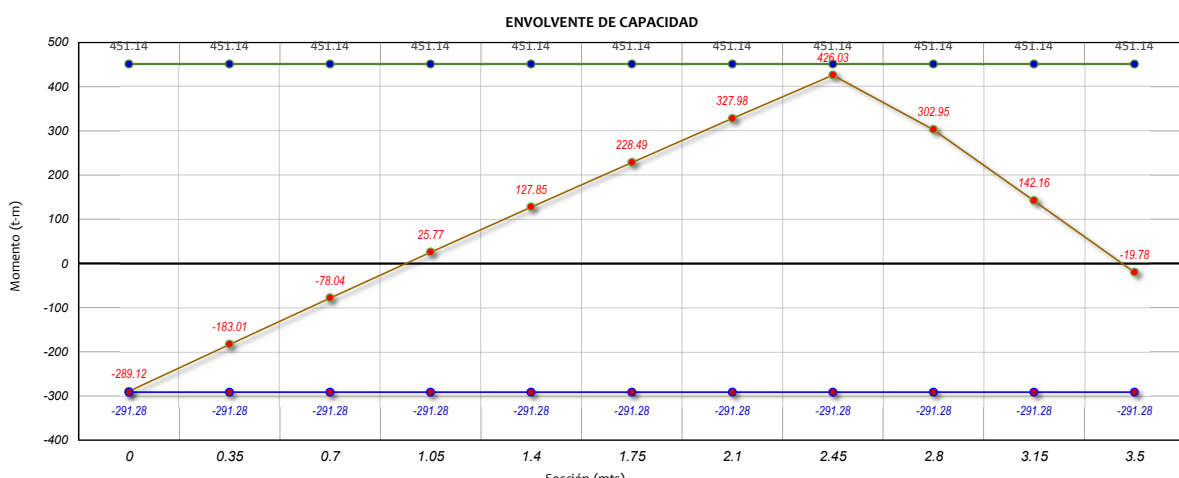
ELEMENTOS MECÁNICOS: CORTANTES											
FUERZA CORTANTE (SERVICIO)											
	Apoyo	0.1L	0.2L	0.3L	0.4L	0.5L	0.6L	0.7L	0.8L	0.9L	Apoyo
	0	0.35	0.7	1.05	1.4	1.75	2.1	2.45	2.8	3.15	3.5
	m	m	m	m	m	m	m	m	m	m	m
V cm(t-m)	-170.5900	-167.3607	-164.1314	-160.9021	-157.6728	-154.4434	-151.2141	-147.9848	247.5618	250.7912	254.0205
V asf(t-m)	-30.0125	-30.0125	-30.0125	-30.0125	-30.0125	-30.0125	-30.0125	-30.0125	50.8295	50.8295	50.8295
V cv(t-m)	-20.5472	-20.5472	-20.5472	-20.5472	-20.5472	-20.5472	-20.5472	-20.5472	30.8528	30.8528	30.8528
V imp.(t-m)	-6.7806	-6.7806	-6.7806	-6.7806	-6.7806	-6.7806	-6.7806	-6.7806	10.1814	10.1814	10.1814
V serv.(t-m)	-227.93	-224.70	-221.47	-218.24	-215.01	-211.78	-208.55	-205.33	339.43	342.65	345.88
FUERZA CORTANTE (ULTIMOS)											
1.25 V cm(t-m)	-213.2375	-209.200875	-205.16425	-201.127625	-197.091	-193.05425	-189.017625	-184.981	309.45225	313.489	317.525625
1.5 V asf(t-m)	-45.01875	-45.01875	-45.01875	-45.01875	-45.01875	-45.01875	-45.01875	-45.01875	76.24425	76.24425	76.24425
1.75 V cv(t-m)	-35.96	-35.96	-35.96	-35.96	-35.96	-35.96	-35.96	-35.96	53.99	53.99	53.99
1.75 V imp(t-m)	-11.866008	-11.866008	-11.866008	-11.866008	-11.866008	-11.866008	-11.866008	-11.866008	17.817492	17.817492	17.817492
V ult.(t-m)	-306.08	-302.04	-298.01	-293.97	-289.93	-285.90	-281.86	-277.82	457.51	461.54	465.58



REVISIÓN DE LA CAPACIDAD A FLEXIÓN											
CÁLCULO DEL MOMENTO RESISTENTE A TENSIÓN											
	Apoyo 0 m	0.1L 0.35 m	0.2L 0.7 m	0.3L 1.05 m	0.4L 1.4 m	0.5L 1.75 m	0.6L 2.1 m	0.7L 2.45 m	0.8L 2.8 m	0.9L 3.15 m	Apoyo 3.5 m
As	50.70	50.70	50.70	50.70	50.70	50.70	50.70	50.70	50.70	50.70	50.70
f _y	4,200.00	4,200.00	4,200.00	4,200.00	4,200.00	4,200.00	4,200.00	4,200.00	4,200.00	4,200.00	4,200.00
As f _y	212,940.00	212,940.00	212,940.00	212,940.00	212,940.00	212,940.00	212,940.00	212,940.00	212,940.00	212,940.00	212,940.00
f'c	300.00	300.00	300.00	300.00	300.00	300.00	300.00	300.00	300.00	300.00	300.00
b	240.00	240.00	240.00	240.00	240.00	240.00	240.00	240.00	240.00	240.00	240.00
0.85f'c b	61,200.00	61,200.00	61,200.00	61,200.00	61,200.00	61,200.00	61,200.00	61,200.00	61,200.00	61,200.00	61,200.00
a	3.48	3.48	3.48	3.48	3.48	3.48	3.48	3.48	3.48	3.48	3.48
h	160.00	160.00	160.00	160.00	160.00	160.00	160.00	160.00	160.00	160.00	160.00
r	6.27	6.27	6.27	6.27	6.27	6.27	6.27	6.27	6.27	6.27	6.27
d	153.73	153.73	153.73	153.73	153.73	153.73	153.73	153.73	153.73	153.73	153.73
d-(a/2)	151.99	151.99	151.99	151.99	151.99	151.99	151.99	151.99	151.99	151.99	151.99
Ø	0.90	0.90	0.90	0.90	0.90	0.90	0.90	0.90	0.90	0.90	0.90
Ø M _n (kg-cm) =	29,128,331.91	29,128,331.91	29,128,331.91	29,128,331.91	29,128,331.91	29,128,331.91	29,128,331.91	29,128,331.91	29,128,331.91	29,128,331.91	29,128,331.91
Ø M _n (t-m) =	291.28	291.28	291.28	291.28	291.28	291.28	291.28	291.28	291.28	291.28	291.28

REVISIÓN DE LA CAPACIDAD A FLEXIÓN											
CÁLCULO DEL MOMENTO RESISTENTE A COMPREsión											
	Apoyo 0 m	0.1L 0.35 m	0.2L 0.7 m	0.3L 1.05 m	0.4L 1.4 m	0.5L 1.75 m	0.6L 2.1 m	0.7L 2.45 m	0.8L 2.8 m	0.9L 3.15 m	Apoyo 3.5 m
As	79.20	79.20	79.20	79.20	79.20	79.20	79.20	79.20	79.20	79.20	79.20
f _y	4,200.00	4,200.00	4,200.00	4,200.00	4,200.00	4,200.00	4,200.00	4,200.00	4,200.00	4,200.00	4,200.00
As f _y	332,640.00	332,640.00	332,640.00	332,640.00	332,640.00	332,640.00	332,640.00	332,640.00	332,640.00	332,640.00	332,640.00
f'c	300.00	300.00	300.00	300.00	300.00	300.00	300.00	300.00	300.00	300.00	300.00
b	240.00	240.00	240.00	240.00	240.00	240.00	240.00	240.00	240.00	240.00	240.00
0.85f'c b	61,200.00	61,200.00	61,200.00	61,200.00	61,200.00	61,200.00	61,200.00	61,200.00	61,200.00	61,200.00	61,200.00
a	5.44	5.44	5.44	5.44	5.44	5.44	5.44	5.44	5.44	5.44	5.44
h	160.00	160.00	160.00	160.00	160.00	160.00	160.00	160.00	160.00	160.00	160.00
r	6.59	6.59	6.59	6.59	6.59	6.59	6.59	6.59	6.59	6.59	6.59
d	153.41	153.41	153.41	153.41	153.41	153.41	153.41	153.41	153.41	153.41	153.41
d-(a/2)	150.69	150.69	150.69	150.69	150.69	150.69	150.69	150.69	150.69	150.69	150.69
Ø	0.90	0.90	0.90	0.90	0.90	0.90	0.90	0.90	0.90	0.90	0.90
Ø M _n (kg-cm) =	45,113,673.85	45,113,673.85	45,113,673.85	45,113,673.85	45,113,673.85	45,113,673.85	45,113,673.85	45,113,673.85	45,113,673.85	45,113,673.85	45,113,673.85
Ø M _n (t-m) =	451.14	451.14	451.14	451.14	451.14	451.14	451.14	451.14	451.14	451.14	451.14

LECHO A TENSIÓN				LECHO A COMPREsión				Momento
SECCIÓN(m)	M ult (t-m)	M res.(t-m)	Tipo	SECCIÓN(m)	M ult (t-m)	M res.(t-m)	Tipo	Positivo
0	-289.12	-291.28	2	1.75	228.49	451.14	1	1
0.35	-183.01	-291.28	2	0.35	-183.01	451.14	1	2
0.7	-78.04	-291.28	2	0.7	-78.04	451.14	1	
1.05	25.77	-291.28	2	1.05	25.77	451.14	1	
1.4	127.85	-291.28	2	1.4	127.85	451.14	1	
1.75	228.49	-291.28	2	1.75	228.49	451.14	1	
2.1	327.98	-291.28	2	2.1	327.98	451.14	1	
2.45	426.03	-291.28	2	2.45	426.03	451.14	1	
2.8	302.95	-291.28	2	2.8	302.95	451.14	1	
3.15	142.16	-291.28	2	3.15	142.16	451.14	1	
3.5	-19.78	-291.28	2	3.5	-19.78	451.14	1	





REVISIÓN DE CAPACIDAD A FLEXIÓN DEL CABEZAL

CARACTERÍSTICAS GEOMÉTRICAS		TRAMO 4				MATERIALES DE CABEZAL	
SECCION SIMPLE		SECCION COMPUESTA				RESISTENCIA A COMPRESIÓN	
ESPESOR MEDIO DE CABEZAL	hf (m) = 0	PERALTE TOTAL DE CABEZAL	H (m) = 1.60000	A (m2) = 3.84000	f'c = 300 kg/cm2	LIMITE ELÁSTICO DEL ACERO	
PERALTE TOTAL DE CABEZAL	H (m) = 1.60000	ÁREA DE SECCIÓN TRANSVERSAL	Y1 (m) = 0.80000	DIST. DEL (E.N) A LA F. INF.	f'y = 4,200.00 kg/cm2	FACTOR DE CONVERSIÓN	
ÁREA DE SECCIÓN TRANSVERSAL	A (m2) = 3.84000	DIST. DEL (E.N) A LA F. SUP.	Ys (m) = 0.80000	MOMENTO DE INERCIA	Ix (m4) = 0.81920	Lb / in2 a Kg/cm2; 0.0703081	
DIST. DEL (E.N) A LA F. INF.	Y1 (m) = 0.80000	DIST. DEL (E.N) A LA F. SUP.	Ys (m) = 0.80000	MOD. DE SECCION INF.	Si (m3) = 1.02400	DIMENSIONES DEL SEGMENTO DE CABEZAL ANALIZADO	
DIST. DEL (E.N) A LA F. SUP.	Ys (m) = 0.80000	MOMENTO DE INERCIA	Iy (m4) = 0.81920	MOD. DE SECCION SUP.	Ss (m3) = 1.02400	Claro, L (mts)= 1.75	
MOMENTO DE INERCIA	Iy (m4) = 0.81920	MOD. DE SECCION INF.	Si (m3) = 1.02400	ANCHO DE PATIN (b) EN CM	b (cm) = 240.00	h, (mts)= 1.6	
MOD. DE SECCION INF.	Si (m3) = 1.02400	MOD. DE SECCION SUP.	Ss (m3) = 1.02400	ANCHO DEL ALMA (b') EN CM	b' (cm) = 240.00		

DISTRIBUCIÓN DEL ACERO DE REFUERZO											
DISTRIBUCIÓN DEL ACERO DE REFUERZO EN TENSIÓN											
SECCION	Apoyo	0.1 L	0.2 L	0.3L	0.4L	0.5L	0.6L	0.7L	0.8L	0.9L	Apoyo
As (cm2)	50.7	50.7	50.7	50.7	50.7	50.7	50.7	50.7	50.7	50.7	50.7
r (cm)	6.27	6.27	6.27	6.27	6.27	6.27	6.27	6.27	6.27	6.27	6.27
DISTRIBUCIÓN DEL ACERO DE REFUERZO EN COMPRESIÓN										Apoyo	
SECCION	Apoyo	0.1 L	0.2 L	0.3L	0.4L	0.5L	0.6L	0.7L	0.8L	0.9L	Apoyo
As (cm2)	79.2	79.2	79.2	79.2	79.2	79.2	79.2	79.2	79.2	79.2	79.2
r (cm)	6.59	6.59	6.59	6.59	6.59	6.59	6.59	6.59	6.59	6.59	6.59

DATOS GENERALES DEL ACERO Y DEL SEGMENTO DE CABEZAL									
DATOS DEL ACERO					DATOS DEL TRAMO				
LIMITE DE FLUENCIA fy (kg/cm2)= 4,200.00					CLARO (L), m = 1.75				
MODULO DE ELASTICIDAD (Es) = 29000000 PSI					No. secciones = 10				
FACTOR DE CONVERSIÓN DE (lb/in2) a (kg/cm2)					Δ (m) = 0.175				
Factor = 0.0703081					Es = 2,038,934.90 kg/cm2				
EXPRESIONES PARA CONDICIONES ÚLTIMAS (NORMA AASHTO LRFD 2020)									
$\theta M_n = \theta [A_s f_y (1 - 0.6 \frac{\rho f_y}{f'_c})]$					Formula de momento ASHATO Capítulo 8.16.3.1				
$\theta M_n = \theta [A_s f_y (d - \frac{a}{2})]$					Profundidad del bloque de esfuerzos				
$a = \frac{A_s f_y}{0.85 f'_c b}$					Factor de reducción				
$\emptyset = 0.9$					$M_u = 1.25[M_{SCM}] + 1.5[M_{ASF}] + 1.75[M_{CV} + M_{IMP}]$ Momento Flexionante				
$V_u = 1.25[V_{SCM}] + 1.5[V_{ASF}] + 1.75[V_{CV} + V_{IMP}]$ Fuerza cortante									

FACTORES DE CARGA		FACTOR POR CARGA MUERTA		FACTOR POR ASFALTO		FACTOR POR CARGA VIVA		FACTOR POR IMPACTO	
F _{CM} =	1.5	F _{Asf} =	1.25	F _{CV} =	1.75			IMP =	0.33

ELEMENTOS MECÁNICOS: MOMENTOS											
MOMENTO FLEXIONANTE (SERVICIO)											
	Apoyo	0.1L	0.2L	0.3L	0.4L	0.5L	0.6L	0.7L	0.8L	0.9L	Apoyo
	0	0.175	0.35	0.525	0.7	0.875	1.05	1.225	1.4	1.575	1.75
M cm(t-m)	-15.8235	-12.4797	-9.1360	-7.1455	-5.2819	-3.6242	-2.5061	-1.3879	-0.7454	-0.3727	0.0000
M asf(t-m)	0.0000	0.0000	0.0000	0.0000	0.0000	0.0000	0.0000	0.0000	0.0000	0.0000	0.0000
M cv(t-m)	0.0000	0.0000	0.0000	0.0000	0.0000	0.0000	0.0000	0.0000	0.0000	0.0000	0.0000
M imp.(t-m)	0.0000	0.0000	0.0000	0.0000	0.0000	0.0000	0.0000	0.0000	0.0000	0.0000	0.0000
M serv.(t-m)	-15.82	-12.48	-9.14	-7.15	-5.28	-3.62	-2.51	-1.39	-0.75	-0.37	0.00
MOMENTO FLEXIONANTE (ÚLTIMOS)											
1.25 M cm(t-m)	-19.7793	-15.5997	-11.4200	-8.9319	-6.6024	-4.5103	-3.1326	-1.7349	-0.9318	-0.4659	0.0000
1.5 M asf(t-m)	0.0000	0.0000	0.0000	0.0000	0.0000	0.0000	0.0000	0.0000	0.0000	0.0000	0.0000
1.75 M cv(t-m)	0.0000	0.0000	0.0000	0.0000	0.0000	0.0000	0.0000	0.0000	0.0000	0.0000	0.0000
1.75 M imp.(t-m)	0.0000	0.0000	0.0000	0.0000	0.0000	0.0000	0.0000	0.0000	0.0000	0.0000	0.0000
M ult.(t-m)	-19.78	-15.60	-11.42	-8.93	-6.60	-4.53	-3.13	-1.73	-0.93	-0.47	0.00

ELEMENTOS MECÁNICOS: CORTANTES											
FUERZA CORTANTE (SERVICIO)											
	Apoyo	0.1L	0.2L	0.3L	0.4L	0.5L	0.6L	0.7L	0.8L	0.9L	Apoyo
	0	0.175	0.35	0.525	0.7	0.875	1.05	1.225	1.4	1.575	1.75
V cm(t-m)	-20.7909	-19.1763	-17.5616	-11.3026	-9.6880	-8.0733	-6.4586	-4.8440	-3.2293	-1.6147	0.0000
V asf(t-m)	0.0000	0.0000	0.0000	0.0000	0.0000	0.0000	0.0000	0.0000	0.0000	0.0000	0.0000
V cv(t-m)	0.0000	0.0000	0.0000	0.0000	0.0000	0.0000	0.0000	0.0000	0.0000	0.0000	0.0000
V imp.(t-m)	0.0000	0.0000	0.0000	0.0000	0.0000	0.0000	0.0000	0.0000	0.0000	0.0000	0.0000
V serv.(t-m)	-20.79	-19.18	-17.56	-11.30	-9.69	-8.07	-6.46	-4.84	-3.23	-1.61	0.00
FUERZA CORTANTE (ÚLTIMOS)											
1.25 V cm(t-m)	-25.988625	-23.970375	-21.952	-14.1285	-12.11	-10.091625	-8.07325	-6.055	-4.036625	-2.018375	0
1.5 V asf(t-m)	0	0	0	0	0	0	0	0	0	0	0
1.75 V cv(t-m)	0.00	0.00	0.00	0.00	0.00	0.00	0.00	0.00	0.00	0.00	0.00
1.75 V imp(t-m)	0	0	0	0	0	0	0	0	0	0	0
V ult.(t-m)	-25.99	-23.97	-21.95	-14.13	-12.11	-10.09	-8.07	-6.06	-4.04	-2.02	0.00

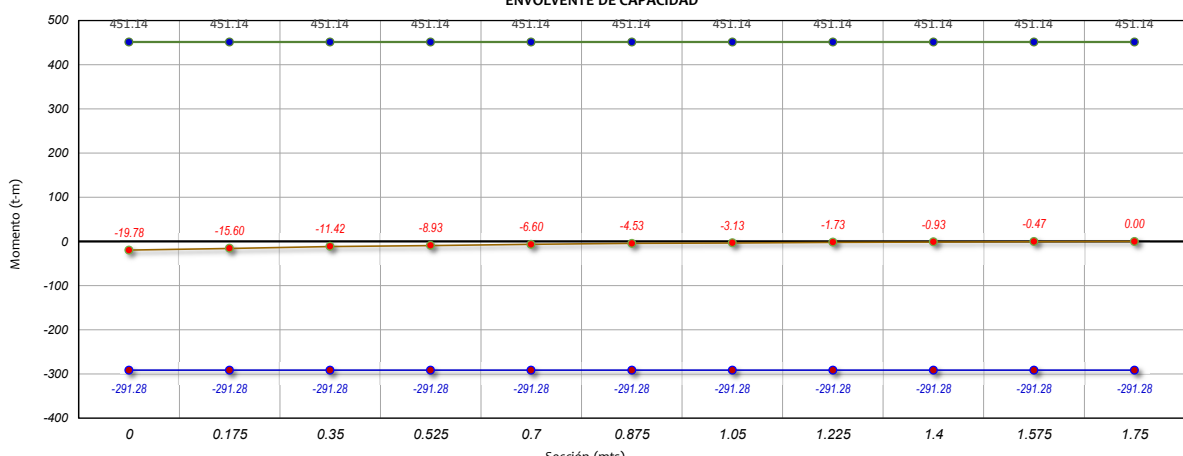


REVISIÓN DE LA CAPACIDAD A FLEXIÓN											
CÁLCULO DEL MOMENTO RESISTENTE A TENSIÓN											
	Apoyo 0 m	0.1L 0.175 m	0.2L 0.35 m	0.3L 0.525 m	0.4L 0.7 m	0.5L 0.875 m	0.6L 1.05 m	0.7L 1.225 m	0.8L 1.4 m	0.9L 1.575 m	Apoyo 1.75 m
As	50.70	50.70	50.70	50.70	50.70	50.70	50.70	50.70	50.70	50.70	50.70
f _y	4,200.00	4,200.00	4,200.00	4,200.00	4,200.00	4,200.00	4,200.00	4,200.00	4,200.00	4,200.00	4,200.00
As f _y	212,940.00	212,940.00	212,940.00	212,940.00	212,940.00	212,940.00	212,940.00	212,940.00	212,940.00	212,940.00	212,940.00
f'c	300.00	300.00	300.00	300.00	300.00	300.00	300.00	300.00	300.00	300.00	300.00
b	240.00	240.00	240.00	240.00	240.00	240.00	240.00	240.00	240.00	240.00	240.00
0.85f'c b	61,200.00	61,200.00	61,200.00	61,200.00	61,200.00	61,200.00	61,200.00	61,200.00	61,200.00	61,200.00	61,200.00
a	3.48	3.48	3.48	3.48	3.48	3.48	3.48	3.48	3.48	3.48	3.48
h	160.00	160.00	160.00	160.00	160.00	160.00	160.00	160.00	160.00	160.00	160.00
r	6.27	6.27	6.27	6.27	6.27	6.27	6.27	6.27	6.27	6.27	6.27
d	153.73	153.73	153.73	153.73	153.73	153.73	153.73	153.73	153.73	153.73	153.73
d-(a/2)	151.99	151.99	151.99	151.99	151.99	151.99	151.99	151.99	151.99	151.99	151.99
Ø	0.90	0.90	0.90	0.90	0.90	0.90	0.90	0.90	0.90	0.90	0.90
Ø M _n (kg-cm) =	29,128,331.91	29,128,331.91	29,128,331.91	29,128,331.91	29,128,331.91	29,128,331.91	29,128,331.91	29,128,331.91	29,128,331.91	29,128,331.91	29,128,331.91
Ø M _n (t-m) =	291.28	291.28	291.28	291.28	291.28	291.28	291.28	291.28	291.28	291.28	291.28

REVISIÓN DE LA CAPACIDAD A FLEXIÓN											
CÁLCULO DEL MOMENTO RESISTENTE A COMPREsión											
	Apoyo 0 m	0.1L 0.175 m	0.2L 0.35 m	0.3L 0.525 m	0.4L 0.7 m	0.5L 0.875 m	0.6L 1.05 m	0.7L 1.225 m	0.8L 1.4 m	0.9L 1.575 m	Apoyo 1.75 m
As	79.20	79.20	79.20	79.20	79.20	79.20	79.20	79.20	79.20	79.20	79.20
f _y	4,200.00	4,200.00	4,200.00	4,200.00	4,200.00	4,200.00	4,200.00	4,200.00	4,200.00	4,200.00	4,200.00
As f _y	332,640.00	332,640.00	332,640.00	332,640.00	332,640.00	332,640.00	332,640.00	332,640.00	332,640.00	332,640.00	332,640.00
f'c	300.00	300.00	300.00	300.00	300.00	300.00	300.00	300.00	300.00	300.00	300.00
b	240.00	240.00	240.00	240.00	240.00	240.00	240.00	240.00	240.00	240.00	240.00
0.85f'c b	61,200.00	61,200.00	61,200.00	61,200.00	61,200.00	61,200.00	61,200.00	61,200.00	61,200.00	61,200.00	61,200.00
a	5.44	5.44	5.44	5.44	5.44	5.44	5.44	5.44	5.44	5.44	5.44
h	160.00	160.00	160.00	160.00	160.00	160.00	160.00	160.00	160.00	160.00	160.00
r	6.59	6.59	6.59	6.59	6.59	6.59	6.59	6.59	6.59	6.59	6.59
d	153.41	153.41	153.41	153.41	153.41	153.41	153.41	153.41	153.41	153.41	153.41
d-(a/2)	150.69	150.69	150.69	150.69	150.69	150.69	150.69	150.69	150.69	150.69	150.69
Ø	0.90	0.90	0.90	0.90	0.90	0.90	0.90	0.90	0.90	0.90	0.90
Ø M _n (kg-cm) =	45,113,673.85	45,113,673.85	45,113,673.85	45,113,673.85	45,113,673.85	45,113,673.85	45,113,673.85	45,113,673.85	45,113,673.85	45,113,673.85	45,113,673.85
Ø M _n (t-m) =	451.14	451.14	451.14	451.14	451.14	451.14	451.14	451.14	451.14	451.14	451.14

LECHO A TENSIÓN				LECHO A COMPREsión				Momento
SECCIÓN(m)	M ult (t-m)	M res.(t-m)	Tipo	SECCIÓN(m)	M ult (t-m)	M res.(t-m)	Tipo	Positivo
0	-19.78	-291.28	2	0.875	-4.53	451.14	1	1
0.175	-15.60	-291.28	2	0.175	-15.60	451.14	1	2
0.35	-11.42	-291.28	2	0.35	-11.42	451.14	1	
0.525	-8.93	-291.28	2	0.525	-8.93	451.14	1	
0.7	-6.60	-291.28	2	0.7	-6.60	451.14	1	
0.875	-4.53	-291.28	2	0.875	-4.53	451.14	1	
1.05	-3.13	-291.28	2	1.05	-3.13	451.14	1	
1.225	-1.73	-291.28	2	1.225	-1.73	451.14	1	
1.4	-0.93	-291.28	2	1.4	-0.93	451.14	1	
1.575	-0.47	-291.28	2	1.575	-0.47	451.14	1	
1.75	0.00	-291.28	2	1.75	0.00	451.14	1	

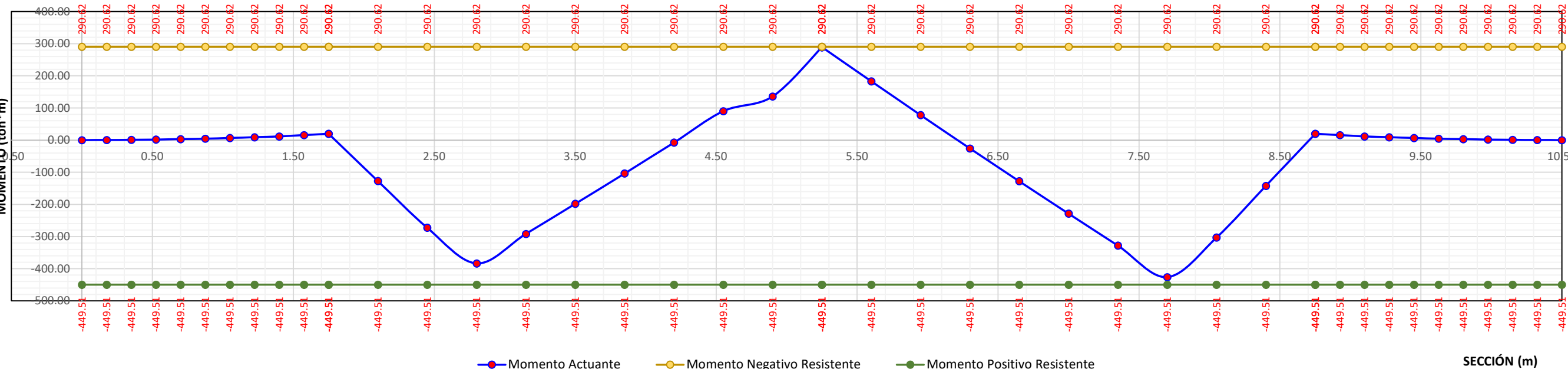
ENVOLVENTE DE CAPACIDAD





RESUMEN DE LA ENVOLVENTE DE MOMENTOS						
SECCIÓN(m)	M ult (t-m)	Coordenada	M res.(-)	Coordenada	M res. (+)	Coordenada
1	0	0.00	0.00	-291.28	291.28	449.51
2	0.175	-0.47	0.47	-291.28	291.28	449.51
3	0.35	-0.93	0.93	-291.28	291.28	449.51
4	0.525	-1.73	1.73	-291.28	291.28	449.51
5	0.7	-3.13	3.13	-291.28	291.28	449.51
6	0.875	-4.53	4.53	-291.28	291.28	449.51
7	1.05	-6.60	6.60	-291.28	291.28	449.51
8	1.225	-8.93	8.93	-291.28	291.28	449.51
9	1.4	-11.42	11.42	-291.28	291.28	449.51
10	1.575	-15.60	15.60	-291.28	291.28	449.51
11	1.75	-19.79	19.79	-291.28	291.28	449.51
12	1.75	-19.78	19.78	-291.28	291.28	449.51
13	2.1	127.01	-127.01	-291.28	291.28	449.51
14	2.45	272.65	-272.65	-291.28	291.28	449.51
15	2.8	383.59	-383.59	-291.28	291.28	449.51
16	3.15	291.61	-291.61	-291.28	291.28	449.51
17	3.5	198.19	-198.19	-291.28	291.28	449.51
18	3.85	103.61	-103.61	-291.28	291.28	449.51
19	4.2	7.59	-7.59	-291.28	291.28	449.51
20	4.55	-90.16	90.16	-291.28	291.28	449.51
21	4.9	-135.85	135.85	-291.28	291.28	449.51
22	5.25	-289.12	289.12	-291.28	291.28	449.51
23	5.25	-289.12	289.12	-291.28	291.28	449.51
24	5.6	-183.01	183.01	-291.28	291.28	449.51
25	5.95	-78.04	78.04	-291.28	291.28	449.51
26	6.3	25.77	-25.77	-291.28	291.28	449.51
27	6.65	127.85	-127.85	-291.28	291.28	449.51
28	7	228.49	-228.49	-291.28	291.28	449.51
29	7.35	327.98	-327.98	-291.28	291.28	449.51
30	7.7	426.03	-426.03	-291.28	291.28	449.51
31	8.05	302.95	-302.95	-291.28	291.28	449.51
32	8.4	142.16	-142.16	-291.28	291.28	449.51
33	8.75	-19.78	19.78	-291.28	291.28	449.51
34	8.75	-19.78	19.78	-291.28	291.28	449.51
35	8.925	-15.60	15.60	-291.28	291.28	449.51
36	9.1	-11.42	11.42	-291.28	291.28	449.51
37	9.275	-8.93	8.93	-291.28	291.28	449.51
38	9.45	-6.60	6.60	-291.28	291.28	449.51
39	9.625	-4.53	4.53	-291.28	291.28	449.51
40	9.8	-3.13	3.13	-291.28	291.28	449.51
41	9.975	-1.73	1.73	-291.28	291.28	449.51
42	10.15	-0.93	0.93	-291.28	291.28	449.51
43	10.325	-0.47	0.47	-291.28	291.28	449.51
44	10.5	0.00	0.00	-291.28	291.28	449.51

CAPACIDAD A FLEXIÓN DE CABEZAL



5.9.2 DISEÑO DE APOYOS DE NEOPRENO

La propuesta inicial para los apoyos parte del empleo de tipo elastoméricos, mejor conocidos como neoprenos, los cuales cuentan placas de acero en su interior y se utilizan para solicitudes de cargas verticales inferiores a 1,834 ton dependiendo de las deformaciones que se presenten, es decir, a mayor movimiento actuante menor será la carga admisible.

En este sentido, se realizó un prediseño tomando el efecto de las cargas verticales obteniendo una geometría, posteriormente se repartió la fuerza sísmica entre apoyos y pilas para determinar la deformación angular. Cabe mencionar que en el análisis por cargas verticales se consideró el efecto del impacto debido a que en la práctica se ha demostrado que su efecto aumenta los desplazamientos en los apoyos.

Finalmente, se concluye que las dimensiones en planta del apoyo de neopreno que requiere la estructura tanto por carga vertical como por sismo sobrepasan las recomendaciones de la Norma AASHTO respecto a un área de $6,452 \text{ cm}^2$ ($1,000 \text{ in}^2$) lo que implica que sea difícil su fabricación presentando una deformación angular excesiva, mayor a 60 cm. En tal sentido, se propone el empleo de apoyos mecánicos tipo TETRON como los que son fabricados por Freyssinet.

RESUMEN DE DISEÑO GEOMÉTRICO DEL APOYO	
ESPESOR TOTAL DEL NEOPRENO	
$h_T =$ 260.85 mm	$h_T =$ 26.09 cm
DIMENSIONES DEL NEOPRENO	
$L =$ 240.00 cm	$W =$ 40.00 cm
DEFLEXIÓN TOTAL POR COMPRESIÓN	
$\delta =$ 10.11 mm	$\delta =$ 1.01 cm
RESUMEN DE RIGIDEZ DEL APOYO	
PESO SÍSMICO	FUERZA SÍSMICA
$R_{SISMO} =$ 835.26 ton	$F_{SISMO} =$ 509.22 ton
RIGIDEZ DEL NEOPRENO	
$K_{neopreno} =$ 2.97 ton / cm	$K =$ 0.68852 ton / cm
NÚMERO DE NEOPRENOS	
No. Neop. = 2	No. Pilas = 3
RIGIDEZ TOTAL DEL CABALLETE	
$K_T =$ 8.01 ton / cm	
DISTRIBUCIÓN DE FUERZAS SÍSMICAS	
FUERZA QUE TOMAN LOS NEOPRENOS	FUERZAS QUE TOMAN LAS PILAS
F_s Neop. = 377.95 ton	F_s Pilas = 131.27 ton
DEFORMACIÓN ANGULAR DEL NEOPRENO	
PARA EFECTOS DE CORTA DURACIÓN	PARA EFECTOS DE LARGA DURACIÓN
$\Delta =$ 63.55 cm	$\Delta =$ 31.78 cm

Tabla 5.11 Resumen de diseño de neoprenos

DISEÑO DE NEOPRENOS

DATOS GENERALES DE DISEÑO					
LONGITUD EXPANDIBLE DEL CLARO			PÉRDIDAS DEBIDO AL POSTENSADO		
L =	31.3	m	f _p =	355.10	kg/cm ²
CAMBIO DE TEMPERATURA			PÉRDIDAS POR CONTRACCIÓN		
ΔT =	23	°C	f _{pCont} =	418.00	kg/cm ²

PROPIEDADES DE LOS MATERIALES					
CONCRETO DE TRABE			CONCRETO DE CABEZAL Y PILAS		
RESISTENCIA A LA COMPRESIÓN			RESISTENCIA A LA COMPRESIÓN		
f'c =	450	kg/cm ²	f'c =	300	kg/cm ²
MÓDULO DE ELÁSTICIDAD			MÓDULO DE ELÁSTICIDAD		
E _c =	328,800.69	kg/cm ²	E _c =	264,621.62	kg/cm ²

DESCARGAS DE SUPERESTRUCTURA POR APOYO					
APOYO IZQUIERDO			APOYO DERECHO		
CARGA	ton	kN	CARGA	ton	kN
CMT =	308.84	31.48	CMT =	308.84	31.48
Asfalto =	40.43	4.12	Asfalto =	40.43	4.12
CV =	51.40	5.24	CV =	51.40	5.24
IMP =	16.96	1.73	IMP =	16.96	1.73
TOTAL =	417.63	42.57	TOTAL =	417.63	42.57
PESO TOTAL DE LA SUPERESTRUCTURA					
R _{Sup.} =	835.26	ton	R _{Sup.} =	85.14	ton

ANÁLISIS SÍSMICO					
PARÁMETROS ESPECTRALES					
COEFICIENTE SÍSMICO			ORDENADA ESPECTRAL		
c =	0.60965	cm/s ²	a =	0.10202	cm/s ²
TERRENO	T _s (s)	T _b (s)	T _c (s)	k	r
II	0.2	1.5	2	1	0.667
FACTORES DE REDUCCIÓN DEL ESPECTRO					
POR DUCTILIDAD			POR SOBRERRESISTENCIA		
Q =	1		R =	1.5	
PERÍODO DE VIBRAR DIRECCIÓN Y			PERÍODO DE VIBRAR DIRECCIÓN X		
T _e =	1.0748	s	T _e =	0.89419	s

DATOS DEL NEOPRENO							
TIPO DE NEOPRENO							
DUREZA	SHORE	60	Norma	ASTMD - 2240			
MÓDULO DE CORTANTE							
CARGAS DE CORTA DURACIÓN			CARGAS DE LARGA DURACIÓN				
G _n =	8.08	kg/cm ²	G _n =	16.16	kg/cm ²		

GEOMETRÍA DEL CABEZAL					
TOPE SÍSMICO			ZOCLO		
h ₁ =	1.1	m	h ₂ =	0.4	m
ANCHO CABEZAL			PERALTE CABEZAL		
b ₁ =	2.4	m	h ₃ =	1.6	m

DISEÑO DE NEOPRENOS

DATOS GENERALES DE PILAS	
GEOMETRÍA DE LAS PILAS	
DIÁMETRO	NÚMERO DE PILAS
$\phi = 1.5$ m	No. Pilas = 3 pzas
CUERPO DE PILA	
$h_4 = 15$ m	$h_5 = 14$ m
ALTURA TOTAL: CABEZAL + PILA + DESPLANTE	
$H_T = 30.6$ m	

CARACTERÍSTICAS GEOMÉTRICAS DE LAS PILAS	
SENTIDO LONGITUDINAL	SENTIDO TRANSVERSAL
$A_P = 17,671.46 \text{ cm}^2$	$A_P = 17,671.46 \text{ cm}^2$
$I_P = 24,850,488.76 \text{ cm}^4$	$I_P = 24,850,488.76 \text{ cm}^4$
$Y_i = 14.50 \text{ cm}$	$Y_i = 14.50 \text{ cm}$
$Y_s = 14.50 \text{ cm}$	$Y_s = 14.50 \text{ cm}$
RIGIDEZ DE LA PILA	
$K = \frac{3EI}{L^3}$	$K = \frac{3EI}{L^3}$
$K = 688.52 \text{ kg / cm}$	$K = 688.52 \text{ kg / cm}$
$K = 0.68852 \text{ ton / cm}$	$K = 0.68852 \text{ ton / cm}$

DESCARGA DE SUBESTRUCTURA					
CARGA	A	L	Pzas	$Y_{i,s}$	R
	m	m	#	m	ton
Tope izquierdo	1.66	2.40	1.00	31.05	9.55
Tope derecho	1.66	2.40	1.00	31.05	9.55
Cabezal	16.64	2.40	1.00	29.80	95.85
Pila	1.77	29.00	3.00	14.50	368.98

DESCARGA TOTAL	
CARGA	$R_{Acum.}$ ton
Tope izquierdo	9.55
Tope derecho	19.09
Cabezal	114.94
Pila	483.92
TOTAL =	627.49

PESO SÍSMICO	
$R_{SISMO} = 835.26$	ton
FUERZA SÍSMICA	
$F_{SISMO} = 509.22$	ton

MOVIMIENTO POR TEMPERATURA	
COEFICIENTE DE DILATACIÓN DEL CONCRETO	
$\alpha = 1.08E-05 \text{ } 1/\text{ }^\circ\text{C}$	
$\Delta_{TEMP} = \alpha (\Delta T)L = 7.77 \text{ mm}$	

ACORTAMIENTO POR CONTRACCIÓN DE LA TRABE	
DEFORMACIÓN UNITARIA	ACORTAMIENTO POR CONTRACCIÓN
$\varepsilon = 0.00134 \text{ mm}$	$\Delta_{PT} = 42.00 \text{ mm}$
DEFORMACIÓN UNITARIA	ACORTAMIENTO POR CONTRACCIÓN
$\varepsilon = 0.00158 \text{ mm}$	$\Delta_{SH} = 49.44 \text{ mm}$

DISEÑO DE NEOPRENOS

DESPLAZAMIENTO LONGITUDINAL DE LA TRABE		
FACTOR DE TEMPERATURA UNIFORME	MOVIMIENTO LONGITUDINAL MÁXIMO	
$\gamma = 1.2$	$\Delta_s = 119.06$	mm

GEOMETRÍA DEL NEOPRENO		
DIMENSIÓN DE LADO CORTO	DIMENSIÓN DE LADO LARGO	
$W = 40.00$ cm	$L = 240.00$	cm
ESPESOR DEL APOYO		
$H_n = 24.13$ cm		

REVISIÓN DEL ESPESOR		
ESPESOR MÍNIMO DEL APOYO	ESPESOR DE LÁMINAS DE ELASTÓMERO	
$h_{min} = 238.13$ mm	$h_{ri} = 12.70$	mm
NÚMERO DE LÁMINAS		ESPESOR TOTAL DEL NEOPRENO
$n = 18$	$H_n = 241.30$	mm

REVISIÓN DEL TAMAÑO EN PLANTA DEL APOYO				
DIMENSIONES DEL NEOPRENO				
$L = 240.00$ cm $W = 40.00$ cm				
FACTOR DE FORMA				
ASASHTO LRFD 2020 Art. 14.7.5.1 - Generalidades Eq. 14.7.5.1-1				
$S_i = \frac{LW}{2h_{ri}(L + W)}$	$S_i = 13.50$			
MÓDULO DE CORTANTE DE DISEÑO				
$G_n = 13$ kg/cm ²				
DISEÑO RECTANGULAR				
$1.25GL^2W^2 - 2Rh_{ri}(L + W) = 0$	$1.25GL^2W^2 = 1,497,600,000.00$	kg * cm		
	$-2Rh_{ri}L = -254,588,040.48$	kg * cm		
	$-2Rh_{ri}W = -42,431,340.08$	kg * cm		
ESFUERZOS PROMEDIO DE COMPRESIÓN PARA CONDICIÓN DE SERVICIO				
ASASHTO LRFD 2020 Art. 14.7.6.3.2 - Esfuerzos de Compresión				
Eq. 14.7.6.3.2-7	Eq. 14.7.6.3.2-8			
$G_s \leq 1.25GS_i$	$G_s \leq 1.25 ksi$			
$\sigma_s \leq 219.35$ kg/cm ²	$\sigma_s \leq 87.88$	kg/cm ²		
ESFUERZO DE COMPRESIÓN POR CARGAS DE SERVICIO				
$\sigma_s = 87.01$ kg/cm ²				
COMENTARIO				
El esfuerzo en el neopreno se encuentra dentro del límite				

REVISIÓN DE LA DEFLEXIÓN EN EL APOYO POR ESFUERZOS DE COMPRESIÓN		
ESFUERZO DE COMPRESIÓN ACTUANTE		
$\sigma_s = 1.24$ ksi		
DEFORMACIÓN POR CARGA AXIAL AAASHTO LRFD 2020		Figura C14.7.6.3.3-1
DEFORMACIÓN UNITARIA POR COMPRESIÓN	DEFORMACIÓN UNITARIA TOTAL	
$\epsilon = 0.0419$	$\epsilon_T = 0.7961$	
DEFLEXIÓN TOTAL POR COMPRESIÓN		
$\delta = 10.11$ mm	$\delta = 1.01$	cm

DISEÑO DE NEOPRENOS

ROTACIÓN DEL APOYO	
ROTACIÓN EN CONDICIÓN DE SERVICIO	
APOYO IZQUIERDO	APOYO DERECHO
$\Phi_S = 0.0032$ rad	$\Phi_S = 0.0039$ rad
ROTACIÓN MÁXIMA DEL APOYO	COMENTARIO
$\Phi_{Cap} = 0.0084$	La rotación del apoyo es aceptable

ESTABILIDAD DEL APOYO	
AASHTO LRFD 2020 Art. 14.7.5.3.4 - Estabilidad de Apoyos Elastoméricos	
Eq. 14.7.5.3.4-2	Eq. 14.7.5.3.4-3
$A = \frac{1.92 \frac{h_{rt}}{L}}{\sqrt{1 + \frac{2L}{W}}}$	$B = \frac{2.67}{(S_i + 2) + (1 + \frac{L}{4W})}$
$A = 1.00307$	$B = 0.17946$
LÍMITE DE ESFUERZO	
Eq. 14.7.5.3.4-4	
$\sigma_S \leq \frac{GS_i}{2A - B}$	En donde: $\frac{GS_i}{2A - B} = 96.06 \text{ kg/cm}^2$
COMENTARIO	
El esfuerzo de compresión en el apoyo es aceptable	

ACERO DE REFUERZO MÍNIMO	
CONSTANTE DE FATIGA	AASHTO LRFD 2020 Tabla 6.6.1.2.5-3
$\Delta F_{TH} = 24 \text{ ksi}$	
AASHTO LRFD 2020 Art. 14.7.5.3.5 - Refuerzo	
EN CONDICIÓN DE SERVICIO	EN ESTADO LÍMITE DE FATIGA
Eq. 14.7.5.3.5-1	Eq. 14.7.5.3.5-2
$h_s = \frac{3h_{ri}\sigma_s}{F_y}$	$h_s = \frac{2h_{ri}\sigma_L}{\Delta F_{TH}}$
$h_s = 0.79 \text{ mm}$	$h_s = 1.03 \text{ mm}$

RESUMEN DE DISEÑO GEOMÉTRICO PRELIMINAR DEL APOYO	
NÚMERO DE CAPAS INTERIORES	NÚMERO DE CAPAS EXTERIORES
$n_{int} = 18$	$n_{ext} = 2$
ESPESOR DE CAPA INTERIOR	ESPESOR DE CAPA EXTERIOR
$h_{ri} = 12.70 \text{ mm}$	$h_{re} = 6.35 \text{ mm}$
ESPESOR DEL ACERO DE REFUERZO	NÚMERO DE LÁMINAS DE ACERO
$h_s = 1.03 \text{ mm}$	$n_{ref} = 19$
ESPESOR TOTAL DEL NEOPRENO	
$h_T = 260.85 \text{ mm}$	$h_T = 26.09 \text{ cm}$

DISEÑO DE NEOPRENOS

RIGIDEZ DEL APOYO	
FUERZA SÍSMICA TRANSVERSAL	FUERZA SÍSMICA LONGITUDINAL
$F_s = 509.22$ ton	$F_s = 509.22$ ton
ESPESOR DEL NEOPRENO	ÁREA DEL NEOPRENO
$h_T = 26.09$ cm	$A_n = 9,600.00$ cm ²
RIGIDEZ DEL NEOPRENO	
$K_{neopreno} = \frac{G_n A_n}{h_n}$	
$K_{neopreno} = 2.97$ ton / cm	
RIGIDEZ TOTAL DEL CABALLETE	
$K_{Caballito} = K_{Neoprenos} + K_{Pila}$	
$K_T = 8.01$ ton / cm	

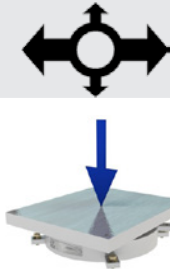
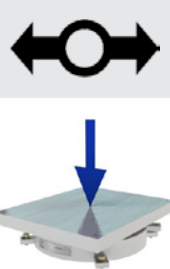
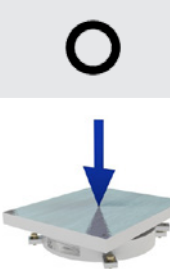
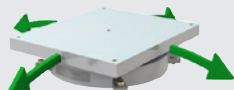
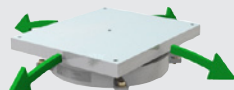
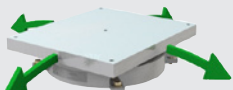
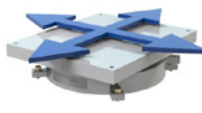
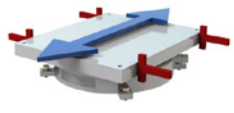
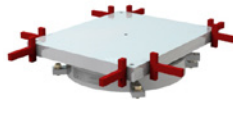
DISTRIBUCIÓN DE FUERZAS SÍSMICAS	
NÚMERO DE NEOPRENOS	NÚMERO DE PILAS
No. Neop. = 2	No. Pilas = 3
FUERZA QUE TOMAN LOS NEOPRENOS	FUERZA QUE TOMAN CADA NEOPRENO
F_s Neop. = 377.95 ton	F_s Neop. = 188.98 ton
FUERZAS QUE TOMAN LAS PILAS	FUERZA QUE TOMA CADA PILA
F_s Pilas = 131.27 ton	F_s Pila = 43.76 ton

RESUMEN DE DISTRIBUCIÓN DE FUERZAS SÍSMICAS EN CABALLETE	
FUERZA QUE TOMAN LOS NEOPRENOS	FUERZAS QUE TOMAN LAS PILAS
F_s Neop. = 74.22 %	F_s Pilas = 25.78 %

DEFORMACIÓN ANGULAR DEL NEOPRENO	
$\Delta = \frac{D}{h_n} = \frac{t}{G_n} = \frac{F_s h_n}{G_n A_n}$	
PARA EFECTOS DE CORTA DURACIÓN	PARA EFECTOS DE LARGA DURACIÓN
$\Delta = 63.55$ cm	$\Delta = 31.78$ cm

CILINDROS DE SUSPENSIÓN TETRON CD

Existen tres tipos de apoyos, que se diferencian por sus movimientos aceptables:

Tipo	Apoyo deslizante libre	Apoyo deslizante guiado	Apoyo fijo
Símbolo	GL	GGL / GGT	FX
Fuerza vertical			
Rotación			
Desplazamiento horizontal			

Dimensionamiento

El tamaño de la estructura de los apoyos se determina con base en los siguientes criterios:

- Fuerza vertical;
- Desplazamiento aceptable;
- Rotación aceptable;
- Temperaturas de exposición;
- Esfuerzos aceptables en los soportes;
- Fuerza horizontal.

El cálculo puede basarse en varias normas, siendo las más habituales:

- EN 1337 (norma europea);
- BS 5400 (norma británica);
- AASHTO LRFD 2012 (norma estadounidense);
- AS 5100 (norma australiana).

Denominación

La denominación de los apoyos TETRON CD permite identificar sus principales características.

GL Apoyo libre		.	250 Desplazamiento longitudinal total aceptable en mm	.	40 Desplazamiento transversal total aceptable en mm
GGT Apoyo guiado transversal	20.000 Fuerza vertical en ELU (estado límite último) en kN	-	800 Fuerza longitudinal en ELU en kN	.	40 Desplazamiento transversal total aceptable en mm
GGL Apoyo guiado longitudinal		-	800 Fuerza transversal en ELU en kN	.	40 Desplazamiento longitudinal total aceptable en mm
FX Apoyo fijo		-	900 Fuerza horizontal en ELU en kN (resultante de x/y*)		

Así, es posible encontrarse con las siguientes denominaciones:

- TETRON CD GL 20.000.250.40
- TETRON CD GGL 20.000-800.40
- TETRON CD FX 20.000-900

* x: eje longitudinal
y: eje transversal

APOYOS ESFÉRICOS TETRON SB

Existen tres tipos de apoyos, que se diferencian por su capacidad de movimientos:

Tipo	Apoyo deslizante libre	Apoyo deslizante guiado	Apoyo fijo
	GL	GGL / GGT	FX
Símbolo			
Fuerza vertical			
Rotación			
Hasta 50 mrad	Hasta 50 mrad	Hasta 50 mrad	
Desplazamiento horizontal			
Multidireccional		Unidireccional	Bloqueado

Dimensionamiento

El tamaño de la estructura de los apoyos se determina con base en los siguientes criterios:

- Fuerza vertical;
- Desplazamiento aceptable;
- Rotación aceptable;
- Temperaturas de exposición;
- Esfuerzos aceptables en los soportes;
- Fuerza horizontal.

Para realizar el cálculo es posible guiarse por varias normas, siendo las más habituales la EN 1337 y la AASHTO LRFD 2012.

Isoslide® para apoyos compactos y más resistentes

Las superficies de deslizamiento que tienen lugar normalmente por contacto entre acero inoxidable y PTFE o acero cromado y PTFE admiten esfuerzos limitados. De ahí que actualmente Freyssinet recomiende un nuevo material como sustituto del PTFE: el Isoslide®. Al aceptar mayores restricciones, el Isoslide® permite en la mayoría de los casos reducir las dimensiones de los apoyos. Las tablas que figuran en las páginas siguientes resumen las características de los dos materiales de deslizamiento utilizados para los apoyos TETRON SB. El Isoslide® presenta, entre otras cosa, una resistencia al desgaste cinco veces mayor que el PTFE, una calidad especialmente interesante cuando se dan desplazamientos frecuentes y repetitivos.

Denominación

La denominación de los apoyos TETRON SB permite identificar sus principales características.

GL Apoyo libre		• 250 Desplazamiento longitudinal total aceptable en mm	• 40 Desplazamiento transversal total aceptable en mm
GGT Apoyo guiado transversal	20.000 Fuerza vertical en ELU (estado límite último) en kN	- 800 Fuerza longitudinal en ELU en kN	• 40 Desplazamiento transversal total aceptable en mm
GGL Apoyo guiado longitudinal		- 800 Fuerza transversal en ELU en kN	• 40 Desplazamiento longitudinal total aceptable en mm
FX Apoyo fijo		- 900 Fuerza horizontal en ELU en kN (resultante de x/y*)	

Así, es posible encontrarse con las siguientes denominaciones:

Con PTFE

- TETRON SB GL 20.000.250.40
- TETRON SB GGL 20.000-800.40
- TETRON SB FX 20.000-900

Con Isoslide®

- TETRON SB ISO GL 20.000.250.40
- TETRON SB ISO GGL 20.000-800.40
- TETRON SB ISO FX 20.000-900

* x: eje longitudinal
y: eje transversal

5.9.3 DISEÑO DE PILAS

Los caballetes se conforman por tres pilas que se empotran en el estrato de mayor capacidad del terreno diferenciándose en altura las pilas de los ejes de acceso (1 y 2) respecto a las pilas los ejes intermedios (2 y 3), empleándose concreto con resistencia $f'_c = 300 \text{ kg/cm}^2$ y paquetes de dos barras para el refuerzo longitudinal.

El diseño estructural se enfocó en las pilas correspondientes a los caballetes intermedios ya que son las de mayor altura y donde los efectos sísmicos generan mayores elementos mecánicos, tomando en consideración para el análisis las combinaciones que propone la Norma AASHTO como las que propone la CFE. En este sentido, obtenidos los elementos mecánicos de la combinación de sismo se empleó las Gráficas para Diseñar Columnas de Concreto Reforzado del Instituto de Ingeniería de la UNAM para estimar la cantidad de acero de refuerzo demandada por la pila.

Los elementos mecánicos de diseño son los siguientes:

Carga Axial:	Momentos Flexionantes	Fuerza Cortante:
• $P_{(s)} = 433.44 \text{ ton}$	• $M_1 = 359.12 \text{ ton}\cdot\text{m}$	• $V = 50.376 \text{ ton}$
• $P_{(i)} = 472.55 \text{ ton}$	• $M_2 = 371.32 \text{ ton}\cdot\text{m}$	

GEOMETRÍA DE LAS PILAS	
DIÁMETRO	RECUBRIMIENTO
$\phi = 1.5 \text{ m}$	$r = 6.06 \text{ cm}$
NÚMERO DE PILAS	ALTURA TOTAL DE PILA
No. Pilas = 3 pzas	$H_T = 30.6 \text{ m}$
ACERO DE REFUERZO LONGITUDINAL	
ACERO PROPUESTO	
Varilla #: 8	Cantidad: 56
$A_{Sb} = 5.07 \text{ cm}^2$	$A_{SC} = 283.92 \text{ cm}^2$
ACERO DE REFUERZO REQUERIDO	
$A_{S_{nec}} = 214.58 \text{ cm}^2$	$p = 1.61 \%$
ACERO DE REFUERZO TRANSVERSAL	
ACERO PROPUESTO	
Varilla #: 4	Ramas: 2
$A_{Sb} = 1.27 \text{ cm}^2$	$A_{SC} = 2.54 \text{ cm}^2$
SEPARACIÓN MÁXIMA DEL REFUERZO	
$S_{\max} = 60.00 \text{ cm}$	$A_v = 20 \text{ cm}$
FUERZAS CORTANTES	
FUERZA CORTANTE EL CONCRETO	
$V_{CR} = 73.46 \text{ ton}$	$V_{SR} = 55.16 \text{ ton}$
FUERZA CORTANTE ÚLTIMA	
$V_{CR} = 50.38 \text{ ton}$	$V_u = 128.62 \text{ ton}$

Tabla 5.12 Resumen del diseño de pilas

DISEÑO DE PILAS

DATOS GENERALES DE PILAS			
GEOMETRÍA DE LAS PILAS			
DIÁMETRO	NÚMERO DE PILAS		
$\phi = 1.5$ m	No. Pilas = 3 pzas		
CUERPO DE PILA			
$h_4 = 15$ m	$h_5 = 14$ m		
ALTURA TOTAL: CABEZAL + PILA + DESPLANTE			
$H_T = 30.6$ m			

PROPIEDADES DE LOS MATERIALES			
CONCRETO		ACERO	
RESISTENCIA A LA COMPRESIÓN			ESFUERZO DE FLUENCIA
$f'_c = 300$ kg/cm ²			
$0.45 f'_c = 135.00$ kg/cm ²		$f_y = 4,200.00$ kg/cm ²	
$f''c = 255.00$ kg/cm ²			
MÓDULO DE ELÁSTICIDAD		MÓDULO DE ELÁSTICIDAD	
$E_c = 264,621.62$ kg/cm ²		$E_s = 2,039,000.00$ kg/cm ²	
$f_f = 34.64$ kg/cm ²			
$\gamma_c = 2,400$ kg/m ³			

DEFORMACIONES UNITARIAS DE LOS MATERIALES			
CONCRETO		ACERO	
$\varepsilon_{f'_c} = 0.000918$		$\varepsilon_y = 0.0021$	
$\varepsilon_{f''c} = 0.003$		$\varepsilon_{sh} = 0.0100$	

ELEMENTOS MECÁNICOS DEBIDOS A SISMO			
CARGA AXIAL MÁXIMA		CARGA AXIAL MÁXIMA	
$P(s) = 433.44$ ton		$P(i) = 472.55$	
MOMENTOS MÁXIMOS ACTUANTES			
$M(s) = 359.12$ ton*m		$M(i) = 371.32$ ton*m	

DISEÑO POR FLEXOCOMPRESIÓN					
MOMENTO RESULTANTE		EXCENTRICIDAD DE DISEÑO			
$M_R = 516.57$ ton*m		$e = 1.19$ m			
RECUBRIMIENTO		DIÁMETRO INTERIOR			
$r = 6.06$ cm		$d = 1.38$ m			
RELACIÓN ENTRE DIÁMETROS		RELACIÓN EXCENTRICIDAD-DIÁMETRO			
$\frac{d}{D} = 0.92$		$\frac{e}{D} = 0.79$			
AYUDAS DE DISEÑO					
FACTOR DE RESISTENCIA A FLEXOCOMPRESIÓN					
$F_R = 0.65$					
FACTOR R		FACTOR K			
$R = 0.09$		$K = 0.12$			
VARIABLE q		ACERO DE REFUERZO REQUERIDO			
$q = 0.2$		$A_{s,nec} = 214.58$ cm ²			

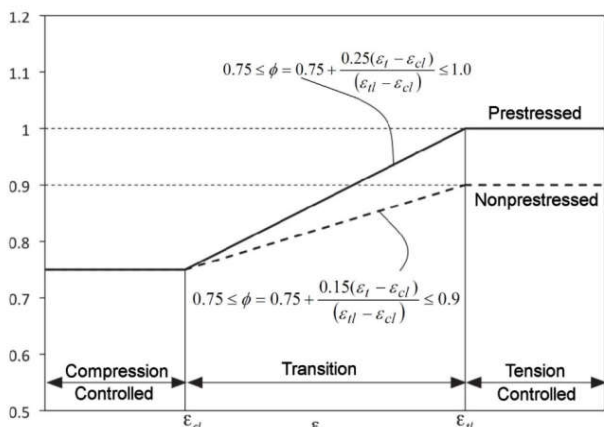
DISEÑO DE PILAS

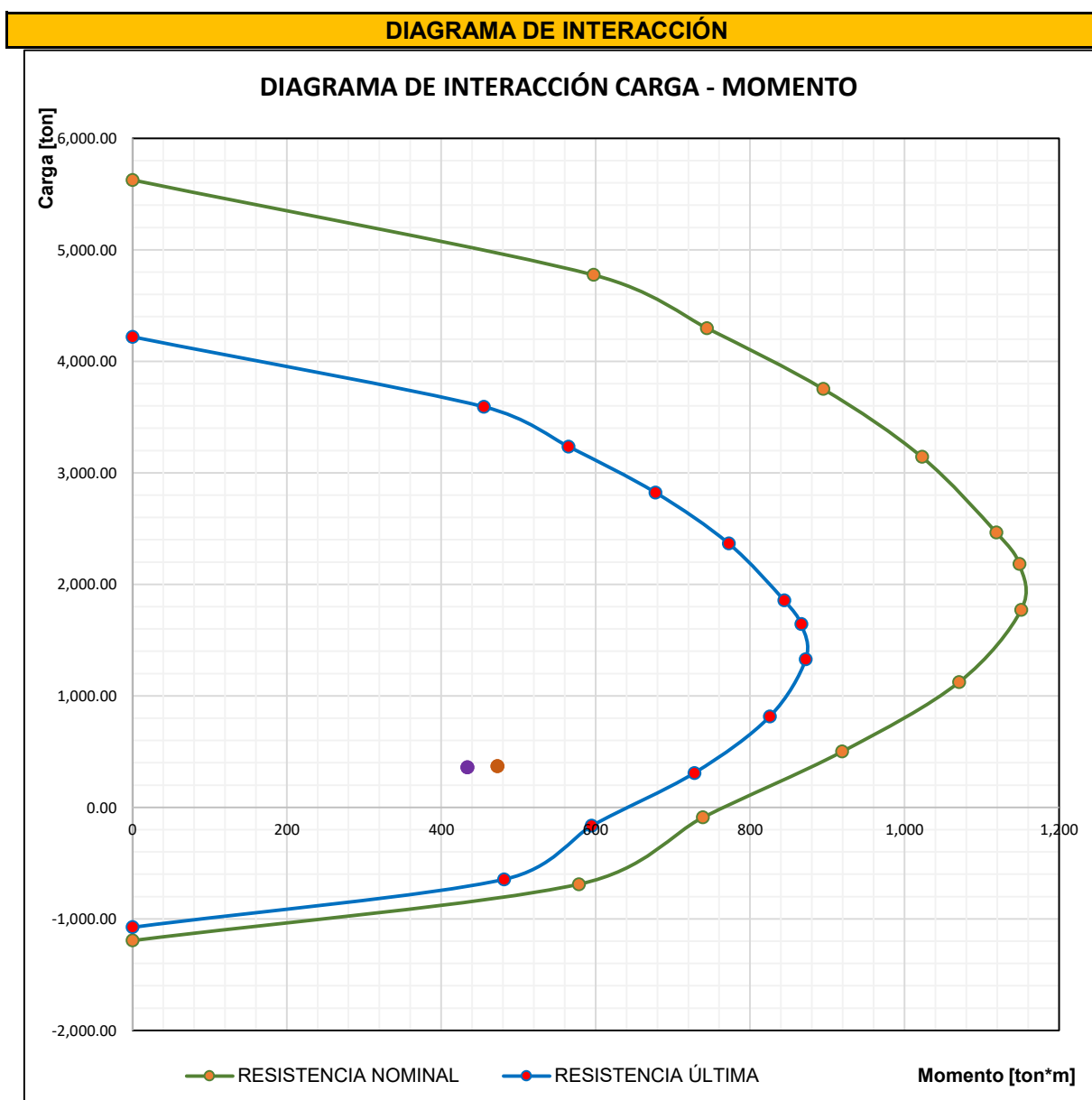
DISEÑO POR FLEXOCOMPRESIÓN			
ACERO PROPUESTO			
Varilla #:	8	Cantidad:	56
RESUMEN DEL ACERO DE REFUERZO			
$A_{Sb} =$	5.07 cm^2	$A_{SC} =$	283.92 cm^2
$\varphi =$	25.4 mm	$p =$	1.61 %
ÁREAS BRUTA DE CONCRETO		ÁREA DEL NÚCLEO DE CONCRETO	
$A_g =$	17,671.46 cm^2	$A_C =$	17,387.54 cm^2

POSICIÓN DEL ACERO DE REFUERZO			
LECHO #	d cm	Varrillas piezas	$A_s \text{ cm}^2$
1	6.99	2	10.14
2	8.98	4	20.28
3	14.28	4	20.28
4	22.62	4	20.28
5	33.59	4	20.28
6	46.64	4	20.28
7	61.1	4	20.28
8	76.27	4	20.28
9	91.37	4	20.28
10	105.65	4	20.28
11	118.4	4	20.28
12	128.96	4	20.28
13	136.82	4	20.28
14	141.59	4	20.28
15	143.01	2	10.14

PUNTOS DEL DIAGRAMA DE INTERACCIÓN					
RESISTENCIA NOMINAL			RESISTENCIA ÚLTIMA		
Punto	P _n ton	M _n ton*m	Punto	P _u ton	M _u ton*m
$P_c =$	5,626.29	0.00	$P_c =$	4,219.71	0.00
P10 =	4,775.60	597.13	P10 =	3,593.80	455.05
P9 =	4,298.61	743.81	P9 =	3,235.27	564.65
P8 =	3,752.23	894.57	P8 =	2,824.50	677.22
P7 =	3,143.61	1,022.30	P7 =	2,366.60	772.29
P6 =	2,467.00	1,118.62	P6 =	1,858.14	843.95
$P_b =$	2,182.71	1,148.50	$P_b =$	1,644.44	866.08
P5 =	1,772.18	1,150.97	P5 =	1,328.17	871.71
P4 =	1,123.09	1,070.28	P4 =	814.70	825.20
P3 =	501.44	919.01	P3 =	308.54	727.58
P2 =	-88.64	738.53	P2 =	-164.37	594.61
P1 =	-688.22	577.83	P1 =	-644.86	481.16
$P_T =$	-1,192.46	0.00	$P_T =$	-1,073.22	0.00

DISEÑO DE PILAS

FACTOR DE RESISTENCIA																		
<p>AASHTO LRFD 2020 Art. 5.5.4.2 - Factores de Resistencia</p> <p>Figura C5.5.4.2-1 Variación de ϕ</p> 	<p>Art. 5.6.2-1 General</p> <p>Tabla C5.6.2.1-1</p> <table border="1"> <thead> <tr> <th rowspan="2">Specified Minimum Yield Strength, ksi</th> <th colspan="2">Strain Limits</th> </tr> <tr> <th>Compression Control ϵ_{cl}</th> <th>Tension Control ϵ_{tl}</th> </tr> </thead> <tbody> <tr> <td>60</td> <td>0.0020</td> <td>0.0050</td> </tr> <tr> <td>75</td> <td>0.0028</td> <td>0.0050</td> </tr> <tr> <td>80</td> <td>0.0030</td> <td>0.0056</td> </tr> <tr> <td>100</td> <td>0.0040</td> <td>0.0080</td> </tr> </tbody> </table>	Specified Minimum Yield Strength, ksi	Strain Limits		Compression Control ϵ_{cl}	Tension Control ϵ_{tl}	60	0.0020	0.0050	75	0.0028	0.0050	80	0.0030	0.0056	100	0.0040	0.0080
Specified Minimum Yield Strength, ksi	Strain Limits																	
	Compression Control ϵ_{cl}	Tension Control ϵ_{tl}																
60	0.0020	0.0050																
75	0.0028	0.0050																
80	0.0030	0.0056																
100	0.0040	0.0080																



DISEÑO DE PILAS

ACERO DE REFUERZO TRANSVERSAL			
ACERO PROPUESTO			
Varilla #:	4	Cantidad:	2
RESUMEN DEL ACERO DE REFUERZO			
$A_{Sb} =$	1.27	cm^2	$A_{SC} =$ 2.54 cm^2
$\varphi =$	12.7	mm	$p =$ 0.01 %

DIMENSIONES EFECTIVAS			
SECCIONES CIRCULARES Figura C5.7.2.8-2			
$b_v =$	150	cm	$Dr =$ 137.88 cm
$Dr / \pi =$	43.89	cm	$r =$ 1.91 cm
$d_v =$	116.98	cm	$d_e =$ 118.89 cm

SEPARACIÓN DEL REFUERZO TRANSVERSAL			
CORTANTE ÚLTIMO			
AASHTO LRFD 2020 Art. 5.7.2.8 - Esfuerzo Cortante en el Concreto Eq. 5.7.2.8-1			
FACTOR POR CORTANTE Art. 5.5.4.2	$\Phi =$	0.9	$v_u = \frac{V_u - \phi V_p}{\phi b_v d_v}$
LÍMITE DE ESFUERZO CORTANTE ACTUANTE	$V_u =$	50.3755 ton	$V_u =$ 3.19 kg/cm ²
$0.125 f'_c =$	37.50	kg/cm ²	$S_{máx} =$ 60.00 cm

ACERO DE REFUERZO TRANSVERSAL MÍNIMO			
NORMA AASHTO LRFD 2020 Art. 5.7.2.5 - Refuerzo Transversal Mínimo Eq. 5.7.2.5-1			
$A_v = 0.0316 \lambda \sqrt{f'_c} \frac{b_v S}{f_y}$		FACTOR POR DENSIDAD DEL CONCRETO	
		Art. 5.4.2.8 Concreto de peso normal	
$\lambda =$		$\lambda =$ 1	
REFUERZO TRANSVERBAL MÍNIMO		SEPARACIÓN DE REFUERZO TRANSVERSAL	
$A_v =$	3.28	cm^2	$S_v =$ 20 cm

FUERZAS CORTANTES			
FUERZA CORTANTE ÚLTIMA		LÍMITE FUERZA CORTANTE ACTUANTE	
$V_{CR} =$	50.38 ton	$V =$	216.31 ton
FUERZA CORTANTE EL CONCRETO		CORTANTE MÁXIMO ADMISIBLE	
$V_{CR} =$	73.46 ton	$V =$	360.52 ton
FUERZA CORTANTE QUE TOMA EL ACERO		FUERZA CORTANTE RESISTENTE	
$V_{SR} =$	55.16 ton	$V_u =$	128.62 ton

CAPÍTULO 6. PROYECTO EJECUTIVO

El producto final en el análisis y diseño de una estructura de carácter civil es la elaboración de planos estructurales que permitan su construcción y es, en este sentido, el propósito final de este trabajo académico. En concordancia, se presentan un conjunto de planos que plasman el trabajo realizado en capítulos precedentes y que sirven al lector de referencia respecto a su contenido y elaboración para la práctica profesional.

6.1 PLANTA GEOMÉTRICA

En este plano se presenta la configuración en planta que tiene el puente apreciándose la cota que tienen las almas tanto en la curva interior como en la curva exterior de cada tramo, así como el radio de curvatura dado al proyecto. También se presenta la sección transversal de la superestructura en tres diferentes secciones de la trabe: en el diafragma, al ensanchamiento del alma y en un punto cercano al centro del claro.

6.2 TRABE CAJÓN (REFUERZO)

Se presenta el plano donde se muestra el armado y cuantificación del acero de refuerzo para la trabe sección cajón, presentándose el listado de varillas mediante cuatro tablas junto con la de dobleces; además se aprecia la posición del refuerzo tanto en las almas como en la losa.

6.3 TRAZO DE CABLES TRAMO 1

Se presenta el alzado de la trabe tanto en su alma de curva interna como en su alma de curva externa para el tramo 1, así como la posición a cada 0.1 L para los seis cables que las atraviesan. En este sentido, se presenta el resumen de la posición de los cables en coordenadas cartesianas respecto a su posición al centro del claro.

6.4 TRAZO DE CABLES TRAMO 2

Se presenta el alzado de la trabe tanto en su alma de curva interna como en su alma de curva externa para el tramo 2, así como la posición a cada 0.1 L para los seis cables que las atraviesan. En este sentido, se presenta el resumen de la posición de los cables en coordenadas cartesianas respecto a su posición al centro del claro.

6.5 TRAZO DE CABLES TRAMO 3

Se presenta el alzado de la trabe tanto en su alma de curva interna como en su alma de curva externa para el tramo 1, así como la posición a cada 0.1 L para los seis cables que las atraviesan. En este sentido, se presenta el resumen de la posición de los cables en coordenadas cartesianas respecto a su posición al centro del claro.

6.6 SECCIONES TRANSVERSALES DE TRABE (PRESFUERZO)

En este plano se presenta la configuración de posición que van tomando los cables de presfuerzo conforme avanzan en la trabe a partir de la caja de tensado junto con una resumen de materiales para una nervadura de la trabe.

6.7 COLADO DE CONTINUIDAD

El plano muestra diferentes cortes de la interacción entre elementos de la superestructura con la subestructura, apreciándose tanto el acero de presfuerzo en losa como el colado de continuidad entre trabes (caballetes 2 y 3).

6.8 PESFUERZO EN COLADO DE CONTINUIDAD (CURVA EXTERNA)

Este plano contiene el detalle del armado para el alma de la curva externa del acero de presfuerzo, en forma de barras, y del acero de refuerzo que son usados al momento del colado del bloque que da continuidad a las trabes cajón para que trabajen como un elemento hiperestático; además se presenta un resumen de materiales.

6.9 PESFUERZO EN COLADO DE CONTINUIDAD (CURVA INTERNA)

Este plano contiene el detalle del armado para el alma de la curva interna del acero de presfuerzo, en forma de barras, y del acero de refuerzo que son usados al momento del colado del bloque que da continuidad a las trabes cajón para que trabajen como un elemento hiperestático; además se presenta un resumen de materiales

6.10 CABALLETES (GEOMÉTRIA)

Se presenta el alzado de los caballetes correspondientes a los ejes 1, 2, 3 y 4.

6.11 PRESFUERZO EN LOSA

En este plano se presenta la configuración en planta que tiene el presfuerzo para momento negativo al interior de la losa, sus longitudes y la configuración que tienen en la sección transversal al llegar al bloque de anclaje.

6.12 CABALLETES EJES 1 Y 4 (REFUERZO)

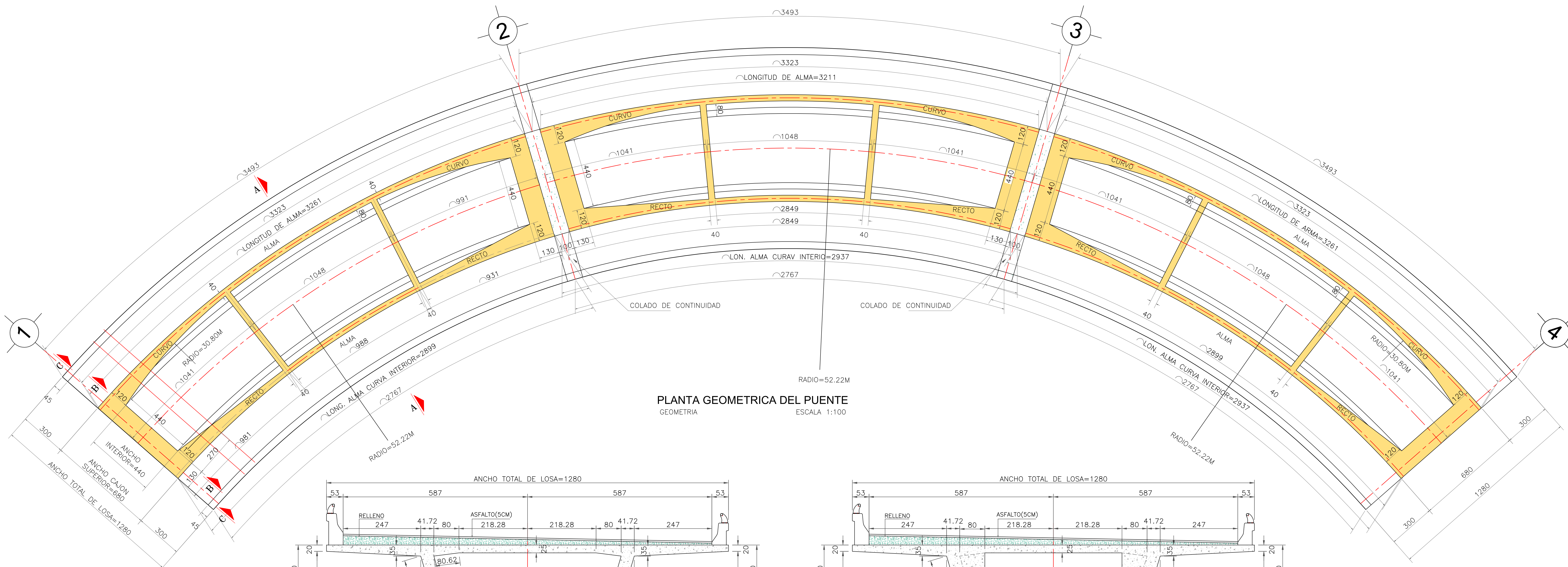
Se presenta el plano de armado del acero de refuerzo junto con las listas de varillas y materiales de los caballetes 1 y 4 (cabezal y pilas).

6.13 CABALLETES EJES 2 Y 3 (REFUERZO)

Se presenta el plano de armado del acero de refuerzo junto con las listas de varillas y materiales de los caballetes 2 y 3 (cabezal y pilas).

6.14 DIAFRAGMA DE CONTINUIDAD

En este plano se muestra el alzado del bloque de continuidad en trabe y en losa, junto con el armado de su acero refuerzo, incluyendo el corte transversal que muestra la posición que deben tener los gatos hidráulicos para el momento de cambio de apoyos. Se presenta el resumen de materiales.

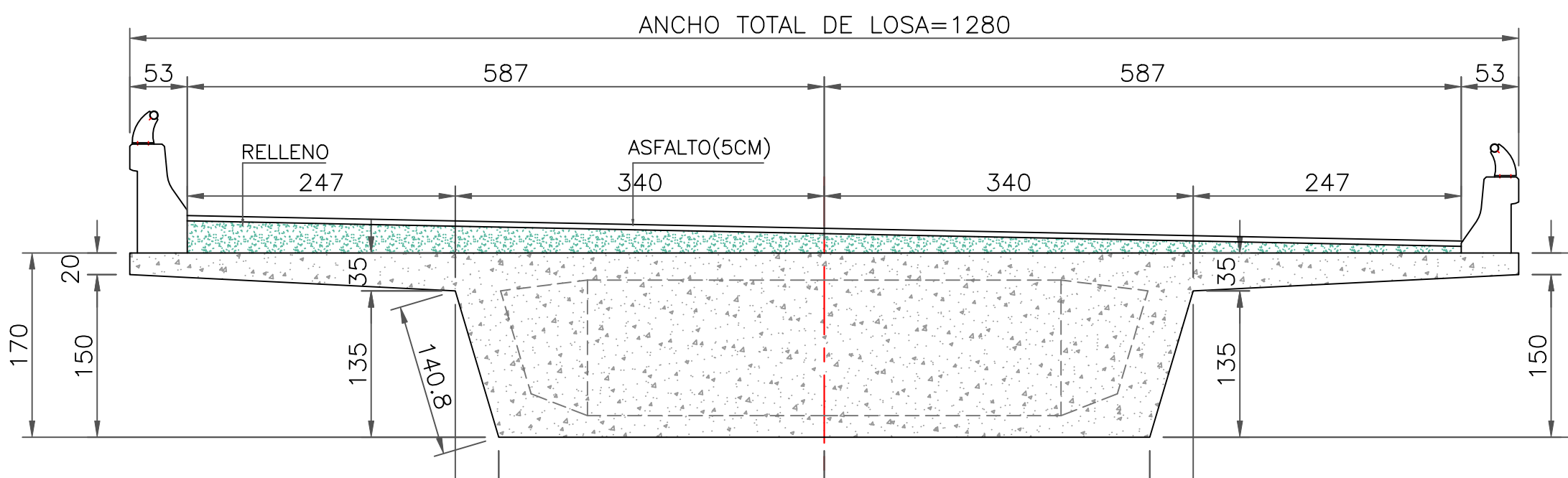


SECCIÓN TRANSVERSAL

GEOMETRÍA

ESCALA

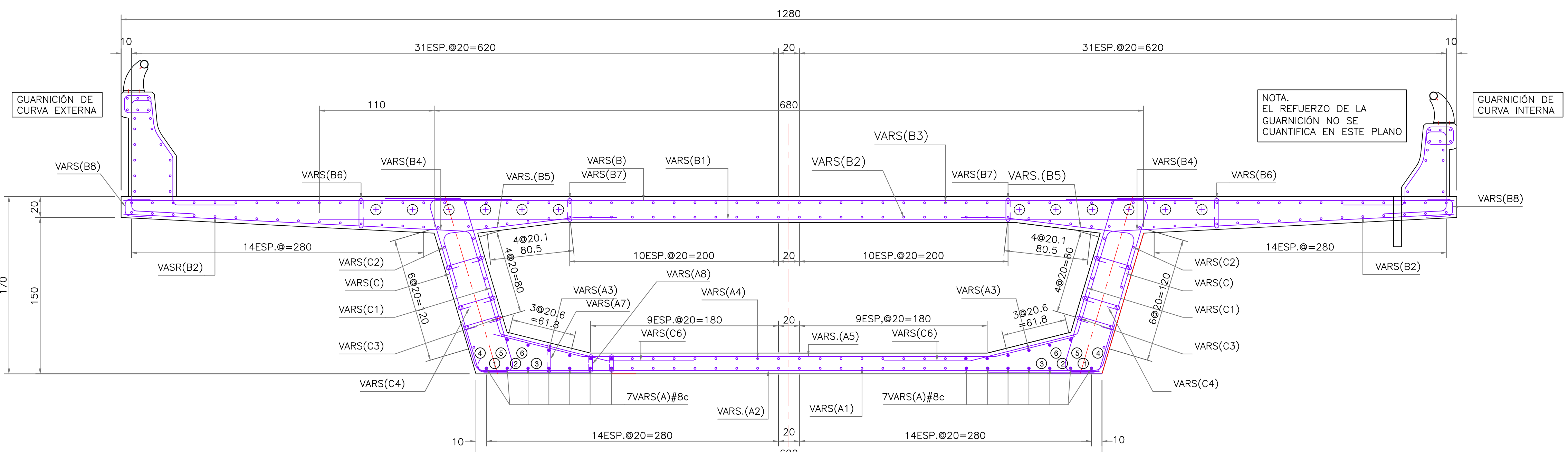
GEOMETRIA ESCALA



SECCIÓN TRANSVERSAL C-C

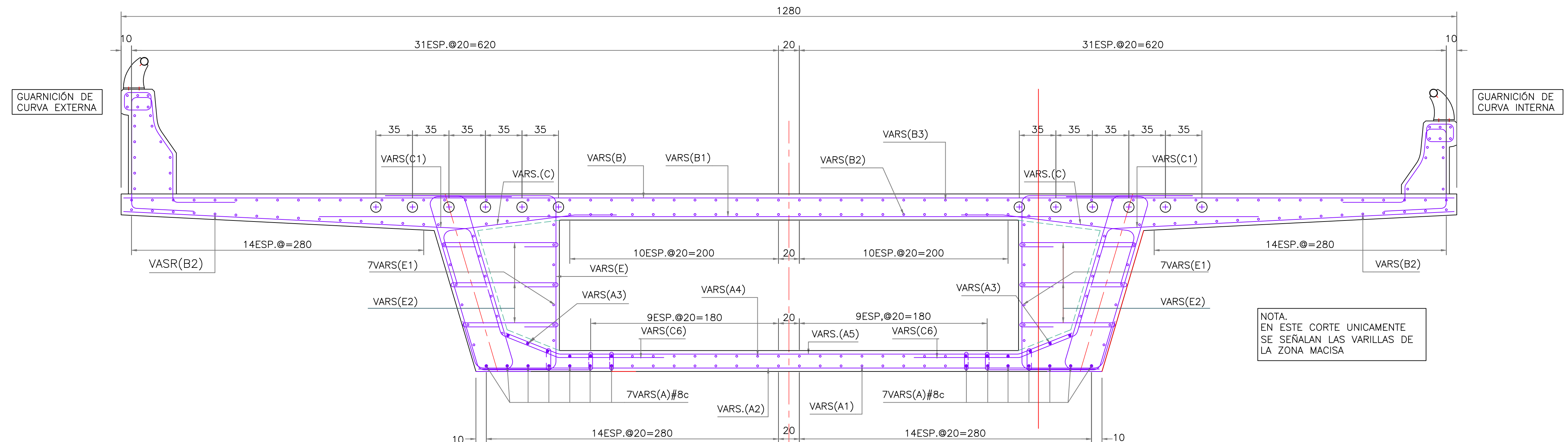
GEOMETRIA ESCALA 1:50

GEOMETRY
LOGIC - VOCABULARY



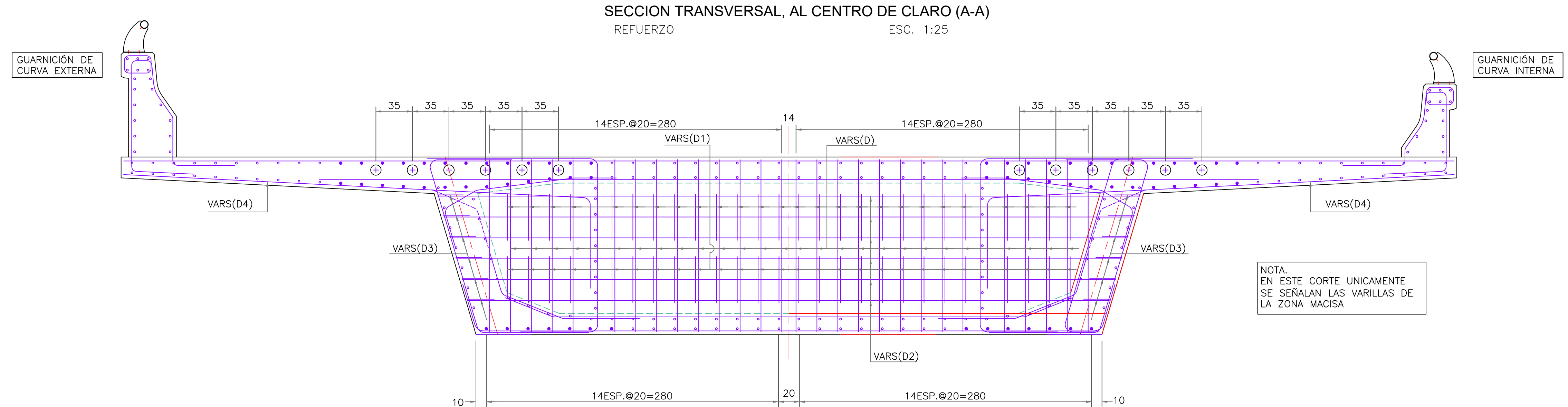
SECCION TRANSVERSAL, AL CENTRO DE CLARO (A-A')

REFUERZO



SECCION TRANSVERSAL, AL CENTRO DE CLARO (A-A')

REFUERZO



NOTA.
EN ESTE CORTE UNICO
SE SEÑALAN LAS VARIA
NCIAS EN EL MUNICIPIO.

CERO fy=4200 = 10336 Kg

TOTAL ACERO $f_y = 4200$ = 22751 Kg

TOTAL ACERO fy=4200 = 9901 Kg

TOTAL ACERO fy=4200 = 2166 Kg

TABLA DE DOBLEZ

ϕ	A	B	C	D	E	F
2	5	10	25	10	30	20
2.5	5	10	25	10	30	20
3	6	10	30	10	45	20
4	8	10	30	15	55	30
5	10	10	30	15	65	35
6	15	15	30	20	80	45
8	20	--	45	45	*	70
10	30	--	60	60	*	95
12	38	--	70	70	*	135

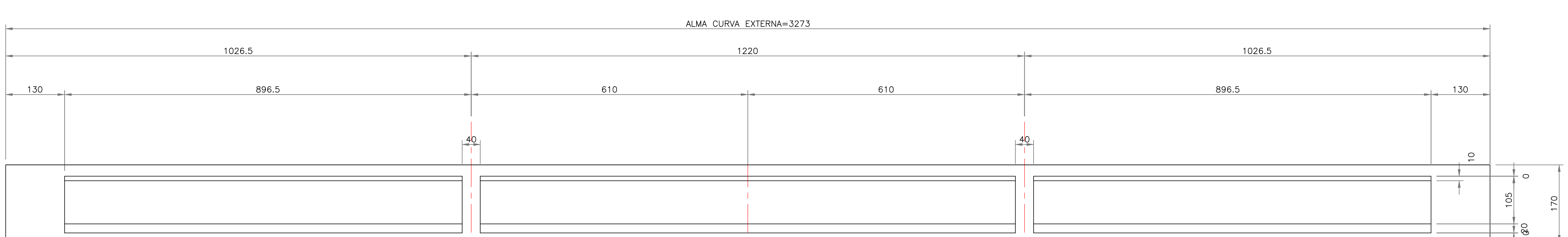
NOTA IMPORTANTE.
EN NINGÚN CASO SE PERMITIRÁ
EMPALMAR EN UNA MISMA
SECCIÓN MAS DEL 33% DE LAS
VARILLAS DEL N.º 8 O MAYOR,
EN ESTOS CASOS LAS VARILLAS
SE SOLDARAN DE ACUERDO AL
DETALLE ANTERIOR, USANDO
ELECTRODO E-90.

F; LONGITUD DE ANCLAJE CON
GANCHO TIPO "L".

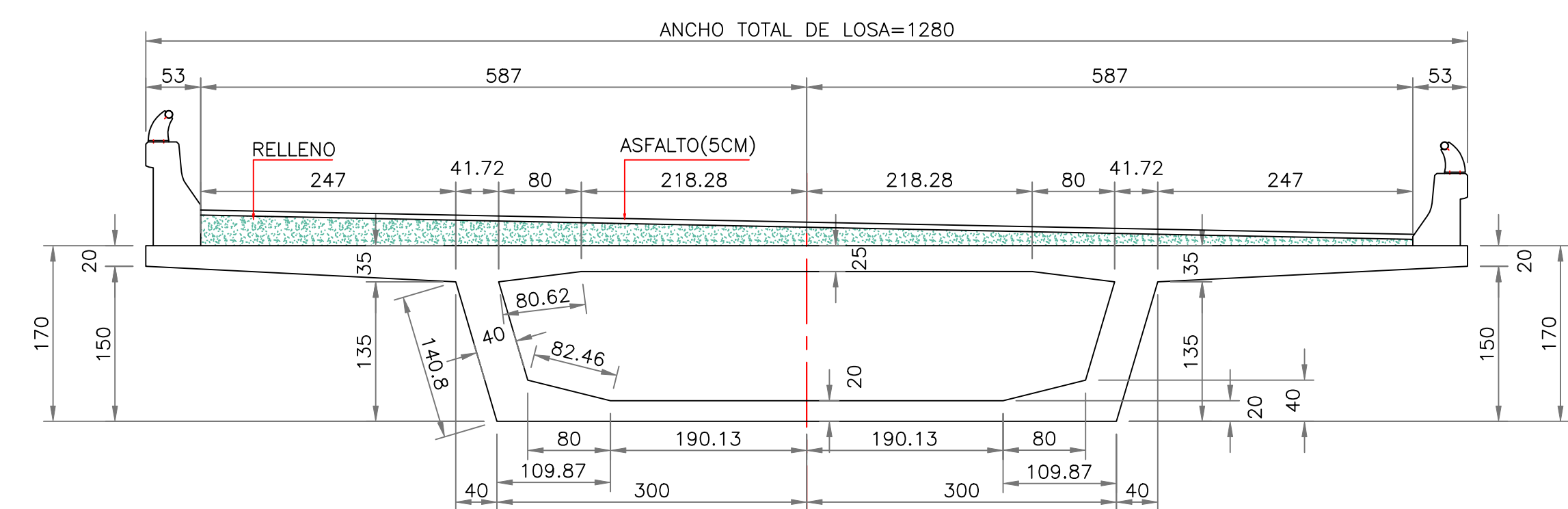
IMPORTANTE.
EN CASO SE PERMITIRÁ
R EN UNA MISMA
MAS DEL 33% DE LAS
DEL No.8 Ó MAYOR,
S CASOS LAS VARILLAS
ARAN DE ACUERDO AL
ANTERIOR, USANDO
DO E-90.

RESUMEN DE MATERIALES (1 TABLETA)		
1. CONCRETO F'C=450 KG/CM2		
En trabe cajón presforzada		179.7 m3
2. ACERO DE REFUERZO Fy=4200 KG/CM2		
En tabletas presforzadas		45154 kg
3. DRENES DE CALZADA		
Tubos de PCV de 3" de L=60cm @ 300 cm		10 Pzas.

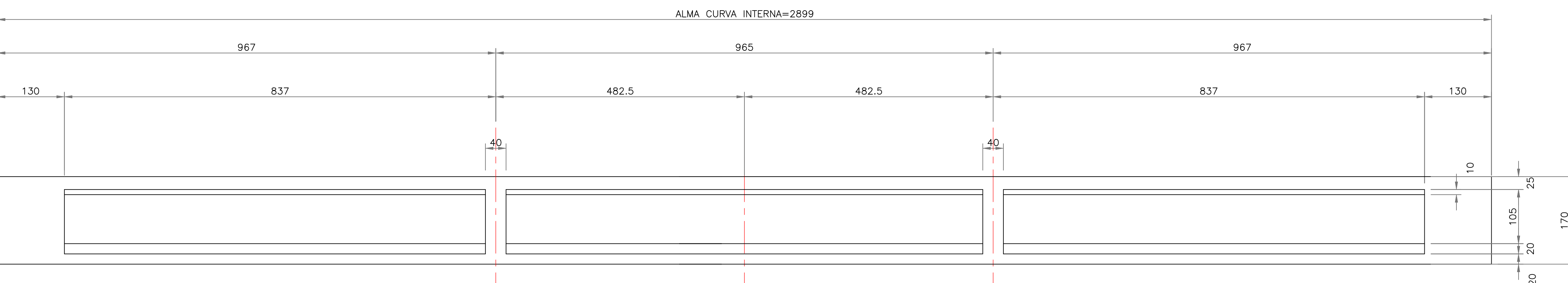
SUMEN DE MATERIALES (1 TABLETA)	
RETO F'C=450 KG/CM2	
abe cajón presforzada	179.7 m3
O DE REFUERZO Fy=4200 KG/CM2	
oleta presforzada	45154 kg
ES DE CALZADA	
de PCV de 3" de l=60cm @ 300 cm	10 Pzas



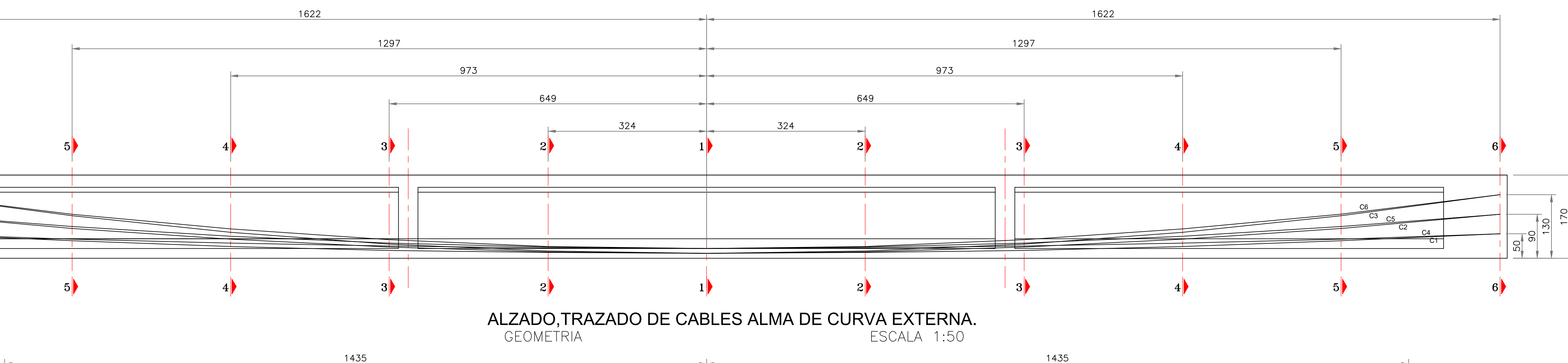
ALZADO, ALMA DE CURVA EXTERNA.
GEOMETRIA ESCALA 1:50



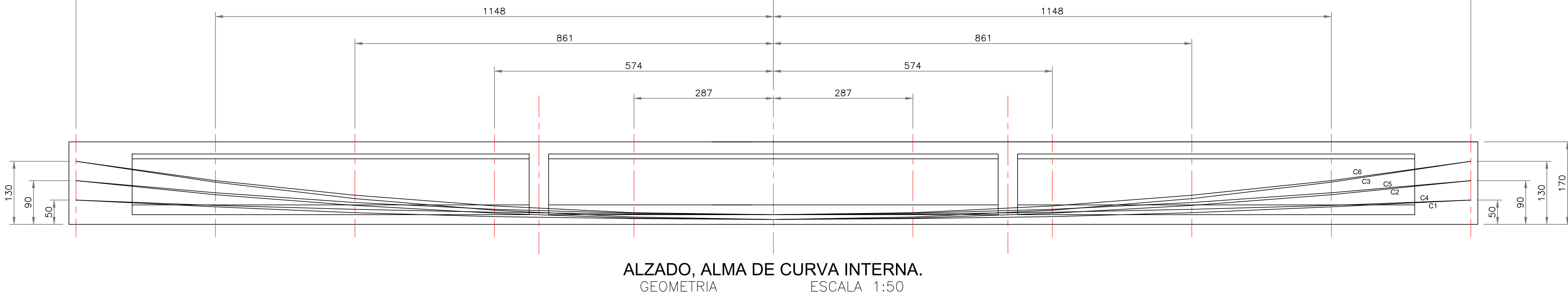
SECCIÓN TRANSVERSAL A-A.
GEOMETRIA ESCALA 1:50



ALZADO, ALMA DE CURVA INTERNA.
GEOMETRIA ESCALA 1:50



ALZADO, TRAZADO DE CABLES ALMA DE CURVA EXTERNA.
GEOMETRIA ESCALA 1:50



ALZADO, ALMA DE CURVA INTERNA.
GEOMETRIA ESCALA 1:50

CABLE 1	X (M)	Y (M)
6-6	-16.22	1.3
5-5	-12.97	0.87
4-4	-9.73	0.53
3-3	-6.49	0.29
2-2	-3.24	0.15
1-1	0	0.1
2-2	3.24	0.12
3-3	6.49	0.16
4-4	9.73	0.24
5-5	12.97	0.36
5-5	16.22	0.5

CABLE 2	X (M)	Y (M)
6-6	-16.22	0.9
5-5	-12.97	0.61
4-4	-9.73	0.39
3-3	-6.49	0.23
2-2	-3.24	0.13
1-1	0	0.1
2-2	3.24	0.13
3-3	6.49	0.23
4-4	9.73	0.39
5-5	12.97	0.61
5-5	16.22	0.9

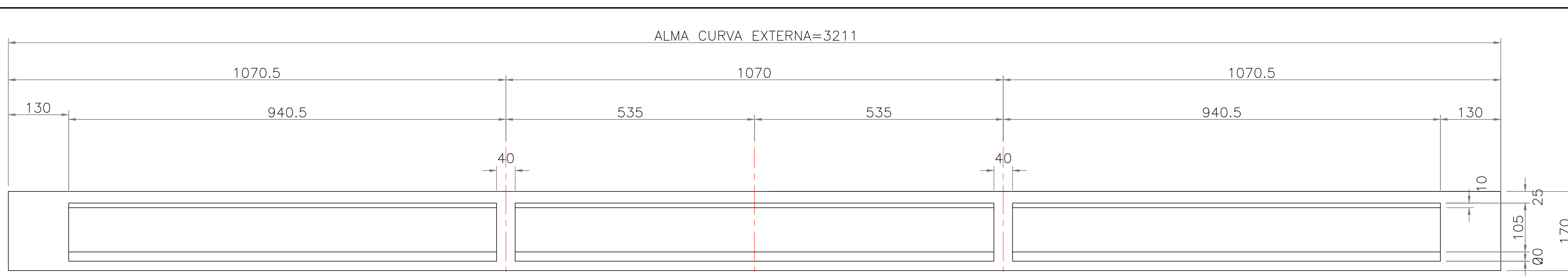
CABLE 3	X (M)	Y (M)
6-6	-16.22	0.5
5-5	-12.97	0.36
4-4	-9.73	0.24
3-3	-6.49	0.16
2-2	-3.24	0.12
1-1	0	0.1
2-2	3.24	0.15
3-3	6.49	0.29
4-4	9.73	0.53
5-5	12.97	0.87
5-5	16.22	1.3

CABLE 4	X (M)	Y (M)
6-6	-16.22	1.3
5-5	-12.97	0.9
4-4	-9.73	0.6
3-3	-6.49	0.38
2-2	-3.24	0.24
1-1	0	0.2
2-2	3.24	0.21
3-3	6.49	0.25
4-4	9.73	0.31
5-5	12.97	0.39
5-5	16.22	0.5

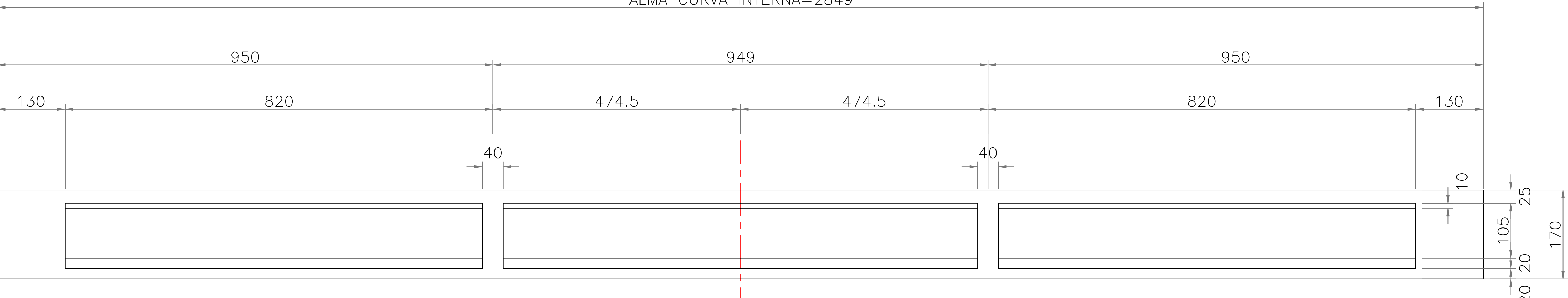
CABLE 5	X (M)	Y (M)
6-6	-16.22	0.9
5-5	-12.97	0.65
4-4	-9.73	0.45
3-3	-6.49	0.31
2-2	-3.24	0.23
1-1	0	0.2
2-2	3.24	0.23
3-3	6.49	0.31
4-4	9.73	0.45
5-5	12.97	0.65
5-5	16.22	0.9

CABLE 6	X (M)	Y (M)
6-6	-16.22	0.5
5-5	-12.97	0.39
4-4	-9.73	0.31
3-3	-6.49	0.25
2-2	-3.24	0.21
1-1	0	0.2
2-2	3.24	0.24
3-3	6.49	0.38
4-4	9.73	0.6
5-5	12.97	0.9
5-5	16.22	1.3

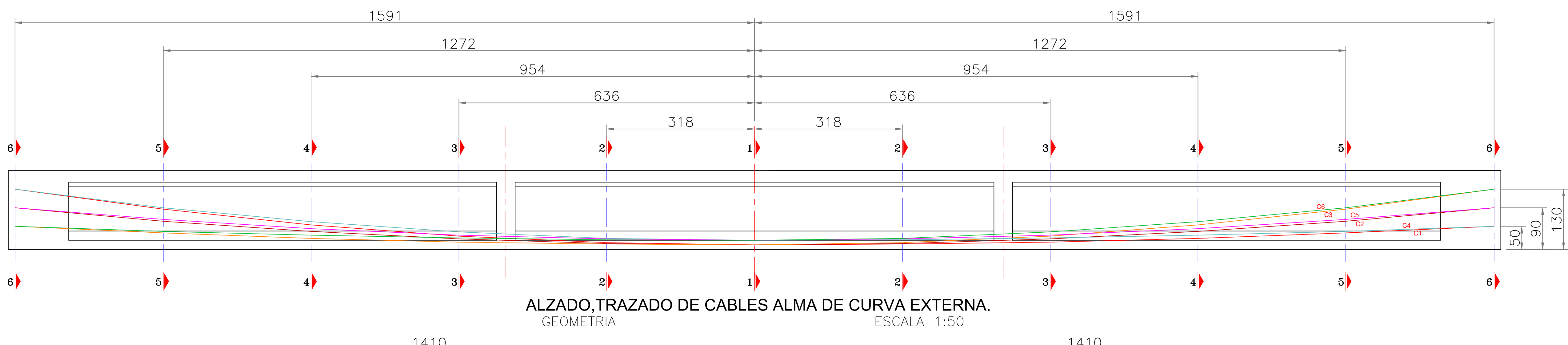
TRAMO DE PUENTE 1-2.



ALZADO, ALMA DE CURVA EXTERNA.
GEOMETRIA ESCALA 1:50
ALMA CURVA INTERNA=2849

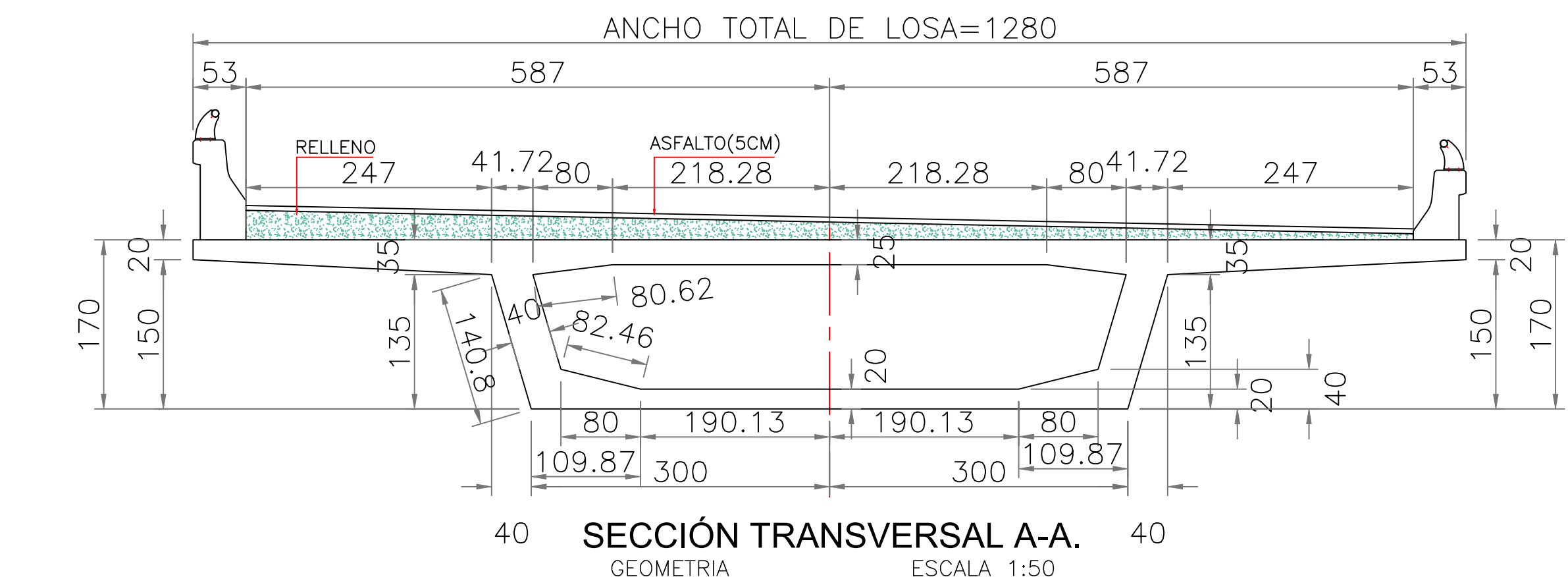


ALZADO, ALMA DE CURVA INTERNA.
GEOMETRIA ESCALA 1:50



ALZADO, TRAZADO DE CABLES ALMA DE CURVA EXTERNA.
GEOMETRIA ESCALA 1:50

ALZADO, ALMA DE CURVA INTERNA.
GEOMETRIA ESCALA 1:50



TRAZO DE CABLES EN CURVA EXTERNA

CABLE 1	X (M)	Y (M)
6-6	-15.90	1.3
5-5	-12.72	0.87
4-4	-9.54	0.53
3-3	-6.36	0.29
2-2	-3.18	0.15
1-1	0	0.1
2-2	3.18	0.12
3-3	6.36	0.16
4-4	9.54	0.24
5-5	12.72	0.36
5-5	15.90	0.5

CABLE 2	X (M)	Y (M)
6-6	-15.90	0.9
5-5	-12.72	0.61
4-4	-9.54	0.39
3-3	-6.36	0.23
2-2	-3.18	0.13
1-1	0	0.1
2-2	3.18	0.13
3-3	6.36	0.23
4-4	9.54	0.39
5-5	12.72	0.61
5-5	15.90	0.9

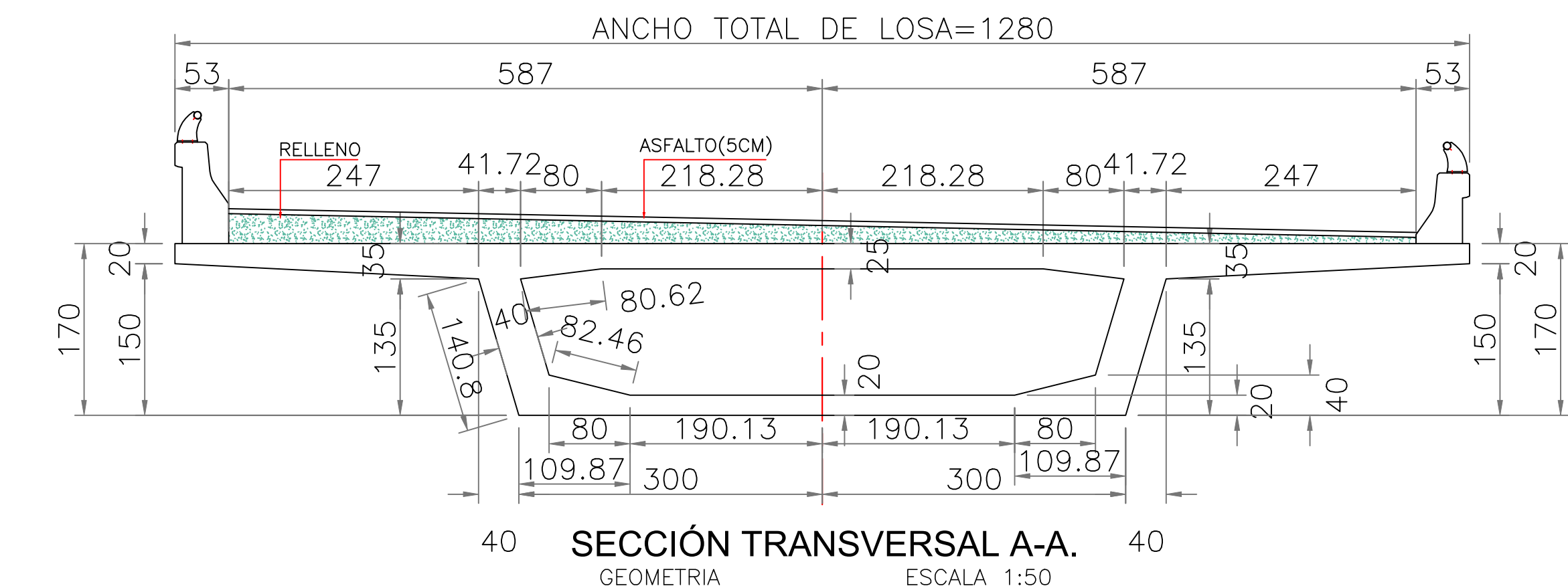
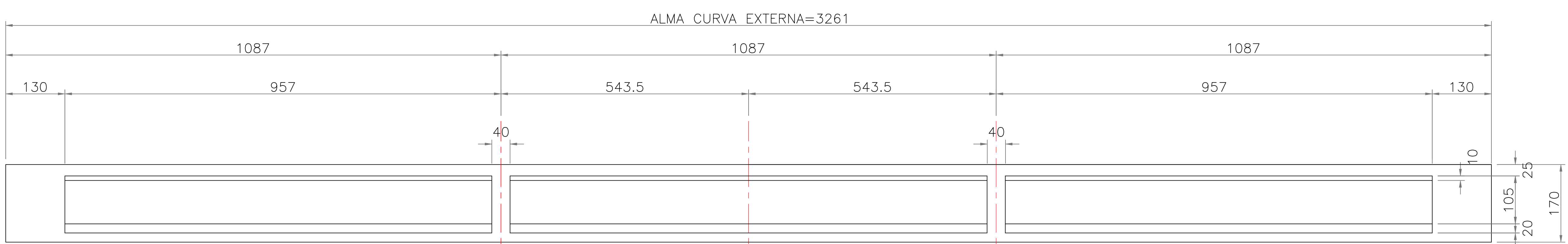
CABLE 3	X (M)	Y (M)
6-6	-15.90	0.5
5-5	-12.72	0.36
4-4	-9.54	0.24
3-3	-6.36	0.16
2-2	-3.18	0.12
1-1	0	0.1
2-2	3.18	0.15
3-3	6.36	0.29
4-4	9.54	0.53
5-5	12.72	0.87
5-5	15.90	1.3

CABLE 4	X (M)	Y (M)
6-6	-15.90	1.3
5-5	-12.72	0.9
4-4	-9.54	0.6
3-3	-6.36	0.38
2-2	-3.18	0.24
1-1	0	0.2
2-2	3.18	0.21
3-3	6.36	0.25
4-4	9.54	0.31
5-5	12.72	0.39
5-5	15.90	0.5

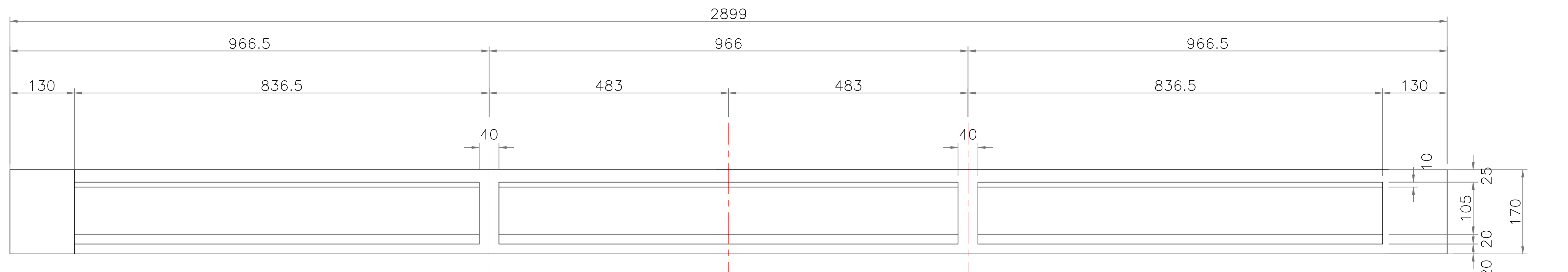
CABLE 5	X (M)	Y (M)
6-6	-15.90	0.9
5-5	-12.72	0.65
4-4	-9.54	0.45
3-3	-6.36	0.31
2-2	-3.18	0.23
1-1	0	0.2
2-2	3.18	0.23
3-3	6.36	0.31
4-4	9.54	0.45
5-5	12.72	0.65
5-5	15.90	0.9

CABLE 6	X (M)	Y (M)
6-6	-15.90	0.5
5-5	-12.72	0.39
4-4	-9.54	0.31
3-3	-6.36	0.25
2-2	-3.18	0.21
1-1	0	0.2
2-2	3.18	0.24
3-3	6.36	0.38
4-4	9.54	0.6
5-5	12.72	0.9
5-5	15.90	1.3

TRAMO DE PUENTE 2-2.



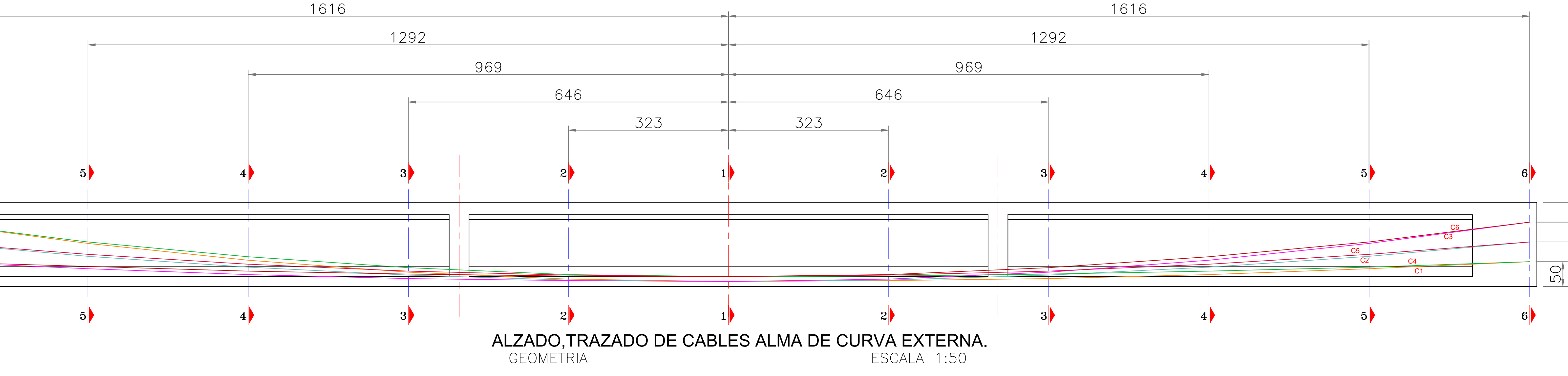
40 SECCIÓN TRANSVERSAL A-A.
GEOMETRIA ESCALA 1:50



ALZADO, ALMA DE CURVA INTERNA

GEOMETRIA

ESCALA 1:5



ALZADO, TRAZADO DE CABLES ALMA DE CURVA EXTERNA GEOMETRIA

CABLE 1	X (M)	Y (M)
6-6	-16.15	1.3
5-5	-12.92	0.87
4-4	-9.69	0.53
3-3	-6.46	0.29
2-2	-3.23	0.15
1-1	0	0.1
2-2	3.23	0.12
3-3	6.46	0.16
4-4	9.69	0.24
5-5	12.92	0.36
5-5	16.15	0.5

CABLE 2	X (M)	Y (M)
6-6	-16.15	0.9
5-5	-12.92	0.61
4-4	-9.69	0.39
3-3	-6.46	0.23
2-2	-3.23	0.13
1-1	0	0.1
2-2	3.23	0.13
3-3	6.46	0.23
4-4	9.69	0.39
5-5	12.92	0.61
5-5	16.15	0.9

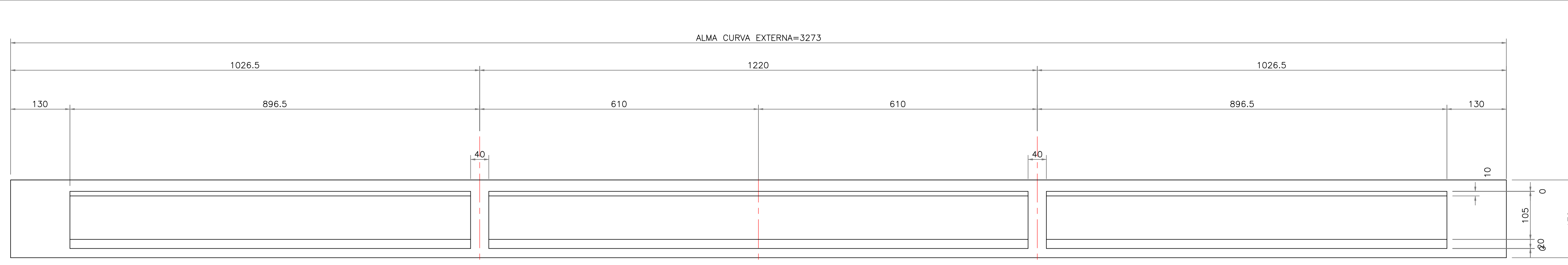
BLE 3	X (M)	Y (M)
6	-16.15	0.5
5	-12.92	0.36
4	-9.69	0.24
3	-6.46	0.16
2	-3.23	0.12
1	0	0.1
2	3.23	0.15
3	6.46	0.29
4	9.69	0.53
5	12.92	0.87
5	16.15	1.3

CABLE 4	X (M)	Y (M)
6-6	-16.15	1.3
5-5	-12.92	0.9
4-4	-9.69	0.6
3-3	-6.46	0.38
2-2	-3.23	0.24
1-1	0	0.2
2-2	3.23	0.21
3-3	6.46	0.25
4-4	9.69	0.31
5-5	12.92	0.39
5-5	16.15	0.5

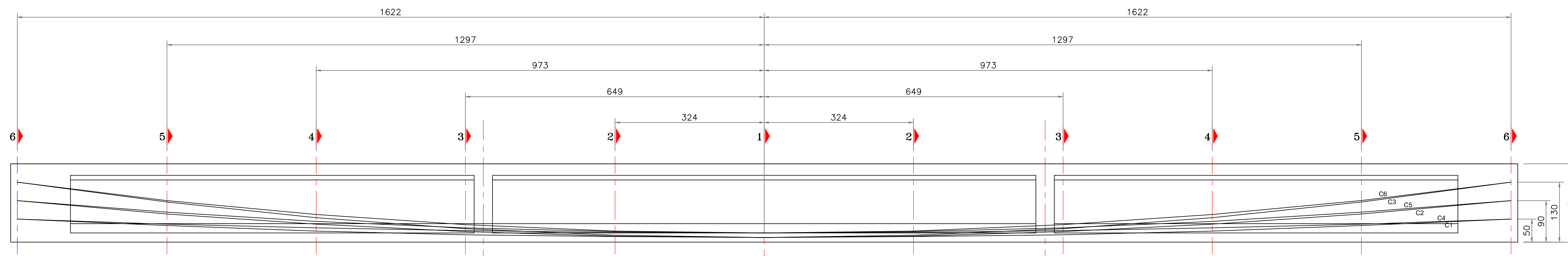
CABLE	X (M)	Y (M)
6-6	-16.15	0.9
5-5	-12.92	0.65
4-4	-9.69	0.45
3-3	-6.46	0.31
2-2	-3.23	0.23
1-1	0	0.2
2-2	3.23	0.23
3-3	6.46	0.31
4-4	9.69	0.45
5-5	12.92	0.65
5-5	16.15	0.9

BLE 6	X (M)	Y (M)
6	-16.15	0.5
5	-12.92	0.39
4	-9.69	0.31
3	-6.46	0.25
2	-3.23	0.21
1	0	0.2
2	3.23	0.24
3	6.46	0.38
4	9.69	0.6
5	12.92	0.9
5	16.15	1.3

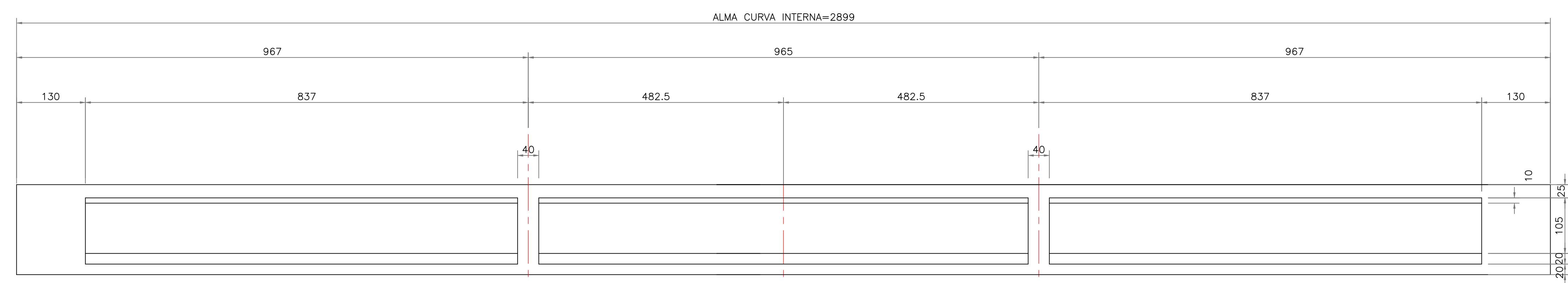
TRAMO DE PUENTE 3-3.



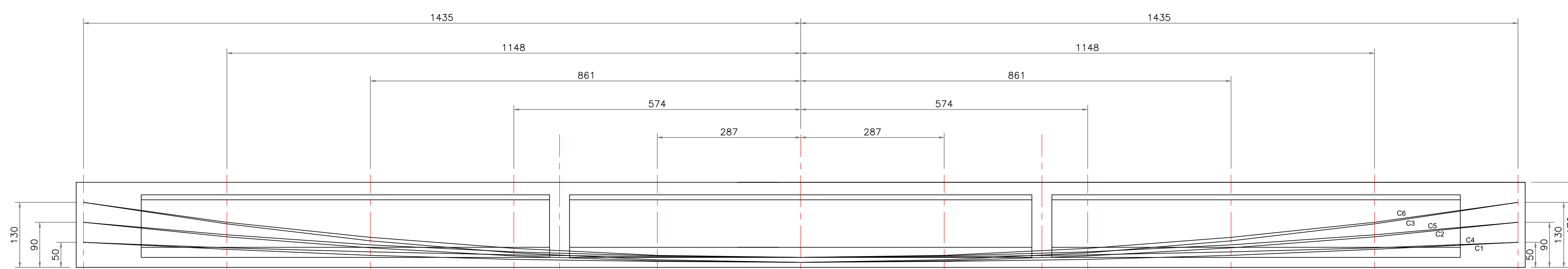
ALZADO, ALMA DE CURVA EXTERNA.
GEOMETRIA ESCALA 1:50



ALZADO, TRAZADO DE CABLES ALMA DE CURVA EXTERNA.
GEOMETRIA ESCALA 1:50



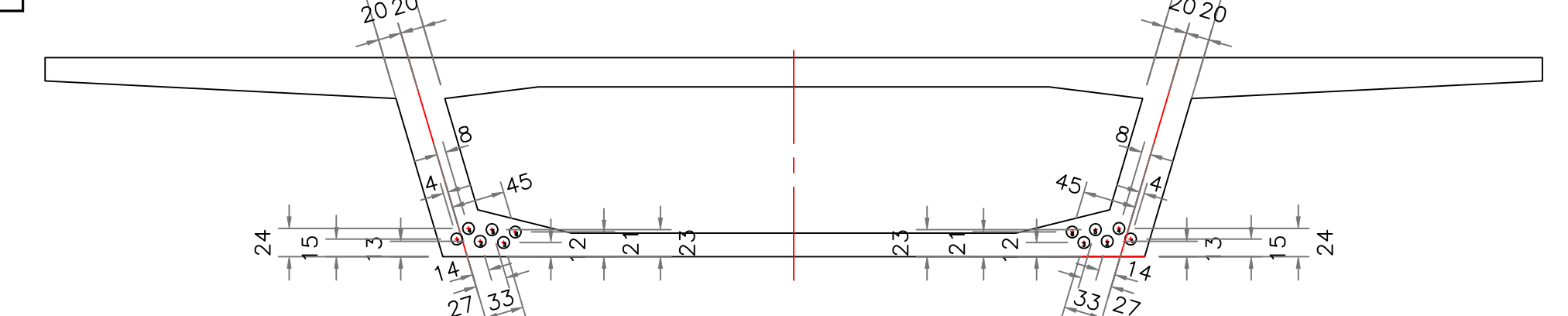
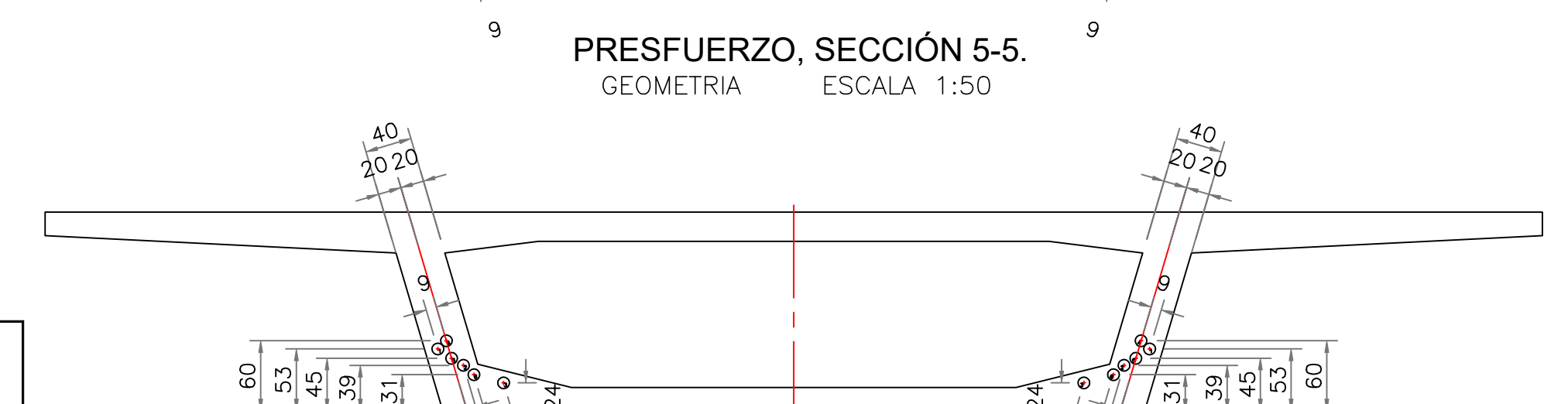
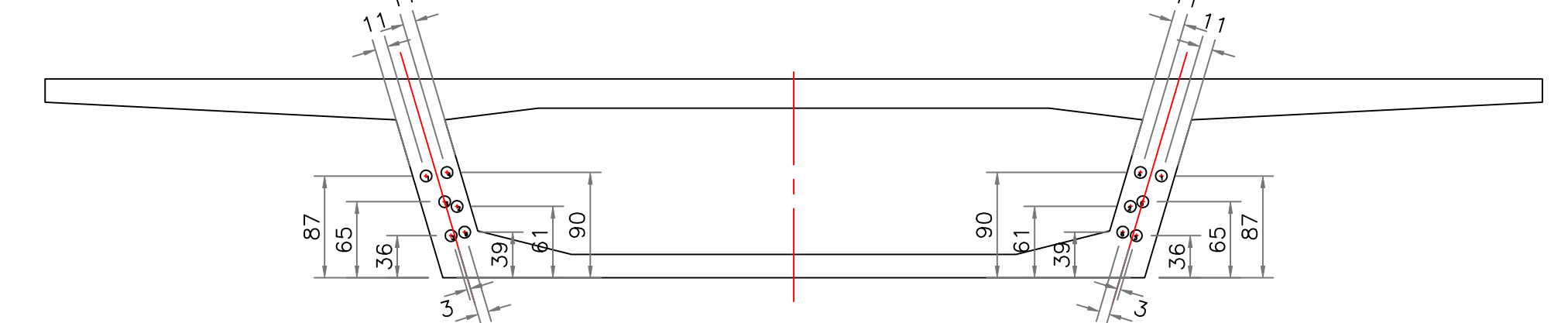
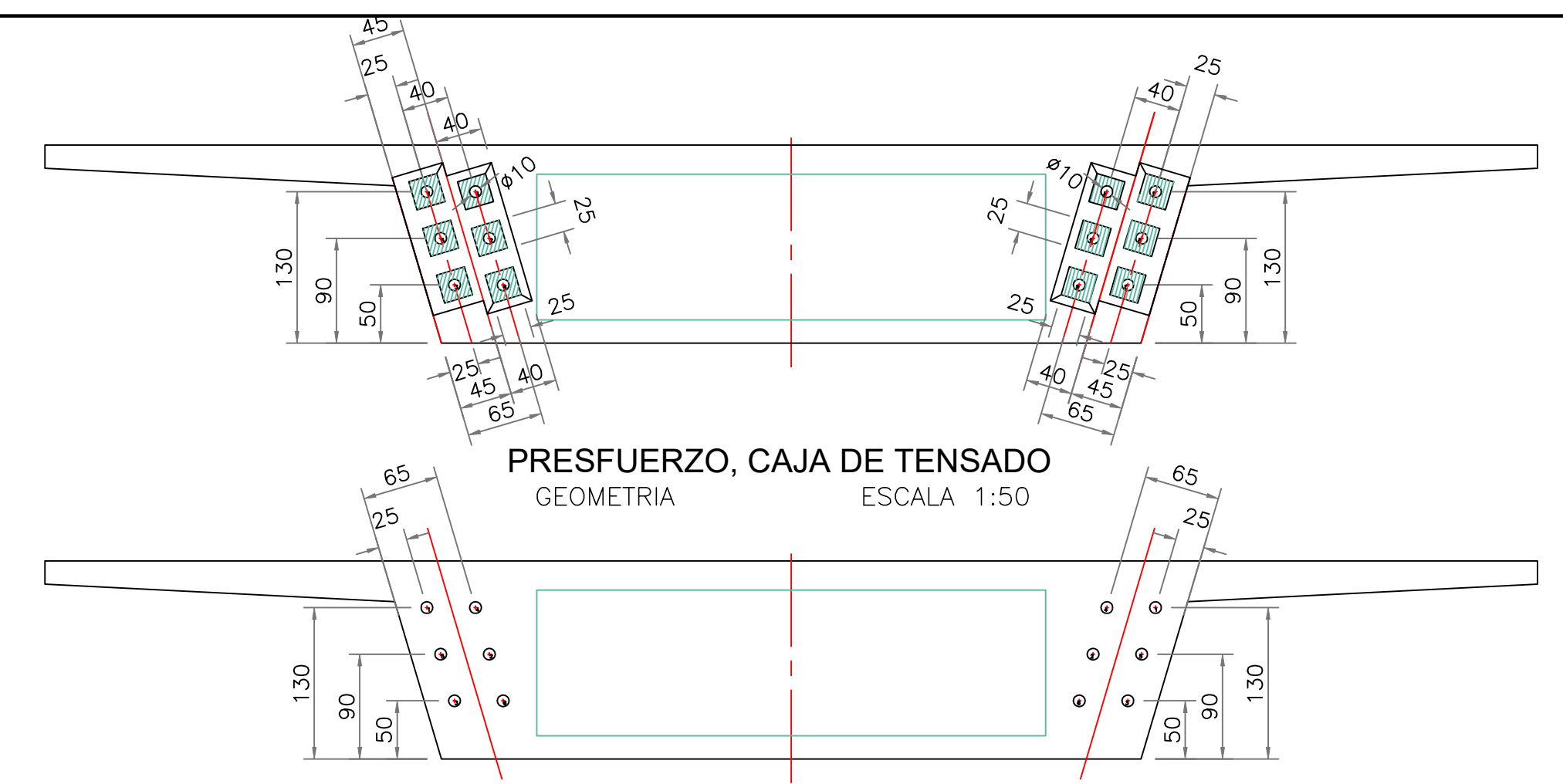
ALZADO, ALMA DE CURVA INTERNA.
GEOMETRIA ESCALA 1:50

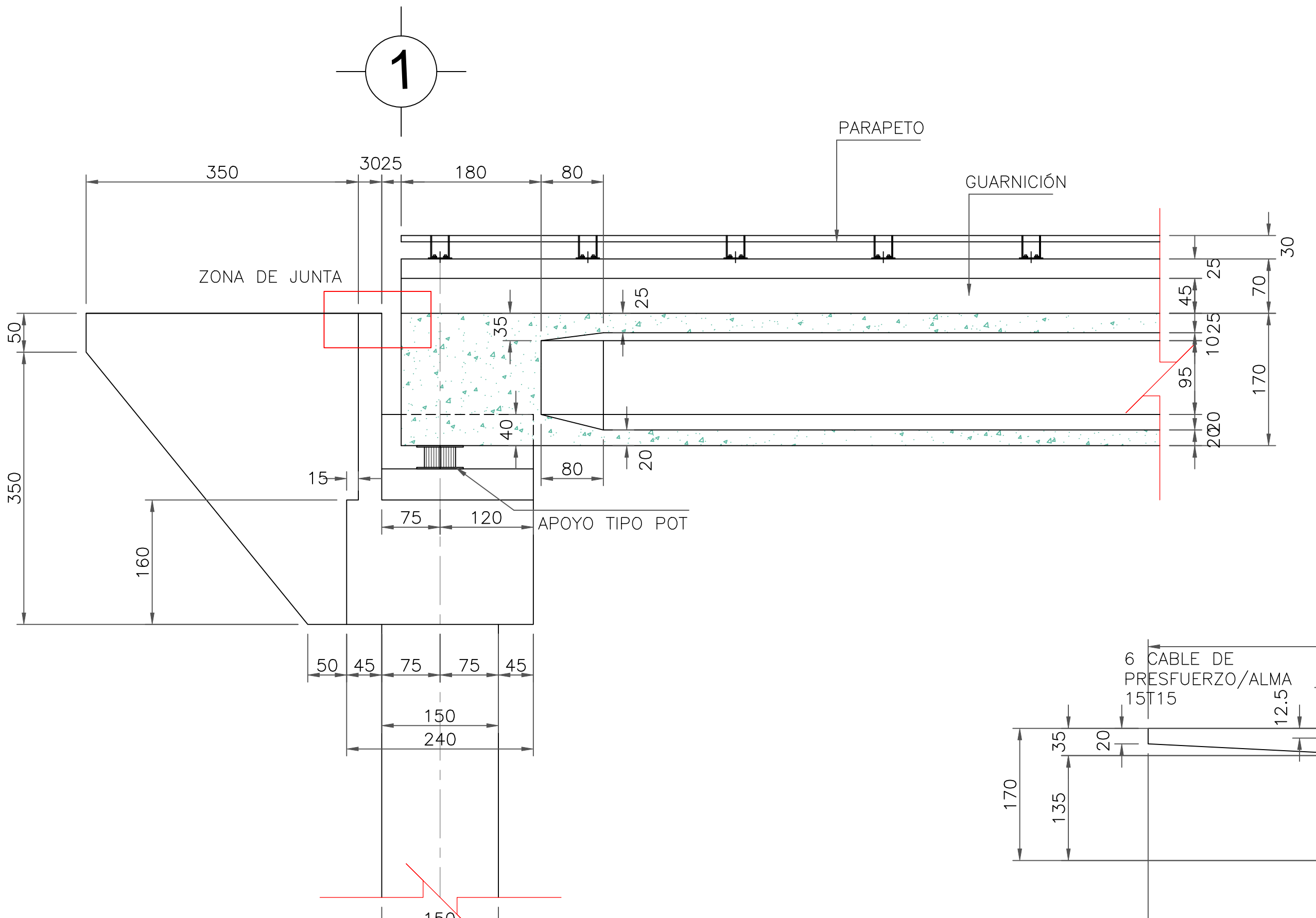


ALZADO, ALMA DE CURVA INTERNA.
GEOMETRIA ESCALA 1:50

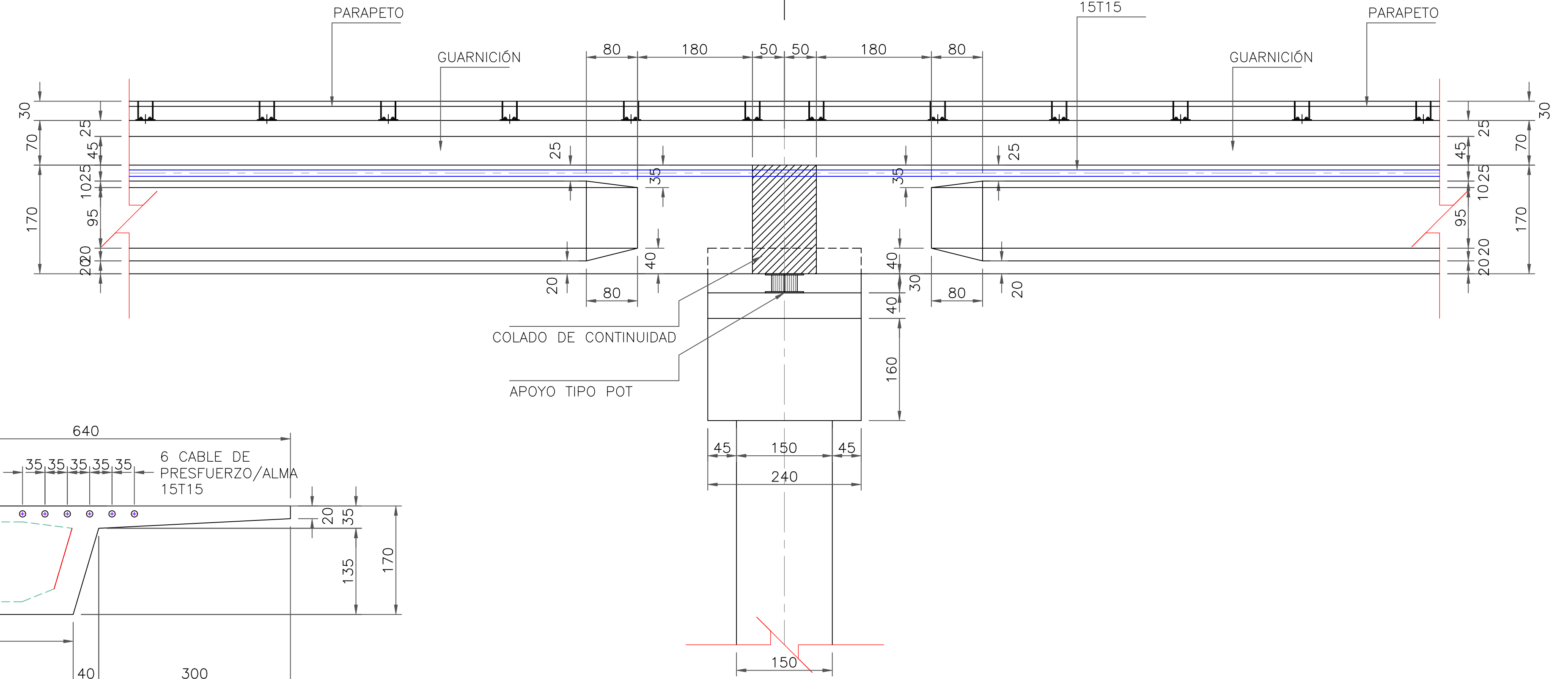
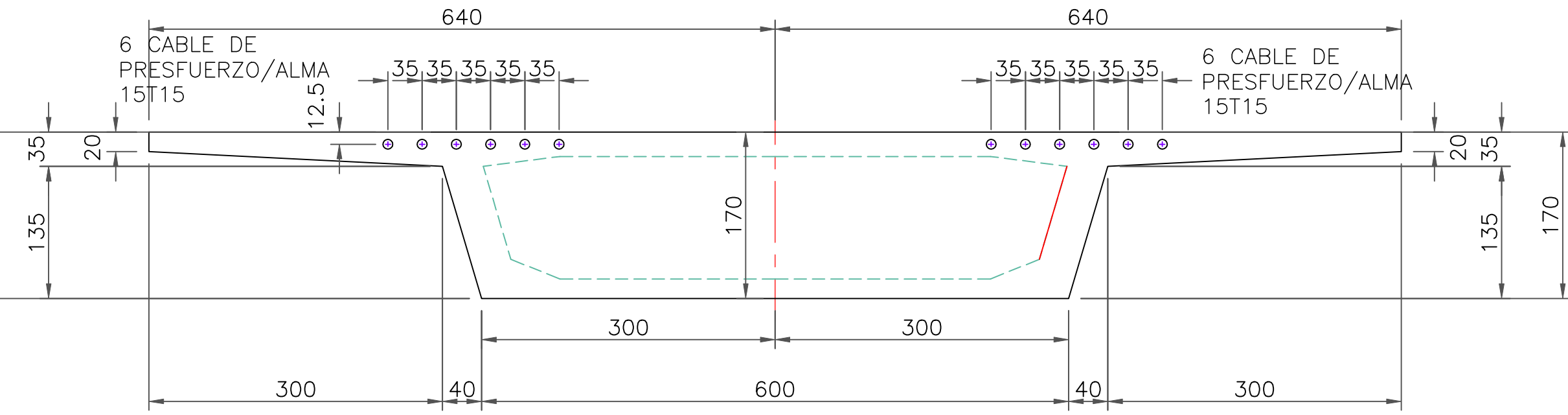
RESUMEN DE MATERIALES
ALMA DE CURVA EXTERNA

1-ACERO DE PRESFUERZO	
TORON DE 15MM	
Frg=189.2 KG/CM2 BAJA RELAJACIÓN	
En cable C1 (15T15), L=32.43m	536 kg
En cable C2 (15T15), L=32.43m	536 kg
En cable C3 (15T15), L=32.43m	536 kg
En cable C4 (15T15), L=32.43m	536 kg
En cable C5 (15T15), L=32.43m	536 kg
En cable C6 (15T15), L=32.43m	536 kg
Total = 321.6kg	
2- DUCTO ENGARGOLADO DE 4 INCH(10 CM)	
En 6 cables (15T15), L=32.43m	194.6 ml
3- INYECCIÓN DE LECHADA CEMENTO-ARENA-ADITIVO	
En 6 cables (15T15), L=32.43m	1012.7 dm ³
4- ANCLAJES PARA CABLES 15T15	
Anclajes activos 15T15	12 pzs.
5- MORTERO EPOXICO	
En cajas de tensado (sellos)	313.7 dm ³



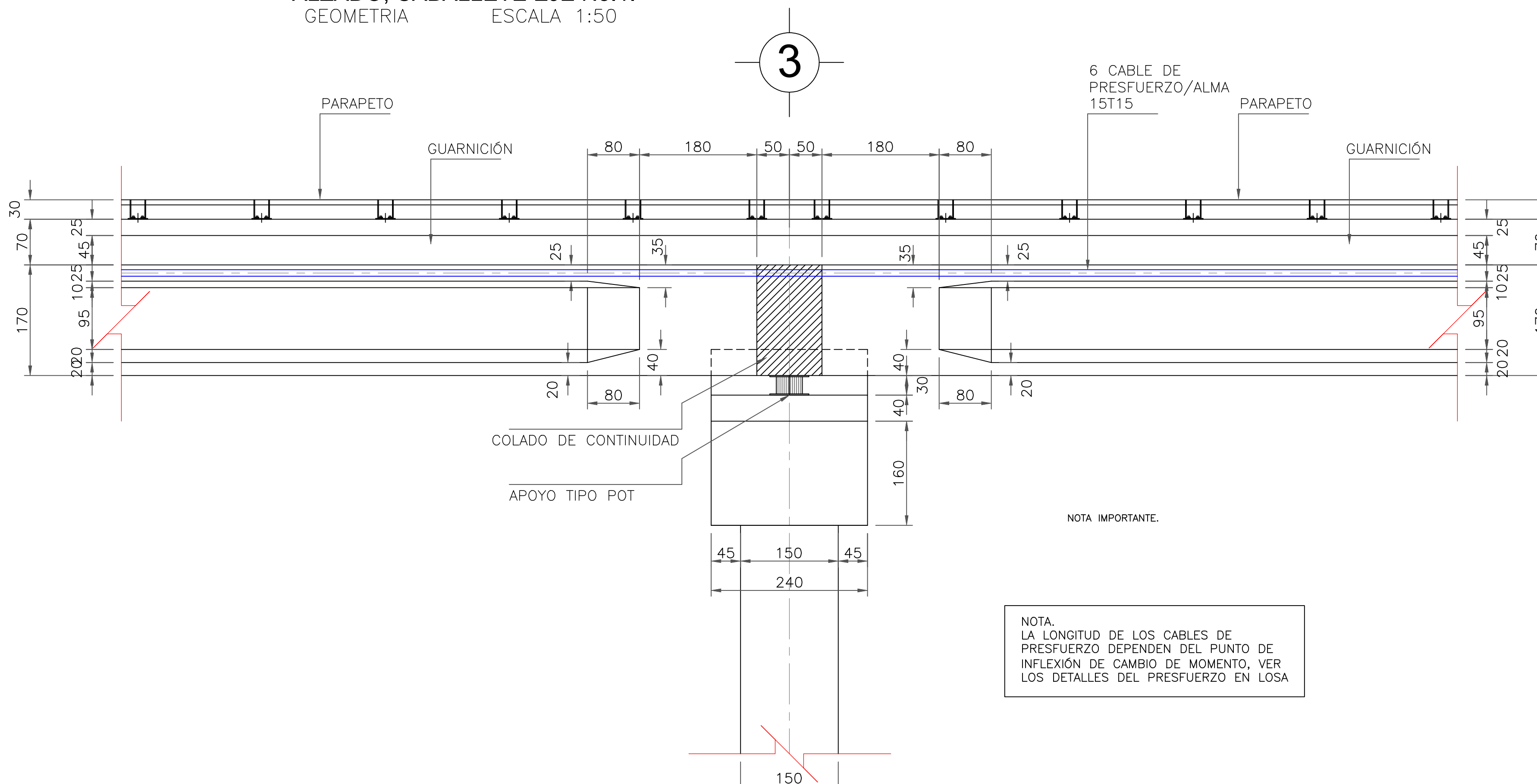


ALZADO, CABALLETE EJE No.1.
GEOMETRIA ESCALA 1:50



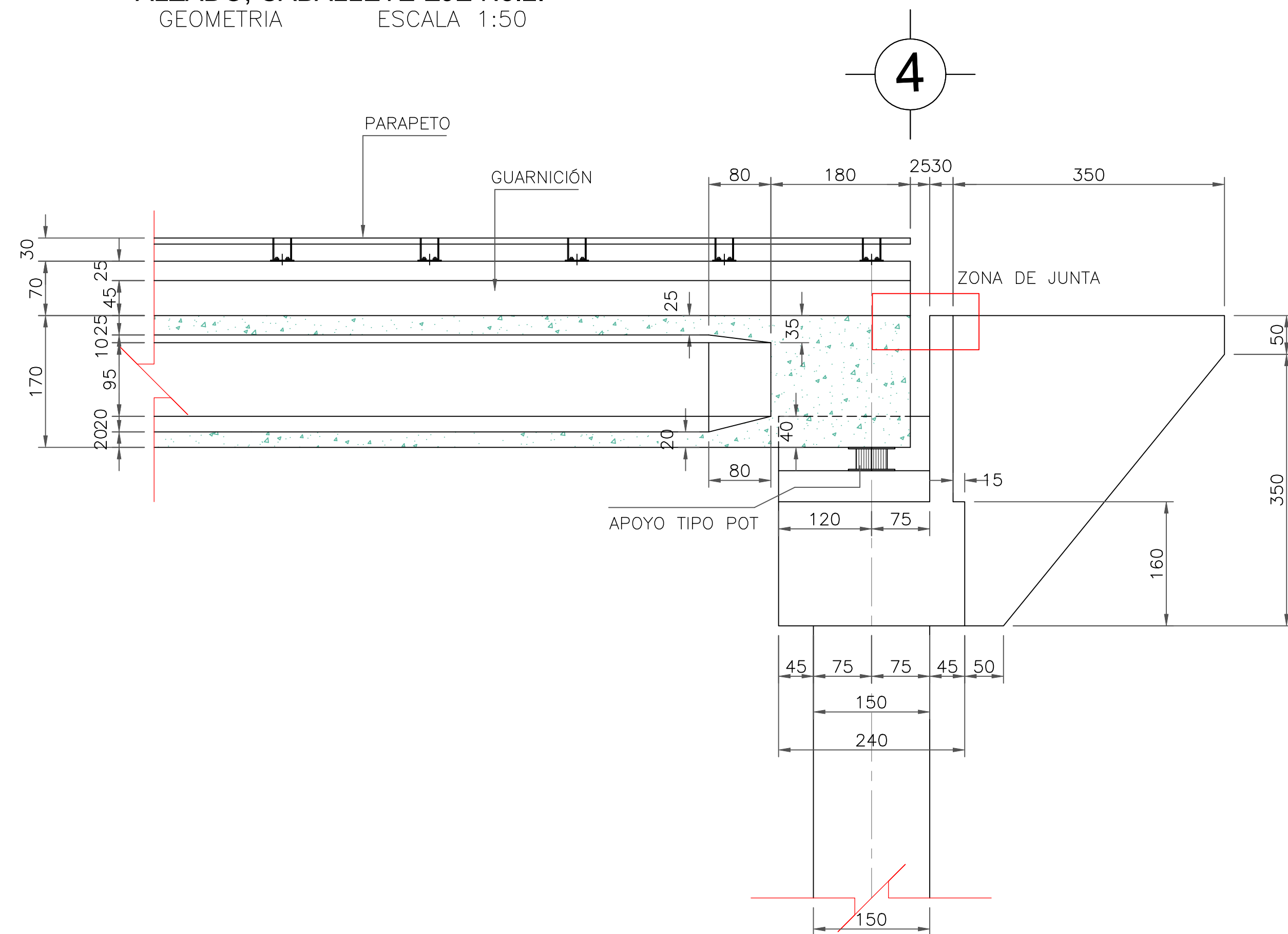
ALZADO, CABALLETE EJE No.2.

GEOMETRIA **ESCALA 1:50**



ALZADO, CABALLETE EJE No.3.

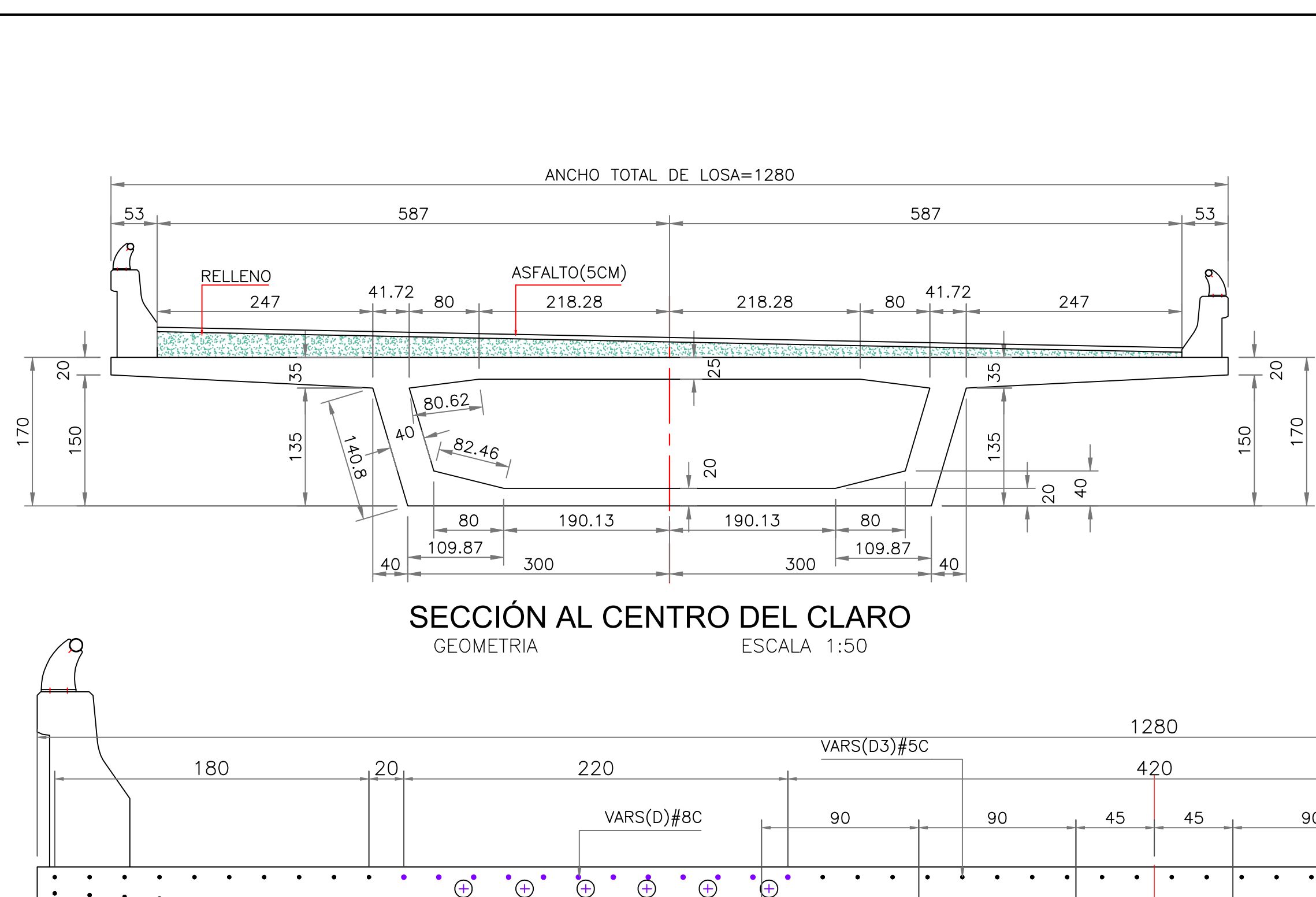
GEOMETRIA **ESCALA 1:50**



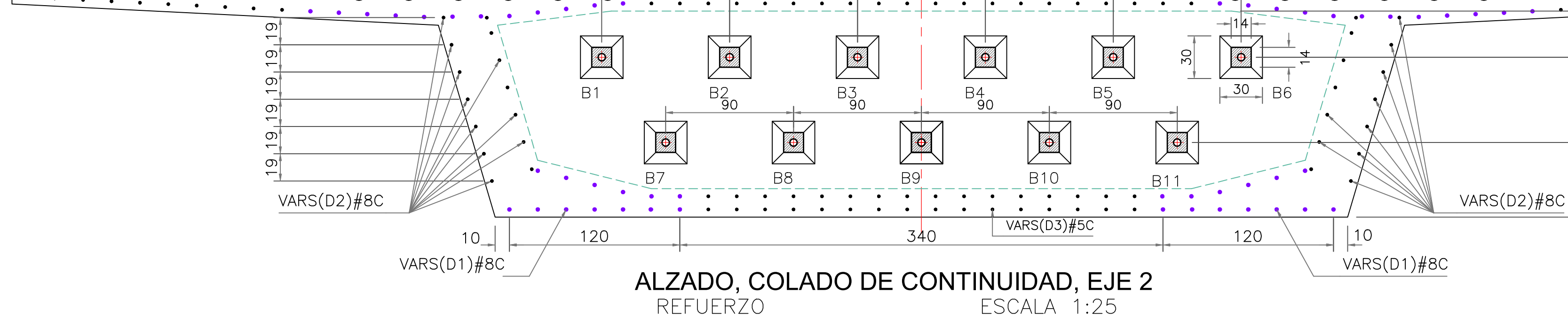
ALZADO, CABALLETE EJE No.4.

GEOMETRIA **ESCALA 1:50**

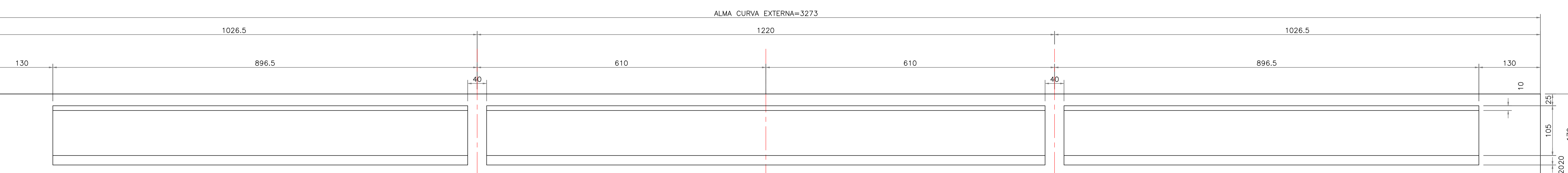
DETALLES GEOMETRICOS DE CONTINUIDAD



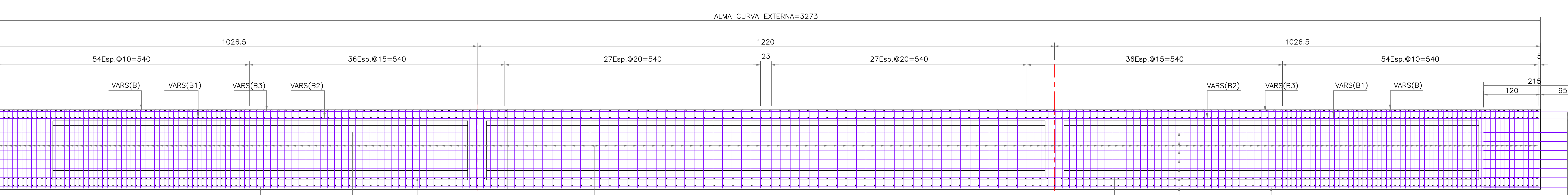
SECCIÓN AL CENTRO DEL CLARO
GEOMETRÍA
ESCALA 1:50



ALZADO, COLADO DE CONTINUIDAD, EJE 2
REFUERZO
ESCALA 1:25

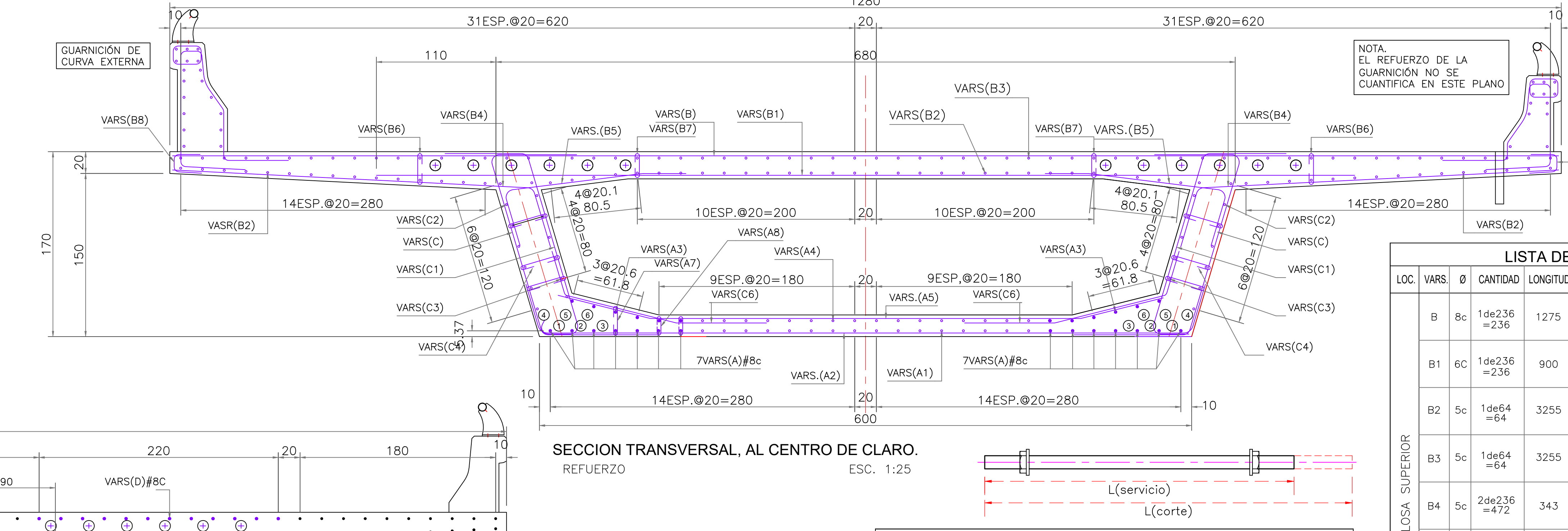


ALZADO, ALMA DE CURVA EXTERNA.
GEOMETRÍA
ESCALA 1:40



ALZADO, ALMA DE CURVA EXTERNA.
REFUERZO
ESCALA 1:40

PRESFUERZO EN COLADO DE CONTINUIDAD EN CURVA EXTERNA, TRAMO 1-2



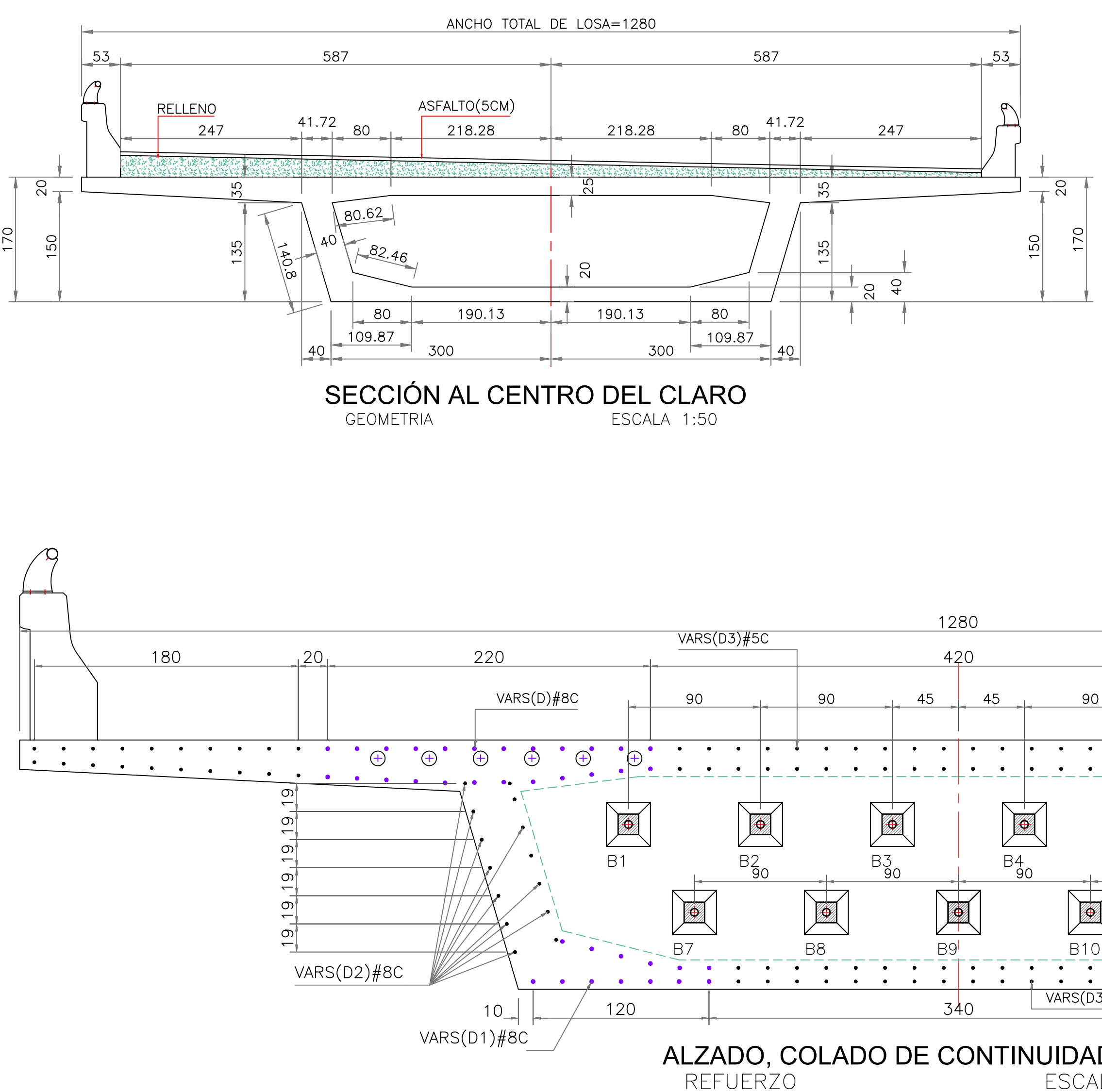
RESUMEN DE MATERIALES							
CONCEPTO							
1. CONCRETO $f'_c=450 \text{ kg/cm}^2$							12.7 m ³
En bloque de continuidad							
2. ACERO DE REFUERZO $fy = 4200 \text{ kg/cm}^2$							1002 kg
En varillas de continuidad							
3. ACERO DE PRESFUERZO $fr_g = 105 \text{ KG/MM}^2$							
Barras de presfuerzo de 36 mm de diámetro.							
4. INYECCIÓN DE LECHADA							
En ductos para parras de presfuerzo							
5. ANCLAJES VIVOS							
Para barras de presfuerzo de 36mm							
6. MORTERO EPOXICO							
En cajas de tensado							
TOTAL=418 kg							

TABLA DE PRESFUERZO (1 EJE DE CABALLETE)										
BLOQUE	BARRA	ϕ	frg (kg/mm ²)	Fo(ton)	Alarg. (mm)	L (CM) SERVICIO	L (CM) CORTE	FORMA DE TENSADO BARRA	TENSADO POR	W(kg)
B1	36	105	74.8	14.4	330	450	1*	UN LADO		38
B2	36	105	74.8	14.4	330	450	2*	UN LADO		38
B3	32	105	74.8	14.4	330	450	3*	UN LADO		38
B4	32	105	74.8	14.4	330	450	4*	UN LADO		38
B4	32	105	74.8	14.4	330	450	5*	UN LADO		38
B4	32	105	74.8	14.4	330	450	6*	UN LADO		38
B4	32	105	74.8	14.4	330	450	7*	UN LADO		38
B4	32	105	74.8	14.4	330	450	8*	UN LADO		38
B4	32	105	74.8	14.4	330	450	9*	UN LADO		38
B4	32	105	74.8	14.4	330	450	10*	UN LADO		38
B4	32	105	74.8	14.4	330	450	11*	UN LADO		38
TOTAL ACERO fy=4200 = 29982 Kg										

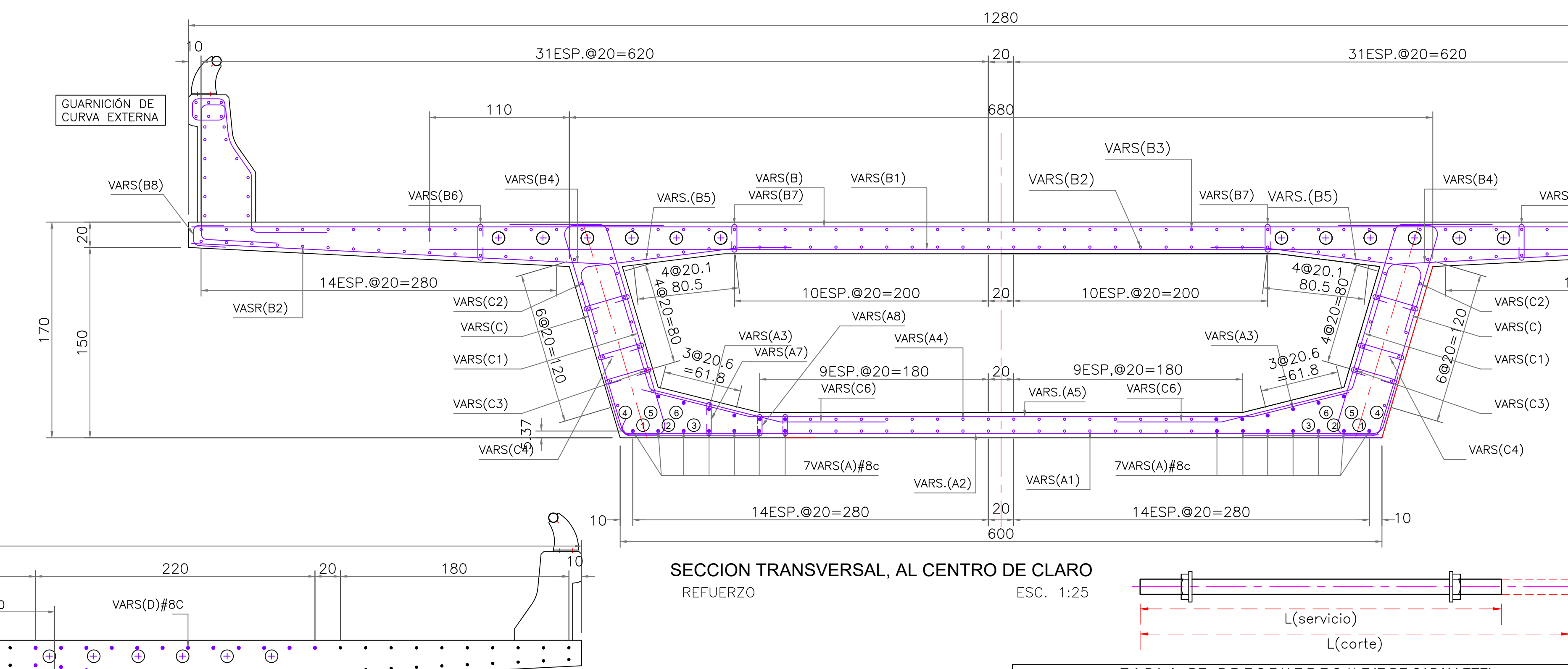
LISTA DE VARILLAS										
LOC.	VARS.	ϕ	CANTIDAD	LONGITUD	CROQUIS	a	b	c	d	PESO
B	8c	1de236 =236	1275							12036
B1	6c	1de236 =236	900							4779
B2	5c	1de64 =64	3255							3250
B3	5c	1de64 =64	3255							3250
B4	5c	2de236 =472	328	50	9.5					2526
B5	6c	2de236 =472	120	50	11	100				3101
B6	4c	2de236 =472	25	10	14					345
B7	4c	2de236 =472	18	10	14					312
B8	4c	2de236 =472	7	30	7					383
TOTAL ACERO fy=4200 = 29982 Kg										

LISTA DE VARILLAS										
LOC.	VARS.	ϕ	CANTIDAD	LONGITUD	CROQUIS	a	b	c	d	PESO
C	5c	2de236 =472	421							3100
C1	5c	2de236 =472	339							2938
C2	6c	2de6 =12	3255							879
C3	6c	2de6 =12	3255							879
C4	5c	6de236 =1416	33	14	10					1789
TOTAL ACERO fy=4200 = 9585Kg										

LISTA DE VARILLAS											
CONTINUIDAD	LOC.	VARS.	ϕ	CANTIDAD	LONGITUD	CROQUIS	a	b	c	d	PESO
	D	8c	2de24 =48	220							422
	D1	5c	2de13 =26	220							229
	D2	6c	2de14 =28	200							126
	D3	5c	2de36 =72	200							225
TOTAL ACERO fy=4200 = 1002Kg											



ALZADO, COLADO DE CONTINUIDAD, EJE 2
REFUERZO ESCALA 1:25

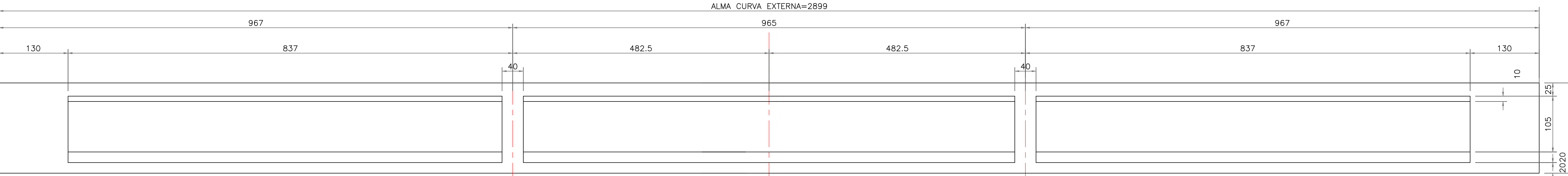


SECCION TRANSVERSAL, AL CENTRO DE CLARO
RFFUER70 ESC. 1:25

RESUMEN DE MATERIALES			
CONCEPTO			
1. CONCRETO $f'c=450$ kg/cm ²			
En bloque de continuidad		12.7	m ³
2. ACERO DE REFUERZO $fy =4200$ kg/cm ²			
En varillas de continuidad		1002	kg
3. ACERO DE PRESFUERZO $frg = 105$ KG/MM ²			
Barras de presfuerzo de 36 mm de diametro.		418	kg
4. INYECCION DE LECHADA			
En ductos para parras de presfuerzo		37.4	lts.
5. ANCLAJES VIVOS			
Para barras de presfuerzo de 36mm		22	pza
6. MORTERO EPOXICO			
En cajas de tensado		180.8	lts

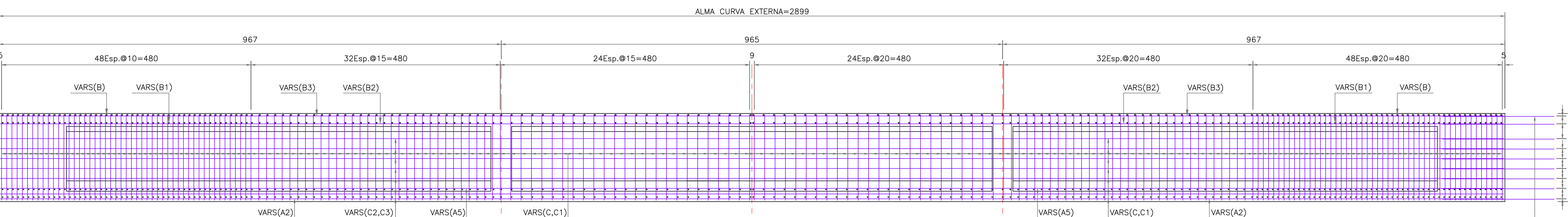
TABLA DE PRESFUEZO (1 EJE DE CABALLETE)										
BLOQUE	BARRA	Ø	frg. (Kg/mm ²)	F _o (ton)	Alarg. (mm)	L (CM.) SERVICIO	L (CM.) CORTE	FORMA DE TENSADO		W(Kg)
								BARRA	TENSADO POR	
	B1	36	105	74.8	14.4	330	450	1°	UN LADO	38
	B2	36	105	74.8	14.4	330	450	2°	UN LADO	38
	B3	32	105	74.8	14.4	330	450	3°	UN LADO	38
	B4	32	105	74.8	14.4	330	450	4°	UN LADO	38
	B4	32	105	74.8	14.4	330	450	5°	UN LADO	38
	B4	32	105	74.8	14.4	330	450	6°	UN LADO	38
	B4	32	105	74.8	14.4	330	450	7°	UN LADO	38
	B4	32	105	74.8	14.4	330	450	8°	UN LADO	38
	B4	32	105	74.8	14.4	330	450	9°	UN LADO	38
	B4	32	105	74.8	14.4	330	450	10°	UN LADO	38
	B4	32	105	74.8	14.4	330	450	11°	UN LADO	38

ALMA CURVA EXTERNA=2899



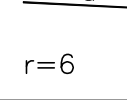
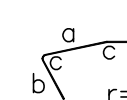
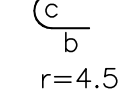
ALZADO, ALMA DE CURVA INTERNA

GEOMETRIA ESCALA 1:400



**ALZADO, ALMA DE CURVA INTERN
REFUERZO** ESCALA 1:4

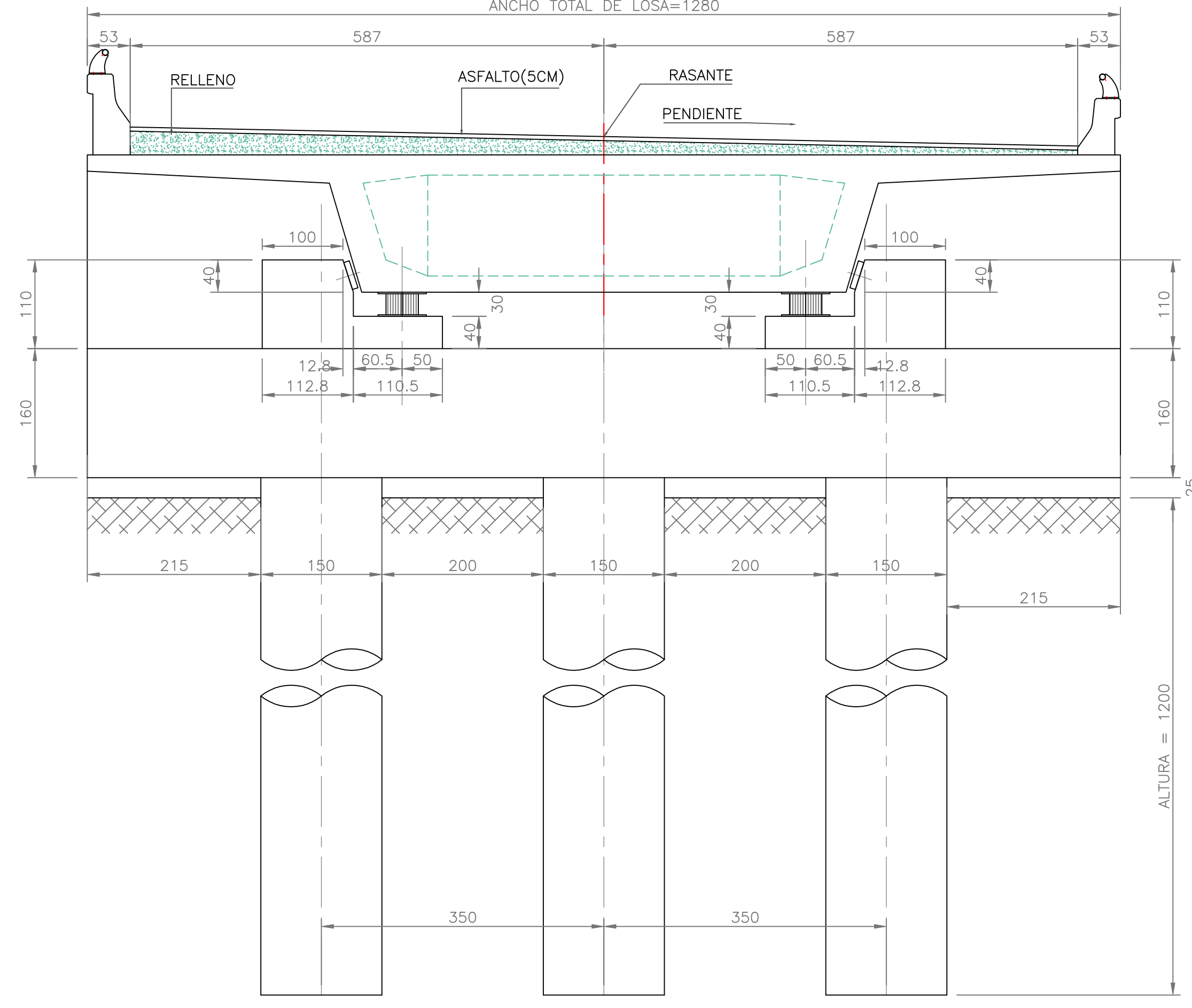
PRESFUERZO EN COLADO DE CONTINUIDAD EN CURVA INTERNA. TRAMO 1-2

LISTA DE VARILLAS										
LOC.	VARS.	\emptyset	CANTIDAD	LONGITUD	CROQUIS	a	b	c d		PESO
LOSA SUPERIOR	B	8c	$1 \text{ de } 210 = 210$	1275		1275	-	$\begin{matrix} - \\ \diagup \\ - \end{matrix}$		10710
	B1	6c	$1 \text{ de } 210 = 210$	900		900	-	$\begin{matrix} - \\ \diagup \\ - \end{matrix}$		4253
	B2	5c	$1 \text{ de } 64 = 64$	2762		2762	-	$\begin{matrix} - \\ \diagup \\ - \end{matrix}$		2758
	B3	5c	$1 \text{ de } 64 = 64$	2762		2762	-	$\begin{matrix} - \\ \diagup \\ - \end{matrix}$		2758
	B4	5c	$2 \text{ de } 210 = 420$	343		328	50	$\begin{matrix} 9.5 \\ \diagup \\ - \end{matrix}$		2248
	B5	6c	$2 \text{ de } 210 = 420$	292		120	50	$\begin{matrix} 11 \\ \diagup \\ 100 \end{matrix}$		2759
	B6	4c	$2 \text{ de } 210 = 420$	73		25	10	$\begin{matrix} 14 \\ \diagup \\ - \end{matrix}$		307
	B7	4c	$2 \text{ de } 210 = 420$	66		18	10	$\begin{matrix} 14 \\ \diagup \\ - \end{matrix}$		277
	B8	4c	$2 \text{ de } 210 = 420$	81		7	30	$\begin{matrix} 7 \\ \diagup \\ - \end{matrix}$		340

LISTA DE VARILLAS

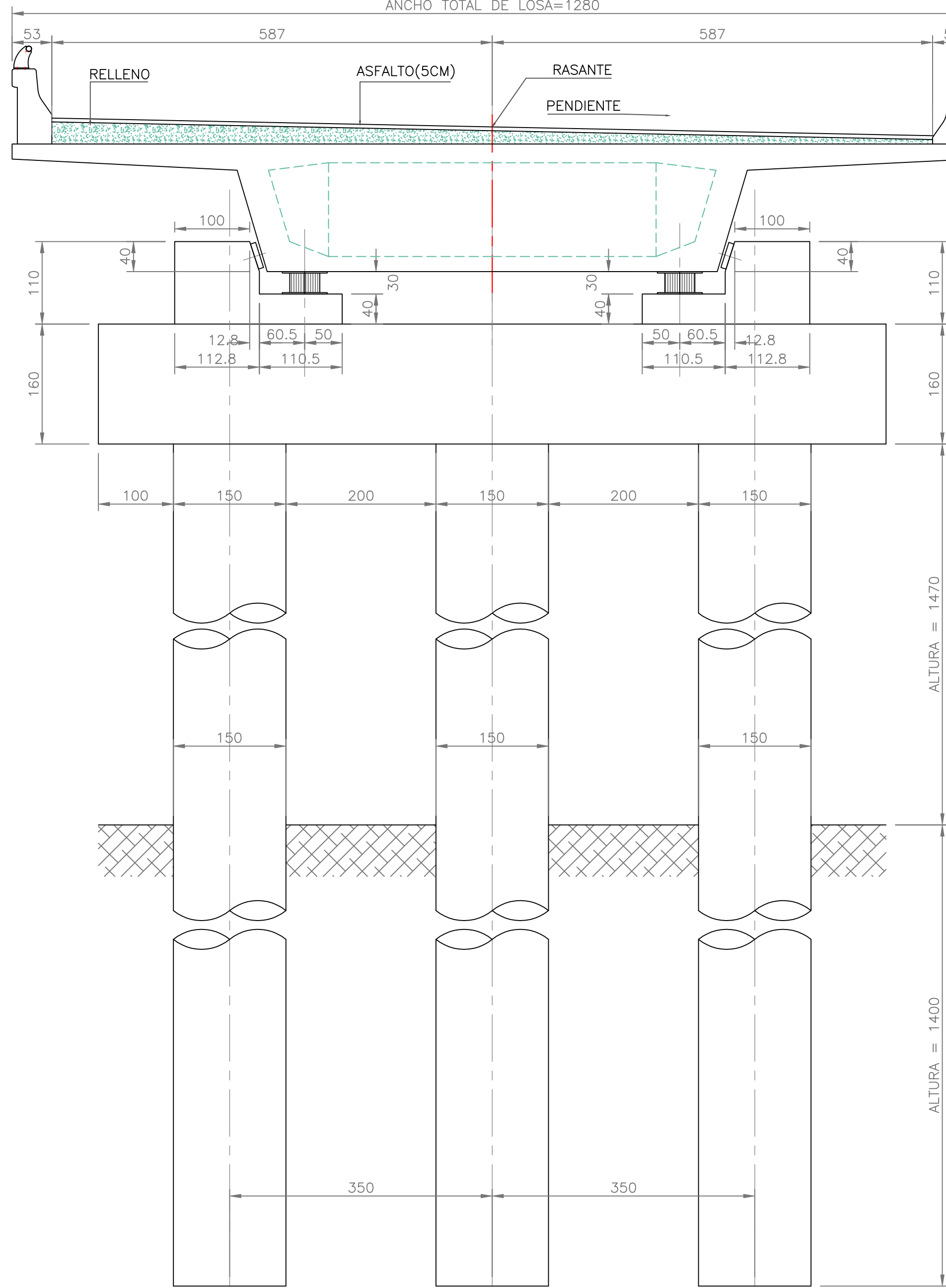
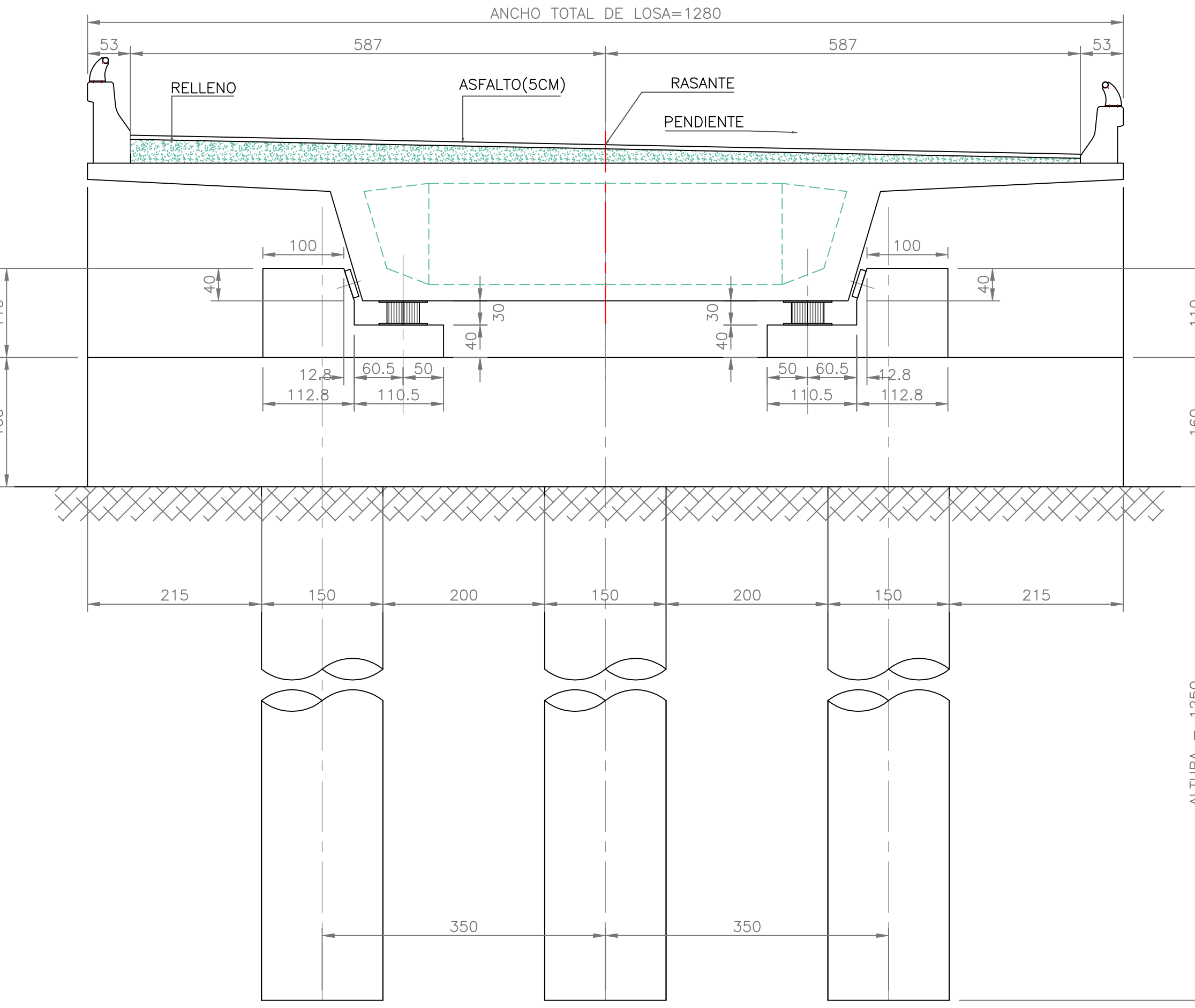
LISTA DE VARILLAS

LISTA DE VARILLAS									
LOC.	VARS.	Ø	CANTIDAD	LONGITUD	CROQUIS	a	b	c d	PESO
CONTINUIDAD	D	8c	2de24 =48	220		220	-	- -	422
	D1	5c	2de13 =26	220		220	-	- -	229
	D2	6c	2de14 =28	200		200	-	- -	126
	D3	5c	2de36 =72	200		200	-	- -	225
					TOTAL	ACERO	f _y =4200	= 1002Kg	



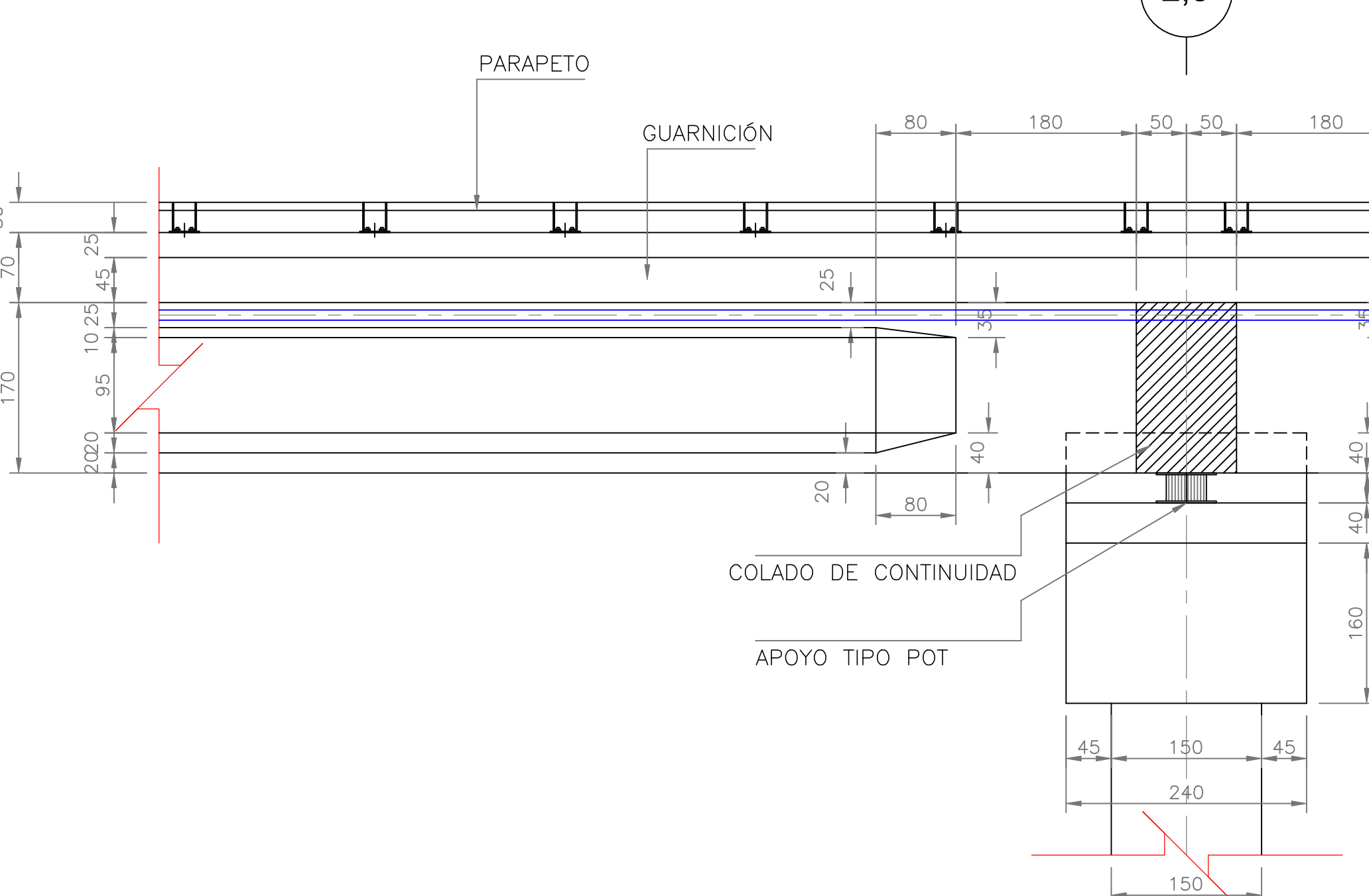
ALZADO, CABALLETE EJE No.1.

GEOMETRIA **ESCALA 1:50**



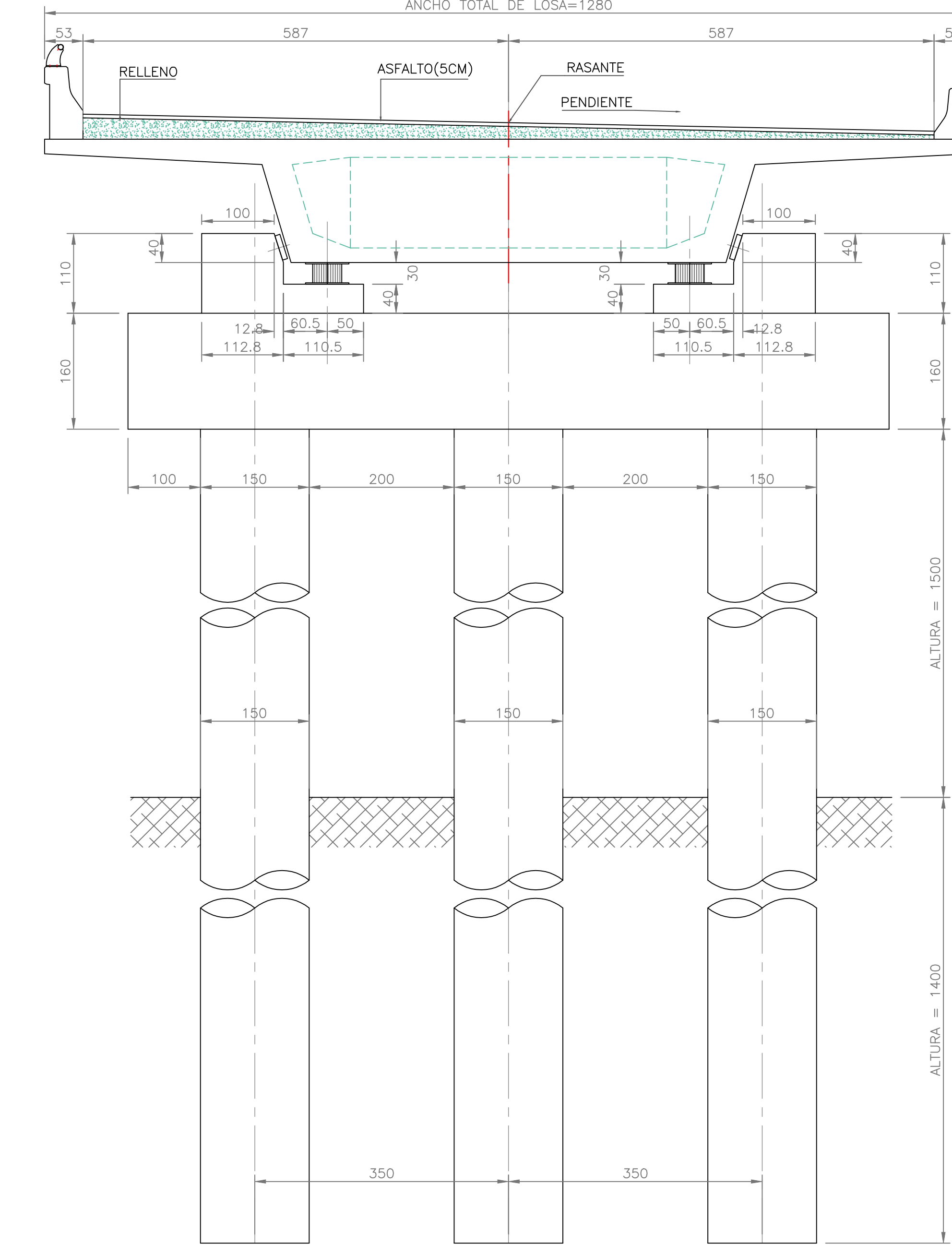
ALZADO, CABALLETE EJE No.2.

GEOMETRIA **ESCALA 1:50**



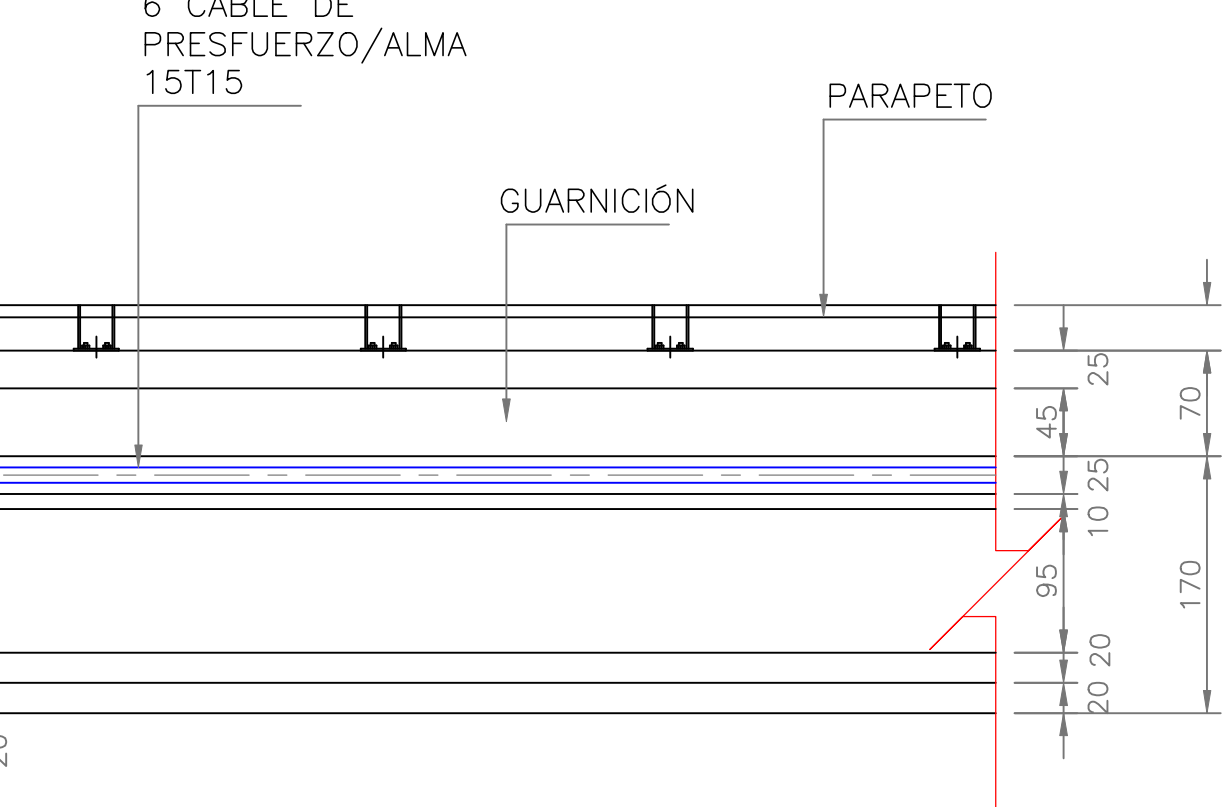
ALZADO TIPO, CABALLETE 2,3.

GEOMETRIA **ESCALA 1:50**

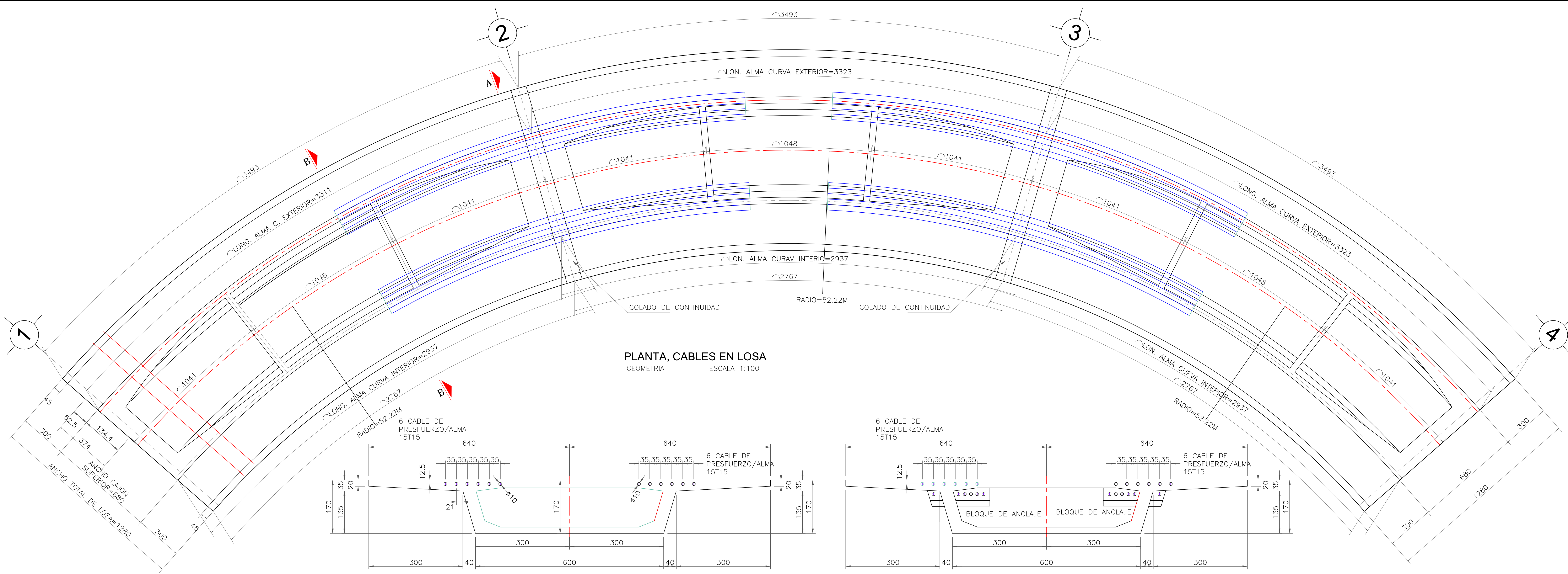


ALZADO, CABALLETE EJE No.3.

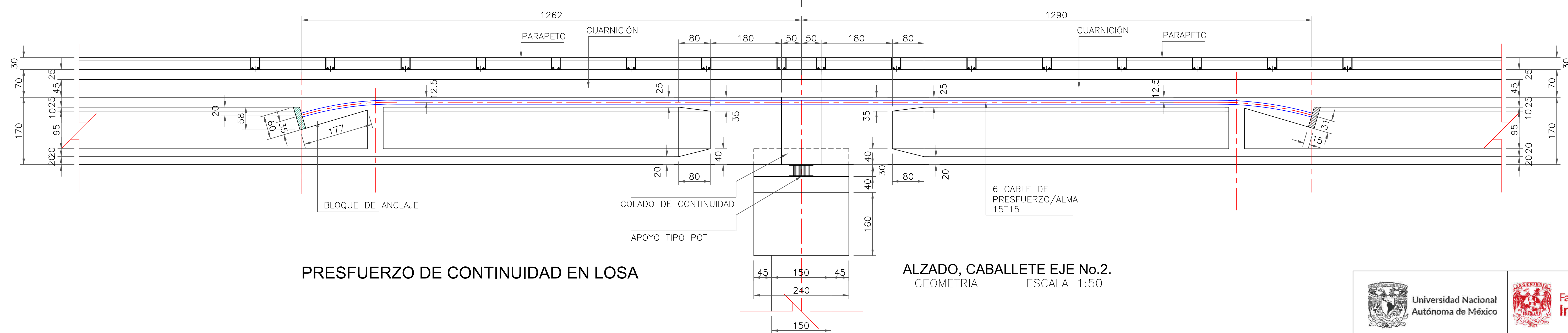
GEOMETRIA **ESCALA 1:50**

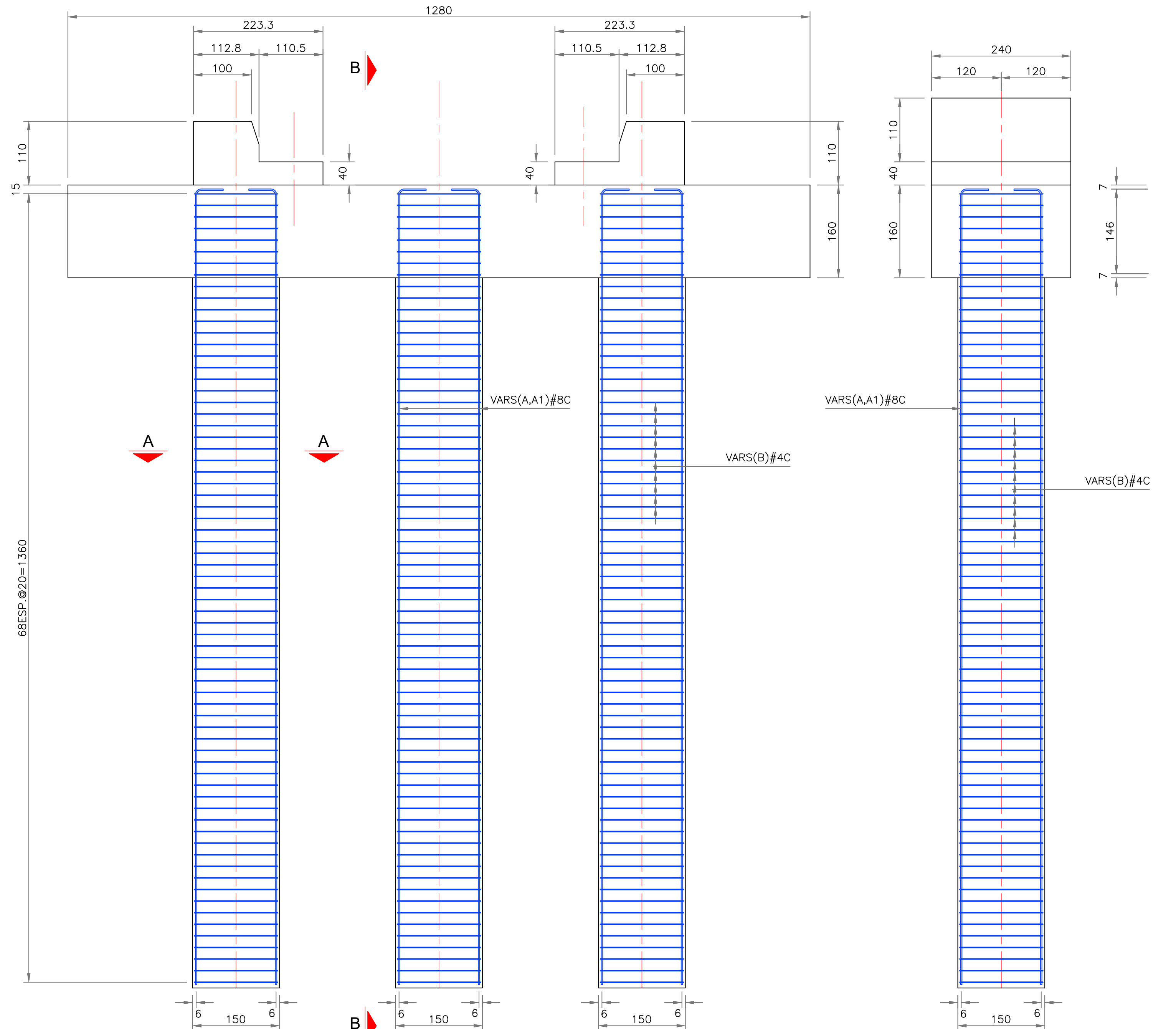


GEOMETRIA DE CABALLETES



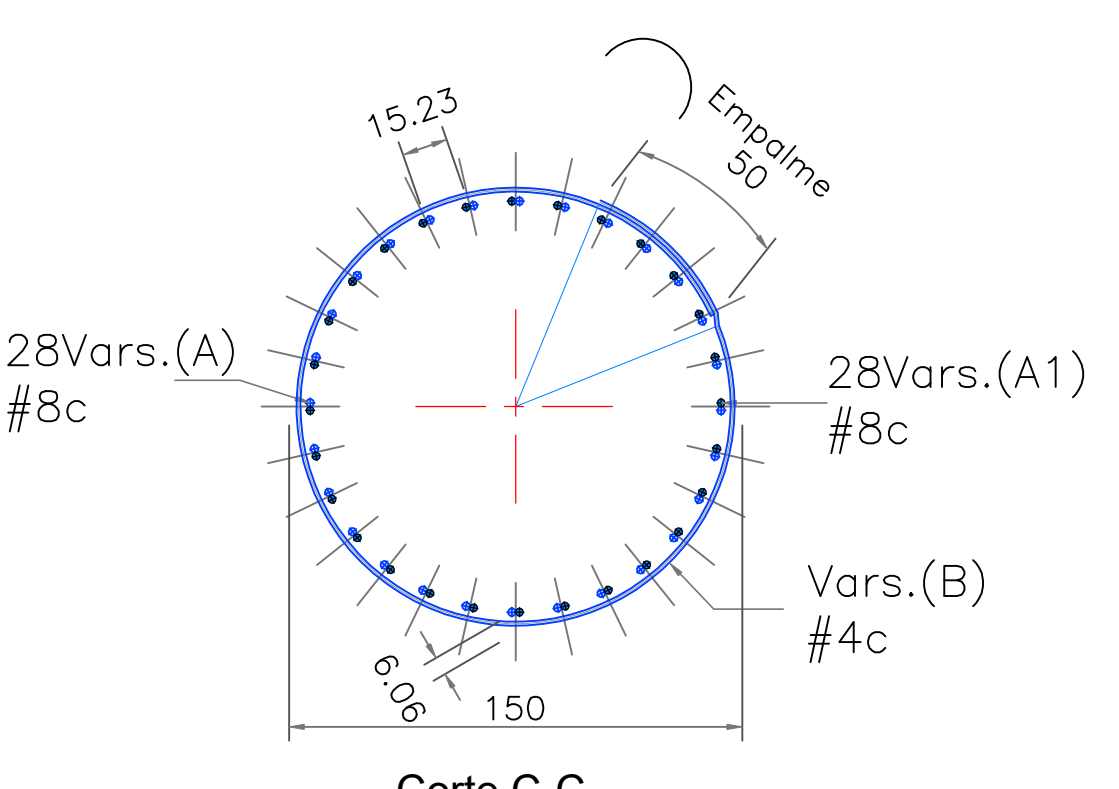
CABLES EN LOSA, CORTE A-



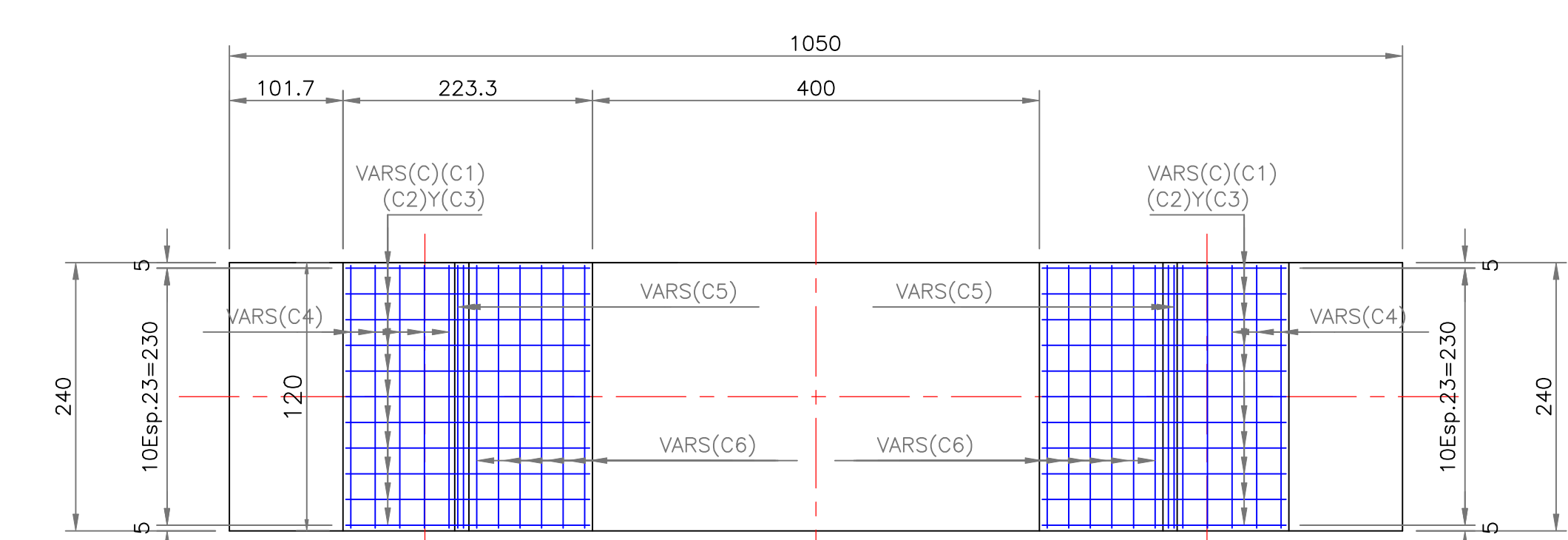


ALZADO, CABALLETE EJE No.1,4.

REFUERZO ESCALA 1:50



PILA, CORTE B-B. GEOMETRIA ESCALA 1:50



PLANTA DE CABEZALREFUERZO EN BANCOS

REFUERZO

ESCALA 1:50

ALZADO, REFUERZO EN CABEZAL

REFUERZO ESCALA 1:50

PLANTA DE CABEZAL REFUERZO

ANCHO DE CABEZAL=1280

62 ESP. @ 20 = 1240

2)

VARS(B)

C

52ESP. @ 20 = 1040

VARS(B1)

C

5

15 5

VARS(B3)
(B4)Y(B5)

4@15
= 60

1313

7

240

10Esp. @ 22.2 = 222

9 9

110

40

160

7

VARS

VARS

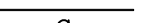
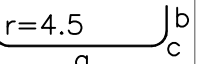
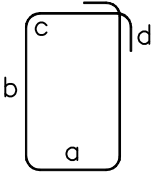
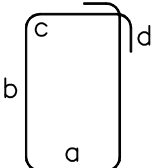
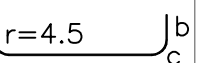
VARS

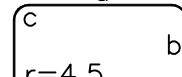
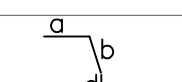
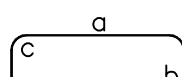
VARS

VARS(B1)

Detailed description: This is a technical architectural drawing of a building section labeled 'C-C'. The top part shows a horizontal cross-section with various structural components. A red arrow labeled 'C' points to a vertical column on the right. Dimensions include 'ANCHO DE CABEZAL=1280', '62 ESP. @ 20 = 1240', 'VARS(B)', '52ESP. @ 20 = 1040', 'VARS(B1)', '15 5', 'VARS(B3)(B4)Y(B5)', '4@15 = 60', and '1313'. The bottom part is a detailed view of a vertical column with dimensions '240', '10Esp. @ 22.2 = 222', '9 9', '110', '40', '160', '7', and labels 'VARS', 'VARS', 'VARS', 'VARS', and 'VARS(B1)'.

PILA, CORTE C-C. REFUERZO ESCALA 1:50

LISTA DE VARILLAS										
LOC.	VARS.	Ø	CANTIDAD	LONGITUD	CROQUIS	a	b	c d	PESO	
1 Cabezal	B	8c	10	1275		1275	-	-	510	
	B1	10c	10	1275		1275	-	-	797	
	B2	4c	2Jgos de 9=18	1428		1264	75	7 -	257	
	B3	6c	1Jgos de 65=65	825		140	220	11 25	1207	
	B4	6c	1Jgos de 65=65	605		140	110	11 25	885	
	B5	4c	2Jgos de 10=20	220		146	30	7 -	44	
					TOTAL ACERO fy=4200 =	3700	Kg			

LISTA DE VARILLAS										
LOC.	VARS.	Ø	CANTIDAD	LONGITUD	CROQUIS	a	b	c d		PESO
Bancos	C	4c	2jgos de 11=22	410		86	155	7 —		90
	C1	4c	2jgos de 11=22	306		122	85	7 —		67
	C2	5c	2jgos de 11=22	185		25	73	7 —		63
	C3	4c	2jgos de 11=22	196		55	37	7 28		43
	C4	4c	2jgos de 16=32	300		226	30	7 —		96
	E5	4c	2jgos de 3=6	300		226	30	7 —		18
	E6	4c	2jgos de 10=20	300		226	30	7 —		60
					TOTAL ACERO	f _v =4200	=	437	Kg	

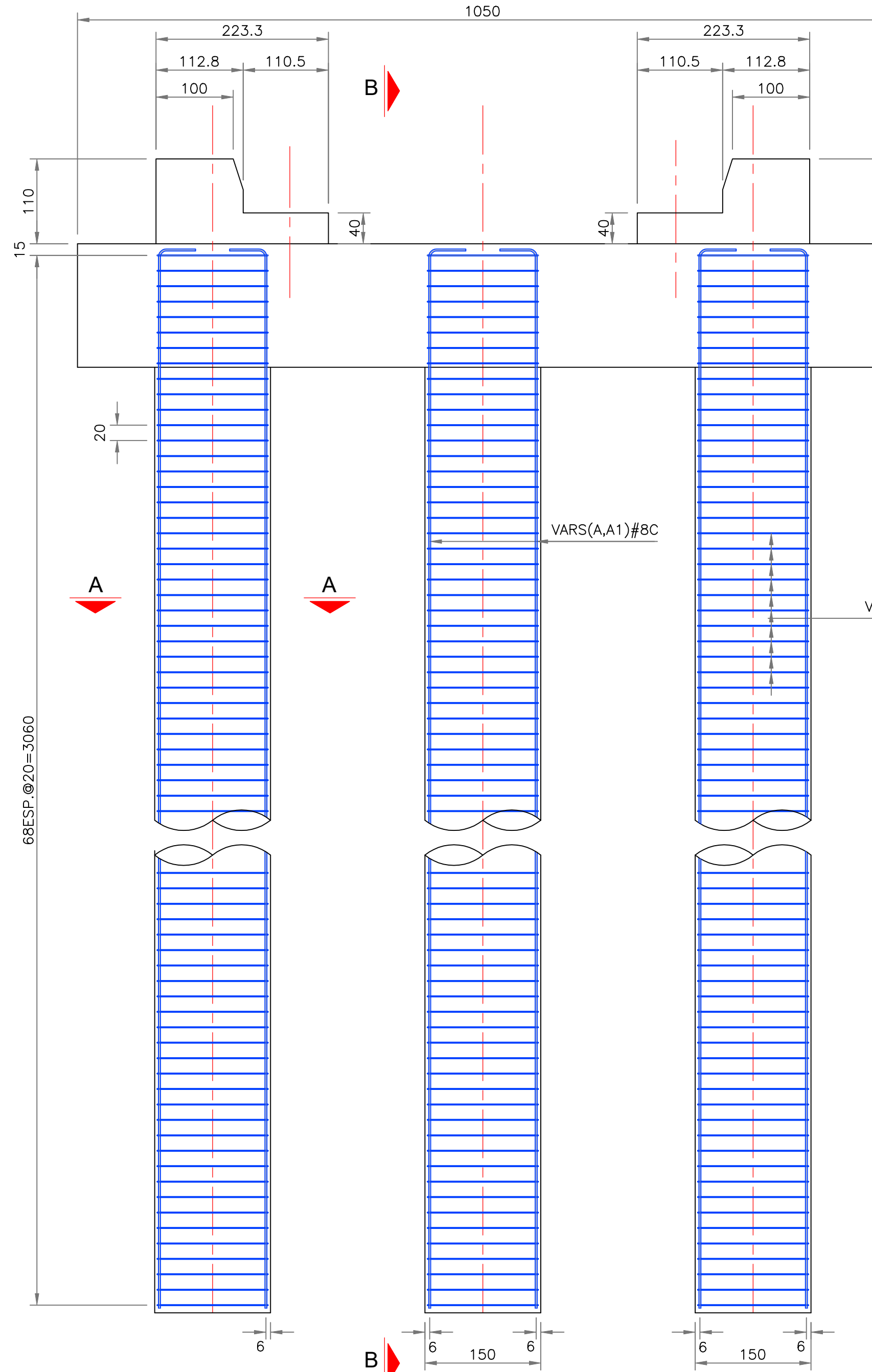
The diagram illustrates a support bank (Banco de Apoyo) with the following dimensions and reinforcement details:

- Total width: 4Esp. @ 22 = 88
- Width of the main rectangular section: VARS(C) = 100
- Width of the right vertical section: VARS(C5)
- Width of the left vertical section: VARS(C3)
- Width of the middle vertical section: VARS(C2)
- Width of the bottom horizontal section: VARS(C1)
- Height of the main rectangular section: VARS(C4) = 155
- Width of the bottom horizontal section: VARS(C6)

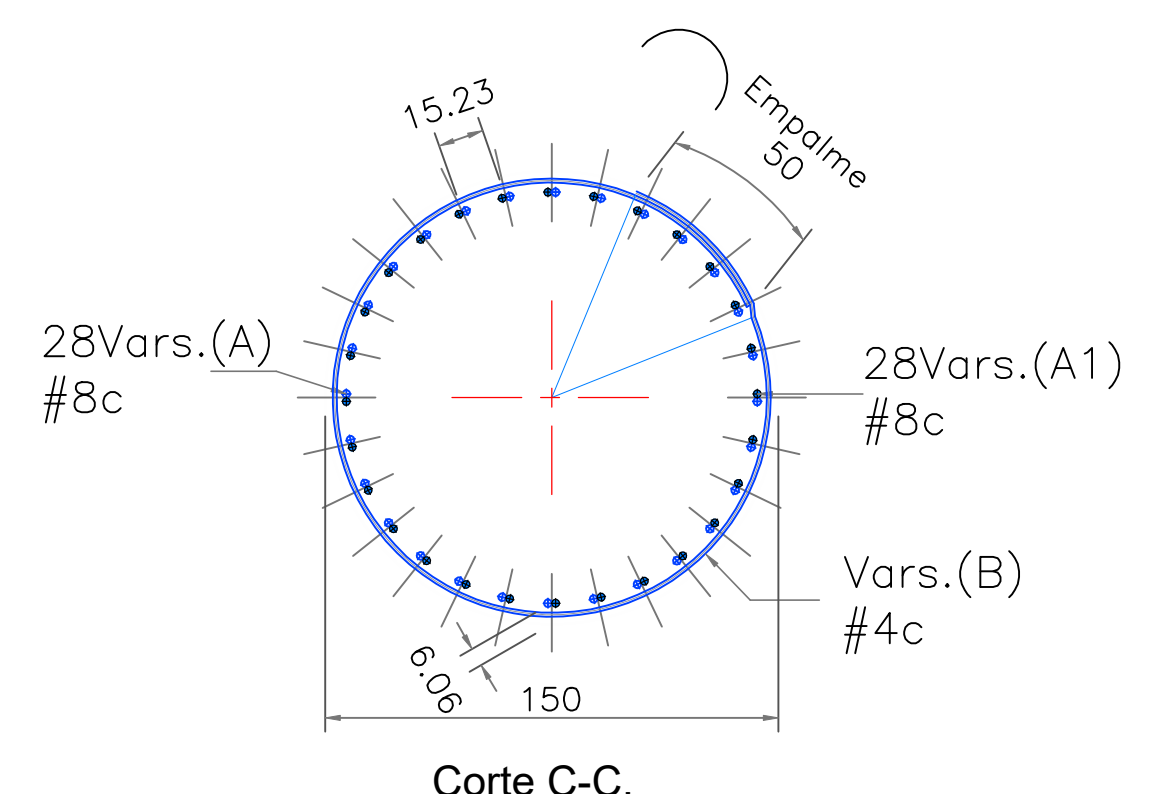
Reinforcement bars are shown as blue lines. A red line at the bottom indicates the foundation level.

BANCO DE APOYO

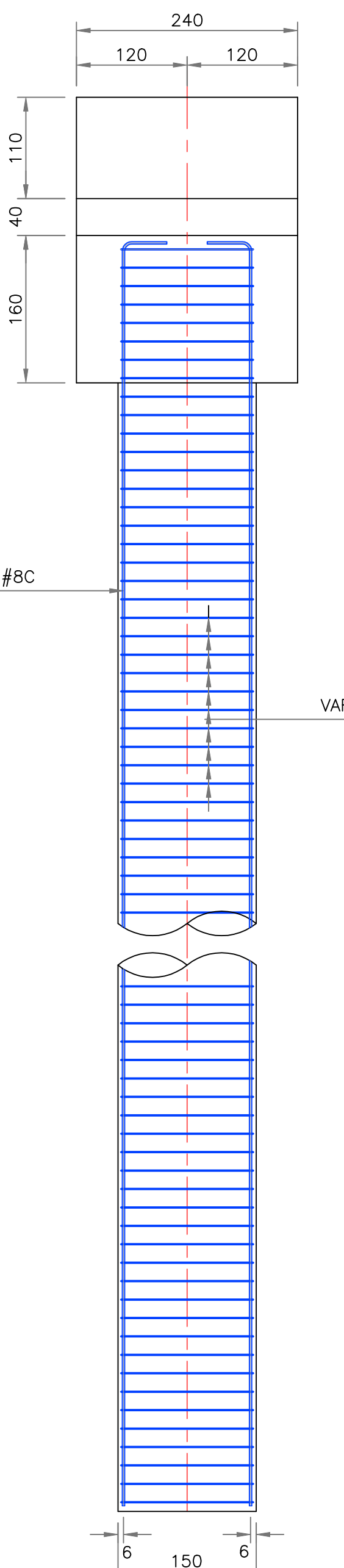
REFUERZO EN CABALLETES 1 Y 4



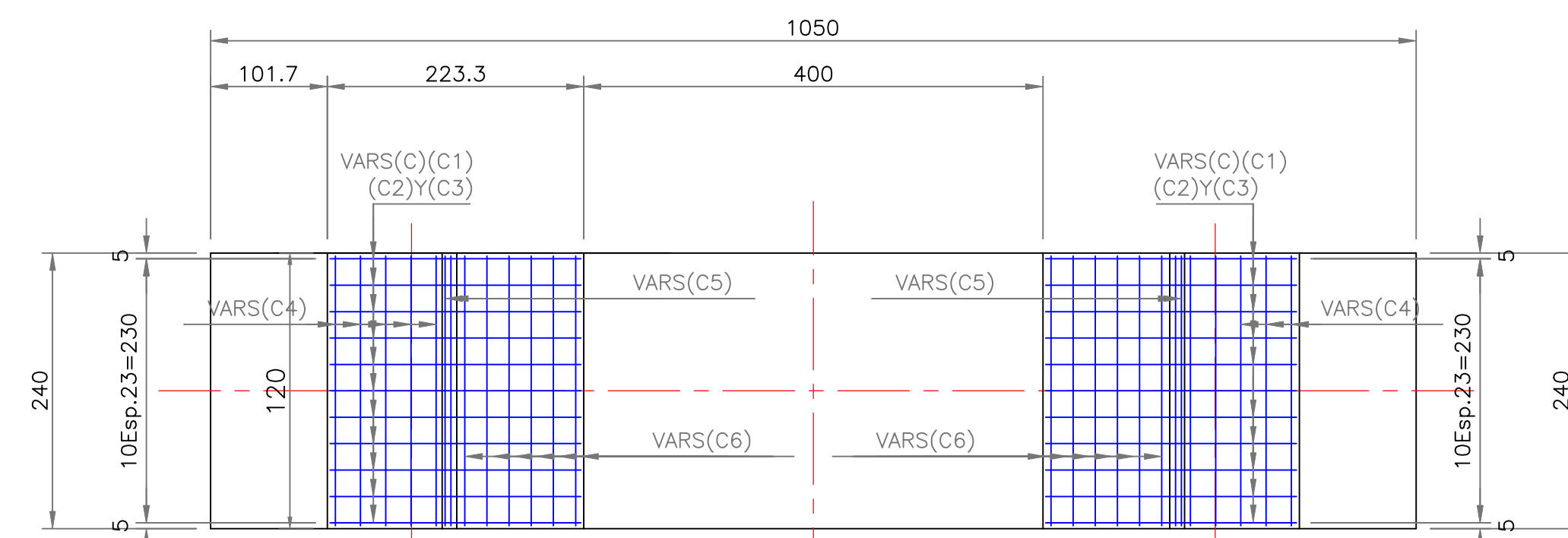
ALZADO, CABALLETE EJE No.2,3.
REFUERZO ESCALA 1:50



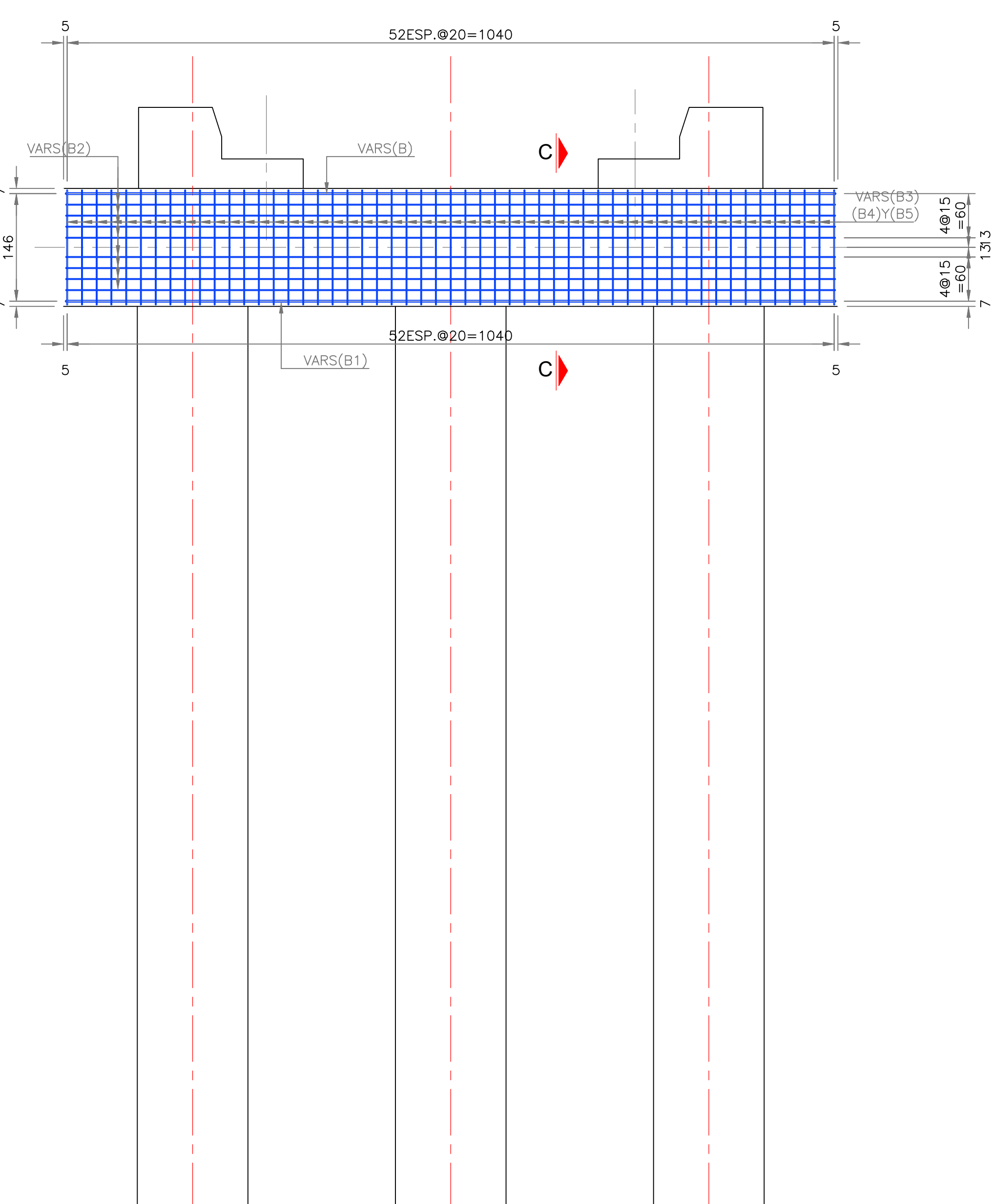
ALZADO, CABALLETE EJE, CORTE A-A.
REFUERZO ESCALA 1:50



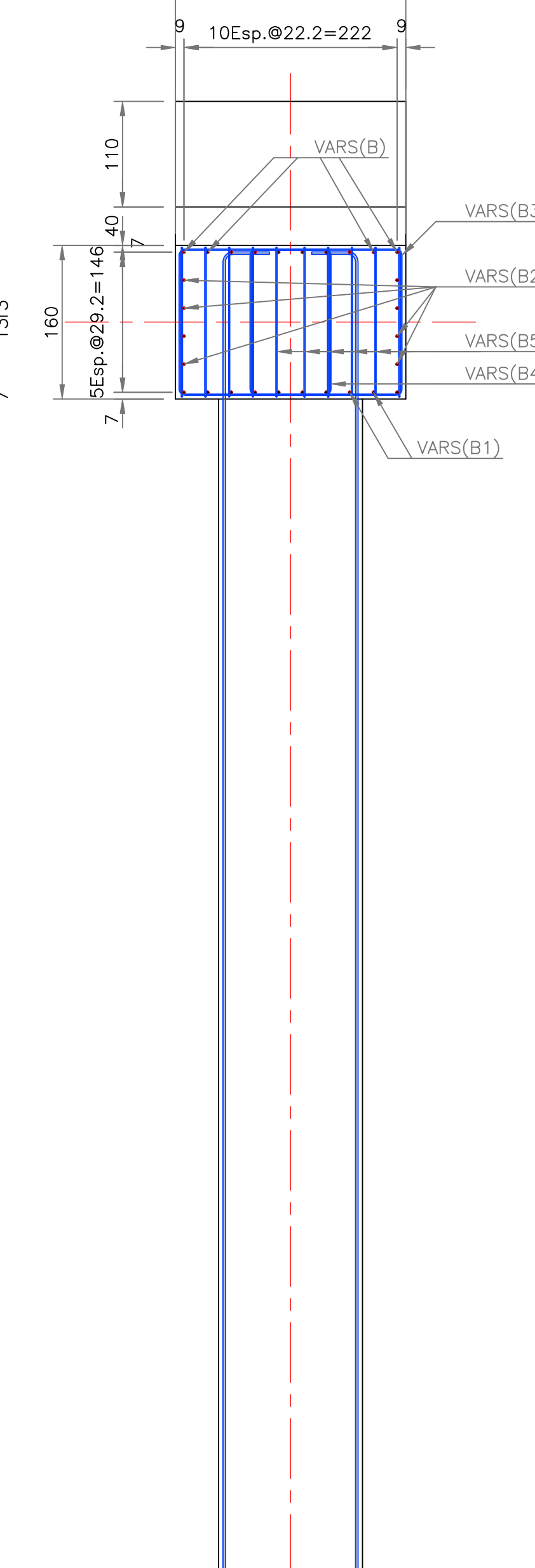
PILA, CORTE B-B.
GEOMETRIA ESCALA 1:50



PLANTA DE CABEZAL REFUERZO EN BANCOS
REFUERZO ESCALA 1:50



ALZADO, REFUERZO EN CABEZAL
REFUERZO ESCALA 1:50

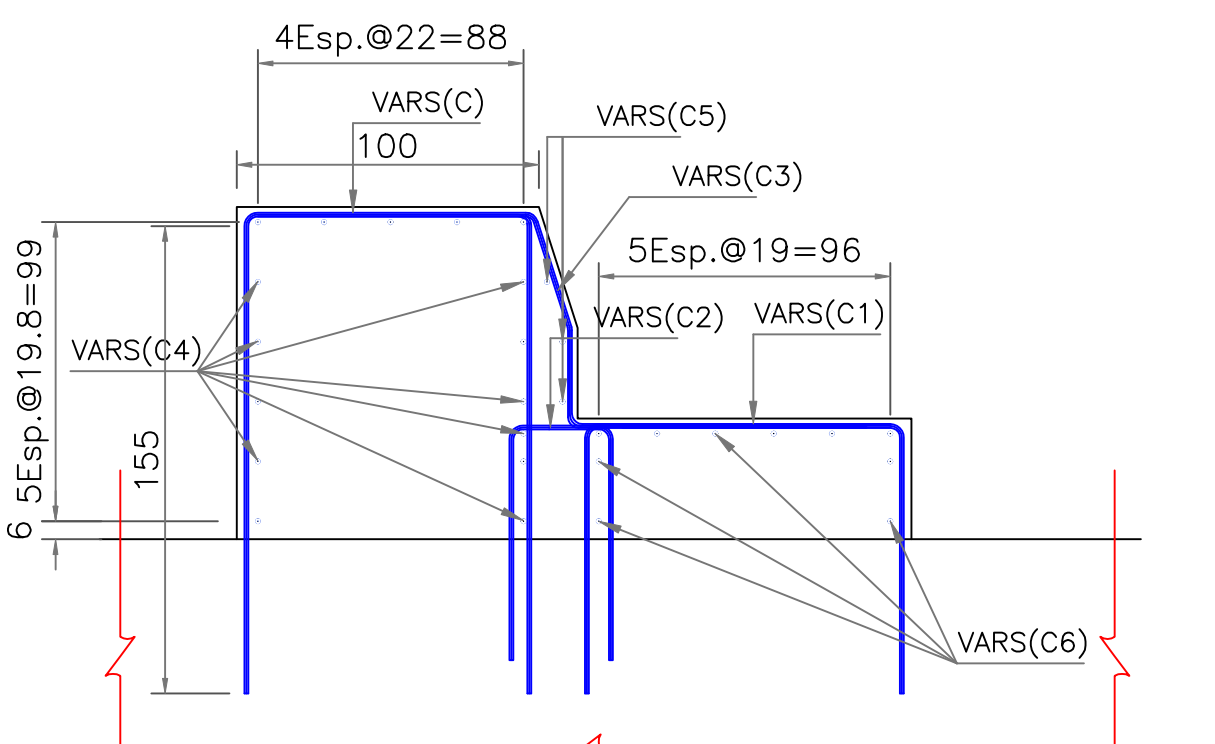


PILA, CORTE C-C.
REFUERZO ESCALA 1:50

LISTA DE VARILLAS									
VARS.	Ø	CANTIDAD	LONGITUD	CROQUIS	a	b	c	d	PESO
A	8c	3jgos de 28=84	3152		3034	45	14	-	10591
A1	8c	3jgos de 28=84	2319		2260	45	14	-	7792
B	4c	3jgos de 153=459	494		440	20	7	10	2267
TOTAL ACERO fy=4200 = 20650 Kg									

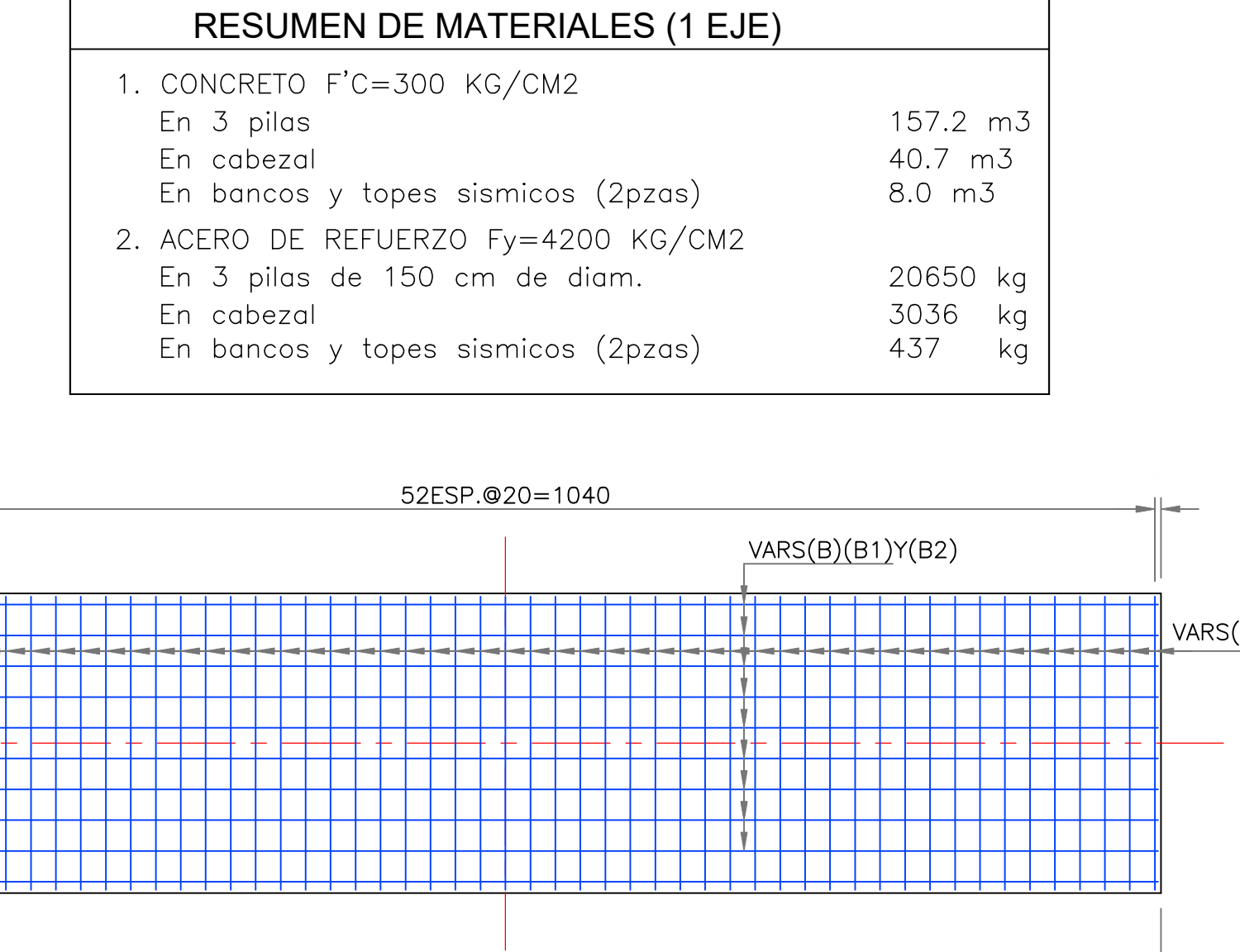
LISTA DE VARILLAS										PESO
LOC.	VARS.	Ø	CANTIDAD	LONGITUD	CROQUIS	a	b	c	d	
B	8c	10	1045		1045	-	-	-	-	418
B1	10c	10	1045		1045	-	-	-	-	653
B2	4c	2Jgos de 9=18	1199		1035	75	7	-	-	216
B3	6c	1Jgos de 53=53	825		140	220	11	25	984	
B4	6c	1Jgos de 53=53	605		140	110	11	25	721	
C4	4c	2Jgos de 11=20	220		146	30	7	-	-	44
TOTAL ACERO fy=4200 = 3036 Kg										

LISTA DE VARILLAS										PESO
LOC.	VARS.	Ø	CANTIDAD	LONGITUD	CROQUIS	a	b	c	d	
C	4c	2jgos de 11=22	410		86	155	7	-	-	90
C1	4c	2jgos de 11=22	306		122	85	7	-	-	67
C2	5c	2jgos de 11=22	185		25	73	7	-	-	63
C3	4c	2jgos de 11=22	196		55	37	7	28	43	
C4	4c	2jgos de 16=32	300		226	30	7	-	-	96
E5	4c	2jgos de 3=6	300		226	30	7	-	-	18
E6	4c	2jgos de 10=20	300		226	30	7	-	-	60
TOTAL ACERO fy=4200 = 437 Kg										

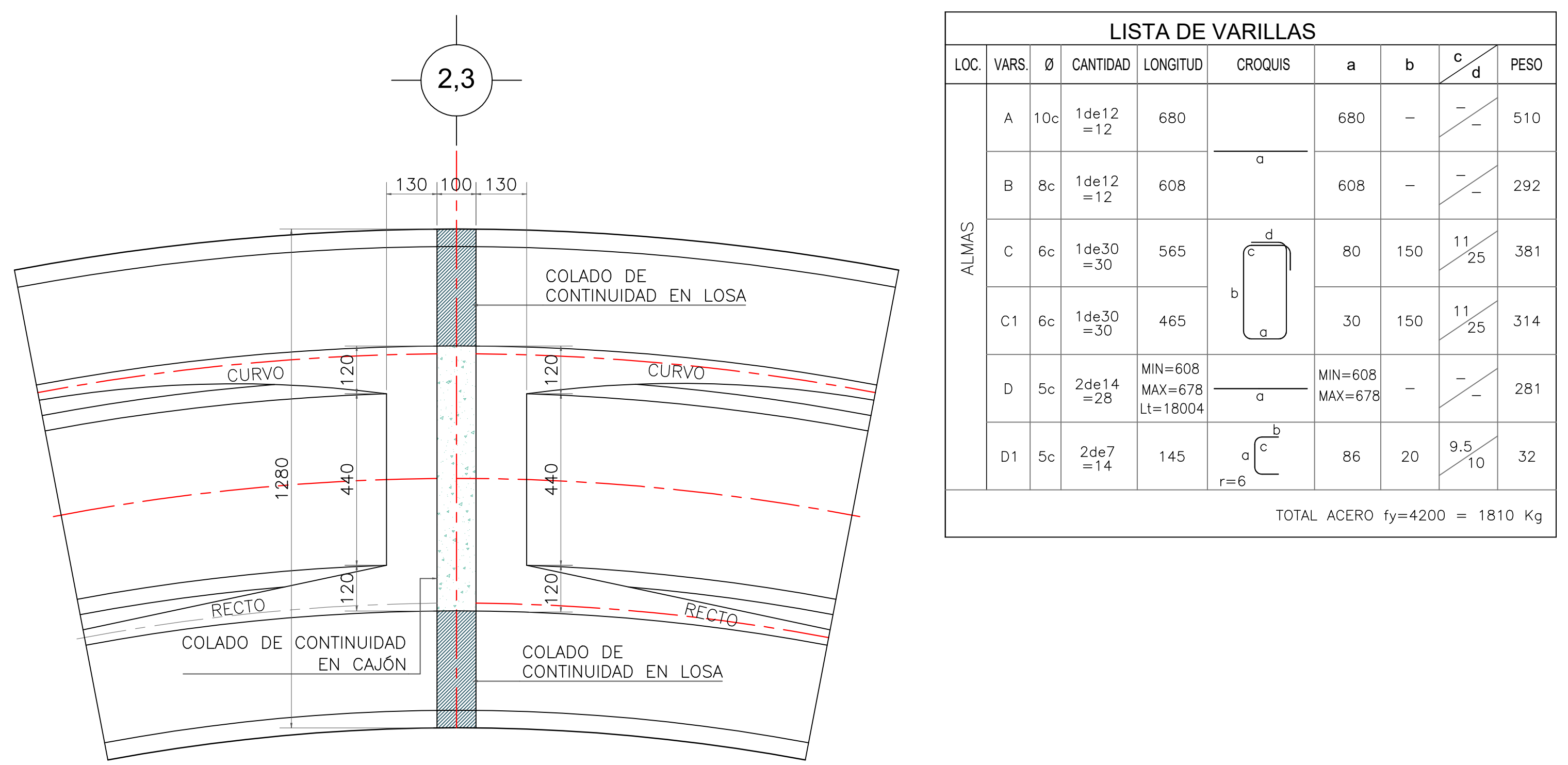
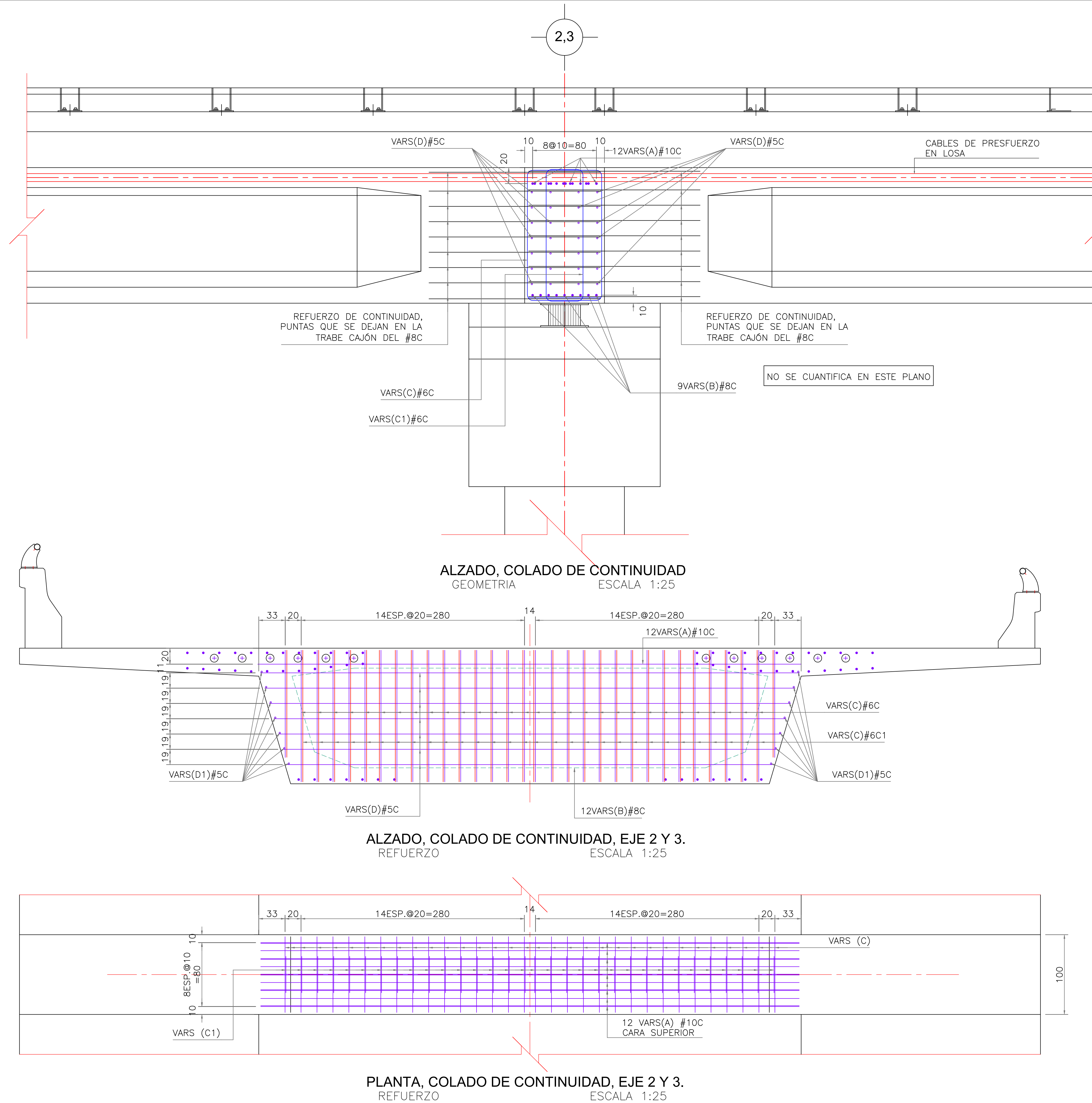


BANCO DE APOYO
REFUERZO ESCALA 1:25

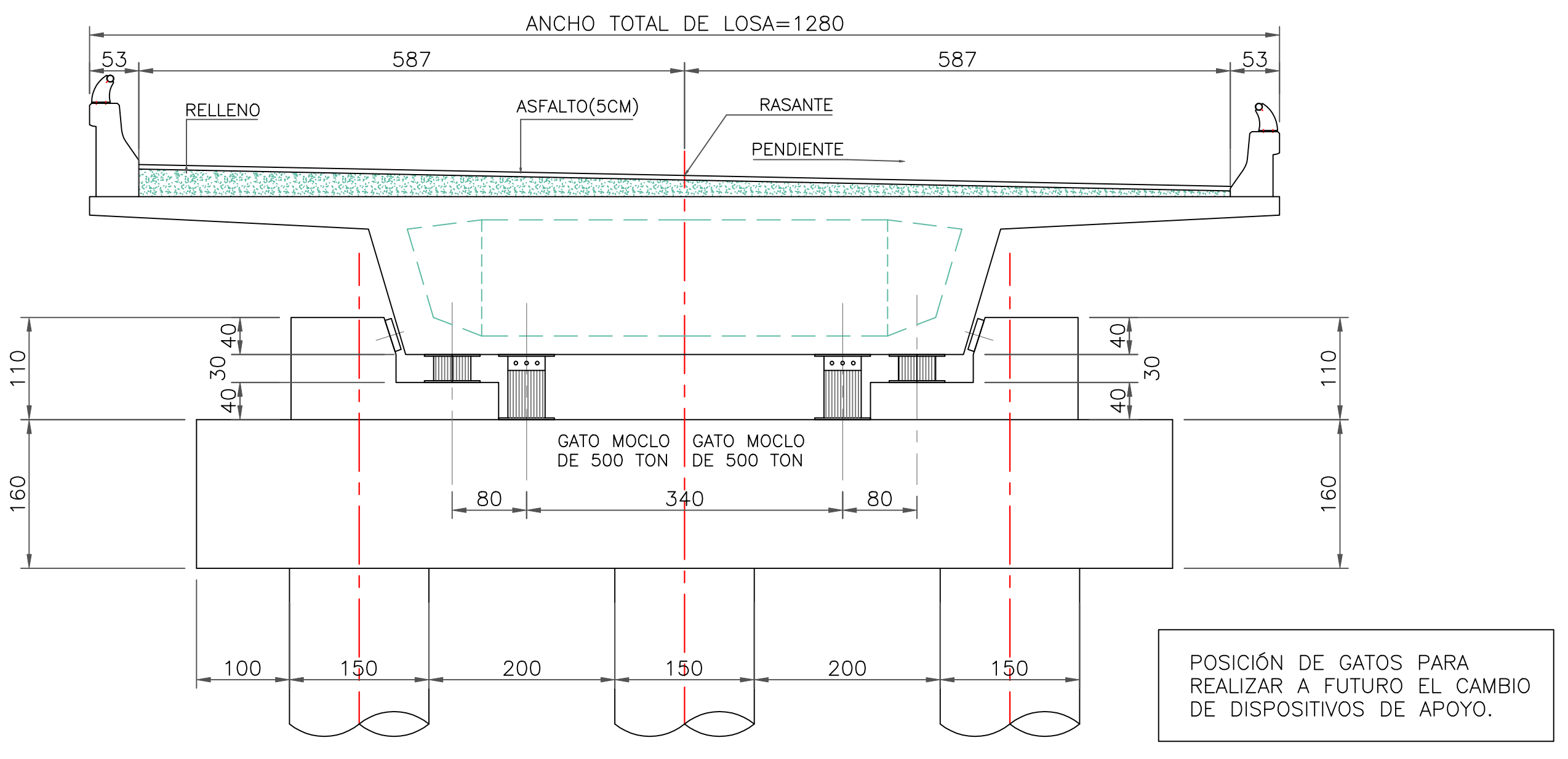
RESUMEN DE MATERIALES (1 EJE)									
1. CONCRETO F'C=300 KG/CM2									
En 3 pilas									
En cabezal									
En bancos y topes sismicos (2pzas)									
157.2 m3									
40.7 m3									
8.0 m3									
2. ACERO DE REFUERZO Fy=4200 KG/CM2									
En 3 pilas de 150 cm de diam.									
20650 kg									
3036 kg									
En bancos y topes sismicos (2pzas)									
437 kg									



PLANTA DE CABEZAL
REFUERZO ESCALA 1:50



PLANTA, COLADO DE CONTINUIDAD
GEOMETRIA
ESCALA 1:100



POSICIÓN DE GATOS PARA REALIZAR A FUTURO EL CAMBIO DE DISPOSITIVOS DE APOYO.

RESUMEN DE MATERIALES (1 EJE)	
1. CONCRETO $F'_C=450$ KG/CM ² En trabe cajón presforzada	12.7 m ³
2. ACERO DE REFUERZO $F_y=4200$ KG/CM ² En tabletas presforzadas	1810 kg
3. APOYOS TIPO POT Para carga vertical de 490 ton	2 Pzas.

RESUMEN DE MATERIALES (CAMBIO DE APOYOS)	
1. ACERO ESTRUCTURAL A-50 En placas de distribución de 40*40*3/4"	4 pzas
2. GATOS MOCLOS CON TUERCA DE SEGURIDAD De 500 ton	2 pzas

COLADO DE CONTINUIDAD Y CAMBIO DE DISPOSITIVOS DE APOYO

CAPÍTULO 7. ESPECIFICACIONES DE PROYECTO

El apartado final de todo proyecto ejecutivo corresponde a las especificaciones de proyecto que son el resumen de los trabajos tanto de campo como de escritorio involucrados durante su elaboración, enlistando las características singulares en el diseño de la estructura; en este sentido, se tienen especificaciones generales y particulares.

Las especificaciones generales corresponden a una descripción general de los trabajos que han de ejecutarse en el proyecto en apego a la normativa vigente, partiendo de una descripción del sitio de emplazamiento o de la estructura existente, la red carretera de la que forma parte y de los daños encontrados en el tramo carretero. Se continua con una descripción teórica del criterio de análisis y diseño empleado en el proyecto definitivo, retomando las características particulares del reglamento o norma empleados, es decir, criterios de análisis y factores de carga.

Las especificaciones particulares corresponden a la descripción de los aspectos propios de proyecto, es decir, se enfoca en detallar el diseño propuesto y las ventajas que presenta. Un ejemplo de lo anterior puede ser la descripción del sistema de presfuerzo externo para un proyecto de reforzamiento, el cual puede resultar único debido a la configuración misma de la estructura o la descripción de los apoyos especiales empleados en un puente debido a altas deformaciones, las cuales no pueden ser tomadas por apoyos elastoméricos.

En este sentido, se presentan de forma secuencial las especificaciones generales del ejemplo de proyecto, nombrándolas por etapas e incluyendo las normas que deben cumplirse en la ejecución de los trabajos de construcción. Por lo que se refiere a las especificaciones particulares, se presenta a modo de conclusión las características del diseño propuesto, ahondando en características puntuales de la información presentada en la memoria de cálculo y en el criterio de diseño empleado.

7.1 ESPECIFICACIONES GENERALES

De manera general, se presentan por etapas los trabajos que son requeridos en un proyecto ejecutivo, siendo exemplificado con el ejemplo de proyecto desarrollado en el presente trabajo:

>Etapa 1

Definir el sitio de proyecto e identificar la red carretera a la que pertenece, recabando información en medios oficiales y privados. Posteriormente, se realiza una visita de campo para corroborar la información previa y levantar un reporte derivado de la inspección visual del sitio sustentado por medio de un acervo fotográfico.

>Etapa 2

Realizar los estudios preliminares de topografía, mecánica de suelos, hidráulicos e hidrológicos para obtener las secciones transversales del sitio y el NADI, con lo cual se define el proyecto geométrico del puente, así como la capacidad del suelo donde se desplantará su cimentación.

>Etapa 3

Es la etapa de diseño donde se realizan los trabajos preliminares de modelación de la superestructura con el fin de obtener los elementos mecánicos que presentan de acuerdo con las bases de proyecto, permitiendo definir el tipo de trabe que presenta mejor comportamiento y con ello, el arreglo estructural que tendrá el sistema portante. Posteriormente, se estima si se requiere darle mayor capacidad a la trabe por medio del empleo de presfuerzo y a partir de ello, se estima su cantidad, tipo y forma de aplicación en este elemento.

El diseño continua con la propuesta del tipo de subestructura que llevará el puente, en donde se involucran tanto las características topográficas e hidráulicas del sitio como los resultados obtenidos del análisis sísmico; en este sentido, se pueden diseñar pilas, cabezales, topes sísmicos, alerones y zapatas de estribos, así como el tipo de apoyos que deberán emplearse para tomar los desplazamientos que pudieran generarse.

>Etapa 4

Elaborar los planos que contienen las especificaciones de diseño que permiten la construcción del proyecto.

De manera general, se deben cumplir tanto con las normas previamente mencionadas como las que se enlistan a continuación:

- N-CTR-CAR-1-02-003/00 Concreto Hidráulico
- N-CTR-CAR-1-02-007/01 Acero de Presfuerzo
- N-CTR-CAR-1-02-004/00 Acero de Refuerzo
- N-CTR-CAR-1-02-005/01 Acero Estructural A-36
- N-CTR-CAR-1-02-009/00 Parapeto Metálico
- N-CTR-CAR-1-02-013/00 Demolición de Concreto Reforzado
- N-CTR-CAR-1-04-006/00 Carpeta Asfáltica
- N-CTR-CAR-1-01-009/00 Terraplén de Acceso
- N-CTR-CAR-1-02-005/01 Tubo de acero
- N-PRY-CAR-10-01-001/13 Proyecto de Señalamiento

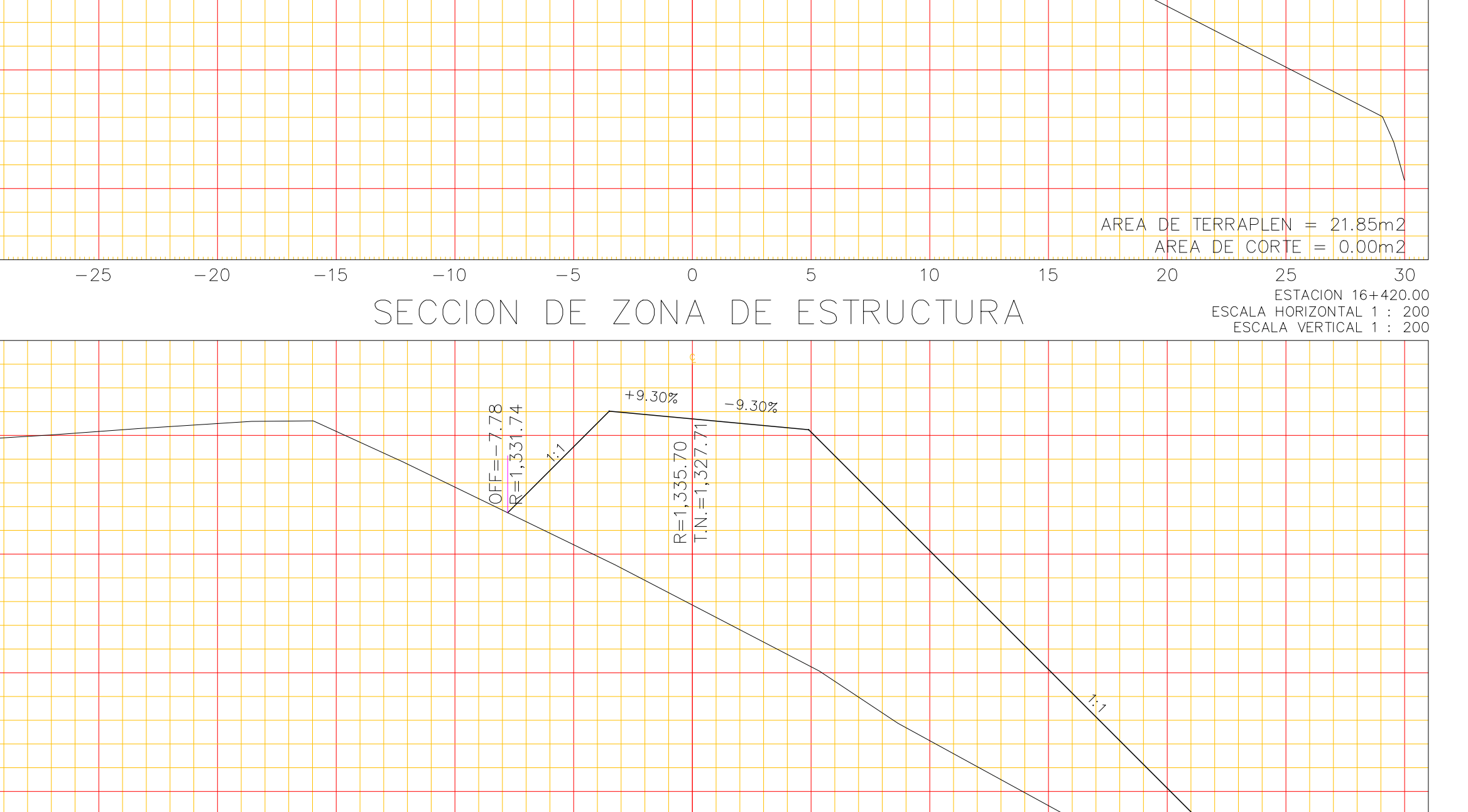
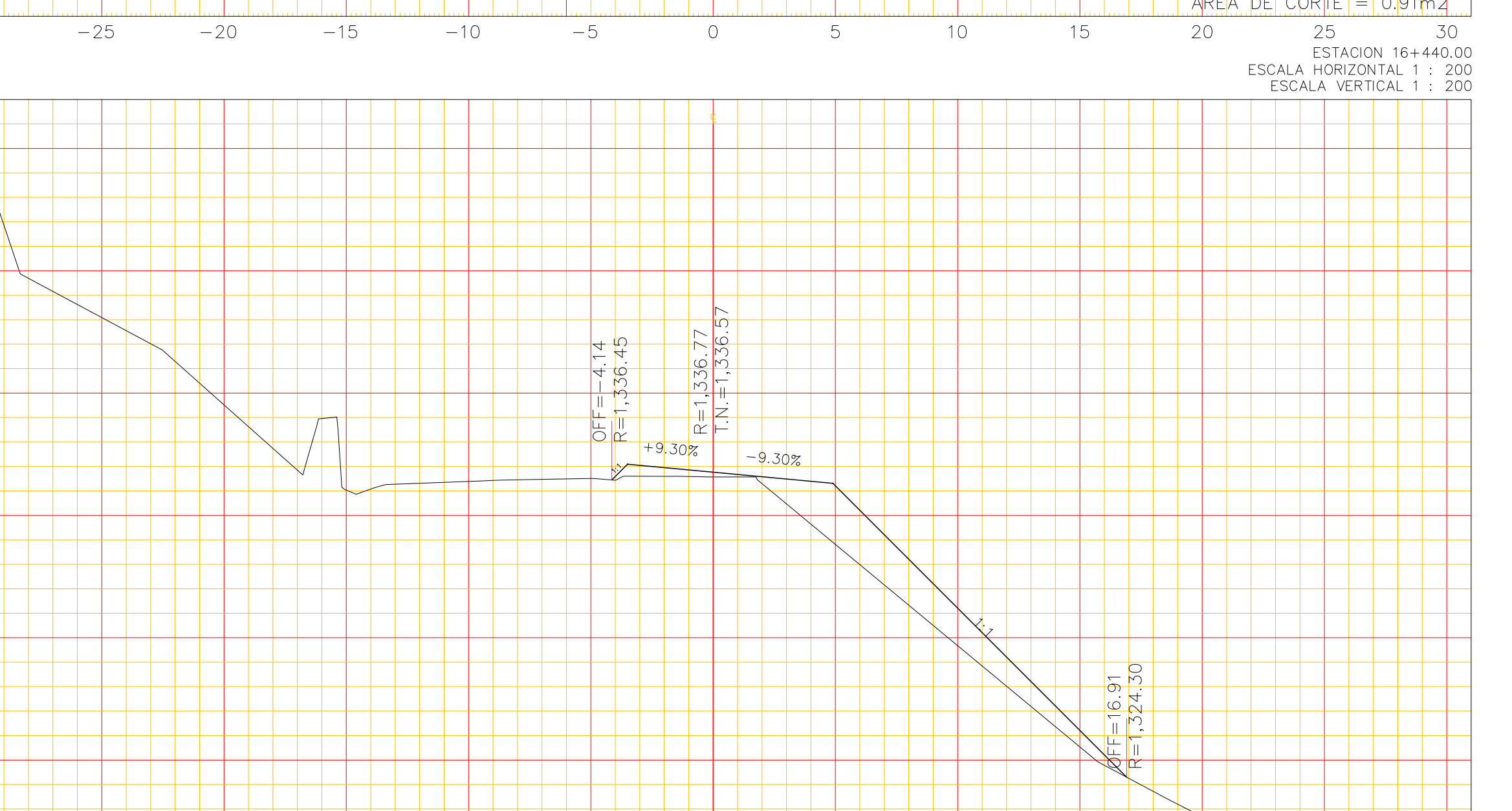
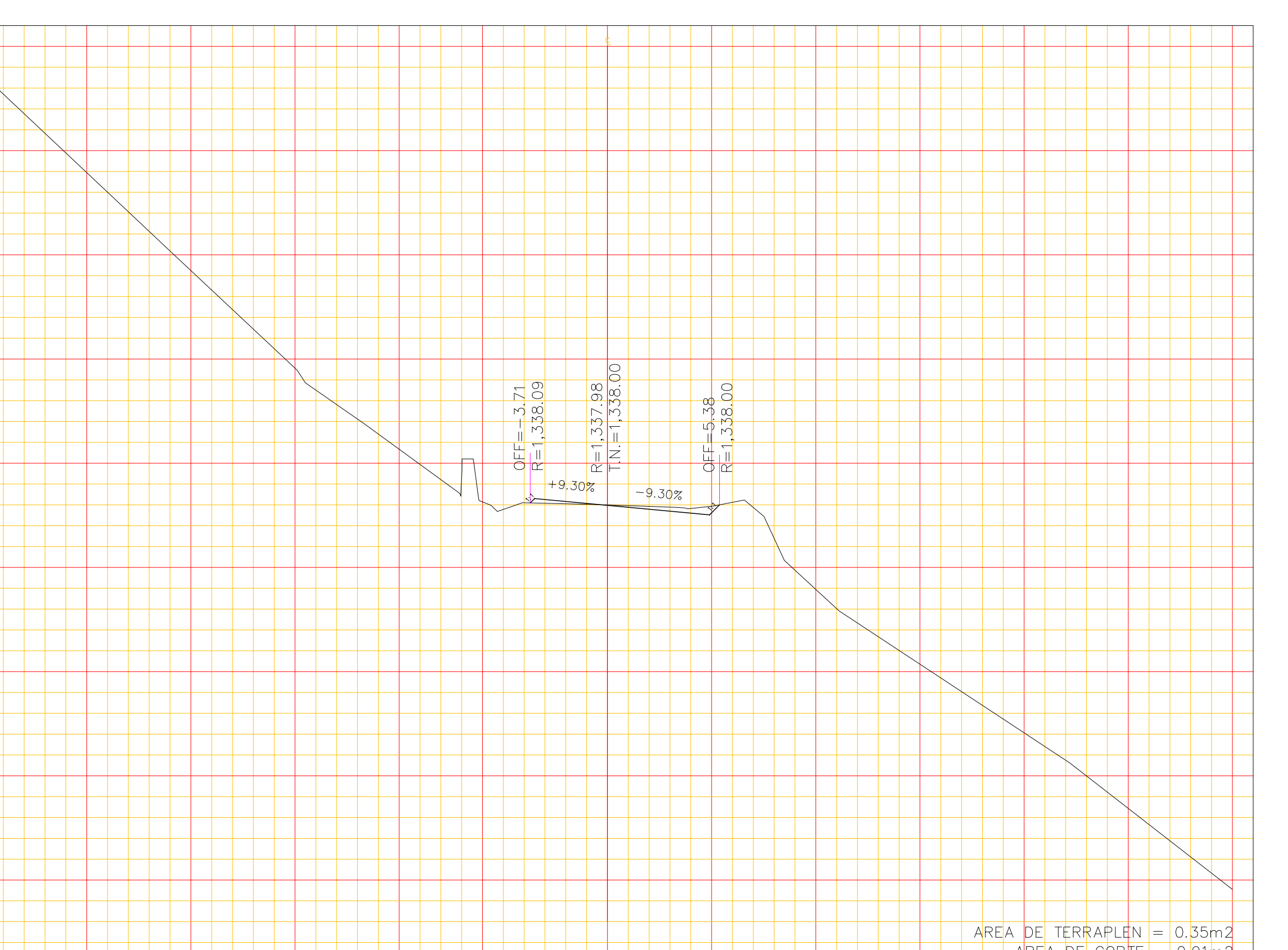
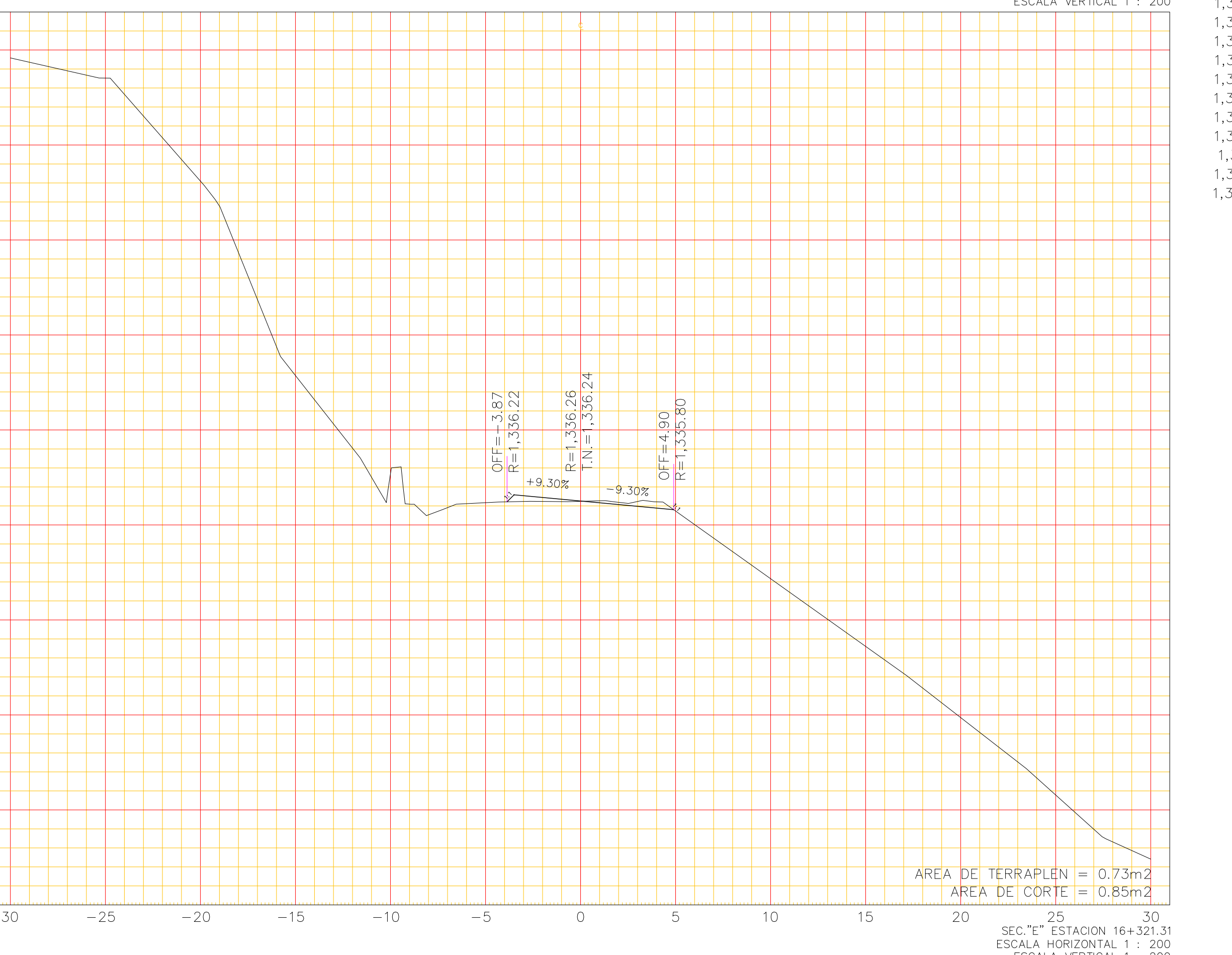
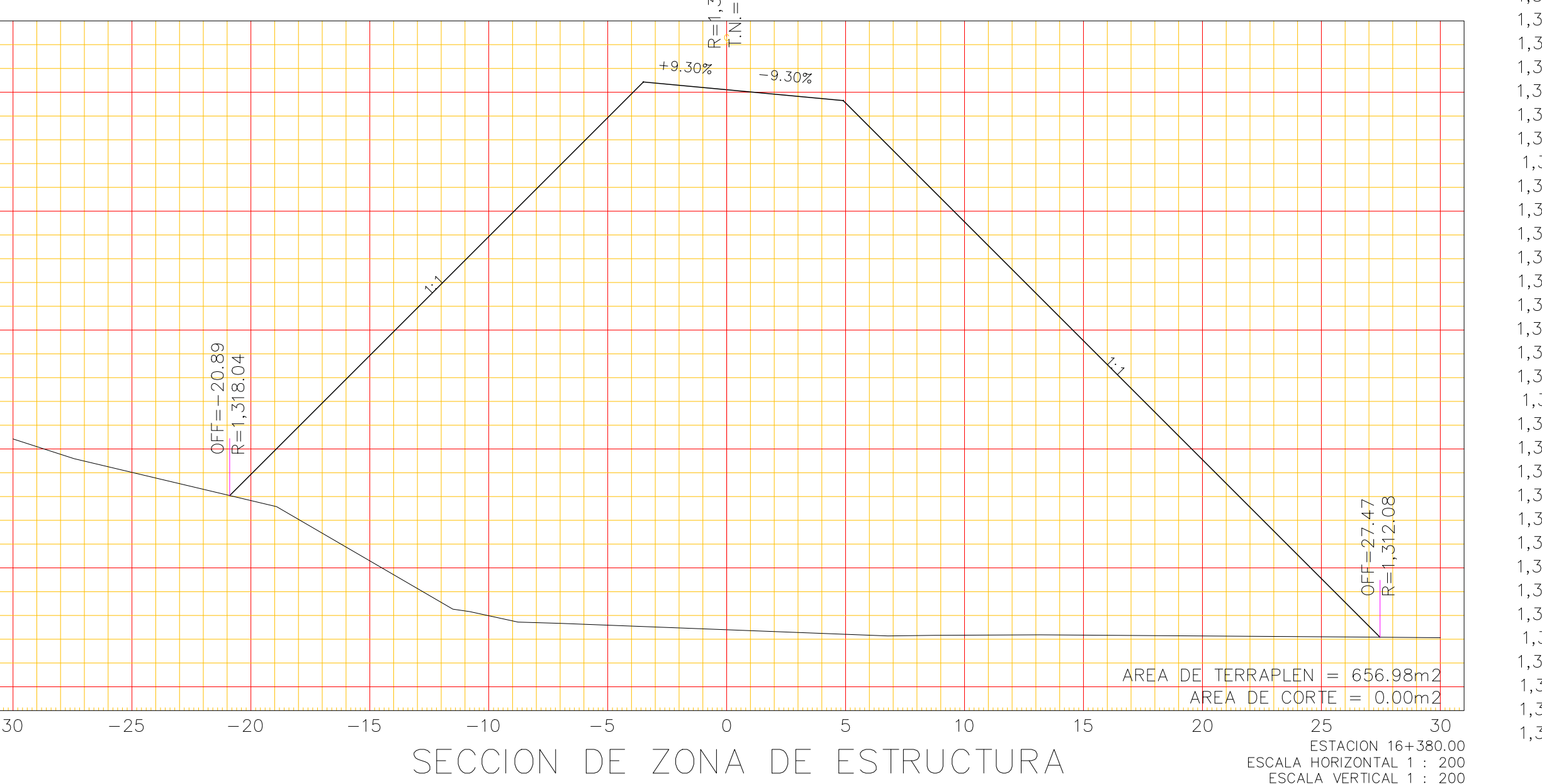
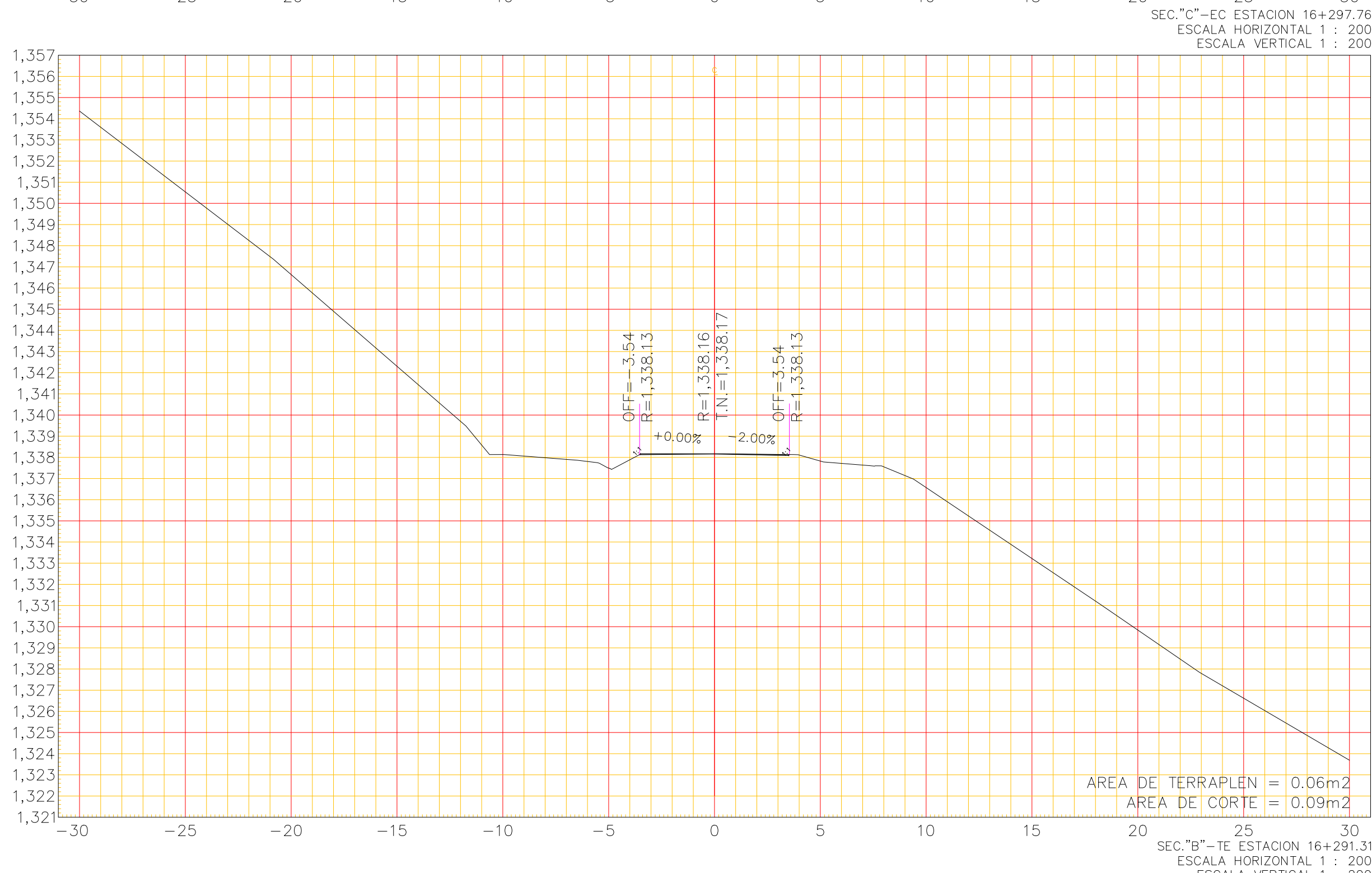
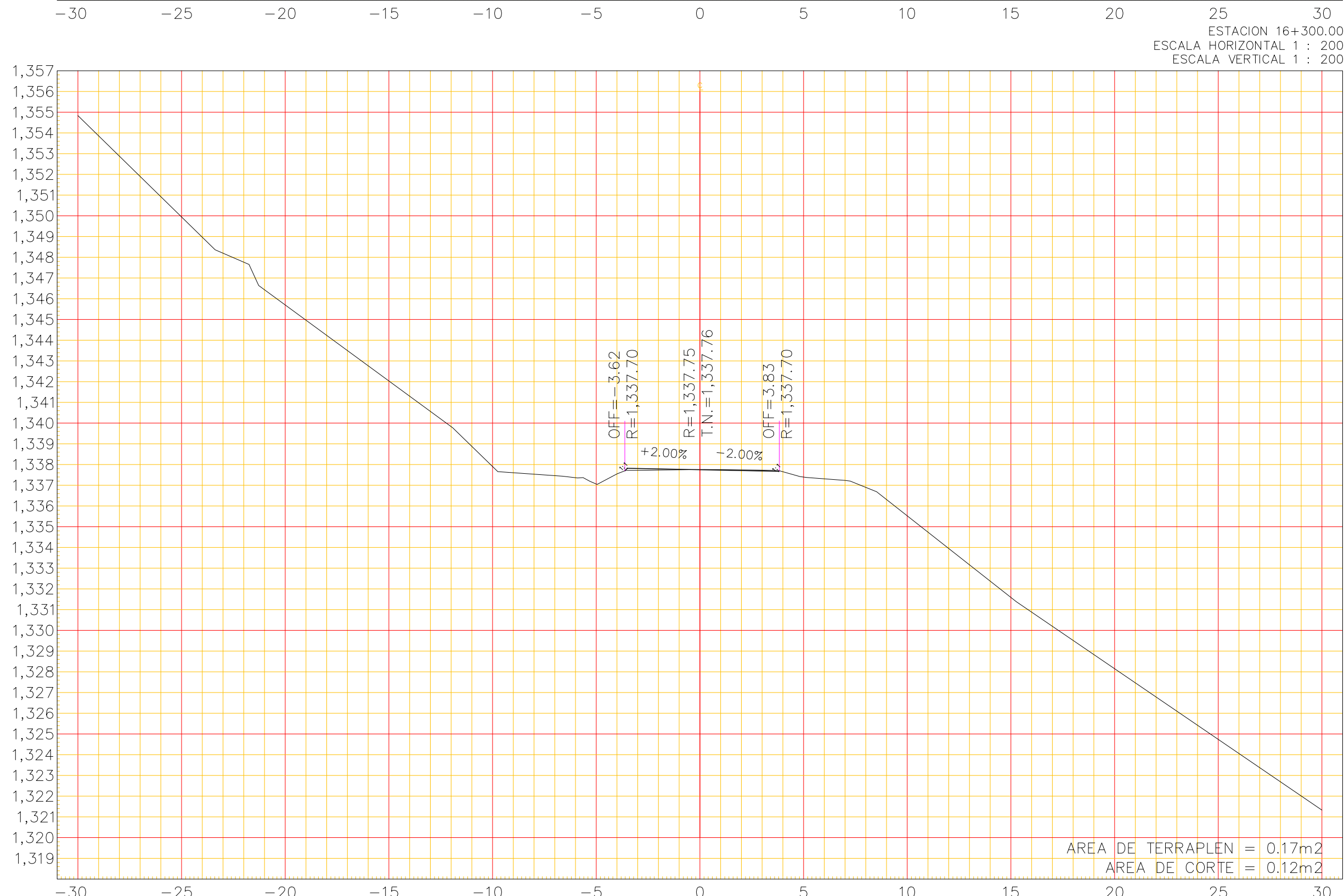
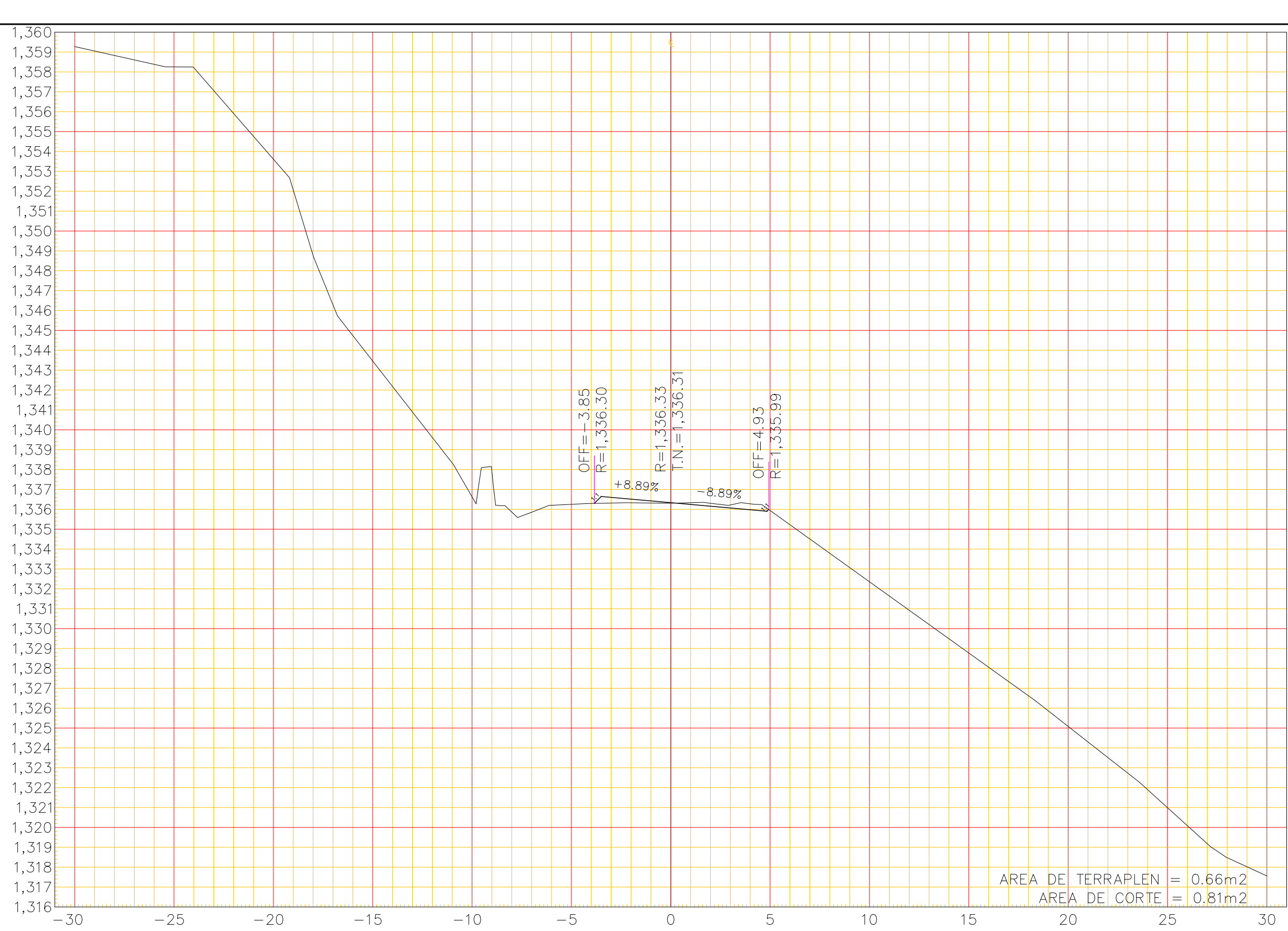
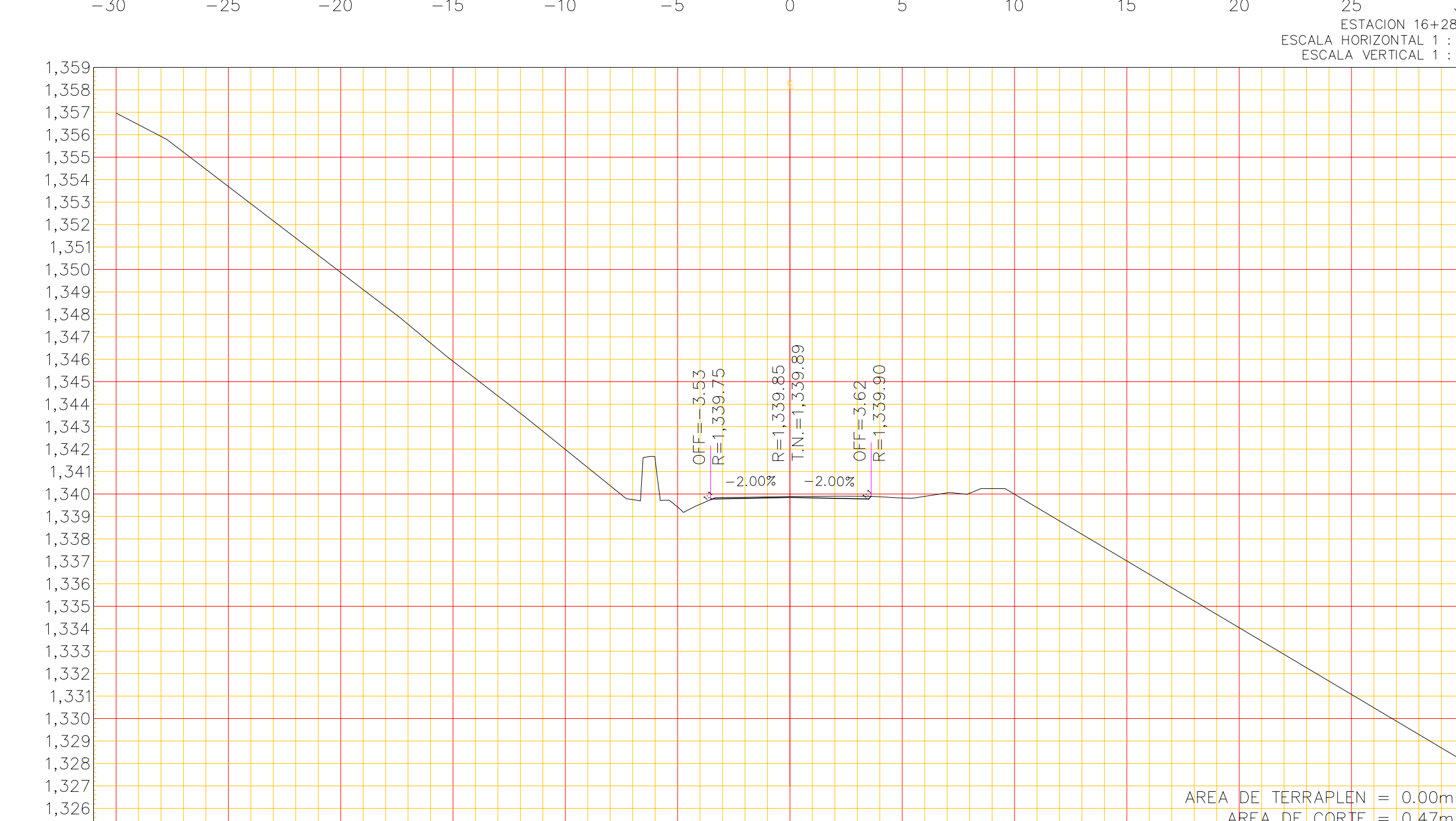
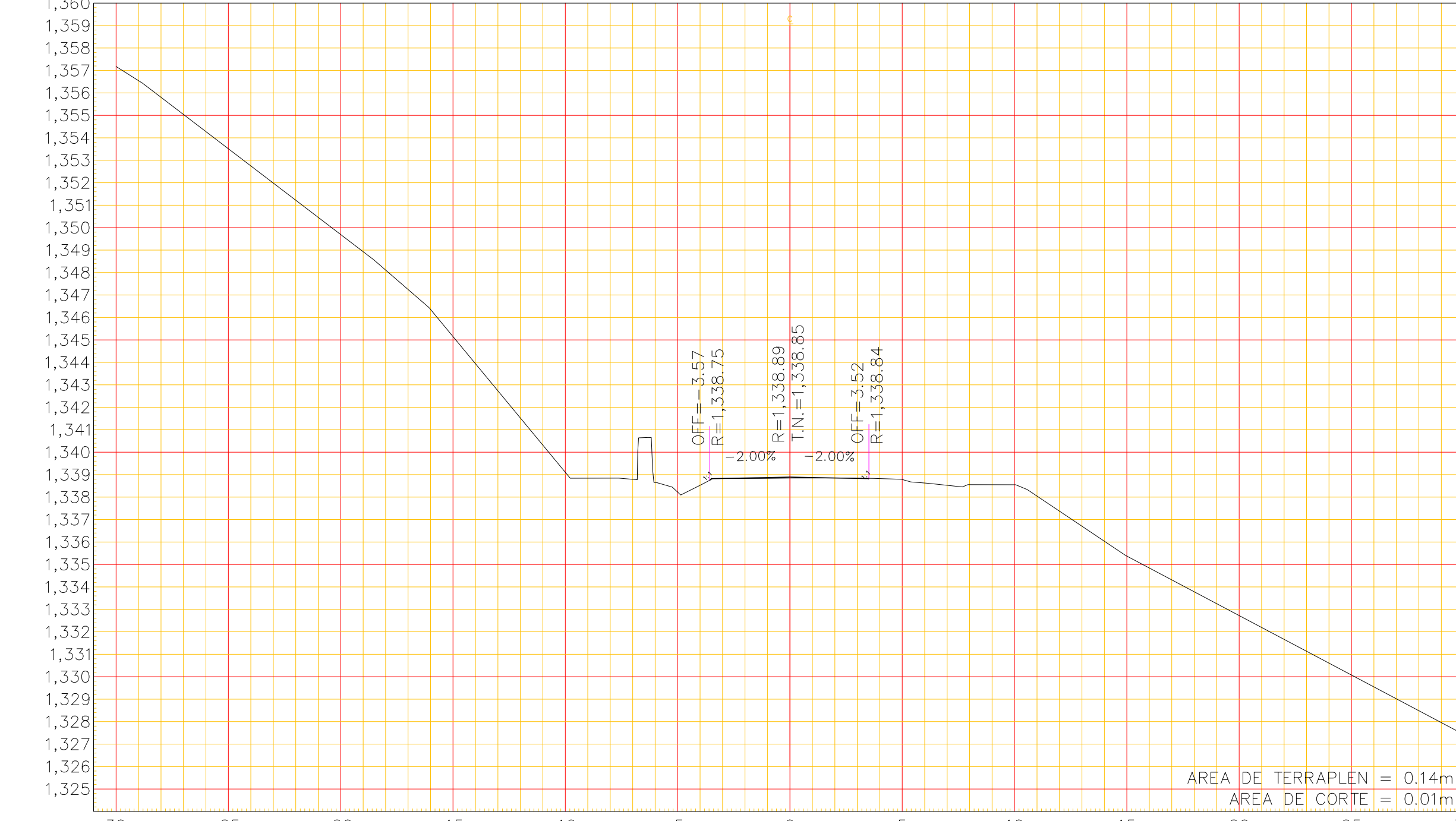
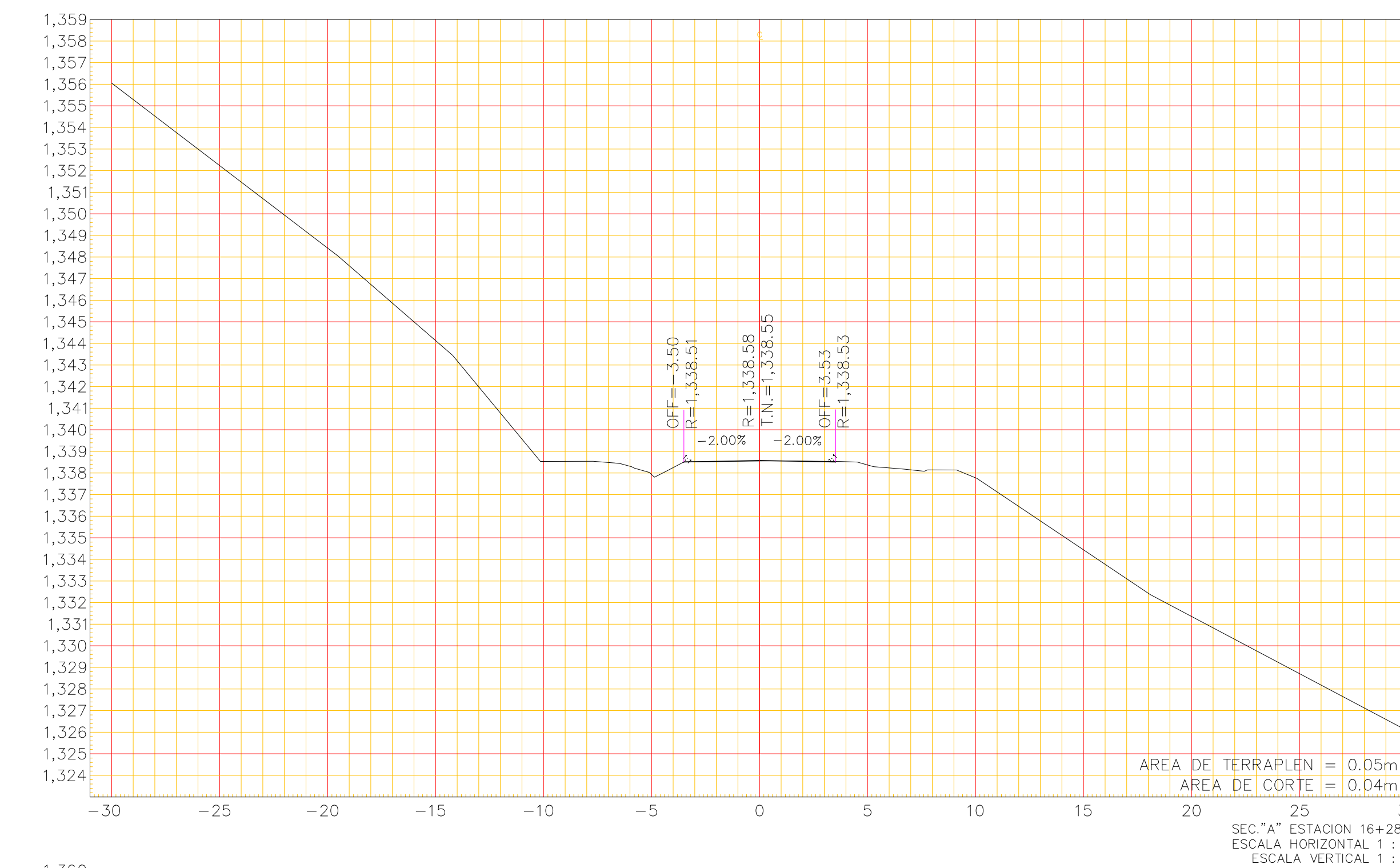
7.2 ESPECIFICACIONES PARTICULARES

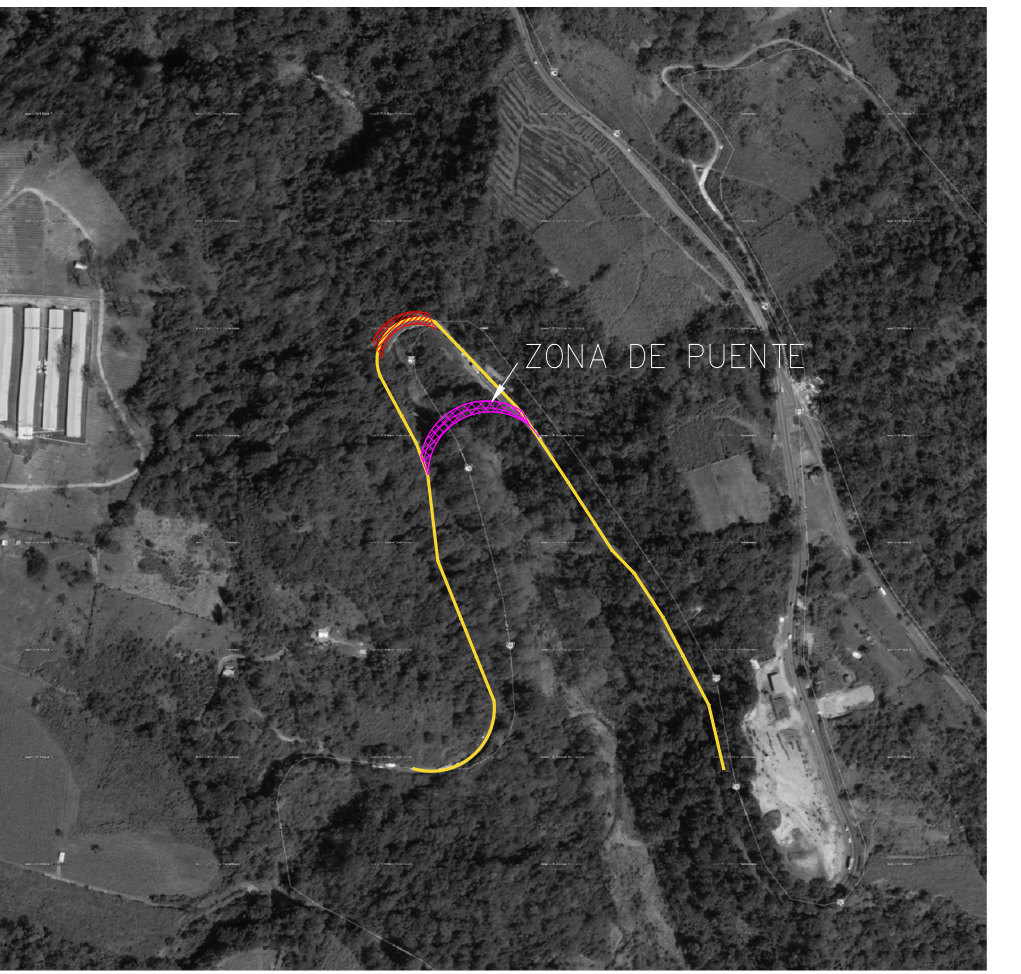
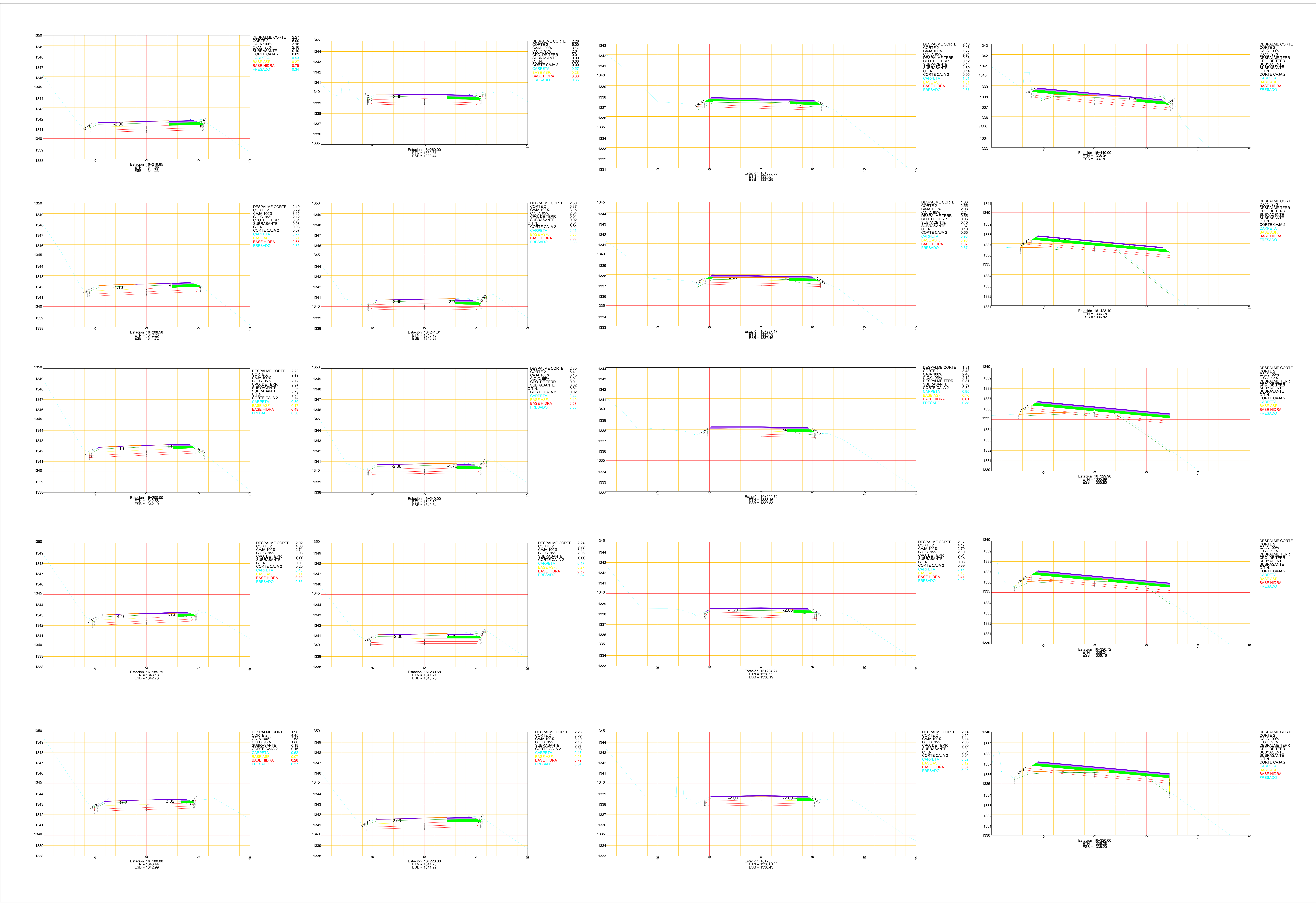
Las especificaciones particulares del puente carretero propuesto corresponden a las características principales de su diseño estructural, mismas que a modo de conclusión dan cumplimiento de los objetivos particulares propuestos para el proyecto.

- La rasante del puente tiene una pendiente del 1.75%.
- El radio de curvatura del puente es de 52.22 m.
- La longitud de la curva exterior es de 33.23 m.
- La longitud de la curva interior es de 28.99 m en los tramos 1 y 3; para el tramo 2 es de 29.37 m.
- Se deberá usar concreto con una resistencia de $f'_c = 450 \text{ kg/cm}^2$ en la construcción de la trabe sección cajón.
- La construcción de la trabe debe ser In Situ.
- El presfuerzo para momento positivo se conforma de seis cables 15T15 por alma con cajas de tensado a 0.5, 0.9 y 1.3 m al inicio de la trabe.
- Los cables de presfuerzo se deberán tensar de un solo lado.
- La configuración de los cables para momento positivo es de posición variable conforma avanzan en la trabe, es decir, comienzan en una posición vertical dentro del alma y continúan su trayecto disminuyendo su posición vertical conforme se reduce la sección del alma hasta llegar al centro del claro donde se posicionan en dos camas dentro del patín inferior; a partir de este punto los cables retoman continúan su trayecto hasta recuperar su cota inicial en el extremo de la trabe.
- El presfuerzo de continuidad deberá ser de seis cables 15T15.
- El presfuerzo de continuidad se ubicará dentro de un solo lecho del tramo de losa correspondiente a la sección efectiva de la nervadura.
- El presfuerzo de continuidad se tensará a una longitud de 13 m a cada lado del eje de apoyos.
- La configuración de esfuerzos en la trabe indica que el esfuerzo de compresión que se genera debido al presfuerzo excede el módulo de ruptura del concreto, por lo tanto, se propone el empleo de acero por estallamiento en las almas de la trabe.
- La subestructura se conformará de caballetes con tres pilas.
- El eje de acceso y el eje de salida (ejes 1 y 4) poseen un cabezal de 12.8 m de claro y pilas de 13.6 m de alto.
- Los ejes centrales (ejes 2 y 3) poseen un cabezal de 10.5 m de claro y pilas de 30.6 m de alto.
- Se usarán apoyos mecánicos tipo TETRON.

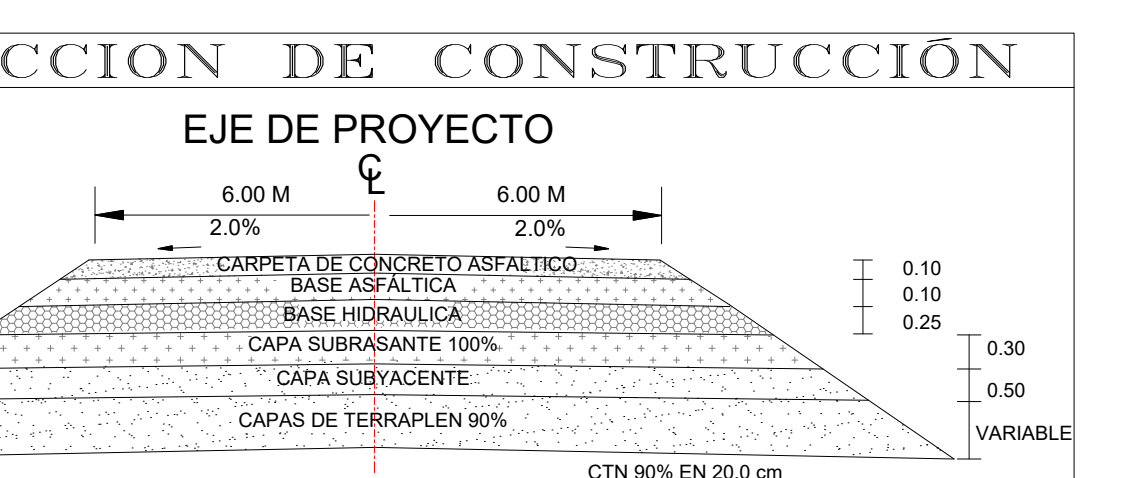
ANEXO A. ESTUDIOS PRELIMINARES

A.1 ESTUDIO TOPOGRÁFICO

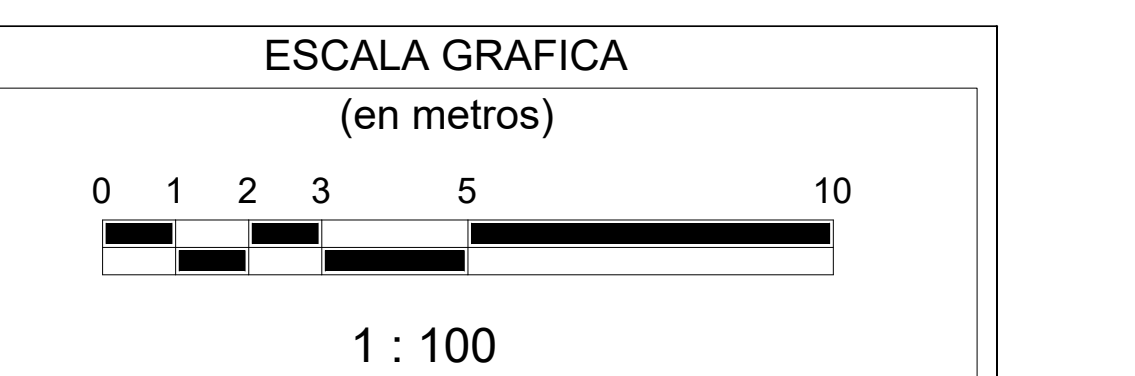




ESPECIFICACIONES DE PROYECTO		
C O N C E P T O S	C A R A C T E R I S T I C A S	U N I D A D
CARRETERA	DEL TRAMO EN ESTE PLANO	E.C.
VELOCIDAD DE PROYECTO	40-80 Km./hora	E.C.
ANCHO DE CORONA	VARIABLE	m.
ESPESOR DE PAVIMENTO	0.49	0.45 m.
CURVATURA MAXIMA	25'0" 25'0"	%
PENDIENTE GOBERNADORA	4.00	4.00 %
PENDIENTE MAXIMA	6.16	6.16 %



SÍMBOLOGIA	
EJE DE TRAZO	—
EJE DE PROYECTO	- - -
TERRENO NATURAL	—
CARPETA	—
FRESADO	—
BASE HIDRÁULICA	—
BASE ASFÁLTICA	—
SUBRASANTE	—
SUBYACENTE	—
TERAPLEN	—
DESPALME	—
ABREVIATURAS	
ETN = Elevación de Terreno Natural	
EBH = Elevación de Base Hidráulica	



A.2 ESTUDIO DE MECÁNICA DE SUELOS



PERFIL ESTRATIGRAFICO SONDEO SPT-02

PROFUNDIDAD DE EXPLORACIÓN: 15 M

UBICACION: Edo de Veracruz

N.A.F.
8.59 M

ESTRATIGRAFIA DEL SUELO		P R O F. (m)	MUESTRA		CONTENIDO (%)		CONTENIDO DE AGUA (%)				NUMERO DE GOLPES ASTM D-1586 (N)						R Q D										
DESCRIPCION	PERFIL		No.	TIPO	GRAVA	ARENA	FINOS	LIMITES DE CONSISTENCIA				W0	LL	LP	IP	5	10	15	20	25	30	35	40	45	50		
ARENA ARCILLOSA CON GRAVAS SC, DE COLOR CAFE CLARO		1	ABT	27	38	35		21.11	33.03	19.18	13.85																
BOLEOS EMPACADOS EN UNA MATRIZ ARCILLOSA DE COLOR GRIS		2	NQ	-	-	-																					
GRAVA ARCILLOSA CON ARENA GC, DE COLOR GRIS CLARO		3	ABT	45	21	34		28.13	31.78	17.86	13.92																
GRAVA ARCILLOSA CON ARENA GC, DE COLOR GRIS CLARO		4	ABT	72	19	9		19.3	25.59	16.67	8.92																
BOLEOS EMPACADOS EN UNA MATRIZ ARCILLOSA DE COLOR GRIS		5	NQ	-	-	-																					
ARCILLA DE ALTA PLASTICIDAD CON ARENA CH, DE COLOR CAFE CLARO		6	ABT	52	24	23		24.03	26.47	17.86	8.61																
BOLEOS EMPACADOS EN UNA MATRIZ ARCILLOSA DE COLOR GRIS		7	NQ	-	-	-																					
		10																									
		15																									
		20																									
FIN DEL SONDEO																											



S I M B O L O G I A

TP = TUBO PARTIDO
NQ = MUESTRA CON BARRIL NQ
ABT = AVANCE CON BROCA TRICONICA
T.P = TUBO PARTIDO

LP = LIMITE PLASTICO
LI = LIMITE LIQUIDO
IP = INDICE DE PLASTICIDAD
W0 = CONTENIDO DE HUMEDAD



PERFIL ESTRATIGRAFICO SONDEO SPT-03

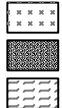
PROFUNDIDAD DE EXPLORACIÓN: 15.6 M

UBICACION: Edo de Veracruz

N.A.F.
8.0 M

FIN DEL SONDEO

S I M B O L O G I A



RELENO



ARENA



ARCILLA



GRAVA

TP = TUBO PARTIDO
NQ = MUESTRA CON BARRIL NQ
ABT = AVANCE CON BROCA TRICONICA
T.P = TUBO PARTIDO

LP = LIMITE PLASTICO
LI = LIMITE LIQUIDO
IP = INDICE DE PLASTICIDAD
W0 = CONTENIDO DE HUMEDAD



PERFIL ESTRATIGRAFICO SONDEO SPT-04

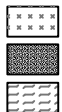
PROFUNDIDAD DE EXPLORACIÓN: 15.6 M

UBICACION: Edo de Veracruz

N.A.F.

FIN DEL SONDEO

S I M B O L O G I A



RELENO



ARENA



ARCILLA



GRAVA



LIMO



BOCA

TP = TUBO PARTIDO
NQ = MUESTRA CON BARRIL NQ
ABT = AVANCE CON BROCA TRICONICA
T.P = TUBO PARTIDO

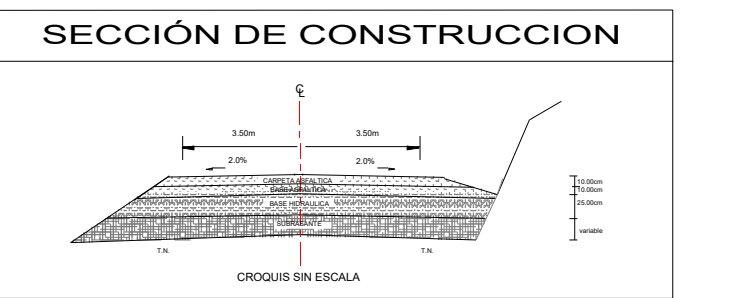
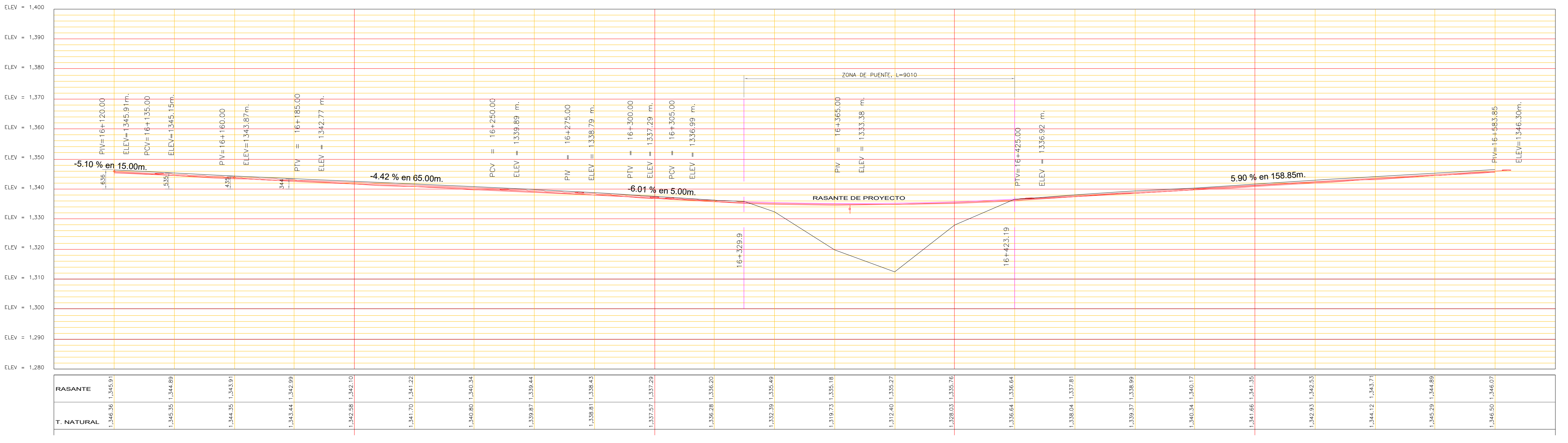
LP = LIMITE PLASTICO
LI = LIMITE LIQUIDO
IP = INDICE DE PLASTICIDAD
W0 = CONTENIDO DE HUMEDAD

ANEXO B.

PROYECTO

GEOMÉTRICO

B.1 PLANO DE PERFIL

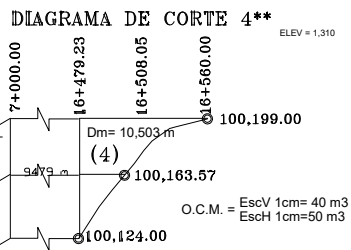


PERFIL LONGITUDINAL DE CONSTRUCCIÓN
GEOMETRÍA ESCALA 1:400

ESCALA 1:400

ESCALA VERTICAL 1:400
ESCALA HORIZONTAL 1:400

B.2 PLANO DE VOLÚMENES

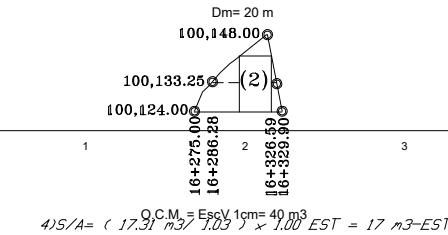


$$Corte = (75 / 1.03) \times 11 \text{ KM} = 801 \text{ m3-KM}$$

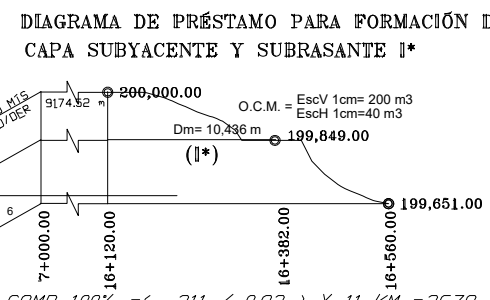
CANTIDADES DE OBRA

ACARREOS	MATERIAL PRODUCTO DE LOS CORTES					
	m3 ESTACION	m3 hm	m3 Km			
	63		2125			
DESPERDICIO						
	MATERIAL	PRODUCTO	DE LOS	PRESTAMOS	DE	BANCO
	m3 1er Km	m3 Km Subs		Vol. Aguas m3		
	375	4105				

DRENAJE MENOR		MATERIAL A MATERIAL B MATERIAL C	92.29m³ 61.52m³ 46.14m³	ACERO DE REFUERZO ACERO POR °TEMPERATURA	--> Kg. 292.26 Kg.
EXCAVACIONES					
RELENDO			46.14m³	1.20 m6 (Coc.)	13.75
ARROPE			54.25m³	m6 ()	m
PLANTILLA mat. granular			7.83 m³	m6 ()	m
CONCRETO		$f'_c = 100 \text{ Kg/cm}^2$ $f'_c = 150 \text{ Kg/cm}^2$ $f'_c = 190 \text{ Kg/cm}^2$ $f'_c = 230 \text{ Kg/cm}^2$	46.14m³ 46.14m³ 46.14m³ 46.14m³	m6 ()	m3
CONCRETO CICLOPEO			m3	DEMOLICIONES MAMPOSTERIA	m3
MALLA ELECTROBOLSADA			24. m²	PLANTILLA DE MATERIAL GRANULAR FILTRO DE PIEDRA IRITURADA TUBO DE PVC. 10 CM P/DREN	m3 m3 m3



$$4) S/A = \left(\frac{O.C.M. = EscV}{1cm} \right) \times 1.00 EST = 17 m^3-EST$$



$J^* \rightarrow COMP\ 100\% = (311 / 0.93) \times 11\ KM = 3678\ m3-KM$

$J^* \rightarrow COMP\ 95\% = (38 / 0.98) \times 11\ KM = 427\ m3-KM$

ESCALA 1:500

MOVIMIENTO DE TERRACERIAS

MOVIMIENTO No.	VOLUMEN GEOMETRICO M3	DISTANCIA DE SOBRE- ACARREO	DISTANCIA DE PAGO		VOLUMEN (SOBRE) x DISTANCIA ACARREO)	
			CANTIDAD	UNIDAD	CANTIDAD	UNIDAD
*	373	10,436	11.00	KM	4105	M3 KM
1**	120	10,233	11.00	KM	1324	M3 KM
2.00	17	20	1.00	EST	17	EST KM
3.00	47	20	1.00	EST	47	EST KM
4**	73	10,503	11.00	KM	801	M3 KM

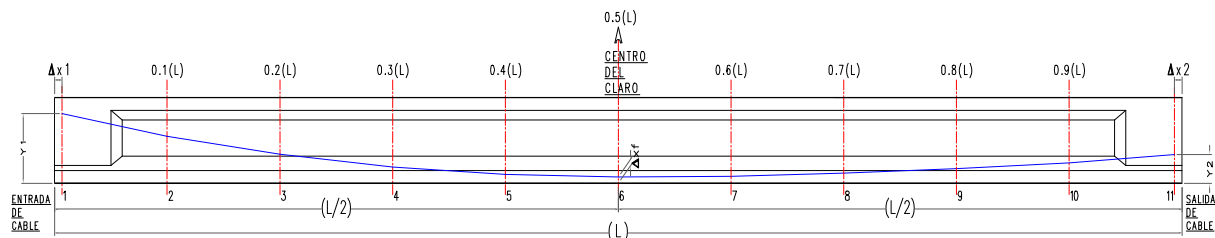
ANEXO C.

MEMORIA DE

CÁLCULO



TRAZO DE CABLE C-4



ECUACIÓN DE LA PARABOLA

$$X^2 = 4P(Y) \quad Ec \quad (1)$$

$$Y = \frac{x^2}{4p} \quad Ec \underline{\hspace{2cm}} (2)$$

DATOS GENERALES DEL CABLE DE PREESFUERZO

DATOS DEL ACERO DE PRESFUERZO					
Tipo	frg kg/mm ²	fru kg/mm ²	f o kg/mm ²	A o kg/mm ²	Fo ton
15T15	189.20	160.20	151.36	2.115.00	320.13

EJE NEUTRO	
Ss	S c
cm	cm
96.60	96.60

PUNTO #	ABCISA (x) m	ORDENADA (y) m	LONGITUD cm
1	16.215	1.300	
2	12.972	0.904	326.71
3	9.729	0.596	325.76
4	6.486	0.376	325.05
5	3.243	0.244	324.57
6	0.000	0.200	324.33
7	3.243	0.212	324.30
8	6.486	0.248	324.32
9	9.729	0.308	324.36
10	12.972	0.392	324.41
11	16.215	0.500	324.48
	32.430		3.248.28

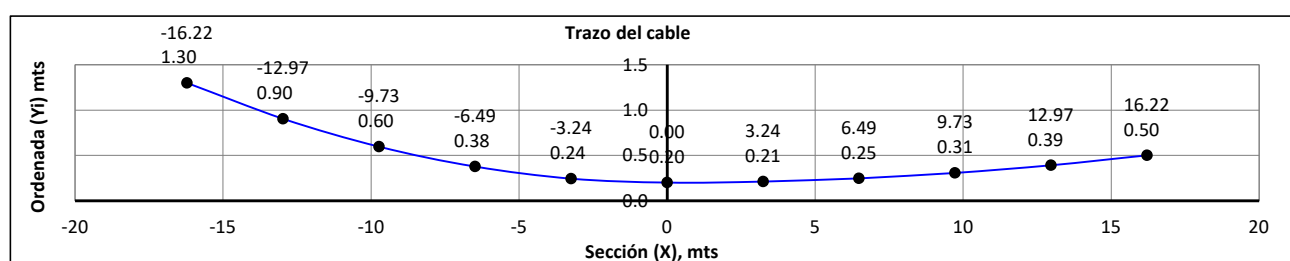
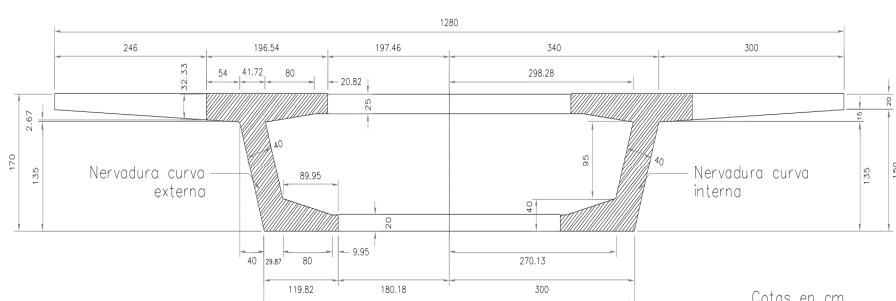
LONGITUD DE TRABE
L trabe, m = 32.73
SEPARACIÓN A PAÑO
Δx_1 , m = 0.15
Δx_2 , m = 0.15
LONGITUD DE CABLE
Δx cable, m = 32.43
Secciones = 10

LONGITUD POR SECCIÓN	
$\Delta x (a)$, m=	3.243
$\Delta x (b)$, m=	3.243
LONGITUD MEDIA DE CABLE	
Δx cable(a) =	16.22
Δx cable(b) =	16.22

PUNTOS DE INTERES DEL PRESFUERZO			
PUNTO INICIAL	PUNTO FINAL	PUNTO MEDIO	
X 1(m) = 16.22	X 11(m) = 16.22		
Y 1 (m) = 1.10	Y 11 (m) = 0.30	D xf =	0.2
P 1 = 59.76	P 11 = 219.11		

TRAZO DEL CABILDE DE PRESUELZO

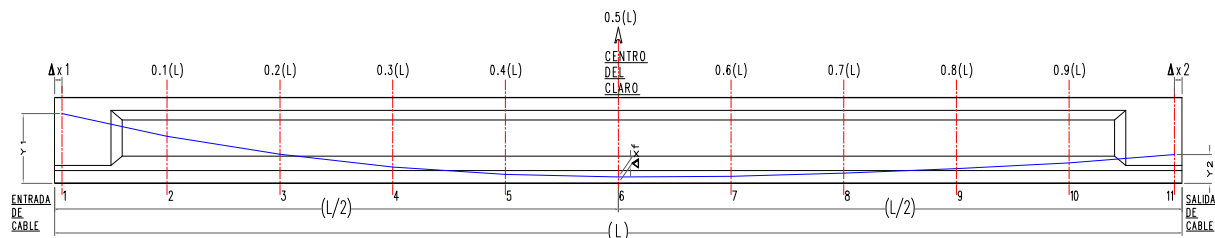
PUNTO #	ABCISA (x) m	ORDENADA (y) m
1	-16.215	1.300
2	-12.972	0.904
3	-9.729	0.596
4	-6.486	0.376
5	-3.243	0.244
6	0.000	0.200
7	3.243	0.212
8	6.486	0.248
9	9.729	0.308
10	12.972	0.392
11	16.215	0.500



SECCION SIMPLE.			
A cm ²	Y i cm	Y s cm	I cm ⁴
14,193.00	96.60	73.40	50,134,692.00

SECCION COMPUESTA			
A cm ²	Y i cm	Y s cm	I cm ⁴
14,193.00	96.60	73.40	50,134,692.00

TRAZO DE CABLE C-5



ECUACIÓN DE LA PARABOLA

$$X^2 = 4P(Y) \quad Ec \quad (1)$$

$$Y = \frac{x^2}{4p} \quad Ec \quad (2)$$

DATOS GENERALES DEL CABLE DE PREESFUERZO

DATOS DEL ACERO DE PRESFUERZO					
Tipo	frg kg/mm ²	fru kg/mm ²	f o kg/mm ²	A o kg/mm ²	Fo ton
15T15	189.20	160.20	151.36	2.115.00	320.13

EJE NEUTRO	
Ss	S c
cm	cm
96.60	96.60

PUNTO #	ABCISA (x) m	ORDENADA (y) m	LONGITUD cm
1	16.215	0.900	
2	12.972	0.648	325.28
3	9.729	0.452	324.89
4	6.486	0.312	324.60
5	3.243	0.228	324.41
6	0.000	0.200	324.31
7	3.243	0.228	324.31
8	6.486	0.312	324.41
9	9.729	0.452	324.60
10	12.972	0.648	324.89
11	16.215	0.900	325.28
	32.430		3.246.98

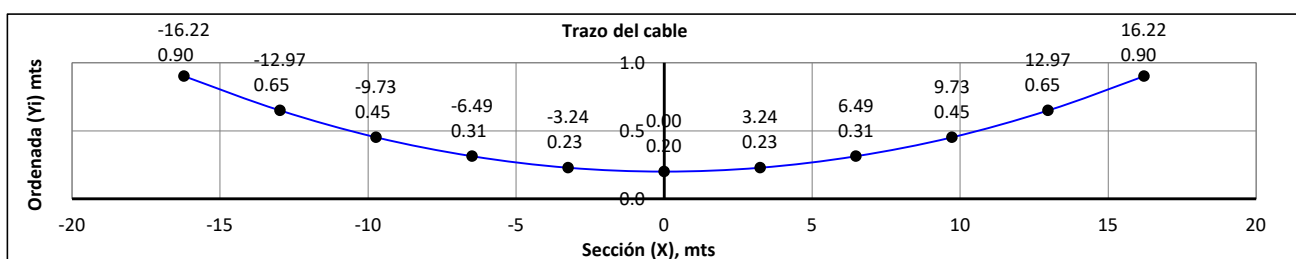
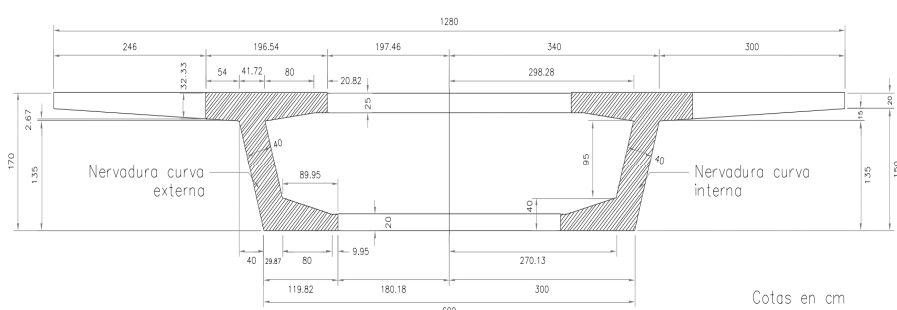
LONGITUD DE TRABE
L trabe, m = 32.73
SEPARACIÓN A PAÑO
Δx_1 , m = 0.15
Δx_2 , m = 0.15
LONGITUD DE CABLE
Δx cable, m = 32.43
Secciones = 10

LONGITUD POR SECCIÓN	
$\Delta x (a)$, m=	3.243
$\Delta x (b)$, m=	3.243
LONGITUD MEDIA DE CABLE	
Δx cable(a) =	16.22
Δx cable(b) =	16.22

PUNTOS DE INTERES DEL PRESFUERZO			
PUNTO INICIAL	PUNTO FINAL	PUNTO MEDIO	
X 1(m) = 16.22	X 11(m) = 16.22		
Y 1 (m) = 0.70	Y 11 (m) = 0.70	D xf =	0.2
P 1 = 93.90	P 11 = 93.90		

TRAZO DEL CABLE DE PREESFUERZO

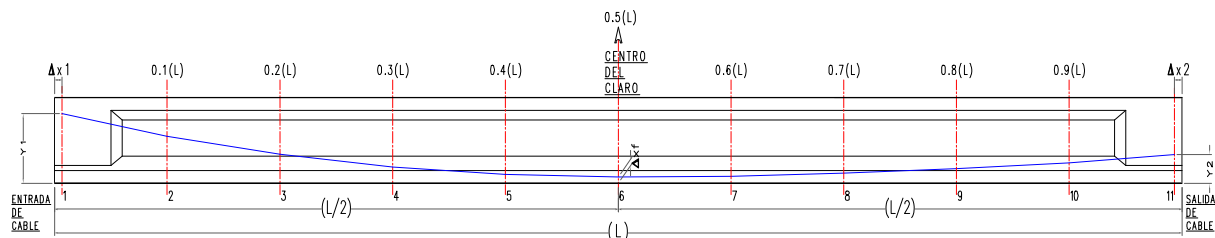
PUNTO #	ABCISA (x) m	ORDENADA (y) m
1	-16.215	0.900
2	-12.972	0.648
3	-9.729	0.452
4	-6.486	0.312
5	-3.243	0.228
6	0.000	0.200
7	3.243	0.228
8	6.486	0.312
9	9.729	0.452
10	12.972	0.648
11	16.215	0.900



SECCION SIMPLE.			
A cm ²	Y i cm	Y s cm	I cm ⁴
14,193.00	96.60	73.40	50,134,692.00

SECCION COMPUESTA			
A	Y i	Y s	I
cm ²	cm	cm	cm ⁴
14,193.00	96.60	73.40	50,134,692.00

TRAZO DE CABLE C-6



ECUACIÓN DE LA PARABOLA

$$X^2 = 4P(Y) \quad Ec \quad (1)$$

$$Y = \frac{x^2}{4p} \quad Ec \underline{\hspace{2cm}} (2)$$

DATOS GENERALES DEL CABLE DE PRESFUERZO

DATOS DEL ACERO DE PRESFUERZO					
Tipo	frg kg/mm ²	fru kg/mm ²	f o kg/mm ²	A o kg/mm ²	Fo ton
15T15	189.20	160.20	151.36	2.115.00	320.13

EJE NEUTRO	
Ss	S c
cm	cm
96.60	96.60

PUNTO #	ABCISA (x) m	ORDENADA (y) m	LONGITUD cm
1	16.215	0.500	
2	12.972	0.392	324.48
3	9.729	0.308	324.41
4	6.486	0.248	324.36
5	3.243	0.212	324.32
6	0.000	0.200	324.30
7	3.243	0.244	324.33
8	6.486	0.376	324.57
9	9.729	0.596	325.05
10	12.972	0.904	325.76
11	16.215	1.300	326.71
	32.430		3.248.28

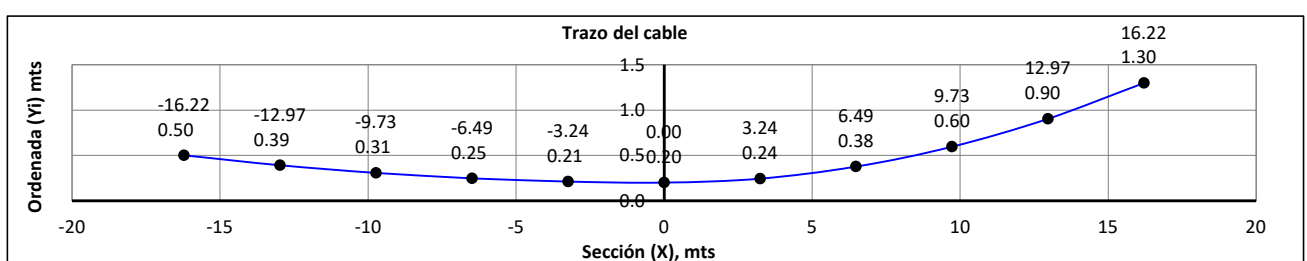
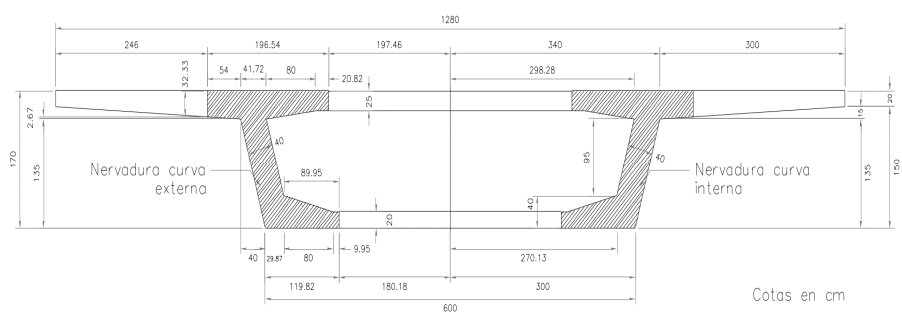
LONGITUD DE TRABE
L trabe, m = 32.73
SEPARACIÓN A PAÑO
Δx_1 , m = 0.15
Δx_2 , m = 0.15
LONGITUD DE CABLE
Δx cable, m = 32.43
Secciones = 10

LONGITUD POR SECCIÓN	
$\Delta x (a)$, m=	3.243
$\Delta x (b)$, m=	3.243
LONGITUD MEDIA DE CABLE	
Δx cable(a) =	16.22
Δx cable(b) =	16.22

PUNTOS DE INTERES DEL PRESFUERZO		
PUNTO INICIAL	PUNTO FINAL	PUNTO MEDIO
X 1(m) = 16.22	X 11(m) = 16.22	
Y 1 (m) = 0.30	Y 11 (m) = 1.10	D xf = 0.2
P 1 = 219.11	P 11 = 59.76	

TRAZO DEL CABILDE DE PRESUELZO

PUNTO #	ABCISA (x) m	ORDENADA (y) m
1	-16.215	0.500
2	-12.972	0.392
3	-9.729	0.308
4	-6.486	0.248
5	-3.243	0.212
6	0.000	0.200
7	3.243	0.244
8	6.486	0.376
9	9.729	0.596
10	12.972	0.904
11	16.215	1.300



SECCION SIMPLE.			
A cm ²	Y i cm	Y s cm	I cm ⁴
14,193.00	96.60	73.40	50,134,692.00

SECCION COMPUESTA			
A cm ²	Y i cm	Y s cm	I cm ⁴
14,193.00	96.60	73.40	50,134,692.00



DATOS GENERALES PARA LA ESTIMACIÓN DE PÉRDIDAS

DATOS GEOMETRICOS.

CABLE # = **4**
 LONGITUD DE LA TRABE = **32.73** m
 PROFUNDIDAD CAJA IZQUIERDA(Dx1) = **0.15** m
 PROFUNDIDAD CAJA DERECHA (Dx2) = **0.15** m
 SECCIONES A ANALIZAR = **10**

CARACTERISTICAS GEOMETRICAS DE LA TRABE.

TRABE SECCIÓN CAJÓN

SECCIÓN SIMPLE

AREA DE LA TRABE (A) = **14,193.00 cm²**
 PRFUNDIDAD DEL EJE NEUTRO (Y_i) = **96.60** cm
 PRFUNDIDAD DEL EJE NEUTRO (Y_s) = **73.40** cm
 MOMENTO DE INERCIA (I_s) = **50,134,692.00 cm⁴**
 Modulo, Si = **518,969.00 cm³**
 Modulo, S_s = **683,074.00 cm³**
 Radio, r_x = **59.43** cm

b_{sup} = **196.54**
 d₁ = **20**
 d₂ = **20**
 d₃ = **95**
 d₄ = **15**
 d₅ = **20**
 bw = **40**
 b_{inf} = **600**
 h = **170**
 t₁ = **0**

SECCIÓN COMPUESTA

AREA DE LA TRABE (A) = **14,193.00 cm²**
 PRFUNDIDAD DEL EJE NEUTRO (Y_i) = **96.60** cm
 PRFUNDIDAD DEL EJE NEUTRO (Y_s) = **73.40** cm
 MOMENTO DE INERCIA (I_s) = **50,134,692.00 cm⁴**
 Modulo, Si = **518,969.00 cm³**
 Modulo, S_s = **683,074.00 cm³**
 Radio, r_x = **59.43** cm

n_b e = **196.54**
 b_{sup} = **196.54**
 d₁ = **20**
 d₂ = **20**
 d₃ = **95**
 d₄ = **15**
 d₅ = **20**
 bw = **40**
 b_{inf} = **600**
 h = **170**
 t₁ = **0**

CARACTERÍSTICAS DEL CONCRETO

CONCRETO F'C = **450** kg/cm²

DATOS DEL CABLE DE PRESFUERZO.

CARACTERÍSTICAS DEL CABLE

Cable (tipo) = **15T15**
 Ep (kg/mm²) = **20,400.00**
 frg (kg/mm²) = **189.20**
 fru (kg/mm²) = **160.20**
 Tensado = **0.80**
 A (mm²) = **2,115.00**
 fo (kg/mm²) = **151.36**

Simbología.

Cable formado por torones de baja relajación
 Modulo de elasticidad del acero de presfuerzo
 Esfuerzo de ruptura del acero de presfuerzo
 Esfuerzo de fluencia del acero de presfuerzo
 Factor de tensado del acero de presfuerzo
 Área transversal del acero de presfuerzo
 Esfuerzo de tensado del acero de presfuerzo

COEFICIENTES UTILIZADOS

Coeficiente de fricción por desarrollo lineal, κ = **0.0002**
 Coeficiente de fricción por curvatura, μ = **0.25**
 Deslizamiento del anclaje (entrada de cono), Δ = **6** mm
 Relajacion = **3.5%**

TRAZO DEL CABLE

ENTRADA DEL CABLE (Y ₁) =	1.1 mts.	e =	0.00025
SALIDA DEL CABLE (Y ₁) =	0.3 mts.	r t =	0.18
CABLE AL C. CLARO(Y _{cc}) =	0.2 mts.		
No. DE CABLES =	6		



CALCULO DE PERDIDAS POR FRICTION.

CARACTERISTICAS GEOMETRICAS		COEFICIENTES UTILIZADOS		DATOS DEL CABLE	
L trabe (m) =	32.73	κ =	0.0002	Cable (tipo) =	15T15
$\Delta x 1$ (m) =	0.15	μ =	0.25	E_p (kg/mm ²) =	20,400.00
$\Delta x 2$ (m) =	0.15	Δ =	6 mm	f_{rg} (kg/cm ²) =	18,920.00
Δx cable (m) =	32.43	Relajacion =	3.50% a 100 hrs.	Tensado al =	0.80
No.Secc. =	10	Δm fricción =		f_o (kg/cm ²) =	15,136.00
Δx =	3.243	(Pendiente por fricción)		A (mm ²) =	2,115.00
Δy c.claro =	20			CABLE :	4

Sección	(X)	(X)	Yi	ΔY_i	$\frac{2 \Delta y}{x}$	$\frac{2 \Delta y}{x}$	α	α acumulado	f_i (kg/cm ²)	Δf_i
	Partiendo del C. Claro	partiendo del apoyo (m)	Desde el patín inf. de trabe (cm)	(m)	(radianes)	(rad) parcial	(grados)	(grados)	Esfzo. después de perdidas por fricción	Perdida por fricción (kg/cm ²)
1	16.22	0.00	130.00	1.10	0.00	0.03	0.00	0.00	15,136.00	0.00
2	12.97	3.24	90.40	0.70	0.03	0.03	1.55	1.55	15,098.41	37.59
3	9.73	6.49	59.60	0.40	0.05	0.03	3.11	3.11	15,060.83	75.17
4	6.49	9.73	37.60	0.18	0.08	0.03	4.66	4.66	15,023.24	112.76
5	3.24	12.97	24.40	0.04	0.11	-0.07	6.22	6.22	14,985.66	150.34
6	0.00	16.22	20.00	0.00	0.04	0.04	2.12	2.12	14,948.07	187.93
7	3.24	19.46	21.20	0.01	0.03	0.01	1.70	2.54	14,910.49	225.51
8	6.49	22.70	24.80	0.05	0.02	0.01	1.27	2.97	14,872.90	263.10
9	9.73	25.94	30.80	0.11	0.01	0.01	0.85	3.39	14,835.31	300.69
10	12.97	29.19	39.20	0.19	0.01	0.01	0.42	3.82	14,797.73	338.27
11	16.22	32.43	50.00	0.30	0.00	0.01	0.00	4.24	14,760.14	375.86

CÁLCULO DE LA LONGITUD DE INFLUENCIA POR ENTRADA DE CONO										
Ep (Δ) =	1,224,000.00 kg/cm ²									
Δm fricción =	11.590 kg/cm ² /m								CALCULO DEL ESFUERZO AL PUNTO DE INFLUENCIA POR ENTRADA DE CONO.	
Izquierdo										
d =	3,249.7748 cm								$(*) f_i (d) =$	14,759.36 kg/mm ²
$(*) d$ =	32.50 m								COMENTARIO : TENSAR EL CABLE POR UN LADO	
FÓRMULAS EMPLEADAS										
$\Delta_m = f_o - \frac{f_{L/2}}{L/2}$	Ec_____ (1) Pendiente por fricción									
$d = \sqrt{\frac{E_p (A)}{\Delta m \text{ fricción}}}$	Ec_____ (3) Longitud de influencia por entrada de cuña									
$\Delta f_o = f_o e^{-(k x + \mu)}$	Ec_____ (2) Perdidas por fricción y curvatura									



CALCULO DE ESFUERZOS DE ACUÑAMIENTO.

Sección	f_i (kg/cm ²) Esfuerzo después de perdidas por fricción.	f_{acuñ.} (kg/cm ²)	$\Delta_{acuñ.} = \frac{f_i(d) - f_e}{d_{acuñ.}}$ Ec_____ (4) Pendiente por acuñamiento
1	15,136.00	14,382.72	
2	15,098.41	14,420.30	
3	15,060.83	14,457.89	
4	15,023.24	14,495.47	
5	14,985.66	14,533.06	
6	14,948.07	14,570.65	
7	14,910.49	14,608.23	
8	14,872.90	14,645.82	
9	14,835.31	14,683.40	
10	14,797.73	14,720.99	
11	14,760.14	14,758.57	
Acuñamiento	14,759.36	14,382.72	

$$f_e = f_o - [2(f_0 - f_i(d))] \quad \text{Ec_____ (5) Esfuerzo en el anclaje después de ocurrido el acuñamiento}$$

$$\begin{aligned} f(e) &= 14,382.72 \\ \Delta m_{acuñ.} &= 11.590 \end{aligned}$$

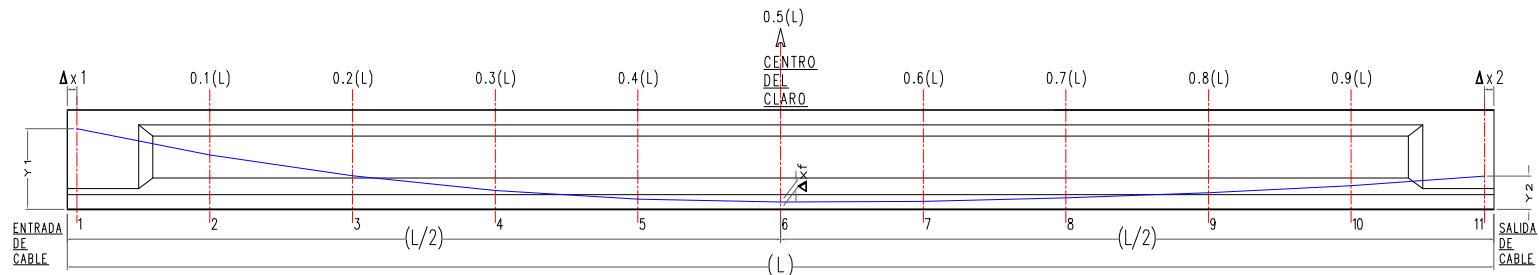
GRÁFICA DE ESFUERZOS

Sección	Abolsa (mts)	f_i (kg/cm ²)	f_{acuñ.} (kg/cm ²)	Long. Cable (cm)	Alarg. (mm)
1	0.00	15,136.00	14,382.72	326.71	24.21
2	3.24	15,098.41	14,420.30	325.76	24.08
3	6.49	15,060.83	14,457.89	325.05	23.97
4	9.73	15,023.24	14,495.47	324.57	23.87
5	12.97	14,985.66	14,533.06	324.33	23.80
6	16.22	14,948.07	14,570.65	324.30	23.73
7	19.46	14,910.49	14,608.23	324.32	23.67
8	22.70	14,872.90	14,645.82	324.36	23.62
9	25.94	14,835.31	14,683.40	324.41	23.56
10	29.19	14,797.73	14,720.99	324.48	23.51
11	32.43	14,760.14	14,758.57	324.48	23.48
Acuñ.	32.50	14,759.36	14,382.72	324.48	23.48

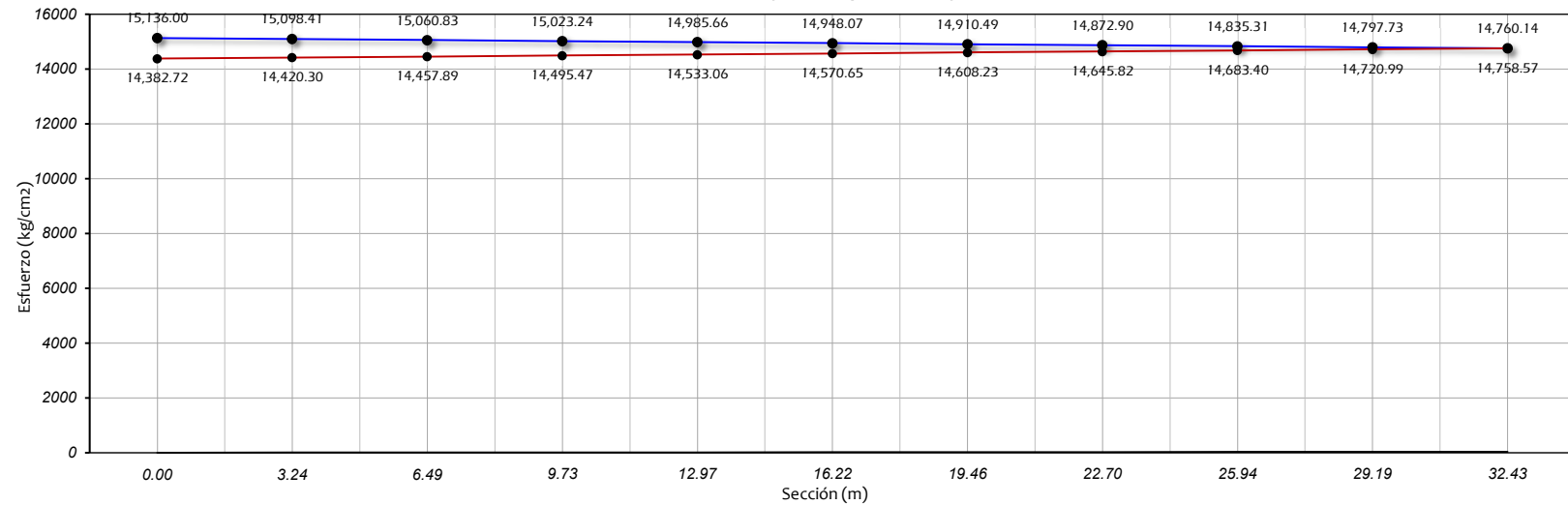
Alargamiento del cable, mm = 261.50



GRAFICA DE ESFUERZOS (TENSADO POR UN SOLO LADO)



Grafica de esfuerzos (tensado por un lado)





PERDIDAS POR ACORTAMIENTO ELASTICO

Características de los materiales.

$f_c = 450$ Kg/cm²

$Eci = 296,984.85$ Kg/cm²

Características de la trabe.

$A = 14,193.00$ cm²

$Yi = 96.60$ cm

$Ys = 73.40$ cm

$I = 50,134,692.00$ cm⁴

Características del presfuerzo.

Cable = 15T15

$E_p = 20,400.00$ Kg/cm²

$Frg = 189.20$ Kg/cm²

Tensado al = 0.80

$Fo = 151.36$ Kg/cm²

Apresf = 2,115.00 mm²

$r^2 = 0.35$

$N = 6.00$ Cables

Momentos por peso propio.

Sección simple

$$M_x = \frac{W_{popo}}{2} * [L(X) - X^2] \quad Ec. \underline{\hspace{2cm}} \quad (6)$$

$$V_x = W_{popo} \left(\frac{L}{2} - X \right) \quad Ec. \underline{\hspace{2cm}} \quad (7)$$

$$0 \leq X \leq \frac{L}{2} \quad Condición \ de \ apoyo \ simple$$

$W_{popo} = 3.406$ ton/m

Claro (L) = 32.73

$n = 6.869$

Sección	(X)	f_I kg/cm ²	$f_{acuñ}$ kg/cm ²	$f_I(r)$ kg/cm ²	$M_{po.po}$ t - m	Δy_i cm	e m	e_2 m ²	P_i ton
1	0.00	15,136.00	14,382.72	14,382.72	0.00	1.10	-0.13	0.02	304.19
2	3.24	15,098.41	14,420.30	14,420.30	162.87	0.70	0.26	0.07	304.99
3	6.49	15,060.83	14,457.89	14,457.89	289.91	0.40	0.57	0.32	305.78
4	9.73	15,023.24	14,495.47	14,495.47	381.13	0.18	0.79	0.62	306.58
5	12.97	14,985.66	14,533.06	14,533.06	436.52	0.04	0.92	0.85	307.37
6	16.22	14,948.07	14,570.65	14,570.65	456.09	0.00	0.97	0.93	308.17
7	19.46	14,910.49	14,608.23	14,608.23	436.52	0.01	0.95	0.91	308.96
8	22.70	14,872.90	14,645.82	14,645.82	381.13	0.05	0.92	0.84	309.76
9	25.94	14,835.31	14,683.40	14,683.40	289.91	0.11	0.86	0.74	310.55
10	29.19	14,797.73	14,720.99	14,720.99	162.87	0.19	0.77	0.60	311.35
11	32.43	14,760.14	14,758.57	14,760.14	0.00	0.30	0.67	0.44	312.18
Acuñ.	32.50	14,759.36	14,382.72	14,759.36	0.00	0.30	0.67	0.44	312.16

Sección	P/A kg/cm ²	$1+(e_2/r^2)$	$Mo e / I$ kg/cm ²	f_c kg/cm ²	Δf kg/cm ²
1	21.43	1.05	0.00	22.52	64.46
2	21.49	1.19	8.51	17.15	49.09
3	21.54	1.92	32.96	8.40	24.04
4	21.60	2.77	60.06	0.29	0.83
5	21.66	3.41	80.28	6.50	18.61
6	21.71	3.64	87.88	8.81	25.21
7	21.77	3.58	83.06	5.21	14.91
8	21.82	3.39	69.79	4.11	11.75
9	21.88	3.08	49.61	17.87	51.14
10	21.94	2.70	25.14	34.00	97.30
11	22.00	2.26	0.00	49.61	142.00
Acuñamiento	21.99	2.26	0.00	49.61	141.99

FORMULAS EMPLEADAS

$$\Delta_f = \frac{N - 1}{2N} * \frac{E_p}{E_{ci}} * f_c \quad Ec. \underline{\hspace{2cm}} \quad (8)$$

$$f_c = \frac{P}{A} * \left(1 + \frac{e^2}{r^2} \right) + \left(\frac{M_{popo} * e}{I} \right) \quad Ec. \underline{\hspace{2cm}} \quad (9)$$

$$n = \frac{E_p}{E_{ci}} \quad Ec. \underline{\hspace{2cm}} \quad (10)$$

$$r^2 = \frac{I}{A} \quad Ec. \underline{\hspace{2cm}} \quad (11)$$



PERDIDAS DIFERIDAS

CONTRACCIÓN DEL CONCRETO

Características de los materiales.

$$\epsilon = 0.00025$$

$$E_p = 20400$$

$$r_t = 0.18$$

Formulas

$$\Delta f_c = E_p * \epsilon (1 - r_t) \quad Ec. \text{_____} (12)$$

$$\Delta f_c = 418.200 \quad \text{Kg/cm}^2$$

Sección	Abcisa m	Δf_c kg/cm^2
1	0.00	418.20
2	3.24	418.20
3	6.49	418.20
4	9.73	418.20
5	12.97	418.20
6	16.22	418.20
7	19.46	418.20
8	22.70	418.20
9	25.94	418.20
10	29.19	418.20
11	32.43	418.20
Acuñamiento	32.50	418.20

Resumen de perdidas instantáneas

Sección	Abcisa m	$\Delta f_{\text{fricción}}$ kg/cm^2	$\Delta \sigma$ E.cono kg/cm^2	$\Delta \sigma$ A.elástico kg/cm^2	$\Delta \sigma$ total Instantáneas kg/cm^2	(*) σ_i kg/cm^2
1	0.00	0.00	753.28	64.46	817.74	14,318.26
2	3.24	37.59	715.70	49.09	802.38	14,333.62
3	6.49	75.17	678.11	24.04	777.33	14,358.67
4	9.73	112.76	640.53	0.83	754.12	14,381.88
5	12.97	150.34	602.94	18.61	771.90	14,364.10
6	16.22	187.93	565.35	25.21	778.49	14,357.51
7	19.46	225.51	527.77	14.91	768.19	14,367.81
8	22.70	263.10	490.18	11.75	765.03	14,370.97
9	25.94	300.69	452.60	51.14	804.42	14,331.58
10	29.19	338.27	415.01	97.30	850.59	14,285.41
11	32.43	375.86	377.43	142.00	895.28	14,240.72
Acuñamiento	32.50	375.86	753.28	141.99	1,271.13	13,864.87

(*)

Esfuerzo en el cable después
de ocurridas las perdidas
instantáneas.



FLUJO PLASTICO DEL CONCRETO

MOMENTOS POR PESO PROPIO

Sección compuesta

$$M_x = \frac{W_{popo}}{2} * [L(X) - X^2]$$

$$V_x = W_{popo} \left(\frac{L}{2} - X \right)$$

CARACTERÍSTICAS DE LOS MATERIALES

$E_p = 20,400.00$ kg/cm

$E_{ci} = 296,984.85$ kg/cm

$n = 6.87$

$$0 \leq X \leq \frac{L}{2} \quad \text{Condición de apoyo simple}$$

$W_{(popo)} = 3.406$ ton/m

Claro (L) = 32.73

Sección	Abcisa m	σ_i después de ΔI_{inst} kg/cm ²	M po.po (t - m)	M_o / I (kg/cm ²)	f c (kg/cm ²)	Δf Sec. compuesta kg/cm ²	Δf Sec. Simple kg/cm ²	Δf kg/cm ²
			Sec. Comp					
1	0.00	14,318.26	0.00	0.00	22.52	64.46	64.46	885.57
2	3.24	14,333.62	162.87	8.51	17.15	49.09	49.09	674.46
3	6.49	14,358.67	289.91	32.96	8.40	24.04	24.04	330.30
4	9.73	14,381.88	381.13	60.06	-0.29	-0.83	0.83	11.45
5	12.97	14,364.10	436.52	80.28	-6.50	-18.61	18.61	255.70
6	16.22	14,357.51	456.09	87.88	-8.81	-25.21	25.21	346.32
7	19.46	14,367.81	439.84	83.70	-5.84	-16.71	14.91	204.78
8	22.70	14,370.97	387.76	71.00	2.89	8.28	11.75	161.44
9	25.94	14,331.58	299.85	51.32	16.17	46.27	51.14	702.52
10	29.19	14,285.41	176.12	27.19	31.95	91.44	97.30	1,336.75
11	32.43	14,240.72	16.57	2.20	47.41	135.70	142.00	1,950.82
Acuñamiento	32.50	13,864.87	12.85	1.71	47.90	137.11	141.99	1,950.72

CARACTERÍSTICAS DE LA TRABE

Sección compuesta

$A = 14,193.00$ cm²

$Y_i = 96.60$ cm

$Y_s = 73.40$ cm

$I = 50,134,692.00$ cm⁴

FORMULAS EMPLEADAS

$$\Delta f_f = 2 * f_i \left(\frac{E_p}{E_c} \right) \quad \text{Ec. } \underline{\underline{(13)}}$$

$$f_c = \frac{P}{A} \left(1 + \frac{e^2}{r^2} \right) + \left(\frac{M_{pp} * e}{I} \right) \quad \text{Ec. } \underline{\underline{(14)}}$$

$$n = \frac{E_p}{E_{ci}}$$

$$r^2 = \frac{I}{A}$$

RELAJACION DEL ACERO DE PRESFUERZO.

Datos :

$f_{rg} = 18,920.00$

$P(1000)hrs = 3.5$

$\mu_o = 0.43$

Sección	Abcisa m o =	σ_i después de ΔI_{inst} kg/cm ²	Δf_r Sec. Compuesta t-m
1	0.00	14,318.26	982.57
2	3.24	14,333.62	986.07
3	6.49	14,358.67	991.78
4	9.73	14,381.88	997.09
5	12.97	14,364.10	993.03
6	16.22	14,357.51	991.52
7	19.46	14,367.81	993.87
8	22.70	14,370.97	994.59
9	25.94	14,331.58	985.60
10	29.19	14,285.41	975.11
11	32.43	14,240.72	964.99
Acuñamiento	32.50	13,864.87	881.68

FORMULA EMPLEADA

$$\Delta f_r = \frac{6}{100} * \left(\frac{f_{pi}}{f_{rg}} - \mu_o \right) * f_{pi} * P_{1000 hrs} \quad \text{Ec. } \underline{\underline{(15)}}$$



RESUMEN DE PERDIDAS

Sección	Abcisa m	$\Delta \sigma$ fricción kg/cm²	$\Delta \sigma$ E. cono kg/cm²	$\Delta \sigma$ A. Elástico kg/cm²	$\Delta \sigma$ total Instantáneas kg/cm²	$\Delta \sigma$ Contracción kg/cm²	$\Delta \sigma$ Flujo plástico kg/cm²	$\Delta \sigma$ Relajación kg/cm²	$\Delta \sigma$ total Diferidas kg/cm²
1	0.00	0.00	753.28	64.46	817.74	418.20	885.57	982.57	2,286.34
2	3.24	37.59	715.70	49.09	802.38	418.20	674.46	986.07	2,078.73
3	6.49	75.17	678.11	24.04	777.33	418.20	330.30	991.78	1,740.28
4	9.73	112.76	640.53	0.83	754.12	418.20	11.45	997.09	1,426.74
5	12.97	150.34	602.94	18.61	771.90	418.20	255.70	993.03	1,666.93
6	16.22	187.93	565.35	25.21	778.49	418.20	346.32	991.52	1,756.04
7	19.46	225.51	527.77	14.91	768.19	418.20	204.78	993.87	1,616.86
8	22.70	263.10	490.18	11.75	765.03	418.20	161.44	994.59	1,574.23
9	25.94	300.69	452.60	51.14	804.42	418.20	702.52	985.60	2,106.32
10	29.19	338.27	415.01	97.30	850.59	418.20	1,336.75	975.11	2,730.05
11	32.43	375.86	377.43	142.00	895.28	418.20	1,950.82	964.99	3,334.01
Acumulado	32.50	375.86	753.28	141.99	1,271.13	418.20	1,950.72	881.68	3,250.60

Sección	Abcisa m	Δ total Instantáneas kg/cm²	Δ total Diferidas kg/cm²	σ o Esfzo. Inicial kg/cm²	σ i Esfzo. Final kg/cm²	Fo Fuerza final ton.	Δ (%) perdidas instantáneas	Δ (%) perdidas diferidas	Δ (%) perdidas totales
1	0.00	817.74	2,286.34	15,136.00	12,031.92	254.48	5.40	15.11	20.51
2	3.24	802.38	2,078.73	15,136.00	12,254.89	259.19	5.30	13.73	19.03
3	6.49	777.33	1,740.28	15,136.00	12,618.39	266.88	5.14	11.50	16.63
4	9.73	754.12	1,426.74	15,136.00	12,955.14	274.00	4.98	9.43	14.41
5	12.97	771.90	1,666.93	15,136.00	12,697.18	268.55	5.10	11.01	16.11
6	16.22	778.49	1,756.04	15,136.00	12,601.47	266.52	5.14	11.60	16.75
7	19.46	768.19	1,616.86	15,136.00	12,750.95	269.68	5.08	10.68	15.76
8	22.70	765.03	1,574.23	15,136.00	12,796.73	270.65	5.05	10.40	15.45
9	25.94	804.42	2,106.32	15,136.00	12,225.26	258.56	5.31	13.92	19.23
10	29.19	850.59	2,730.05	15,136.00	11,555.36	244.40	5.62	18.04	23.66
11	32.43	895.28	3,334.01	15,136.00	10,906.70	230.68	5.91	22.03	27.94
Acumulado	32.50	1,271.13	3,250.60	15,136.00	10,614.26	224.49	8.40	21.48	29.87



RESUMEN FINAL.

CABLE:

4

Sección	Abcisa m	Ordenada m	Δ σ total Instantáneas kg/cm ²	Δ σ total Diferidas kg/cm ²	σ o Esfzo. Inicial kg/cm ²	σ i Esfzo. Final kg/cm ²	Fo Fuerza inicial ton.	Fo Fuerza final ton.	Δ Fo Instantáneas ton.	Δ Fo diferidas ton.
1	0.00	1.30	817.74	2,286.34	15,136.00	12,031.92	320.13	254.48	17.30	48.36
2	3.24	0.90	802.38	2,078.73	15,136.00	12,254.89	320.13	259.19	16.97	43.97
3	6.49	0.60	777.33	1,740.28	15,136.00	12,618.39	320.13	266.88	16.44	36.81
4	9.73	0.38	754.12	1,426.74	15,136.00	12,955.14	320.13	274.00	15.95	30.18
5	12.97	0.24	771.90	1,666.93	15,136.00	12,697.18	320.13	268.55	16.33	35.26
6	16.22	0.20	778.49	1,756.04	15,136.00	12,601.47	320.13	266.52	16.47	37.14
7	19.46	0.21	768.19	1,616.86	15,136.00	12,750.95	320.13	269.68	16.25	34.20
8	22.70	0.25	765.03	1,574.23	15,136.00	12,796.73	320.13	270.65	16.18	33.30
9	25.94	0.31	804.42	2,106.32	15,136.00	12,225.26	320.13	258.56	17.01	44.55
10	29.19	0.39	850.59	2,730.05	15,136.00	11,555.36	320.13	244.40	17.99	57.74
11	32.43	0.50	895.28	3,334.01	15,136.00	10,906.70	320.13	230.68	18.94	70.51
Acuñamiento	32.50	0.50	1,271.13	3,250.60	15,136.00	10,614.26	320.13	224.49	26.88	68.75

TABLA RESUMEN DE PERDIDAS

4

Sección	Abcisa (X) m	Ordenada (Y) m	Δ σf fricción kg/cm ²	Δ σf E. cono kg/cm ²	Δ σf A. elástico kg/cm ²	Δ σ total Instantáneas kg/cm ²	Δ σf Contracción kg/cm ²	Δ σf F. plástico kg/cm ²	Δ σf Relajación kg/cm ²	Δ σ total Diferidas kg/cm ²	Fo Fuerza inicial ton.	Fo Fuerza final ton.	Δ Fo Instantáneas ton.	Δ Fo diferidas ton.	% Perdidas ton.
1	0.00	1.30	0.00	753.28	64.46	817.74	418.20	885.57	982.57	2,286.34	320.13	254.48	17.30	48.36	20.51
2	3.24	0.90	37.59	715.70	49.09	802.38	418.20	674.46	986.07	2,078.73	320.13	259.19	16.97	43.97	19.03
3	6.49	0.60	75.17	678.11	24.04	777.33	418.20	330.30	991.78	1,740.28	320.13	266.88	16.44	36.81	16.63
4	9.73	0.38	112.76	640.53	0.83	754.12	418.20	11.45	997.09	1,426.74	320.13	274.00	15.95	30.18	14.41
5	12.97	0.24	150.34	602.94	18.61	771.90	418.20	255.70	993.03	1,666.93	320.13	268.55	16.33	35.26	16.11
6	16.22	0.20	187.93	565.35	25.21	778.49	418.20	346.32	991.52	1,756.04	320.13	266.52	16.47	37.14	16.75
7	19.46	0.21	225.51	527.77	14.91	768.19	418.20	204.78	993.87	1,616.86	320.13	269.68	16.25	34.20	15.76
8	22.70	0.25	263.10	490.18	11.75	765.03	418.20	161.44	994.59	1,574.23	320.13	270.65	16.18	33.30	15.45
9	25.94	0.31	300.69	452.60	51.14	804.42	418.20	702.52	985.60	2,106.32	320.13	258.56	17.01	44.55	19.23
10	29.19	0.39	338.27	415.01	97.30	850.59	418.20	1,336.75	975.11	2,730.05	320.13	244.40	17.99	57.74	23.66
11	32.43	0.50	375.86	377.43	142.00	895.28	418.20	1,950.82	964.99	3,334.01	320.13	230.68	18.94	70.51	27.94
Acuñ.	32.50	0.50	375.86	753.28	141.99	1,271.13	418.20	1,950.72	881.68	3,250.60	320.13	224.49	26.88	68.75	29.87
															$\Delta f_p = 18.68$



DATOS GENERALES PARA LA ESTIMACIÓN DE PÉRDIDAS

DATOS GEOMETRICOS.

CABLE # = **5**
 LONGITUD DE LA TRABE = **32.73** m
 PROFUNDIDAD CAJA IZQUIERDA(Dx1) = **0.15** m
 PROFUNDIDAD CAJA DERECHA (Dx2) = **0.15** m
 SECCIONES A ANALIZAR = **10**

CARACTERISTICAS GEOMETRICAS DE LA TRABE.

TRABE SECCIÓN CAJÓN

SECCIÓN SIMPLE

AREA DE LA TRABE (A) = **14,193.00 cm²**
 PRFUNDIDAD DEL EJE NEUTRO (Y_i) = **96.60** cm
 PRFUNDIDAD DEL EJE NEUTRO (Y_s) = **73.40** cm
 MOMENTO DE INERCIA (I_s) = **50,134,692.00 cm⁴**
 Modulo, Si = **518,969.00 cm³**
 Modulo, S_s = **683,074.00 cm³**
 Radio, r_x = **59.43** cm

b_{sup} = **196.54**
 d₁ = **20**
 d₂ = **20**
 d₃ = **95**
 d₄ = **15**
 d₅ = **20**
 bw = **40**
 b_{inf} = **600**
 h = **170**
 t₁ = **0**

SECCIÓN COMPUESTA

AREA DE LA TRABE (A) = **14,193.00 cm²**
 PRFUNDIDAD DEL EJE NEUTRO (Y_i) = **96.60** cm
 PRFUNDIDAD DEL EJE NEUTRO (Y_s) = **73.40** cm
 MOMENTO DE INERCIA (I_s) = **50,134,692.00 cm⁴**
 Modulo, Si = **518,969.00 cm³**
 Modulo, S_s = **683,074.00 cm³**
 Radio, r_x = **59.43** cm

n_b e = **196.54**
 b_{sup} = **196.54**
 d₁ = **20**
 d₂ = **20**
 d₃ = **95**
 d₄ = **15**
 d₅ = **20**
 bw = **40**
 b_{inf} = **600**
 h = **170**
 t₁ = **0**

CARACTERÍSTICAS DEL CONCRETO

CONCRETO F'C = **450** kg/cm²

DATOS DEL CABLE DE PRESFUERZO.

CARACTERÍSTICAS DEL CABLE

Cable (tipo) = **15T15**
 Ep (kg/mm²) = **20,400.00**
 frg (kg/mm²) = **189.20**
 fru (kg/mm²) = **160.20**
 Tensado = **0.80**
 A (mm²) = **2,115.00**
 fo (kg/mm²) = **151.36**

Simbología.

Cable formado por torones de baja relajación
 Modulo de elasticidad del acero de presfuerzo
 Esfuerzo de ruptura del acero de presfuerzo
 Esfuerzo de fluencia del acero de presfuerzo
 Factor de tensado del acero de presfuerzo
 Área transversal del acero de presfuerzo
 Esfuerzo de tensado del acero de presfuerzo

COEFICIENTES UTILIZADOS

Coeficiente de fricción por desarrollo lineal, κ = **0.0002**
 Coeficiente de fricción por curvatura, μ = **0.25**
 Deslizamiento del anclaje (entrada de cono), Δ = **6** mm
 Relajacion = **3.5%**

TRAZO DEL CABLE

ENTRADA DEL CABLE (Y ₁) =	0.7 mts.	e =	0.00025
SALIDA DEL CABLE (Y ₁) =	0.7 mts.	r t =	0.18
CABLE AL C. CLARO(Y _{cc}) =	0.2 mts.		
No. DE CABLES =	6		



CALCULO DE PERDIDAS POR FRICTION.

CARACTERISTICAS GEOMETRICAS		COEFICIENTES UTILIZADOS		DATOS DEL CABLE	
L trabe (m) =	32.73	κ =	0.0002	Cable (tipo) =	15T15
$\Delta x 1$ (m) =	0.15	μ =	0.25	E_p (kg/mm ²) =	20,400.00
$\Delta x 2$ (m) =	0.15	Δ =	6 mm	f_{rg} (kg/Cm ²) =	18,920.00
Δx cable (m) =	32.43	Relajacion =	3.50% a 100 hrs.	Tensado al =	0.80
No.Secc. =	10	Δm fricción =		f_o (kg/cm ²) =	15,136.00
Δx =	3.243	(Pendiente por fricción)		A (mm ²) =	2,115.00
Δy c.claro =	20			CABLE :	5

Sección	(X)	(X)	Yi	ΔY_i	$\frac{2 \Delta y}{x}$	$\frac{2 \Delta y}{x}$	α	α acumulado	f_i (kg/cm ²)	Δf_i
	Partiendo del C. Claro	partiendo del apoyo (m)	Desde el patín inf. de trabe (cm)	(m)	(radianes)	(rad) parcial	(grados)	(grados)	Esfzo. después de perdidas por fricción	Perdida por fricción (kg/cm ²)
1	16.22	0.00	90.00	0.70	0.00	0.02	0.00	0.00	15,136.00	0.00
2	12.97	3.24	64.80	0.45	0.02	0.02	0.99	0.99	15,061.77	74.23
3	9.73	6.49	45.20	0.25	0.03	0.02	1.98	1.98	14,987.53	148.47
4	6.49	9.73	31.20	0.11	0.05	0.02	2.97	2.97	14,913.30	222.70
5	3.24	12.97	22.80	0.03	0.07	0.02	3.96	3.96	14,839.06	296.94
6	0.00	16.22	20.00	0.00	0.09	0.09	4.95	4.95	14,764.83	371.17
7	3.24	19.46	22.80	0.03	0.07	0.02	3.96	5.94	14,690.60	445.40
8	6.49	22.70	31.20	0.11	0.05	0.02	2.97	6.93	14,616.36	519.64
9	9.73	25.94	45.20	0.25	0.03	0.02	1.98	7.92	14,542.13	593.87
10	12.97	29.19	64.80	0.45	0.02	0.02	0.99	8.90	14,467.90	668.10
11	16.22	32.43	90.00	0.70	0.00	0.02	0.00	9.89	14,393.66	742.34

CÁLCULO DE LA LONGITUD DE INFLUENCIA POR ENTRADA DE CONO																			
Ep (Δ) =	1,224,000.00 kg/cm ²																		
Δm fricción =	22.890 kg/cm ² /m							CALCULO DEL ESFUERZO AL PUNTO DE INFLUENCIA POR ENTRADA DE CONO.											
d =	2,312.4016 cm							Izquierdo											
(*) f_i (d) = 14,606.68 kg/mm ²																			
COMENTARIO : TENSAR EL CABLE POR UN LADO																			
FÓRMULAS EMPLEADAS																			
$\Delta_m = f_o - \frac{f_{L/2}}{L/2}$	Ec_____ (1) Pendiente por fricción			$d = \sqrt{\frac{E_p (A)}{\Delta m \text{ fricción}}}$	Ec_____ (3) Longitud de influencia por entrada de cuña														
$\Delta f_o = f_o e^{-(k x + \mu)}$	Ec_____ (2) Perdidas por fricción y curvatura																		



CALCULO DE ESFUERZOS DE ACUÑAMIENTO.

Sección	f_i (kg/cm ²) Esfuerzo después de perdidas por fricción.	f_{acuñ.} (kg/cm ²)	$\Delta_{acuñ.} = \frac{f_i(d) - f_e}{d_{acuñ.}}$ Ec_____ (4) Pendiente por acuñamiento
1	15,136.00	14,077.36	
2	15,061.77	14,151.59	
3	14,987.53	14,225.83	
4	14,913.30	14,300.06	
5	14,839.06	14,374.30	
6	14,764.83	14,448.53	
7	14,690.60	14,522.76	
8	14,616.36	14,597.00	
Acuñamiento	14,606.68	14,671.23	$f_e = f_o - [2(f_0 - f_i(d))]$ Ec_____ (5) Esfuerzo en el anclaje después de ocurrido el acuñamiento $f(e) = 14,077.36$ $\Delta m_{acuñ.} = 22.890$
9	14,542.13		
10	14,467.90		
11	14,393.66		

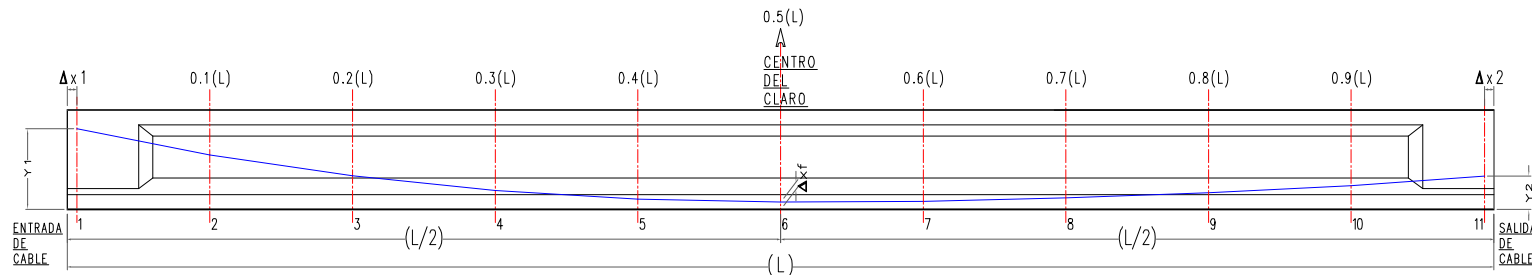
GRÁFICA DE ESFUERZOS

Sección	Abolsa (mts)	f_i (kg/cm ²)	f_{acuñ.} (kg/cm ²)	Long. Cable (cm)	Alarg. (mm)
1	0.00	15,136.00	14,077.36		
2	3.24	15,061.77	14,151.59		
3	6.49	14,987.53	14,225.83		
4	9.73	14,913.30	14,300.06		
5	12.97	14,839.06	14,374.30		
6	16.22	14,764.83	14,448.53		
7	19.46	14,690.60	14,522.76		
8	22.70	14,616.36	14,597.00		
Acuñ.	23.12	14,606.68	14,671.23	324.60	23.25
9	25.94	14,542.13		324.60	23.20
10	29.19	14,467.90		324.89	23.10
11	32.43	14,393.66		325.28	23.01

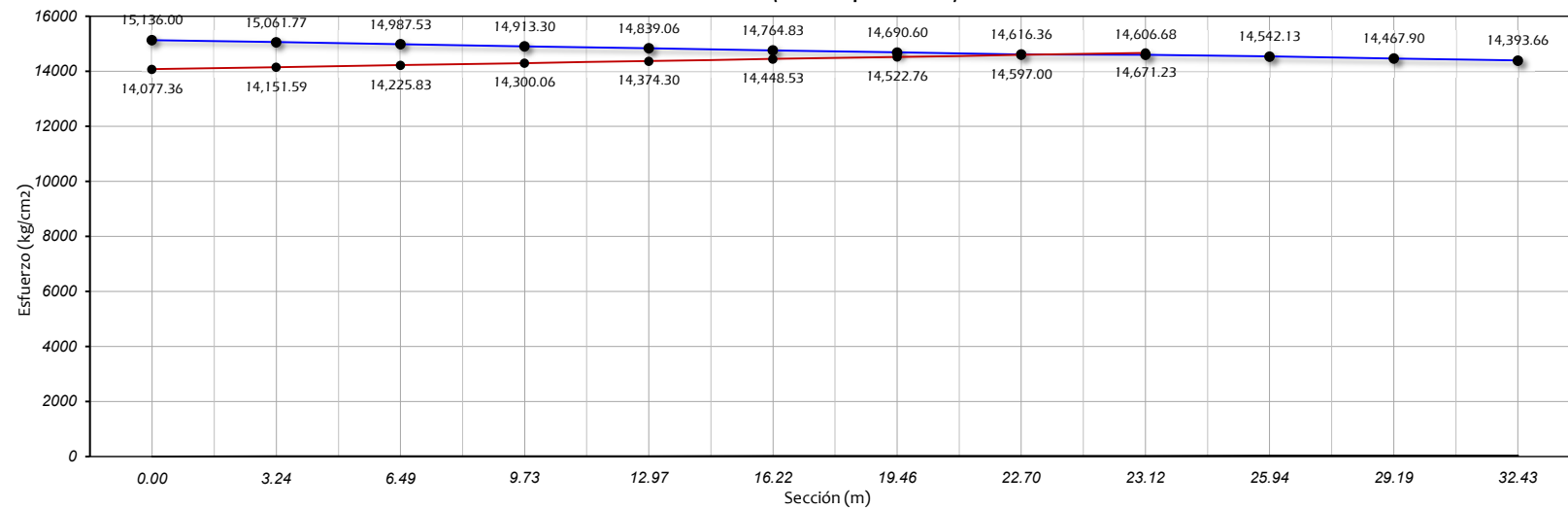
Alargamiento del cable, mm = [258.26](#)



GRAFICA DE ESFUERZOS (TENSADO POR UN SOLO LADO)



Grafica de esfuerzos (tensado por un lado)





PERDIDAS POR ACORTAMIENTO ELASTICO

Características de los materiales.

$f_c = 450$ Kg/cm²

$E_{ci} = 296,984.85$ Kg/cm²

Características de la trabe.

$A = 14,193.00$ cm²

$Y_I = 96.60$ cm

$Y_s = 73.40$ cm

$I = 50,134,692.00$ cm⁴

Características del presfuerzo.

Cable = 15T15

$E_p = 20,400.00$ Kg/cm²

$F_{rg} = 189.20$ Kg/cm²

Tensado al = 0.80

$F_o = 151.36$ Kg/cm²

Apresf = 2,115.00 mm²

$r^2 = 0.35$

$N = 6.00$ Cables

Momentos por peso propio.

Sección simple

$$M_x = \frac{W_{popo}}{2} * [L(X) - X^2] \quad Ec. \underline{\hspace{2cm}} \quad (6)$$

$$V_x = W_{popo} \left(\frac{L}{2} - X \right) \quad Ec. \underline{\hspace{2cm}} \quad (7)$$

$$0 \leq X \leq \frac{L}{2} \quad Condición \ de \ apoyo \ simple$$

$W_{popo} = 3.406$ ton/m

Claro (L) = 32.73

$n = 6.869$

Sección	(X)	f_I kg/cm ²	$f_{aciñ}$ kg/cm ²	$f_I(r)$ kg/cm ²	$M_{po.po}$ t - m	Δy_I cm	e m	e_2 m ²	P_i ton
1	0.00	15,136.00	14,077.36	14,077.36	0.00	0.70	0.27	0.07	297.74
2	3.24	15,061.77	14,151.59	14,151.59	162.87	0.45	0.52	0.27	299.31
3	6.49	14,987.53	14,225.83	14,225.83	289.91	0.25	0.71	0.51	300.88
4	9.73	14,913.30	14,300.06	14,300.06	381.13	0.11	0.85	0.73	302.45
5	12.97	14,839.06	14,374.30	14,374.30	436.52	0.03	0.94	0.88	304.02
6	16.22	14,764.83	14,448.53	14,448.53	456.09	0.00	0.97	0.93	305.59
7	19.46	14,690.60	14,522.76	14,522.76	436.52	0.03	0.94	0.88	307.16
8	22.70	14,616.36	14,597.00	14,597.00	381.13	0.11	0.85	0.73	308.73
Acuñ.	23.12	14,606.68	14,671.23	14,606.68	371.26	0.25	0.71	0.51	308.93
9	25.94	14,542.13		14,542.13	289.91	0.25	0.71	0.51	307.57
10	29.19	14,467.90		14,467.90	162.87	0.45	0.52	0.27	306.00
11	32.43	14,393.66		14,393.66	0.00	0.70	0.27	0.07	304.43

Sección	P/A kg/cm ²	$1+(e_2/r^2)$	$M_{o e / I}$ kg/cm ²	f_c kg/cm ²	Δf kg/cm ²
1	20.98	1.20	0	25.18	72.067
2	21.09	1.76	16.83	20.28	58.042
3	21.20	2.44	41.29	10.51	30.069
4	21.31	3.06	64.92	0.39	1.102
5	21.42	3.49	81.67	6.90	19.741
6	21.53	3.64	87.88	9.47	27.105
7	21.64	3.49	81.67	6.13	17.531
8	21.75	3.06	64.92	1.74	4.983
Acuñamiento	21.77	2.44	52.87	0.31	0.878
9	21.67	2.44	41.29	11.66	33.364
10	21.56	1.76	16.83	21.11	60.416
11	21.45	1.20	0.00	25.75	73.686

FORMULAS EMPLEADAS

$$\Delta_f = \frac{N - 1}{2N} * \frac{E_p}{E_{ci}} * f_c \quad Ec. \underline{\hspace{2cm}} \quad (8)$$

$$f_c = \frac{P}{A} * \left(1 + \frac{e^2}{r^2} \right) + \left(\frac{M_{popo} * e}{I} \right) \quad Ec. \underline{\hspace{2cm}} \quad (9)$$

$$n = \frac{E_p}{E_{ci}} \quad Ec. \underline{\hspace{2cm}} \quad (10)$$

$$r^2 = \frac{I}{A} \quad Ec. \underline{\hspace{2cm}} \quad (11)$$



PERDIDAS DIFERIDAS

CONTRACCIÓN DEL CONCRETO

Características de los materiales.

$$\epsilon = 0.00025$$

$$E_p = 20400$$

$$r_t = 0.18$$

Formulas

$$\Delta f_c = E_p * \epsilon (1 - r_t) \quad Ec. \text{_____} (12)$$

$$\Delta f_c = 418.200 \quad \text{Kg/cm}^2$$

Sección	Abcisa m	Δf_c kg/cm^2
1	0.00	418.20
2	3.24	418.20
3	6.49	418.20
4	9.73	418.20
5	12.97	418.20
6	16.22	418.20
7	19.46	418.20
8	22.70	418.20
Acuñamiento	23.12	418.20
9	25.94	418.20
10	29.19	418.20
11	32.43	418.20

Resumen de perdidas instantáneas

Sección	Abcisa m	$\Delta f_{\text{fricción}}$ kg/cm^2	$\Delta \sigma$ E.cono kg/cm^2	$\Delta \sigma$ A.elástico kg/cm^2	$\Delta \sigma$ total instantáneas kg/cm^2	(*) σ_i kg/cm^2
1	0.00	0.00	1,058.64	72.07	1,130.71	14,005.29
2	3.24	74.23	984.41	58.04	1,116.68	14,019.32
3	6.49	148.47	910.17	30.07	1,088.71	14,047.29
4	9.73	222.70	835.94	1.10	1,059.74	14,076.26
5	12.97	296.94	761.70	19.74	1,078.38	14,057.62
6	16.22	371.17	687.47	27.11	1,085.74	14,050.26
7	19.46	445.40	613.24	17.53	1,076.17	14,059.83
8	22.70	519.64	539.00	4.98	1,063.62	14,072.38
Acuñamiento	23.12	593.87	464.77	0.88	1,059.52	14,076.48
9	25.94	593.87		33.36	627.24	14,508.76
10	29.19	668.10		60.42	728.52	14,407.48
11	32.43	742.34		73.69	816.02	14,319.98

(*)
Esfuerzo en el cable después
de ocurridas las perdidas
instantáneas.



FLUJO PLASTICO DEL CONCRETO

MOMENTOS POR PESO PROPIO

Sección compuesta

$$M_x = \frac{W_{popo}}{2} * [L(X) - X^2]$$

$$V_x = W_{popo} \left(\frac{L}{2} - X \right)$$

CARACTERÍSTICAS DE LOS MATERIALES

$E_p = 20,400.00$ kg/cm

$E_{ci} = 296,984.85$ kg/cm

$n = 6.87$

$$0 \leq X \leq \frac{L}{2} \quad \text{Condición de apoyo simple}$$

$W_{(popo)} = 3.406$ ton/m

Claro (L) = 32.73

CARACTERÍSTICAS DE LA TRABE

Sección compuesta

$A = 14,193.00$ cm²

$Y_i = 96.60$ cm

$Y_s = 73.40$ cm

$I = 50,134,692.00$ cm⁴

FORMULAS EMPLEADAS

$$\Delta f_f = 2 * f_i \left(\frac{E_p}{E_c} \right) \quad \text{Ec. (13)}$$

$$f_c = \frac{P}{A} \left(1 + \frac{e^2}{r^2} \right) + \left(\frac{M_{pp} * e}{I} \right) \quad \text{Ec. (14)}$$

$$n = \frac{E_p}{E_{ci}}$$

$$r^2 = \frac{I}{A}$$

Sección	Abcisa m	σ_i después de ΔI_{inst} kg/cm ²	M po.po (t - m)	$M o / I$ (kg/cm ²)	f c (kg/cm ²)	Δf Sec. compuesta kg/cm ²	Δf Sec. Simple kg/cm ²	Δf kg/cm ²
			Sec. Comp					
1	0.00	14,005.29	0.00	0.00	25.18	72.07	72.07	990.06
2	3.24	14,019.32	162.87	16.83	20.28	58.04	58.04	797.39
3	6.49	14,047.29	289.91	41.29	10.51	30.07	30.07	413.08
4	9.73	14,076.26	381.13	64.92	0.39	1.10	1.10	15.14
5	12.97	14,057.62	436.52	81.67	-6.90	-19.74	19.74	271.21
6	16.22	14,050.26	456.09	87.88	-9.47	-27.11	27.11	372.37
7	19.46	14,059.83	439.84	82.29	-6.75	-19.31	17.53	240.84
8	22.70	14,072.38	387.76	66.05	0.61	1.75	4.98	68.46
Acuñamiento	23.12	14,076.48	378.32	53.88	-0.70	-2.00	0.88	12.06
9	25.94	14,508.76	299.85	42.70	10.24	29.31	33.36	458.36
10	29.19	14,407.48	176.12	18.20	19.74	56.50	60.42	830.00
11	32.43	14,319.98	16.57	0.88	24.87	71.17	73.69	1,012.30

RELAJACION DEL ACERO DE PRESFUERZO.

Datos : $f_{rg} = 18,920.00$

$P(1000)hrs = 3.5$

$\mu_o = 0.43$

Sección	Abcisa m o =	σ_i después de ΔI_{Inst} kg/cm ²	Δf_r Sec. Compuesta t-m
1	0.00	14,005.29	912.44
2	3.24	14,019.32	915.54
3	6.49	14,047.29	921.73
4	9.73	14,076.26	928.15
5	12.97	14,057.62	924.02
6	16.22	14,050.26	922.38
7	19.46	14,059.83	924.51
8	22.70	14,072.38	927.29
Acuñamiento	23.12	14,076.48	928.20
9	25.94	14,508.76	1,026.32
10	29.19	14,407.48	1,002.96
11	32.43	14,319.98	982.96

FORMULA EMPLEADA

$$\Delta f_r = \frac{6}{100} * \left(\frac{f_{pi}}{f_{rg}} - \mu_o \right) * f_{pi} * P_{1000 hrs} \quad \text{Ec. (15)}$$



RESUMEN DE PERDIDAS

Sección	Abcisa m	$\Delta \sigma$ fricción kg/cm²	$\Delta \sigma$ E. cono kg/cm²	$\Delta \sigma$ A. Elástico kg/cm²	$\Delta \sigma$ total Instantáneas kg/cm²	$\Delta \sigma$ Contracción kg/cm²	$\Delta \sigma$ Flujo plástico kg/cm²	$\Delta \sigma$ Relajación kg/cm²	$\Delta \sigma$ total Diferidas kg/cm²
1	0.00	0.00	1,058.64	72.07	1,130.71	418.20	990.06	912.44	2,320.70
2	3.24	74.23	984.41	58.04	1,116.68	418.20	797.39	915.54	2,131.13
3	6.49	148.47	910.17	30.07	1,088.71	418.20	413.08	921.73	1,753.01
4	9.73	222.70	835.94	1.10	1,059.74	418.20	15.14	928.15	1,361.50
5	12.97	296.94	761.70	19.74	1,078.38	418.20	271.21	924.02	1,613.43
6	16.22	371.17	687.47	27.11	1,085.74	418.20	372.37	922.38	1,712.96
7	19.46	445.40	613.24	17.53	1,076.17	418.20	240.84	924.51	1,583.55
8	22.70	519.64	539.00	4.98	1,063.62	418.20	68.46	927.29	1,413.95
Acuñamiento	23.12	593.87	464.77	0.88	1,059.52	418.20	12.06	928.20	1,358.46
9	25.94	593.87	0.00	33.36	627.24	418.20	458.36	1,026.32	1,902.89
10	29.19	668.10	0.00	60.42	728.52	418.20	830.00	1,002.96	2,251.16
11	32.43	742.34	0.00	73.69	816.02	418.20	1,012.30	982.96	2,413.46

Sección	Abcisa m	Δ total Instantáneas kg/cm²	Δ total Diferidas kg/cm²	σ o Esfzo. Inicial kg/cm²	σ i Esfzo. Final kg/cm²	Fo Fuerza final ton.	Δ (%) perdidas instantáneas	Δ (%) perdidas diferidas	Δ (%) perdidas totales
1	0.00	1,130.71	2,320.70	15,136.00	11,684.59	247.13	7.47	15.33	22.80
2	3.24	1,116.68	2,131.13	15,136.00	11,888.19	251.44	7.38	14.08	21.46
3	6.49	1,088.71	1,753.01	15,136.00	12,294.28	260.02	7.19	11.58	18.77
4	9.73	1,059.74	1,361.50	15,136.00	12,714.76	268.92	7.00	9.00	16.00
5	12.97	1,078.38	1,613.43	15,136.00	12,444.19	263.19	7.12	10.66	17.78
6	16.22	1,085.74	1,712.96	15,136.00	12,337.30	260.93	7.17	11.32	18.49
7	19.46	1,076.17	1,583.55	15,136.00	12,476.28	263.87	7.11	10.46	17.57
8	22.70	1,063.62	1,413.95	15,136.00	12,658.42	267.73	7.03	9.34	16.37
Acuñamiento	23.12	1,059.52	1,358.46	15,136.00	12,718.02	268.99	7.00	8.98	15.98
9	25.94	627.24	1,902.89	15,136.00	12,605.88	266.61	4.14	12.57	16.72
10	29.19	728.52	2,251.16	15,136.00	12,156.32	257.11	4.81	14.87	19.69
11	32.43	816.02	2,413.46	15,136.00	11,906.51	251.82	5.39	15.95	21.34



RESUMEN FINAL.

CABLE:

5

Sección	Abcisa m	Ordenada m	Δ σ total Instantáneas kg/cm ²	Δ σ total Diferidas kg/cm ²	σ o Esfzo. Inicial kg/cm ²	σ i Esfzo. Final kg/cm ²	Fo Fuerza inicial ton.	Fo Fuerza final ton.	Δ Fo Instantáneas ton.	Δ Fo diferidas ton.
1	0.00	0.90	1,130.71	2,320.70	15,136.00	11,684.59	320.13	247.13	23.91	49.08
2	3.24	0.65	1,116.68	2,131.13	15,136.00	11,888.19	320.13	251.44	23.62	45.07
3	6.49	0.45	1,088.71	1,753.01	15,136.00	12,294.28	320.13	260.02	23.03	37.08
4	9.73	0.31	1,059.74	1,361.50	15,136.00	12,714.76	320.13	268.92	22.41	28.80
5	12.97	0.23	1,078.38	1,613.43	15,136.00	12,444.19	320.13	263.19	22.81	34.12
6	16.22	0.20	1,085.74	1,712.96	15,136.00	12,337.30	320.13	260.93	22.96	36.23
7	19.46	0.23	1,076.17	1,583.55	15,136.00	12,476.28	320.13	263.87	22.76	33.49
8	22.70	0.31	1,063.62	1,413.95	15,136.00	12,658.42	320.13	267.73	22.50	29.91
Acuñamiento	23.12	0.45	1,059.52	1,358.46	15,136.00	12,718.02	320.13	268.99	22.41	28.73
9	25.94	0.45	627.24	1,902.89	15,136.00	12,055.88	320.13	266.61	13.27	40.25
10	29.19	0.65	728.52	2,251.16	15,136.00	12,156.32	320.13	257.11	15.41	47.61
11	32.43	0.90	816.02	2,413.46	15,136.00	11,906.51	320.13	251.82	17.26	51.04

TABLA RESUMEN DE PERDIDAS

5

Sección	Abcisa (X) m	Ordenada (Y) m	Δ σf fricción kg/cm ²	Δ σf E. cono kg/cm ²	Δ σf A. elástico kg/cm ²	Δ σ total Instantáneas kg/cm ²	Δ σf Contracción kg/cm ²	Δ σf F. plástico kg/cm ²	Δ σf Relajación kg/cm ²	Δ σ total Diferidas kg/cm ²	Fo Fuerza inicial ton.	Fo Fuerza final ton.	Δ Fo Instantáneas ton.	Δ Fo diferidas ton.	% Perdidas ton.
1	0.00	0.90	0.00	1,058.64	72.07	1,130.71	418.20	990.06	912.44	2,320.70	320.13	247.13	23.91	49.08	22.80
2	3.24	0.65	74.23	984.41	58.04	1,116.68	418.20	797.39	915.54	2,131.13	320.13	251.44	23.62	45.07	21.46
3	6.49	0.45	148.47	910.17	30.07	1,088.71	418.20	413.08	921.73	1,753.01	320.13	260.02	23.03	37.08	18.77
4	9.73	0.31	222.70	835.94	1.10	1,059.74	418.20	15.14	928.15	1,361.50	320.13	268.92	22.41	28.80	16.00
5	12.97	0.23	296.94	761.70	19.74	1,078.38	418.20	271.21	924.02	1,613.43	320.13	263.19	22.81	34.12	17.78
6	16.22	0.20	371.17	687.47	27.11	1,085.74	418.20	372.37	922.38	1,712.96	320.13	260.93	22.96	36.23	18.49
7	19.46	0.23	445.40	613.24	17.53	1,076.17	418.20	240.84	924.51	1,583.55	320.13	263.87	22.76	33.49	17.57
8	22.70	0.31	519.64	539.00	4.98	1,063.62	418.20	68.46	927.29	1,413.95	320.13	267.73	22.50	29.91	16.37
Acuñ.	23.12	0.45	593.87	464.77	0.88	1,059.52	418.20	12.06	928.20	1,358.46	320.13	268.99	22.41	28.73	15.98
9	25.94	0.45	593.87	0.00	33.36	627.24	418.20	458.36	1,026.32	1,902.89	320.13	266.61	13.27	40.25	16.72
10	29.19	0.65	668.10	0.00	60.42	728.52	418.20	830.00	1,002.96	2,251.16	320.13	257.11	15.41	47.61	19.69
11	32.43	0.90	742.34	0.00	73.69	816.02	418.20	1,012.30	982.96	2,413.46	320.13	251.82	17.26	51.04	21.34
															$\Delta f_p = 18.56$



DATOS GENERALES PARA LA ESTIMACIÓN DE PÉRDIDAS

DATOS GEOMETRICOS.

CABLE # = **6**
 LONGITUD DE LA TRABE = **32.73** m
 PROFUNDIDAD CAJA IZQUIERDA(Dx1) = **0.15** m
 PROFUNDIDAD CAJA DERECHA (Dx2) = **0.15** m
 SECCIONES A ANALIZAR = **10**

CARACTERISTICAS GEOMETRICAS DE LA TRABE.

TRABE SECCIÓN CAJÓN

SECCIÓN SIMPLE

AREA DE LA TRABE (A) = **14,193.00 cm²**
 PRFUNDIDAD DEL EJE NEUTRO (Y_i) = **96.60** cm
 PRFUNDIDAD DEL EJE NEUTRO (Y_s) = **73.40** cm
 MOMENTO DE INERCIA (I_s) = **50,134,692.00 cm⁴**
 Modulo, Si = **518,969.00 cm³**
 Modulo, S_s = **683,074.00 cm³**
 Radio, r_x = **59.43** cm

b_{sup} = **196.54**
 d₁ = **20**
 d₂ = **20**
 d₃ = **95**
 d₄ = **15**
 d₅ = **20**
 bw = **40**
 b_{inf} = **600**
 h = **170**
 t₁ = **0**

SECCIÓN COMPUESTA

AREA DE LA TRABE (A) = **14,193.00 cm²**
 PRFUNDIDAD DEL EJE NEUTRO (Y_i) = **96.60** cm
 PRFUNDIDAD DEL EJE NEUTRO (Y_s) = **73.40** cm
 MOMENTO DE INERCIA (I_s) = **50,134,692.00 cm⁴**
 Modulo, Si = **518,969.00 cm³**
 Modulo, S_s = **683,074.00 cm³**
 Radio, r_x = **59.43** cm

n_b e = **196.54**
 b_{sup} = **196.54**
 d₁ = **20**
 d₂ = **20**
 d₃ = **95**
 d₄ = **15**
 d₅ = **20**
 bw = **40**
 b_{inf} = **600**
 h = **170**
 t₁ = **0**

CARACTERÍSTICAS DEL CONCRETO

CONCRETO F'C = **450** kg/cm²

DATOS DEL CABLE DE PRESFUERZO.

CARACTERÍSTICAS DEL CABLE

Cable (tipo) = **15T15**
 Ep (kg/mm²) = **20,400.00**
 frg (kg/mm²) = **189.20**
 fru (kg/mm²) = **160.20**
 Tensado = **0.80**
 A (mm²) = **2,115.00**
 fo (kg/mm²) = **151.36**

Simbología.

Cable formado por torones de baja relajación
 Modulo de elasticidad del acero de presfuerzo
 Esfuerzo de ruptura del acero de presfuerzo
 Esfuerzo de fluencia del acero de presfuerzo
 Factor de tensado del acero de presfuerzo
 Área transversal del acero de presfuerzo
 Esfuerzo de tensado del acero de presfuerzo

COEFICIENTES UTILIZADOS

Coeficiente de fricción por desarrollo lineal, κ = **0.0002**
 Coeficiente de fricción por curvatura, μ = **0.25**
 Deslizamiento del anclaje (entrada de cono), Δ = **6** mm
 Relajacion = **3.5%**

TRAZO DEL CABLE

ENTRADA DEL CABLE (Y ₁) =	0.3 mts.	e =	0.00025
SALIDA DEL CABLE (Y ₁) =	1.1 mts.	r t =	0.18
CABLE AL C. CLARO(Y _{cc}) =	0.2 mts.		
No. DE CABLES =	6		



CALCULO DE PERDIDAS POR FRICTION.

CARACTERISTICAS GEOMETRICAS		COEFICIENTES UTILIZADOS		DATOS DEL CABLE	
L trabe (m) =	32.73	κ =	0.0002	Cable (tipo) =	15T15
$\Delta x 1$ (m) =	0.15	μ =	0.25	E_p (kg/mm ²) =	20,400.00
$\Delta x 2$ (m) =	0.15	Δ =	6 mm	f_{rg} (kg/cm ²) =	18,920.00
Δx cable (m) =	32.43	Relajacion =	3.50% a 100 hrs.	Tensado al =	0.80
No.Secc. =	10	Δm fricción = <u>34.053</u>		f_o (kg/cm ²) =	15,136.00
Δx =	3.243	(Pendiente por fricción)		A (mm ²) =	2,115.00
Δy c.claro =	20			CABLE :	6

Sección	(X)	(X)	Yi	ΔY_i	$\frac{2 \Delta y}{x}$	$\frac{2 \Delta y}{x}$	α	α acumulado	f_i (kg/cm ²)	Δf_i
	Partiendo del C. Claro	partiendo del apoyo (m)	Desde el patín inf. de trabe (cm)	(m)	(radianes)	(rad) parcial	(grados)	(grados)	Esfzo. después de perdidas por fricción	Perdida por fricción (kg/cm ²)
1	16.22	0.00	50.00	0.30	0.00	0.01	0.00	0.00	15,136.00	0.00
2	12.97	3.24	39.20	0.19	0.01	0.01	0.42	0.42	15,025.57	110.43
3	9.73	6.49	30.80	0.11	0.01	0.01	0.85	0.85	14,915.13	220.87
4	6.49	9.73	24.80	0.05	0.02	0.01	1.27	1.27	14,804.70	331.30
5	3.24	12.97	21.20	0.01	0.03	0.11	1.70	1.70	14,694.27	441.73
6	0.00	16.22	20.00	0.00	0.14	0.14	7.77	7.77	14,583.84	552.16
7	3.24	19.46	24.40	0.04	0.11	0.03	6.22	9.33	14,473.40	662.60
8	6.49	22.70	37.60	0.18	0.08	0.03	4.66	10.88	14,362.97	773.03
9	9.73	25.94	59.60	0.40	0.05	0.03	3.11	12.44	14,252.54	883.46
10	12.97	29.19	90.40	0.70	0.03	0.03	1.55	13.99	14,142.11	993.89
11	16.22	32.43	130.00	1.10	0.00	0.03	0.00	15.55	14,031.67	1,104.33

CÁLCULO DE LA LONGITUD DE INFLUENCIA POR ENTRADA DE CONO										
Ep (Δ) =	1,224,000.00 kg/cm ²									
Δm fricción =	34.053 kg/cm ² /m								CALCULO DEL ESFUERZO AL PUNTO DE INFLUENCIA POR ENTRADA DE CONO.	
Izquierdo										
d =	1,895.8990 cm								$(*) f_i (d) =$	14,490.40 kg/mm ²
$(*) d$ =	18.96 m								COMENTARIO : TENSAR EL CABLE POR UN LADO	
FÓRMULAS EMPLEADAS										
$\Delta_m = f_o - \frac{f_{L/2}}{L/2}$	Ec_____ (1) Pendiente por fricción									
$d = \sqrt{\frac{E_p (A)}{\Delta m \text{ fricción}}}$	Ec_____ (3) Longitud de influencia por entrada de cuña									
$\Delta f_o = f_o e^{-(k x + \mu)}$	Ec_____ (2) Perdidas por fricción y curvatura									



CALCULO DE ESFUERZOS DE ACUÑAMIENTO.

Sección	f_i (kg/cm ²) Esfuerzo después de perdidas por fricción.	$f_{acuñ.}$ (kg/cm ²)	$\Delta_{acuñ.} = \frac{f_i(d) - f_e}{d_{acuñ.}}$ Ec_____ (4) Pendiente por acuñamiento
1	15,136.00	13,844.79	
2	15,025.57	13,955.22	
3	14,915.13	14,065.66	
4	14,804.70	14,176.09	
5	14,694.27	14,286.52	
6	14,583.84	14,396.96	
Acuñamiento	14,490.40	14,507.39	$f_e = f_o - [2(f_0 - f_i(d))]$ Ec_____ (5) Esfuerzo en el anclaje después de ocurrido el acuñamiento $f(e) = 13,844.79$
7	14,473.40		$\Delta m_{acuñ.} = 34.053$
8	14,362.97		
9	14,252.54		
10	14,142.11		
11	14,031.67		

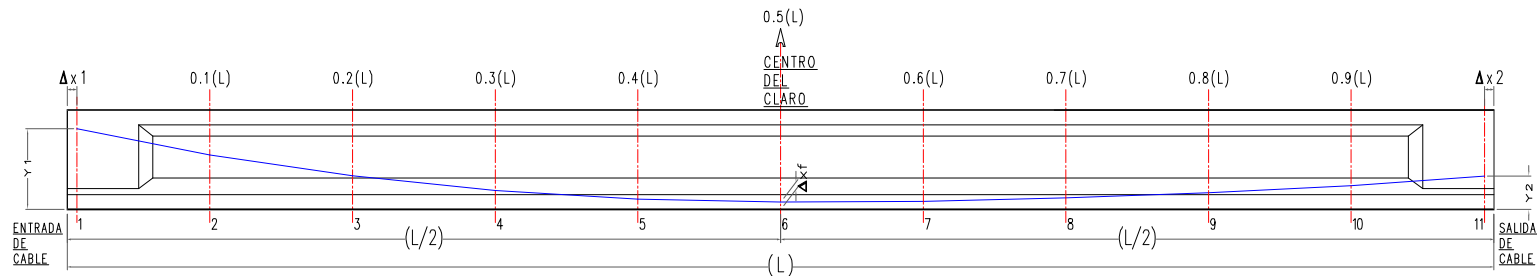
GRÁFICA DE ESFUERZOS

Sección	Abcisa (mts)	f_i (kg/cm ²)	$f_{acuñ}$ (kg/cm ²)	Long. Cable (cm)	Alarg. (mm)
1	0.000	15,136.00	13,844.79	324.48	23.99
2	3.243	15,025.57	13,955.22	324.41	23.81
3	6.486	14,915.13	14,065.66	324.36	23.63
4	9.729	14,804.70	14,176.09	324.32	23.45
5	12.972	14,694.27	14,286.52	324.30	23.27
6	16.215	14,583.84	14,396.96		
Acuñ.	18.959	14,490.40	14,507.39	324.33	23.11
7	19.458	14,473.40		324.33	23.10
8	22.701	14,362.97		324.57	22.94
9	25.944	14,252.54		325.05	22.80
10	29.187	14,142.11		325.76	22.67
11	32.430	14,031.67		326.71	22.56

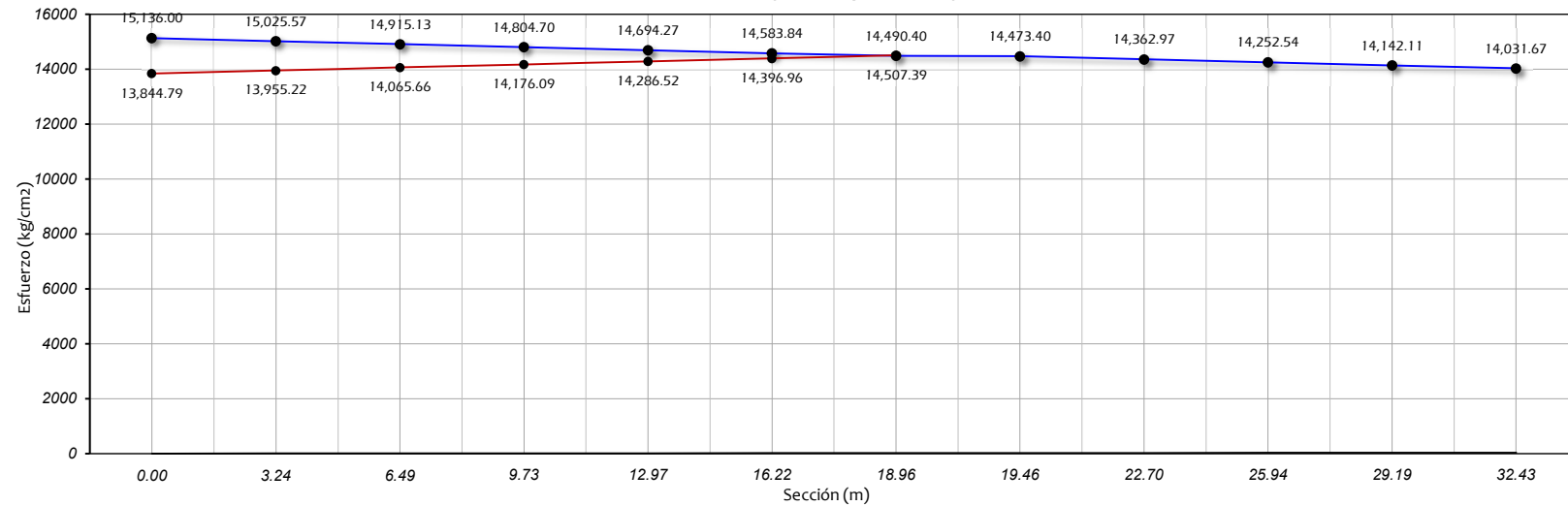
Alargamiento del cable, mm = [255.32](#)



GRAFICA DE ESFUERZOS (TENSADO POR UN SOLO LADO)



Grafica de esfuerzos (tensado por un lado)





PERDIDAS POR ACORTAMIENTO ELASTICO

Características de los materiales.

$f_c = 450$ Kg/cm²

$E_{ci} = 296,984.85$ Kg/cm²

Características de la trabe.

$A = 14,193.00$ cm²

$Y_i = 96.60$ cm

$Y_s = 73.40$ cm

$I = 50,134,692.00$ cm⁴

Características del presfuerzo.

Cable = 15T15

$E_p = 20,400.00$ Kg/cm²

$F_{rg} = 189.20$ Kg/cm²

Tensado al = 0.80

$F_o = 151.36$ Kg/cm²

Apresf = 2,115.00 mm²

$r^2 = 0.35$

$N = 6.00$ Cables

Momentos por peso propio.

Sección simple

$$M_x = \frac{W_{popo}}{2} * [L(X) - X^2] \quad Ec. \underline{\hspace{2cm}} \quad (6)$$

$$V_x = W_{popo} \left(\frac{L}{2} - X \right) \quad Ec. \underline{\hspace{2cm}} \quad (7)$$

$$0 \leq X \leq \frac{L}{2} \quad Condición \ de \ apoyo \ simple$$

$W_{popo} = 3.406$ ton/m

Claro (L) = 32.73

$n = 6.869$

Sección	(X)	f_I kg/cm ²	$f_{aciñ}$ kg/cm ²	$f_I(r)$ kg/cm ²	$M_{po.po}$ t - m	Δy_l cm	e m	e_2 m ²	P_i ton
1	0.00	15,136.00	13,844.79	13,844.79	0.00	0.30	0.67	0.44	292.82
2	3.24	15,025.57	13,955.22	13,955.22	162.87	0.19	0.77	0.60	295.15
3	6.49	14,915.13	14,065.66	14,065.66	289.91	0.11	0.86	0.74	297.49
4	9.73	14,804.70	14,176.09	14,176.09	381.13	0.05	0.92	0.84	299.82
5	12.97	14,694.27	14,286.52	14,286.52	436.52	0.01	0.95	0.91	302.16
6	16.22	14,583.84	14,396.96	14,396.96	456.09	0.00	0.97	0.93	304.50
Acuñ.	18.96	14,490.40	14,507.39	14,490.40	444.67	0.04	0.92	0.85	306.47
7	19.46	14,473.40		14,473.40	436.52	0.04	0.92	0.85	306.11
8	22.70	14,362.97		14,362.97	381.13	0.18	0.79	0.62	303.78
9	25.94	14,252.54		14,252.54	289.91	0.40	0.57	0.32	301.44
10	29.19	14,142.11		14,142.11	162.87	0.70	0.26	0.07	299.11
11	32.43	14,031.67		14,031.67	0.00	1.10	-0.13	0.02	296.77

Sección	P/A kg/cm ²	$1+(e_2/r^2)$ kg/cm ²	$Mo e / I$ kg/cm ²	f_c kg/cm ²	Δf kg/cm ²
1	20.63	2.26	0.00	46.54	133.19
2	20.80	2.70	25.14	30.92	88.50
3	20.96	3.08	49.61	15.03	43.01
4	21.12	3.39	69.79	1.74	4.97
5	21.29	3.58	83.06	6.92	19.81
6	21.45	3.64	87.88	9.75	27.91
Acuñamiento	21.59	3.41	81.78	8.22	23.52
7	21.57	3.41	80.28	6.81	19.48
8	21.40	2.77	60.06	0.84	2.40
9	21.24	1.92	32.96	7.81	22.36
10	21.07	1.19	8.51	16.66	47.68
11	20.91	1.05	0.00	21.97	62.89

FORMULAS EMPLEADAS

$$\Delta_f = \frac{N - 1}{2N} * \frac{E_p}{E_{ci}} * f_c \quad Ec. \underline{\hspace{2cm}} \quad (8)$$

$$f_c = \frac{P}{A} * \left(1 + \frac{e^2}{r^2} \right) + \left(\frac{M_{popo} * e}{I} \right) \quad Ec. \underline{\hspace{2cm}} \quad (9)$$

$$n = \frac{E_p}{E_{ci}} \quad Ec. \underline{\hspace{2cm}} \quad (10)$$

$$r^2 = \frac{I}{A} \quad Ec. \underline{\hspace{2cm}} \quad (11)$$



PERDIDAS DIFERIDAS

CONTRACCIÓN DEL CONCRETO

Características de los materiales.

$$\epsilon = 0.00025$$

$$E_p = 20400$$

$$r_t = 0.18$$

Formulas

$$\Delta f_c = E_p * \epsilon (1 - r_t) \quad Ec. \underline{\hspace{2cm}} \quad (12)$$

$$\Delta f_c = 418.200 \quad \text{Kg/cm}^2$$

Sección	Abcisa m	Δf_c kg/cm^2
1	0.00	418.20
2	3.24	418.20
3	6.49	418.20
4	9.73	418.20
5	12.97	418.20
6	16.22	418.20
Acuñamiento	18.96	418.20
7	19.46	418.20
8	22.70	418.20
9	25.94	418.20
10	29.19	418.20
11	32.43	418.20

Resumen de perdidas Instantáneas

Sección	Abcisa m	$\Delta f_{\text{fricción}}$ kg/cm^2	$\Delta \sigma$ E.cono kg/cm^2	$\Delta \sigma$ A.elástico kg/cm^2	$\Delta \sigma_{\text{total}}$ Instantáneas kg/cm^2	(*) σ_i kg/cm^2
1	0.00	0.00	1,291.21	133.19	1,424.40	13,711.60
2	3.24	110.43	1,180.78	88.50	1,379.71	13,756.29
3	6.49	220.87	1,070.34	43.01	1,334.22	13,801.78
4	9.73	331.30	959.91	4.97	1,296.18	13,839.82
5	12.97	441.73	849.48	19.81	1,311.02	13,824.98
6	16.22	552.16	739.04	27.91	1,319.11	13,816.89
Acuñamiento	18.96	662.60	628.61	23.52	1,314.73	13,821.27
7	19.46	662.60		19.48	682.08	14,453.92
8	22.70	773.03		2.40	775.43	14,360.57
9	25.94	883.46		22.36	905.82	14,230.18
10	29.19	993.89		47.68	1,041.57	14,094.43
11	32.43	1,104.33		62.89	1,167.22	13,968.78

(*)
Esfuerzo en el cable después
de ocurridas las perdidas
instantáneas.



FLUJO PLASTICO DEL CONCRETO

MOMENTOS POR PESO PROPIO

Sección compuesta

$$M_x = \frac{W_{popo}}{2} * [L(X) - X^2]$$

$$V_x = W_{popo} \left(\frac{L}{2} - X \right)$$

CARACTERÍSTICAS DE LOS MATERIALES

$E_p = 20,400.00$ kg/cm

$E_{ci} = 296,984.85$ kg/cm

$n = 6.87$

$$0 \leq X \leq \frac{L}{2} \quad \text{Condición de apoyo simple}$$

$W_{(popo)} = 3.406$ ton/m

Claro (L) = 32.73

CARACTERÍSTICAS DE LA TRABE

Sección compuesta

$A = 14,193.00$ cm²

$Y_i = 96.60$ cm

$Y_s = 73.40$ cm

$I = 50,134,692.00$ cm⁴

FORMULAS EMPLEADAS

$$\Delta f_f = 2 * f_i \left(\frac{E_p}{E_c} \right) \quad \text{Ec. } \underline{\underline{(13)}}$$

$$f_c = \frac{P}{A} \left(1 + \frac{e^2}{r^2} \right) + \left(\frac{M_{pp} * e}{I} \right) \quad \text{Ec. } \underline{\underline{(14)}}$$

$$n = \frac{E_p}{E_{ci}}$$

$$r^2 = \frac{I}{A}$$

Sección	Abcisa m	σ_i después de ΔI_{inst} kg/cm ²	M po.po (t - m)	$M o e / I$ (kg/cm ²)	f c (kg/cm ²)	Δf Sec. compuesta kg/cm ²	Δf Sec. Simple kg/cm ²	Δf kg/cm ²
			Sec. Comp					
1	0.00	13,711.60	0.00	0.00	46.54	133.19	133.19	1,829.84
2	3.24	13,756.29	162.87	25.14	30.92	88.50	88.50	1,215.78
3	6.49	13,801.78	289.91	49.61	15.03	43.01	43.01	590.89
4	9.73	13,839.82	381.13	69.79	1.74	4.97	4.97	68.25
5	12.97	13,824.98	436.52	83.06	-6.92	-19.81	19.81	272.20
6	16.22	13,816.89	456.09	87.88	-9.75	-27.91	27.91	383.38
Acuñamiento	18.96	13,821.27	444.67	81.78	-8.22	-23.52	23.52	323.13
7	19.46	14,453.92	439.84	80.89	-7.42	-21.22	19.48	267.61
8	22.70	14,360.57	387.76	61.10	-1.88	-5.39	2.40	32.93
9	25.94	14,230.18	299.85	34.09	6.68	19.13	22.36	307.20
10	29.19	14,094.43	176.12	9.20	15.97	45.69	47.68	655.00
11	32.43	13,968.78	16.57	-0.44	22.42	64.16	62.89	863.95

RELAJACION DEL ACERO DE PRESFUERZO.

Datos : $f_{rg} = 18,920.00$

$P(1000)hrs = 3.5$

$\mu_o = 0.43$

Sección	Abcisa m o =	σ_i después de ΔI_{inst} kg/cm ²	Δf_r Sec. Compuesta t-m
1	0.00	13,711.60	848.61
2	3.24	13,756.29	858.20
3	6.49	13,801.78	868.01
4	9.73	13,839.82	876.24
5	12.97	13,824.98	873.03
6	16.22	13,816.89	871.27
Acuñamiento	18.96	13,821.27	872.22
7	19.46	14,453.92	1,013.64
8	22.70	14,360.57	992.22
9	25.94	14,230.18	962.61
10	29.19	14,094.43	932.19
11	32.43	13,968.78	904.40

FORMULA EMPLEADA

$$\Delta f_r = \frac{6}{100} * \left(\frac{f_{pi}}{f_{rg}} - \mu_o \right) * f_{pi} * P_{1000 hrs} \quad \text{Ec. } \underline{\underline{(15)}}$$



RESUMEN DE PERDIDAS

Sección	Abcisa m	$\Delta \sigma$ fricción kg/cm²	$\Delta \sigma$ E. cono kg/cm²	$\Delta \sigma$ A. Elástico kg/cm²	$\Delta \sigma$ total Instantáneas kg/cm²	$\Delta \sigma$ Contracción kg/cm²	$\Delta \sigma$ Flujo plástico kg/cm²	$\Delta \sigma$ Relajación kg/cm²	$\Delta \sigma$ total Diferidas kg/cm²
1	0.00	0.00	1,291.21	133.19	1,424.40	418.20	1,829.84	848.61	3,096.65
2	3.24	110.43	1,180.78	88.50	1,379.71	418.20	1,215.78	858.20	2,492.18
3	6.49	220.87	1,070.34	43.01	1,334.22	418.20	590.89	868.01	1,877.10
4	9.73	331.30	959.91	4.97	1,296.18	418.20	68.25	876.24	1,362.70
5	12.97	441.73	849.48	19.81	1,311.02	418.20	272.20	873.03	1,563.43
6	16.22	552.16	739.04	27.91	1,319.11	418.20	383.38	871.27	1,672.85
Acumulado	18.96	662.60	628.61	23.52	1,314.73	418.20	323.13	872.22	1,613.55
7	19.46	662.60	0.00	19.48	682.08	418.20	267.61	1,013.64	1,699.45
8	22.70	773.03	0.00	2.40	775.43	418.20	32.93	992.22	1,443.35
9	25.94	883.46	0.00	22.36	905.82	418.20	307.20	962.61	1,688.01
10	29.19	993.89	0.00	47.68	1,041.57	418.20	655.00	932.19	2,005.39
11	32.43	1,104.33	0.00	62.89	1,167.22	418.20	863.95	904.40	2,186.56

Sección	Abcisa m	Δ total Instantáneas kg/cm²	Δ total Diferidas kg/cm²	σ o Esfzo. Inicial kg/cm²	σ i Esfzo. Final kg/cm²	Fo Fuerza final ton.	Δ (%) perdidas instantáneas	Δ (%) perdidas diferidas	Δ (%) perdidas totales
1	0.00	1,424.40	3,096.65	15,136.00	10,614.94	224.51	9.41	20.46	29.87
2	3.24	1,379.71	2,492.18	15,136.00	11,264.11	238.24	9.12	16.47	25.58
3	6.49	1,334.22	1,877.10	15,136.00	11,924.68	252.21	8.81	12.40	21.22
4	9.73	1,296.18	1,362.70	15,136.00	12,477.13	263.89	8.56	9.00	17.57
5	12.97	1,311.02	1,563.43	15,136.00	12,261.55	259.33	8.66	10.33	18.99
6	16.22	1,319.11	1,672.85	15,136.00	12,144.03	256.85	8.72	11.05	19.77
Acumulado	18.96	1,314.73	1,613.55	15,136.00	12,207.72	258.19	8.69	10.66	19.35
7	19.46	682.08	1,699.45	15,136.00	12,754.47	269.76	4.51	11.23	15.73
8	22.70	775.43	1,443.35	15,136.00	12,917.22	273.20	5.12	9.54	14.66
9	25.94	905.82	1,688.01	15,136.00	12,542.16	265.27	5.98	11.15	17.14
10	29.19	1,041.57	2,005.39	15,136.00	12,089.04	255.68	6.88	13.25	20.13
11	32.43	1,167.22	2,186.56	15,136.00	11,782.23	249.19	7.71	14.45	22.16



RESUMEN FINAL.

CABLE:

6

Sección	Abcisa m	Ordenada m	Δ σ total Instantáneas kg/cm ²	Δ σ total Diferidas kg/cm ²	σ o Esfzo. Inicial kg/cm ²	σ i Esfzo. Final kg/cm ²	Fo Fuerza inicial ton.	Fo Fuerza final ton.	Δ Fo Instantáneas ton.	Δ Fo diferidas ton.
1	0.00	0.50	1,424.40	3,096.65	15,136.00	10,614.94	320.13	224.51	30.13	65.49
2	3.24	0.39	1,379.71	2,492.18	15,136.00	11,264.11	320.13	238.24	29.18	52.71
3	6.49	0.31	1,334.22	1,877.10	15,136.00	11,924.68	320.13	252.21	28.22	39.70
4	9.73	0.25	1,296.18	1,362.70	15,136.00	12,477.13	320.13	263.89	27.41	28.82
5	12.97	0.21	1,311.02	1,563.43	15,136.00	12,261.55	320.13	259.33	27.73	33.07
6	16.22	0.20	1,319.11	1,672.85	15,136.00	12,144.03	320.13	256.85	27.90	35.38
Acuñamiento	18.96	0.24	1,314.73	1,613.55	15,136.00	12,207.72	320.13	258.19	27.81	34.13
7	19.46	0.24	682.08	1,699.45	15,136.00	12,754.47	320.13	269.76	14.43	35.94
8	22.70	0.38	775.43	1,443.35	15,136.00	12,917.22	320.13	273.20	16.40	30.53
9	25.94	0.60	905.82	1,688.01	15,136.00	12,542.16	320.13	265.27	19.16	35.70
10	29.19	0.90	1,041.57	2,005.39	15,136.00	12,089.04	320.13	255.68	22.03	42.41
11	32.43	1.30	1,167.22	2,186.56	15,136.00	11,782.23	320.13	249.19	24.69	46.25

TABLA RESUMEN DE PERDIDAS

6

Sección	Abcisa (X) m	Ordenada (Y) m	Δ σf fricción kg/cm ²	Δ σf E. cono kg/cm ²	Δ σf A. elástico kg/cm ²	Δ σ total Instantáneas kg/cm ²	Δ σf Contracción kg/cm ²	Δ σf F. plástico kg/cm ²	Δ σf Relajación kg/cm ²	Δ σ total Diferidas kg/cm ²	Fo Fuerza inicial ton.	Fo Fuerza final ton.	Δ Fo Instantáneas ton.	Δ Fo diferidas ton.	% Perdidas ton.
1	0.00	0.50	0.00	1,291.21	133.19	1,424.40	418.20	1,829.84	848.61	3,096.65	320.13	224.51	30.13	65.49	29.87
2	3.24	0.39	110.43	1,180.78	88.50	1,379.71	418.20	1,215.78	858.20	2,492.18	320.13	238.24	29.18	52.71	25.58
3	6.49	0.31	220.87	1,070.34	43.01	1,334.22	418.20	590.89	868.01	1,877.10	320.13	252.21	28.22	39.70	21.22
4	9.73	0.25	331.30	959.91	4.97	1,296.18	418.20	68.25	876.24	1,362.70	320.13	263.89	27.41	28.82	17.57
5	12.97	0.21	441.73	849.48	19.81	1,311.02	418.20	272.20	873.03	1,563.43	320.13	259.33	27.73	33.07	18.99
6	16.22	0.20	552.16	739.04	27.91	1,319.11	418.20	383.38	871.27	1,672.85	320.13	256.85	27.90	35.38	19.77
Acuñ.	18.96	0.24	662.60	628.61	23.52	1,314.73	418.20	323.13	872.22	1,613.55	320.13	258.19	27.81	34.13	19.35
7	19.46	0.24	662.60	0.00	19.48	682.08	418.20	267.61	1,013.64	1,699.45	320.13	269.76	14.43	35.94	15.73
8	22.70	0.38	773.03	0.00	2.40	775.43	418.20	32.93	992.22	1,443.35	320.13	273.20	16.40	30.53	14.66
9	25.94	0.60	883.46	0.00	22.36	905.82	418.20	307.20	962.61	1,688.01	320.13	265.27	19.16	35.70	17.14
10	29.19	0.90	993.89	0.00	47.68	1,041.57	418.20	655.00	932.19	2,005.39	320.13	255.68	22.03	42.41	20.13
11	32.43	1.30	1,104.33	0.00	62.89	1,167.22	418.20	863.95	904.40	2,186.56	320.13	249.19	24.69	46.25	22.16
															$\Delta f_p =$ 20.18



RESUMEN DE LAS PÉRDIDAS DE PRESFUERZO POR NERVADURA TRAMO 1

CABLES INTERNOS

TABLA RESUMEN DE PERDIDAS								
Cable C-1	Abcisa (X) m	Ordenada (Y) m	Δ σ _f fricción kg/cm ²	Δ σ _E cono kg/cm ²	Δ σ _A elástico kg/cm ²	Δ σ _C Contracción kg/cm ²	Δ σ _F plástico kg/cm ²	Δ σ _R Relajación kg/cm ²
1.00	0.00	1.30	0.00	928.01	69.99	418.20	961.54	941.91
2.00	2.87	0.87	50.47	877.54	53.13	418.20	729.97	945.69
3.00	5.74	0.53	100.93	827.08	41.02	418.20	563.55	948.40
4.00	8.61	0.29	151.40	776.61	33.08	418.20	454.49	950.18
5.00	11.48	0.15	201.86	726.15	28.68	418.20	394.04	951.17
6.00	14.35	0.10	252.33	675.68	27.28	418.20	374.77	951.48
7.00	17.21	0.12	302.79	625.22	34.36	418.20	472.03	949.89
8.00	20.08	0.16	353.26	574.75	51.29	418.20	704.58	946.10
9.00	22.95	0.24	403.72	524.29	74.89	418.20	1,028.88	940.82
10.00	25.82	0.36	454.19	473.82	100.04	418.20	1,374.39	935.21
Acuñ.	26.38	0.36	504.65	423.36	85.40	418.20	1,173.21	938.47
11.00	28.69	0.50	504.65	0.00	119.00	418.20	1,634.80	1,027.15

TABLA RESUMEN DE PERDIDAS								
Cable C-2	Abcisa (X) m	Ordenada (Y) m	Δ σ _f fricción kg/cm ²	Δ σ _E cono kg/cm ²	Δ σ _A elástico kg/cm ²	Δ σ _C Contracción kg/cm ²	Δ σ _F plástico kg/cm ²	Δ σ _R Relajación kg/cm ²
1.00	0.00	0.90	0.00	1,250.81	63.84	418.20	877.04	872.24
2.00	2.87	0.61	91.68	1,159.13	61.31	418.20	842.34	872.79
3.00	5.74	0.39	183.36	1,067.45	50.13	418.20	688.74	875.21
4.00	8.61	0.23	275.04	975.77	37.51	418.20	515.37	877.95
5.00	11.48	0.13	366.72	884.09	28.37	418.20	389.80	879.93
6.00	14.35	0.10	458.40	792.41	25.47	418.20	349.87	880.57
7.00	17.21	0.13	550.08	700.73	31.09	418.20	427.07	879.34
Acuñ.	19.57	0.23	641.76	609.05	37.28	418.20	512.20	878.00
8.00	20.08	0.23	641.76	0.00	41.77	418.20	573.85	1,013.31
9.00	22.95	0.39	733.44	0.00	53.41	418.20	733.78	989.61
10.00	25.82	0.61	825.11	0.00	63.57	418.20	873.33	966.48
11.00	28.69	0.90	916.79	0.00	65.38	418.20	898.14	945.46

TABLA RESUMEN DE PERDIDAS								
Cable C-3	Abcisa (X) m	Ordenada (Y) m	Δ σ _f fricción kg/cm ²	Δ σ _E cono kg/cm ²	Δ σ _A elástico kg/cm ²	Δ σ _C Contracción kg/cm ²	Δ σ _F plástico kg/cm ²	Δ σ _R Relajación kg/cm ²
1.00	0.00	0.50	0.00	1,502.70	110.88	418.20	1,523.28	808.51
2.00	2.87	0.36	132.32	1,370.38	90.76	418.20	1,246.89	812.74
3.00	5.74	0.24	264.65	1,238.06	66.03	418.20	907.06	817.95
4.00	8.61	0.16	396.97	1,105.73	43.81	418.20	601.81	822.64
5.00	11.48	0.12	529.29	973.41	29.08	418.20	399.50	825.75
6.00	14.35	0.10	661.61	841.09	24.71	418.20	339.48	826.68
Acuñ.	16.29	0.10	793.94	708.76	23.06	418.20	316.81	827.03
7.00	17.21	0.15	793.94	0.00	27.70	418.20	380.59	981.68
8.00	20.08	0.29	926.26	0.00	31.36	418.20	430.85	950.96
9.00	22.95	0.53	1,058.58	0.00	39.24	418.20	539.03	919.71
10.00	25.82	0.87	1,190.91	0.00	51.65	418.20	709.57	887.91
11.00	28.69	1.30	1,323.23	0.00	68.04	418.20	934.79	855.72



RESUMEN DE LAS PÉRDIDAS DE PRESFUERZO POR NERVADURA TRAMO 1

CABLES INTERNOS

Cable C-1		TABLA RESUMEN DE PERDIDAS								
Sección	Abcisa (X) m	Ordenada (Y) m	Δ σ total Instantáneas kg/cm²	Δ σ total Diferidas kg/cm²	Fo Fuerza Inicial ton.	Fo Fuerza final ton.	Δ Fo Instantáneas ton.	Δ Fo diferidas ton.	% Perdidas ton.	
1.00	0.00	1.30	998.00	2,321.65	320.13	249.92	21.11	49.10	21.93	
2.00	2.87	0.87	981.14	2,093.85	320.13	255.09	20.75	44.28	20.32	
3.00	5.74	0.53	969.03	1,930.14	320.13	258.81	20.49	40.82	19.15	
4.00	8.61	0.29	961.09	1,822.87	320.13	261.25	20.33	38.55	18.39	
5.00	11.48	0.15	956.69	1,763.40	320.13	262.60	20.23	37.30	17.97	
6.00	14.35	0.10	955.29	1,744.46	320.13	263.03	20.20	36.90	17.84	
7.00	17.21	0.12	962.37	1,840.12	320.13	260.85	20.35	38.92	18.52	
8.00	20.08	0.16	979.30	2,068.88	320.13	255.66	20.71	43.76	20.14	
9.00	22.95	0.24	1,002.90	2,387.90	320.13	248.41	21.21	50.50	22.40	
10.00	25.82	0.36	1,028.05	2,727.80	320.13	240.69	21.74	57.69	24.81	
Acuñ.	26.38	0.36	1,013.41	2,529.89	320.13	245.19	21.43	53.51	23.41	
11.00	28.69	0.50	623.65	3,080.15	320.13	241.79	13.19	65.15	24.47	
										Δfp = 20.78

Cable C-2		TABLA RESUMEN DE PERDIDAS								
Sección	Abcisa (X) m	Ordenada (Y) m	Δ σ total Instantáneas kg/cm²	Δ σ total Diferidas kg/cm²	Fo Fuerza Inicial ton.	Fo Fuerza final ton.	Δ Fo Instantáneas ton.	Δ Fo diferidas ton.	% Perdidas ton.	
1.00	0.00	0.90	1,314.65	2,167.48	320.13	246.48	27.80	45.84	23.01	
2.00	2.87	0.61	1,312.12	2,133.33	320.13	247.26	27.75	45.12	22.76	
3.00	5.74	0.39	1,300.94	1,982.15	320.13	250.69	27.51	41.92	21.69	
4.00	8.61	0.23	1,288.32	1,811.52	320.13	254.56	27.25	38.31	20.48	
5.00	11.48	0.13	1,279.18	1,687.93	320.13	257.37	27.05	35.70	19.60	
6.00	14.35	0.10	1,276.28	1,648.63	320.13	258.26	26.99	34.87	19.32	
7.00	17.21	0.13	1,281.90	1,724.62	320.13	256.54	27.11	36.48	19.86	
Acuñ.	19.57	0.23	1,288.09	1,808.40	320.13	254.64	27.24	38.25	20.46	
8.00	20.08	0.23	683.53	2,005.36	320.13	263.26	14.46	42.41	17.76	
9.00	22.95	0.39	786.85	2,141.59	320.13	258.19	16.64	45.29	19.35	
10.00	25.82	0.61	888.68	2,258.02	320.13	253.57	18.80	47.76	20.79	
11.00	28.69	0.90	982.17	2,261.80	320.13	251.52	20.77	47.84	21.43	
										Δfp = 20.54

Cable C-3		TABLA RESUMEN DE PERDIDAS								
Sección	Abcisa (X) m	Ordenada (Y) m	Δ σ total Instantáneas kg/cm²	Δ σ total Diferidas kg/cm²	Fo Fuerza Inicial ton.	Fo Fuerza final ton.	Δ Fo Instantáneas ton.	Δ Fo diferidas ton.	% Perdidas ton.	
1.00	0.00	0.50	1,613.58	2,749.99	320.13	227.84	34.13	58.16	28.83	
2.00	2.87	0.36	1,593.46	2,477.83	320.13	234.02	33.70	52.41	26.90	
3.00	5.74	0.24	1,568.73	2,143.20	320.13	241.62	33.18	45.33	24.52	
4.00	8.61	0.16	1,546.51	1,842.65	320.13	248.45	32.71	38.97	22.39	
5.00	11.48	0.12	1,531.78	1,643.45	320.13	252.97	32.40	34.76	20.98	
6.00	14.35	0.10	1,527.41	1,584.36	320.13	254.31	32.30	33.51	20.56	
Acuñ.	16.29	0.10	1,525.76	1,562.04	320.13	254.82	32.27	33.04	20.40	
7.00	17.21	0.15	821.64	1,780.47	320.13	265.09	17.38	37.66	17.19	
8.00	20.08	0.29	957.62	1,800.01	320.13	261.80	20.25	38.07	18.22	
9.00	22.95	0.53	1,097.82	1,876.94	320.13	257.21	23.22	39.70	19.65	
10.00	25.82	0.87	1,242.56	2,015.68	320.13	251.21	26.28	42.63	21.53	
11.00	28.69	1.30	1,391.27	2,208.71	320.13	243.99	29.43	46.71	23.78	
										Δfp = 22.08



RESUMEN DE LAS PÉRDIDAS DE PRESFUERZO POR NERVADURA TRAMO 1

CABLES INTERNOS

Cable C-4		TABLA RESUMEN DE PERDIDAS						
Sección	Abcisa (X) m	Ordenada (Y) m	Δ σ _f fricción kg/cm ²	Δ σ _E E. cono kg/cm ²	Δ σ _A A. elástico kg/cm ²	Δ σ _C Contracción kg/cm ²	Δ σ _F F. plástico kg/cm ²	Δ σ _R Relajación kg/cm ²
1.00	0.00	1.30	0.00	826.94	64.13	418.20	881.03	965.94
2.00	2.87	0.90	40.07	786.87	54.00	418.20	741.87	968.23
3.00	5.74	0.60	80.14	746.80	43.87	418.20	602.75	970.52
4.00	8.61	0.38	120.22	706.73	35.52	418.20	487.93	972.42
5.00	11.48	0.24	160.29	666.65	30.05	418.20	412.76	973.66
6.00	14.35	0.20	200.36	626.58	28.04	418.20	385.25	974.11
7.00	17.21	0.21	240.43	586.51	35.50	418.20	487.73	972.42
8.00	20.08	0.25	280.50	546.44	54.09	418.20	743.04	968.21
9.00	22.95	0.31	320.57	506.37	81.13	418.20	1,114.55	962.11
10.00	25.82	0.39	360.65	466.30	112.28	418.20	1,542.50	955.09
11.00	28.69	0.50	400.72	426.22	141.76	418.20	1,947.54	948.47
Acuñ.	29.60	0.50	400.72	826.94	141.64	418.20	1,945.85	860.44

Cable C-5		TABLA RESUMEN DE PERDIDAS						
Sección	Abcisa (X) m	Ordenada (Y) m	Δ σ _f fricción kg/cm ²	Δ σ _E E. cono kg/cm ²	Δ σ _A A. elástico kg/cm ²	Δ σ _C Contracción kg/cm ²	Δ σ _F F. plástico kg/cm ²	Δ σ _R Relajación kg/cm ²
1.00	0.00	0.90	0.00	1,178.82	71.45	418.20	981.61	886.23
2.00	2.87	0.65	81.43	1,097.39	67.61	418.20	928.87	887.06
3.00	5.74	0.45	162.86	1,015.96	54.51	418.20	748.90	889.92
4.00	8.61	0.31	244.29	934.53	39.95	418.20	548.87	893.10
5.00	11.48	0.23	325.72	853.10	29.34	418.20	403.10	895.42
6.00	14.35	0.20	407.15	771.67	25.79	418.20	354.29	896.20
7.00	17.21	0.23	488.58	690.24	31.77	418.20	436.41	894.89
8.00	20.08	0.31	570.01	608.81	44.21	418.20	607.36	892.17
Acuñ.	20.77	0.31	651.44	527.38	35.70	418.20	490.47	894.03
9.00	22.95	0.45	651.44	0.00	58.31	418.20	801.08	1,007.27
10.00	25.82	0.65	732.87	0.00	70.35	418.20	966.45	985.88
11.00	28.69	0.90	814.30	0.00	73.32	418.20	1,007.24	966.73

Cable C-6		TABLA RESUMEN DE PERDIDAS						
Sección	Abcisa (X) m	Ordenada (Y) m	Δ σ _f fricción kg/cm ²	Δ σ _E E. cono kg/cm ²	Δ σ _A A. elástico kg/cm ²	Δ σ _C Contracción kg/cm ²	Δ σ _F F. plástico kg/cm ²	Δ σ _R Relajación kg/cm ²
1.00	0.00	0.50	0.00	1,444.17	131.72	418.20	1,809.63	816.44
2.00	2.87	0.39	122.22	1,321.95	102.44	418.20	1,407.34	822.62
3.00	5.74	0.31	244.43	1,199.74	72.01	418.20	989.25	829.06
4.00	8.61	0.25	366.65	1,077.52	46.42	418.20	637.68	834.49
5.00	11.48	0.21	488.86	955.31	29.88	418.20	410.44	838.01
6.00	14.35	0.20	611.08	833.09	24.84	418.20	341.19	839.09
Acuñ.	16.95	0.24	733.29	710.88	26.48	418.20	363.73	838.74
7.00	17.21	0.24	733.29	0.00	29.08	418.20	399.46	995.20
8.00	20.08	0.38	855.51	0.00	33.76	418.20	463.81	966.35
9.00	22.95	0.60	977.72	0.00	41.98	418.20	576.77	937.07
10.00	25.82	0.90	1,099.94	0.00	52.41	418.20	719.97	907.68
11.00	28.69	1.30	1,222.15	0.00	62.36	418.20	856.70	878.78



RESUMEN DE LAS PÉRDIDAS DE PRESFUERZO POR NERVADURA TRAMO 1

CABLES INTERNOS

Cable C-4		TABLA RESUMEN DE PERDIDAS								
Sección	Abcisa (X) m	Ordenada (Y) m	Δ σ total Instantáneas kg/cm²	Δ σ total Diferidas kg/cm²	Fo Fuerza Inicial ton.	Fo Fuerza final ton.	Δ Fo Instantáneas ton.	Δ Fo diferidas ton.	% Perdidas ton.	
1.00	0.00	1.30	891.07	2,265.18	320.13	253.37	18.85	47.91	20.85	
2.00	2.87	0.90	880.94	2,128.31	320.13	256.48	18.63	45.01	19.88	
3.00	5.74	0.60	870.81	1,991.47	320.13	259.59	18.42	42.12	18.91	
4.00	8.61	0.38	862.46	1,878.54	320.13	262.15	18.24	39.73	18.11	
5.00	11.48	0.24	856.99	1,804.62	320.13	263.83	18.13	38.17	17.58	
6.00	14.35	0.20	854.98	1,777.56	320.13	264.45	18.08	37.60	17.39	
7.00	17.21	0.21	862.44	1,878.35	320.13	262.16	18.24	39.73	18.11	
8.00	20.08	0.25	881.03	2,129.45	320.13	256.45	18.63	45.04	19.89	
9.00	22.95	0.31	908.07	2,494.85	320.13	248.15	19.21	52.77	22.48	
10.00	25.82	0.39	939.22	2,915.80	320.13	238.59	19.86	61.67	25.47	
11.00	28.69	0.50	968.70	3,314.21	320.13	229.54	20.49	70.10	28.30	
Acuñ.	29.60	0.50	1,369.30	3,224.49	320.13	222.97	28.96	68.20	30.35	
								Δfp =	20.63	

Cable C-5		TABLA RESUMEN DE PERDIDAS								
Sección	Abcisa (X) m	Ordenada (Y) m	Δ σ total Instantáneas kg/cm²	Δ σ total Diferidas kg/cm²	Fo Fuerza Inicial ton.	Fo Fuerza final ton.	Δ Fo Instantáneas ton.	Δ Fo diferidas ton.	% Perdidas ton.	
1.00	0.00	0.90	1,250.27	2,286.03	320.13	245.33	26.44	48.35	23.36	
2.00	2.87	0.65	1,246.43	2,234.13	320.13	246.51	26.36	47.25	23.00	
3.00	5.74	0.45	1,233.33	2,057.02	320.13	250.54	26.08	43.51	21.74	
4.00	8.61	0.31	1,218.77	1,860.18	320.13	255.01	25.78	39.34	20.34	
5.00	11.48	0.23	1,208.16	1,716.72	320.13	258.27	25.55	36.31	19.32	
6.00	14.35	0.20	1,204.61	1,668.69	320.13	259.36	25.48	35.29	18.98	
7.00	17.21	0.23	1,210.58	1,749.50	320.13	257.52	25.60	37.00	19.56	
8.00	20.08	0.31	1,223.03	1,917.73	320.13	253.70	25.87	40.56	20.75	
Acuñ.	20.77	0.31	1,214.52	1,802.70	320.13	256.31	25.69	38.13	19.93	
9.00	22.95	0.45	709.75	2,226.56	320.13	258.02	15.01	47.09	19.40	
10.00	25.82	0.65	803.22	2,370.53	320.13	253.00	16.99	50.14	20.97	
11.00	28.69	0.90	887.61	2,392.17	320.13	250.76	18.77	50.59	21.67	
								Δfp =	20.75	

Cable C-6		TABLA RESUMEN DE PERDIDAS								
Sección	Abcisa (X) m	Ordenada (Y) m	Δ σ total Instantáneas kg/cm²	Δ σ total Diferidas kg/cm²	Fo Fuerza Inicial ton.	Fo Fuerza final ton.	Δ Fo Instantáneas ton.	Δ Fo diferidas ton.	% Perdidas ton.	
1.00	0.00	0.50	1,575.89	3,044.26	320.13	222.41	33.33	64.39	30.52	
2.00	2.87	0.39	1,546.61	2,648.16	320.13	231.41	32.71	56.01	27.71	
3.00	5.74	0.31	1,516.18	2,236.51	320.13	240.76	32.07	47.30	24.79	
4.00	8.61	0.25	1,490.59	1,890.37	320.13	248.62	31.53	39.98	22.34	
5.00	11.48	0.21	1,474.04	1,666.66	320.13	253.70	31.18	35.25	20.75	
6.00	14.35	0.20	1,469.00	1,598.47	320.13	255.25	31.07	33.81	20.27	
Acuñ.	16.95	0.24	1,470.64	1,620.67	320.13	254.75	31.10	34.28	20.42	
7.00	17.21	0.24	762.37	1,812.87	320.13	265.66	16.12	38.34	17.01	
8.00	20.08	0.38	889.27	1,848.36	320.13	262.23	18.81	39.09	18.09	
9.00	22.95	0.60	1,019.70	1,932.04	320.13	257.70	21.57	40.86	19.50	
10.00	25.82	0.90	1,152.34	2,045.84	320.13	252.48	24.37	43.27	21.13	
11.00	28.69	1.30	1,284.51	2,153.67	320.13	247.41	27.17	45.55	22.72	
								Δfp =	22.10	



RESUMEN DE LAS PÉRDIDAS DE PRESFUERZO POR NERVADURA TRAMO 2

CABLES EXTERNOS

TABLA RESUMEN DE PERDIDAS								
Sección	Abcisa (X) m	Ordenada (Y) m	Δ σ _f fricción kg/cm ²	Δ σ _E E. cono kg/cm ²	Δ σ _A A. elástico kg/cm ²	Δ σ _C Contracción kg/cm ²	Δ σ _F F. plástico kg/cm ²	Δ σ _R Relajación kg/cm ²
1.00	0.00	1.30	0.00	853.43	70.36	418.20	966.58	958.56
2.00	3.18	0.87	47.32	806.11	50.18	418.20	689.44	963.11
3.00	6.36	0.53	94.64	758.79	25.77	418.20	354.01	968.63
4.00	9.54	0.29	141.97	711.47	3.79	418.20	52.05	973.60
5.00	12.72	0.15	189.29	664.15	11.19	418.20	153.77	971.93
6.00	15.91	0.10	236.61	616.82	16.57	418.20	227.62	970.71
7.00	19.09	0.12	283.93	569.50	6.99	418.20	95.99	972.88
8.00	22.27	0.16	331.25	522.18	17.02	418.20	233.77	970.61
9.00	25.45	0.24	378.57	474.86	51.22	418.20	703.65	962.88
10.00	28.63	0.36	425.90	427.54	88.73	418.20	1,218.97	954.43
Acuñ.	28.68	0.50	473.22	380.22	69.77	418.20	958.53	958.70
11.00	31.81	0.50	473.22	0.00	119.25	418.20	1,638.31	1,034.39

TABLA RESUMEN DE PERDIDAS								
Sección	Abcisa (X) m	Ordenada (Y) m	Δ σ _f fricción kg/cm ²	Δ σ _E E. cono kg/cm ²	Δ σ _A A. elástico kg/cm ²	Δ σ _C Contracción kg/cm ²	Δ σ _F F. plástico kg/cm ²	Δ σ _R Relajación kg/cm ²
1.00	0.00	0.90	0.00	1,140.82	64.35	418.20	883.99	896.08
2.00	3.18	0.61	84.56	1,056.26	54.47	418.20	748.30	898.24
3.00	6.36	0.39	169.12	971.70	31.04	418.20	426.44	903.38
4.00	9.54	0.23	253.67	887.14	6.12	418.20	84.04	908.87
5.00	12.72	0.13	338.23	802.59	11.90	418.20	163.50	907.59
6.00	15.91	0.10	422.79	718.03	18.14	418.20	249.21	906.22
7.00	19.09	0.13	507.35	633.47	9.40	418.20	129.11	908.14
Acuñ.	21.46	0.23	591.91	548.91	2.10	418.20	28.91	909.75
8.00	22.27	0.23	591.91	0.00	9.88	418.20	135.73	1,032.23
9.00	25.45	0.39	676.46	0.00	33.94	418.20	466.25	1,007.12
10.00	28.63	0.61	761.02	0.00	56.46	418.20	775.69	982.63
11.00	31.81	0.90	845.58	0.00	65.70	418.20	902.64	961.38

TABLA RESUMEN DE PERDIDAS								
Sección	Abcisa (X) m	Ordenada (Y) m	Δ σ _f fricción kg/cm ²	Δ σ _E E. cono kg/cm ²	Δ σ _A A. elástico kg/cm ²	Δ σ _C Contracción kg/cm ²	Δ σ _F F. plástico kg/cm ²	Δ σ _R Relajación kg/cm ²
1.00	0.00	0.50	0.00	1,366.54	111.99	418.20	1,538.49	837.06
2.00	3.18	0.36	121.33	1,245.21	80.27	418.20	1,102.69	843.82
3.00	6.36	0.24	242.66	1,123.88	43.16	418.20	592.88	851.76
4.00	9.54	0.16	363.99	1,002.55	10.25	418.20	140.80	858.83
5.00	12.72	0.12	485.32	881.22	11.71	418.20	160.92	858.52
6.00	15.91	0.10	606.65	759.89	18.79	418.20	258.15	856.99
Acuñ.	17.91	0.15	727.98	638.56	18.29	418.20	251.24	857.10
7.00	19.09	0.15	727.98	0.00	12.11	418.20	166.43	1,000.31
8.00	22.27	0.29	849.30	0.00	2.20	418.20	30.28	974.90
9.00	25.45	0.53	970.63	0.00	24.14	418.20	331.58	942.64
10.00	28.63	0.87	1,091.96	0.00	48.83	418.20	670.83	910.22
11.00	31.81	1.30	1,213.29	0.00	68.59	418.20	942.23	879.35



RESUMEN DE LAS PÉRDIDAS DE PRESFUERZO POR NERVADURA TRAMO 2

CABLES EXTERNOS

Cable C-1		TABLA RESUMEN DE PERDIDAS								
Sección	Abcisa (X) m	Ordenada (Y) m	Δ σ total Instantáneas kg/cm²	Δ σ total Diferidas kg/cm²	Fo Fuerza Inicial ton.	Fo Fuerza final ton.	Δ Fo Instantáneas ton.	Δ Fo diferidas ton.	% Perdidas ton.	
1.00	0.00	1.30	923.79	2,343.35	320.13	251.03	19.54	49.56	21.59	
2.00	3.18	0.87	903.62	2,070.75	320.13	257.22	19.11	43.80	19.65	
3.00	6.36	0.53	879.20	1,740.84	320.13	264.71	18.60	36.82	17.31	
4.00	9.54	0.29	857.22	1,443.85	320.13	271.46	18.13	30.54	15.20	
5.00	12.72	0.15	864.63	1,543.89	320.13	269.19	18.29	32.65	15.91	
6.00	15.91	0.10	870.00	1,616.53	320.13	267.54	18.40	34.19	16.43	
7.00	19.09	0.12	860.42	1,487.07	320.13	270.48	18.20	31.45	15.51	
8.00	22.27	0.16	870.45	1,622.58	320.13	267.40	18.41	34.32	16.47	
9.00	25.45	0.24	904.65	2,084.73	320.13	256.90	19.13	44.09	19.75	
10.00	28.63	0.36	942.16	2,591.60	320.13	245.39	19.93	54.81	23.35	
Acuñ.	28.68	0.50	923.20	2,335.43	320.13	251.21	19.53	49.39	21.53	
11.00	31.81	0.50	592.47	3,090.90	320.13	242.22	12.53	65.37	24.34	
							Δfp =		18.92	

Cable C-2		TABLA RESUMEN DE PERDIDAS								
Sección	Abcisa (X) m	Ordenada (Y) m	Δ σ total Instantáneas kg/cm²	Δ σ total Diferidas kg/cm²	Fo Fuerza Inicial ton.	Fo Fuerza final ton.	Δ Fo Instantáneas ton.	Δ Fo diferidas ton.	% Perdidas ton.	
1.00	0.00	0.90	1,205.16	2,198.27	320.13	248.14	25.49	46.49	22.49	
2.00	3.18	0.61	1,195.29	2,064.74	320.13	251.18	25.28	43.67	21.54	
3.00	6.36	0.39	1,171.86	1,748.02	320.13	258.37	24.78	36.97	19.29	
4.00	9.54	0.23	1,146.94	1,411.10	320.13	266.02	24.26	29.84	16.90	
5.00	12.72	0.13	1,152.72	1,489.29	320.13	264.25	24.38	31.50	17.46	
6.00	15.91	0.10	1,158.96	1,573.63	320.13	262.33	24.51	33.28	18.05	
7.00	19.09	0.13	1,150.22	1,455.46	320.13	265.02	24.33	30.78	17.22	
Acuñ.	21.46	0.23	1,142.92	1,356.86	320.13	267.26	24.17	28.70	16.52	
8.00	22.27	0.23	601.79	1,586.15	320.13	273.85	12.73	33.55	14.46	
9.00	25.45	0.39	710.40	1,891.57	320.13	265.09	15.03	40.01	17.19	
10.00	28.63	0.61	817.49	2,176.52	320.13	256.80	17.29	46.03	19.78	
11.00	31.81	0.90	911.28	2,282.22	320.13	252.58	19.27	48.27	21.10	
							Δfp =		18.50	

Cable C-3		TABLA RESUMEN DE PERDIDAS								
Sección	Abcisa (X) m	Ordenada (Y) m	Δ σ total Instantáneas kg/cm²	Δ σ total Diferidas kg/cm²	Fo Fuerza Inicial ton.	Fo Fuerza final ton.	Δ Fo Instantáneas ton.	Δ Fo diferidas ton.	% Perdidas ton.	
1.00	0.00	0.50	1,478.52	2,793.75	320.13	229.77	31.27	59.09	28.23	
2.00	3.18	0.36	1,446.80	2,364.71	320.13	239.51	30.60	50.01	25.18	
3.00	6.36	0.24	1,409.69	1,862.84	320.13	250.91	29.82	39.40	21.62	
4.00	9.54	0.16	1,376.79	1,417.83	320.13	261.02	29.12	29.99	18.46	
5.00	12.72	0.12	1,378.25	1,437.64	320.13	260.57	29.15	30.41	18.60	
6.00	15.91	0.10	1,385.33	1,533.34	320.13	258.40	29.30	32.43	19.28	
Acuñ.	17.91	0.15	1,384.83	1,526.55	320.13	258.55	29.29	32.29	19.23	
7.00	19.09	0.15	740.09	1,584.93	320.13	270.95	15.65	33.52	15.36	
8.00	22.27	0.29	851.51	1,423.38	320.13	272.01	18.01	30.10	15.03	
9.00	25.45	0.53	994.77	1,692.42	320.13	263.29	21.04	35.79	17.75	
10.00	28.63	0.87	1,140.79	1,999.25	320.13	253.71	24.13	42.28	20.75	
11.00	31.81	1.30	1,281.88	2,239.78	320.13	245.64	27.11	47.37	23.27	
							Δfp =		20.23	



RESUMEN DE LAS PÉRDIDAS DE PRESFUERZO POR NERVADURA TRAMO 2

CABLES EXTERNOS

Cable C-4		TABLA RESUMEN DE PERDIDAS							
Sección	Abcisa (X) m	Ordenada (Y) m	Δ σ _f fricción kg/cm ²	Δ σ _E cono kg/cm ²	Δ σ _{A. elástico} kg/cm ²	Δ σ _{Contracción} kg/cm ²	Δ σ _{F. plástico} kg/cm ²	Δ σ _{Relajación} kg/cm ²	
1.00	0.00	1.30	0.00	764.16	64.41	418.20	884.90	980.11	
2.00	3.18	0.90	37.94	726.22	49.96	418.20	686.34	983.40	
3.00	6.36	0.60	75.88	688.28	27.51	418.20	377.96	988.51	
4.00	9.54	0.38	113.82	650.34	5.52	418.20	75.81	993.53	
5.00	12.72	0.24	151.76	612.40	10.11	418.20	138.95	992.48	
6.00	15.91	0.20	189.70	574.46	15.91	418.20	218.58	991.16	
7.00	19.09	0.21	227.64	536.52	6.10	418.20	83.86	993.40	
8.00	22.27	0.25	265.58	498.58	19.15	418.20	263.02	990.42	
9.00	25.45	0.31	303.51	460.64	56.38	418.20	774.53	981.93	
10.00	28.63	0.39	341.45	422.70	99.93	418.20	1,372.78	972.05	
11.00	31.81	0.50	379.39	384.77	141.97	418.20	1,950.35	962.55	
Acuñ.	32.04	0.50	379.39	764.16	141.94	418.20	1,950.00	878.56	

Cable C-5		TABLA RESUMEN DE PERDIDAS							
Sección	Abcisa (X) m	Ordenada (Y) m	Δ σ _f fricción kg/cm ²	Δ σ _E cono kg/cm ²	Δ σ _{A. elástico} kg/cm ²	Δ σ _{Contracción} kg/cm ²	Δ σ _{F. plástico} kg/cm ²	Δ σ _{Relajación} kg/cm ²	
1.00	0.00	0.90	0.00	1,076.50	71.98	418.20	988.80	908.53	
2.00	3.18	0.65	75.29	1,001.21	59.73	418.20	820.59	911.22	
3.00	6.36	0.45	150.59	925.92	34.35	418.20	471.96	916.83	
4.00	9.54	0.31	225.88	850.63	7.90	418.20	108.55	922.68	
5.00	12.72	0.23	301.17	775.33	11.16	418.20	153.30	921.96	
6.00	15.91	0.20	376.46	700.04	17.86	418.20	245.37	920.47	
7.00	19.09	0.23	451.76	624.75	8.92	418.20	122.50	922.46	
8.00	22.27	0.31	527.05	549.45	11.84	418.20	162.63	921.81	
Acuñ.	22.74	0.31	602.34	474.16	7.04	418.20	96.75	922.87	
9.00	25.45	0.45	602.34	0.00	37.73	418.20	518.28	1,023.35	
10.00	28.63	0.65	677.64	0.00	62.16	418.20	853.95	1,000.37	
11.00	31.81	0.90	752.93	0.00	73.63	418.20	1,011.56	980.56	

Cable C-6		TABLA RESUMEN DE PERDIDAS							
Sección	Abcisa (X) m	Ordenada (Y) m	Δ σ _f fricción kg/cm ²	Δ σ _E cono kg/cm ²	Δ σ _{A. elástico} kg/cm ²	Δ σ _{Contracción} kg/cm ²	Δ σ _{F. plástico} kg/cm ²	Δ σ _{Relajación} kg/cm ²	
1.00	0.00	0.50	0.00	1,314.00	132.98	418.20	1,826.83	843.78	
2.00	3.18	0.39	112.18	1,201.82	90.97	418.20	1,249.71	852.78	
3.00	6.36	0.31	224.36	1,089.64	48.10	418.20	660.86	861.99	
4.00	9.54	0.25	336.54	977.46	12.23	418.20	168.02	869.73	
5.00	12.72	0.21	448.72	865.28	11.12	418.20	152.75	869.97	
6.00	15.91	0.20	560.90	753.10	18.69	418.20	256.70	868.34	
Acuñ.	18.63	0.24	673.08	640.92	14.76	418.20	202.83	869.19	
7.00	19.09	0.24	673.08	0.00	11.00	418.20	151.06	1,013.18	
8.00	22.27	0.38	785.26	0.00	3.93	418.20	53.94	989.08	
9.00	25.45	0.60	897.44	0.00	25.80	418.20	354.43	958.69	
10.00	28.63	0.90	1,009.62	0.00	48.52	418.20	666.51	928.51	
11.00	31.81	1.30	1,121.80	0.00	62.81	418.20	862.88	900.59	



RESUMEN DE LAS PÉRDIDAS DE PRESFUERZO POR NERVADURA TRAMO 2

CABLES EXTERNOS

Cable C-4	TABLA RESUMEN DE PERDIDAS									
	Sección	Abcisa (X) m	Ordenada (Y) m	Δ σ total Instantáneas kg/cm²	Δ σ total Diferidas kg/cm²	Fo Fuerza Inicial ton.	Fo Fuerza final ton.	Δ Fo Instantáneas ton.	Δ Fo diferidas ton.	% Perdidas ton.
1.00	0.00	1.30	828.57	2,283.20	320.13	254.31	17.52	48.29	20.56	
2.00	3.18	0.90	814.12	2,087.93	320.13	258.75	17.22	44.16	19.17	
3.00	6.36	0.60	791.67	1,784.67	320.13	265.64	16.74	37.75	17.02	
4.00	9.54	0.38	769.68	1,487.54	320.13	272.39	16.28	31.46	14.91	
5.00	12.72	0.24	774.27	1,549.63	320.13	270.98	16.38	32.77	15.35	
6.00	15.91	0.20	780.07	1,627.94	320.13	269.20	16.50	34.43	15.91	
7.00	19.09	0.21	770.26	1,495.46	320.13	272.21	16.29	31.63	14.97	
8.00	22.27	0.25	783.30	1,671.64	320.13	268.20	16.57	35.36	16.22	
9.00	25.45	0.31	820.54	2,174.66	320.13	256.78	17.35	45.99	19.79	
10.00	28.63	0.39	864.08	2,763.03	320.13	243.41	18.28	58.44	23.96	
11.00	31.81	0.50	906.13	3,331.10	320.13	230.51	19.16	70.45	27.99	
Acuñ.	32.04	0.50	1,285.49	3,246.76	320.13	224.27	27.19	68.67	29.94	
								Δfp =	18.71	

Cable C-5	TABLA RESUMEN DE PERDIDAS									
	Sección	Abcisa (X) m	Ordenada (Y) m	Δ σ total Instantáneas kg/cm²	Δ σ total Diferidas kg/cm²	Fo Fuerza Inicial ton.	Fo Fuerza final ton.	Δ Fo Instantáneas ton.	Δ Fo diferidas ton.	% Perdidas ton.
1.00	0.00	0.90	1,148.48	2,315.53	320.13	246.86	24.29	48.97	22.89	
2.00	3.18	0.65	1,136.24	2,150.01	320.13	250.62	24.03	45.47	21.71	
3.00	6.36	0.45	1,110.86	1,806.99	320.13	258.41	23.49	38.22	19.28	
4.00	9.54	0.31	1,084.41	1,449.43	320.13	266.54	22.94	30.66	16.74	
5.00	12.72	0.23	1,087.66	1,493.46	320.13	265.54	23.00	31.59	17.05	
6.00	15.91	0.20	1,094.37	1,584.05	320.13	263.48	23.15	33.50	17.70	
7.00	19.09	0.23	1,085.42	1,463.15	320.13	266.22	22.96	30.95	16.84	
8.00	22.27	0.31	1,088.34	1,502.64	320.13	265.33	23.02	31.78	17.12	
Acuñ.	22.74	0.31	1,083.55	1,437.82	320.13	266.80	22.92	30.41	16.66	
9.00	25.45	0.45	640.07	1,959.83	320.13	265.14	13.54	41.45	17.18	
10.00	28.63	0.65	739.80	2,272.52	320.13	256.42	15.65	48.06	19.90	
11.00	31.81	0.90	826.56	2,410.32	320.13	251.67	17.48	50.98	21.39	
								Δfp =	18.70	

Cable C-6	TABLA RESUMEN DE PERDIDAS									
	Sección	Abcisa (X) m	Ordenada (Y) m	Δ σ total Instantáneas kg/cm²	Δ σ total Diferidas kg/cm²	Fo Fuerza Inicial ton.	Fo Fuerza final ton.	Δ Fo Instantáneas ton.	Δ Fo diferidas ton.	% Perdidas ton.
1.00	0.00	0.50	1,446.98	3,088.81	320.13	224.19	30.60	65.33	29.97	
2.00	3.18	0.39	1,404.97	2,520.69	320.13	237.10	29.72	53.31	25.94	
3.00	6.36	0.31	1,362.11	1,941.06	320.13	250.26	28.81	41.05	21.82	
4.00	9.54	0.25	1,326.23	1,455.95	320.13	261.28	28.05	30.79	18.38	
5.00	12.72	0.21	1,325.12	1,440.93	320.13	261.62	28.03	30.48	18.27	
6.00	15.91	0.20	1,332.69	1,543.24	320.13	259.30	28.19	32.64	19.00	
Acuñ.	18.63	0.24	1,328.77	1,490.22	320.13	260.50	28.10	31.52	18.62	
7.00	19.09	0.24	684.07	1,582.44	320.13	272.19	14.47	33.47	14.97	
8.00	22.27	0.38	789.18	1,461.21	320.13	272.53	16.69	30.90	14.87	
9.00	25.45	0.60	923.24	1,731.32	320.13	263.98	19.53	36.62	17.54	
10.00	28.63	0.90	1,058.13	2,013.22	320.13	255.17	22.38	42.58	20.29	
11.00	31.81	1.30	1,184.61	2,181.66	320.13	248.93	25.05	46.14	22.24	
								Δfp =	20.16	



RESUMEN DE LAS PÉRDIDAS DE PRESFUERZO POR NERVADURA TRAMO 2

CABLES INTERNOS

Cable C-1		TABLA RESUMEN DE PERDIDAS						
Sección	Abcisa (X) m	Ordenada (Y) m	Δ σ _f fricción kg/cm ²	Δ σ _E E. cono kg/cm ²	Δ σ _A A. elástico kg/cm ²	Δ σ _C Contracción kg/cm ²	Δ σ _F F. plástico kg/cm ²	Δ σ _R Relajación kg/cm ²
1.00	0.00	1.30	0.00	941.63	69.92	418.20	960.62	938.89
2.00	2.82	0.87	51.05	890.58	53.57	418.20	735.93	942.54
3.00	5.64	0.53	102.11	839.53	43.30	418.20	594.90	944.84
4.00	8.46	0.29	153.16	788.48	37.47	418.20	514.83	946.14
5.00	11.28	0.15	204.21	737.42	34.67	418.20	476.23	946.77
6.00	14.10	0.10	255.26	686.37	33.86	418.20	465.20	946.95
7.00	16.91	0.12	306.32	635.32	40.57	418.20	557.30	945.45
8.00	19.73	0.16	357.37	584.27	56.43	418.20	775.24	941.90
9.00	22.55	0.24	408.42	533.21	78.44	418.20	1,077.65	936.98
10.00	25.37	0.36	459.47	482.16	101.73	418.20	1,397.62	931.79
Acuñ.	26.00	0.50	510.53	431.11	87.54	418.20	1,202.64	934.96
11.00	28.19	0.50	510.53	0.00	118.95	418.20	1,634.14	1,025.80

Cable C-2		TABLA RESUMEN DE PERDIDAS						
Sección	Abcisa (X) m	Ordenada (Y) m	Δ σ _f fricción kg/cm ²	Δ σ _E E. cono kg/cm ²	Δ σ _A A. elástico kg/cm ²	Δ σ _C Contracción kg/cm ²	Δ σ _F F. plástico kg/cm ²	Δ σ _R Relajación kg/cm ²
1.00	0.00	0.90	0.00	1,270.80	63.75	418.20	875.78	867.94
2.00	2.82	0.61	92.98	1,177.82	62.32	418.20	856.22	868.24
3.00	5.64	0.39	185.97	1,084.83	52.98	418.20	727.88	870.26
4.00	8.46	0.23	278.95	991.85	42.21	418.20	579.92	872.60
5.00	11.28	0.13	371.94	898.86	34.41	418.20	472.70	874.29
6.00	14.10	0.10	464.92	805.88	32.01	418.20	439.70	874.81
7.00	16.91	0.13	557.90	712.90	37.16	418.20	510.51	873.69
Acuñ.	19.26	0.23	650.89	619.91	42.51	418.20	583.95	872.53
8.00	19.73	0.23	650.89	0.00	46.56	418.20	639.61	1,010.10
9.00	22.55	0.39	743.87	0.00	56.33	418.20	773.86	986.56
10.00	25.37	0.61	836.86	0.00	64.63	418.20	887.86	963.59
11.00	28.19	0.90	929.84	0.00	65.32	418.20	897.32	942.55

Cable C-3		TABLA RESUMEN DE PERDIDAS						
Sección	Abcisa (X) m	Ordenada (Y) m	Δ σ _f fricción kg/cm ²	Δ σ _E E. cono kg/cm ²	Δ σ _A A. elástico kg/cm ²	Δ σ _C Contracción kg/cm ²	Δ σ _F F. plástico kg/cm ²	Δ σ _R Relajación kg/cm ²
1.00	0.00	0.50	0.00	1,527.40	110.68	418.20	1,520.52	803.37
2.00	2.82	0.36	134.33	1,393.07	92.30	418.20	1,268.08	807.23
3.00	5.64	0.24	268.65	1,258.75	69.43	418.20	953.82	812.03
4.00	8.46	0.16	402.98	1,124.42	48.82	418.20	670.69	816.37
5.00	11.28	0.12	537.30	990.10	35.19	418.20	483.40	819.24
6.00	14.10	0.10	671.63	855.77	31.23	418.20	429.06	820.08
Acuñ.	16.03	0.15	805.95	721.45	29.25	418.20	401.88	820.49
7.00	16.91	0.15	805.95	0.00	33.68	418.20	462.64	977.60
8.00	19.73	0.29	940.28	0.00	35.73	418.20	490.85	946.84
9.00	22.55	0.53	1,074.60	0.00	41.49	418.20	570.01	915.67
10.00	25.37	0.87	1,208.93	0.00	52.06	418.20	715.20	883.89
11.00	28.19	1.30	1,343.25	0.00	67.95	418.20	933.44	851.44



RESUMEN DE LAS PÉRDIDAS DE PRESFUERZO POR NERVADURA TRAMO 2

CABLES INTERNOS

Cable C-1		TABLA RESUMEN DE PERDIDAS								
Sección	Abcisa (X) m	Ordenada (Y) m	Δ σ total Instantáneas kg/cm ²	Δ σ total Diferidas kg/cm ²	Fo Fuerza Inicial ton.	Fo Fuerza final ton.	Δ Fo Instantáneas ton.	Δ Fo diferidas ton.	% Perdidas ton.	
1.00	0.00	1.30	1,011.56	2,317.70	320.13	249.71	21.39	49.02	22.00	
2.00	2.82	0.87	995.20	2,096.67	320.13	254.73	21.05	44.34	20.43	
3.00	5.64	0.53	984.94	1,957.93	320.13	257.88	20.83	41.41	19.44	
4.00	8.46	0.29	979.11	1,879.17	320.13	259.67	20.71	39.74	18.88	
5.00	11.28	0.15	976.30	1,841.20	320.13	260.54	20.65	38.94	18.61	
6.00	14.10	0.10	975.50	1,830.35	320.13	260.78	20.63	38.71	18.54	
7.00	16.91	0.12	982.20	1,920.95	320.13	258.72	20.77	40.63	19.18	
8.00	19.73	0.16	998.06	2,135.34	320.13	253.85	21.11	45.16	20.70	
9.00	22.55	0.24	1,020.08	2,432.83	320.13	247.10	21.57	51.45	22.81	
10.00	25.37	0.36	1,043.37	2,747.62	320.13	239.95	22.07	58.11	25.05	
Acuñ.	26.00	0.50	1,029.17	2,555.80	320.13	244.30	21.77	54.06	23.69	
11.00	28.19	0.50	629.47	3,078.14	320.13	241.71	13.31	65.10	24.50	
								Δfp =	21.15	

Cable C-2		TABLA RESUMEN DE PERDIDAS								
Sección	Abcisa (X) m	Ordenada (Y) m	Δ σ total Instantáneas kg/cm ²	Δ σ total Diferidas kg/cm ²	Fo Fuerza Inicial ton.	Fo Fuerza final ton.	Δ Fo Instantáneas ton.	Δ Fo diferidas ton.	% Perdidas ton.	
1.00	0.00	0.90	1,334.55	2,161.92	320.13	246.18	28.23	45.72	23.10	
2.00	2.82	0.61	1,333.13	2,142.67	320.13	246.61	28.20	45.32	22.96	
3.00	5.64	0.39	1,323.78	2,016.35	320.13	249.48	28.00	42.65	22.07	
4.00	8.46	0.23	1,313.01	1,870.71	320.13	252.79	27.77	39.57	21.03	
5.00	11.28	0.13	1,305.21	1,765.18	320.13	255.19	27.61	37.33	20.29	
6.00	14.10	0.10	1,302.81	1,732.71	320.13	255.93	27.55	36.65	20.05	
7.00	16.91	0.13	1,307.96	1,802.39	320.13	254.34	27.66	38.12	20.55	
Acuñ.	19.26	0.23	1,313.31	1,874.68	320.13	252.70	27.78	39.65	21.06	
8.00	19.73	0.23	697.45	2,067.91	320.13	261.64	14.75	43.74	18.27	
9.00	22.55	0.39	800.20	2,178.62	320.13	257.12	16.92	46.08	19.68	
10.00	25.37	0.61	901.49	2,269.65	320.13	253.06	19.07	48.00	20.95	
11.00	28.19	0.90	995.16	2,258.07	320.13	251.32	21.05	47.76	21.49	
								Δfp =	20.96	

Cable C-3		TABLA RESUMEN DE PERDIDAS								
Sección	Abcisa (X) m	Ordenada (Y) m	Δ σ total Instantáneas kg/cm ²	Δ σ total Diferidas kg/cm ²	Fo Fuerza Inicial ton.	Fo Fuerza final ton.	Δ Fo Instantáneas ton.	Δ Fo diferidas ton.	% Perdidas ton.	
1.00	0.00	0.50	1,638.08	2,742.10	320.13	227.49	34.65	58.00	28.94	
2.00	2.82	0.36	1,619.70	2,493.51	320.13	233.13	34.26	52.74	27.17	
3.00	5.64	0.24	1,596.82	2,184.05	320.13	240.16	33.77	46.19	24.98	
4.00	8.46	0.16	1,576.22	1,905.26	320.13	246.49	33.34	40.30	23.00	
5.00	11.28	0.12	1,562.58	1,720.84	320.13	250.68	33.05	36.40	21.69	
6.00	14.10	0.10	1,558.63	1,667.33	320.13	251.90	32.96	35.26	21.31	
Acuñ.	16.03	0.15	1,556.65	1,640.57	320.13	252.51	32.92	34.70	21.12	
7.00	16.91	0.15	839.63	1,858.43	320.13	263.06	17.76	39.31	17.83	
8.00	19.73	0.29	976.00	1,855.88	320.13	260.23	20.64	39.25	18.71	
9.00	22.55	0.53	1,116.09	1,903.88	320.13	256.25	23.61	40.27	19.95	
10.00	25.37	0.87	1,260.99	2,017.30	320.13	250.79	26.67	42.67	21.66	
11.00	28.19	1.30	1,411.20	2,203.08	320.13	243.68	29.85	46.60	23.88	
								Δfp =	22.52	



RESUMEN DE LAS PÉRDIDAS DE PRESFUERZO POR NERVADURA TRAMO 2

CABLES INTERNOS

Cable C-4		TABLA RESUMEN DE PERDIDAS							
Sección	Abcisa (X) m	Ordenada (Y) m	Δ σ _f fricción kg/cm ²	Δ σ _f E. cono kg/cm ²	Δ σ _f A. elástico kg/cm ²	Δ σ _f Contracción kg/cm ²	Δ σ _f F. plástico kg/cm ²	Δ σ _f Relajación kg/cm ²	
1.00	0.00	1.30	0.00	838.44	64.08	418.20	880.32	963.36	
2.00	2.82	0.90	40.48	797.97	54.60	418.20	750.11	965.50	
3.00	5.64	0.60	80.95	757.49	46.33	418.20	636.42	967.37	
4.00	8.46	0.38	121.43	717.01	40.02	418.20	549.76	968.79	
5.00	11.28	0.24	161.91	676.54	36.07	418.20	495.59	969.69	
6.00	14.10	0.20	202.38	636.06	34.64	418.20	475.94	970.01	
7.00	16.91	0.21	242.86	595.59	41.75	418.20	573.57	968.40	
8.00	19.73	0.25	283.33	555.11	59.33	418.20	815.10	964.43	
9.00	22.55	0.31	323.81	514.63	84.84	418.20	1,165.55	958.68	
10.00	25.37	0.39	364.29	474.16	114.13	418.20	1,567.88	952.09	
11.00	28.19	0.50	404.76	433.68	141.72	418.20	1,947.00	945.90	
Acuñ.	29.20	0.50	404.76	838.44	141.58	418.20	1,945.09	857.11	

Cable C-5		TABLA RESUMEN DE PERDIDAS							
Sección	Abcisa (X) m	Ordenada (Y) m	Δ σ _f fricción kg/cm ²	Δ σ _f E. cono kg/cm ²	Δ σ _f A. elástico kg/cm ²	Δ σ _f Contracción kg/cm ²	Δ σ _f F. plástico kg/cm ²	Δ σ _f Relajación kg/cm ²	
1.00	0.00	0.90	0.00	1,197.43	71.36	418.20	980.30	882.19	
2.00	2.82	0.65	82.56	1,114.87	68.78	418.20	944.88	882.76	
3.00	5.64	0.45	165.11	1,032.32	57.52	418.20	790.24	885.21	
4.00	8.46	0.31	247.67	949.76	44.75	418.20	614.78	887.99	
5.00	11.28	0.23	330.23	867.20	35.41	418.20	486.49	890.03	
6.00	14.10	0.20	412.78	784.64	32.34	418.20	444.23	890.70	
7.00	16.91	0.23	495.34	702.09	37.87	418.20	520.26	889.49	
8.00	19.73	0.31	577.90	619.53	49.07	418.20	674.08	887.05	
Acuñ.	20.44	0.31	660.46	536.97	39.93	418.20	548.59	889.04	
9.00	22.55	0.45	660.46	0.00	61.40	418.20	843.48	1,004.49	
10.00	25.37	0.65	743.01	0.00	71.57	418.20	983.22	983.29	
11.00	28.19	0.90	825.57	0.00	73.26	418.20	1,006.45	964.19	

Cable C-6		TABLA RESUMEN DE PERDIDAS							
Sección	Abcisa (X) m	Ordenada (Y) m	Δ σ _f fricción kg/cm ²	Δ σ _f E. cono kg/cm ²	Δ σ _f A. elástico kg/cm ²	Δ σ _f Contracción kg/cm ²	Δ σ _f F. plástico kg/cm ²	Δ σ _f Relajación kg/cm ²	
1.00	0.00	0.50	0.00	1,467.78	131.50	418.20	1,806.50	811.51	
2.00	2.82	0.39	124.04	1,343.74	104.13	418.20	1,430.52	817.27	
3.00	5.64	0.31	248.09	1,219.70	75.57	418.20	1,038.14	823.30	
4.00	8.46	0.25	372.13	1,095.65	51.53	418.20	707.87	828.39	
5.00	11.28	0.21	496.18	971.61	36.01	418.20	494.77	831.68	
6.00	14.10	0.20	620.22	847.56	31.36	418.20	430.81	832.67	
Acuñ.	16.68	0.24	744.27	723.52	32.65	418.20	448.50	832.40	
7.00	16.91	0.24	744.27	0.00	35.09	418.20	482.07	991.32	
8.00	19.73	0.38	868.31	0.00	38.23	418.20	525.23	962.45	
9.00	22.55	0.60	992.36	0.00	44.40	418.20	610.00	933.27	
10.00	25.37	0.90	1,116.40	0.00	52.98	418.20	727.82	903.93	
11.00	28.19	1.30	1,240.45	0.00	62.28	418.20	855.57	874.82	



RESUMEN DE LAS PÉRDIDAS DE PRESFUERZO POR NERVADURA TRAMO 2

CABLES INTERNOS

Cable C-4	TABLA RESUMEN DE PERDIDAS									
	Sección	Abcisa (X) m	Ordenada (Y) m	Δ σ total Instantáneas kg/cm²	Δ σ total Diferidas kg/cm²	Fo Fuerza Inicial ton.	Fo Fuerza final ton.	Δ Fo Instantáneas ton.	Δ Fo diferidas ton.	% Perdidas ton.
1.00	0.00	1.30	902.52	2,261.88	320.13	253.20	19.09	47.84	20.91	
2.00	2.82	0.90	893.04	2,133.81	320.13	256.11	18.89	45.13	20.00	
3.00	5.64	0.60	884.77	2,021.99	320.13	258.65	18.71	42.77	19.20	
4.00	8.46	0.38	878.46	1,936.75	320.13	260.58	18.58	40.96	18.60	
5.00	11.28	0.24	874.52	1,883.48	320.13	261.79	18.50	39.84	18.22	
6.00	14.10	0.20	873.09	1,864.15	320.13	262.23	18.47	39.43	18.08	
7.00	16.91	0.21	880.19	1,960.17	320.13	260.05	18.62	41.46	18.77	
8.00	19.73	0.25	897.78	2,197.73	320.13	254.66	18.99	46.48	20.45	
9.00	22.55	0.31	923.28	2,542.42	320.13	246.83	19.53	53.77	22.90	
10.00	25.37	0.39	952.57	2,938.17	320.13	237.84	20.15	62.14	25.71	
11.00	28.19	0.50	980.17	3,311.11	320.13	229.37	20.73	70.03	28.35	
Acuñ.	29.20	0.50	1,384.79	3,220.40	320.13	222.73	29.29	68.11	30.43	
								Δfp =	21.02	

Cable C-5	TABLA RESUMEN DE PERDIDAS									
	Sección	Abcisa (X) m	Ordenada (Y) m	Δ σ total Instantáneas kg/cm²	Δ σ total Diferidas kg/cm²	Fo Fuerza Inicial ton.	Fo Fuerza final ton.	Δ Fo Instantáneas ton.	Δ Fo diferidas ton.	% Perdidas ton.
1.00	0.00	0.90	1,268.79	2,280.69	320.13	245.05	26.83	48.24	23.45	
2.00	2.82	0.65	1,266.21	2,245.83	320.13	245.85	26.78	47.50	23.20	
3.00	5.64	0.45	1,254.95	2,093.65	320.13	249.30	26.54	44.28	22.12	
4.00	8.46	0.31	1,242.18	1,920.97	320.13	253.23	26.27	40.63	20.90	
5.00	11.28	0.23	1,232.84	1,794.72	320.13	256.09	26.07	37.96	20.00	
6.00	14.10	0.20	1,229.77	1,753.13	320.13	257.04	26.01	37.08	19.71	
7.00	16.91	0.23	1,235.30	1,827.95	320.13	255.34	26.13	38.66	20.24	
8.00	19.73	0.31	1,246.50	1,979.33	320.13	251.90	26.36	41.86	21.31	
Acuñ.	20.44	0.31	1,237.36	1,855.83	320.13	254.71	26.17	39.25	20.44	
9.00	22.55	0.45	721.85	2,266.17	320.13	256.93	15.27	47.93	19.74	
10.00	25.37	0.65	814.58	2,384.71	320.13	252.46	17.23	50.44	21.14	
11.00	28.19	0.90	898.83	2,388.84	320.13	250.59	19.01	50.52	21.72	
								Δfp =	21.16	

Cable C-6	TABLA RESUMEN DE PERDIDAS									
	Sección	Abcisa (X) m	Ordenada (Y) m	Δ σ total Instantáneas kg/cm²	Δ σ total Diferidas kg/cm²	Fo Fuerza Inicial ton.	Fo Fuerza final ton.	Δ Fo Instantáneas ton.	Δ Fo diferidas ton.	% Perdidas ton.
1.00	0.00	0.50	1,599.28	3,036.22	320.13	222.09	33.82	64.22	30.63	
2.00	2.82	0.39	1,571.91	2,665.99	320.13	230.49	33.25	56.39	28.00	
3.00	5.64	0.31	1,543.35	2,279.64	320.13	239.27	32.64	48.21	25.26	
4.00	8.46	0.25	1,519.31	1,954.46	320.13	246.66	32.13	41.34	22.95	
5.00	11.28	0.21	1,503.80	1,744.66	320.13	251.42	31.81	36.90	21.46	
6.00	14.10	0.20	1,499.14	1,681.68	320.13	252.85	31.71	35.57	21.01	
Acuñ.	16.68	0.24	1,500.43	1,699.09	320.13	252.46	31.73	35.94	21.14	
7.00	16.91	0.24	779.36	1,891.59	320.13	263.64	16.48	40.01	17.65	
8.00	19.73	0.38	906.54	1,905.88	320.13	260.64	19.17	40.31	18.58	
9.00	22.55	0.60	1,036.76	1,961.47	320.13	256.71	21.93	41.49	19.81	
10.00	25.37	0.90	1,169.38	2,049.95	320.13	252.04	24.73	43.36	21.27	
11.00	28.19	1.30	1,302.72	2,148.60	320.13	247.13	27.55	45.44	22.80	
								Δfp =	22.55	



RESUMEN DE LAS PÉRDIDAS DE PRESFUERZO POR NERVADURA TRAMO 3

CABLES EXTERNOS

TABLA RESUMEN DE PERDIDAS								
Cable C-1	Abcisa (X) m	Ordenada (Y) m	Δ σ _f fricción kg/cm ²	Δ σ _E E. cono kg/cm ²	Δ σ _A A. elástico kg/cm ²	Δ σ _C Contracción kg/cm ²	Δ σ _F F. plástico kg/cm ²	Δ σ _R Relajación kg/cm ²
1.00	0.00	1.30	0.00	842.94	70.41	418.20	967.29	960.92
2.00	3.23	0.87	46.89	796.05	49.67	418.20	682.42	965.60
3.00	6.46	0.53	93.78	749.16	23.16	418.20	318.23	971.59
4.00	9.69	0.29	140.67	702.27	1.21	418.20	16.57	976.57
5.00	12.92	0.15	187.56	655.38	17.99	418.20	247.11	972.76
6.00	16.16	0.10	234.45	608.49	24.04	418.20	330.23	971.39
7.00	19.39	0.12	281.35	561.59	14.03	418.20	192.75	973.66
8.00	22.62	0.16	328.24	514.70	11.18	418.20	153.56	974.31
9.00	25.85	0.24	375.13	467.81	47.18	418.20	648.20	966.16
10.00	29.04	0.36	422.02	420.92	86.11	418.20	1,182.97	957.38
Acuñ.	29.08	0.36	422.02	0.00	86.78	418.20	1,192.25	1,053.93
11.00	32.31	0.50	468.91	0.00	119.29	418.20	1,638.79	1,035.39

TABLA RESUMEN DE PERDIDAS								
Cable C-2	Abcisa (X) m	Ordenada (Y) m	Δ σ _f fricción kg/cm ²	Δ σ _E E. cono kg/cm ²	Δ σ _A A. elástico kg/cm ²	Δ σ _C Contracción kg/cm ²	Δ σ _F F. plástico kg/cm ²	Δ σ _R Relajación kg/cm ²
1.00	0.00	0.90	0.00	1,125.26	64.42	418.20	884.97	899.47
2.00	3.23	0.61	83.56	1,041.70	53.29	418.20	732.06	901.92
3.00	6.46	0.39	167.12	958.14	27.77	418.20	381.54	907.52
4.00	9.69	0.23	250.68	874.58	0.75	418.20	10.37	913.48
5.00	12.92	0.13	334.24	791.02	18.77	418.20	257.89	909.51
6.00	16.16	0.10	417.80	707.46	25.57	418.20	351.35	908.01
7.00	19.39	0.13	501.36	623.90	16.30	418.20	223.91	910.05
Acuñ.	21.76	0.13	584.92	540.34	3.95	418.20	54.29	912.77
8.00	22.62	0.23	584.92	0.00	4.45	418.20	61.08	1,035.12
9.00	25.85	0.39	668.48	0.00	30.62	418.20	420.60	1,009.72
10.00	29.08	0.61	752.04	0.00	55.24	418.20	758.93	984.95
11.00	32.31	0.90	835.60	0.00	65.75	418.20	903.27	963.62

TABLA RESUMEN DE PERDIDAS								
Cable C-3	Abcisa (X) m	Ordenada (Y) m	Δ σ _f fricción kg/cm ²	Δ σ _E E. cono kg/cm ²	Δ σ _A A. elástico kg/cm ²	Δ σ _C Contracción kg/cm ²	Δ σ _F F. plástico kg/cm ²	Δ σ _R Relajación kg/cm ²
1.00	0.00	0.50	0.00	1,347.23	112.14	418.20	1,540.65	841.14
2.00	3.23	0.36	119.78	1,227.45	78.45	418.20	1,077.71	848.34
3.00	6.46	0.24	239.56	1,107.67	39.23	418.20	538.99	856.75
4.00	9.69	0.16	359.33	987.89	4.51	418.20	61.97	864.23
5.00	12.92	0.12	479.11	868.11	18.68	418.20	256.59	861.17
6.00	16.16	0.10	598.89	748.34	26.21	418.20	360.07	859.55
Acuñ.	18.17	0.15	718.67	628.56	25.35	418.20	348.22	859.74
7.00	19.39	0.15	718.67	0.00	18.90	418.20	259.67	1,000.89
8.00	22.62	0.29	838.44	0.00	2.77	418.20	38.08	977.23
9.00	25.85	0.53	958.22	0.00	21.55	418.20	296.09	945.99
10.00	29.08	0.87	1,078.00	0.00	48.34	418.20	664.07	913.41
11.00	32.31	1.30	1,197.78	0.00	68.66	418.20	943.28	882.71



RESUMEN DE LAS PÉRDIDAS DE PRESFUERZO POR NERVADURA TRAMO 3

CABLES EXTERNOS

Cable C-1		TABLA RESUMEN DE PERDIDAS								
Sección	Abcisa (X) m	Ordenada (Y) m	Δ σ total Instantáneas kg/cm²	Δ σ total Diferidas kg/cm²	Fo Fuerza Inicial ton.	Fo Fuerza final ton.	Δ Fo Instantáneas ton.	Δ Fo diferidas ton.	% Perdidas ton.	
1.00	0.00	1.30	913.35	2,346.41	320.13	251.18	19.32	49.63	21.54	
2.00	3.23	0.87	892.61	2,066.22	320.13	257.55	18.88	43.70	19.55	
3.00	6.46	0.53	866.10	1,708.02	320.13	265.68	18.32	36.12	17.01	
4.00	9.69	0.29	844.15	1,411.34	320.13	272.42	17.85	29.85	14.90	
5.00	12.92	0.15	860.93	1,638.08	320.13	267.27	18.21	34.65	16.51	
6.00	16.16	0.10	866.98	1,719.82	320.13	265.42	18.34	36.37	17.09	
7.00	19.39	0.12	856.97	1,584.61	320.13	268.49	18.12	33.51	16.13	
8.00	22.62	0.16	854.12	1,546.07	320.13	269.36	18.06	32.70	15.86	
9.00	25.85	0.24	890.12	2,032.56	320.13	258.31	18.83	42.99	19.31	
10.00	29.04	0.36	929.05	2,558.55	320.13	246.36	19.65	54.11	23.04	
Acuñ.	29.08	0.36	508.80	2,664.38	320.13	253.01	10.76	56.35	20.96	
11.00	32.31	0.50	588.20	3,092.38	320.13	242.28	12.44	65.40	24.32	
								Δfp =	18.85	

Cable C-2		TABLA RESUMEN DE PERDIDAS								
Sección	Abcisa (X) m	Ordenada (Y) m	Δ σ total Instantáneas kg/cm²	Δ σ total Diferidas kg/cm²	Fo Fuerza Inicial ton.	Fo Fuerza final ton.	Δ Fo Instantáneas ton.	Δ Fo diferidas ton.	% Perdidas ton.	
1.00	0.00	0.90	1,189.67	2,202.65	320.13	248.38	25.16	46.59	22.41	
2.00	3.23	0.61	1,178.54	2,052.18	320.13	251.80	24.93	43.40	21.34	
3.00	6.46	0.39	1,153.03	1,707.27	320.13	259.63	24.39	36.11	18.90	
4.00	9.69	0.23	1,126.01	1,342.05	320.13	267.93	23.82	28.38	16.31	
5.00	12.92	0.13	1,144.03	1,585.59	320.13	262.39	24.20	33.54	18.03	
6.00	16.16	0.10	1,150.83	1,677.55	320.13	260.31	24.34	35.48	18.69	
7.00	19.39	0.13	1,141.55	1,552.16	320.13	263.15	24.14	32.83	17.80	
Acuñ.	21.76	0.13	1,129.21	1,385.26	320.13	266.95	23.88	29.30	16.61	
8.00	22.62	0.23	589.37	1,514.40	320.13	275.63	12.47	32.03	13.90	
9.00	25.85	0.39	699.09	1,848.52	320.13	266.24	14.79	39.10	16.83	
10.00	29.08	0.61	807.28	2,162.09	320.13	257.32	17.07	45.73	19.62	
11.00	32.31	0.90	901.35	2,285.09	320.13	252.73	19.06	48.33	21.05	
								Δfp =	18.46	

Cable C-3		TABLA RESUMEN DE PERDIDAS								
Sección	Abcisa (X) m	Ordenada (Y) m	Δ σ total Instantáneas kg/cm²	Δ σ total Diferidas kg/cm²	Fo Fuerza Inicial ton.	Fo Fuerza final ton.	Δ Fo Instantáneas ton.	Δ Fo diferidas ton.	% Perdidas ton.	
1.00	0.00	0.50	1,459.37	2,799.99	320.13	230.04	30.87	59.22	28.14	
2.00	3.23	0.36	1,425.67	2,344.25	320.13	240.39	30.15	49.58	24.91	
3.00	6.46	0.24	1,386.46	1,813.94	320.13	252.44	29.32	38.36	21.14	
4.00	9.69	0.16	1,351.74	1,344.40	320.13	263.10	28.59	28.43	17.81	
5.00	12.92	0.12	1,365.90	1,535.97	320.13	258.75	28.89	32.49	19.17	
6.00	16.16	0.10	1,373.43	1,637.82	320.13	256.44	29.05	34.64	19.89	
Acuñ.	18.17	0.15	1,372.57	1,626.16	320.13	256.70	29.03	34.39	19.81	
7.00	19.39	0.15	737.57	1,678.75	320.13	269.02	15.60	35.51	15.96	
8.00	22.62	0.29	841.22	1,433.51	320.13	272.02	17.79	30.32	15.03	
9.00	25.85	0.53	979.77	1,660.28	320.13	264.29	20.72	35.12	17.44	
10.00	29.08	0.87	1,126.34	1,995.67	320.13	254.10	23.82	42.21	20.63	
11.00	32.31	1.30	1,266.44	2,244.19	320.13	245.88	26.79	47.46	23.19	
								Δfp =	20.26	



RESUMEN DE LAS PÉRDIDAS DE PRESFUERZO POR NERVADURA TRAMO 3

CABLES EXTERNOS

Cable C-4		TABLA RESUMEN DE PERDIDAS							
Sección	Abcisa (X) m	Ordenada (Y) m	Δ σ _f fricción kg/cm ²	Δ σ _E E. cono kg/cm ²	Δ σ _A A. elástico kg/cm ²	Δ σ _C Contracción kg/cm ²	Δ σ _F F. plástico kg/cm ²	Δ σ _R Relajación kg/cm ²	
1.00	0.00	1.30	0.00	755.35	64.45	418.20	885.44	982.10	
2.00	3.23	0.90	37.65	717.70	49.26	418.20	676.78	985.56	
3.00	6.46	0.60	75.30	680.05	24.72	418.20	339.60	991.16	
4.00	9.69	0.38	112.96	642.39	0.41	418.20	5.58	996.72	
5.00	12.92	0.24	150.61	604.74	16.95	418.20	232.92	992.93	
6.00	16.16	0.20	188.26	567.09	23.39	418.20	321.39	991.46	
7.00	19.39	0.21	225.91	529.44	13.19	418.20	181.19	993.79	
8.00	22.62	0.25	263.57	491.78	13.19	418.20	181.26	993.79	
9.00	25.85	0.31	301.22	454.13	52.16	418.20	716.57	984.90	
10.00	29.08	0.39	338.87	416.48	97.81	418.20	1,343.78	974.52	
11.00	32.31	0.50	376.52	378.83	141.99	418.20	1,950.73	964.53	
Acuñ.	32.41	0.50	376.52	755.35	141.98	418.20	1,950.58	881.09	

Cable C-5		TABLA RESUMEN DE PERDIDAS							
Sección	Abcisa (X) m	Ordenada (Y) m	Δ σ _f fricción kg/cm ²	Δ σ _E E. cono kg/cm ²	Δ σ _A A. elástico kg/cm ²	Δ σ _C Contracción kg/cm ²	Δ σ _F F. plástico kg/cm ²	Δ σ _R Relajación kg/cm ²	
1.00	0.00	0.90	0.00	1,062.04	72.05	418.20	989.82	911.70	
2.00	3.23	0.65	74.44	987.61	58.37	418.20	801.92	914.72	
3.00	6.46	0.45	148.87	913.17	30.91	418.20	424.58	920.79	
4.00	9.69	0.31	223.31	838.74	2.43	418.20	33.37	927.10	
5.00	12.92	0.23	297.74	764.30	18.07	418.20	248.20	923.63	
6.00	16.16	0.20	372.18	689.87	25.30	418.20	347.59	922.03	
7.00	19.39	0.23	446.61	615.43	15.85	418.20	217.75	924.13	
8.00	22.62	0.31	521.05	540.99	6.32	418.20	86.84	926.24	
Acuñ.	23.05	0.31	595.48	466.56	2.08	418.20	28.62	927.18	
9.00	25.85	0.45	595.48	0.00	34.22	418.20	470.06	1,025.75	
10.00	29.08	0.65	669.92	0.00	60.76	418.20	834.68	1,002.47	
11.00	32.31	0.90	744.35	0.00	73.68	418.20	1,012.16	982.51	

Cable C-6		TABLA RESUMEN DE PERDIDAS							
Sección	Abcisa (X) m	Ordenada (Y) m	Δ σ _f fricción kg/cm ²	Δ σ _E E. cono kg/cm ²	Δ σ _A A. elástico kg/cm ²	Δ σ _C Contracción kg/cm ²	Δ σ _F F. plástico kg/cm ²	Δ σ _R Relajación kg/cm ²	
1.00	0.00	0.50	0.00	1,295.55	133.15	418.20	1,829.27	847.69	
2.00	3.23	0.39	110.77	1,184.78	88.98	418.20	1,222.41	857.16	
3.00	6.46	0.31	221.53	1,074.02	44.01	418.20	604.55	866.86	
4.00	9.69	0.25	332.30	963.25	6.39	418.20	87.73	875.00	
5.00	12.92	0.21	443.06	852.49	18.12	418.20	248.89	872.45	
6.00	16.16	0.20	553.83	741.72	26.11	418.20	358.66	870.72	
Acuñ.	18.90	0.24	664.59	630.96	21.81	418.20	299.65	871.65	
7.00	19.39	0.24	664.59	0.00	17.82	418.20	244.87	1,013.57	
8.00	22.62	0.38	775.36	0.00	1.16	418.20	15.98	991.97	
9.00	25.85	0.60	886.12	0.00	23.03	418.20	316.42	961.86	
10.00	29.08	0.90	996.89	0.00	47.84	418.20	657.25	931.49	
11.00	32.31	1.30	1,107.65	0.00	62.87	418.20	863.75	903.68	



RESUMEN DE LAS PÉRDIDAS DE PRESFUERZO POR NERVADURA TRAMO 3

CABLES EXTERNOS

Cable C-4	TABLA RESUMEN DE PERDIDAS									
	Sección	Abcisa (X) m	Ordenada (Y) m	Δ σ total Instantáneas kg/cm²	Δ σ total Diferidas kg/cm²	Fo Fuerza Inicial ton.	Fo Fuerza final ton.	Δ Fo Instantáneas ton.	Δ Fo diferidas ton.	% Perdidas ton.
1.00	0.00	1.30	819.80	2,285.74	320.13	254.44	17.34	48.34	20.52	
2.00	3.23	0.90	804.61	2,080.54	320.13	259.11	17.02	44.00	19.06	
3.00	6.46	0.60	780.07	1,748.96	320.13	266.64	16.50	36.99	16.71	
4.00	9.69	0.38	755.76	1,420.49	320.13	274.10	15.98	30.04	14.38	
5.00	12.92	0.24	772.31	1,644.05	320.13	269.02	16.33	34.77	15.96	
6.00	16.16	0.20	778.75	1,731.05	320.13	267.04	16.47	36.61	16.58	
7.00	19.39	0.21	768.54	1,593.18	320.13	270.18	16.25	33.70	15.60	
8.00	22.62	0.25	768.55	1,593.25	320.13	270.17	16.25	33.70	15.60	
9.00	25.85	0.31	807.51	2,119.67	320.13	258.22	17.08	44.83	19.34	
10.00	29.08	0.39	853.17	2,736.50	320.13	244.20	18.04	57.88	23.72	
11.00	32.31	0.50	897.35	3,333.46	320.13	230.64	18.98	70.50	27.95	
Acuñ.	32.41	0.50	1,273.86	3,249.87	320.13	224.45	26.94	68.73	29.89	
								Δfp =	18.68	

Cable C-5	TABLA RESUMEN DE PERDIDAS									
	Sección	Abcisa (X) m	Ordenada (Y) m	Δ σ total Instantáneas kg/cm²	Δ σ total Diferidas kg/cm²	Fo Fuerza Inicial ton.	Fo Fuerza final ton.	Δ Fo Instantáneas ton.	Δ Fo diferidas ton.	% Perdidas ton.
1.00	0.00	0.90	1,134.09	2,319.72	320.13	247.08	23.99	49.06	22.82	
2.00	3.23	0.65	1,120.41	2,134.84	320.13	251.28	23.70	45.15	21.51	
3.00	6.46	0.45	1,092.95	1,763.57	320.13	259.71	23.12	37.30	18.87	
4.00	9.69	0.31	1,064.47	1,378.68	320.13	268.45	22.51	29.16	16.14	
5.00	12.92	0.23	1,080.11	1,590.03	320.13	263.65	22.84	33.63	17.64	
6.00	16.16	0.20	1,087.34	1,687.82	320.13	261.43	23.00	35.70	18.33	
7.00	19.39	0.23	1,077.89	1,560.07	320.13	264.33	22.80	33.00	17.43	
8.00	22.62	0.31	1,068.36	1,431.28	320.13	267.26	22.60	30.27	16.51	
Acuñ.	23.05	0.31	1,064.12	1,374.00	320.13	268.56	22.51	29.06	16.11	
9.00	25.85	0.45	629.70	1,914.01	320.13	266.33	13.32	40.48	16.81	
10.00	29.08	0.65	730.67	2,255.34	320.13	256.97	15.45	47.70	19.73	
11.00	32.31	0.90	818.03	2,412.87	320.13	251.79	17.30	51.03	21.35	
								Δfp =	18.60	

Cable C-6	TABLA RESUMEN DE PERDIDAS									
	Sección	Abcisa (X) m	Ordenada (Y) m	Δ σ total Instantáneas kg/cm²	Δ σ total Diferidas kg/cm²	Fo Fuerza Inicial ton.	Fo Fuerza final ton.	Δ Fo Instantáneas ton.	Δ Fo diferidas ton.	% Perdidas ton.
1.00	0.00	0.50	1,428.70	3,095.16	320.13	224.45	30.22	65.46	29.89	
2.00	3.23	0.39	1,384.53	2,497.78	320.13	238.02	29.28	52.83	25.65	
3.00	6.46	0.31	1,339.55	1,889.61	320.13	251.83	28.33	39.97	21.33	
4.00	9.69	0.25	1,301.93	1,380.92	320.13	263.38	27.54	29.21	17.73	
5.00	12.92	0.21	1,313.67	1,539.54	320.13	259.78	27.78	32.56	18.85	
6.00	16.16	0.20	1,321.66	1,647.58	320.13	257.33	27.95	34.85	19.62	
Acuñ.	18.90	0.24	1,317.36	1,589.50	320.13	258.65	27.86	33.62	19.20	
7.00	19.39	0.24	682.42	1,676.63	320.13	270.23	14.43	35.46	15.59	
8.00	22.62	0.38	776.52	1,426.15	320.13	273.54	16.42	30.16	14.55	
9.00	25.85	0.60	909.15	1,696.48	320.13	265.02	19.23	35.88	17.21	
10.00	29.08	0.90	1,044.73	2,006.94	320.13	255.58	22.10	42.45	20.16	
11.00	32.31	1.30	1,170.52	2,185.62	320.13	249.14	24.76	46.23	22.17	
								Δfp =	20.16	



RESUMEN DE LAS PÉRDIDAS DE PRESFUERZO POR NERVADURA TRAMO 3

CABLES INTERNOS

TABLA RESUMEN DE PERDIDAS								
Cable C-1	Abcisa (X) m	Ordenada (Y) m	Δ σ _f fricción kg/cm ²	Δ σ _E E. cono kg/cm ²	Δ σ _A A. elástico kg/cm ²	Δ σ _C Contracción kg/cm ²	Δ σ _F F. plástico kg/cm ²	Δ σ _R Relajación kg/cm ²
1.00	0.00	1.30	0.00	928.01	69.99	418.20	961.54	941.91
2.00	2.87	0.87	50.47	877.54	53.13	418.20	729.97	945.69
3.00	5.74	0.53	100.93	827.08	41.02	418.20	563.55	948.40
4.00	8.61	0.29	151.40	776.61	33.08	418.20	454.49	950.18
5.00	11.48	0.15	201.86	726.15	28.68	418.20	394.04	951.17
6.00	14.35	0.10	252.33	675.68	27.28	418.20	374.77	951.48
7.00	17.21	0.12	302.79	625.22	34.36	418.20	472.03	949.89
8.00	20.08	0.16	353.26	574.75	51.29	418.20	704.58	946.10
9.00	22.95	0.24	403.72	524.29	74.89	418.20	1,028.88	940.82
10.00	25.82	0.36	454.19	473.82	100.04	418.20	1,374.39	935.21
Acuñ.	26.38	0.50	504.65	423.36	85.40	418.20	1,173.21	938.47
11.00	28.69	0.50	504.65	0.00	119.00	418.20	1,634.80	1,027.15

TABLA RESUMEN DE PERDIDAS								
Cable C-2	Abcisa (X) m	Ordenada (Y) m	Δ σ _f fricción kg/cm ²	Δ σ _E E. cono kg/cm ²	Δ σ _A A. elástico kg/cm ²	Δ σ _C Contracción kg/cm ²	Δ σ _F F. plástico kg/cm ²	Δ σ _R Relajación kg/cm ²
1.00	0.00	0.90	0.00	1,250.81	63.84	418.20	877.04	872.24
2.00	2.87	0.61	91.68	1,159.13	61.31	418.20	842.34	872.79
3.00	5.74	0.39	183.36	1,067.45	50.13	418.20	688.74	875.21
4.00	8.61	0.23	275.04	975.77	37.51	418.20	515.37	877.95
5.00	11.48	0.13	366.72	884.09	28.37	418.20	389.80	879.93
6.00	14.35	0.10	458.40	792.41	25.47	418.20	349.87	880.57
7.00	17.21	0.13	550.08	700.73	31.09	418.20	427.07	879.34
Acuñ.	19.57	0.23	641.76	609.05	37.28	418.20	512.20	878.00
8.00	20.08	0.23	641.76	0.00	41.77	418.20	573.85	1,013.31
9.00	22.95	0.39	733.44	0.00	53.41	418.20	733.78	989.61
10.00	25.82	0.61	825.11	0.00	63.57	418.20	873.33	966.48
11.00	28.69	0.90	916.79	0.00	65.38	418.20	898.14	945.46

TABLA RESUMEN DE PERDIDAS								
Cable C-3	Abcisa (X) m	Ordenada (Y) m	Δ σ _f fricción kg/cm ²	Δ σ _E E. cono kg/cm ²	Δ σ _A A. elástico kg/cm ²	Δ σ _C Contracción kg/cm ²	Δ σ _F F. plástico kg/cm ²	Δ σ _R Relajación kg/cm ²
1.00	0.00	0.50	0.00	1,502.70	110.88	418.20	1,523.28	808.51
2.00	2.87	0.36	132.32	1,370.38	90.76	418.20	1,246.89	812.74
3.00	5.74	0.24	264.65	1,238.06	66.03	418.20	907.06	817.95
4.00	8.61	0.16	396.97	1,105.73	43.81	418.20	601.81	822.64
5.00	11.48	0.12	529.29	973.41	29.08	418.20	399.50	825.75
6.00	14.35	0.10	661.61	841.09	24.71	418.20	339.48	826.68
Acuñ.	16.29	0.15	793.94	708.76	23.06	418.20	316.81	827.03
7.00	17.21	0.15	793.94	0.00	27.70	418.20	380.59	981.68
8.00	20.08	0.29	926.26	0.00	31.36	418.20	430.85	950.96
9.00	22.95	0.53	1,058.58	0.00	39.24	418.20	539.03	919.71
10.00	25.82	0.87	1,190.91	0.00	51.65	418.20	709.57	887.91
11.00	28.69	1.30	1,323.23	0.00	68.04	418.20	934.79	855.72



RESUMEN DE LAS PÉRDIDAS DE PRESFUERZO POR NERVADURA TRAMO 3

CABLES INTERNOS

Cable C-1		TABLA RESUMEN DE PERDIDAS								
Sección	Abcisa (X) m	Ordenada (Y) m	Δ σ total Instantáneas kg/cm²	Δ σ total Diferidas kg/cm²	Fo Fuerza Inicial ton.	Fo Fuerza final ton.	Δ Fo Instantáneas ton.	Δ Fo diferidas ton.	% Perdidas ton.	
1.00	0.00	1.30	998.00	2,321.65	320.13	249.92	21.11	49.10	21.93	
2.00	2.87	0.87	981.14	2,093.85	320.13	255.09	20.75	44.28	20.32	
3.00	5.74	0.53	969.03	1,930.14	320.13	258.81	20.49	40.82	19.15	
4.00	8.61	0.29	961.09	1,822.87	320.13	261.25	20.33	38.55	18.39	
5.00	11.48	0.15	956.69	1,763.40	320.13	262.60	20.23	37.30	17.97	
6.00	14.35	0.10	955.29	1,744.46	320.13	263.03	20.20	36.90	17.84	
7.00	17.21	0.12	962.37	1,840.12	320.13	260.85	20.35	38.92	18.52	
8.00	20.08	0.16	979.30	2,068.88	320.13	255.66	20.71	43.76	20.14	
9.00	22.95	0.24	1,002.90	2,387.90	320.13	248.41	21.21	50.50	22.40	
10.00	25.82	0.36	1,028.05	2,727.80	320.13	240.69	21.74	57.69	24.81	
Acuñ.	26.38	0.50	1,013.41	2,529.89	320.13	245.19	21.43	53.51	23.41	
11.00	28.69	0.50	623.65	3,080.15	320.13	241.79	13.19	65.15	24.47	
										Δfp = 20.78

Cable C-2		TABLA RESUMEN DE PERDIDAS								
Sección	Abcisa (X) m	Ordenada (Y) m	Δ σ total Instantáneas kg/cm²	Δ σ total Diferidas kg/cm²	Fo Fuerza Inicial ton.	Fo Fuerza final ton.	Δ Fo Instantáneas ton.	Δ Fo diferidas ton.	% Perdidas ton.	
1.00	0.00	0.90	1,314.65	2,167.48	320.13	246.48	27.80	45.84	23.01	
2.00	2.87	0.61	1,312.12	2,133.33	320.13	247.26	27.75	45.12	22.76	
3.00	5.74	0.39	1,300.94	1,982.15	320.13	250.69	27.51	41.92	21.69	
4.00	8.61	0.23	1,288.32	1,811.52	320.13	254.56	27.25	38.31	20.48	
5.00	11.48	0.13	1,279.18	1,687.93	320.13	257.37	27.05	35.70	19.60	
6.00	14.35	0.10	1,276.28	1,648.63	320.13	258.26	26.99	34.87	19.32	
7.00	17.21	0.13	1,281.90	1,724.62	320.13	256.54	27.11	36.48	19.86	
Acuñ.	19.57	0.23	1,288.09	1,808.40	320.13	254.64	27.24	38.25	20.46	
8.00	20.08	0.23	683.53	2,005.36	320.13	263.26	14.46	42.41	17.76	
9.00	22.95	0.39	786.85	2,141.59	320.13	258.19	16.64	45.29	19.35	
10.00	25.82	0.61	888.68	2,258.02	320.13	253.57	18.80	47.76	20.79	
11.00	28.69	0.90	982.17	2,261.80	320.13	251.52	20.77	47.84	21.43	
										Δfp = 20.54

Cable C-3		TABLA RESUMEN DE PERDIDAS								
Sección	Abcisa (X) m	Ordenada (Y) m	Δ σ total Instantáneas kg/cm²	Δ σ total Diferidas kg/cm²	Fo Fuerza Inicial ton.	Fo Fuerza final ton.	Δ Fo Instantáneas ton.	Δ Fo diferidas ton.	% Perdidas ton.	
1.00	0.00	0.50	1,613.58	2,749.99	320.13	227.84	34.13	58.16	28.83	
2.00	2.87	0.36	1,593.46	2,477.83	320.13	234.02	33.70	52.41	26.90	
3.00	5.74	0.24	1,568.73	2,143.20	320.13	241.62	33.18	45.33	24.52	
4.00	8.61	0.16	1,546.51	1,842.65	320.13	248.45	32.71	38.97	22.39	
5.00	11.48	0.12	1,531.78	1,643.45	320.13	252.97	32.40	34.76	20.98	
6.00	14.35	0.10	1,527.41	1,584.36	320.13	254.31	32.30	33.51	20.56	
Acuñ.	16.29	0.15	1,525.76	1,562.04	320.13	254.82	32.27	33.04	20.40	
7.00	17.21	0.15	821.64	1,780.47	320.13	265.09	17.38	37.66	17.19	
8.00	20.08	0.29	957.62	1,800.01	320.13	261.80	20.25	38.07	18.22	
9.00	22.95	0.53	1,097.82	1,876.94	320.13	257.21	23.22	39.70	19.65	
10.00	25.82	0.87	1,242.56	2,015.68	320.13	251.21	26.28	42.63	21.53	
11.00	28.69	1.30	1,391.27	2,208.71	320.13	243.99	29.43	46.71	23.78	
										Δfp = 22.08



RESUMEN DE LAS PÉRDIDAS DE PRESFUERZO POR NERVADURA TRAMO 3

CABLES INTERNOS

Cable C-4		TABLA RESUMEN DE PERDIDAS						
Sección	Abcisa (X) m	Ordenada (Y) m	Δ σ _f fricción kg/cm ²	Δ σ _E E. cono kg/cm ²	Δ σ _A A. elástico kg/cm ²	Δ σ _C Contracción kg/cm ²	Δ σ _F F. plástico kg/cm ²	Δ σ _R Relajación kg/cm ²
1.00	0.00	1.30	0.00	826.94	64.13	418.20	881.03	965.94
2.00	2.87	0.90	40.07	786.87	54.00	418.20	741.87	968.23
3.00	5.74	0.60	80.14	746.80	43.87	418.20	602.75	970.52
4.00	8.61	0.38	120.22	706.73	35.52	418.20	487.93	972.42
5.00	11.48	0.24	160.29	666.65	30.05	418.20	412.76	973.66
6.00	14.35	0.20	200.36	626.58	28.04	418.20	385.25	974.11
7.00	17.21	0.21	240.43	586.51	35.50	418.20	487.73	972.42
8.00	20.08	0.25	280.50	546.44	54.09	418.20	743.04	968.21
9.00	22.95	0.31	320.57	506.37	81.13	418.20	1,114.55	962.11
10.00	25.82	0.39	360.65	466.30	112.28	418.20	1,542.50	955.09
11.00	28.69	0.50	400.72	426.22	141.76	418.20	1,947.54	948.47
Acuñ.	29.60	0.50	400.72	826.94	141.64	418.20	1,945.85	860.44

Cable C-5		TABLA RESUMEN DE PERDIDAS						
Sección	Abcisa (X) m	Ordenada (Y) m	Δ σ _f fricción kg/cm ²	Δ σ _E E. cono kg/cm ²	Δ σ _A A. elástico kg/cm ²	Δ σ _C Contracción kg/cm ²	Δ σ _F F. plástico kg/cm ²	Δ σ _R Relajación kg/cm ²
1.00	0.00	0.90	0.00	1,178.82	71.45	418.20	981.61	886.23
2.00	2.87	0.65	81.43	1,097.39	67.61	418.20	928.87	887.06
3.00	5.74	0.45	162.86	1,015.96	54.51	418.20	748.90	889.92
4.00	8.61	0.31	244.29	934.53	39.95	418.20	548.87	893.10
5.00	11.48	0.23	325.72	853.10	29.34	418.20	403.10	895.42
6.00	14.35	0.20	407.15	771.67	25.79	418.20	354.29	896.20
7.00	17.21	0.23	488.58	690.24	31.77	418.20	436.41	894.89
8.00	20.08	0.31	570.01	608.81	44.21	418.20	607.36	892.17
Acuñ.	20.77	0.31	651.44	527.38	35.70	418.20	490.47	894.03
9.00	22.95	0.45	651.44	0.00	58.31	418.20	801.08	1,007.27
10.00	25.82	0.65	732.87	0.00	70.35	418.20	966.45	985.88
11.00	28.69	0.90	814.30	0.00	73.32	418.20	1,007.24	966.73

Cable C-6		TABLA RESUMEN DE PERDIDAS						
Sección	Abcisa (X) m	Ordenada (Y) m	Δ σ _f fricción kg/cm ²	Δ σ _E E. cono kg/cm ²	Δ σ _A A. elástico kg/cm ²	Δ σ _C Contracción kg/cm ²	Δ σ _F F. plástico kg/cm ²	Δ σ _R Relajación kg/cm ²
1.00	0.00	0.50	0.00	1,444.17	131.72	418.20	1,809.63	816.44
2.00	2.87	0.39	122.22	1,321.95	102.44	418.20	1,407.34	822.62
3.00	5.74	0.31	244.43	1,199.74	72.01	418.20	989.25	829.06
4.00	8.61	0.25	366.65	1,077.52	46.42	418.20	637.68	834.49
5.00	11.48	0.21	488.86	955.31	29.88	418.20	410.44	838.01
6.00	14.35	0.20	611.08	833.09	24.84	418.20	341.19	839.09
Acuñ.	16.95	0.24	733.29	710.88	26.48	418.20	363.73	838.74
7.00	17.21	0.24	733.29	0.00	29.08	418.20	399.46	995.20
8.00	20.08	0.38	855.51	0.00	33.76	418.20	463.81	966.35
9.00	22.95	0.60	977.72	0.00	41.98	418.20	576.77	937.07
10.00	25.82	0.90	1,099.94	0.00	52.41	418.20	719.97	907.68
11.00	28.69	1.30	1,222.15	0.00	62.36	418.20	856.70	878.78



RESUMEN DE LAS PÉRDIDAS DE PRESFUERZO POR NERVADURA TRAMO 3

CABLES INTERNOS

Cable C-4	TABLA RESUMEN DE PERDIDAS									
	Sección	Abcisa (X) m	Ordenada (Y) m	Δ σ total Instantáneas kg/cm²	Δ σ total Diferidas kg/cm²	Fo Fuerza Inicial ton.	Fo Fuerza final ton.	Δ Fo Instantáneas ton.	Δ Fo diferidas ton.	% Perdidas ton.
1.00	0.00	1.30	891.07	2,265.18	320.13	253.37	18.85	47.91	20.85	
2.00	2.87	0.90	880.94	2,128.31	320.13	256.48	18.63	45.01	19.88	
3.00	5.74	0.60	870.81	1,991.47	320.13	259.59	18.42	42.12	18.91	
4.00	8.61	0.38	862.46	1,878.54	320.13	262.15	18.24	39.73	18.11	
5.00	11.48	0.24	856.99	1,804.62	320.13	263.83	18.13	38.17	17.58	
6.00	14.35	0.20	854.98	1,777.56	320.13	264.45	18.08	37.60	17.39	
7.00	17.21	0.21	862.44	1,878.35	320.13	262.16	18.24	39.73	18.11	
8.00	20.08	0.25	881.03	2,129.45	320.13	256.45	18.63	45.04	19.89	
9.00	22.95	0.31	908.07	2,494.85	320.13	248.15	19.21	52.77	22.48	
10.00	25.82	0.39	939.22	2,915.80	320.13	238.59	19.86	61.67	25.47	
11.00	28.69	0.50	968.70	3,314.21	320.13	229.54	20.49	70.10	28.30	
Acuñ.	29.60	0.50	1,369.30	3,224.49	320.13	222.97	28.96	68.20	30.35	
								Δfp =	20.63	

Cable C-5	TABLA RESUMEN DE PERDIDAS									
	Sección	Abcisa (X) m	Ordenada (Y) m	Δ σ total Instantáneas kg/cm²	Δ σ total Diferidas kg/cm²	Fo Fuerza Inicial ton.	Fo Fuerza final ton.	Δ Fo Instantáneas ton.	Δ Fo diferidas ton.	% Perdidas ton.
1.00	0.00	0.90	1,250.27	2,286.03	320.13	245.33	26.44	48.35	23.36	
2.00	2.87	0.65	1,246.43	2,234.13	320.13	246.51	26.36	47.25	23.00	
3.00	5.74	0.45	1,233.33	2,057.02	320.13	250.54	26.08	43.51	21.74	
4.00	8.61	0.31	1,218.77	1,860.18	320.13	255.01	25.78	39.34	20.34	
5.00	11.48	0.23	1,208.16	1,716.72	320.13	258.27	25.55	36.31	19.32	
6.00	14.35	0.20	1,204.61	1,668.69	320.13	259.36	25.48	35.29	18.98	
7.00	17.21	0.23	1,210.58	1,749.50	320.13	257.52	25.60	37.00	19.56	
8.00	20.08	0.31	1,223.03	1,917.73	320.13	253.70	25.87	40.56	20.75	
Acuñ.	20.77	0.31	1,214.52	1,802.70	320.13	256.31	25.69	38.13	19.93	
9.00	22.95	0.45	709.75	2,226.56	320.13	258.02	15.01	47.09	19.40	
10.00	25.82	0.65	803.22	2,370.53	320.13	253.00	16.99	50.14	20.97	
11.00	28.69	0.90	887.61	2,392.17	320.13	250.76	18.77	50.59	21.67	
								Δfp =	20.75	

Cable C-6	TABLA RESUMEN DE PERDIDAS									
	Sección	Abcisa (X) m	Ordenada (Y) m	Δ σ total Instantáneas kg/cm²	Δ σ total Diferidas kg/cm²	Fo Fuerza Inicial ton.	Fo Fuerza final ton.	Δ Fo Instantáneas ton.	Δ Fo diferidas ton.	% Perdidas ton.
1.00	0.00	0.50	1,575.89	3,044.26	320.13	222.41	33.33	64.39	30.52	
2.00	2.87	0.39	1,546.61	2,648.16	320.13	231.41	32.71	56.01	27.71	
3.00	5.74	0.31	1,516.18	2,236.51	320.13	240.76	32.07	47.30	24.79	
4.00	8.61	0.25	1,490.59	1,890.37	320.13	248.62	31.53	39.98	22.34	
5.00	11.48	0.21	1,474.04	1,666.66	320.13	253.70	31.18	35.25	20.75	
6.00	14.35	0.20	1,469.00	1,598.47	320.13	255.25	31.07	33.81	20.27	
Acuñ.	16.95	0.24	1,470.64	1,620.67	320.13	254.75	31.10	34.28	20.42	
7.00	17.21	0.24	762.37	1,812.87	320.13	265.66	16.12	38.34	17.01	
8.00	20.08	0.38	889.27	1,848.36	320.13	262.23	18.81	39.09	18.09	
9.00	22.95	0.60	1,019.70	1,932.04	320.13	257.70	21.57	40.86	19.50	
10.00	25.82	0.90	1,152.34	2,045.84	320.13	252.48	24.37	43.27	21.13	
11.00	28.69	1.30	1,284.51	2,153.67	320.13	247.41	27.17	45.55	22.72	
								Δfp =	22.10	



ESFUERZOS Y CAPACIDAD DE NERVADURA DE CURVA INTERIOR TRAMO 1

ETAPAS DE TENSADO

PROYECTO : **ING. EDUARDO VÁZQUEZ GARCÉS**

1

REVISIÓN SECCIÓN CAJÓN (POSTENSADA)

CON 7 CABLES DE 15 TORONES DE 15 MM, SE INCLUYE ASFALTO DE 10 CM DE ESPESOR

DATOS DEL TORON

TIPO :	BAJA RELAJACION	CLARO =	31.3
DIAMETRO :	15 mm	No. SECCIONES =	10
ESFZO. RUPTURA :	189.2 kg/mm ²	Δ =	3.13
ESFZO. FLUENCIA :	160.2 kg/mm ²	P(1000)hrs =	3.5
FACTOR DE TENSION INICIAL :	0.8	μ o =	0.43
f o =	151.36 kg/mm ²	b 1 =	0.9
TENSION INICIAL (F _o) :	320.13 Ton	Δ presfuerzo =	10 cm
MODULO DE ELASTICIDAD (E) :	20,400.00 kg/mm ²		
SECCION TORON (At) :	141 mm ²		

PRESFUERZO EN 1a. ETAPA

	Apoyo	0.1L	0.2L	0.3L	0.4L	C. Claro
Cable No.1	15	15	15	15	15	15
Cable No.2	15	15	15	15	15	15
Cable No.3	15	15	15	15	15	15
Cable No.4	15	15	15	15	15	15
Cable No.5	15	15	15	15	15	15
Cable No.6	15	15	15	15	15	15
Cable No.7	0	0	0	0	0	0
Total =	90	90	90	90	90	90

PRESFUERZO EN 2a. ETAPA

	Apoyo	0.1L	0.2L	0.3L	0.4L	C. Claro
Cable No.1	0	0	0	0	0	0
Cable No.2	0	0	0	0	0	0
Cable No.3	0	0	0	0	0	0
Cable No.4	0	0	0	0	0	0
Cable No.5	0	0	0	0	0	0
Cable No.6	0	0	0	0	0	0
Cable No.7	0	0	0	0	0	0
Total =	0	0	0	0	0	0

CARACTERISTICAS DE LOS MATERIALES

FÓRMULA EMPLEADA: **Eq. 5.4.2.4-1 (AASHTO LRFD 2020)**

$$E = 33,000K_1w^{1.5} \sqrt{f'_c}$$

$$1 \text{ ksi} = 70.307 \frac{\text{kg}}{\text{cm}^2}$$

Donde:
K₁ = 1
w = 0.14640

Concrete	Lightweight	0.110 to 0.135
	Normal Weight with $f'_c \leq 5.0$ ksi	0.145
	Normal Weight with $5.0 < f'_c \leq 15.0$ ksi	0.140 + 0.001 f'_c

MÓDULO DE ELÁSTICIDAD DEL CONCRETO

Concreto f'c=	6.400	ksi	Ec =	4,676.64	ksi	e =	0.00025
Concreto f'c=	450	kg/cm ²	Ec =	328,800.69	kg/cm ²	r t =	0.18

LIMITES DE TENSIÓN PARA TENDONES DE PRESFUERZO			
Cables de baja relajación			
Pretensado		Postensado	
Al Tensado	0.75 fpu	Al tensado	0.9 fpy
Después de perdidas	0.8 fpy	Después de acuñamiento	0.7 fpu
		En el extremo de placa después del acunamiento	0.74 fpu
		Después de pérdidas	0.8 fpy



CARACTERISTICAS GEOMETRICAS		
b e =	196.54	cm
t =	26.67	cm
h s.s =	143.33	cm
bwp =	119.82	cm
tw =	40.00	cm
Trabe (tipo) =	Postensada	
h s.c =	170	cm
f =	0.9	
SECCION SIMPLE	SECCION COMPUESTA	
Área, A =	14,193.00	cm ²
Yi =	96.60	cm
Ys =	73.40	cm
Inercia, I =	50,134,692.00	cm ⁴
Módulo, Si =	518,969.00	cm ³
Módulo, Ss =	683,074.00	cm ³
Radio, rx =	59.43	cm
Área, A =	14,193.00	cm ²
Yi =	96.60	cm
Ys =	73.40	cm
Inercia, I =	50,134,692.00	cm ⁴
Módulo, Si =	518,969.00	cm ³
Módulo, Ss =	683,074.00	cm ³
Radio, rx =	59.43	cm
Esfuerzo permisible al =	100	%
SECCIONES A ANALIZAR	COMBINACIÓN DE DISEÑO	
APOYO 1	CMT + CV + IMPACTO	
0.1L	0.6L	
0.2L	0.7L	
0.3L	0.8L	
0.4L	0.9L	
C.CLARO	APOYO 2	
FACTORES DE CARGA		
	F _{CM} =	1.25
	f _{Asf} =	1.5
	F _{CV} =	1.75
CARGA VIVA QUE RIGE		
CAMIÓN T3S2R4		
ACERO EN TENSION	FUERZA QUE DESARROLLA (TON)	ACERO EN COMPRESIÓN
A s =	0.00 cm ²	
f y =	4,200.00 kg/cm ²	
Es =	2,039,000.00 kg/cm ²	
r =	5.00 cm	
FUERZA EN LECHO DE TENSIÓN		
	T =	0.00 ton
FUERZA EN LECHO DE COMPRESIÓN		
	T =	0.00 ton
	A s =	0.00 cm ²
	f y =	4,200.00 kg/cm ²
	Es =	2,039,000.00 kg/cm ²
	r =	5.00 cm
ETAPAS PARA REVISIÓN DE ESFUERZOS		
1a etapa	2a etapa.	
Peso propio	Presfzo (2a. etapa)	
Presfzo. (1a. etapa)	Perdidas instantáneas(2a.Etapa)	
Perdidas Instantáneas (1a. Etapa)	Perdidas diferidas totales	
Losa + diafragmas	Banqueta+Guarnición	
	Parapeto+Relleno	
	Carreta asfáltica	
	Carva Viva	
PERDIDAS DE PRESFUERZO		
Sección	ΔS total Instantáneas kg/cm ²	ΔS total Diferidas kg/cm ²
1	161.66	313.75
2	159.91	290.08
3	157.76	261.00
4	155.83	234.89
5	154.54	217.48
6	154.13	211.97
7	124.81	228.12
8	118.73	248.93
9	116.86	276.22
10	128.04	303.16
11	129.82	325.94
SOLICITACIONES ACTUANTES EN SERVICIO CM+CV+IMP.		
Abcisa mts	Momento t-m	Cortante ton
Δ =	3.13	m
0	0.0	-145.4
3.13	600.9	-100.0
6.26	1032.0	-63.7
9.39	1313.8	-20.8
12.52	1416.1	27.5
15.65	1352.5	75.9
18.78	1122.8	125.7
21.91	728.9	181.3
25.04	176.4	231.2
28.17	-396.1	281.7
31.3	-963.9	342.4



**Facultad de
Ingeniería**

ANEXO. MEMORIA DE CÁLCULO

PUEI

Programa Único de
Especializaciones
de Ingeniería

RESUMEN DE SOLICITACIONES (POR NERVADURA)

CARGA VIVA :

CAMIÓN T3S2R4

Impacto = **0.33**

MOMENTOS

ABCISA (m)	M po.po (t-m)	M diafrag. (t-m)	M losa (t-m)	M banq. (t-m)	M guarn. (t-m)	M ppto. (t-m)	M relleno (t-m)	M asfalto (t-m)	M cm (t-m)	M cv (t-m)	M cv ban (t-m)	M imp (t-m)	M serv. (t-m)	M ultimo (t-m)
0.00	0.00	0.00	0.00	0.00	0.00	0.00	0.00	0.00	0.00	0.00	0.00	0.00	0.00	0.00
3.13	247.66	0.00	0.00	0.00	18.03	5.10	88.75	44.65	359.54	181.48	0.00	59.89	600.91	938.79
6.26	427.89	0.00	0.00	0.00	31.39	8.88	154.26	77.84	622.43	307.92	0.00	101.61	1,031.97	1,611.49
9.39	538.85	0.00	0.00	0.00	39.45	11.17	193.51	97.94	782.98	399.14	0.00	131.72	1,313.83	2,054.61
12.52	574.59	0.00	0.00	0.00	42.09	11.91	205.95	104.64	834.54	437.24	0.00	144.29	1,416.07	2,217.82
15.65	538.47	0.00	0.00	0.00	39.38	11.15	191.96	98.16	780.95	429.77	0.00	141.82	1,352.55	2,123.72
18.78	430.96	0.00	0.00	0.00	31.21	8.83	150.93	78.17	621.93	376.61	0.00	124.28	1,122.82	1,771.23
21.91	252.06	0.00	0.00	0.00	17.73	5.02	83.65	45.08	358.45	278.56	0.00	91.92	728.93	1,164.02
25.04	-1.14	0.00	0.00	0.00	-1.11	-0.31	-10.09	-1.23	-12.65	142.11	0.00	46.89	176.36	313.10
28.17	-322.25	0.00	0.00	0.00	-25.14	-7.12	-129.56	-60.39	-484.06	66.10	0.00	21.81	-396.15	-541.81
31.30	-716.08	0.00	0.00	0.00	-54.34	-15.37	-274.53	-132.29	-1,060.31	72.52	0.00	23.93	-963.87	-1,355.03

CORTANTES

ABCISA (m)	V po.po (ton)	V diafrag. (ton)	V losa (ton)	V banq. (ton)	V guarn. (ton)	V ppto. (ton)	V relleno (ton)	V asfalto (ton)	V cm (ton)	V cv (ton)	V cv ban (ton)	V imp (ton)	V serv. (ton)	V ultimo (ton)
0.00	-98.21	0.00	0.00	0.00	-6.58	-1.86	-31.75	-16.50	-154.90	7.16	0.00	2.36	-145.39	-181.10
3.13	-67.20	0.00	0.00	0.00	-4.92	-1.39	-23.66	-12.37	-109.54	7.16	0.00	2.36	-100.02	-123.36
6.26	-45.29	0.00	0.00	0.00	-3.26	-0.92	-15.56	-8.24	-73.28	7.20	0.00	2.38	-63.69	-76.89
9.39	-23.38	0.00	0.00	0.00	-1.60	-0.45	-7.47	-4.11	-37.01	12.16	0.00	4.01	-20.84	-19.00
12.52	0.62	0.00	0.00	0.00	0.06	0.02	0.63	0.03	1.35	19.63	0.00	6.48	27.47	47.40
15.65	22.53	0.00	0.00	0.00	1.72	0.49	8.73	4.16	37.62	28.75	0.00	9.49	75.86	114.98
18.78	44.44	0.00	0.00	0.00	3.37	0.96	16.82	8.29	73.88	38.95	0.00	12.85	125.68	185.08
21.91	68.45	0.00	0.00	0.00	5.03	1.42	24.92	12.42	112.25	51.93	0.00	17.14	181.31	264.27
25.04	90.36	0.00	0.00	0.00	6.69	1.89	33.02	16.55	148.51	62.18	0.00	20.52	231.21	334.50
28.17	112.27	0.00	0.00	0.00	8.35	2.36	41.11	20.68	184.77	72.85	0.00	24.04	281.67	405.70
31.30	144.27	0.00	0.00	0.00	10.29	2.83	49.21	24.81	231.42	83.43	0.00	27.53	342.38	489.66



CABLE C-1

Sección	Abcisa mts	Ordenada (mts)	Δ σ total Instantáneas kg/cm ²	Δ σ total Diferidas kg/cm ²	σ o Esfzo. Inicial kg/cm ²	σ i Esfzo. Final kg/cm ²	Fo Fuerza inicial ton.	Fo Fuerza final ton.	Δ Fo instantáneas ton.	Δ Fo diferidas ton.
1	0.00	1.30	998.00	2,321.65	15,136.00	11,816.35	320.13	249.92	21.11	49.10
2	2.87	0.87	981.14	2,093.85	15,136.00	12,061.01	320.13	255.09	20.75	44.28
3	5.74	0.53	969.03	1,930.14	15,136.00	12,236.83	320.13	258.81	20.49	40.82
4	8.61	0.29	961.09	1,822.87	15,136.00	12,352.04	320.13	261.25	20.33	38.55
5	11.48	0.15	956.69	1,763.40	15,136.00	12,415.91	320.13	262.60	20.23	37.30
6	14.35	0.10	955.29	1,744.46	15,136.00	12,436.26	320.13	263.03	20.20	36.90
7	17.21	0.12	962.37	1,840.12	15,136.00	12,333.51	320.13	260.85	20.35	38.92
8	20.08	0.16	979.30	2,068.88	15,136.00	12,087.83	320.13	255.66	20.71	43.76
9	22.95	0.24	1,002.90	2,387.90	15,136.00	11,745.20	320.13	248.41	21.21	50.50
10	25.82	0.36	1,028.05	2,727.80	15,136.00	11,380.15	320.13	240.69	21.74	57.69
11	28.69	0.50	623.65	3,080.15	15,136.00	11,432.20	320.13	241.79	13.19	65.15

CABLE C-2

Sección	Abcisa mts	Ordenada (mts)	Δ σ total Instantáneas kg/cm ²	Δ σ total Diferidas kg/cm ²	σ o Esfzo. Inicial kg/cm ²	σ i Esfzo. Final kg/cm ²	Fo Fuerza inicial ton.	Fo Fuerza final ton.	Δ Fo instantáneas ton.	Δ Fo diferidas ton.
1	0.00	0.90	1,314.65	2,167.48	15,136.00	11,653.86	320.13	246.48	27.80	45.84
2	2.87	0.61	1,312.12	2,133.33	15,136.00	11,690.54	320.13	247.26	27.75	45.12
3	5.74	0.39	1,300.94	1,982.15	15,136.00	11,852.90	320.13	250.69	27.51	41.92
4	8.61	0.23	1,288.32	1,811.52	15,136.00	12,036.15	320.13	254.56	27.25	38.31
5	11.48	0.13	1,279.18	1,687.93	15,136.00	12,168.89	320.13	257.37	27.05	35.70
6	14.35	0.10	1,276.28	1,648.63	15,136.00	12,211.09	320.13	258.26	26.99	34.87
7	17.21	0.13	1,281.90	1,724.62	15,136.00	12,129.49	320.13	256.54	27.11	36.48
8	20.08	0.23	683.53	2,005.36	15,136.00	12,447.11	320.13	263.26	14.46	42.41
9	22.95	0.39	786.85	2,141.59	15,136.00	12,207.56	320.13	258.19	16.64	45.29
10	25.82	0.61	888.68	2,258.02	15,136.00	11,989.30	320.13	253.57	18.80	47.76
11	28.69	0.90	982.17	2,261.80	15,136.00	11,892.03	320.13	251.52	20.77	47.84

CABLE C-3

Sección	Abcisa mts	Ordenada (mts)	Δ σ total Instantáneas kg/cm ²	Δ σ total Diferidas kg/cm ²	σ o Esfzo. Inicial kg/cm ²	σ i Esfzo. Final kg/cm ²	Fo Fuerza inicial ton.	Fo Fuerza final ton.	Δ Fo instantáneas ton.	Δ Fo diferidas ton.
1	0.00	0.50	1,613.58	2,749.99	15,136.00	10,772.43	320.13	227.84	34.13	58.16
2	2.87	0.36	1,593.46	2,477.83	15,136.00	11,064.71	320.13	234.02	33.70	52.41
3	5.74	0.24	1,568.73	2,143.20	15,136.00	11,424.07	320.13	241.62	33.18	45.33
4	8.61	0.16	1,546.51	1,842.65	15,136.00	11,746.85	320.13	248.45	32.71	38.97
5	11.48	0.12	1,531.78	1,643.45	15,136.00	11,960.77	320.13	252.97	32.40	34.76
6	14.35	0.10	1,527.41	1,584.36	15,136.00	12,024.23	320.13	254.31	32.30	33.51
7	17.21	0.15	821.64	1,780.47	15,136.00	12,533.89	320.13	265.09	17.38	37.66
8	20.08	0.29	957.62	1,800.01	15,136.00	12,378.37	320.13	261.80	20.25	38.07
9	22.95	0.53	1,097.82	1,876.94	15,136.00	12,161.24	320.13	257.21	23.22	39.70
10	25.82	0.87	1,242.56	2,015.68	15,136.00	11,877.77	320.13	251.21	26.28	42.63
11	28.69	1.30	1,391.27	2,208.71	15,136.00	11,536.02	320.13	243.99	29.43	46.71

CABLE C-4

Sección	Abcisa mts	Ordenada (mts)	Δ σ total Instantáneas kg/cm ²	Δ σ total Diferidas kg/cm ²	σ o Esfzo. Inicial kg/cm ²	σ i Esfzo. Final kg/cm ²	Fo Fuerza inicial ton.	Fo Fuerza final ton.	Δ Fo instantáneas ton.	Δ Fo diferidas ton.
1	0.00	1.30	891.07	2,265.18	15,136.00	11,979.75	320.13	253.37	18.85	47.91
2	2.87	0.90	880.94	2,128.31	15,136.00	12,126.75	320.13	256.48	18.63	45.01
3	5.74	0.60	870.81	1,991.47	15,136.00	12,273.71	320.13	259.59	18.42	42.12
4	8.61	0.38	862.46	1,878.54	15,136.00	12,395.00	320.13	262.15	18.24	39.73
5	11.48	0.24	856.99	1,804.62	15,136.00	12,474.39	320.13	263.83	18.13	38.17
6	14.35	0.20	854.98	1,777.56	15,136.00	12,503.45	320.13	264.45	18.08	37.60
7	17.21	0.21	862.44	1,878.35	15,136.00	12,395.21	320.13	262.16	18.24	39.73
8	20.08	0.25	881.03	2,129.45	15,136.00	12,125.52	320.13	256.45	18.63	45.04
9	22.95	0.31	908.07	2,494.85	15,136.00	11,733.08	320.13	248.15	19.21	52.77
10	25.82	0.39	939.22	2,915.80	15,136.00	11,280.98	320.13	238.59	19.86	61.67
11	28.69	0.50	968.70	3,314.21	15,136.00	10,853.09	320.13	229.54	20.49	70.10



CABLE C-5

Sección	Abcisa mts	Ordenada (mts)	Δ σ total Instantáneas kg/cm ²	Δ σ total Diferidas kg/cm ²	σ o Esfzo. Inicial kg/cm ²	σ i Esfzo. Final kg/cm ²	Fo Fuerza inicial ton.	Fo Fuerza final ton.	Δ Fo instantáneas ton.	Δ Fo diferidas ton.
1	0.00	0.90	1,250.27	2,286.03	15,136.00	11,599.70	320.13	245.33	26.44	48.35
2	2.87	0.65	1,246.43	2,234.13	15,136.00	11,655.44	320.13	246.51	26.36	47.25
3	5.74	0.45	1,233.33	2,057.02	15,136.00	11,845.65	320.13	250.54	26.08	43.51
4	8.61	0.31	1,218.77	1,860.18	15,136.00	12,057.05	320.13	255.01	25.78	39.34
5	11.48	0.23	1,208.16	1,716.72	15,136.00	12,211.12	320.13	258.27	25.55	36.31
6	14.35	0.20	1,204.61	1,668.69	15,136.00	12,262.70	320.13	259.36	25.48	35.29
7	17.21	0.23	1,210.58	1,749.50	15,136.00	12,175.91	320.13	257.52	25.60	37.00
8	20.08	0.31	1,223.03	1,917.73	15,136.00	11,995.24	320.13	253.70	25.87	40.56
9	22.95	0.45	709.75	2,226.56	15,136.00	12,199.70	320.13	258.02	15.01	47.09
10	25.82	0.65	803.22	2,370.53	15,136.00	11,962.26	320.13	253.00	16.99	50.14
11	28.69	0.90	887.61	2,392.17	15,136.00	11,856.22	320.13	250.76	18.77	50.59

CABLE C-6

Sección	Abcisa mts	Ordenada (mts)	Δ σ total Instantáneas kg/cm ²	Δ σ total Diferidas kg/cm ²	σ o Esfzo. Inicial kg/cm ²	σ i Esfzo. Final kg/cm ²	Fo Fuerza inicial ton.	Fo Fuerza final ton.	Δ Fo instantáneas ton.	Δ Fo diferidas ton.
1	0.00	0.50	1,575.89	3,044.26	15,136.00	10,515.85	320.13	222.41	33.33	64.39
2	2.87	0.39	1,546.61	2,648.16	15,136.00	10,941.24	320.13	231.41	32.71	56.01
3	5.74	0.31	1,516.18	2,236.51	15,136.00	11,383.32	320.13	240.76	32.07	47.30
4	8.61	0.25	1,490.59	1,890.37	15,136.00	11,755.04	320.13	248.62	31.53	39.98
5	11.48	0.21	1,474.04	1,666.66	15,136.00	11,995.30	320.13	253.70	31.18	35.25
6	14.35	0.20	1,469.00	1,598.47	15,136.00	12,068.53	320.13	255.25	31.07	33.81
7	17.21	0.24	762.37	1,812.87	15,136.00	12,560.77	320.13	265.66	16.12	38.34
8	20.08	0.38	889.27	1,848.36	15,136.00	12,398.37	320.13	262.23	18.81	39.09
9	22.95	0.60	1,019.70	1,932.04	15,136.00	12,184.25	320.13	257.70	21.57	40.86
10	25.82	0.90	1,152.34	2,045.84	15,136.00	11,937.82	320.13	252.48	24.37	43.27
11	28.69	1.30	1,284.51	2,153.67	15,136.00	11,697.82	320.13	247.41	27.17	45.55

CABLE C-7

Sección	Abcisa mts	Ordenada (mts)	Δ σ total Instantáneas kg/cm ²	Δ σ total Diferidas kg/cm ²	σ o Esfzo. Inicial kg/cm ²	σ i Esfzo. Final kg/cm ²	Fo Fuerza inicial ton.	Fo Fuerza final ton.	Δ Fo instantáneas ton.	Δ Fo diferidas ton.
1	0.00	0.00	0.00	0.00	0.00	0.00	0.00	0.00	0.00	0.00
2	0.00	0.00	0.00	0.00	0.00	0.00	0.00	0.00	0.00	0.00
3	0.00	0.00	0.00	0.00	0.00	0.00	0.00	0.00	0.00	0.00
4	0.00	0.00	0.00	0.00	0.00	0.00	0.00	0.00	0.00	0.00
5	0.00	0.00	0.00	0.00	0.00	0.00	0.00	0.00	0.00	0.00
6	0.00	0.00	0.00	0.00	0.00	0.00	0.00	0.00	0.00	0.00
7	0.00	0.00	0.00	0.00	0.00	0.00	0.00	0.00	0.00	0.00
8	0.00	0.00	0.00	0.00	0.00	0.00	0.00	0.00	0.00	0.00
9	0.00	0.00	0.00	0.00	0.00	0.00	0.00	0.00	0.00	0.00
10	0.00	0.00	0.00	0.00	0.00	0.00	0.00	0.00	0.00	0.00
11	0.00	0.00	0.00	0.00	0.00	0.00	0.00	0.00	0.00	0.00



RESUMEN DE PRESFUERZO Y ETAPAS DE TENSADO				
Cable	Tipo	frg Esfzo. Ruptura kg/mm ²	fre Esfzo. Fluencia kg/mm ²	Etapa de tensado
1	15T15	189.20	160.2	1
2	15T15	189.20	160.2	1
3	15T15	189.20	160.2	1
4	15T15	189.20	160.2	1
5	15T15	189.20	160.2	1
6	15T15	189.20	160.2	1
7				

Nota.

Colocar (1) si el cable es de 1a. Etapa

Colocar (2) si el cable es de 2a. Etapa

CABLES DE 1a. ETAPA		
Sección	ΔF_o instantaneas ton.	ΔF_o diferidas ton.
1	161.66	313.75
2	159.91	290.08
3	157.76	261.00
4	155.83	234.89
5	154.54	217.48
6	154.13	211.97
7	124.81	228.12
8	118.73	248.93
9	116.86	276.22
10	128.04	303.16
11	129.82	325.94

CABLES DE 2a. ETAPA		
Sección	ΔF_o instantaneas ton.	ΔF_o diferidas ton.
1	0.00	0.00
2	0.00	0.00
3	0.00	0.00
4	0.00	0.00
5	0.00	0.00
6	0.00	0.00
7	0.00	0.00
8	0.00	0.00
9	0.00	0.00
10	0.00	0.00
11	0.00	0.00

CABLES DE 1a.y 2a. ETAPA		
Sección	ΔF_o instantaneas ton.	ΔF_o diferidas ton.
1	161.66	313.75
2	159.91	290.08
3	157.76	261.00
4	155.83	234.89
5	154.54	217.48
6	154.13	211.97
7	124.81	228.12
8	118.73	248.93
9	116.86	276.22
10	128.04	303.16
11	129.82	325.94



Facultad de
Ingeniería

ANEXO. MEMORIA DE CÁLCULO

PUE

Programa Único de
Especializaciones
de Ingeniería

DATOS DE ANALISIS	DATOS DEL PROYECTISTA	DATOS DE LA TRABE	ETAPAS DE TENSADO	1
SECCION : APOYO 1 COMBINACION : CMT + CV + IMPACTO CARGA VIVA OLF RIGF : CAMIÓN TISSP24	PROYECTO : ING. EDUARDO VÁZQUEZ GARCÉS	SECCIÓN CAJÓN (POSTENSADA)	UNA ETAPA (1) DOS ETAPAS (2)	Tensado en sección simple Tensado en sección simple y sección combiestra

ESFUERZO PERMISIBLE	PROPIEDADES DE LOS MATERIALES	MOMENTO	2	DATOS DEL PRESFUERZO	1a. ETAPA
		Anotar(1) si(-)		$f_{rg} = 189.20$ Kg/mm ²	Esfuerzo de ruptura
f'_c tens.(kg/cm ²) = 450.00	Esfzo. Al tensado	Anotar(2) si(+)		$f_{ro} = 160.20$ Kg/mm ²	Esfuerzo de fluencia
f'_c (kg/cm ²) = 450.00	Esfzo. Compresión		(%) Tensado = 0.80	f_{rg} (%) de esfuerzo de tensado	Peso propio Presto. (1a. etapa) Perdidas Instantaneas (1a. Etapa)
% de Esfzos. Permisibles = 100	f_{rg} (kg/cm ²) = 18,920.00	Esfzo. Ruptura	(f _o) = 151.36	Esfuerzo de tensado	Losa + diafragmas
			$E_p = 20,400.00$	Kg/mm ²	Modulo de elasticidad

CARACTERISTICAS GEOMETRICAS DE LA TRABE			REVISION A LA RUPTURA		No. Torones	ϕ (mm)	At (mm ²)	Y _p (cm)	2a. ETAPA
Sección simple		Sección compuesta	$A_{ps}(\text{total}) = 126.90 \text{ cm}^2$ $d_p = 80.00 \text{ cm}$ $f_{pu} = 189.20 \text{ kg/mm}^2$ $b_1 = 0.90 \text{ cm}$ $k = 0.39$ $c (\text{Sec. Tee}) = 37.99 \text{ cm}$ $f_{ps} = 15.447.39 \text{ kg / cm}^2$	15	15	141	130.00	PRESFUERZO 1a. ETAPA Presfzo (2a. etapa) Perdidas instantaneas(2a.Etapa) Perdidas diferidas totales Banqueta+Guarnición Parapeto+Relleno Carpeta asfaltica Carva Viva	
H (m) =	1.43	Altura de trabe		15	15	141	90.00		
I _x (m ⁴) =	0.501347	Inercia de trabe		15	15	141	50.00		
A (m ²) =	1.419300	Area de trabe		15	15	141	50.00		
Y _i (m) =	0.966000	Eje neutro		15	15	141	90.00		
Y _s (m) =	0.467300	dist. Superior		15	15	141	130.00		
S (m ³) =	0.518993	Mod. Secc. Inf.		0	15	141	0.00		
S _s (m ³) =	1.072859	Mod. Secc. Sup.		$\sum At = 12,690.00 \text{ mm}^2$ Eje de presfuerzo = 90.00 cm Presfuerzo(1a.etapa) = 1,920.76 ton					
				Acero en tensión A _s = 0.00 cm ² f _y = 4,200.00 kg/cm ² E _s = 2,039,000.00 kg/cm ² r' (cm)= 5.00 d' s(cm) = 21.67 Brazo d e(cm) = 80.00 Brazo a (cm)= 34.19 Bloque de esfzos.		Acero en compresión A's(cm ²) = 0.00 Acero de refuerzo f' y (kg/cm ²)= 4,200.00 Límite elástico r (cm)= 5.00 Recubrimiento d s(cm) = 165.00 cm d e(cm) = 80.00 cm a (cm)= 28.923 cm		PRESFUERZO 2a. ETAPA No. Torones ϕ (mm) At (mm ²) Y _p (cm)	
Pérdidas de presfuerzo				0 15 141 50.00 0 15 141 90.00 0 15 141 130.00 0 15 141 50.00 0 15 141 90.00					
Centroide(1a.etapa), cm =	90.00								
Centroide(2a.etapa), cm =	0.00								
1a. Etapa; ΔS inst.(ton) =	129.82								
1a. Etapa; ΔS dif. (ton) =	325.94								
Presfuerzo(1a.etapa), ton =	1,920.76								
Presfuerzo(2a.etapa), ton =	0.00								
2a. Etapa; ΔS inst.(ton) =	0.00								
2a. Etapa; ΔS dif. (ton) =	0.00								
Geometria de la trabe			Viga TEE		Rige Secc.Tee		$\Sigma At = 0 \text{ mm}^2$ Eje de presfuerzo = 0.00 cm Presfuerzo(2a.etapa) = 0.00 ton		

REVISIÓN POR ESFUERZOS PERMISIBLES														
SOLICITACIONES				ESFUERZOS EN TRABE (kg/cm²)				ESFUERZOS EN LOSA (kg/cm²)				ESFUERZOS PERMISIBLES POR ASASO		
Etapas de trabajo	P (ton)	e (m)	M (ton-m)	Inferior	Inf. acum.	Superior	Sup. acum.	Inferior	Inf. acum.	Superior	Sup. acum.	Modulo de ruptura		
Peso propio	0.00	0.00	0.00	0.00	0.00	0.00	0.00	0.00	0.00	0.00	0.00	AASHTO Capítulo 9.15.2.3	Lbf/in²	kg/cm²
Presfzo. (1a. etapa)	1,920.76	0.07	0.00	159.76	159.76	123.52	123.52	0.00	0.00	0.00	0.00	Para Concreto Peso Normal	7.5 √ f'c	42.19
Perdidas Instantáneas (1a. Etapa)	129.82	0.07	0.00	-10.80	148.96	-8.35	115.17	0.00	0.00	0.00	0.00	Para Concreto Peso Ligero	6.3 √ f'c	35.44
Losa + diáfragmas	0.00	0.00	0.00	0.00	148.96	0.00	115.17	0.00	0.00	0.00	0.00	Para cualquier tipo de Concreto	5.5 √ f'c	30.94
Presfzo (2a. etapa)	0.00	0.97	0.00	0.00	148.96	0.00	115.17	0.00	0.00	0.00	0.00	Esfuerzos permisibles al tensado (antes de perdidas)		
Perdidas instantáneas(2a.Etapa)	0.00	0.97	0.00	0.00	148.96	0.00	115.17	0.00	0.00	0.00	0.00	AASHTO Capítulo 9.15.2.1	Lbf/in²	kg/cm²
Perdidas diferidas totales	325.94	0.97	0.00	-83.63	65.33	6.38	121.55	6.38	6.38	-23.13	-23.13	Compresión:Pretenados	0.6f'c	270
Banqueta+Guarnición	0.00	0.00	0.00	0.00	65.33	0.00	121.55	0.00	6.38	0.00	-23.13	Compresión: Postensados	0.55f'c	247.5
Parapeto+Relleno	0.00	0.00	0.00	0.00	65.33	0.00	121.55	0.00	6.38	0.00	-23.13	AASHTO Capítulo 9.15.2.2	Lbf/in²	kg/cm²
Carpetas asfálticas	0.00	0.00	0.00	0.00	65.33	0.00	121.55	0.00	6.38	0.00	-23.13	Tensión: Sin refuerzo	3 √ f'c	16.87
Carva Viva	0.00	0.00	0.00	0.00	65.33	0.00	121.55	0.00	6.38	0.00	-23.13	Tensión: Con refuerzo	7.5 √ f'c	42.19
ESTADO FINAL DE ESFUERZO (kg / cm²)				Inf. Acum =	65.33	Sup. Acum =	121.55	Inf. Acum =	6.38	Sup. Acum =	-23.13	Esfuerzos permisibles al tensado (después de perdidas)		
Esfuerzos permisibles		Al tensado		En servicio		Comentarios finales						Compresión:Pretenados	0.4f'c	180
		Con refuerzo	Sin refuerzo		Al tensado	Bien		Bien		Bien		Compresión: Postensados	0.4f'c	180
Compresión		247.50	180.00	Compresión Serv.		Bien		Bien		Bien		AASHTO Capítulo 9.15.2.2	Lbf/in²	kg/cm²
Tensión		-42.19	-16.87	Tensión Serv.		Bien		Bien		Bien		Tensión: Sin refuerzo	6 √ f'c	33.75
Modulo de ruptura		-30.94										Tensión: Con refuerzo	7.5 √ f'c	42.19

REVISIÓN POR RESISTENCIA ULTIMA						
Nota Importante.	Memento Último (M u)	Momento resistente (MR)	1	Momento resistente (MR)	2	Capacidad
		Como Seccipon TEE	$f ps = 16,275.832$	Como Seccipon Rectangular	$a = 26.031$	$1,383.50$ ton-m
1- Las normas AASHTO si permiten tensiones	Actuante	$1,233.14$ ton-m				No Requiere refuerzo por tensión
2- Las normas SCT no permiten tensiones		54.02 ton-m				Adecuado
		0.00 ton-m	1,287.16 ton-m	Pasa por Mu	Pasa por Mu	1,383.50 ton-m

DATOS DE ANALISIS				DATOS DEL CLIENTE				DATOS DE LA TRABE				ETAPAS DE TENSADO		1				
SECCION : 0.1L COMBINACION : CMT + CV + IMPACTO CARGA VIVA QUE RIGE : CAMIÓN T3S2R4				PROYECTO : ING. EDUARDO VÁZQUEZ GARCÉS				SECCIÓN CAJÓN (POSTENSADA)				UNA ETAPA (1)	DOS ETAPAS (2)	Tensado en sección simple Tensado en sección simple y sección compuesta				
ESFUERZO PERMISIBLE				PROPIEDADES DE LOS MATERIALES				MOMENTO				DATOS DEL PRESFURZO		1a. ETAPA				
% de Esfzos. Permisibles = 100				f_c tens.(kg/cm ²) = 450.00 Esfzo. Al tensado f_c (kg/cm ²) = 450.00 Esfzo. Compresión frg (kg/cm ²) = 18,920.00 Esfzo. Ruptura				Anotar(1) si(-) Anotar(2) si(+)				f_{rg} = 189.20 Kg/mm ² f_{re} = 160.20 Kg/mm ² (%) Tensado = 0.80 frg (f_o) = 151.36 Kg/mm ² E_p = 20,400.00 Kg/mm ²	Esfuerzo de ruptura Esfuerzo de fluencia (%) de esfuerzo de tensado Esfuerzo de tensado Modulo de elasticidad	Peso propio Presfzo. (1a. etapa) Perdidas Instantáneas (1a. Etapa) Losa + diafragmas				
CARACTERISTICAS GEOMETRICAS DE LA TRABE				REVISION A LA RUPTURA				No. Torones				♦ (mm)	At (mm ²)	Y _p (cm)	2a. ETAPA			
Sección simple H (m) = 1.43 Altura de trabe I _x (m ⁴) = 0.501347 Inercia de trabe A (m ²) = 1.419300 Área de trabe Y _i (m) = 0.966000 Eje neutro Y _s (m) = 0.467300 dist. Superior S _i (m ³) = 0.518993 Mod. Secc. Inf. S _s (m ³) = 1.072859 Mod. Secc. Sup.				Sección compuesta H (m) = 1.70 Altura total I _x (m ⁴) = 0.501347 Inercia A (m ²) = 1.419300 Área Y _i (m) = 0.966000 Eje neutro Y _s (m) = 0.734000 dist. Superior S _i viga (m ³) = 0.518993 Mod. Secc. Inferior S _s viga (m ³) = 1.072859 Mod. Secc. Superior S _s losa (m ³) = 0.683034 Mod. Secc. Losa Y _s viga (m) = 0.467300 Eje neutro				Aps(total) = 126.90 cm ² d p = 91.87 cm f_{pu} = 189.20 kg/mm ² b 1 = 0.90 cm k = 0.39 c (Sec. Tee)= 40.37 cm f_{ps} = 15,706.13 kg / cm ²				15 15 15 15 15 0	15 15 15 15 15 15	141 141 141 141 141 141	86.80 61.20 35.60 90.40 130.00 0.00	PRESFURZO (1a. ETAPA) Presfzo (2a. etapa) Perdidas instantáneas(2a.Etapa) Perdidas diferidas totales Banqueta+Guarnición Parapeto+Relleno	Presfzo (2a. etapa) Perdidas instantáneas(2a.Etapa) Perdidas diferidas totales Banqueta+Guarnición Parapeto+Relleno	
Pérdidas de presfuzro Centroide(1a.etapa), cm = 78.13 Centroide(2a.etapa), cm = 0.00 1a. Etapa ; Δ S inst.(ton) = 159.91 1a. Etapa ; Δ S dif. (ton) = 290.08 Presfuzro(1a.etapa), ton = 1,920.76 Presfuzro(2a.etapa), ton = 0.00 2a. Etapa ; Δ S inst.(ton) = 0.00 2a. Etapa ; Δ S dif. (ton) = 0.00				Geometria de la trabe φ = 0.90 b w = 40.00 b e = 196.54 h f = 26.67				Acero en tensión A _s = 0.00 cm ² f_y = 4,200.00 kg/cm ² Es = 2,039,000.00 kg/cm ² r = 5.00 cm d_s = 165.00 cm C = 29.414 cm				0.00 4,200.00 2,039,000.00 5.00 165.00 29.414	0.00 4,200.00 5.00 21.67 91.87 36.33	Acero de refuerzo Límite elástico Recubrimiento Brazo Bloque de esfzos. Viga TEE	12,690.00 mm ² 78.13 cm 1,920.76 ton		PRESFURZO 2a. ETAPA Presfuzro(1a.etapa) Presfuzro(2a. etapa)	
SOLICITACIONES Etapas de trabajo Peso propio Presfzo. (1a. etapa) Perdidas Instantáneas (1a. Etapa) Losa + diafragmas Presfzo. (2a. etapa) Perdida instantánea(2a.Etapa) Perdidas diferidas totales Banqueta+Guarnición Parapeto+Relleno Carpeta asfáltica Carva Viva				ESFUERZOS EN TRABE (kg/cm²) Inferior Inf. acum. Superior Sup. acum.				ESFUERZOS EN LOSA (kg/cm²) Inferior Inf. acum. Superior Sup. acum.				ESFUERZOS PERMISIBLES POR AASHTO Modulo de ruptura						
P (ton) e (m) M (ton-m)				-47.72 -47.72 23.08 23.08				0.00 0.00 0.00 0.00				AASHTO Capítulo 9.15.2.3 Lb/in ² kg/cm ² Para Concreto Peso Normal 7.5 √ f'c 42.19 Para Concreto Peso Ligero 6.3 √ f'c 35.44 Para cualquier tipo de Concreto 5.5 √ f'c 30.94						
Inf. Acum - -12.10 Sup. Acum - 159.61				Inf. Acum - 42.77 Sup. Acum - 37.67				ESFUERZOS PERMISIBLES AL TENSADO (antes de perdidas) Compresión :Pretenados 0.4f'c 180 Compresión: Postensados 0.4f'c 180				Esfuerzos permisibles al tensado (después de perdidas) AASHTO Capítulo 9.15.2.1 Lb/in ² kg/cm ² Compresión :Pretenados 0.6f'c 270 Compresión: Postensados 0.55f'c 247.5						
Esfuerzos permisibles Al tensado En servicio				Comentarios finales				Esfuerzos permisibles al tensado (después de perdidas) Compresión :Pretenados 0.4f'c 180 Compresión: Postensados 0.4f'c 180				AASHTO Capítulo 9.15.2.2 Lb/in ² kg/cm ² Tensión: Sin refuerzo 3 √ f'c 16.87 Tensión: Con refuerzo 7.5 √ f'c 42.19						
ESTADO FINAL DE ESFUERZO (kg / cm²) Esfuerzos permisibles Compresión Tensión Modulo de ruptura				Con refuerzo Sin refuerzo				Al tensado Bien Bien Bien Bien				Compresión :Pretenados 0.4f'c 180 Compresión: Postensados 0.4f'c 180						
Inf. Acum - -42.19 Sup. Acum - -16.87				Tensión Serv. Bien Bien Bien Bien				AASHTO Capítulo 9.15.2.2 Lb/in ² kg/cm ² Tensión: Sin refuerzo 6 √ f'c 33.75 Tensión: Con refuerzo 7.5 √ f'c 42.19				Compresión :Pretenados 0.4f'c 180 Compresión: Postensados 0.4f'c 180						
REVISIÓN POR RESISTENCIA ULTIMA																		
Nota Importante. 1- Las normas AASHTO si permiten tensiones 2- Las normas SCT no permiten tensiones		Momento último (M u) Actuante		Momento resistente (MR) Como Sección TEE 1,468.93 ton-m 69.44 ton-m		1 f ps = 16,578.301 a = 26.473		Momento resistente (MR) Como Sección Rectangular 1,654.21 ton-m		2 1 1,538.36		Capacidad Momento resistente 1		Verificación del refuerzo por tensión Requiere refuerzo por tensión (ton) 45.14				
938.79 ton-m		1,538.36 ton-m		Pasa por Mu		Pasa por Mu		1,654.21 ton-m										

DATOS DE ANÁLISIS				DATOS DEL CLIENTE				DATOS DE LA TRABE				ETAPAS DE TENSADO		1							
SECCION : 0.2L COMBINACION : CMT + CV + IMPACTO CARGA VIVA QUE RIGE : CAMIÓN T3S2R4				PROYECTO : ING. EDUARDO VÁZQUEZ GARCÉS				SECCIÓN CAJÓN (POSTENSADA)				UNA ETAPA (1)	Tensado en sección simple								
								DOS ETAPAS (2)				DOS ETAPAS (2)	Tensado en sección simple y sección compuesta								
ESFUERZO PERMISIBLE				PROPIEDADES DE LOS MATERIALES				DATOS DEL PRESFURZO				1a. ETAPA									
% de Esfzos. Permisibles = 100				f_c tens.(kg/cm ²) = 450.00 Esfzo. Al tensado f_c (kg/cm ²) = 450.00 Esfzo. Compresión frg (kg/cm ²) = 18,920.00 Esfzo. Ruptura				Anotar(1) si(-) Anotar(2) si(+)				f_{rg} = 189.20 Kg/mm ² Esfuerzo de ruptura f_{re} = 160.20 Kg/mm ² Esfuerzo de fluencia (%) Tensado = 0.80 frg (f _o) = 151.36 Kg/mm ² Esfuerzo de tensado E_p = 20,400.00 Kg/mm ² Modulo de elasticidad	Peso propio Presfzo. (1a. etapa) Perdidas Instantáneas (1a. Etapa) Losa + diafragmas								
CARACTERÍSTICAS GEOMÉTRICAS DE LA TRABE				REVISIÓN A LA RUPTURA				No. Torones				♦ (mm)	At (mm ²)	Y _p (cm)	2a. ETAPA						
Sección simple <i>H (m) = 1.43 Altura de trabe</i> <i>I_x (m⁴) = 0.501347 Inercia de trabe</i> <i>A (m²) = 1.419300 Área de trabe</i> <i>Y_i (m) = 0.966000 Eje neutro</i> <i>Y_s (m) = 0.467300 dist. Superior</i> <i>S_i (m³) = 0.518993 Mod. Secc. Inf.</i> <i>S_s (m³) = 1.072859 Mod. Secc. Sup.</i>				Sección compuesta <i>H (m) = 1.70 Altura total</i> <i>I_x (m⁴) = 0.501347 Inercia</i> <i>A (m²) = 1.419300 Área</i> <i>Y_i (m) = 0.966000 Eje neutro</i> <i>Y_s (m) = 0.734000 dist. Superior</i> <i>S_i viga (m³) = 0.518993 Mod. Secc. Inferior</i> <i>S_s viga (m³) = 1.072859 Mod. Secc. Superior</i> <i>S_s losa (m³) = 0.683034 Mod. Secc. Losa</i> <i>Y_s viga (m) = 0.467300 Eje neutro</i>				Aps(total) = 126.90 cm² d_p = 111.47 cm f_{pu} = 189.20 kg/mm² b₁ = 0.90 cm k = 0.39 c (Sec. Tee)= 43.62 cm f_{ps} = 16,058.30 kg / cm²				15	15	141	53.20	PRESFURZO (1a. ETAPA)	Presfzo (2a. etapa) Perdidas instantáneas(2a.Etapa) Perdidas diferidas totales Banqueta+Guarnición Parapeto+Relleno				
Pérdidas de presfuzro <i>Centroide(1a.etapa), cm = 58.53</i> <i>Centroide(2a.etapa), cm = 0.00</i> <i>1a. Etapa ; Δ S inst.(ton) = 157.76</i> <i>1a. Etapa ; Δ S dif. (ton) = 261.00</i> <i>Presfuzro(1a.etapa), ton = 1,920.76</i> <i>Presfuzro(2a.etapa), ton = 0.00</i> <i>2a. Etapa ; Δ S inst.(ton) = 0.00</i> <i>2a. Etapa ; Δ S dif. (ton) = 0.00</i>				Geometría de la trabe <i>ϕ = 0.90</i> <i>b w = 40.00</i> <i>b e = 196.54</i> <i>h f = 26.67</i>				Σ At = 12,690.00 mm² Eje de presfuzro = 58.53 cm Presfuzro(1a.etapa) = 1,920.76 ton				15	15	141	0.00		Carpeta asfáltica Carva Viva				
REVISIÓN POR ESFUERZOS PERMISIBLES				SOLICITACIONES				ESFUERZOS EN TRABE (kg/cm ²)				ESFUERZOS EN LOSA (kg/cm ²)				ESFUERZOS PERMISIBLES POR AASHTO					
Etapas de trabajo		P (ton)	e (m)	M (ton-m)	Inferior	Inf. acum.	Superior	Sup. acum.	Inferior	Inf. acum.	Superior	Sup. acum.	Inferior	Inf. acum.	Superior	Sup. acum.	Modulo de ruptura				
Peso propio		0.00	0.00	427.89	-82.45	-82.45	39.88	39.88	0.00	0.00	0.00	0.00	AASHTO Capítulo 9.15.2.3	Lb/in ²	kg/cm ²						
Presfzo. (1a. etapa)		1,920.76	0.38	0.00	276.21	193.77	67.18	107.06	0.00	0.00	0.00	0.00	Para Concreto Peso Normal	7.5 √ f'c	42.19						
Perdidas Instantáneas (1a. Etapa)		157.76	0.38	0.00	-22.69	171.08	-5.52	101.55	0.00	0.00	0.00	0.00	Para Concreto Peso Ligero	6.3 √ f'c	35.44						
Losa + diafragmas		0.00	0.00	0.00	0.00	171.08	0.00	101.55	0.00	0.00	0.00	0.00	Para cualquier tipo de Concreto	5.5 √ f'c	30.94						
Presfzo. (2a. etapa)		0.00	0.97	0.00	0.00	171.08	0.00	101.55	0.00	0.00	0.00	0.00	Esfuerzos permisibles al tensado (antes de perdidas)								
Perdida instantánea(2a.Etapa)		0.00	0.97	0.00	0.00	171.08	0.00	101.55	0.00	0.00	0.00	0.00	AASHTO Capítulo 9.15.2.1	Lb/in ²	kg/cm ²						
Perdidas diferidas totales		261.00	0.97	0.00	-66.97	104.11	5.11	106.66	5.11	5.11	-18.52	-18.52	Compresión :Pretenados	0.6f'c	270						
Banqueta+Guarnición		0.00	0.00	31.39	-6.05	98.06	2.93	109.58	2.93	8.04	4.60	-13.93	Compresión: Postensados	0.55f'c	247.5						
Parapeto+Relleno		0.00	0.00	163.15	-31.44	66.63	15.21	124.79	15.21	23.24	23.89	9.96	AASHTO Capítulo 9.15.2.2	Lb/in ²	kg/cm ²						
Carpeta asfáltica		0.00	0.00	77.84	-15.00	51.63	7.26	132.05	7.26	30.50	11.40	21.36	Tensión: Sin refuerzo	3 √ f'c	16.87						
Carva Viva		0.00	0.00	409.53	-78.91	-27.28	38.17	170.22	38.17	68.67	59.96	81.31	Tensión: Con refuerzo	7.5 √ f'c	42.19						
ESTADO FINAL DE ESFUERZO (kg / cm ²)				Inf. Acum = -27.28	Sup. Acum = 170.22	Inf. Acum = 68.67	Sup. Acum = 81.31	Esfuerzos permisibles al tensado (después de perdidas)				Esfuerzos permisibles al tensado									
Esfuerzos permisibles		Al tensado		En servicio		Comentarios finales				Comentarios finales				Modulo de ruptura							
		Con refuerzo		Sin refuerzo		Al tensado				Bien				Bien							
Compresión		247.50		180.00		Compresión Serv.				Bien				Bien							
Tensión		-42.19		-16.87		Tensión Serv.				Excede				Bien							
Modulo de ruptura		-30.94																			
REVISIÓN POR RESISTENCIA ULTIMA																Verificación del refuerzo por tensión					
Nota Importante.		Momento resistente (MR)		1		Momento resistente (MR)				2				Capacidad							
1- Las normas AASHTO si permiten tensiones		Actuante		Como Sección TEE		f ps = 16,946.267				Como Sección Rectangular				Requiere refuerzo por tensión (ton)							
2- Las normas SCT no permiten tensiones		Actuante		1,611.49 ton-m		a = 27.074				2,105.96 ton-m				94.36							
						Pasa por Mu				2,105.96 ton-m				1,961.94							

DATOS DE ANÁLISIS		DATOS DEL CLIENTE				DATOS DE LA TRABE		ETAPAS DE TENSADO		1
SECCION : 0.3L COMBINACION : CMT + CV + IMPACTO CARGA VIVA QUE RIGE : CAMIÓN T3S2R4		PROYECTO : ING. EDUARDO VÁZQUEZ GARCÉS				SECCIÓN CAJÓN (POSTENSADA)		UNA ETAPA (1) DOS ETAPAS (2)		Tensado en sección simple Tensado en sección simple y sección compuesta

ESFUERZO PERMISIBLE		PROPIEDADES DE LOS MATERIALES			MOMENTO		DATOS DEL PRESFURZO		1a. ETAPA	
% de Esfzos. Permisibles = 100		f_c tens.(kg/cm²) = 450.00 Esfzo. Al tensado f_c (kg/cm²) = 450.00 Esfzo. Compresión frg (kg/cm²) = 18,920.00 Esfzo. Ruptura			Anotar(1) si(-) Anotar(2) si(+)		f_{rg} = 189.20 Kg/mm² f_{re} = 160.20 Kg/mm² (%) Tensado = 0.80 frg (f_o) = 151.36 Kg/mm² E_p = 20,400.00 Kg/mm²		Esfuerzo de ruptura Esfuerzo de fluencia (%) de esfuerzo de tensado Esfuerzo de tensado Modulo de elasticidad	

CARACTERISTICAS GEOMETRICAS DE LA TRABE		REVISION A LA RUPTURA			No. Torones		ϕ (mm)	At (mm²)	Yp (cm)	2a. ETAPA	
Sección simple H (m) = 1.43 Altura de trabe I_x (m⁴) = 0.501347 Inercia de trabe A (m²) = 1.419300 Área de trabe Y_i (m) = 0.966000 Eje neutro Y_s (m) = 0.467300 dist. Superior S_i (m³) = 0.518993 Mod. Secc. Inf. S_s (m³) = 1.072859 Mod. Secc. Sup.		Sección compuesta H (m) = 1.70 Altura total I_x (m⁴) = 0.501347 Inercia A (m²) = 1.419300 Área Y_i (m) = 0.966000 Eje neutro Y_s (m) = 0.734000 dist. Superior S_i (m³) = 0.518993 Mod. Secc. Inferior S_s (m³) = 1.072859 Mod. Secc. Superior S_s losa (m³) = 0.683034 Mod. Secc. Losa Y_s viga (m) = 0.467300 Eje neutro			$A_{ps}(\text{total})$ = 126.90 cm² d_p = 125.47 cm f_{pu} = 189.20 kg/mm² b_1 = 0.90 cm k = 0.39 c (Sec. Tee) = 45.53 cm f_{ps} = 16,266.03 kg / cm²		15 15 15 15 15 0	15 15 15 15 15 15	141 141 141 141 141 141	29.20 22.80 16.40 37.60 130.00 0.00	PRESFURZO (1a. ETAPA) Presfzo. (2a. etapa) Perdidas instantáneas(2a.Etapa) Perdidas diferidas totales Banqueta+Guarnición Parapeto+Relleno
Pérdidas de presfuzro Centroide(1a.etapa), cm = 44.53 Centroide(2a.etapa), cm = 0.00 1a. Etapa ; ΔS inst.(ton) = 155.83 1a. Etapa ; ΔS dif. (ton) = 234.89 Presfuzro(1a.etapa), ton = 1,920.76 Presfuzro(2a.etapa), ton = 0.00 2a. Etapa ; ΔS inst.(ton) = 0.00 2a. Etapa ; ΔS dif. (ton) = 0.00		Geometría de la trabe ϕ = 0.90 b_w = 40.00 b_e = 196.54 h_f = 26.67			ΣAt = 12,690.00 mm² Eje de presfuzro = 44.53 cm Presfuzro(1a.etapa) = 1,920.76 ton		15 0 0	15 15 15	141 141 141	29.20 22.80 16.40	
					Acero en tensión A_s = 0.00 cm² f_y = 4,200.00 kg/cm² E_s = 2,039,000.00 kg/cm² r = 5.00 cm d_s = 165.00 cm		Acero en compresión $A's$ (cm²) = 0.00 Acero de refuerzo $f' y$ (kg/cm²)= 4,200.00 Límite elástico r (cm)= 5.00 Recubrimiento $d's$ (cm) = 21.67 Brazo d (cm) = 125.47 Brazo a (cm) = 40.98 Bloque de esfzos.		PRESFURZO 2a. ETAPA No. Torones ϕ (mm) At (mm²) Yp (cm)		PRESFURZO 2a. ETAPA No. Torones ϕ (mm) At (mm²) Yp (cm)
					C = 30.475 cm Viga TEE Rige Sec.Tee		ΣAt = 0 mm² Eje de presfuzro = 0.00 cm Presfuzro(2a.etapa) = 0.00 ton		0 15 141 29.20 0 15 141 22.80 0 15 141 16.40 0 15 141 37.60 0 15 141 31.20		

REVISIÓN POR ESFUERZOS PERMISIBLES											
SOLICITACIONES		ESFUERZOS EN TRABE (kg/cm²)		ESFUERZOS EN LOSA (kg/cm²)				ESFUERZOS PERMISIBLES POR AASHTO			
Etapas de trabajo		P (ton)	ϵ (m)	Inferior	Inf. acum.	Superior	Sup. acum.	Inferior	Inf. acum.	Superior	Sup. acum.
Peso propio		0.00	0.00	538.85	-103.83	-103.83	50.23	0.00	0.00	0.00	0.00
Presfzo. (1a. etapa)		1,920.76	0.52	0.00	328.03	224.20	42.12	92.34	0.00	0.00	0.00
Perdidas Instantáneas (1a. Etapa)		155.83	0.52	0.00	-26.61	197.59	-3.42	88.92	0.00	0.00	0.00
Losa + diafragmas		0.00	0.00	0.00	0.00	197.59	0.00	88.92	0.00	0.00	0.00
Presfzo. (2a. etapa)		0.00	0.97	0.00	0.00	197.59	0.00	88.92	0.00	0.00	0.00
Perdida instantánea(2a.Etapa)		0.00	0.97	0.00	0.00	197.59	0.00	88.92	0.00	0.00	0.00
Perdidas diferidas totales		234.89	0.97	0.00	-60.27	137.32	4.60	93.52	4.60	4.60	-16.67
Banqueta+Guarnición		0.00	0.00	39.45	-7.60	129.72	3.68	97.20	3.68	8.28	5.78
Parapeto+Relleno		0.00	0.00	204.68	-39.44	90.28	19.08	116.28	19.08	27.35	29.97
Carpeta asfáltica		0.00	0.00	97.94	-18.87	71.41	9.13	125.41	9.13	36.48	14.34
Carva Viva		0.00	0.00	530.85	-102.28	-30.88	49.48	174.89	49.48	85.96	77.72
ESTADO FINAL DE ESFUERZO (kg / cm²)				Inf. Acum = -30.88	Sup. Acum = 174.89	Inf. Acum = 85.96	Sup. Acum = 111.13	Esfuerzos permisibles al tensado (después de perdidas)			
Esfuerzos permisibles		Al tensado		En servicio		Comentarios finales					
		Con refuerzo	Sin refuerzo	Al tensado	Bien	Bien	Bien	Bien	Bien	Compresión :Pretensados	0.4f'c
Compresión		247.50	180.00	Compresión Serv.	Bien	Bien	Bien	Bien	Bien	Compresión :Pretensados	0.4f'c
Tensión		-42.19	-16.87	-16.87	Tensión Serv.	Excede	Bien	Bien	Bien	AASHTO Capítulo 9.15.2.1	Lb/in²
Modulo de ruptura		-30.94								Compresión :Pretensados	0.6f'c
										Compresión :Postensados	0.55f'c
										AASHTO Capítulo 9.15.2.2	Lb/in²
										Tensión: Sin refuerzo	3 √ f'c
										Tensión: Con refuerzo	7.5 √ f'c
											180
											180
											270
											247.5
											16.87
											16.87
											42.19

REVISIÓN POR RESISTENCIA ULTIMA										
Nota Importante.				Momento resistente (MR)				Capacidad		
1- Las normas AASHTO si permiten tensiones				Como Sección TEE				Momento resistente		
2- Las normas SCT no permiten tensiones				Como Sección Rectangular				Requiere refuerzo por tensión (ton)		
				$f_{ps} = 17,143.576$ $a = 27.427$				105.32		
				$2,166.92 \text{ ton-m}$ 102.81 ton-m				$2,431.21 \text{ ton-m}$ $2,269.73 \text{ ton-m}$		
				$Pasa por Mu$ $Pasa por Mu$				$2,431.21 \text{ ton-m}$ $2,269.73 \text{ ton-m}$		



DATOS DE ANALISIS		DATOS DEL CLIENTE				DATOS DE LA TRABE		ETAPAS DE TENSADO		1
SECCION : 0.4L COMBINACION : CMT + CV + IMPACTO CARGA VIVA QUE RIGE : CAMIÓN T3S2R4		PROYECTO : ING. EDUARDO VÁZQUEZ GARCÉS				SECCIÓN CAJÓN (POSTENSADA)		UNA ETAPA (1) DOS ETAPAS (2)		Tensado en sección simple Tensado en sección simple y sección compuesta

ESFUERZO PERMISIBLE		PROPIEDADES DE LOS MATERIALES		MOMENTO		DATOS DEL PRESFUEZO		1a. ETAPA		
% de Esfzos. Permisibles = 100		f_c tens.(kg/cm²) = 450.00 Esfzo. Al tensado f_c (kg/cm²) = 450.00 Esfzo. Compresión frg (kg/cm²) = 18,920.00 Esfzo. Ruptura		Anotar(1) si(-) Anotar(2) si(+)		f_{rg} = 189.20 Kg/mm² f_{re} = 160.20 Kg/mm² (%) Tensado = 0.80 frg (f_o) = 151.36 Kg/mm² E_p = 20,400.00 Kg/mm²		Esfuerzo de ruptura Esfuerzo de fluencia (%) de esfuerzo de tensado Esfuerzo de tensado Modulo de elasticidad		

CARACTERISTICAS GEOMETRICAS DE LA TRABE		REVISION A LA RUPTURA		No. Torones		PRESFUEZO (1a. ETAPA)		2a. ETAPA		
Sección simple		Sección compuesta		$Aps(total)$ = 126.90 cm²		15	15	141	14.80	Peso propio
H (m) = 1.43 Altura de trabe		H (m) = 1.70 Altura total		d_p = 133.87 cm		15	15	141	13.20	Presfzo. (1a. etapa)
I_x (m³) = 0.501347 Inercia de trabe		I_x (m³) = 0.501347 Inercia		f_{pu} = 189.20 kg/mm²		15	15	141	24.40	Perdidas Instantáneas (1a. Etapa)
A (m²) = 1.419300 Área de trabe		A (m²) = 1.419300 Área		b_1 = 0.90 cm		15	15	141	22.80	Perdidas instantáneas(2a.Etapa)
Y_i (m) = 0.966000 Eje neutro		Y_i (m) = 0.966000 Eje neutro		k = 0.39		15	15	141	13.00	Perdidas diferidas totales
Y_s (m) = 0.467300 dist. Superior		Y_s (m) = 0.734000 dist. Superior		c (Sec. Tee)= 46.55 cm		0	15	141	0.00	Banqueta+Guarnición
S_i (m³) = 0.518993 Mod. Secc. Inf.		S_i viga (m³) = 0.518993 Mod. Secc. Inferior		f_{ps} = 16,376.79 kg / cm²						Parapeto+Relleno
S_s (m³) = 1.072859 Mod. Secc. Sup.		S_s viga (m³) = 1.072859 Mod. Secc. Superior								Carpeta asfáltica
		S_s losa (m³) = 0.683034 Mod. Secc. Losa								Carva Viva
		Y_s viga (m) = 0.467300 Eje neutro								
Pérdidas de presfuzo				ΣAt = 12,690.00 mm²						
Centroide(1a.etapa), cm = 36.13		Eje de presfuzo = 36.13 cm								
Centroide(2a.etapa), cm = 0.00		Presfuzo(1a.etapa) = 1,920.76 ton								
1a. Etapa ; ΔS inst.(ton) = 154.54										
1a. Etapa ; ΔS dif. (ton) = 217.48										
Presfuzo(1a.etapa), ton = 1,920.76										
Presfuzo(2a.etapa), ton = 0.00										
2a. Etapa ; ΔS inst.(ton) = 0.00										
2a. Etapa ; ΔS dif. (ton) = 0.00										
Geometría de la trabe										

DATOS DE ANALISIS				DATOS DEL CLIENTE				DATOS DE LA TRABE				ETAPAS DE TENSADO		1					
SECCION : C.CLARO COMBINACION : CMT + CV + IMPACTO CARGA VIVA QUE RIGE : CAMIÓN T3S2R4				PROYECTO : ING. EDUARDO VÁZQUEZ GARCÉS				SECCIÓN CAJÓN (POSTENSADA)				UNA ETAPA (1)	DOS ETAPAS (2)	Tensado en sección simple Tensado en sección simple y sección compuesta					
ESFUERZO PERMISIBLE				PROPIEDADES DE LOS MATERIALES				MOMENTO 2				DATOS DEL PRESFUEZO		1a. ETAPA					
% de Esfzos. Permisibles = 100				fc tens.(kg/cm²) = 450.00 Esfzo. Al tensado fc (kg/cm²) = 450.00 Esfzo. Compresión frg (kg/cm²) = 18,920.00 Esfzo. Ruptura				Anotar(1) si(-) Anotar(2) si(+)				f rg = 189.20 Kg/mm² f re = 160.20 Kg/mm² (%) Tensado = 0.80 frg (f o) = 151.36 Kg/mm² E p = 20,400.00 Kg/mm²	Esfuerzo de ruptura Esfuerzo de fluencia (%) de esfuerzo de tensado Esfuerzo de tensado Modulo de elasticidad	Peso propio Presfzo. (1a. etapa) Perdidas Instantáneas (1a. Etapa) Losa + diafragmas	Tensado en sección simple Tensado en sección simple y sección compuesta				
CARACTERISTICAS GEOMETRICAS DE LA TRABE				REVISION A LA RUPTURA				No. Torones				At (mm)	Yp (cm)	2a. ETAPA					
Sección simple				Sección compuesta				15 15 15 15 15 15 0				15 15 15 15 15 15 15	141 141 141 141 141 141 141	10.00 10.00 10.00 20.00 20.00 130.00 0.00	PRESFUEZO 1a. ETAPA				
H (m) = 1.43 Altura de trabe Ix (m⁴) = 0.501347 Inercia de trabe A (m²) = 1.419300 Area de trabe Yi (m) = 0.966000 Eje neutro Ys (m) = 0.467300 dist. Superior S i (m³) = 0.518993 Mod. Secc. Inf. S s (m³) = 1.072859 Mod. Secc. Sup.				H (m) = 1.70 Altura total Ix (m⁴) = 0.501347 Inercia A (m²) = 1.419300 Area Yi (m) = 0.966000 Eje neutro Ys (m) = 0.734000 dist. Superior Si viga (m³) = 0.518993 Mod. Secc. Inferior Ss viga (m³) = 1.072859 Mod. Secc. Superior Ss losa (m³) = 0.683034 Mod. Secc. Losa Ys viga (m) = 0.467300 Eje neutro				Aps(total) = 126.90 cm² d p = 136.67 cm f pu = 189.20 kg/mm² b 1 = 0.90 cm k = 0.39 c (Sec. Tee)= 46.87 cm f ps = 16,411.69 kg / cm²				Σ At = 12,690.00 mm² Eje de presfuerzo = 33.33 cm Presfuerzo(1a.etapa) = 1,920.76 ton	Presfzo (2a. etapa) Perdidas instantáneas(2a.Etapa) Perdidas diferidas totales Banqueta+Guarnición Parapeto+Relleno	Carpeta asfáltica Carva Viva					
Pérdidas de presfuerzo				Geometria de la trabe				Acero en tensión				Acero en compresión	PRESFUEZO 2a. ETAPA						
Centroide(1a.etapa), cm = 33.33 Centroide(2a.etapa), cm = 0.00				φ = 0.90 b w = 40.00 b e = 196.54 h f = 26.67				As = 0.00 cm² f y = 4,200.00 kg/cm² Es = 2,039,000.00 kg/cm² r = 5.00 cm d s = 165.00 cm				A's(cm²) = 0.00 Acero de refuerzo f 'y (kg/cm²)= 4,200.00 Límite elástico r '(cm)= 5.00 Recubrimiento d's(cm) = 21.67 Brazo d (cm) = 136.67 Brazo a (cm)= 42.18 Bloque de esfzos.	No. Torones 0 0 0 0 0 0	At (mm²) 15 15 15 15 15 15	Yp (cm) 141 141 141 141 141 141	10.00 10.00 10.00 20.00 20.00 0.00	Presfuerzo(2a.etapa) = 0.00 ton	Presfzo (2a. etapa) Perdidas instantáneas(2a.Etapa) Perdidas diferidas totales Banqueta+Guarnición Parapeto+Relleno	Carpeta asfáltica Carva Viva
								c = 30.751 cm Viga TEE Rige Secc.Tee				Σ At = 0 mm² Eje de presfuerzo = 0.00 cm Presfuerzo(2a.etapa) = 0.00 ton	Aero en compresión	PRESFUEZO 2a. ETAPA					
REVISIÓN POR ESFUERZOS PERMISIBLES												ESFUERZOS PERMISIBLES POR AASHTO							
SOLICITACIONES		ESFUERZOS EN TRABE (kg/cm²)				ESFUERZOS EN LOSA (kg/cm²)				ESFUERZOS PERMISIBLES POR AASHTO				Modulo de ruptura					
Etapas de trabajo		P (ton)	e (m)	M (ton-m)	Inferior	Inf. acum.	Superior	Sup. acum.	Inferior	Inf. acum.	Superior	Sup. acum.							
Peso propio		0.00	0.00	538.47	-103.75	-103.75	50.19	50.19	0.00	0.00	0.00	0.00	AASHTO Capítulo 9.15.2.3 Lb/in² kg/cm²						
Presfzo. (1a. etapa)		1,920.76	0.63	0.00	369.48	265.72	22.06	72.25	0.00	0.00	0.00	0.00	Para Concreto Peso Normal 7.5 √ f'c 42.19						
Perdidas Instantáneas (1a. Etapa)		154.13	0.63	0.00	-29.65	236.08	-1.77	70.48	0.00	0.00	0.00	0.00	Para Concreto Peso Ligero 6.3 √ f'c 35.44						
Losa + diafragmas		0.00	0.00	0.00	0.00	236.08	0.00	70.48	0.00	0.00	0.00	0.00	Para cualquier tipo de Concreto 5.5 √ f'c 30.94						
Presfzo (2a. etapa)		0.00	0.97	0.00	0.00	236.08	0.00	70.48	0.00	0.00	0.00	0.00	Efuerzos permisibles al tensado (antes de perdidas)						
Perdida instantánea(2a.Etapa)		0.00	0.97	0.00	0.00	236.08	0.00	70.48	0.00	0.00	0.00	0.00	AASHTO Capítulo 9.15.2.1 Lb/in² kg/cm²						
Perdidas diferidas totales		211.97	0.97	0.00	-54.39	181.69	4.15	74.63	4.15	4.15	-15.04	-15.04	Compresión :Pretenados 0.6f'c 270						
Banqueta+Guarnición		0.00	0.00	39.38	-7.59	174.10	3.67	78.30	3.67	7.82	5.77	9.28	Compresión: Postensados 0.55f'c 247.5						
Parapeto+Relleno		0.00	0.00	203.10	-39.13	134.97	18.93	97.24	18.93	26.75	29.74	20.46	AASHTO Capítulo 9.15.2.2 Lb/in² kg/cm²						
Carpeta asfáltica		0.00	0.00	98.16	-18.91	116.05	9.15	106.39	9.15	35.90	14.37	34.83	Tensión: Sin refuerzo 3 √ f'c 16.87						
Carva Viva		0.00	0.00	571.60	-110.14	5.92	53.28	159.66	53.28	89.18	83.68	118.51	Tensión: Con refuerzo 7.5 √ f'c 42.19						
ESTADO FINAL DE ESFUERZO (kg / cm²)				Inf. Acum =	5.92	Sup. Acum =	159.66	Inf. Acum =	89.18	Sup. Acum =	118.51	Efuerzos permisibles al tensado (después de perdidas)							
Esfuerzos permisibles		Al tensado		En servicio		Comentarios finales													
		Con refuerzo		Sin refuerzo		Al tensado Excede Bien Bien Bien Bien													
Compresión		247.50		180.00		Compresión Serv. Bien Bien Bien Bien								Compresión :Pretenados 0.4f'c 180					
Tensión		-42.19		-16.87		Tensión Serv. Bien Bien Bien Bien								Compresión: Postensados 0.4f'c 180					
Modulo de ruptura		-30.94												AASHTO Capítulo 9.15.2.2 Lb/in² kg/cm²					
REVISIÓN POR RESISTENCIA ULTIMA																			
Nota Importante.		Momento resistente (MR)		1		Momento resistente (MR)		2		Capacidad		Verificación del refuerzo por tensión							
1- Las normas AASHTO si permiten tensiones		Actuante		Como Sección TEE		f ps = 17,274.405		Como Sección Rectangular		Momento resistente		No Requiere refuerzo por tensión							
2- Las normas SCT no permiten tensiones				2,407.00 ton-m		a = 27.676		2,692.56 ton-m		1 2,518.49		Adecuado							
		2,123.72 ton-m		2,518.49 ton-m		Pasa por Mu		Pasa por Mu											

DATOS DE ANÁLISIS		DATOS DEL CLIENTE				DATOS DE LA TRABE		ETAPAS DE TENSADO		1
SECCION : 0.6L COMBINACION : CMT + CV + IMPACTO CARGA VIVA QUE RIGE : CAMIÓN T3S2R4		PROYECTO : ING. EDUARDO VÁZQUEZ GARCÉS				SECCIÓN CAJÓN (POSTENSADA)		UNA ETAPA (1) DOS ETAPAS (2)		Tensado en sección simple Tensado en sección simple y sección compuesta

ESFUERZO PERMISIBLE		PROPIEDADES DE LOS MATERIALES		MOMENTO		DATOS DEL PRESFURZO		1a. ETAPA		
% de Esfzs. Permisibles = 100		f_c tens.(kg/cm²) = 450.00 Esfzo. Al tensado f_c (kg/cm²) = 450.00 Esfzo. Compresión frg (kg/cm²) = 18,920.00 Esfzo. Ruptura		Anotar(1) si(-) Anotar(2) si(+)		f_{rg} = 189.20 Kg/mm² f_{re} = 160.20 Kg/mm² (%) Tensado = 0.80 frg (f_o) = 151.36 Kg/mm² E_p = 20,400.00 Kg/mm²		Esfuerzo de ruptura Esfuerzo de fluencia (%) de esfuerzo de tensado Esfuerzo de tensado Modulo de elasticidad		

CARACTERÍSTICAS GEOMÉTRICAS DE LA TRABE		REVISIÓN A LA RUPTURA		No. Torones		ϕ (mm)	At (mm²)	Yp (cm)	2a. ETAPA	
Sección simple		Sección compuesta		Aps(total) = 126.90 cm²		15	15	141	11.60	PRESFURZO (1a. ETAPA)
H (m) = 1.43 Altura de trabe		H (m) = 1.70 Altura total		d_p = 134.40 cm		15	15	141	13.20	Presfzo (2a. etapa)
I_x (m⁴) = 0.501347 Inercia de trabe		I_x (m⁴) = 0.501347 Inercia		f_{pu} = 189.20 kg/mm²		15	15	141	21.20	Perdidas instantáneas(2a. Etapa)
A (m²) = 1.419300 Área de trabe		A (m²) = 1.419300 Área		b_1 = 0.90 cm		15	15	141	22.80	Perdidas diferidas totales
Y_i (m) = 0.966000 Eje neutro		Y_i (m) = 0.966000 Eje neutro		k = 0.39		15	15	141	130.00	Banqueta+Guarnición
Y_s (m) = 0.467300 dist. Superior		Y_s (m) = 0.734000 dist. Superior		c (Sec. Tee)= 46.61 cm		0	15	141	0.00	Parapeto+Relleno
S_i (m³) = 0.518993 Mod. Secc. Inf.		S_i viga (m³) = 0.518993 Mod. Secc. Inferior		f_{ps} = 16,383.51 kg / cm²						
S_s (m³) = 1.072859 Mod. Secc. Sup.		S_s viga (m³) = 1.072859 Mod. Secc. Superior								
		S_s losa (m³) = 0.683034 Mod. Secc. Losa								
		Y_s viga (m) = 0.467300 Eje neutro								
Pérdidas de presfuzro		Geometría de la trabe		$\Sigma At = 12,690.00$ mm²		PRESFURZO 2a. ETAPA				
Centroide(1a.etapa), cm = 35.60		ϕ = 0.90		Eje de presfuzro = 35.60 cm		No. Torones	ϕ (mm)	At (mm²)	Yp (cm)	
Centroide(2a.etapa), cm = 0.00		b_w = 40.00		Presfuzro(1a.etapa) = 1,920.76 ton		0	15	141	0.00	
1a. Etapa ; ΔS inst.(ton) = 124.81		b_e = 196.54								
1a. Etapa ; ΔS dif. (ton) = 228.12		h_f = 26.67								
Presfuzro(1a.etapa), ton = 1,920.76										
Presfuzro(2a.etapa), ton = 0.00										
2a. Etapa ; ΔS inst.(ton) = 0.00										
2a. Etapa ; ΔS dif. (ton) = 0.00										

REVISIÓN POR ESFUERZOS PERMISIBLES				ESFUERZOS EN TRABE (kg/cm²)				ESFUERZOS EN LOSA (kg/cm²)				ESFUERZOS PERMISIBLES POR AASHTO				
SOLICITACIONES				Inferior	Inf. acum.	Superior	Sup. acum.	Inferior	Inf. acum.	Superior	Sup. acum.	Modulo de ruptura				
Etapas de trabajo	P (ton)	e (m)	M (ton·m)									AASHTO Capítulo 9.15.2.3	Lb/in²	kg/cm²		
Peso propio	0.00	0.00	430.96	-83.04	-83.04	40.17	40.17	0.00	0.00	0.00	0.00	Para Concreto Peso Normal	7.5 $\sqrt{f_c}$	42.19		
Presfzo. (1a. etapa)	1,920.76	0.61	0.00	361.09	278.05	26.12	66.29	0.00	0.00	0.00	0.00	Para Concreto Peso Ligero	6.3 $\sqrt{f_c}$	35.44		
Perdidas Instantáneas (1a. Etapa)	124.81	0.61	0.00	-23.46	254.59	-1.70	64.59	0.00	0.00	0.00	0.00	Para cualquier tipo de Concreto	5.5 $\sqrt{f_c}$	30.94		
Losa + diafragmas	0.00	0.00	0.00	0.00	254.59	0.00	64.59	0.00	0.00	0.00	0.00					
Presfzo. (2a. etapa)	0.00	0.97	0.00	0.00	254.59	0.00	64.59	0.00	0.00	0.00	0.00					
Perdida instantánea(2a.Etapa)	0.00	0.97	0.00	0.00	254.59	0.00	64.59	0.00	0.00	0.00	0.00	AASHTO Capítulo 9.15.2.1	Lb/in²	kg/cm²		
Perdidas diferidas totales	228.12	0.97	0.00	-58.53	196.05	4.47	69.06	4.47	4.47	-16.19	-16.19	Compresión :Pretenados	0.6 f_c	270		
Banqueta+Guarnición	0.00	0.00	31.21	-6.01	190.04	2.91	71.97	2.91	7.38	4.57	-11.62	Compresión: Postensados	0.55 f_c	247.5		
Parapeto+Relleno	0.00	0.00	159.76	-30.78	159.26	14.89	86.86	14.89	22.27	23.39	11.77	AASHTO Capítulo 9.15.2.2	Lb/in²	kg/cm²		
Carpeta asfáltica	0.00	0.00	78.17	-15.06	144.19	7.29	94.15	7.29	29.55	11.44	23.21	Tensión: Sin refuerzo	3 $\sqrt{f_c}$	16.87		
Carva Viva	0.00	0.00	500.89	-96.51	47.68	46.69	140.84	46.69	76.24	73.33	96.55	Tensión: Con refuerzo	7.5 $\sqrt{f_c}$	42.19		
ESTADO FINAL DE ESFUERZO (kg/cm²)				Inf. Acum = 47.68	Sup. Acum = 140.84	Inf. Acum = 76.24	Sup. Acum = 96.55	Esfuerzos permisibles al tensado (después de perdidas)								
Esfuerzos permisibles	Al tensado		En servicio		Comentarios finales											
	Con refuerzo	Sin refuerzo		Al tensado	Excede		Bien		Bien		Bien		Compresión :Pretenados	0.4 f_c	180	
Compresión			247.50	180.00	Compresión Serv.	Bien			Bien		Bien		Compresión: Postensados	0.4 f_c	180	
Tensión			-42.19	-16.87	-16.87	Tensión Serv.	Bien		Bien		Bien		AASHTO Capítulo 9.15.2.2	Lb/in²	kg/cm²	
Modulo de ruptura			-30.94										Tensión: Sin refuerzo	6 $\sqrt{f_c}$	33.75	
													Tensión: Con refuerzo	7.5 $\sqrt{f_c}$	42.19	

REVISIÓN POR RESISTENCIA ULTIMA								Capacidad		Verificación del refuerzo por tensión		
Nota Importante.				Momento resistente (MR)		1		Capacidad		Verificación del refuerzo por tensión		
1- Las normas AASHTO si permiten tensiones				Como Sección TEE		f ps = 17,249.553		Como Sección Rectangular				
2- Las normas SCT no permiten tensiones				Actuante		a = 27.628		a = 2,639.59 ton-m				
				1,771.23 ton-m		2,467.98 ton-m		Pasa por Mu				

DATOS DE ANALISIS		DATOS DEL CLIENTE				DATOS DE LA TRABE		ETAPAS DE TENSADO		1
SECCION : 0.7L COMBINACION : CMT + CV + IMPACTO CARGA VIVA QUE RIGE : CAMIÓN T3S2R4		PROYECTO : ING. EDUARDO VÁZQUEZ GARCÉS				SECCIÓN CAJÓN (POSTENSADA)		UNA ETAPA (1) DOS ETAPAS (2)		Tensado en sección simple Tensado en sección simple y sección compuesta

ESFUERZO PERMISIBLE		PROPIEDADES DE LOS MATERIALES		MOMENTO		DATOS DEL PRESFURZO		1a. ETAPA		
% de Esfzs. Permisibles = 100		f_c tens.(kg/cm²) = 450.00 Esfzo. Al tensado f_c (kg/cm²) = 450.00 Esfzo. Compresión frg (kg/cm²) = 18,920.00 Esfzo. Ruptura		Anotar(1) si(-) Anotar(2) si(+)		f_{rg} = 189.20 Kg/mm² f_{re} = 160.20 Kg/mm² (%) Tensado = 0.80 frg (f_o) = 151.36 Kg/mm² E_p = 20,400.00 Kg/mm²		Esfuerzo de ruptura Esfuerzo de fluencia (%) de esfuerzo de tensado Esfuerzo de tensado Modulo de elasticidad		

CARACTERISTICAS GEOMETRICAS DE LA TRABE		REVISION A LA RUPTURA		No. Torones		ϕ (mm)	At (mm²)	Yp (cm)	2a. ETAPA	
Sección simple		Sección compuesta		Aps(total) = 126.90 cm²		15	15	141	16.40	Peso propio
H (m) = 1.43 Altura de trabe		H (m) = 1.70 Altura total		d_p = 127.60 cm		15	15	141	22.80	Presfzo. (1a. etapa)
I_x (m⁴) = 0.501347 Inercia de trabe		I_x (m⁴) = 0.501347 Inercia		f_{pu} = 189.20 kg/mm²		15	15	141	24.80	Perdidas Instantáneas (1a. Etapa)
A (m²) = 1.419300 Área de trabe		A (m²) = 1.419300 Área		b_1 = 0.90 cm		15	15	141	31.20	Perdidas instantáneas(2a.Etapa)
Y_i (m) = 0.966000 Eje neutro		Y_i (m) = 0.966000 Eje neutro		k = 0.39		15	15	141	130.00	Perdidas diferidas totales
Y_s (m) = 0.467300 dist. Superior		Y_s (m) = 0.734000 dist. Superior		c (Sec. Tee)= 45.80 cm		0	15	141	0.00	Banqueta+Guarnición
S_i (m³) = 0.518993 Mod. Secc. Inf.		S_i viga (m³) = 0.518993 Mod. Secc. Inferior		f_{ps} = 16,295.06 kg / cm²						Parapeto+Relleno
S_s (m³) = 1.072859 Mod. Secc. Sup.		S_s viga (m³) = 1.072859 Mod. Secc. Superior								Carpeta asfáltica
Pérdidas de presfuzro		S_s losa (m³) = 0.683034 Mod. Secc. Losa		ΣAt = 12,690.00 mm²		Eje de presfuzro = 42.40 cm		Carva Viva		
Centroide(1a.etapa), cm = 42.40		S_s viga (m) = 0.467300 Eje neutro		Presfuzro(1a.etapa) = 1,920.76 ton						
Centroide(2a.etapa), cm = 0.00										
1a. Etapa ; ΔS inst.(ton) = 118.73		ϕ = 0.90								
1a. Etapa ; ΔS dif. (ton) = 248.93		b_w = 40.00								
Presfuzro(1a.etapa), ton = 1,920.76		b_e = 196.54								
Presfuzro(2a.etapa), ton = 0.00		h_f = 26.67								
2a. Etapa ; ΔS inst.(ton) = 0.00										
2a. Etapa ; ΔS dif. (ton) = 0.00										



 Facultad de Ingeniería	ANEXO. MEMORIA DE CÁLCULO								PUEI Programa Único de Especializaciones de Ingeniería							
DATOS DE ANALISIS		DATOS DEL CLIENTE				DATOS DE LA TRABE		ETAPAS DE TENSADO		1						
SECCION : 0.8L COMBINACION : CMT + CV + IMPACTO CARGA VIVA QUE RIGE : CAMIÓN T3S2R4		PROYECTO : ING. EDUARDO VÁZQUEZ GARCÉS				SECCION CAJON (POSTENSADA)		UNA ETAPA (1) DOS ETAPAS (2)		Tensado en sección simple Tensado en sección simple y sección compuesta						
ESFUERZO PERMISIBLE		PROPIEDADES DE LOS MATERIALES		MOMENTO		DATOS DEL PRESFUERZO		1a. ETAPA								
f'_c tens.(kg/cm ²) = 450.00 f'_c (kg/cm ²) = 450.00 f_{rg} (kg/cm ²) = 18,920.00		$Esfzo.$ Al tensado $Esfzo.$ Compresión $Esfzo.$ Ruptura		Anotar(1) si(-) Anotar(2) si(+)		$f_{rg} = 189.20$ Kg/mm ² $f_{re} = 160.20$ Kg/mm ² (%) Tensado = 0.80 $(f_o) = 151.36$ Kg/mm ² $E_p = 20,400.00$ Kg/mm ²		Esfuerzo de ruptura Esfuerzo de fluencia (%) de esfuerzo de tensado Esfuerzo de tensado Modulo de elasticidad		Peso propio Presfo. (1a. etapa) Perdidas Instantáneas (1a. Etapa) Losa + diafragmas						
% de Esfzos. Permisibles = 100																
CARACTERISTICAS GEOMETRICAS DE LA TRABE										2a. ETAPA						
Sección simple H (m) = 1.43 I_x (m ⁴) = 0.501347 A (m ²) = 1.419300 Y_i (m) = 0.966000 Y_s (m) = 0.467300 S_i (m ³) = 0.518993 S_s (m ³) = 1.072859		Sección compuesta H (m) = 1.70 I_x (m ⁴) = 0.501347 A (m ²) = 1.419300 Y_i (m) = 0.966000 Y_s (m) = 0.734000 S_i viga (m ³) = 0.518993 S_s viga (m ³) = 1.072859 S_s losa (m ³) = 0.683034 Y_s viga (m) = 0.467300		REVISION A LA RUPTURA $Aps(total) = 126.90$ cm ² $d_p = 116.27$ cm $f_{pu} = 189.20$ kg/mm ² $b_1 = 0.90$ cm $k = 0.39$ c (Sec. Tee)= 44.30 cm $f_{ps} = 16,133.09$ kg / cm ²		$No.$ Torones 15 ϕ (mm) 15 At (mm ²) 141 Y_p (cm) 24.40 $d_p = 116.27$ cm $b_1 = 0.90$ cm $k = 0.39$ c (Sec. Tee)= 44.30 cm $f_{ps} = 16,133.09$ kg / cm ²		PRESFUERZO (1a. ETAPA) $\Sigma At = 12,690.00$ mm ² Eje de presfuerzo = 53.73 cm Presfuerzo(1a.etapa) = 1,920.76 ton		Presfzo (2a. etapa) Perdidas instantáneas(2a.Etapa) Perdidas diferidas totales Banqueta+Guarnición Parapeto+Relleno Carpeta asfáltica Carva Viva						
Pérdidas de presfuerzo Centroide(1a.etapa), cm = 53.73 Centrode(2a.etapa), cm = 0.00 1a. Etapa ; ΔS inst.(ton) = 116.86 1a. Etapa ; ΔS dif. (ton) = 276.22 Presfuerzo(1a.etapa), ton = 1,920.76 Presfuerzo(2a.etapa), ton = 0.00 2a. Etapa ; ΔS inst.(ton) = 0.00 2a. Etapa ; ΔS dif. (ton) = 0.00		Geometria de la trabe $\phi = 0.90$ $b_w = 40.00$ $b_e = 196.54$ $h_f = 26.67$		Acero en tensión $A_s = 0.00$ cm ² $f_y = 4,200.00$ kg/cm ² $E_s = 2,039,000.00$ kg/cm ² $r = 5.00$ cm $d_s = 165.00$ cm		Acero en compresión $A's(cm2) = 0.00$ cm ² $f'_y (kg/cm2)= 4,200.00$ kg/cm ² $r' (kg/cm2)= 5.00$ cm $d's(cm) = 21.67$ Brazo $d'e(cm) = 116.27$ Brazo $a(cm) = 39.87$ Bloque de esfzos.		PRESFUERZO 2a. ETAPA $No.$ Torones 0 ϕ (mm) 15 At (mm ²) 141 Y_p (cm) 24.40 $d's(cm) = 21.67$ Brazo $d'e(cm) = 116.27$ Brazo $a(cm) = 39.87$ Bloque de esfzos.								
REVISIÓN POR ESFUERZOS PERMISIBLES																
SOLICITACIONES				ESFUERZOS EN TRABE (kg/cm²)				ESFUERZOS EN LOSA (kg/cm²)				ESFUERZOS PERMISIBLES POR AASHTO				
Etapas de trabajo	P (ton)	e (m)	M (ton-m)	Inferior	Inf. acum.	Superior	Sup. acum.	Inferior	Inf. acum.	Superior	Sup. acum.	Modulo de ruptura				
Peso propio	0.00	0.00	-1.14	0.22	0.22	-0.11	-0.11	0.00	0.00	0.00	0.00	AASHTO Capítulo 9.15.2.3 Lb/in^2 kg/cm^2 Para Concreto Peso Normal $7.5 \sqrt{f'_c}$ 42.19 Para Concreto Peso Ligero $6.3 \sqrt{f'_c}$ 35.44 Para cualquier tipo de Concreto $5.5 \sqrt{f'_c}$ 30.94				
Presfzo. (1a. etapa)	1,920.76	0.43	0.00	293.98	294.20	58.59	58.48	0.00	0.00	0.00	0.00	AASHTO Capítulo 9.15.2.1 Lb/in^2 kg/cm^2 Compresión :Pretenados 0.6f'c 270 Compresión: Postensados 0.55f'c 247.5				
Perdidas Instantáneas (1a. Etapa)	116.86	0.43	0.00	-17.89	276.31	-3.56	54.92	0.00	0.00	0.00	0.00	AASHTO Capítulo 9.15.2.2 Lb/in^2 kg/cm^2 Tensión: Sin refuerzo $3 \sqrt{f'_c}$ 16.87 Tensión: Con refuerzo $7.5 \sqrt{f'_c}$ 42.19				
Losa + diafragmas	0.00	0.00	0.00	0.00	276.31	0.00	54.92	0.00	0.00	0.00	0.00					
Presfzo (2a. etapa)	0.00	0.97	0.00	0.00	276.31	0.00	54.92	0.00	0.00	0.00	0.00					
Perdidas instantáneas(2a.Etapa)	0.00	0.97	0.00	0.00	276.31	0.00	54.92	0.00	0.00	0.00	0.00					
Perdidas diferidas totales	276.22	0.97	0.00	-70.87	205.44	5.41	60.32	5.41	5.41	-19.60	-19.60					
Banqueta+Guarnición	0.00	0.00	-1.11	0.21	205.65	-0.10	60.22	-0.10	5.31	-0.16	-19.77					
Parapeto+Relleno	0.00	0.00	-10.40	2.00	207.66	-0.97	59.25	-0.97	4.34	-1.52	-21.29					
Carpeta asfáltica	0.00	0.00	-1.23	0.24	207.89	-0.11	59.14	-0.11	4.22	-0.18	-21.47					
Carva Viva	0.00	0.00	189.00	-36.42	171.48	17.62	76.75	17.62	21.84	27.67	6.20					
ESTADO FINAL DE ESFUERZO (kg / cm²)				Inf. Acum = 171.48	Sup. Acum = 76.75	Inf. Acum = 21.84	Sup. Acum = 6.20									
Esfuerzos permisibles	Al tensado		En servicio	Comentarios finales												
	Con refuerzo	Sin refuerzo		Al tensado	Excede		Bien		Bien		Bien					
Compresión				Compresión Serv.	Bien		Bien		Bien		Bien		AASHTO Capítulo 9.15.2.2 Lb/in^2 kg/cm^2 Tensión: Sin refuerzo $6 \sqrt{f'_c}$ 33.75 Tensión: Con refuerzo $7.5 \sqrt{f'_c}$ 42.19			
Tensión	-42.19	-16.87	-16.87	Tensión Serv.	Bien		Bien		Bien		Bien					
Modulo de ruptura	-30.94															
REVISIÓN POR RESISTENCIA ULTIMA																
Nota Importante				Momento resistente / MPa	1	Momento resistente / MPa	2	Capacidad			Verificación del refuerzo por tensión					

DATOS DE ANALISIS		DATOS DEL CLIENTE				DATOS DE LA TRABE		ETAPAS DE TENSADO		1
SECCION : 0.9L COMBINACION : CMT + CV + IMPACTO CARGA VIVA QUE RIGE : CAMIÓN T3S2R4		PROYECTO : ING. EDUARDO VÁZQUEZ GARCÉS				SECCIÓN CAJÓN (POSTENSADA)		UNA ETAPA (1) DOS ETAPAS (2)		Tensado en sección simple Tensado en sección simple y sección compuesta

ESFUERZO PERMISIBLE		PROPIEDADES DE LOS MATERIALES		MOMENTO		DATOS DEL PRESFUERZO		1a. ETAPA		
% de Esfzs. Permisibles = 100		f_c tens.(kg/cm²) = 450.00 Esfzo. Al tensado f_c (kg/cm²) = 450.00 Esfzo. Compresión frg (kg/cm²) = 18,920.00 Esfzo. Ruptura		Anotar(1) si(-) Anotar(2) si(+)		f_{rg} = 189.20 Kg/mm² f_{re} = 160.20 Kg/mm² (%) Tensado = 0.80 frg (f_o) = 151.36 Kg/mm² E_p = 20,400.00 Kg/mm²		Esfuerzo de ruptura Esfuerzo de fluencia (%) de esfuerzo de tensado Esfuerzo de tensado Modulo de elasticidad		

CARACTERISTICAS GEOMETRICAS DE LA TRABE		REVISION A LA RUPTURA		No. Torones		ϕ (mm)	At (mm²)	Yp (cm)	2a. ETAPA	
Sección simple		Sección compuesta		Aps(total) = 126.90 cm²		15	15	141	35.60	PRESFUERZO (1a. ETAPA)
H (m) = 1.43 Altura de trabe		H (m) = 1.70 Altura total		d_p = 100.40 cm		15	15	141	61.20	Presfzo (2a. etapa)
I_x (m⁴) = 0.501347 Inercia de trabe		I_x (m⁴) = 0.501347 Inercia		f_{pu} = 189.20 kg/mm²		15	15	141	39.20	Perdidas instantaneas(2a. Etapa)
A (m²) = 1.419300 Área de trabe		A (m²) = 1.419300 Área		b_1 = 0.90 cm		15	15	141	64.80	Perdidas diferidas totales
Y_i (m) = 0.966000 Eje neutro		Y_i (m) = 0.966000 Eje neutro		k = 0.39		15	15	141	130.00	Banqueta+Guarnición
Y_s (m) = 0.467300 dist. Superior		Y_s (m) = 0.734000 dist. Superior		c (Sec. Tee)= 41.88 cm		0	15	141	0.00	Parapeto+Relleno
S_i (m³) = 0.518993 Mod. Secc. Inf.		S_i viga (m³) = 0.518993 Mod. Secc. Inferior		f_{ps} = 15,869.57 kg / cm²						
S_s (m³) = 1.072859 Mod. Secc. Sup.		S_s viga (m³) = 1.072859 Mod. Secc. Superior								
		S_s losa (m³) = 0.683034 Mod. Secc. Losa								
		Y_s viga (m) = 0.467300 Eje neutro								
Pérdidas de presfuerzo		Geometría de la trabe		$\Sigma At = 12,690.00$ mm²		PRESFUERZO 1a. ETAPA		Carpeta asfáltica		
Centroide(1a.etapa), cm = 69.60		Centroide(2a.etapa), cm = 0.00		Eje de presfuerzo = 69.60 cm		Presfuerzo(1a.etapa) = 1,920.76 ton		Carva Viva		
1a. Etapa ; ΔS inst.(ton) = 128.04		$\phi = 0.90$		Acero en compresión		PRESFUERZO 2a. ETAPA				
1a. Etapa ; ΔS dif. (ton) = 303.16		$b_w = 40.00$		$A_s = 0.00$ cm²		No. Torones				
Presfuerzo(1a.etapa), ton = 1,920.76		$b_e = 196.54$		$A's(cm²) = 0.00$ Acero de refuerzo		ϕ (mm)				
Presfuerzo(2a.etapa), ton = 0.00		$h_f = 26.67$		$f' y (kg/cm²) = 4,200.00$ Límite elástico		At (mm²)				
2a. Etapa ; ΔS inst.(ton) = 0.00				$r (cm) = 5.00$ Recubrimiento		Yp (cm)				
2a. Etapa ; ΔS dif. (ton) = 0.00				$d's(cm) = 21.67$ Brazo		No. Torones				
				$d(s) = 100.40$ Brazo		$\Delta t (mm)$				
				$a (cm) = 37.69$ Bloque de esfzos.		Viga TEE				
				$C = 29.724$ cm		$\Sigma At = 0$ mm²				
				Rige Sec. Tee		Eje de presfuerzo = 0.00 cm				
				Presfuerzo(2a.etapa) = 0.00 ton						

REVISIÓN POR ESFUERZOS PERMISIBLES				ESFUERZOS EN TRABE (kg/cm²)				ESFUERZOS EN LOSA (kg/cm²)				ESFUERZOS PERMISIBLES POR AASHTO			
SOLICITACIONES				Inferior	Inf. acum.	Superior	Sup. acum.	Inferior	Inf. acum.	Superior	Sup. acum.	Modulo de ruptura			
Etapas de trabajo	P (ton)	e (m)	M (ton-m)	Inferior	Inf. acum.	Superior	Sup. acum.	Inferior	Inf. acum.	Superior	Sup. acum.	AASHTO Capítulo 9.15.2.3	Lb/in²	kg/cm²	
Peso propio	0.00	0.00	-322.25	62.09	62.09	-30.04	-30.04	0.00	0.00	0.00	0.00				
Presfzo. (1a. etapa)	1,920.76	0.27	0.00	235.26	297.35	86.99	56.96	0.00	0.00	0.00	0.00	AASHTO Capítulo 9.15.2.1	Lb/in²	kg/cm²	
Perdidas Instantaneas (1a. Etapa)	128.04	0.27	0.00	-15.68	281.66	-5.80	51.16	0.00	0.00	0.00	0.00				
Losa + diafragmas	0.00	0.00	0.00	0.00	281.66	0.00	51.16	0.00	0.00	0.00	0.00	Para Concreto Peso Normal	7.5 $\sqrt{f_c}$	42.19	
Presfzo. (2a. etapa)	0.00	0.97	0.00	0.00	281.66	0.00	51.16	0.00	0.00	0.00	0.00	Para Concreto Peso Ligero	6.3 $\sqrt{f_c}$	35.44	
Perdida instantanea(2a.Etapa)	0.00	0.97	0.00	0.00	281.66	0.00	51.16	0.00	0.00	0.00	0.00	Para cualquier tipo de Concreto	5.5 $\sqrt{f_c}$	30.94	
Perdidas diferidas totales	303.16	0.97	0.00	-77.79	203.88	5.94	57.09	5.94	5.94	-21.52	-21.52				
Banqueta+Guarnición	0.00	0.00	-25.14	4.84	208.72	-2.34	54.75	-2.34	3.59	-3.68	-25.20				
Parapeto+Relleno	0.00	0.00	-136.67	26.33	235.06	-12.74	42.01	-12.74	-9.15	-20.01	-45.21				
Carpeta asfáltica	0.00	0.00	-60.39	11.64	246.69	-5.63	36.38	-5.63	-14.77	-8.84	-54.05				
Carva Viva	0.00	0.00	87.92	-16.94	229.75	8.19	44.58	8.19	-6.58	12.87	-41.18				
ESTADO FINAL DE ESFUERZO (kg / cm²)				Inf. Acum = 229.75	Sup. Acum = 44.58	Inf. Acum = -6.58	Sup. Acum = -41.18	Esfuerzos permisibles al tensado (después de perdidas)							
Esfuerzos permisibles		Al tensado		En servicio		Comentarios finales									
		Con refuerzo	Sin refuerzo	Al tensado	Excede	Bien		Bien		Bien		Compresión :Pretensados	0.4f'c	180	
Compresión				Compresión Serv.	Excede	Bien		Bien		Bien		Compresión: Postensados	0.4f'c	180	
Tensión		-42.19	-16.87	-16.87	Tensión Serv.	Bien		Bien		Bien		AASHTO Capítulo 9.15.2.2	Lb/in²	kg/cm²	
Modulo de ruptura		-30.94										Tensión: Sin refuerzo	6 $\sqrt{f_c}$	33.75	
												Tensión: Con refuerzo	7.5 $\sqrt{f_c}$	42.19	

REVISIÓN POR RESISTENCIA ULTIMA												Capacidad			
Nota Importante.				Momento resistente (MR)				Capacidad				Verificación del refuerzo por tensión			
1- Las normas AASHTO si permiten tensiones				Como Sección TEE				Momento resistente (MR)				No Requiere refuerzo por tensión			
2- Las normas SCT no permiten tensiones				Como Sección Rectangular				Momento resistente				Adecuado			
Actuante				$f_{ps} = 16,754.759$				$a = 26.752$				$1,721.59$			
Actuante				1,642.41 ton-m				1,850.29 ton-m							
				79.18 ton-m											
				Pasa por Mu				Pasa por Mu				1,850.29 ton-m			

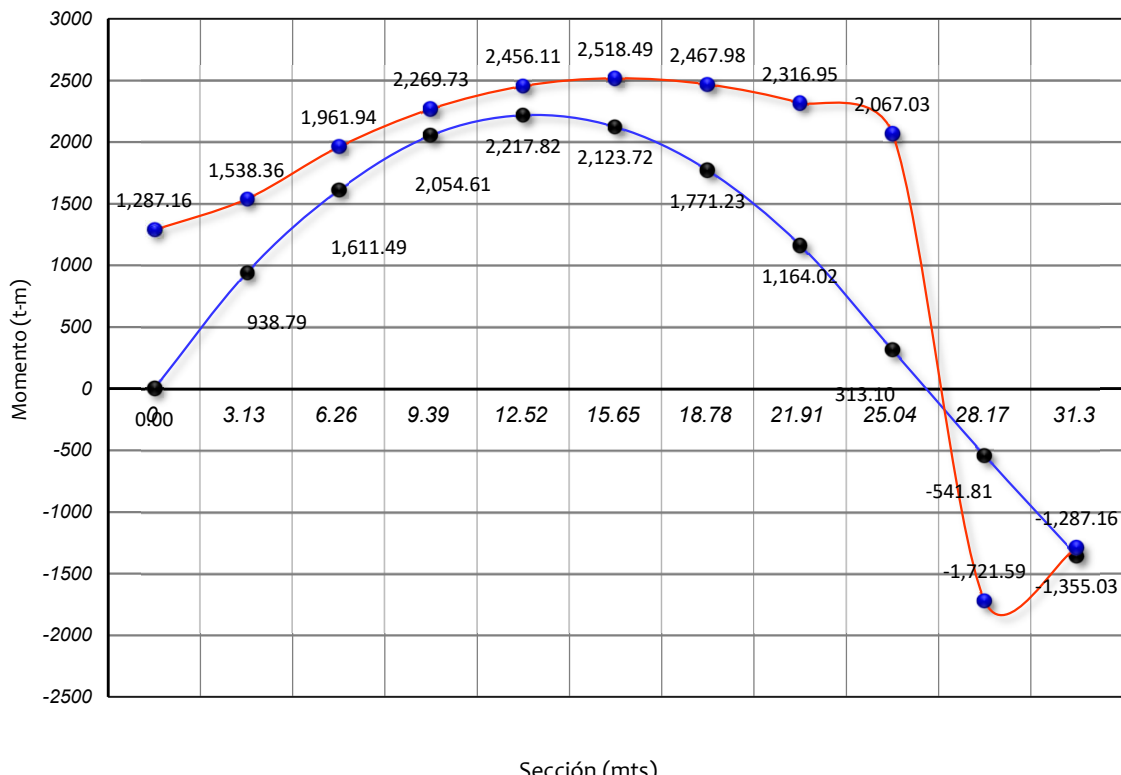
DATOS DE ANÁLISIS				DATOS DEL CLIENTE				DATOS DE LA TRABE				ETAPAS DE TENSADO		1			
SECCION : APOYO 2 COMBINACION : CMT + CV + IMPACTO CARGA VIVA QUE RIGE : CAMIÓN T3S2R4				PROYECTO : ING. EDUARDO VÁZQUEZ GARCÉS				SECCIÓN CAJÓN (POSTENSADA)				UNA ETAPA (1)	Tensado en sección simple				
												DOS ETAPAS (2)	Tensado en sección simple y sección compuesta				
ESFUERZO PERMISIBLE				PROPIEDADES DE LOS MATERIALES				DATOS DEL PRESFURZO				1a. ETAPA					
% de Esfzos. Permisibles = 100				f_c tens.(kg/cm ²) = 450.00 Esfzo. Al tensado f_c (kg/cm ²) = 450.00 Esfzo. Compresión frg (kg/cm ²) = 18,920.00 Esfzo. Ruptura				Anotar(1) si(-) Anotar(2) si(+)				f_{rg} = 189.20 Kg/mm ² Esfuerzo de ruptura f_{re} = 160.20 Kg/mm ² Esfuerzo de fluencia (%) Tensado = 0.80 frg (f _o) = 151.36 Kg/mm ² Esfuerzo de tensado E_p = 20,400.00 Kg/mm ² Modulo de elasticidad	Peso propio Presfzo. (1a. etapa) Perdidas Instantáneas (1a. Etapa) Losa + diafragmas				
CARACTERÍSTICAS GEOMÉTRICAS DE LA TRABE				REVISIÓN A LA RUPTURA				No. Torones				2a. ETAPA					
Sección simple <i>H (m) = 1.43</i> Altura de trabe <i>I_x (m⁴) = 0.501347</i> Inercia de trabe <i>A (m²) = 1.419300</i> Área de trabe <i>Y_i (m) = 0.966000</i> Eje neutro <i>Y_s (m) = 0.467300</i> dist. Superior <i>S_i (m³) = 0.518993</i> Mod. Secc. Inf. <i>S_s (m³) = 1.072859</i> Mod. Secc. Sup.				Sección compuesta <i>H (m) = 1.70</i> Altura total <i>I_x (m⁴) = 0.501347</i> Inercia <i>A (m²) = 1.419300</i> Área <i>Y_i (m) = 0.966000</i> Eje neutro <i>Y_s (m) = 0.734000</i> dist. Superior <i>S_i viga (m³) = 0.518993</i> Mod. Secc. Inferior <i>S_s viga (m³) = 1.072859</i> Mod. Secc. Superior <i>S_s losa (m³) = 0.683034</i> Mod. Secc. Losa <i>Y_s viga (m) = 0.467300</i> Eje neutro				REVISIÓN A LA RUPTURA Aps(total) = 126.90 cm² d_p = 80.00 cm f_{pu} = 189.20 kg/mm² b₁ = 0.90 cm k = 0.39 c (Sec. Tee)= 37.99 cm f_{ps} = 15,447.39 kg / cm²				No. Torones 15 15 15 15 15 0 Σ At = 12,690.00 mm² Eje de presfuzro = 90.00 cm Presfuzro(1a.etapa) = 1,920.76 ton		PRESFUZO (1a. ETAPA) Presfzo (2a. etapa) Perdidas instantáneas(2a.Etapa) Perdidas diferidas totales Banqueta+Guarnición Parapeto+Relleno			
Pérdidas de presfuzro <i>Centroide(1a.etapa), cm = 90.00</i> <i>Centroide(2a.etapa), cm = 0.00</i> <i>1a. Etapa ; Δ S inst.(ton) = 129.82</i> <i>1a. Etapa ; Δ S dif. (ton) = 325.94</i> <i>Presfuzro(1a.etapa), ton = 1,920.76</i> <i>Presfuzro(2a.etapa), ton = 0.00</i> <i>2a. Etapa ; Δ S inst.(ton) = 0.00</i> <i>2a. Etapa ; Δ S dif. (ton) = 0.00</i>				Geometría de la trabe <i>ϕ = 0.90</i> <i>b w = 40.00</i> <i>b e = 196.54</i> <i>h f = 26.67</i>				Acero en tensión <i>A_s = 0.00 cm²</i> <i>f_y = 4,200.00 kg/cm²</i> <i>E_s = 2,039,000.00 kg/cm²</i> <i>r = 5.00 cm</i> <i>d_s = 165.00 cm</i> <i>C = 28.923 cm</i>				Acero en compresión <i>A_s(cm²) = 0.00</i> Acero de refuerzo <i>f' y (kg/cm²)= 4,200.00</i> Límite elástico <i>r (cm)= 5.00</i> Recubrimiento <i>d's(cm) = 21.67</i> Brazo <i>d (cm) = 80.00</i> Brazo <i>a (cm)= 34.19</i> Bloque de esfzos.		PRESFUZO 2a. ETAPA No. Torones 0 0 0 0 0 0 Σ At = 0 mm² Eje de presfuzro = 0.00 cm Presfuzro(2a.etapa) = 0.00 ton			
REVISIÓN POR ESFUERZOS PERMISIBLES				SOLICITACIONES				ESFUERZOS EN TRABE (kg/cm ²)				ESFUERZOS EN LOSA (kg/cm ²)		ESFUERZOS PERMISIBLES POR AASHTO			
Etapas de trabajo		P (ton)	e (m)	M (ton-m)	Inferior	Inf. acum.	Superior	Sup. acum.	Inferior	Inf. acum.	Superior	Sup. acum.	Modulo de ruptura				
Peso propio		0.00	0.00	-716.08	137.98	137.98	-66.75	-66.75	0.00	0.00	0.00	0.00	AASHTO Capítulo 9.15.2.3		kg/cm ²		
Presfzo. (1a. etapa)		1,920.76	0.07	0.00	159.76	297.73	123.52	56.77	0.00	0.00	0.00	0.00	Para Concreto Peso Normal		7.5 √ f'c 42.19		
Perdidas Instantáneas (1a. Etapa)		129.82	0.07	0.00	-10.80	286.94	-8.35	48.42	0.00	0.00	0.00	0.00	Para Concreto Peso Ligero		6.3 √ f'c 35.44		
Losa + diafragmas		0.00	0.00	0.00	0.00	286.94	0.00	48.42	0.00	0.00	0.00	0.00	Para cualquier tipo de Concreto		5.5 √ f'c 30.94		
Presfzo. (2a. etapa)		0.00	0.97	0.00	0.00	286.94	0.00	48.42	0.00	0.00	0.00	0.00	Esfuerzos permisibles al tensado (antes de perdidas)				
Perdida instantánea(2a.Etapa)		0.00	0.97	0.00	0.00	286.94	0.00	48.42	0.00	0.00	0.00	0.00	AASHTO Capítulo 9.15.2.1		kg/cm ²		
Perdidas diferidas totales		325.94	0.97	0.00	-83.63	203.30	6.38	54.80	6.38	6.38	-23.13	-23.13	Compresión :Pretenados		270		
Banqueta+Guarnición		0.00	0.00	-54.34	10.47	213.77	-5.06	49.74	-5.06	1.32	-7.96	-31.09	Compresión: Postensados		0.55f'c 247.5		
Parapeto+Relleno		0.00	0.00	-289.90	55.86	269.63	-27.02	22.72	-27.02	-25.70	-42.44	-73.53	AASHTO Capítulo 9.15.2.2		Lb/in ² kg/cm ²		
Carpeta asfáltica		0.00	0.00	-132.29	25.49	295.12	-12.33	10.39	-12.33	-38.03	-19.37	-92.90	Tensión: Sin refuerzo		3 √ f'c 16.87		
Carva Viva		0.00	0.00	96.45	-18.58	276.54	8.99	19.38	8.99	-29.04	14.12	-78.78	Tensión: Con refuerzo		7.5 √ f'c 42.19		
ESTADO FINAL DE ESFUERZO (kg / cm ²)				Inf. Acum = 276.54	Sup. Acum = 19.38	Inf. Acum = -29.04	Sup. Acum = -78.78	Comentarios finales				Esfuerzos permisibles al tensado (después de perdidas)					
Esfuerzos permisibles		Al tensado		En servicio													
		Con refuerzo	Sin refuerzo			Al tensado	Excede		Bien		Bien		Compresión :Pretenados		0.4f'c 180		
Compresión				Compresión Serv.		Excede			Bien		Bien		Compresión: Postensados		0.4f'c 180		
Tensión		-42.19	-16.87	Tensión Serv.		Bien			Bien		Excede		AASHTO Capítulo 9.15.2.2		Lb/in ² kg/cm ²		
Modulo de ruptura		-30.94											Tensión: Sin refuerzo		6 √ f'c 33.75		
													Tensión: Con refuerzo		7.5 √ f'c 42.19		
REVISIÓN POR RESISTENCIA ULTIMA																	
Nota Importante.		Momento resistente (MR)		1		Momento resistente (MR)		2		Capacidad		Verificación del refuerzo por tensión					
1- Las normas AASHTO si permiten tensiones		Actuante		Como Sección TEE		f ps = 16,275.832		Como Sección Rectangular		Momento resistente		No Requiere refuerzo por tensión					
2- Las normas SCT no permiten tensiones				1,233.14 ton-m		a = 26.031		1,383.50 ton-m		1		Adecuado					
				1,355.03 ton-m		1,287.16 ton-m		No pasa por Mu		1,383.50 ton-m							



ENVOLVENTE DE CAPACIDAD

Sección m	Momento ultimo Mu (t-m)	Momento resistente MR (t-m)	Radio de capacidad (MR / Mu)	Comentario
0	0.00	1,287.16	0.00	Pasa
3.13	938.79	1,538.36	0.61	Pasa
6.26	1,611.49	1,961.94	0.82	Pasa
9.39	2,054.61	2,269.73	0.91	Pasa
12.52	2,217.82	2,456.11	0.90	Pasa
15.65	2,123.72	2,518.49	0.84	Pasa
18.78	1,771.23	2,467.98	0.72	Pasa
21.91	1,164.02	2,316.95	0.50	Pasa
25.04	313.10	2,067.03	0.15	Pasa
28.17	-541.81	-1,721.59	0.31	Pasa
31.3	-1,355.03	-1,287.16	1.05	Escaso

Envolvente de capacidad a Momento flexionante



Sección (mts)

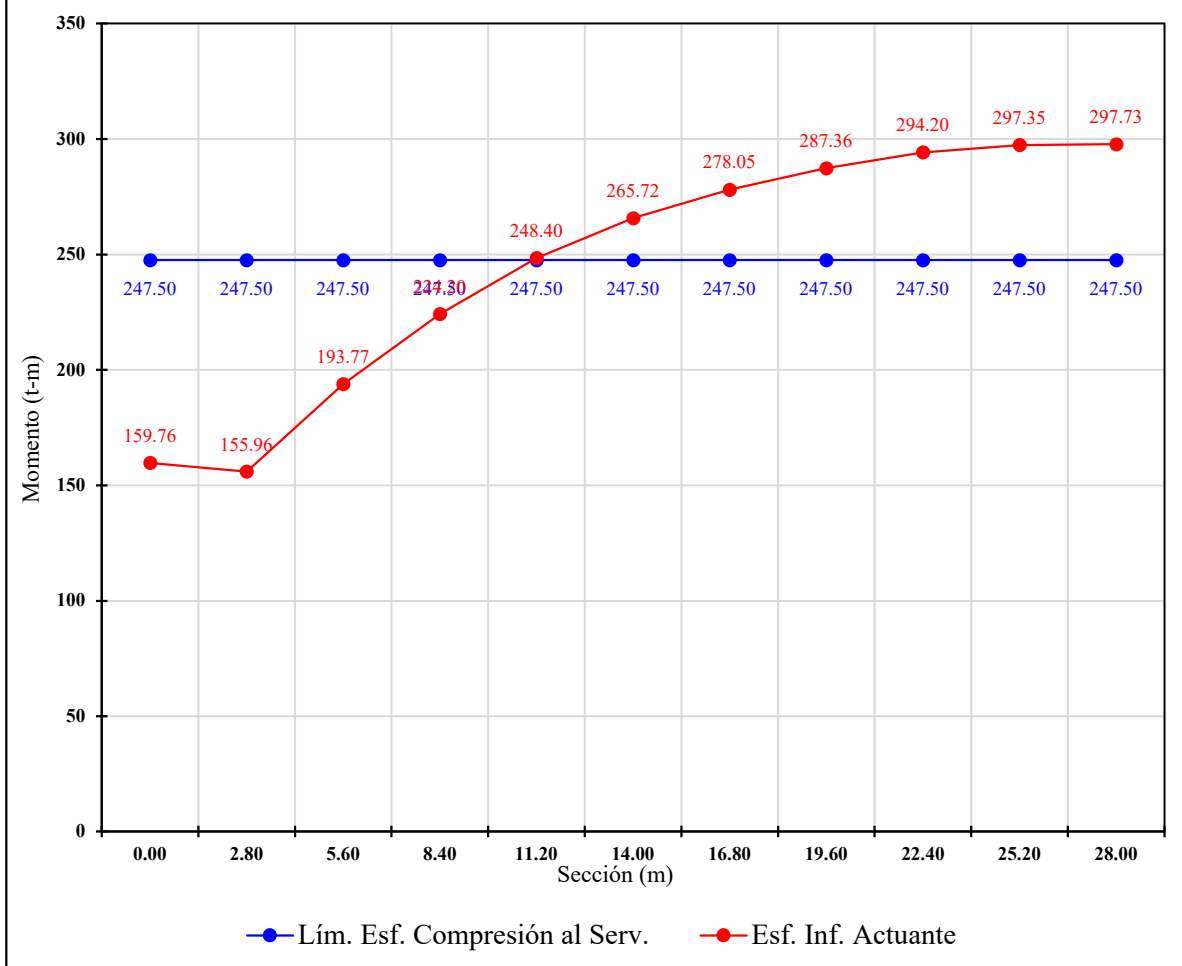
ESFUERZOS PERMISIBLES AL TENSADO

CV
CAMIÓN T3S2R4

ENVOLVENTE DE CAPACIDAD

Sección mts	Lím. Esf. Compresión al Serv. (kg/cm ²)	Esfuerzo Inferior Actuante (kg/cm ²)	Comentario
0	247.50	159.76	Pasa
3.1	247.50	155.96	Pasa
6.3	247.50	193.77	Pasa
9.4	247.50	224.20	Pasa
12.5	247.50	248.40	Excede
15.65	247.50	265.72	Excede
18.8	247.50	278.05	Excede
21.9	247.50	287.36	Excede
25.0	247.50	294.20	Excede
28.2	247.50	297.35	Excede
31.3	247.50	297.73	Excede

Envolvente de Esfuerzos al Tensado Inferiores



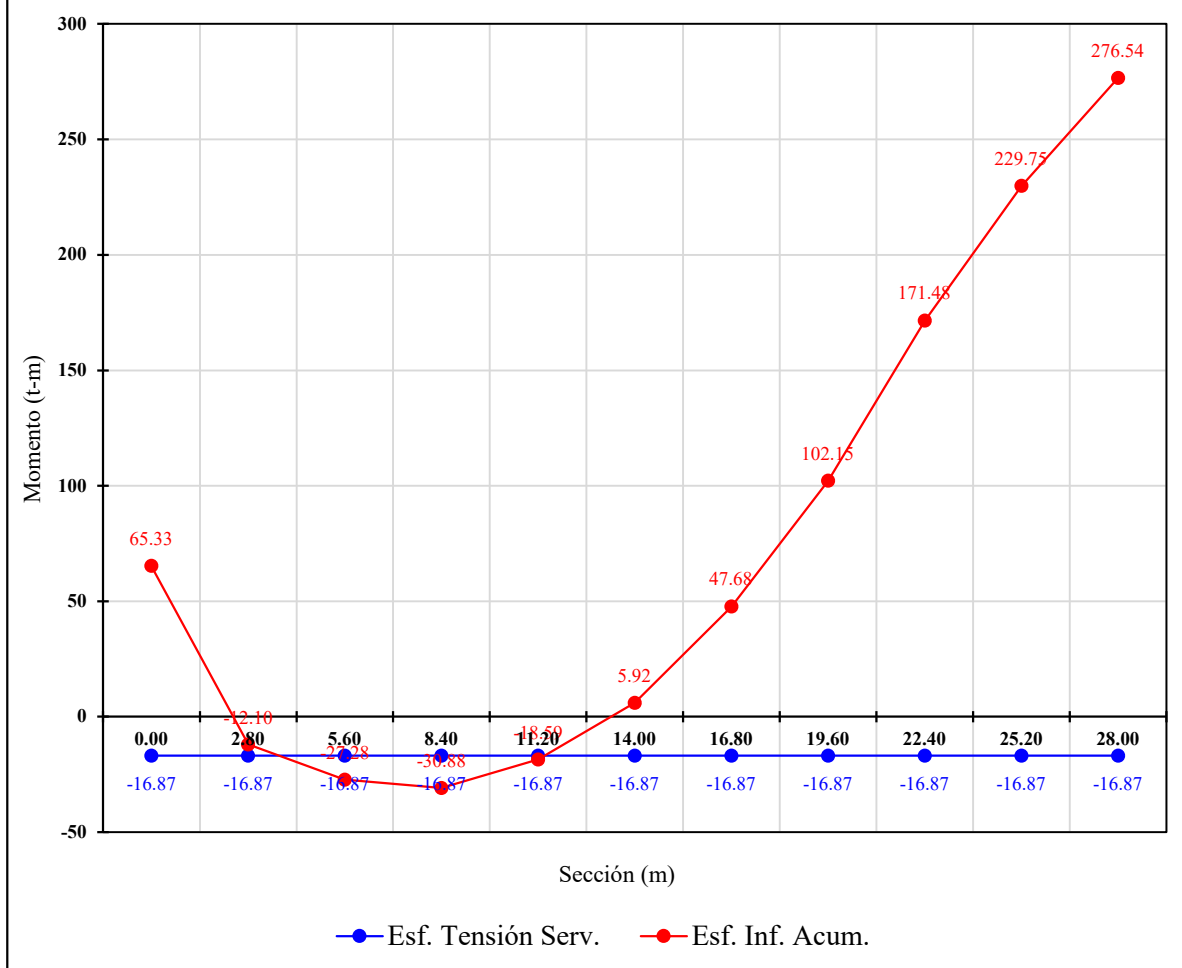
ESFUERZOS PERMISIBLES EN SERVICIO

CV
CAMIÓN T3S2R4

ENVOLVENTE DE CAPACIDAD

Sección mts	Esf. Tensión al Serv. (kg/cm ²)	Esf. Inf. Acum (kg/cm ²)	Comentario
0	-16.87	65.33	Pasa
3.1	-16.87	-12.10	Pasa
6.3	-16.87	-27.28	Excede
9.4	-16.87	-30.88	Excede
12.5	-16.87	-18.59	Excede
15.65	-16.87	5.92	Pasa
18.8	-16.87	47.68	Pasa
21.9	-16.87	102.15	Pasa
25.0	-16.87	171.48	Pasa
28.2	-16.87	229.75	Pasa
31.3	-16.87	276.54	Pasa

Envolvente de Esfuerzos Inferiores



ESFUERZOS PERMISIBLES EN SERVICIO

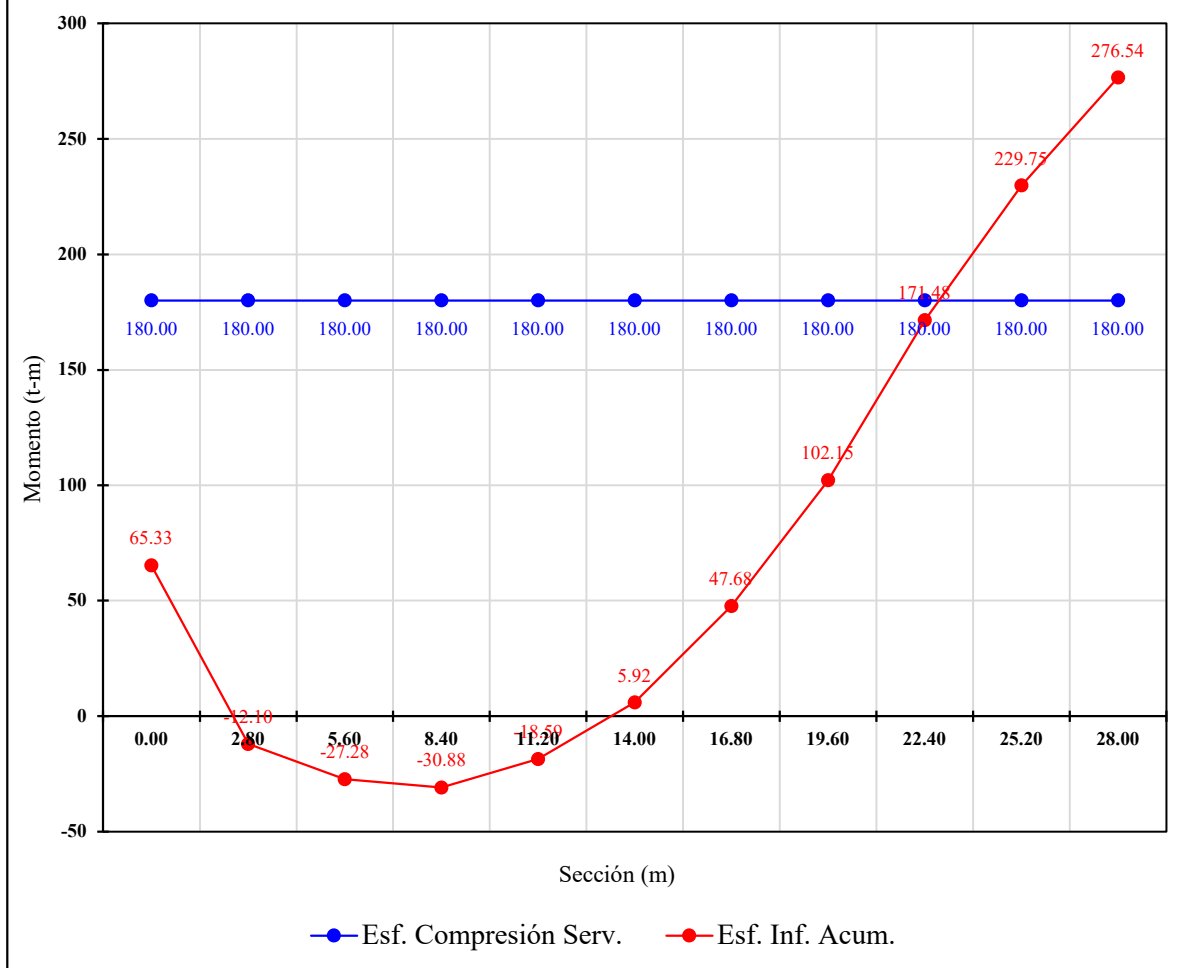
CV

CAMIÓN T3S2R4

ENVOLVENTE DE CAPACIDAD

Sección mts	Esf. Compresión al Serv. (kg/cm ²)	Esf. Inf. Acum (kg/cm ²)	Comentario
0	180.00	65.33	Pasa
3.1	180.00	-12.10	Pasa
6.3	180.00	-27.28	Pasa
9.4	180.00	-30.88	Pasa
12.5	180.00	-18.59	Pasa
15.65	180.00	5.92	Pasa
18.8	180.00	47.68	Pasa
21.9	180.00	102.15	Pasa
25.0	180.00	171.48	Pasa
28.2	180.00	229.75	Excede
31.3	180.00	276.54	Excede

Envolvente de Esfuerzos Inferiores



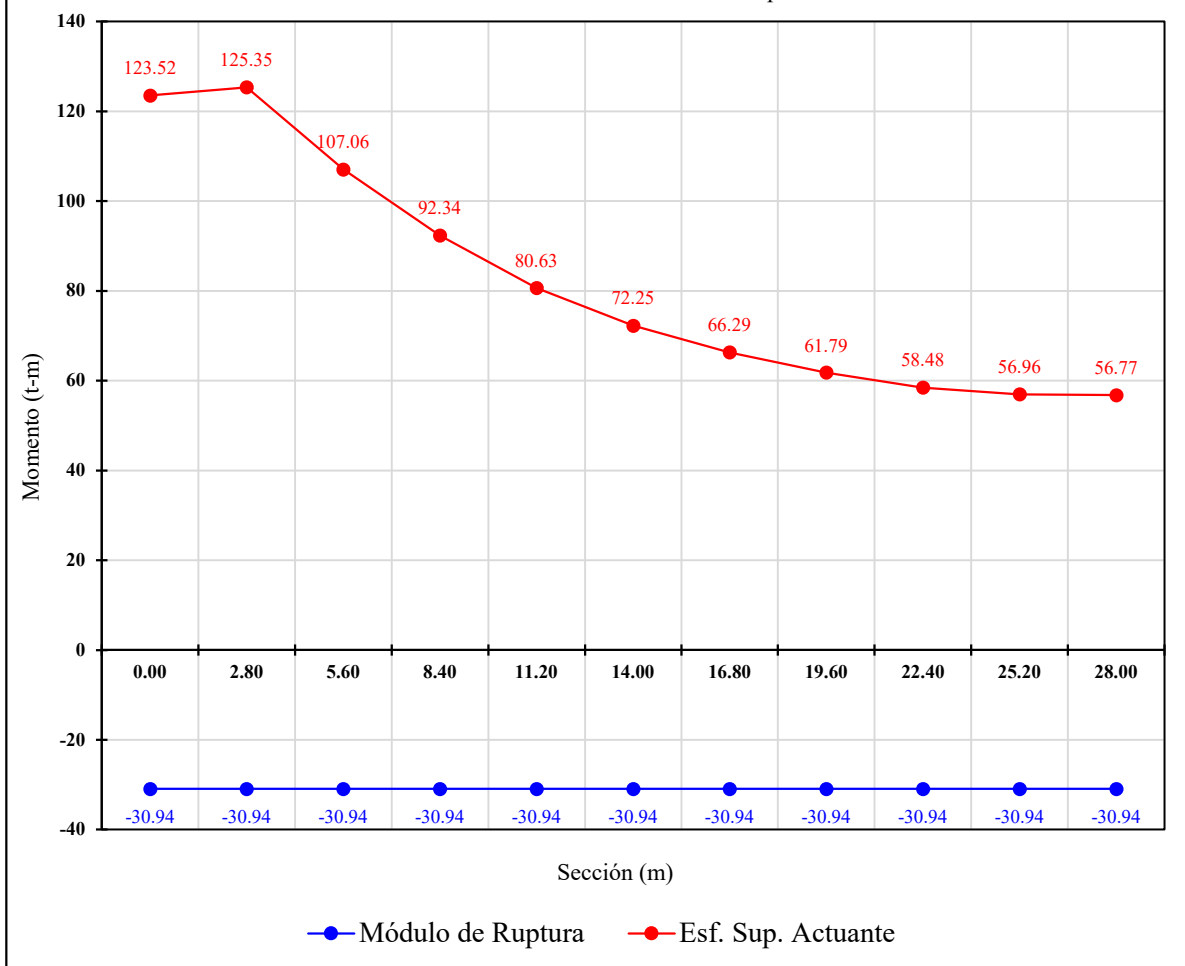
ESFUERZOS PERMISIBLES AL TENSADO

CV
CAMIÓN T3S2R4

ENVOLVENTE DE CAPACIDAD

Sección mts	Módulo de Ruptura (kg/cm ²)	Esferzo Superior Actuante	Comentario
		(kg/cm ²)	
0	-30.94	123.52	Pasa
2.8	-30.94	125.35	Pasa
5.6	-30.94	107.06	Pasa
8.4	-30.94	92.34	Pasa
11.2	-30.94	80.63	Pasa
14	-30.94	72.25	Pasa
16.8	-30.94	66.29	Pasa
19.6	-30.94	61.79	Pasa
22.4	-30.94	58.48	Pasa
25.2	-30.94	56.96	Pasa
28	-30.94	56.77	Pasa

Envolvente de Esfuerzos al Tensado Superiores

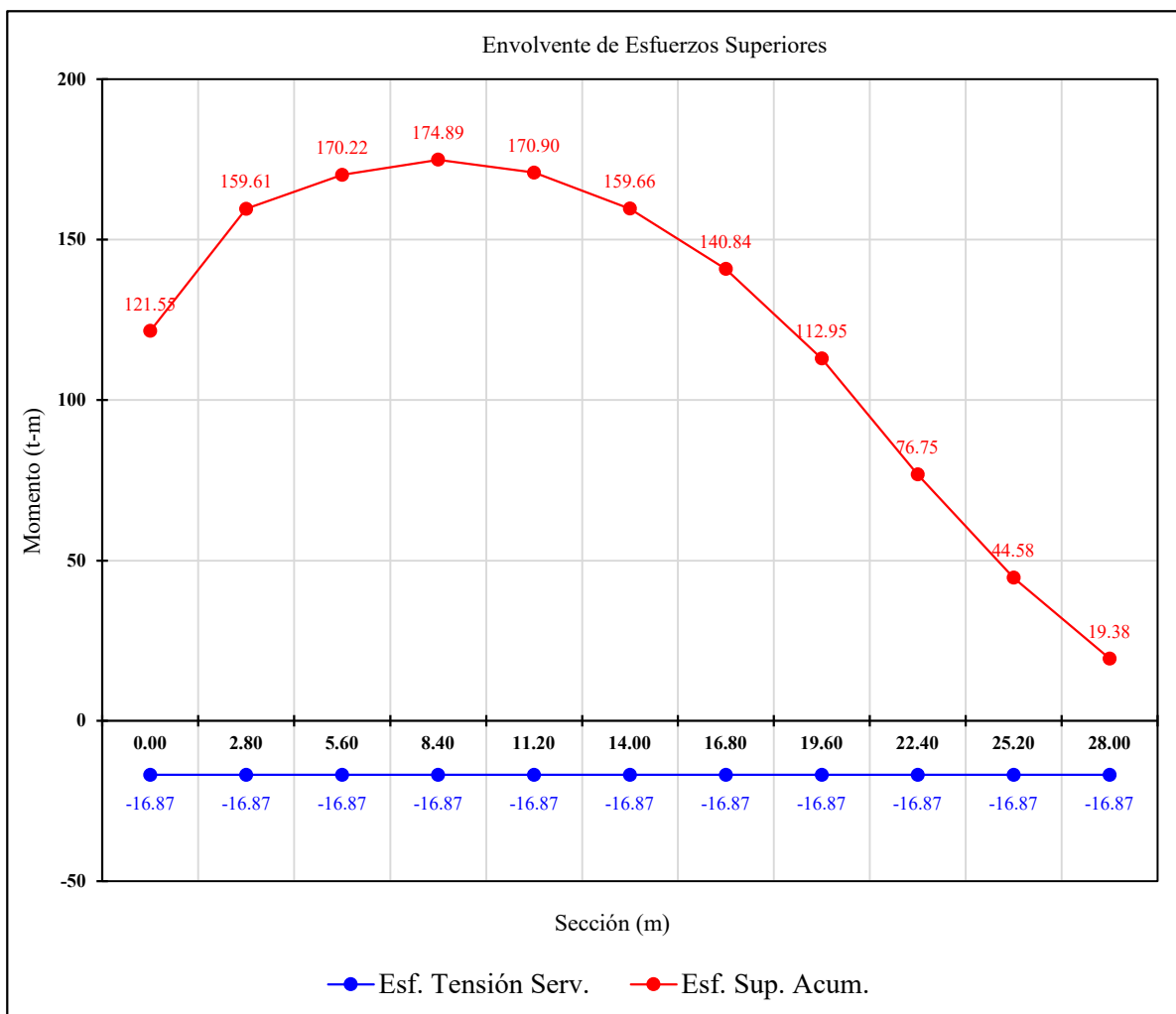


ESFUERZOS PERMISIBLES EN SERVICIO

CV
CAMIÓN T3S2R4

ENVOLVENTE DE CAPACIDAD

Sección mts	Esf. Tensión al Serv. (kg/cm ²)	Esf. Sup. Acum (kg/cm ²)	Comentario
0	-16.87	121.55	Pasa
2.8	-16.87	159.61	Pasa
5.6	-16.87	170.22	Pasa
8.4	-16.87	174.89	Pasa
11.2	-16.87	170.90	Pasa
14	-16.87	159.66	Pasa
16.8	-16.87	140.84	Pasa
19.6	-16.87	112.95	Pasa
22.4	-16.87	76.75	Pasa
25.2	-16.87	44.58	Pasa
28	-16.87	19.38	Pasa

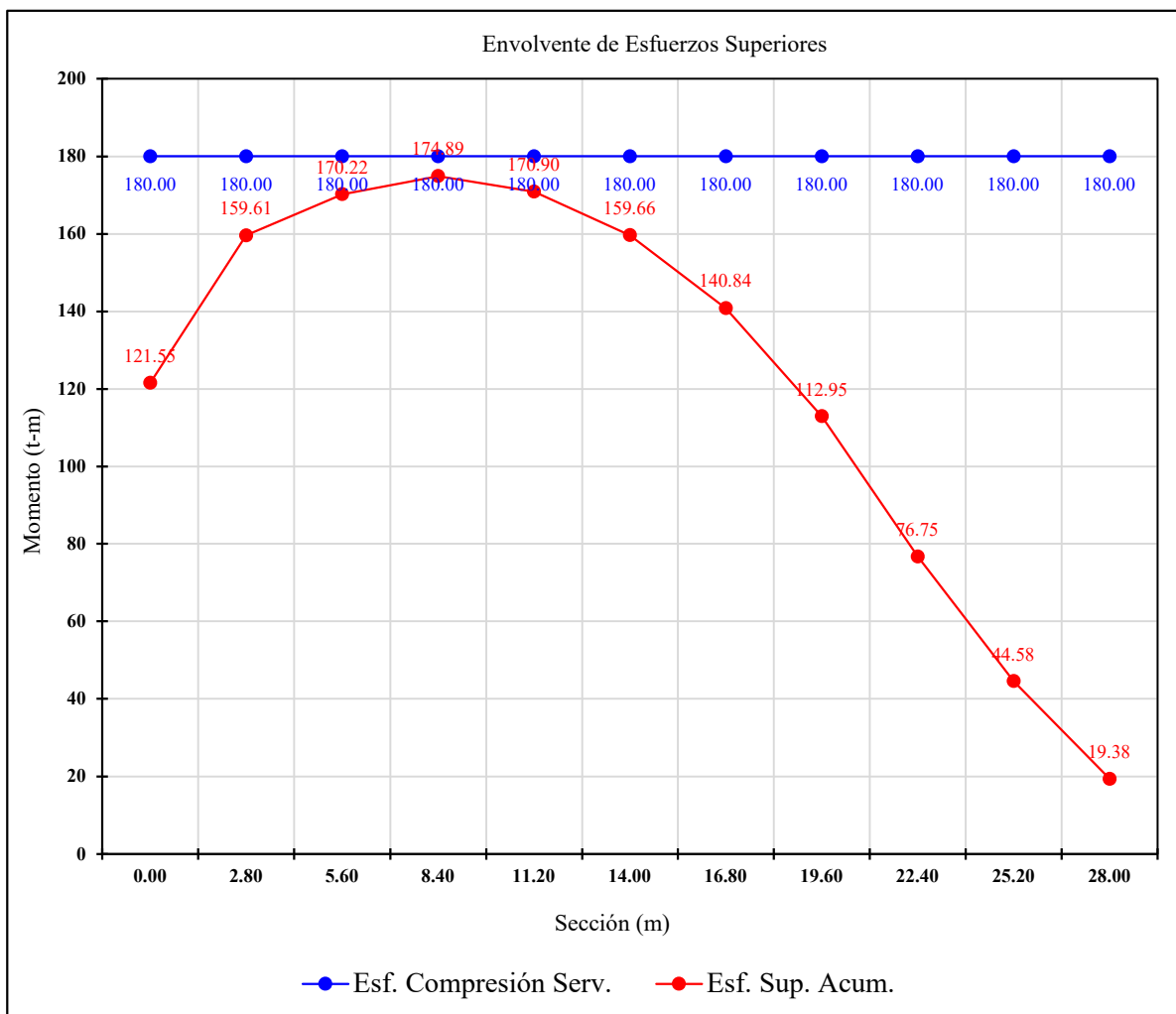


ESFUERZOS PERMISIBLES EN SERVICIO

CV
CAMIÓN T3S2R4

ENVOLVENTE DE CAPACIDAD

Sección mts	Esf. Compresión al Serv. (kg/cm ²)	Esf. Sup. Acum (kg/cm ²)	Comentario
0	180.00	121.55	Pasa
2.8	180.00	159.61	Pasa
5.6	180.00	170.22	Pasa
8.4	180.00	174.89	Pasa
11.2	180.00	170.90	Pasa
14	180.00	159.66	Pasa
16.8	180.00	140.84	Pasa
19.6	180.00	112.95	Pasa
22.4	180.00	76.75	Pasa
25.2	180.00	44.58	Pasa
28	180.00	19.38	Pasa





REVISIÓN DE LA CAPACIDAD A CORTANTE DE NERVADURA CURVA INTERNA TRAMO 1

APORTACIÓN DEL CONCRETO Y DEL ACERO DE REFUERZO

CONCRETO		ACERO	
$f_c =$	450 Kg/cm ²	$f_y =$	4,200.00 kg/cm ²
CLARO DE LA TRABE		FACTOR DE RESISTENCIA	
Claro (L), m =	31.3	FR =	0.75

DATOS DEL CORTANTE ACUTUANTE

EN SERVICIO		DIMENSIONES DE LA TRABE		
Apoyo	145.39			
0.1L	100.02	b_w (cm) =	40	
0.2L	63.69	h (cm) =	170	
0.3L	20.84			
0.4L	-27.47			
C.claro	-75.86	CONDICIÓN DE CARGA		CORTANTE DE DISEÑO
0.6L	-125.68	CM+CV T3S2R4+IMPACTO		$V_{max.}(\text{ton}) =$ 145.39
0.7L	-181.31			$V_i (\text{ton}) =$ 100.02
0.8L	-231.21			d (mts) = 1.7
0.9L	-281.67			Δx (mts) = 3.13
Apoyo	-342.38			$V_d (\text{ton}) =$ 120.7

DISTRIBUCIÓN DE ESTRIBOS VERTICALES

Sección	Φ	No. De ramas	Separación @	Centroide
Apoyo	5	2	10	5
0.1L	5	2	10	5
0.2L	5	2	15	5
0.3L	5	2	15	5
0.4L	5	2	20	5
0.5L	5	2	20	5

DISTRIBUCIÓN DE ESTRIBOS INCLINADOS

Sección	Φ	No. De ramas	Separación @	Centroide
Apoyo	0	0	0	0
0.1L	0	0	0	0
0.2L	0	0	0	0
0.3L	0	0	0	0
0.4L	0	0	0	0
0.5L	0	0	0	0

APORTACIÓN DEL ACERO DE PRESFUERZO

ORDENADA (mts)	f_o Esfuerzo inicial (kg/mmm ²)	ΔF_o (ton) de perdidas instantáneas	ΔF_o (ton) de perdidas Diferidas	A_t (mm ²)	No. Torones	No. Cables
0.9000	151.36	161.66	313.75			
0.6120	151.36	159.91	290.08			
0.3880	151.36	157.76	261.00			
0.2280	151.36	155.83	234.89			
0.1320	151.36	154.54	217.48			
0.1000	151.36	154.13	211.97			
0.1320	151.36	124.81	228.12			
0.2280	151.36	118.73	248.93			
0.3880	151.36	116.86	276.22			
0.6120	151.36	128.04	303.16			
0.9000	151.36	129.82	325.94			



REVISIÓN DE LA CAPACIDAD A CORTANTE

CARGA : **CM+CV T3S2R4+IMPACTO**

CARACTERÍSTICAS DE LOS MATERIALES.

Concreto.

$$f'c = 450.00 \text{ kg/cm}^2$$

$$Ec = 328,799.06 \text{ kg/cm}^2$$

Claro (L), m = 31.3

Δ (m) = 3.13

Aceros de refuerzo.

$$fy = 4,200.00 \text{ kg/cm}^2$$

$$FR = 0.75$$

$$V_R = V_{CR} + (V_{S1} + V_{S2})$$

$$V_{CR} = FR(0.53 \sqrt{f'c}) bw d$$

$$V_{S1} = (FR A_v f_y) / S$$

$$V_{S2} = FR (A_v f_y (\operatorname{sen}\Phi + \cos\Phi)d) / S$$

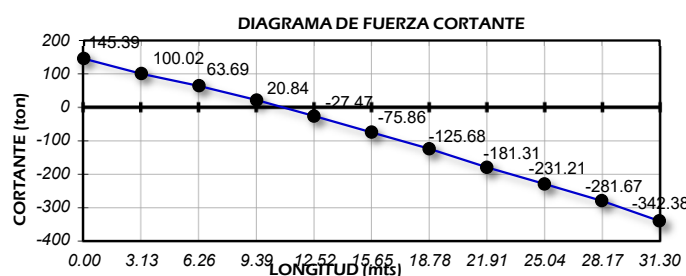
$$Ec.....(1)$$

$$Ec.....(2)$$

$$Ec.....(3)$$

$$Ec.....(4)$$

$$\text{Apoyo} = 0.00$$



CORTANTE

Abcisa (mts)	V act. (ton)
0.00	145.39
3.13	100.02
6.26	63.69
9.39	20.84
12.52	-27.47
15.65	-75.86
18.78	-125.68
21.91	-181.31
25.04	-231.21
28.17	-281.67
31.30	-342.38

Limitante de la capacidad del acero.

$$V_s = 2.1 \sqrt{f'c} bw d$$

$$V_s = 294.01 \text{ ton.}$$

RESISTENCIA A CORTANTE PROPORCIONADA POR EL CONCRETO

Sección	Ancho (bw) (cm)	Altura (h) (cm)	Centroide (cm)	Peralte (d) cm	Raíz (f'c) (kg/cm ²)	bw(d) (cm ²)	Vcr (kg)
0.00	40.00	170.00	5.00	165.00	21.21	6,600.00	55,652.84

RESISTENCIA A CORTANTE PROPORCIONADA POR EL ACERO (ESTRIBOS VERTICALES)

Φ	3	4	5	6	8	10	12
a _v (cm ²)	0.71	1.27	1.98	2.85	5.07	7.92	11.04

Sección	Φ	No. Ramas	A _v (cm ²)	Separación (S) cm	A _v (f _y) (kg)	A _v (f _y) d (kg - cm)	V _{s1} (kg)
0.00	5.00	2.00	1.98	10.00	16,632.00	2,744,280.00	205,821.00

RESISTENCIA A CORTANTE PROPORCIONADA POR EL ACERO (ESTRIBOS INCLINADOS)

Φ	3	4	5	6	8	10	12
a _v (cm ²)	0.71	1.27	1.98	2.85	5.07	7.92	11.04

$$\alpha (\text{grados}) = 45 \quad 0.7854 \text{ Radianes}$$

Sección	Φ	No. Ramas	A _v (cm ²)	Separación (S) cm	A _v (f _y) (kg)	A _v (f _y) d (kg - cm)	V _{s1} (kg)
0	0	0	0	0	0	0	0.00

$$\cos \alpha = 0.707105$$

$$\sin \alpha = 0.707108$$

Capacidad del acero

$$Vs1, \text{ton} = 205.82$$

$$Vs2, \text{ton} = 0.00$$

$$Vs, \text{ton} = 205.82$$

Resumen

$$\text{Concreto : } VCR(\text{ton}) = 55.65$$

$$\text{Acero : } VS(\text{ton}) = 205.82$$

Comparación

$$\text{Resistente : } VR (\text{ton}) = 261.47$$

$$\text{Actuante : } V_s (\text{ton}) = 145.39$$

Comentario : **Adecuado**



REVISIÓN DE LA CAPACIDAD A CORTANTE

CARGA : CM+CV T3S2R4+IMPACTO

CARACTERÍSTICAS DE LOS MATERIALES.

Concreto.

$$f'c = 450.00 \text{ kg/cm}^2$$

$$Ec = 328,799.06 \text{ kg/cm}^2$$

Acero de refuerzo.

$$fy = 4,200.00 \text{ kg/cm}^2$$

$$FR = 0.75$$

$$V_R = V_{CR} + (V_{S1} + V_{S2})$$

$$Ec \dots (1)$$

$$0.1(L) = 3.13$$

$$V_{CR} = FR(0.53 \sqrt{f'c} bw d)$$

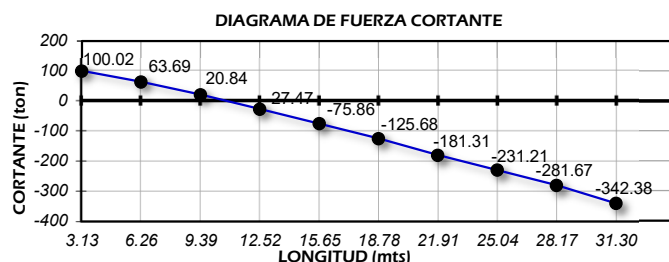
$$Ec \dots (2)$$

$$Vs1 = (FR Av fy) / S$$

$$Ec \dots (3)$$

$$Vs2 = FR (Av fy(\sin\Phi + \cos\Phi)d) / S$$

$$Ec \dots (4)$$



CORTANTE	
Abcisa (mts)	V act. (ton)
0.00	145.39
3.13	100.02
6.26	63.69
9.39	20.84
12.52	-27.47
15.65	-75.86
18.78	-125.68
21.91	-181.31
25.04	-231.21
28.17	-281.67
31.30	-342.38

Limitante de la capacidad del acero.

$$V_s = 2.1 \sqrt{f'c} bw d$$

$$V_s = 294.01 \text{ ton.}$$

RESISTENCIA A CORTANTE PROPORCIONADA POR EL CONCRETO

Sección	Ancho (bw) (cm)	Altura (h) (cm)	Centroide (cm)	Peralte (d) cm	Raíz (f'c) (kg/cm ²)	bw(d) (cm ²)	Vcr (kg)
3.13	40.00	170.00	5.00	165.00	21.21	6,600.00	55,652.84

RESISTENCIA A CORTANTE PROPORCIONADA POR EL ACERO (ESTRIBOS VERTICALES)

Φ	3	4	5	6	8	10	12
a_v (cm ²)	0.71	1.27	1.98	2.85	5.07	7.92	11.04

Sección	Φ	No. Ramas	A_v (cm ²)	Separación (S) cm	$A_v(fy)$ (kg)	$A_v(fy)d$ (kg - cm)	V_s1 (kg)
3.13	5.00	2.00	1.98	10.00	16,632.00	2,744,280.00	205,821.00

RESISTENCIA A CORTANTE PROPORCIONADA POR EL ACERO (ESTRIBOS INCLINADOS)

Φ	3	4	5	6	8	10	12
a_v (cm ²)	0.71	1.27	1.98	2.85	5.07	7.92	11.04

$$\alpha (\text{grados}) = 45 \quad 0.7854 \text{ Radianes}$$

Sección	Φ	No. Ramas	A_v (cm ²)	Separación (S) cm	$A_v(fy)$ (kg)	$A_v(fy)d$ (kg - cm)	V_s1 (kg)
3.13	0	0	0	0	0	0	0.00

$$\cos \alpha = 0.707105$$

$$\sin \alpha = 0.707108$$

Capacidad del acero

Resumen :

V_s1 , ton = 205.82
V_s2 , ton = 0.00
V_s , ton = 205.82

$$\text{Concreto : } V_{CR}(\text{ton}) = 55.65$$

$$\text{Acero : } V_s(\text{ton}) = 205.82$$

Comparación :

$$\text{Resistente : } VR (\text{ton}) = 261.47$$

$$\text{Actuante : } V_s (\text{ton}) = 100.02$$

Comentario : Adecuado



REVISIÓN DE LA CAPACIDAD A CORTANTE

CARGA : CM+CV T3S2R4+IMPACTO

CARACTERÍSTICAS DE LOS MATERIALES.

Concreto.

$$f'c = 450.00 \text{ kg/cm}^2$$

$$Ec = 328,799.06 \text{ kg/cm}^2$$

Acero de refuerzo.

$$fy = 4,200.00 \text{ kg/cm}^2$$

$$FR = 0.75$$

$$V_R = V_{CR} + (V_{S1} + V_{S2})$$

$$Ec.....(1) \quad 0.2(L) = 6.26$$

$$V_{CR} = FR(0.53 Raiz(f'c) bw d)$$

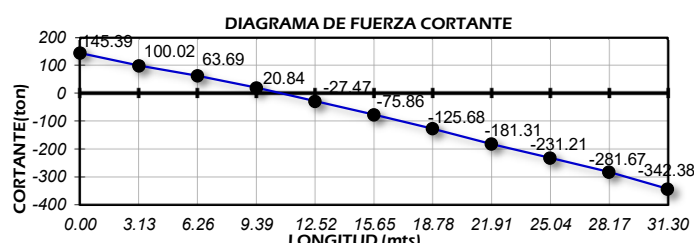
$$Ec.....(2)$$

$$Vs1 = (FR Av fy) / S$$

$$Ec.....(3)$$

$$Vs2 = FR (Av fy(\operatorname{sen}\Phi + \operatorname{cos}\Phi)d) / S$$

$$Ec.....(4)$$



CORTANTE

Abcisa (mts)	V act. (ton)
0.00	145.39
3.13	100.02
6.26	63.69
9.39	20.84
12.52	-27.47
15.65	-75.86
18.78	-125.68
21.91	-181.31
25.04	-231.21
28.17	-281.67
31.30	-342.38

Limitante de la capacidad del acero.

$$V_s = 2.1 \operatorname{Raiz}(f'c) bw d$$

$$V_s = 294.01 \text{ ton.}$$

RESISTENCIA A CORTANTE PROPORCIONADA POR EL CONCRETO

Sección	Ancho (bw) (cm)	Altura (h) (cm)	Centroide (cm)	Peralte (d) cm	Raiz (f'c) (kg/cm ²)	bw(d) (cm ²)	Vcr (kg)
6.26	40.00	170.00	5.00	165.00	21.21	6,600.00	55,652.84

RESISTENCIA A CORTANTE PROPORCIONADA POR EL ACERO (ESTRIBOS VERTICALES)

Φ	3	4	5	6	8	10	12
a_v (cm ²)	0.71	1.27	1.98	2.85	5.07	7.92	11.04

Sección	Φ	No. Ramas	A_v (cm ²)	Separación (S) cm	$A_v (f_y)$ (kg)	$A_v (f_y) d$ (kg - cm)	$V_s 1$ (kg)
6.26	5.00	2.00	1.98	15.00	16,632.00	2,744,280.00	137,214.00

RESISTENCIA A CORTANTE PROPORCIONADA POR EL ACERO (ESTRIBOS INCLINADOS)

Φ	3	4	5	6	8	10	12
a_v (cm ²)	0.71	1.27	1.98	2.85	5.07	7.92	11.04

$$\alpha (\text{grados}) = 45 \quad 0.7854 \text{ Radians}$$

Sección	Φ	No. Ramas	A_v (cm ²)	Separación (S) cm	$A_v (f_y)$ (kg)	$A_v (f_y) d$ (kg - cm)	$V_s 1$ (kg)
6.26	0	0	0	0	0	0	0.00

$$\cos \alpha = 0.707105$$

$$\sin \alpha = 0.707108$$

Capacidad del acero

$V_s 1$, ton = 137.21
$V_s 2$, ton = 0.00
V_s , ton = 137.21

Resumen :

$$\text{Concreto : } V_{CR}(\text{ton}) = 55.65$$

$$\text{Acero : } V_s(\text{ton}) = 137.21$$

Comparación :

$$\text{Resistente : } VR (\text{ton}) = 192.87$$

$$\text{Actuante : } V_s (\text{ton}) = 63.69$$

Comentario : Adecuado



REVISIÓN DE LA CAPACIDAD A CORTANTE

CARGA : CM+CV T3S2R4+IMPACTO

CARACTERÍSTICAS DE LOS MATERIALES.

Concreto.

$$f'c = 450.00 \text{ kg/cm}^2$$

$$Ec = 328,799.06 \text{ kg/cm}^2$$

Acero de refuerzo.

$$fy = 4,200.00 \text{ kg/cm}^2$$

$$FR = 0.75$$

$$V_R = V_{CR} + (V_{S1} + V_{S2})$$

$$Ec \dots (1) \quad 0.3(L) = 9.39$$

$$V_{CR} = FR(0.53 \sqrt{f'c} bw d)$$

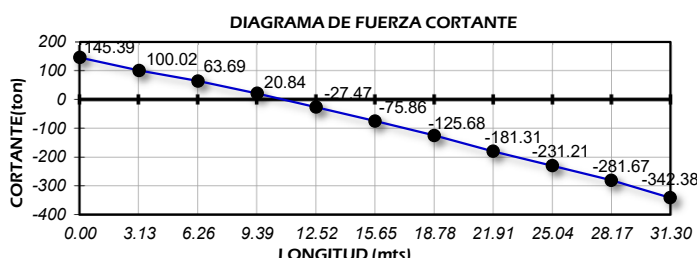
$$Ec \dots (2)$$

$$Vs1 = (FR Av fy) / S$$

$$Ec \dots (3)$$

$$Vs2 = FR (Av f_y (\operatorname{sen}\Phi + \cos\Phi)d) / S$$

$$Ec \dots (4)$$



CORTANTE

Abcisa (mts)	V act. (ton)
0.00	145.39
3.13	100.02
6.26	63.69
9.39	20.84
12.52	-27.47
15.65	-75.86
18.78	-125.68
21.91	-181.31
25.04	-231.21
28.17	-281.67
31.30	-342.38

Limitante de la capacidad del acero.

$$V_s = 2.1 \sqrt{f'c} bw d$$

$$V_s = 294.01 \text{ ton.}$$

RESISTENCIA A CORTANTE PROPORCIONADA POR EL CONCRETO

Sección	Ancho (bw) (cm)	Altura (h) (cm)	Centroide (cm)	Peralte (d) cm	Raíz (f'c) (kg/cm ²)	bw(d) (cm ²)	Vcr (kg)
9.39	40.00	170.00	5.00	165.00	21.21	6,600.00	55,652.84

RESISTENCIA A CORTANTE PROPORCIONADA POR EL ACERO (ESTRIBOS VERTICALES)

Φ	3	4	5	6	8	10	12
a_v (cm ²)	0.71	1.27	1.98	2.85	5.07	7.92	11.04

Sección	Φ	No. Ramas	A_v (cm ²)	Separación (S) cm	$A_v(fy)$ (kg)	$A_v(fy)d$ (kg - cm)	$V_s 1$ (kg)
9.39	5.00	2.00	1.98	15.00	16,632.00	2,744,280.00	137,214.00

RESISTENCIA A CORTANTE PROPORCIONADA POR EL ACERO (ESTRIBOS INCLINADOS)

Φ	3	4	5	6	8	10	12
a_v (cm ²)	0.71	1.27	1.98	2.85	5.07	7.92	11.04

$$\alpha \text{ (grados)} = 45 \quad 0.7854 \text{ Radianes}$$

Sección	Φ	No. Ramas	A_v (cm ²)	Separación (S) cm	$A_v(fy)$ (kg)	$A_v(fy)d$ (kg - cm)	$V_s 1$ (kg)
9.39	0	0	0	0	0	0	0.00

$$\cos \alpha = 0.707105$$

$$\sin \alpha = 0.707108$$

Capacidad del acero

Resumen :

Vs1, ton = 137.21
Vs2, ton = 0.00
Vs, ton = 137.21

$$\text{Concreto : } V_{CR}(\text{ton}) = 55.65$$

$$\text{Acero : } V_s(\text{ton}) = 137.21$$

Comparación :

$$\text{Resistente : } VR(\text{ton}) = 192.87$$

$$\text{Actuante : } V_s(\text{ton}) = 20.84$$

Comentario : Adecuado



REVISIÓN DE LA CAPACIDAD A CORTANTE

CARGA : CM+CV T3S2R4+IMPACTO

CARACTERÍSTICAS DE LOS MATERIALES.

Concreto.

$f'_c = 450.00 \text{ kg/cm}^2$

$E_c = 328,799.06 \text{ kg/cm}^2$

Acero de refuerzo.

$f_y = 4,200.00 \text{ kg/cm}^2$

$F_R = 0.75$

$V_R = V_{CR} + (V_{S1} + V_{S2})$

$E_c \dots (1) \quad 0.4(L) = 12.52$

$V_{CR} = F_R(0.53 \sqrt{f'_c} b w d)$

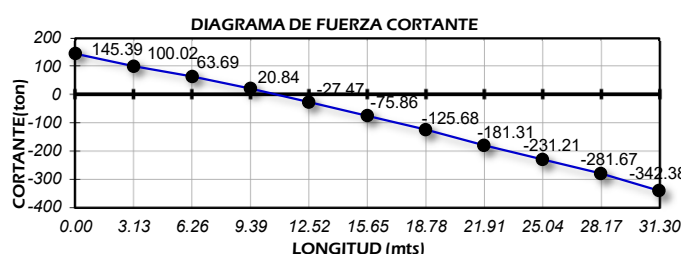
$E_c \dots (2)$

$V_{S1} = (F_R A_v f_y) / S$

$E_c \dots (3)$

$V_{S2} = F_R (A_v f_y (\sin \Phi + \cos \Phi) d) / S$

$E_c \dots (4)$



CORTANTE

Abcisa (mts)	V act. (ton)
0.00	145.39
3.13	100.02
6.26	63.69
9.39	20.84
12.52	-27.47
15.65	-75.86
18.78	-125.68
21.91	-181.31
25.04	-231.21
28.17	-281.67
31.30	-342.38

Limitante de la capacidad del acero.

$V_s = 2.1 \sqrt{f'_c} b w d$

$V_s = 294.01 \text{ ton.}$

RESISTENCIA A CORTANTE PROPORCIONADA POR EL CONCRETO

Sección	Ancho (bw) (cm)	Altura (h) (cm)	Centroide (cm)	Peralte (d) cm	Raíz (f'_c) (kg/cm²)	bw(d) (cm²)	Vcr (kg)
12.52	40.00	170.00	5.00	165.00	21.21	6,600.00	55,652.84

RESISTENCIA A CORTANTE PROPORCIONADA POR EL ACERO (ESTRIBOS VERTICALES)

Φ	3	4	5	6	8	10	12
$a_v \text{ (cm}^2\text{)}$	0.71	1.27	1.98	2.85	5.07	7.92	11.04

Sección	Φ	No. Ramas	A_v (cm²)	Separación (S) cm	$A_v (f_y)$ (kg)	$A_v (f_y) d$ (kg - cm)	$V_s 1$ (kg)
12.52	5.00	2.00	1.98	20.00	16,632.00	2,744,280.00	102,910.50

RESISTENCIA A CORTANTE PROPORCIONADA POR EL ACERO (ESTRIBOS INCLINADOS)

Φ	3	4	5	6	8	10	12
$a_v \text{ (cm}^2\text{)}$	0.71	1.27	1.98	2.85	5.07	7.92	11.04

$\alpha \text{ (grados)} = 45 \quad 0.7854 \text{ Radians}$

Sección	Φ	No. Ramas	A_v (cm²)	Separación (S) cm	$A_v (f_y)$ (kg)	$A_v (f_y) d$ (kg - cm)	$V_s 1$ (kg)
12.52	0	0	0	0	0	0	0.00

$\cos \alpha = 0.707105$

$\sin \alpha = 0.707108$

Capacidad del acero

Resumen :

$V_s 1, \text{ ton} = 102.91$
$V_s 2, \text{ ton} = 0.00$
$V_s, \text{ ton} = 102.91$

$\text{Concreto : } V_{CR}(\text{ton}) = 55.65$

$\text{Acero : } V_s(\text{ton}) = 102.91$

Comparación :

$\text{Resistente : } V_R (\text{ton}) = 158.56$

$\text{Actuante : } V_s (\text{ton}) = -27.47$

Comentario : Adecuado



REVISIÓN DE LA CAPACIDAD A CORTANTE

CARGA : CM+CV T3S2R4+IMPACTO

CARACTERÍSTICAS DE LOS MATERIALES.

Concreto.

$$f'c = 450.00 \text{ kg/cm}^2$$

$$Ec = 328,799.06 \text{ kg/cm}^2$$

Acero de refuerzo.

$$fy = 4,200.00 \text{ kg/cm}^2$$

$$FR = 0.75$$

$$V_R = V_{CR} + (V_{S1} + V_{S2})$$

$$Ec....(1) \quad 0.5(L) = 15.65$$

$$V_{CR} = FR(0.53 Raiz(f'c) bw d)$$

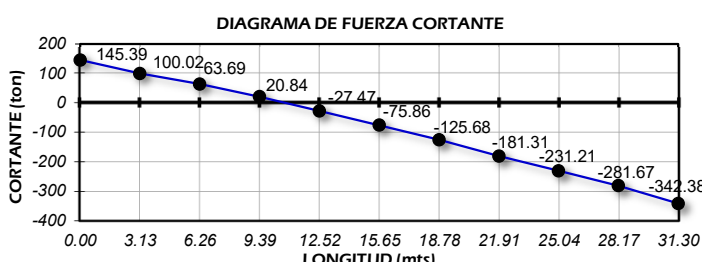
$$Ec....(2)$$

$$Vs1 = (FR Av fy) / S$$

$$Ec....(3)$$

$$Vs2 = FR (Av fy(\operatorname{sen}\Phi + \operatorname{cos}\Phi)d) / S$$

$$Ec....(4)$$



CORTANTE

Abcisa (mts)	V act. (ton)
0.00	145.39
3.13	100.02
6.26	63.69
9.39	20.84
12.52	-27.47
15.65	-75.86
18.78	-125.68
21.91	-181.31
25.04	-231.21
28.17	-281.67
31.30	-342.38

Limitante de la capacidad del acero.

$$V_s = 2.1 \operatorname{Raiz}(f'c) bw d$$

$$V_s = 294.01 \text{ ton.}$$

RESISTENCIA A CORTANTE PROPORCIONADA POR EL CONCRETO

Sección	Ancho (bw) (cm)	Altura (h) (cm)	Centroide (cm)	Peralte (d) cm	Raiz (f'c) (kg/cm ²)	bw(d) (cm ²)	Vcr (kg)
15.65	40.00	170.00	5.00	165.00	21.21	6,600.00	55,652.84

RESISTENCIA A CORTANTE PROPORCIONADA POR EL ACERO (ESTRIBOS VERTICALES)

Φ	3	4	5	6	8	10	12
a_v (cm ²)	0.71	1.27	1.98	2.85	5.07	7.92	11.04

Sección	Φ	No. Ramas	A_v (cm ²)	Separación (S) cm	$A_v(fy)$ (kg)	$A_v(fy)d$ (kg - cm)	V_s (kg)
15.65	5.00	2.00	1.98	20.00	16,632.00	2,744,280.00	102,910.50

RESISTENCIA A CORTANTE PROPORCIONADA POR EL ACERO (ESTRIBOS INCLINADOS)

Φ	3	4	5	6	8	10	12
a_v (cm ²)	0.71	1.27	1.98	2.85	5.07	7.92	11.04

$$\alpha (\text{grados}) = 45 \quad 0.7854 \text{ Radians}$$

Sección	Φ	No. Ramas	A_v (cm ²)	Separación (S) cm	$A_v(fy)$ (kg)	$A_v(fy)d$ (kg - cm)	V_s (kg)
15.65	0	0	0	0	0	0	0.00

$$\cos \alpha = 0.707105$$

$$\operatorname{Sen} \alpha = 0.707108$$

Capacidad del acero

Resumen :

V_s , ton = 102.91
V_s , ton = 0.00
V_s , ton = 102.91

$$\text{Concreto : } V_{CR}(\text{ton}) = 55.65$$

$$\text{Acero : } V_s(\text{ton}) = 102.91$$

Comparación :

$$\text{Resistente : } VR (\text{ton}) = 158.56$$

$$\text{Actuante : } V_s (\text{ton}) = -75.86$$

Comentario : Adecuado



REVISIÓN DE LA CAPACIDAD A CORTANTE

Aportación del presfuerzo

Carga : CM+CV T3S2R4+IMPACTO

Datos del presfuerzo

At (mm²)= 141

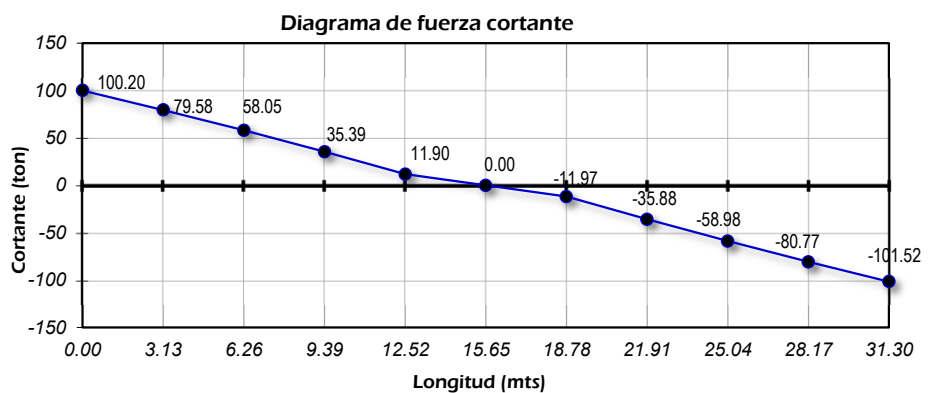
No. De torones= 15

No. De cables= 6

Sección	Abcisa (mts)	Ordenada (mts)	f o Esfuerzo inicial (kg/mm ²)	Δ Fo (ton) perdidas instantáneas	Δ Fo(ton) perdidas Diferidas	Fuerza al tensado (ton)	Fuerza a largo plazo (ton)
1	0.00	0.90	151.36	161.66	313.75	1,920.76	1,445.35
2	3.13	0.61	151.36	159.91	290.08	1,920.76	1,470.76
3	6.26	0.39	151.36	157.76	261.00	1,920.76	1,502.00
4	9.39	0.23	151.36	155.83	234.89	1,920.76	1,530.04
5	12.52	0.13	151.36	154.54	217.48	1,920.76	1,548.74
6	15.65	0.10	151.36	154.13	211.97	1,920.76	1,554.66
7	18.78	0.13	151.36	124.81	228.12	1,920.76	1,567.82
8	21.91	0.23	151.36	118.73	248.93	1,920.76	1,553.10
9	25.04	0.39	151.36	116.86	276.22	1,920.76	1,527.69
10	28.17	0.61	151.36	128.04	303.16	1,920.76	1,489.56
11	31.30	0.90	151.36	129.82	325.94	1,920.76	1,465.01

Sección	Φ	Sen (Φ)	Pi (ton)	Pi(sen Φ)	V p (ton)	FR (Vp) ton	
0							
	5.26	0.09	1,458.06	133.60	133.60	100.20	
3.13							
	4.09	0.07	1,486.38	106.10	106.10	79.58	
6.26							
	2.93	0.05	1,516.02	77.40	77.40	58.05	
9.39							
	1.76	0.03	1,539.39	47.19	47.19	35.39	
12.52							
	0.59	0.01	1,551.70	15.86	15.86	11.90	
15.65							
	0.59	0.01	1,561.24	15.96	15.96	11.97	
18.78							
	1.76	0.03	1,560.46	47.84	47.84	35.88	
21.91							
	2.93	0.05	1,540.39	78.64	78.64	58.98	
25.04							
	4.09	0.07	1,508.62	107.69	107.69	80.77	
28.17							
	5.26	0.09	1,477.28	135.36	135.36	101.52	
31.3							

Sección	FR (Vp), ton
0.00	100.20
3.13	79.58
6.26	58.05
9.39	35.39
12.52	11.90
15.65	0.00
18.78	-11.97
21.91	-35.88
25.04	-58.98
28.17	-80.77
31.30	-101.52





REVISIÓN DE LA CAPACIDAD A CORTANTE

RESUMEN DEL DIAGRAMA DE CORTANTE

Abcisa (mts)	V act. (ton)	V(conc.+refuerzo) (ton)	Vpresfuerzo (ton)	Vresistente (ton)	Relación (Vact./ Vresist.)	Comentario
0.00	145.39	261.47	100.20	361.67	0.40	Adecuado
3.13	100.02	261.47	79.58	341.05	0.29	Adecuado
6.26	63.69	192.87	58.05	250.91	0.25	Adecuado
9.39	20.84	192.87	35.39	228.26	0.09	Adecuado
12.52	-27.47	158.56	11.90	170.46	-0.16	Adecuado
15.65	-75.86	158.56	0.00	158.56	-0.48	Adecuado
18.78	-125.68	-158.56	-11.97	-170.53	0.74	Adecuado
21.91	-181.31	-192.87	-35.88	-228.75	0.79	Adecuado
25.04	-231.21	-192.87	-58.98	-251.85	0.92	Adecuado
28.17	-281.67	-261.47	-80.77	-342.24	0.82	Adecuado
31.30	-342.38	-261.47	-101.52	-362.99	0.94	Adecuado

V diseño = 120.7 ton

SIMBOLOGIA

COMBINACIÓN ACTUANTE
CAPACIDAD RESISTENTE

CM+CV T3S2R4+IMPACTO
VR = FR (Vc+Vs+Vp)

Vc: aportación del concreto

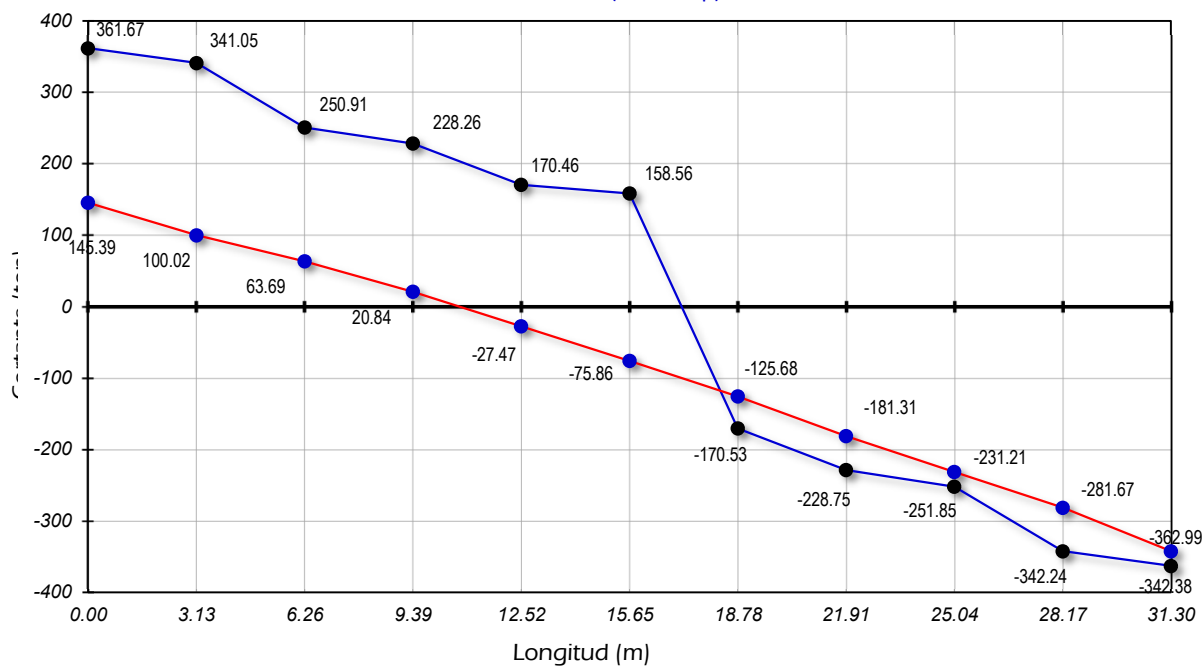
Vs: aportación del refuerzo

Vp: aportación del presfuerzo

Envolvente de cortante

Vactuante servicio: $V_{cm}+V_{cv}(\text{peatonal})+V_{imp}$.

Vresistente: $Fr(V_c+V_s+V_p)$



BIBLIOGRAFÍA

American Association of State Highway and Transportation Officials (2020), LRFD Bridge Design Specifications, Novena Edición, Estados Unidos de América, AASHTO.

American Association of State Highway and Transportation Officials (2015), Standard Specifications for Transportation Materials and Methods of Sampling and Testing, Treceava Edición, Estados Unidos de América, AASHTO.

Secretaría de Comunicaciones y Transportes (2002), CMT. Características de los Materiales, México, SCT.

Secretaría de Comunicaciones y Transportes (2004), CTR. Construcción, México, SCT.

Nilson, Arthur H. (1990), Diseño de Estructuras de Concreto Presforzado, Segunda Edición, México, LIMUSA.

Orozco Zepeda, Felipe de Jesús (2005), Temas Fundamentales de Concreto Presforzado, Primera Edición, México, IMCYC.

Arrellano Eduardo, Manzanares Daniel, Reyes Luisa, Rodríguez Mario, Mecalco José (2018), Manual de Diseño de Estructuras Prefabricadas y Presforzadas, Segunda Edición, México, ANNIPAC.

Euro Estudios (1977), Programa de Cálculo de Puentes Postensados Segundo el Reglamento AASHTO, México, Euro Estudios.

Rascón Chávez, Octavio A. (2004), Formulación de la Norma SCT de Cargas Vehiculares para Diseño Estructural de Puentes Carreteros, México, IMT.

Crespo Saúl, Rodríguez Daniel, Carrión Francisco, Quintana Juan (2014), Análisis de Efectos Longitudinales y Transversales en Puentes Debidos a Cargas Vehiculares, México, IMT.

Thonier, Henry (1982), Le Béton Précontraint Aux États-Limites, France, Presses de l'Ecole Nationale des Ponts et Chaussées.

Dirección General de Servicios Técnicos (2018), Manual para Conservación de Puentes y Estructuras Similares, Primera Edición, México, SCT.

Dirección General de Servicios Técnicos (2018), Manual para Inspección de Puentes, Primera Edición, México, SCT.

Menn, Christian (1990), Prestressed Concrete Bridges, First Edition, United States of America, Birkhäuser.

Hewson, Nigel R. (2006), *Prestressed Concrete Bridges: Design and Construction*, First Edition, Australia, DA Books and Journals.

Secretaría de Infraestructura, Comunicaciones y Transportes (2019), PRY. Proyecto, México, SICT.

Subsecretaría de Infraestructura (2014), *Guía de Exploración y Elaboración de Estudios y Proyectos para la Cimentación de Puentes*, Primera Edición, México, SCT.

Secretaría de Comunicaciones y Transportes (2003), MMP. *Métodos de Muestreo y Prueba de Materiales*, SICT.

Dirección General de Servicios Técnicos (2012), *Conceptos que Conforman el Proyecto Ejecutivo de Carreteras*, Primera Edición, México, SCT.

Dirección General de Servicios Técnicos (2016), *Manual para Estudios, Gestión y Atención Ambiental en Carreteras*, Primera Edición, México, SICT.

Secretaría de Comunicaciones y Transportes (2000), LEG. Legislación, México, SCT.

Dirección General de Servicios Técnicos (2016), *Manual de Proyecto Geométrico de Carreteras*, México, SCT.

Norma Oficial Mexicana NOM-012-SCT-2-2017, *Sobre el peso y dimensiones máximas con los que pueden circular los vehículos de autotransporte que transitan en las vías generales de comunicación de jurisdicción federal*.

Mendoza Alberto, Quintero Francisco, Mayoral Emilio (2002), *Algunas consideraciones de Seguridad para el Proyecto Geométrico de Carreteras*, México, IMT.

Mendoza Alberto, Quintero Francisco, Mayoral Emilio, Abarca Emilio (2004), *Recomendaciones de Actualización de Algunos Elementos del Proyecto Geométrico de Carreteras*, México, IMT.

Freyssinet (2016), *Apoyos Mecánicos Freyssinet*, Primera Edición, Francia, Soletanche Freyssinet.

Freyssinet (2013), *Freyssibar La Barra de Pretensado para Obras de Ingeniería Civil*, Tercera Edición, Francia, Soletanche Freyssinet.

Freyssinet (2010), *El pretensado Freyssinet*, Francia, Soletanche Freyssinet.

MESOGRAFÍA

Secretaría de Infraestructura, Comunicaciones y Transportes, Normativa para la Infraestructura del Transporte, México, Gobierno de México, disponible en internet:

<https://normas.imt.mx/busqueda-desplegable.html>

Dirección General de Servicios Técnicos, Normas Oficiales Mexicanas, México, Gobierno de México, disponible en internet:

<https://www.sct.gob.mx/carreteras/direccion-general-de-servicios-tecnicos/normativa/normas-oficiales-mexicanas/>

Dirección General de Servicios Técnicos, Isoyetas, México, Gobierno de México, disponible en internet:

<https://www.sct.gob.mx/carreteras/direccion-general-de-servicios-tecnicos/isoyetas/>

Dirección General de Servicios Técnicos, Guías Técnicas, México, Gobierno de México, disponible en internet:

<https://www.sct.gob.mx/carreteras/direccion-general-de-servicios-tecnicos/guias-tecnicas/>

Dirección General de Servicios Técnicos, Manuales, México, Gobierno de México, disponible en internet:

<https://www.sct.gob.mx/carreteras/direccion-general-de-servicios-tecnicos/normativa/manuales/>

AASHTO STORE, Publications, United States of America, AASHTO, disponible en internet:

<https://store.transportation.org/>